

**REGIONE
PUGLIA**



CUP: E75G19000040005

**PIANO DEGLI INTERVENTI AIP 2020-2023 DI CUI ALLA DELIBERA N.6 DEL 22/02/2021
CON COPERTURA FINANZIARIA " FONDI DERIVANTI DA PROVENTI TARIFFARI"**

**PROGETTO DEFINITIVO
POTENZIAMENTO DELL'IMPIANTO DI DEPURAZIONE E DEL RECAPITO FINALE
A SERVIZIO DELL'AGGLOMERATO DEL COMUNE DI SQUINZANO (LE)**

**Acquedotto Pugliese S.p.A.
Direzione Ingegneria**

**Il Responsabile del Procedimento
Ing. Matteo MORELLO**

**Il Direttore
Ing. Gaetano BARBONE**



Ingegneria Ambientale s.r.l.
www.ingegneriambientale.com
info@ingegneriambientale.com

Ing. Franco NACCI

Ing. Stefano SANSONE



Geotek plus s.r.l.
www.geotek-rilievi.com
info@geotek-rilievi.com

PROGETTAZIONE

**Il Progettista
Prof. Ing. Matteo Ranieri**

**Il Coordinatore della Sicurezza in
fase di progettazione
Prof. Ing. Matteo Ranieri**



UNING s.r.l.
info@uning.it



Ingegneria s.r.l.
ingegneria@uning.it

Elaborato

R.37.11

**TABULATI DI CALCOLO STRUTTURALE
-EDIFICIO GRIGLIATURA GROSSOLANA-**

Codice Intervento P1370

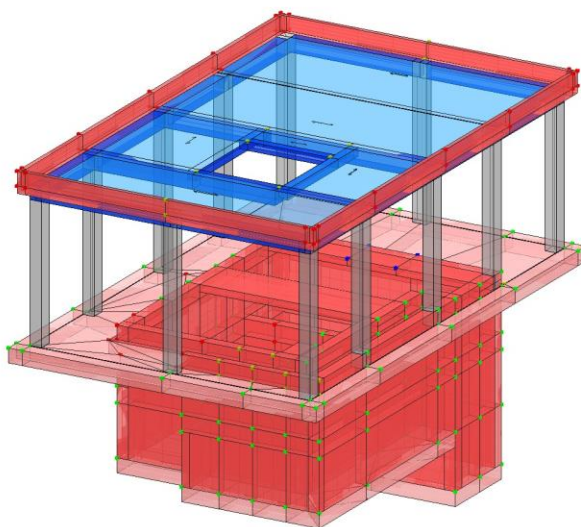
**Codice SAP
210000023391**

**Prot. N. 27346
Data 23/04/2021**

Scala:

00	MAG.2021	Emesso per Progetto DEFINITIVO			
N. Rev.	Data	Descrizione	Disegnato	Controllato	Approvato





Vita nominale, classi d'uso e periodo di riferimento

La costruzione in oggetto è definita dalla seguente tipologia (p.to 2.4 delle NT):

Vita della struttura	
Tipo	Opere infr. imp. normale (50-100)
Vita nominale VN [anni]	50.0
Classe d'uso	III
Coefficiente d'uso CU	1.500
Periodo di riferimento VR [anni]	75.000
Probabilità di superamento PVR allo Stato limite di esercizio - SLD	63.0%
Probabilità di superamento PVR allo Stato limite ultimo - SLV	10.0%
Periodo di ritorno TR SLD [anni]	75.4
Periodo di ritorno TR SLV [anni]	711.8

Per maggiori dettagli riguardo l'azione sismica si veda la definizione degli spettri di risposta

Materiali impiegati e resistenze di calcolo

Per la realizzazione dell'opera in oggetto saranno impiegati i seguenti materiali, di cui si riportano nell'ordine le proprietà meccaniche adottate nel calcolo elastico e le resistenze di calcolo per le verifiche di sicurezza:

Materiali		
C35/45		
Peso specifico	kg/mc	2500
Modulo di Young E	kg/cm ²	3E05
Modulo di Poisson ν		0.13
Coefficiente di dilatazione termica λ	1/°C	1e-05

Caratteristiche dei materiali delle parti in calcestruzzo armato		
Classe calcestruzzo		Cl _s C35/45
Resistenza cubica R _{ck}	kg/cm ²	450
Resistenza di calcolo f _{cd}	kg/cm ²	212
Resistenza a trazione di calcolo f _{ctd}	kg/cm ²	16
Resistenza cilindrica f _{ck}	kg/cm ²	374
Resistenza a trazione media f _{ctm}	kg/cm ²	34
Classe acciaio barre longitudinali		Acciaio barre B450C
Resistenza allo snervamento f _{yk}	kg/cm ²	>=4500
Resistenza alla rottura barre f _{tk}	kg/cm ²	>=5400

Classe acciaio staffe		Acciaio barre B450C
Resistenza allo snervamento f_{yk}	kg/cm ²	≥ 4500
Resistenza alla rottura barre f_{tk}	kg/cm ²	≥ 5400

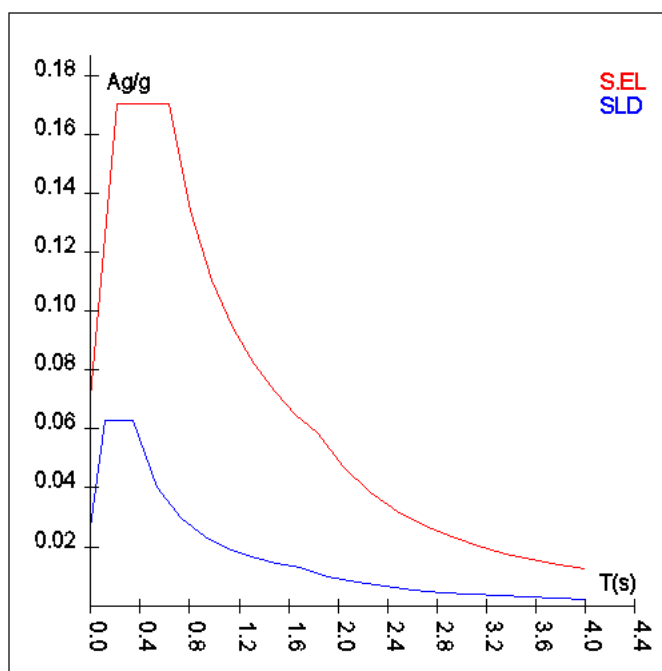
Spettri di risposta

Spettro: **SpettroNT_2018**

Il calcolo degli spettri e del fattore di comportamento sono stati calcolati per la seguente tipologia di terreno e struttura.

Vita della struttura	
Tipo	Opere infr. imp. normale (50-100)
Vita nominale VN [anni]	50.0
Classe d'uso	III
Coefficiente d'uso CU	1.500
Periodo di riferimento VR [anni]	75.000
Probabilità di superamento PVR allo Stato limite di esercizio - SLD	63.0%
Probabilità di superamento PVR allo Stato limite ultimo - SLV	10.0%
Periodo di ritorno TR SLD [anni]	75.4
Periodo di ritorno TR SLV [anni]	711.8
Parametri del sito	
Comune	
Longitudine	18.212
Latitudine	40.289
Id reticolo del sito	35259-35037-35260-35038
Valori di riferimento del sito	
Accelerazione orizzontale massima del sito A_g/g - SLD (TR=75.4)	0.0222
Fattore di amplificazione dello spettro F_0 - SLD (TR=75.4)	2.3607
Periodo di riferimento di inizio del tratto a velocità costante T^*C [s] - SLD (TR=75.4)	0.235
Accelerazione orizzontale massima del sito A_g/g - SLV (TR=711.8)	0.0587
Fattore di amplificazione dello spettro F_0 - SLV (TR=711.8)	2.4204
Periodo di riferimento di inizio del tratto a velocità costante T^*C [s] - SLV (TR=711.8)	0.501
Coefficiente Amplificazione Topografica S_t	1.000
Categoria terreno	B
Stato limite SLV	
Coefficiente di amplificazione stratigrafica S_s	1.20
Periodo di inizio del tratto ad accelerazione costante dello spettro TB [s]	0.21
Periodo di inizio del tratto a velocità costante dello spettro TC [s]	0.63
Periodo di inizio del tratto a spostamento costante dello spettro TD [s]	1.83
Stato limite SLD	
Coefficiente di amplificazione stratigrafica S_s	1.20
Periodo di inizio del tratto ad accelerazione costante dello spettro TB [s]	0.12
Periodo di inizio del tratto a velocità costante dello spettro TC [s]	0.35
Periodo di inizio del tratto a spostamento costante dello spettro TD [s]	1.69
Spettro Elastico	
Smorzamento viscoso %	5.0

T El. [s]	Sd El. [a/g]	T SLD [s]	Sd SLD [a/g]
0.00000	0.07045	0.00000	0.02660
0.21106	0.17051	0.11515	0.06280
0.63318	0.17051	0.34546	0.06280
0.80485	0.13415	0.53735	0.04037
0.97651	0.11056	0.72923	0.02975
1.14817	0.09403	0.92112	0.02355
1.31984	0.08180	1.11301	0.01949
1.49150	0.07239	1.30490	0.01663
1.66317	0.06492	1.49679	0.01449
1.83483	0.05884	1.68867	0.01285
2.05135	0.04708	1.91981	0.00994
2.26786	0.03852	2.15094	0.00792
2.48438	0.03210	2.38207	0.00646
2.70090	0.02716	2.61320	0.00536
2.91741	0.02327	2.84434	0.00453
3.13393	0.02017	3.07547	0.00387
3.35045	0.01765	3.30660	0.00335
3.56697	0.01557	3.53773	0.00293
3.78348	0.01384	3.76887	0.00258
4.00000	0.01238	4.00000	0.00229



Azioni sulla struttura

Descrizione	Tipo
Peso Proprio	Automatica
Spinta Terreno	Utente
accidentali	Utente
QP Solai	Automatica
QV Solai	Automatica
QV SolaiPsi0	Automatica
QV SolaiPsi1	Automatica
QV SolaiPsi2	Automatica
spinta acqua	Utente
permanenti platea	Utente
grigliatura	Utente
QFissi Solai	Automatica
Muro esterno	Utente
neve	Utente
muratura	Utente

Scenario di calcolo

Scenario : ScenarioNT_ 2018 A2_SLV_SLD_STR_GEO
Combinazione n° 1: Solo Permanenti
 Tipo: STR+GEO
 Spettro: n.a.
 Fattore sisma: n.a.
 Angolo ingresso sisma [°]: n.a.
 Kmod: 0.60

Condizione di carico	Fattore di combinazione	Attiva	Massa	Fattore massa
Peso Proprio	1.3	Si	n.a.	n.a.
Spinta Terreno	1.5	Si	n.a.	n.a.
accidentali	1	No	n.a.	n.a.
QP Solai	1.5	Si	n.a.	n.a.
QV Solai	1.5	No	n.a.	n.a.
QV SolaiPsi0	1	No	n.a.	n.a.
QV SolaiPsi1	1.5	No	n.a.	n.a.
QV SolaiPsi2	1.3	No	n.a.	n.a.
spinta acqua	1	No	n.a.	n.a.
permanenti platea	1.5	Si	n.a.	n.a.

**POTENZIAMENTO DELL'IMPIANTO DI DEPURAZIONE E
DEL RECAPITO FINALE DI SQUINZANO (LE)
PROGETTO DEFINITIVO
Tabulati di calcolo strutturale-Edificio Grigliatura
Grossolana**

R.37.11

Maggio 2021

Pagina 4 di 183

Condizione di carico	Fattore di combinazione	Attiva	Massa	Fattore massa
grigliatura	1.5	Si	n.a.	n.a.
QFissi Solai	1.5	Si	n.a.	n.a.
Muro esterno	1.5	Si	n.a.	n.a.
neve	1	No	n.a.	n.a.
muratura	1.5	Si	n.a.	n.a.

Combinazione n° 2: SLU1
 Tipo: STR+GEO
 Spettro: n.a.
 Fattore sisma: n.a.
 Angolo ingresso sisma [°]: n.a.
 Kmod: 0.90

Condizione di carico	Fattore di combinazione	Attiva	Massa	Fattore massa
Peso Proprio	1.3	Si	n.a.	n.a.
Spinta Terreno	1.5	Si	n.a.	n.a.
accidentali	1.5	Si	n.a.	n.a.
QP Solai	1.5	Si	n.a.	n.a.
QV Solai	1.5	Si	n.a.	n.a.
QV SolaiPsi0	1	No	n.a.	n.a.
QV SolaiPsi1	1.5	No	n.a.	n.a.
QV SolaiPsi2	1.3	No	n.a.	n.a.
spinta acqua	1.5	Si	n.a.	n.a.
permanenti platea	1.5	Si	n.a.	n.a.
grigliatura	1.5	Si	n.a.	n.a.
QFissi Solai	1.5	Si	n.a.	n.a.
Muro esterno	1.5	Si	n.a.	n.a.
neve	1.05	Si	n.a.	n.a.
muratura	1.5	Si	n.a.	n.a.

Combinazione n° 3: SLU2
 Tipo: STR+GEO
 Spettro: n.a.
 Fattore sisma: n.a.
 Angolo ingresso sisma [°]: n.a.
 Kmod: 0.90

Condizione di carico	Fattore di combinazione	Attiva	Massa	Fattore massa
Peso Proprio	1.3	Si	n.a.	n.a.
Spinta Terreno	1.5	Si	n.a.	n.a.
accidentali	1.5	No	n.a.	n.a.
QP Solai	1.5	Si	n.a.	n.a.
QV Solai	1.5	Si	n.a.	n.a.
QV SolaiPsi0	1	No	n.a.	n.a.
QV SolaiPsi1	1.5	No	n.a.	n.a.
QV SolaiPsi2	1.3	No	n.a.	n.a.
spinta acqua	1.5	Si	n.a.	n.a.
permanenti platea	1.5	Si	n.a.	n.a.
grigliatura	1.5	Si	n.a.	n.a.
QFissi Solai	1.5	Si	n.a.	n.a.
Muro esterno	1.5	Si	n.a.	n.a.
neve	1.05	Si	n.a.	n.a.
muratura	1.5	Si	n.a.	n.a.

Combinazione n° 4: SISMAX1_SLV
 Tipo: Modale STR+GEO
 Spettro: SpettroNT_2018
 Fattore sisma: 1.00
 Angolo ingresso sisma [°]: 0
 Kmod: 1.00

Condizione di carico	Fattore di combinazione	Attiva	Massa	Fattore massa
Peso Proprio	1	Si	Si	1
Spinta Terreno	1.1	Si	Si	1
accidentali	0.2	Si	Si	1
QP Solai	1	Si	Si	1
QV Solai	1	No	No	1
QV SolaiPsi0	1	Si	No	1
QV SolaiPsi1	1	Si	Si	1
QV SolaiPsi2	1	Si	Si	1
spinta acqua	1.1	Si	Si	1
permanenti platea	1	Si	Si	1

**POTENZIAMENTO DELL'IMPIANTO DI DEPURAZIONE E
DEL RECAPITO FINALE DI SQUINZANO (LE)
PROGETTO DEFINITIVO
Tabulati di calcolo strutturale-Edificio Grigliatura
Grossolana**

R.37.11

Maggio 2021

Pagina 5 di 183

Condizione di carico	Fattore di combinazione	Attiva	Massa	Fattore massa
grigliatura	1	Si	Si	1
QFissi Solai	1	Si	Si	1
Muro esterno	1	Si	Si	1
neve	1	No	No	1
muratura	1	Si	No	1

Combinazione n° 5: **SISMAY1_SLV**
 Tipo: Modale STR+GEO
 Spettro: SpettroNT_2018
 Fattore sisma: 1.00
 Angolo ingresso sisma [°]: 90
 Kmod: 1.00

Condizione di carico	Fattore di combinazione	Attiva	Massa	Fattore massa
Peso Proprio	1	Si	Si	1
Spinta Terreno	1.1	Si	Si	1
accidentali	0.2	Si	Si	1
QP Solai	1	Si	Si	1
QV Solai	1	No	No	1
QV SolaiPsi0	1	Si	No	1
QV SolaiPsi1	1	Si	Si	1
QV SolaiPsi2	1	Si	Si	1
spinta acqua	1.1	Si	Si	1
permanenti platea	1	Si	Si	1
grigliatura	1	Si	Si	1
QFissi Solai	1	Si	Si	1
Muro esterno	1	Si	Si	1
neve	1	No	No	1
muratura	1	Si	No	1

Combinazione n° 6: **AD QVSolai**
 Tipo: SLE Rara
 Spettro: n.a.
 Fattore sisma: n.a.
 Angolo ingresso sisma [°]: n.a.
 Kmod: 1.00

Condizione di carico	Fattore di combinazione	Attiva	Massa	Fattore massa
Peso Proprio	1	Si	n.a.	n.a.
Spinta Terreno	1	Si	n.a.	n.a.
accidentali	1	Si	n.a.	n.a.
QP Solai	1	Si	n.a.	n.a.
QV Solai	1	Si	n.a.	n.a.
QV SolaiPsi0	1	No	n.a.	n.a.
QV SolaiPsi1	1	No	n.a.	n.a.
QV SolaiPsi2	1	No	n.a.	n.a.
spinta acqua	1	Si	n.a.	n.a.
permanenti platea	1	Si	n.a.	n.a.
grigliatura	1	Si	n.a.	n.a.
QFissi Solai	1	Si	n.a.	n.a.
Muro esterno	1	Si	n.a.	n.a.
neve	0.2	Si	n.a.	n.a.
muratura	1	Si	n.a.	n.a.

Combinazione n° 7: **AD QVSolai**
 Tipo: SLE Freq.
 Spettro: n.a.
 Fattore sisma: n.a.
 Angolo ingresso sisma [°]: n.a.
 Kmod: 1.00

Condizione di carico	Fattore di combinazione	Attiva	Massa	Fattore massa
Peso Proprio	1	Si	n.a.	n.a.
Spinta Terreno	1	Si	n.a.	n.a.
accidentali	0.5	Si	n.a.	n.a.
QP Solai	1	Si	n.a.	n.a.
QV Solai	1	No	n.a.	n.a.
QV SolaiPsi0	1	No	n.a.	n.a.
QV SolaiPsi1	1	Si	n.a.	n.a.
QV SolaiPsi2	1	No	n.a.	n.a.
spinta acqua	1	Si	n.a.	n.a.
permanenti platea	1	Si	n.a.	n.a.

Condizione di carico	Fattore di combinazione	Attiva	Massa	Fattore massa
grigliatura	1	Si	n.a.	n.a.
QFissi Solai	1	Si	n.a.	n.a.
Muro esterno	1	Si	n.a.	n.a.
neve	1	No	n.a.	n.a.
muratura	1	Si	n.a.	n.a.

Combinazione n° 8: **Quasi P1**
 Tipo: SLE Q.Perm.
 Spettro: n.a.
 Fattore sisma: n.a.
 Angolo ingresso sisma [°]: n.a.
 Kmod: 1.00

Condizione di carico	Fattore di combinazione	Attiva	Massa	Fattore massa
Peso Proprio	1	Si	n.a.	n.a.
Spinta Terreno	1	Si	n.a.	n.a.
accidentali	0.2	Si	n.a.	n.a.
QP Solai	1	Si	n.a.	n.a.
QV Solai	1	No	n.a.	n.a.
QV SolaiPsi0	1	No	n.a.	n.a.
QV SolaiPsi1	1	No	n.a.	n.a.
QV SolaiPsi2	1	Si	n.a.	n.a.
spinta acqua	1	Si	n.a.	n.a.
permanenti platea	1	Si	n.a.	n.a.
grigliatura	1	Si	n.a.	n.a.
QFissi Solai	1	Si	n.a.	n.a.
Muro esterno	1	Si	n.a.	n.a.
neve	1	No	n.a.	n.a.
muratura	1	Si	n.a.	n.a.

Combinazione n° 9: **SISMAX_SLD**
 Tipo: Modale SLE
 Spettro: SpettroNT_ 2018
 Fattore sisma: 1.00
 Angolo ingresso sisma [°]: 0
 Kmod: 1.00

Condizione di carico	Fattore di combinazione	Attiva	Massa	Fattore massa
Peso Proprio	1	Si	Si	1
Spinta Terreno	1	Si	Si	1
accidentali	0.2	No	Si	1
QP Solai	1	Si	Si	1
QV Solai	1	No	No	1
QV SolaiPsi0	1	No	No	1
QV SolaiPsi1	1	No	Si	1
QV SolaiPsi2	1	Si	Si	1
spinta acqua	1	Si	Si	1
permanenti platea	1	Si	Si	1
grigliatura	1	Si	Si	1
QFissi Solai	1	Si	Si	1
Muro esterno	1	Si	Si	1
neve	1	No	No	1
muratura	1	Si	No	1

Combinazione n° 10: **SISMAX_SLD**
 Tipo: Modale SLE
 Spettro: SpettroNT_ 2018
 Fattore sisma: 1.00
 Angolo ingresso sisma [°]: 90
 Kmod: 1.00

Condizione di carico	Fattore di combinazione	Attiva	Massa	Fattore massa
Peso Proprio	1	Si	Si	1
Spinta Terreno	1	Si	Si	1
accidentali	0.2	Si	Si	1
QP Solai	1	Si	Si	1
QV Solai	1	Si	No	1
QV SolaiPsi0	1	Si	No	1
QV SolaiPsi1	1	Si	Si	1
QV SolaiPsi2	1	Si	Si	1
spinta acqua	1	Si	Si	1
permanenti platea	1	Si	Si	1

Condizione di carico	Fattore di combinazione	Attiva	Massa	Fattore massa
grigliatura	1	Si	Si	1
QFissi Solai	1	Si	Si	1
Muro esterno	1	Si	Si	1
neve	1	Si	No	1
muratura	1	Si	No	1

Codice di calcolo impiegato

Autori:	dott. ing. Dario PICA prof. ing. Paolo BISEGNA dott. ing. Donato Sista
Produzione e distribuzione	SOFT.LAB srl via Borgo II - 82030 PONTE (BN) tel. ++39 (824) 874392 fax ++39 (824) 874431 internet: http://www.soft.lab.it e.mail: info@soft.lab.it
Sigla:	IperSpaceBIM 6.0.3
Licenza n.	Concesso in licenza a NACCI FRANCO codice utente C04936

Il modello di calcolo assunto è di tipo spaziale e l'analisi condotta è una Analisi Elastica Lineare. Il modello di calcolo è definito dalla posizione dei nodi collegati da elementi di tipo Beam o elementi di tipo shell, a comportamento sia flessionale che membranale; l'elemento finito shell utilizzato è anche in grado di esprimere una rigidità rotazionale in direzione ortogonale al suo piano. L'analisi sismica utilizzata è l'analisi modale con Combinazione Quadratica Completa degli effetti del sisma. Il modello è stato analizzato sia per le combinazioni dei carichi verticali sia per le combinazioni di carico verticale e sisma. Un particolare chiarimento richiede la definizione delle masse nell'analisi sismica. Pur avendo considerato il modello con impalcati rigidi non si rende necessario calcolare il modello con la metodologia del **MASTER-SLAVE**, in quanto gli impalcati rigidi sono stati modellati con elementi di tipo shell a comportamento membranale in corrispondenza dei campi di solaio. Per ottenere tale modellazione il programma inserisce in automatico elementi di tipo shell a comportamento membranale in corrispondenza del campo di solaio intercluso tra una maglia di travi; la loro rigidità membranale è sufficientemente alta da rendere il campo di solaio rigido nel proprio piano, ma tale da non condizionare in modo errato la matrice di rigidità della struttura. Qualora una maglia di travi non sia collegata da solai, lo shell non viene inserito rendendo tale campo libero di deformarsi con il solo vincolo dato dalle travi; la rigidità flessionale delle travi è trascurabile rispetto a quella degli elementi che contornano il campo, per cui lo shell impone un vincolo orizzontale solo nel piano dell'impalcato tra i nodi collegati; pertanto, non è necessario definire preventivamente il centro di massa e momento d'inerzia delle masse poiché le masse sono trasferite direttamente nei nodi del modello (modello Lumped Mass) dal codice di calcolo. Il metodo per calcolare le masse nei nodi può essere quello per aree di influenza, ma questo richiederebbe l'intervento diretto dell'operatore; il codice di calcolo utilizza una metodologia leggermente più raffinata per tener conto del fatto che su un elemento il carico portato non è uniforme. Il codice di calcolo, infatti, considera i carichi presenti sull'asta, che sono stati indicati come quelli che contribuiscono alla formazione della massa (tipicamente $G + W_2Q$) e calcola le reazioni di incastro perfetto verticali; tali reazioni divise per l'accelerazione di gravità g forniscono il contributo dell'elemento alla determinazione della massa del nodo e, sommando i contributi di tutti gli elementi che convergono nel nodo, si ottiene la massa complessiva. Per gli elementi shell invece si utilizza il metodo delle aree di influenza: in ognuno dei 3 oppure 4 nodi che definiscono lo shell si assegna $\frac{1}{3}$ oppure $\frac{1}{4}$ del peso dell'elemento shell e $\frac{1}{3}$ oppure $\frac{1}{4}$ dell'eventuale carico variabile ridotto; sommando i contributi di tutti gli shell che convergono nel nodo si ottiene la massa da assegnare a quest'ultimo.

Verifica degli elementi strutturali

Le verifiche di resistenza degli elementi sono condotte considerando le sollecitazioni di calcolo ed imponendo che le resistenze siano superiori alle azioni. Gli elementi sono verificati e/o progettati applicando la gerarchia delle resistenze, in particolare la gerarchia flessione-taglio per la verifica/progetto dell'elemento e la gerarchia pilastro-trave per la determinazione delle resistenze del pilastro.

I criteri di verifica sono una raccolta di parametri usati in fase di verifica secondo le esigenze strutturali; ognuno di essi contiene i dati per tutti gli elementi; è sottinteso che nella verifica di un elemento (es. trave) non sono presi in considerazione i dati relativi agli altri elementi (ad es. se si verifica una trave non sono presi in considerazione i dati relativi a pilastri e shell, così come se si esegue una verifica agli SLU non sono presi in considerazione i dati relativi agli SLE). Ogni criterio di verifica è identificato da un nome a scelta dell'operatore, per cui nei tabulati di verifica il nome del criterio ne identifica i parametri usati.

Riguardo alle verifiche agli SLU le resistenze sono determinate in base a quanto specificato dalla norma attraverso il modello plastico-incrudente o elastico-perfettamente plastico. La verifica consiste nel controllare che, assegnate le sollecitazioni, le deformazioni massime nel calcestruzzo e nell'acciaio siano inferiori a quelle ultime; ciò equivale ad affermare che nello spazio tridimensionale N, M_y, M_z il punto rappresentativo delle sollecitazioni è interno al dominio di resistenza della sezione.

Le verifiche agli SLE riguardano le verifiche di:

- deformabilità degli impalcati con $\delta \leq 0.0050 \cdot h$;
- fessurazione;
- tensioni in esercizio.

	POTENZIAMENTO DELL'IMPIANTO DI DEPURAZIONE E DEL RECAPITO FINALE DI SQUINZANO (LE) PROGETTO DEFINITIVO Tabulati di calcolo strutturale-Edificio Grigliatura <u>Grossolana</u>	R.37.11
		Maggio 2021
		Pagina 8 di 183

Criteri di verifica

CLS Pilastri		
Generici		
Resistenza caratteristica Rck	kg/cmq	450
Tensione caratteristica snervamento acciaio barre fyk	kg/cmq	4500
Tensione caratteristica snervamento acciaio staffe fyk	kg/cmq	4500
Deformazione unitaria ϵ_{c0}		0.002
Deformazione ultima ϵ_{cu}		0.0035
ϵ_{fu} (solo incrudimento)		0.01
Modulo elastico E acciaio	kg/cmq	2E06
Copriferro di calcolo	cm	6.1
Copriferro di disegno	cm	4.5
Coefficiente di sicurezza γ_{ClS}		1.5
Coefficiente di sicurezza γ_{Acc}		1.15
Riduzione fcd calcestruzzo		0.85
Usa staffe minime di normativa in assenza di sisma		Si
Usa staffe minime di normativa in presenza di sisma		Si
Generici N.T.		
Inclinazione bielle compresse $\cotg(\theta)$		1.00
Modello acciaio		Elasto-plastico
Elemento esistente		No
Sforzo normale ammissibile v_{max} (CDA)		0.550
Sforzo normale ammissibile v_{max} (CDB)		0.650
Generici D.M. 96 T.A.		
Tensione ammissibile σ_c	kg/cmq	135.0
Tensione ammissibile σ_c in trazione	kg/cmq	28.6
Tensione ammissibile σ_c acciaio	kg/cmq	2600.0
Tensione tangenziale ammissibile τ_{c0}	kg/cmq	8.0
Tensione tangenziale massima τ_{c1}	kg/cmq	22.6
Coefficiente di omogeneizzazione n		15
Coefficiente di omogeneizzazione n in trazione		0.5
Sezione interamente reagente		No
Fessurazioni		
Verifica a decompressione		No
Verifica formazione fessure		No
Verifica aperture fessure		Si
Classe di esposizione		XA2
Tipo armatura		Poco sensibile
Combinazione Rara		No
Combinazione QP		Si
W ammissibile Combinazione QP	mm	0.200
Combinazione Freq.		Si
W ammissibile Combinazione Freq.	mm	0.300
Valore caratteristico apertura fessure $w_k(*w_m)$		1
Resistenza media a trazione f_{ctm}	kg/cmq	33.52
Coefficiente di breve o lunga durata k_t		0.40
Coefficiente di aderenza k_l		0.80
Tensioni ammissibili di esercizio		
Verifica Combinazione Rara		Si
Tensione ammissibile σ_{ClS}	kg/cmq	224
Tensione ammissibile $\sigma_{Acciaio}$	kg/cmq	3600
Verifica Combinazione QP		Si
Tensione ammissibile σ_{ClS}	kg/cmq	168
Tensione ammissibile $\sigma_{Acciaio}$	kg/cmq	3600
Verifica Combinazione Freq.		No
Coefficienti di omogeneizzazione		
Acciaio - Cls compresso		15
Cls teso - Cls compresso		0.5
Armatura pilastri		
Massimo numero di ferri in ogni spigolo		1
Diametro ferri di spigolo	mm	20
Diametro ferri laterali	mm	20
Diametro staffe	mm	8
Numero braccia staffe lato lungo		2
Minima percentuale armatura rispetto al Cls	%	1.00
Massima percentuale armatura rispetto al Cls	%	4.00
Verifica pilastri		
Verifica a carico di punta		No
Verifica a pressoflessione deviata		Si
Verifica come pareti		No
Verifica Duttilità N.T. 2018		

Verifica di duttilità		NO
Fattore confinamento minimo		1.000
Calcolo Fattore confinamento		NO
Verifica N.T. pilastri		
Verifica pilastri tozzi		SI
Gerarchia Flessione-Taglio		SI
Verifica a taglio pilastri		
Effetto spinotto		SI
Traslazione momento		SI
Considera la resistenza a taglio VRDns		NO
Verifica a taglio pilastri DM 3274/DM96		
Coefficiente di amplificazione γ_{Rd}		1.2
Sforzo normale ammissibile v_{max}		0.8
Effetto della pressoflessione		SI
Verifica a taglio N.T. pilastri		
γ_{Rd} (CDA) Pressoflessione		1.3
γ_{Rd} (CDB) Pressoflessione		1.3
γ_{Rd} (CDA) Taglio		1.3
γ_{Rd} (CDB) Taglio		1.1
Verifica Nodi secondo EC8		SI
Stampa pilastri		
Informazioni sollecitazioni di verifica		No
Verifica per tutte le combinazioni di carico		No
Fattori di amplificazione		No
Gerarchia delle resistenze pilastri		
Direzione Y		SI
Direzione Z		SI

CLS TraviAlte		
Generici		
Resistenza caratteristica R_{ck}	kg/cm ²	450
Tensione caratteristica snervamento acciaio barre f_{yk}	kg/cm ²	4500
Tensione caratteristica snervamento acciaio staffe f_{yk}	kg/cm ²	4500
Deformazione unitaria ϵ_{c0}		0.002
Deformazione ultima ϵ_{cu}		0.0035
ϵ_{fu} (solo incrudimento)		0.01
Modulo elastico E acciaio	kg/cm ²	2E06
Copriferro di calcolo	cm	6.1
Copriferro di disegno	cm	5.0
Coefficiente di sicurezza γ_{ClS}		1.5
Coefficiente di sicurezza γ_{Acc}		1.15
Riduzione f_{cd} calcestruzzo		0.85
Usa staffe minime di normativa in assenza di sisma		SI
Usa staffe minime di normativa in presenza di sisma		SI
Generici N.T.		
Inclinazione bielle compresse $\cotg(\theta)$		1.00
Modello acciaio		Elasto-plastico
Elemento esistente		No
Generici D.M. 96 T.A.		
Tensione ammissibile σ_c	kg/cm ²	135.0
Tensione ammissibile σ_c in trazione	kg/cm ²	28.6
Tensione ammissibile σ_c acciaio	kg/cm ²	2600.0
Tensione tangenziale ammissibile τ_{c0}	kg/cm ²	8.0
Tensione tangenziale massima τ_{c1}	kg/cm ²	22.6
Coefficiente di omogeneizzazione n		15
Coefficiente di omogeneizzazione n in trazione		0.5
Sezione interamente reagente		No
Fessurazioni		
Verifica a decompressione		No
Verifica formazione fessure		No
Verifica aperture fessure		SI
Classe di esposizione		XA2
Tipo armatura		Poco sensibile
Combinazione Rara		No
Combinazione QP		SI
W ammissibile Combinazione QP	mm	0.200
Combinazione Freq.		SI
W ammissibile Combinazione Freq.	mm	0.300
Valore caratteristico apertura fessure $w_k(*w_m)$		1
Resistenza media a trazione f_{ctm}	kg/cm ²	33.52
Coefficiente di breve o lunga durata k_t		0.40
Coefficiente di aderenza k_l		0.80

Tensioni ammissibili di esercizio		
Verifica Combinazione Rara		Si
Tensione ammissibile σ_{Cl}	kg/cm ²	224
Tensione ammissibile $\sigma_{Acciaio}$	kg/cm ²	3600
Verifica Combinazione QP		Si
Tensione ammissibile σ_{Cl}	kg/cm ²	168
Tensione ammissibile $\sigma_{Acciaio}$	kg/cm ²	3600
Verifica Combinazione Freq.		No
Coefficienti di omogeneizzazione		
Acciaio - Cls compresso		15
Cls teso - Cls compresso		0.5
Armatura travi		
Numero di bracci delle staffe		2
Numero minimo di ferri superiori		2
Numero minimo di ferri inferiori		2
Numero minimo di ferri di parete		1
Numero reggistaffe superiori		0
Numero reggistaffe intermedi		0
Numero reggistaffe inferiori		0
Diametro ferri superiori	mm	16
Diametro ferri inferiori	mm	16
Diametro staffe	mm	8
Percentuale armatura rispetto alla base per verifica a taglio	%	100.00
Minima percentuale armatura compressa rispetto alla tesa	%	50.00
Minima percentuale armatura rispetto al Cls	%	0.31
Massima percentuale armatura rispetto al Cls	%	1.55
Calcolo travi		
Traslazione momento		Si
Verifica travi		
Verifica a torsione		No
Verifica a pressoflessione retta		No
Trave a spessore		No
Verifica N.T. travi		
Trave tozza		Si
Gerarchia Flessione-Taglio		Si
Escludi dalla gerarchia trave-pilastro		No
Verifica a taglio DM 3274 travi		
Coefficiente di sovra resistenza γ_{Rd}		1.2
Includi effetto della pressoflessione nel taglio		Si
Verifica a taglio N.T. travi		
Includi effetto spinotto nel taglio		Si
Considera la resistenza a taglio VRDns		NO
Coefficiente di sovra resistenza γ_{Rd} (CDA)		1.2
Coefficiente di sovra resistenza γ_{Rd} (CDB)		1.1
Verifica Duttibilità N.T. 2018		
Verifica di duttilità		NO
Fattore confinamento minimo		1.000
Calcolo Fattore confinamento		NO
Verifica a taglio D.M. 96 T.A. travi		
Percentuale taglio alle staffe	%	60
Percentuale taglio ferri parete	%	40
Stampa travi		
Stampa informazioni relative all'asse neutro		Si

CLS Muri ND		
Generici		
Resistenza caratteristica Rck	kg/cm ²	450
Tensione caratteristica snervamento acciaio barre fyk	kg/cm ²	4500
Tensione caratteristica snervamento acciaio staffe fyk	kg/cm ²	4500
Deformazione unitaria ϵ_{c0}		0.002
Deformazione ultima ϵ_{cu}		0.0022
ϵ_{fu} (solo incrudimento)		0.002
Modulo elastico E acciaio	kg/cm ²	2E06
Copriferro di calcolo	cm	5.0
Copriferro di disegno	cm	5.0
Coefficiente di sicurezza γ_{Cl}		1.5
Coefficiente di sicurezza γ_{Acc}		1.15
Riduzione fcd calcestruzzo		0.85
Usa staffe minime di normativa in assenza di sisma		Si
Usa staffe minime di normativa in presenza di sisma		No
Generici N.T.		
Inclinazione bielle compresse $\cotg(\theta)$		1.00
Modello acciaio		Incrudente

Incrudimento Ey/E0		0.000
Elemento esistente		No
Generici D.M. 96 T.A.		
Tensione ammissibile σ_c	kg/cmq	135.0
Tensione ammissibile σ_c in trazione	kg/cmq	40.2
Tensione ammissibile σ_c acciaio	kg/cmq	2600.0
Tensione tangenziale ammissibile τ_{c0}	kg/cmq	8.0
Tensione tangenziale massima τ_{c1}	kg/cmq	22.6
Coefficiente di omogeneizzazione n		15
Coefficiente di omogeneizzazione n in trazione		0.5
Sezione interamente reagente		No
Fessurazioni		
Verifica a decompressione		No
Verifica formazione fessure		No
Verifica aperture fessure		Si
Classe di esposizione		XA2
Tipo armatura		Poco sensibile
Combinazione Rara		No
Combinazione QP		Si
W ammissibile Combinazione QP	mm	0.200
Combinazione Freq.		Si
W ammissibile Combinazione Freq.	mm	0.300
Valore caratteristico apertura fessure $w_k(*w_m)$		1
Resistenza media a trazione f_{ctm}	kg/cmq	33.52
Coefficiente di breve o lunga durata k_t		0.40
Coefficiente di aderenza k_l		0.80
Tensioni ammissibili di esercizio		
Verifica Combinazione Rara		Si
Tensione ammissibile σ_{Cl}	kg/cmq	224
Tensione ammissibile $\sigma_{Acciaio}$	kg/cmq	3600
Verifica Combinazione QP		Si
Tensione ammissibile σ_{Cl}	kg/cmq	168
Tensione ammissibile $\sigma_{Acciaio}$	kg/cmq	3600
Verifica Combinazione Freq.		No
Coefficienti di omogeneizzazione		
Acciaio - Cls compresso		15
Cls tesoro - Cls compresso		0.5
Armatura muri		
Minima percentuale armatura rispetto al Cls in direzione X	%	0.1
Minima percentuale armatura rispetto al Cls in direzione Y	%	0.1
Massima percentuale armatura rispetto al Cls in direzione X	%	2
Massima percentuale armatura rispetto al Cls in direzione Y	%	2
Verifica muri		
Step incremento armatura	cmq	0.01
Verifica muri come pareti		No

CLS Platee ND		
Generici		
Resistenza caratteristica R_{ck}	kg/cmq	450
Tensione caratteristica snervamento acciaio barre f_{yk}	kg/cmq	4500
Tensione caratteristica snervamento acciaio staffe f_{yk}	kg/cmq	4500
Deformazione unitaria ϵ_{c0}		0.002
Deformazione ultima ϵ_{cu}		0.0022
ϵ_{fu} (solo incrudimento)		0.002
Modulo elastico E acciaio	kg/cmq	2E06
Copriferro di calcolo	cm	5.0
Copriferro di disegno	cm	5.0
Coefficiente di sicurezza γ_{Cl}		1.5
Coefficiente di sicurezza γ_{Acc}		1.15
Riduzione f_{cd} calcestruzzo		0.85
Usa staffe minime di normativa in assenza di sisma		Si
Usa staffe minime di normativa in presenza di sisma		No
Generici N.T.		
Inclinazione bielle compresse $\cotg(\theta)$		1.00
Modello acciaio		Incrudente
Incrudimento Ey/E0		0.000
Elemento esistente		No
Generici D.M. 96 T.A.		
Tensione ammissibile σ_c	kg/cmq	135.0
Tensione ammissibile σ_c in trazione	kg/cmq	40.2
Tensione ammissibile σ_c acciaio	kg/cmq	2600.0
Tensione tangenziale ammissibile τ_{c0}	kg/cmq	8.0

Tensione tangenziale massima τ_{cl}	kg/cmq	22.6
Coefficiente di omogeneizzazione n		15
Coefficiente di omogeneizzazione n in trazione		0.5
Sezione interamente reagente		No
Fessurazioni		
Verifica a decompressione		No
Verifica formazione fessure		No
Verifica aperture fessure		Si
Classe di esposizione		XA2
Tipo armatura		Poco sensibile
Combinazione Rara		No
Combinazione QP		Si
W ammissibile Combinazione QP	mm	0.200
Combinazione Freq.		Si
W ammissibile Combinazione Freq.	mm	0.300
Valore caratteristico apertura fessure $w_k(*w_m)$		1
Resistenza media a trazione f_{ctm}	kg/cmq	33.52
Coefficiente di breve o lunga durata k_t		0.40
Coefficiente di aderenza k_l		0.80
Tensioni ammissibili di esercizio		
Verifica Combinazione Rara		Si
Tensione ammissibile σ_{Cls}	kg/cmq	224
Tensione ammissibile $\sigma_{Acciaio}$	kg/cmq	3600
Verifica Combinazione QP		Si
Tensione ammissibile σ_{Cls}	kg/cmq	168
Tensione ammissibile $\sigma_{Acciaio}$	kg/cmq	3600
Verifica Combinazione Freq.		No
Coefficienti di omogeneizzazione		
Acciaio - Cls compresso		15
Cls tesoro - Cls compresso		0.5
Armatura muri		
Minima percentuale armatura rispetto al Cls in direzione X	%	0.1
Minima percentuale armatura rispetto al Cls in direzione Y	%	0.1
Massima percentuale armatura rispetto al Cls in direzione X	%	2
Massima percentuale armatura rispetto al Cls in direzione Y	%	2
Verifica muri		
Step incremento armatura	cmq	0.01
Verifica muri come pareti		No

Risultati Analisi Dinamica - Statistiche matrice di rigidezza

Scenario di calcolo: **ScenarioNT_2018 A2_SLV_SLD_STR_GEO**

Minimo della diagonale	8.252698e+04
Massimo della diagonale	1.956340e+13
Rapporto Max/Min	2.370546e+08
Media della diagonale	3.830472e+10
Densità	1.764809e-01

Dati generali

Nome struttura	
Fattore rigidezza assiale pilastri	10
Numero di frequenze	15
% Filtro masse libere	0.1
% Coefficiente di smorzamento viscoso	5
Spostamenti modali con segno	Si
Deformabilità a taglio delle aste	Si
Spostamento ammissibile impalcanti	0.0050*h

Impalcanti

N°	Quota	Rigido	Incr.Soll.Pil	Inc.Soll.Par.
	m	m		
0	-5.97	Si	1.000	1.000
1	-3.97	Si	1.000	1.000
2	-2.12	Si	1.000	1.000
3	-1.55	Si	1.000	1.000
4	0.00	No	1.000	1.000
5	0.48	Si	1.000	1.000
6	5.40	Si	1.000	1.000
7	5.90	Si	1.000	1.000

Percentuali Spostamento masse impalcati

Posizione	% Spostamento direzione X	% Spostamento direzione Y
1	0	-5
2	5	0
3	0	5
4	-5	0

Combinazioni del Sisma in X e Y e Verticale

Comb.	Pos. SismaX	Pos. SismaY	Fx	Fy	Fz
1	1	2	1	0.3	0
2	1	2	0.3	1	0
3	1	4	1	0.3	0
4	1	4	0.3	1	0
5	3	2	1	0.3	0
6	3	2	0.3	1	0
7	3	4	1	0.3	0
8	3	4	0.3	1	0

Nodi - Geometria e vincoli

Nodo	X	Y	Z	Tx	Ty	Tz	Rx	Ry	Rz	Impalcato
		Coordinate [m]		Vincoli						
72	2.08	9.23	-5.97	1	1	0	0	0	1	0
73	3.60	9.23	-5.97	1	1	0	0	0	1	0
74	5.35	9.23	-5.97	1	1	0	0	0	1	0
75	7.10	9.23	-5.97	1	1	0	0	0	1	0
77	10.15	9.23	-5.97	1	1	0	0	0	1	0
78	2.08	10.79	-5.97	1	1	0	0	0	1	0
82	10.15	10.79	-5.97	1	1	0	0	0	1	0
86	2.08	12.15	-5.97	1	1	0	0	0	1	0
87	3.60	12.15	-5.97	0	0	0	0	0	0	0
88	5.35	12.15	-5.97	0	0	0	0	0	0	0
89	7.10	12.15	-5.97	0	0	0	0	0	0	0
90	10.15	12.15	-5.97	1	1	0	0	0	1	0
1021	5.16	0.58	-3.97	1	1	0	0	0	1	1
1022	6.52	0.58	-3.97	1	1	0	0	0	1	1
1023	7.73	0.58	-3.97	1	1	0	0	0	1	1
1024	8.94	0.58	-3.97	1	1	0	0	0	1	1
1025	10.15	0.58	-3.97	1	1	0	0	0	1	1
1029	2.08	1.88	-3.97	1	1	0	0	0	1	1
1030	5.16	1.88	-3.97	1	1	0	0	0	1	1
1031	6.52	1.88	-3.97	1	1	0	0	0	1	1
1032	7.73	1.88	-3.97	1	1	0	0	0	1	1
1033	8.94	1.88	-3.97	1	1	0	0	0	1	1
1035	2.08	2.94	-3.97	1	1	0	0	0	1	1
1036	5.69	2.94	-3.97	1	1	0	0	0	1	1
1037	7.39	2.94	-3.97	1	1	0	0	0	1	1
1043	10.15	3.60	-3.97	1	1	0	0	0	1	1
1047	2.08	4.68	-3.97	1	1	0	0	0	1	1
1048	5.69	4.68	-3.97	1	1	0	0	0	1	1
1049	7.39	4.68	-3.97	1	1	0	0	0	1	1
1051	2.08	6.42	-3.97	1	1	0	0	0	1	1
1052	5.69	6.42	-3.97	1	1	0	0	0	1	1
1053	7.39	6.42	-3.97	1	1	0	0	0	1	1
1054	8.94	6.42	-3.97	1	1	0	0	0	1	1
1062	10.15	8.10	-3.97	1	1	0	0	0	1	1
1067	2.08	8.16	-3.97	1	1	0	0	0	1	1
1068	5.69	8.16	-3.97	1	1	0	0	0	1	1
1069	7.39	8.16	-3.97	1	1	0	0	0	1	1
1070	8.94	8.16	-3.97	1	1	0	0	0	1	1
1072	2.08	9.23	-3.97	1	1	0	0	0	1	1
1073	3.60	9.23	-3.97	0	0	0	0	0	0	1
1074	5.35	9.23	-3.97	0	0	0	0	0	0	1
1075	7.10	9.23	-3.97	0	0	0	0	0	0	1
1076	8.94	9.23	-3.97	1	1	0	0	0	1	1
1077	10.15	9.23	-3.97	1	1	0	0	0	1	1
1078	2.08	10.79	-3.97	0	0	0	0	0	0	1
1082	10.15	10.79	-3.97	0	0	0	0	0	0	1
1086	2.08	12.15	-3.97	0	0	0	0	0	0	1
1087	3.60	12.15	-3.97	0	0	0	0	0	0	1
1088	5.35	12.15	-3.97	0	0	0	0	0	0	1
1089	7.10	12.15	-3.97	0	0	0	0	0	0	1
1090	10.15	12.15	-3.97	0	0	0	0	0	0	1
2021	5.16	0.58	-2.12	0	0	0	0	0	0	2

Nodo	X	Y	Z	Tx	Ty	Tz	Rx	Ry	Rz	Impalcato
2022	6.52	0.58	-2.12	0	0	0	0	0	0	2
2023	7.73	0.58	-2.12	0	0	0	0	0	0	2
2024	8.94	0.58	-2.12	0	0	0	0	0	0	2
2025	10.15	0.58	-2.12	0	0	0	0	0	0	2
2029	2.08	1.88	-2.12	0	0	0	0	0	0	2
2030	5.16	1.88	-2.12	0	0	0	0	0	0	2
2031	6.52	1.88	-2.12	0	0	0	0	0	0	2
2032	7.73	1.88	-2.12	0	0	0	0	0	0	2
2033	8.94	1.88	-2.12	0	0	0	0	0	0	2
2035	2.08	2.94	-2.12	0	0	0	0	0	0	2
2036	5.69	2.94	-2.12	0	0	0	0	0	0	2
2037	7.39	2.94	-2.12	0	0	0	0	0	0	2
2043	10.15	3.60	-2.12	0	0	0	0	0	0	2
2047	2.08	4.68	-2.12	0	0	0	0	0	0	2
2048	5.69	4.68	-2.12	0	0	0	0	0	0	2
2049	7.39	4.68	-2.12	0	0	0	0	0	0	2
2051	2.08	6.42	-2.12	0	0	0	0	0	0	2
2052	5.69	6.42	-2.12	0	0	0	0	0	0	2
2053	7.39	6.42	-2.12	0	0	0	0	0	0	2
2054	8.94	6.42	-2.12	0	0	0	0	0	0	2
2062	10.15	8.10	-2.12	0	0	0	0	0	0	2
2067	2.08	8.16	-2.12	0	0	0	0	0	0	2
2068	5.69	8.16	-2.12	0	0	0	0	0	0	2
2069	7.39	8.16	-2.12	0	0	0	0	0	0	2
2070	8.94	8.16	-2.12	0	0	0	0	0	0	2
2072	2.08	9.23	-2.12	0	0	0	0	0	0	2
2073	3.60	9.23	-2.12	0	0	0	0	0	0	2
2074	5.35	9.23	-2.12	0	0	0	0	0	0	2
2075	7.10	9.23	-2.12	0	0	0	0	0	0	2
2076	8.94	9.23	-2.12	0	0	0	0	0	0	2
2077	10.15	9.23	-2.12	0	0	0	0	0	0	2
2078	2.08	10.79	-2.12	0	0	0	0	0	0	2
2082	10.15	10.79	-2.12	0	0	0	0	0	0	2
2086	2.08	12.15	-2.12	0	0	0	0	0	0	2
2087	3.60	12.15	-2.12	0	0	0	0	0	0	2
2088	5.35	12.15	-2.12	0	0	0	0	0	0	2
2089	7.10	12.15	-2.12	0	0	0	0	0	0	2
2090	10.15	12.15	-2.12	0	0	0	0	0	0	2
3021	5.16	0.58	-1.55	0	0	0	0	0	0	3
3022	6.52	0.58	-1.55	0	0	0	0	0	0	3
3023	7.73	0.58	-1.55	0	0	0	0	0	0	3
3024	8.94	0.58	-1.55	0	0	0	0	0	0	3
3025	10.15	0.58	-1.55	0	0	0	0	0	0	3
3029	2.08	1.88	-1.55	0	0	0	0	0	0	3
3030	5.16	1.88	-1.55	0	0	0	0	0	0	3
3031	6.52	1.88	-1.55	0	0	0	0	0	0	3
3032	7.73	1.88	-1.55	0	0	0	0	0	0	3
3033	8.94	1.88	-1.55	0	0	0	0	0	0	3
3035	2.08	2.94	-1.55	0	0	0	0	0	0	3
3036	5.69	2.94	-1.55	0	0	0	0	0	0	3
3037	7.39	2.94	-1.55	0	0	0	0	0	0	3
3043	10.15	3.60	-1.55	0	0	0	0	0	0	3
3047	2.08	4.68	-1.55	0	0	0	0	0	0	3
3048	5.69	4.68	-1.55	0	0	0	0	0	0	3
3049	7.39	4.68	-1.55	0	0	0	0	0	0	3
3051	2.08	6.42	-1.55	0	0	0	0	0	0	3
3052	5.69	6.42	-1.55	0	0	0	0	0	0	3
3053	7.39	6.42	-1.55	0	0	0	0	0	0	3
3054	8.94	6.42	-1.55	0	0	0	0	0	0	3
3062	10.15	8.10	-1.55	0	0	0	0	0	0	3
3067	2.08	8.16	-1.55	0	0	0	0	0	0	3
3068	5.69	8.16	-1.55	0	0	0	0	0	0	3
3069	7.39	8.16	-1.55	0	0	0	0	0	0	3
3070	8.94	8.16	-1.55	0	0	0	0	0	0	3
3072	2.08	9.23	-1.55	0	0	0	0	0	0	3
3073	3.60	9.23	-1.55	0	0	0	0	0	0	3
3074	5.35	9.23	-1.55	0	0	0	0	0	0	3
3075	7.10	9.23	-1.55	0	0	0	0	0	0	3
3076	8.94	9.23	-1.55	0	0	0	0	0	0	3
3077	10.15	9.23	-1.55	0	0	0	0	0	0	3
3078	2.08	10.79	-1.55	0	0	0	0	0	0	3
3082	10.15	10.79	-1.55	0	0	0	0	0	0	3
3086	2.08	12.15	-1.55	0	0	0	0	0	0	3
3087	3.60	12.15	-1.55	0	0	0	0	0	0	3
3088	5.35	12.15	-1.55	0	0	0	0	0	0	3

Nodo	X	Y	Z	Tx	Ty	Tz	Rx	Ry	Rz	Impalcato
3089	7.10	12.15	-1.55	0	0	0	0	0	0	3
3090	10.15	12.15	-1.55	0	0	0	0	0	0	3
3118	2.08	1.88	-0.57	0	0	0	0	0	0	-1
3119	5.16	1.88	-0.57	1	1	0	0	0	1	-1
4001	-0.50	-0.50	0.00	1	1	0	0	0	1	4
4002	0.00	-0.50	0.00	1	1	0	0	0	1	4
4003	5.08	-0.50	0.00	1	1	0	0	0	1	4
4004	8.00	-0.50	0.00	1	1	0	0	0	1	4
4005	10.15	-0.50	0.00	1	1	0	0	0	1	4
4006	10.65	-0.50	0.00	1	1	0	0	0	1	4
4012	-0.50	0.00	0.00	1	1	0	0	0	1	4
4014	0.00	0.00	0.00	1	1	0	0	0	1	4
4015	5.08	0.00	0.00	1	1	0	0	0	1	4
4016	8.00	0.00	0.00	1	1	0	0	0	1	4
4017	10.15	0.00	0.00	1	1	0	0	0	1	4
4019	10.65	0.00	0.00	1	1	0	0	0	1	4
4020	4.96	0.58	0.00	0	0	0	0	0	0	4
4021	5.16	0.58	0.00	0	0	0	0	0	0	4
4022	6.52	0.58	0.00	0	0	0	0	0	0	4
4023	7.73	0.58	0.00	0	0	0	0	0	0	4
4024	8.94	0.58	0.00	0	0	0	0	0	0	4
4025	10.15	0.58	0.00	0	0	0	0	0	0	4
4026	2.88	0.68	0.00	1	1	0	0	0	1	4
4027	1.88	1.68	0.00	1	1	0	0	0	1	4
4028	4.96	1.68	0.00	0	0	0	0	0	0	4
4029	2.08	1.88	0.00	0	0	0	0	0	0	4
4030	5.16	1.88	0.00	0	0	0	0	0	0	4
4031	6.52	1.88	0.00	0	0	0	0	0	0	4
4032	7.73	1.88	0.00	0	0	0	0	0	0	4
4033	8.94	1.88	0.00	1	1	0	0	0	1	4
4034	1.88	2.94	0.00	1	1	0	0	0	1	4
4035	2.08	2.94	0.00	0	0	0	0	0	0	4
4038	-0.50	3.60	0.00	1	1	0	0	0	1	4
4040	0.00	3.60	0.00	1	1	0	0	0	1	4
4043	10.15	3.60	0.00	1	1	0	0	0	1	4
4045	10.65	3.60	0.00	1	1	0	0	0	1	4
4046	1.88	4.68	0.00	1	1	0	0	0	1	4
4047	2.08	4.68	0.00	0	0	0	0	0	0	4
4050	1.88	6.42	0.00	1	1	0	0	0	1	4
4051	2.08	6.42	0.00	0	0	0	0	0	0	4
4054	8.94	6.42	0.00	1	1	0	0	0	1	4
4057	-0.50	8.10	0.00	1	1	0	0	0	1	4
4059	0.00	8.10	0.00	1	1	0	0	0	1	4
4062	10.15	8.10	0.00	1	1	0	0	0	1	4
4064	10.65	8.10	0.00	1	1	0	0	0	1	4
4065	1.00	8.16	0.00	1	1	0	0	0	1	4
4066	1.88	8.16	0.00	1	1	0	0	0	1	4
4067	2.08	8.16	0.00	0	0	0	0	0	0	4
4070	8.94	8.16	0.00	1	1	0	0	0	1	4
4071	1.88	9.00	0.00	1	1	0	0	0	1	4
4072	2.08	9.23	0.00	0	0	0	0	0	0	4
4076	8.94	9.23	0.00	1	1	0	0	0	1	4
4077	10.15	9.23	0.00	1	1	0	0	0	1	4
4078	2.08	10.79	0.00	0	0	0	0	0	0	4
4082	10.15	10.79	0.00	1	1	0	0	0	1	4
4083	-0.50	12.15	0.00	1	1	0	0	0	1	4
4085	0.00	12.15	0.00	1	1	0	0	0	1	4
4086	2.08	12.15	0.00	0	0	0	0	0	0	4
4087	3.60	12.15	0.00	0	0	0	0	0	0	4
4088	5.35	12.15	0.00	0	0	0	0	0	0	4
4089	7.10	12.15	0.00	0	0	0	0	0	0	4
4090	10.15	12.15	0.00	1	1	0	0	0	1	4
4092	10.65	12.15	0.00	1	1	0	0	0	1	4
4093	1.88	12.35	0.00	1	1	0	0	0	1	4
4094	3.60	12.35	0.00	1	1	0	0	0	1	4
4095	5.35	12.35	0.00	1	1	0	0	0	1	4
4096	7.10	12.35	0.00	1	1	0	0	0	1	4
4097	10.15	12.35	0.00	0	0	0	0	0	0	4
4098	-0.50	16.15	0.00	1	1	0	0	0	1	4
4100	0.00	16.15	0.00	1	1	0	0	0	1	4
4101	3.90	16.15	0.00	1	1	0	0	0	1	4
4102	5.08	16.15	0.00	1	1	0	0	0	1	4
4103	8.00	16.15	0.00	1	1	0	0	0	1	4
4104	10.15	16.15	0.00	1	1	0	0	0	1	4
4106	10.65	16.15	0.00	1	1	0	0	0	1	4

Nodo	X	Y	Z	Tx	Ty	Tz	Rx	Ry	Rz	Impalcato
4112	-0.50	16.65	0.00	1	1	0	0	0	1	4
4113	0.00	16.65	0.00	1	1	0	0	0	1	4
4114	3.90	16.65	0.00	1	1	0	0	0	1	4
4115	8.00	16.65	0.00	1	1	0	0	0	1	4
4116	10.15	16.65	0.00	1	1	0	0	0	1	4
4117	10.65	16.65	0.00	1	1	0	0	0	1	4
5021	5.16	0.58	0.48	0	0	0	0	0	0	5
5022	6.52	0.58	0.48	0	0	0	0	0	0	5
5023	7.73	0.58	0.48	0	0	0	0	0	0	5
5024	8.94	0.58	0.48	0	0	0	0	0	0	5
5025	10.15	0.58	0.48	0	0	0	0	0	0	5
5029	2.08	1.88	0.48	0	0	0	0	0	0	5
5030	5.16	1.88	0.48	0	0	0	0	0	0	5
5031	6.52	1.88	0.48	0	0	0	0	0	0	5
5032	7.73	1.88	0.48	0	0	0	0	0	0	5
5033	8.94	1.88	0.48	0	0	0	0	0	0	5
5035	2.08	2.94	0.48	0	0	0	0	0	0	5
5043	10.15	3.60	0.48	0	0	0	0	0	0	5
5047	2.08	4.68	0.48	0	0	0	0	0	0	5
5051	2.08	6.42	0.48	0	0	0	0	0	0	5
5054	8.94	6.42	0.48	0	0	0	0	0	0	5
5062	10.15	8.10	0.48	0	0	0	0	0	0	5
5067	2.08	8.16	0.48	0	0	0	0	0	0	5
5070	8.94	8.16	0.48	0	0	0	0	0	0	5
5072	2.08	9.23	0.48	0	0	0	0	0	0	5
5076	8.94	9.23	0.48	0	0	0	0	0	0	5
5077	10.15	9.23	0.48	0	0	0	0	0	0	5
5078	2.08	10.79	0.48	0	0	0	0	0	0	5
5079	3.60	10.79	0.48	0	0	0	0	0	0	5
5080	5.35	10.79	0.48	0	0	0	0	0	0	5
5081	7.10	10.79	0.48	0	0	0	0	0	0	5
5082	10.15	10.79	0.48	0	0	0	0	0	0	5
5086	2.08	12.15	0.48	0	0	0	0	0	0	5
5087	3.60	12.15	0.48	0	0	0	0	0	0	5
5088	5.35	12.15	0.48	0	0	0	0	0	0	5
5089	7.10	12.15	0.48	0	0	0	0	0	0	5
5090	10.15	12.15	0.48	0	0	0	0	0	0	5
6007	-0.30	-0.30	5.40	0	0	0	0	0	0	6
6008	0.00	-0.30	5.40	0	0	0	0	0	0	6
6009	5.08	-0.30	5.40	0	0	0	0	0	0	6
6010	10.15	-0.30	5.40	0	0	0	0	0	0	6
6011	10.45	-0.30	5.40	0	0	0	0	0	0	6
6013	-0.30	0.00	5.40	0	0	0	0	0	0	6
6014	0.00	0.00	5.40	0	0	0	0	0	0	6
6015	5.08	0.00	5.40	0	0	0	0	0	0	6
6017	10.15	0.00	5.40	0	0	0	0	0	0	6
6018	10.45	0.00	5.40	0	0	0	0	0	0	6
6039	-0.30	3.60	5.40	0	0	0	0	0	0	6
6040	0.00	3.60	5.40	0	0	0	0	0	0	6
6041	3.97	3.60	5.40	0	0	0	0	0	0	6
6042	6.97	3.60	5.40	0	0	0	0	0	0	6
6043	10.15	3.60	5.40	0	0	0	0	0	0	6
6044	10.45	3.60	5.40	0	0	0	0	0	0	6
6055	3.97	6.85	5.40	0	0	0	0	0	0	6
6056	6.97	6.85	5.40	0	0	0	0	0	0	6
6058	-0.30	8.10	5.40	0	0	0	0	0	0	6
6059	0.00	8.10	5.40	0	0	0	0	0	0	6
6060	3.97	8.10	5.40	0	0	0	0	0	0	6
6061	6.97	8.10	5.40	0	0	0	0	0	0	6
6062	10.15	8.10	5.40	0	0	0	0	0	0	6
6063	10.45	8.10	5.40	0	0	0	0	0	0	6
6084	-0.30	12.15	5.40	0	0	0	0	0	0	6
6085	0.00	12.15	5.40	0	0	0	0	0	0	6
6090	10.15	12.15	5.40	0	0	0	0	0	0	6
6091	10.45	12.15	5.40	0	0	0	0	0	0	6
6099	-0.30	16.15	5.40	0	0	0	0	0	0	6
6100	0.00	16.15	5.40	0	0	0	0	0	0	6
6102	5.08	16.15	5.40	0	0	0	0	0	0	6
6104	10.15	16.15	5.40	0	0	0	0	0	0	6
6105	10.45	16.15	5.40	0	0	0	0	0	0	6
6107	-0.30	16.45	5.40	0	0	0	0	0	0	6
6108	0.00	16.45	5.40	0	0	0	0	0	0	6
6109	5.08	16.45	5.40	0	0	0	0	0	0	6
6110	10.15	16.45	5.40	0	0	0	0	0	0	6
6111	10.45	16.45	5.40	0	0	0	0	0	0	6

Nodo	X	Y	Z	Tx	Ty	Tz	Rx	Ry	Rz	Impalcato
7007	-0.30	-0.30	5.90	0	0	0	0	0	0	7
7008	0.00	-0.30	5.90	0	0	0	0	0	0	7
7009	5.08	-0.30	5.90	0	0	0	0	0	0	7
7010	10.15	-0.30	5.90	0	0	0	0	0	0	7
7011	10.45	-0.30	5.90	0	0	0	0	0	0	7
7013	-0.30	0.00	5.90	0	0	0	0	0	0	7
7018	10.45	0.00	5.90	0	0	0	0	0	0	7
7039	-0.30	3.60	5.90	0	0	0	0	0	0	7
7044	10.45	3.60	5.90	0	0	0	0	0	0	7
7058	-0.30	8.10	5.90	0	0	0	0	0	0	7
7063	10.45	8.10	5.90	0	0	0	0	0	0	7
7084	-0.30	12.15	5.90	0	0	0	0	0	0	7
7091	10.45	12.15	5.90	0	0	0	0	0	0	7
7099	-0.30	16.15	5.90	0	0	0	0	0	0	7
7105	10.45	16.15	5.90	0	0	0	0	0	0	7
7107	-0.30	16.45	5.90	0	0	0	0	0	0	7
7108	0.00	16.45	5.90	0	0	0	0	0	0	7
7109	5.08	16.45	5.90	0	0	0	0	0	0	7
7110	10.15	16.45	5.90	0	0	0	0	0	0	7
7111	10.45	16.45	5.90	0	0	0	0	0	0	7

Input - Aste - Tabella sezioni tipo

Tipo	Nome	Base	Altezza	Larg.mag.
R		m	m	m
	40x50	0.40	0.50	0.00
	30x50	0.30	0.50	0.00
	50x30	0.50	0.30	0.00
	30x30	0.30	0.30	0.00
	50x50	0.50	0.50	0.00

Aste - Geometria e vincoli

	Ni	Nf	Vin c.	Sez.	Mat.	Crit.pr .	Rot °	f.f.	xi	yi	zi	xf	yf	zf	Tipo	L2	L3
											m					m	
4014	4014	6014	I-I	40x50	C35/45	CLS_Pil astri	0	1010	0.00	0.00	0.00	0.00	0.00	0.00	Pila .	5.40	5.40
4015	4015	6015	I-I	50x30	C35/45	CLS_Pil astri	0	2020	0.00	0.00	0.00	0.00	0.00	0.00	Pila .	5.40	5.40
4017	4017	6017	I-I	40x50	C35/45	CLS_Pil astri	0	3030	0.00	0.00	0.00	0.00	0.00	0.00	Pila .	5.40	5.40
4040	4040	6040	I-I	40x50	C35/45	CLS_Pil astri	0	4040	0.00	0.00	0.00	0.00	0.00	0.00	Pila .	5.40	5.40
4043	4043	5043	I-I	40x50	C35/45	CLS_Pil astri	0	6060	0.00	0.00	0.00	0.00	0.00	0.00	Pila .	0.48	0.48
4043	5043	6043	I-I	40x50	C35/45	CLS_Pil astri	0	6060	0.00	0.00	0.00	0.00	0.00	0.00	Pila .	4.92	4.92
4059	4059	6059	I-I	40x50	C35/45	CLS_Pil astri	0	4040	0.00	0.00	0.00	0.00	0.00	0.00	Pila .	5.40	5.40
4062	4062	5062	I-I	40x50	C35/45	CLS_Pil astri	0	6060	0.00	0.00	0.00	0.00	0.00	0.00	Pila .	0.48	0.48
4062	5062	6062	I-I	40x50	C35/45	CLS_Pil astri	0	6060	0.00	0.00	0.00	0.00	0.00	0.00	Pila .	4.92	4.92
4085	4085	6085	I-I	40x50	C35/45	CLS_Pil astri	0	7070	0.00	0.00	0.00	0.00	0.00	0.00	Pila .	5.40	5.40
4090	4090	5090	I-I	40x50	C35/45	CLS_Pil astri	0	9090	0.00	0.00	0.00	0.00	0.00	0.00	Pila .	0.48	0.48
4090	5090	6090	I-I	40x50	C35/45	CLS_Pil astri	0	9090	0.00	0.00	0.00	0.00	0.00	0.00	Pila .	4.92	4.92
4100	4100	6100	I-I	40x50	C35/45	CLS_Pil astri	0	7070	0.00	0.00	0.00	0.00	0.00	0.00	Pila .	5.40	5.40
4102	4102	6102	I-I	50x30	C35/45	CLS_Pil astri	0	8080	0.00	0.00	0.00	0.00	0.00	0.00	Pila .	5.40	5.40
4104	4104	6104	I-I	40x50	C35/45	CLS_Pil astri	0	9090	0.00	0.00	0.00	0.00	0.00	0.00	Pila .	5.40	5.40
601	6014	6015	I-I	30x50	C35/45	CLS_Tra viAlte	0	7270	0.00	0.00	0.00	0.00	0.00	0.00	Trav e	5.08	5.08
601	6015	6017	I-I	30x50	C35/45	CLS_Tra viAlte	0	7072	0.00	0.00	0.00	0.00	0.00	0.00	Trav e	5.08	5.08
602	6017	6043	I-I	40x50	C35/45	CLS_Tra viAlte	0	7376	0.00	0.00	0.00	0.00	0.00	0.00	Trav e	3.60	3.60
602	6043	6062	I-I	40x50	C35/45	CLS_Tra viAlte	0	7676	0.00	0.00	0.00	0.00	0.00	0.00	Trav e	4.50	4.50

	Ni	Nf	Vin c.	Sez.	Mat.	Crit.pr c.	Rot	f.f.	xi	yi	zi	xf	yf	zf	Tipo	L2	L3
602	6062	6090	I-I	40x50	C35/45	CLS_Tra viAlte	0	7679	0.00	0.00	0.00	0.00	0.00	0.00	Trav e	4.05	4.05
602	6090	6104	I-I	40x50	C35/45	CLS_Tra viAlte	0	7679	0.00	0.00	0.00	0.00	0.00	0.00	Trav e	4.00	4.00
603	6040	6014	I-I	40x50	C35/45	CLS_Tra viAlte	0	7471	0.00	0.00	0.00	0.00	0.00	0.00	Trav e	3.60	3.60
603	6059	6040	I-I	40x50	C35/45	CLS_Tra viAlte	0	7474	0.00	0.00	0.00	0.00	0.00	0.00	Trav e	4.50	4.50
603	6085	6059	I-I	40x50	C35/45	CLS_Tra viAlte	0	7774	0.00	0.00	0.00	0.00	0.00	0.00	Trav e	4.05	4.05
603	6100	6085	I-I	40x50	C35/45	CLS_Tra viAlte	0	7774	0.00	0.00	0.00	0.00	0.00	0.00	Trav e	4.00	4.00
604	6040	6041	I-I	50x50	C35/45	CLS_Tra viAlte	0	8480	0.00	0.00	0.00	0.00	0.00	0.00	Trav e	3.97	3.97
604	6041	6042	I-I	50x50	C35/45	CLS_Tra viAlte	0	8080	0.00	0.00	0.00	0.00	0.00	0.00	Trav e	3.00	3.00
604	6042	6043	I-I	50x50	C35/45	CLS_Tra viAlte	0	8086	0.00	0.00	0.00	0.00	0.00	0.00	Trav e	3.18	3.18
605	6060	6059	I-I	50x50	C35/45	CLS_Tra viAlte	0	8084	0.00	0.00	0.00	0.00	0.00	0.00	Trav e	3.97	3.97
605	6061	6060	I-I	50x50	C35/45	CLS_Tra viAlte	0	8080	0.00	0.00	0.00	0.00	0.00	0.00	Trav e	3.00	3.00
605	6062	6061	I-I	50x50	C35/45	CLS_Tra viAlte	0	8680	0.00	0.00	0.00	0.00	0.00	0.00	Trav e	3.18	3.18
606	6102	6100	I-I	30x50	C35/45	CLS_Tra viAlte	0	7077	0.00	0.00	0.00	0.00	0.00	0.00	Trav e	5.08	5.08
606	6104	6102	I-I	30x50	C35/45	CLS_Tra viAlte	0	7970	0.00	0.00	0.00	0.00	0.00	0.00	Trav e	5.08	5.08
607	6041	6055	I-I	30x30	C35/45	CLS_Tra viAlte	0	7070	0.00	0.00	0.00	0.00	0.00	0.00	Trav e	3.25	3.25
607	6055	6060	I-I	30x30	C35/45	CLS_Tra viAlte	0	7070	0.00	0.00	0.00	0.00	0.00	0.00	Trav e	1.25	1.25
608	6042	6056	I-I	30x30	C35/45	CLS_Tra viAlte	0	9090	0.00	0.00	0.00	0.00	0.00	0.00	Trav e	3.25	3.25
608	6056	6061	I-I	30x30	C35/45	CLS_Tra viAlte	0	9090	0.00	0.00	0.00	0.00	0.00	0.00	Trav e	1.25	1.25
609	6056	6055	I-I	30x30	C35/45	CLS_Tra viAlte	0	9090	0.00	0.00	0.00	0.00	0.00	0.00	Trav e	3.00	3.00

Aste - Carichi

Descrizione carichi aste

UnifG	Uniforme globale
UnifL	Uniforme locale
VarG	Variabile lineare globale
VarL	Variabile lineare locale
PolG	Poligonale globale
Termico	Distorsione termica
Torcente	Carico torcente
Precomp.	Carico da precompressione
Poll	Poligonale locale

Sezione	Ni	Nf	Cond.	Tipo c.	Xi	QXi	QYi	QZi	Xf	QXf	QYf	QZf
					m	car. dist. kg/m			m	car. dist. kg/m		
						coppie torc. kg*m/m				coppie torc. kg*m/m		
Pilastro 4014												
40x50	4014	6014	Peso Proprio	UnifG	0.00	0	0	500	5.40	0	0	500
Pilastro 4015												
50x30	4015	6015	Peso Proprio	UnifG	0.00	0	0	375	5.40	0	0	375
Pilastro 4017												
40x50	4017	6017	Peso Proprio	UnifG	0.00	0	0	500	5.40	0	0	500
Pilastro 4040												
40x50	4040	6040	Peso Proprio	UnifG	0.00	0	0	500	5.40	0	0	500
Pilastro 4043												
40x50	4043	5043	Peso Proprio	UnifG	0.00	0	0	500	0.48	0	0	500
40x50	5043	6043	Peso Proprio	UnifG	0.00	0	0	500	4.92	0	0	500
Pilastro 4059												
40x50	4059	6059	Peso Proprio	UnifG	0.00	0	0	500	5.40	0	0	500
Pilastro 4062												
40x50	4062	5062	Peso Proprio	UnifG	0.00	0	0	500	0.48	0	0	500
40x50	5062	6062	Peso Proprio	UnifG	0.00	0	0	500	4.92	0	0	500
Pilastro 4085												
40x50	4085	6085	Peso Proprio	UnifG	0.00	0	0	500	5.40	0	0	500
Pilastro 4090												
40x50	4090	5090	Peso Proprio	UnifG	0.00	0	0	500	0.48	0	0	500
40x50	5090	6090	Peso Proprio	UnifG	0.00	0	0	500	4.92	0	0	500

**POTENZIAMENTO DELL'IMPIANTO DI DEPURAZIONE E
DEL RECAPITO FINALE DI SQUINZANO (LE)
PROGETTO DEFINITIVO
Tabulati di calcolo strutturale-Edificio Grigliatura
Grossolana**

R.37.11

Maggio 2021

Pagina 19 di 183

Sezione	Ni	Nf	Cond.	Tipo c.	Xi	QXi	QYi	QZi	Xf	QXf	QYf	QZf
Pilastro 4100												
40x50	4100	6100	Peso Proprio	UnifG	0.00	0	0	500	5.40	0	0	500
Pilastro 4102												
50x30	4102	6102	Peso Proprio	UnifG	0.00	0	0	375	5.40	0	0	375
Pilastro 4104												
40x50	4104	6104	Peso Proprio	UnifG	0.00	0	0	500	5.40	0	0	500
Trave 0												
Sezione Nulla	4014	4015	muratura	UnifG	0.00	0	0	2000	5.33	0	0	2000
Sezione Nulla	4015	4016	muratura	UnifG	0.00	0	0	2000	2.67	0	0	2000
Sezione Nulla	4016	4017	muratura	UnifG	0.00	0	0	2000	2.15	0	0	2000
Sezione Nulla	4017	4025	muratura	UnifG	0.00	0	0	2000	0.58	0	0	2000
Sezione Nulla	4025	4043	muratura	UnifG	0.00	0	0	2000	3.02	0	0	2000
Sezione Nulla	4040	4014	muratura	UnifG	0.00	0	0	2000	3.60	0	0	2000
Sezione Nulla	4043	4062	muratura	UnifG	0.00	0	0	2000	4.75	0	0	2000
Sezione Nulla	4059	4040	muratura	UnifG	0.00	0	0	2000	4.75	0	0	2000
Sezione Nulla	4062	4090	muratura	UnifG	0.00	0	0	2000	4.05	0	0	2000
Sezione Nulla	4085	4059	muratura	UnifG	0.00	0	0	2000	3.55	0	0	2000
Sezione Nulla	4090	4097	muratura	UnifG	0.00	0	0	2000	0.45	0	0	2000
Sezione Nulla	4097	4104	muratura	UnifG	0.00	0	0	2000	3.80	0	0	2000
Sezione Nulla	4100	4085	muratura	UnifG	0.00	0	0	2000	4.25	0	0	2000
Sezione Nulla	4101	4100	muratura	UnifG	0.00	0	0	2000	3.90	0	0	2000
Sezione Nulla	4102	4101	muratura	UnifG	0.00	0	0	2000	1.18	0	0	2000
Sezione Nulla	4103	4102	muratura	UnifG	0.00	0	0	2000	2.93	0	0	2000
Sezione Nulla	4104	4103	muratura	UnifG	0.00	0	0	2000	2.15	0	0	2000
Trave 601												
30x50	6014	6015	Peso Proprio	UnifG	0.00	0	0	375	4.87	0	0	375
30x50	6014	6015	Muro esterno	UnifG	0.00	0	0	1000	4.87	0	0	1000
30x50	6014	6015	Muro esterno	Torcente	0.00	-1000	0	0	4.87	-1000	0	0
30x50	6015	6017	Peso Proprio	UnifG	0.00	0	0	375	4.88	0	0	375
30x50	6015	6017	Muro esterno	UnifG	0.00	0	0	1000	4.88	0	0	1000
30x50	6015	6017	Muro esterno	Torcente	0.00	-1000	0	0	4.88	-1000	0	0
Trave 602												
40x50	6017	6043	Peso Proprio	UnifG	0.00	0	0	500	3.60	0	0	500
40x50	6017	6043	QP Solai	PolG	0.15	0	0	2096	3.60	0	0	2096
40x50	6017	6043	QV Solai	PolG	0.15	0	0	244	3.60	0	0	244
40x50	6017	6043	QFissi Solai	PolG	0.15	0	0	975	3.60	0	0	975
40x50	6017	6043	Muro esterno	UnifG	0.00	0	0	1000	3.60	0	0	1000
40x50	6017	6043	Muro esterno	Torcente	0.00	-1000	0	0	3.60	-1000	0	0
40x50	6017	6043	neve	PolG	0.15	0	0	234	3.60	0	0	234
40x50	6017	6043	neve	PolG	0.15	0	0	292	3.60	0	0	292
40x50	6043	6062	Peso Proprio	UnifG	0.00	0	0	500	4.50	0	0	500
40x50	6043	6062	Muro esterno	Torcente	0.00	-1000	0	0	4.50	-1000	0	0
40x50	6043	6062	Muro esterno	UnifG	0.00	0	0	1000	4.50	0	0	1000
40x50	6062	6090	Peso Proprio	UnifG	0.00	0	0	500	4.05	0	0	500
40x50	6062	6090	QP Solai	PolG	0.00	0	0	2096	4.05	0	0	2096
40x50	6062	6090	QV Solai	PolG	0.00	0	0	244	4.05	0	0	244
40x50	6062	6090	QFissi Solai	PolG	0.00	0	0	975	4.05	0	0	975
40x50	6062	6090	Muro esterno	UnifG	0.00	0	0	1000	4.05	0	0	1000
40x50	6062	6090	Muro esterno	Torcente	0.00	-1000	0	0	4.05	-1000	0	0
40x50	6062	6090	neve	PolG	0.00	0	0	234	4.05	0	0	234
40x50	6090	6104	Peso Proprio	UnifG	0.00	0	0	500	4.25	0	0	500
40x50	6090	6104	QP Solai	PolG	0.25	0	0	2096	4.10	0	0	2096
40x50	6090	6104	QV Solai	PolG	0.25	0	0	244	4.10	0	0	244
40x50	6090	6104	QFissi Solai	PolG	0.25	0	0	975	4.10	0	0	975
40x50	6090	6104	Muro esterno	Torcente	0.00	-1000	0	0	4.25	-1000	0	0
40x50	6090	6104	Muro esterno	UnifG	0.00	0	0	1000	4.25	0	0	1000
40x50	6090	6104	neve	PolG	0.25	0	0	234	4.10	0	0	234
Trave 603												
40x50	6040	6014	Peso Proprio	UnifG	0.00	0	0	500	3.60	0	0	500

**POTENZIAMENTO DELL'IMPIANTO DI DEPURAZIONE E
DEL RECAPITO FINALE DI SQUINZANO (LE)
PROGETTO DEFINITIVO
Tabulati di calcolo strutturale-Edificio Grigliatura
Grossolana**

R.37.11

Maggio 2021

Pagina 20 di 183

Sezione	Ni	Nf	Cond.	Tipo c.	Xi	QXi	QYi	QZi	Xf	QXf	QYf	QZf
40x50	6040	6014	QP Solai	PolG	0.00	0	0	2096	3.45	0	0	2096
40x50	6040	6014	QV Solai	PolG	0.00	0	0	244	3.45	0	0	244
40x50	6040	6014	QFissi Solai	PolG	0.00	0	0	975	3.45	0	0	975
40x50	6040	6014	Muro esterno	UnifG	0.00	0	0	1000	3.60	0	0	1000
40x50	6040	6014	Muro esterno	Torcente	0.00	-1000	0	0	3.60	-1000	0	0
40x50	6040	6014	neve	PolG	0.00	0	0	234	3.45	0	0	234
40x50	6040	6014	neve	PolG	0.00	0	0	292	3.45	0	0	292
40x50	6059	6040	Peso Proprio	UnifG	0.00	0	0	500	4.50	0	0	500
40x50	6059	6040	Muro esterno	UnifG	0.00	0	0	1000	4.50	0	0	1000
40x50	6059	6040	Muro esterno	Torcente	0.00	-1000	0	0	4.50	-1000	0	0
40x50	6085	6059	Peso Proprio	UnifG	0.00	0	0	500	4.05	0	0	500
40x50	6085	6059	QP Solai	PolG	0.00	0	0	2096	4.05	0	0	2096
40x50	6085	6059	QV Solai	PolG	0.00	0	0	244	4.05	0	0	244
40x50	6085	6059	QFissi Solai	PolG	0.00	0	0	975	4.05	0	0	975
40x50	6085	6059	Muro esterno	UnifG	0.00	0	0	1000	4.05	0	0	1000
40x50	6085	6059	Muro esterno	Torcente	0.00	-1000	0	0	4.05	-1000	0	0
40x50	6085	6059	neve	PolG	0.00	0	0	234	4.05	0	0	234
40x50	6100	6085	Peso Proprio	UnifG	0.00	0	0	500	4.25	0	0	500
40x50	6100	6085	QP Solai	PolG	0.15	0	0	2096	4.00	0	0	2096
40x50	6100	6085	QV Solai	PolG	0.15	0	0	244	4.00	0	0	244
40x50	6100	6085	QFissi Solai	PolG	0.15	0	0	975	4.00	0	0	975
40x50	6100	6085	Muro esterno	Torcente	0.00	-1000	0	0	3.99	-1000	0	0
40x50	6100	6085	Muro esterno	UnifG	0.00	0	0	1000	4.25	0	0	1000
40x50	6100	6085	neve	PolG	0.15	0	0	234	4.00	0	0	234
Trave 604												
50x50	6040	6041	Peso Proprio	UnifG	0.00	0	0	625	3.97	0	0	625
50x50	6040	6041	QP Solai	PolG	0.20	0	0	968	3.82	0	0	968
50x50	6040	6041	QV Solai	PolG	0.20	0	0	113	3.82	0	0	113
50x50	6040	6041	QFissi Solai	PolG	0.20	0	0	450	3.82	0	0	450
50x50	6040	6041	neve	PolG	0.20	0	0	108	3.82	0	0	108
50x50	6041	6042	Peso Proprio	UnifG	0.00	0	0	625	3.00	0	0	625
50x50	6042	6043	Peso Proprio	UnifG	0.00	0	0	625	3.18	0	0	625
50x50	6042	6043	QP Solai	PolG	0.15	0	0	968	2.98	0	0	968
50x50	6042	6043	QV Solai	PolG	0.15	0	0	113	2.98	0	0	113
50x50	6042	6043	QFissi Solai	PolG	0.15	0	0	450	2.98	0	0	450
50x50	6042	6043	neve	PolG	0.15	0	0	108	2.98	0	0	108
Trave 605												
50x50	6060	6059	Peso Proprio	UnifG	0.00	0	0	625	3.97	0	0	625
50x50	6060	6059	QP Solai	PolG	0.15	0	0	968	3.77	0	0	968
50x50	6060	6059	QV Solai	PolG	0.15	0	0	113	3.77	0	0	113
50x50	6060	6059	QFissi Solai	PolG	0.15	0	0	450	3.77	0	0	450
50x50	6060	6059	neve	PolG	0.15	0	0	108	3.77	0	0	108
50x50	6061	6060	Peso Proprio	UnifG	0.00	0	0	625	3.00	0	0	625
50x50	6062	6061	Peso Proprio	UnifG	0.00	0	0	625	3.18	0	0	625
50x50	6062	6061	QP Solai	PolG	0.20	0	0	968	3.03	0	0	968
50x50	6062	6061	QV Solai	PolG	0.20	0	0	113	3.03	0	0	113
50x50	6062	6061	QFissi Solai	PolG	0.20	0	0	450	3.03	0	0	450
50x50	6062	6061	neve	PolG	0.20	0	0	108	3.03	0	0	108
Trave 606												
30x50	6102	6100	Peso Proprio	UnifG	0.00	0	0	375	5.08	0	0	375
30x50	6104	6102	Peso Proprio	UnifG	0.00	0	0	375	5.08	0	0	375
Trave 607												
30x30	6041	6055	Peso Proprio	UnifG	0.00	0	0	225	3.25	0	0	225
30x30	6055	6060	Peso Proprio	UnifG	0.00	0	0	225	1.25	0	0	225
30x30	6055	6060	QP Solai	PolG	0.15	0	0	709	1.25	0	0	709
30x30	6055	6060	QV Solai	PolG	0.15	0	0	82	1.25	0	0	82
30x30	6055	6060	QFissi Solai	PolG	0.15	0	0	330	1.25	0	0	330
30x30	6055	6060	neve	PolG	0.15	0	0	79	1.25	0	0	79
Trave 608												
30x30	6042	6056	Peso Proprio	UnifG	0.00	0	0	225	3.25	0	0	225
30x30	6056	6061	Peso Proprio	UnifG	0.00	0	0	225	1.25	0	0	225
30x30	6056	6061	QP Solai	PolG	0.15	0	0	709	1.25	0	0	709
30x30	6056	6061	QV Solai	PolG	0.15	0	0	82	1.25	0	0	82
30x30	6056	6061	QFissi Solai	PolG	0.15	0	0	330	1.25	0	0	330
30x30	6056	6061	neve	PolG	0.15	0	0	79	1.25	0	0	79
Trave 609												
30x30	6056	6055	Peso Proprio	UnifG	0.00	0	0	225	3.00	0	0	225

Pareti - geometria e vincoli

Parete	Nodi	Tipo	Materiale	Criterio	N.P.	N.P.X	N.P.Y	Spess.
								m
1	4006-4019-4017-4005	Platea	C35/45	CLS Platee ND	4			0.50
2	4005-4017-4016-4004	Platea	C35/45	CLS Platee ND	8			0.50

**POTENZIAMENTO DELL'IMPIANTO DI DEPURAZIONE E
DEL RECAPITO FINALE DI SQUINZANO (LE)
PROGETTO DEFINITIVO
Tabulati di calcolo strutturale-Edificio Grigliatura
Grossolana**

R.37.11

Maggio 2021

Pagina 21 di 183

Parete	Nodi	Tipo	Materiale	Criterio	N.P.	N.P.X	N.P.Y	Spess.
3	4004-4016-4015-4003	Platea	C35/45	CLS Platee ND	12			0.50
4	4003-4015-4014-4002	Platea	C35/45	CLS Platee ND	12			0.50
5	4002-4014-4012-4001	Platea	C35/45	CLS Platee ND	4			0.50
6	4014-4040-4038-4012	Platea	C35/45	CLS Platee ND	16			0.50
7	4040-4059-4057-4038	Platea	C35/45	CLS Platee ND	20			0.50
8	4059-4085-4083-4057	Platea	C35/45	CLS Platee ND	16			0.50
9	4085-4100-4098-4083	Platea	C35/45	CLS Platee ND	16			0.50
10	4100-4113-4112-4098	Platea	C35/45	CLS Platee ND	4			0.50
11	4101-4114-4113-4100	Platea	C35/45	CLS Platee ND	16			0.50
12	4103-4115-4114-4101-4102	Platea	C35/45	CLS Platee ND	16			0.50
13	4106-4117-4116-4104	Platea	C35/45	CLS Platee ND	4			0.50
14	4104-4116-4115-4103	Platea	C35/45	CLS Platee ND	8			0.50
15	4019-4045-4043-4025-4017	Platea	C35/45	CLS Platee ND	15			0.50
16	4045-4064-4062-4043	Platea	C35/45	CLS Platee ND	8			0.50
17	4064-4092-4090-4082-4077-4062	Platea	C35/45	CLS Platee ND	22			0.50
18	4027-4029-4035-4034	Discreto	C35/45	CLS Muri ND	16	4	4	0.40
19	4040-4014-4027-4034	Platea	C35/45	CLS Platee ND	38			0.50
20	4093-4071-4072-4086	Discreto	C35/45	CLS Muri ND	16	4	4	0.50
21	3088-4088-4087-3087	Discreto	C35/45	CLS Muri ND	16	4	4	0.40
22	4087-4088-4095-4094	Discreto	C35/45	CLS Muri ND	16	4	4	0.50
23	3087-4087-4086-3086	Discreto	C35/45	CLS Muri ND	16	4	4	0.40
24	4086-4087-4094-4093	Discreto	C35/45	CLS Muri ND	16	4	4	0.50
25	75-89-88-74	Platea	C35/45	CLS Platee ND	24			0.50
26	3089-4089-4088-3088	Discreto	C35/45	CLS Muri ND	16	4	4	0.40
27	4088-4089-4096-4095	Discreto	C35/45	CLS Muri ND	16	4	4	0.50
28	77-82-90-89-75	Platea	C35/45	CLS Platee ND	31			0.50
29	4089-4090-4097-4096	Discreto	C35/45	CLS Muri ND	16	4	4	0.50
30	3090-4090-4089-3089	Discreto	C35/45	CLS Muri ND	16	4	4	0.40
31	4085-4093-4100	Platea	C35/45	CLS Platee ND	14			0.50
32	4093-4094-4101-4100	Platea	C35/45	CLS Platee ND	33			0.50
33	4094-4095-4102-4101	Platea	C35/45	CLS Platee ND	11			0.50
34	4095-4096-4103-4102	Platea	C35/45	CLS Platee ND	22			0.50
35	4040-4065-4059	Platea	C35/45	CLS Platee ND	19			0.50
36	4059-4071-4093-4085	Platea	C35/45	CLS Platee ND	21			0.50
37	4065-4071-4059	Platea	C35/45	CLS Platee ND	3			0.50
38	4029-2029-2030-4030	Discreto	C35/45	CLS Muri ND	16	4	4	0.40
39	3024-3025-4025-4024	Discreto	C35/45	CLS Muri ND	16	4	4	0.30
40	2024-2025-3025-3024	Discreto	C35/45	CLS Muri ND	16	4	4	0.30
41	3025-3043-4043-4025	Discreto	C35/45	CLS Muri ND	16	4	4	0.40
42	2025-2043-3043-3025	Discreto	C35/45	CLS Muri ND	16	4	4	0.40
43	1024-1025-2025-2024	Discreto	C35/45	CLS Muri ND	16	4	4	0.30
44	1025-1043-2043-2025	Discreto	C35/45	CLS Muri ND	16	4	4	0.40
45	1043-1062-2062-2043	Discreto	C35/45	CLS Muri ND	16	4	4	0.40
46	2043-2062-3062-3043	Discreto	C35/45	CLS Muri ND	16	4	4	0.40
47	3043-3062-4062-4043	Discreto	C35/45	CLS Muri ND	16	4	4	0.40
48	3062-3077-4077-4062	Discreto	C35/45	CLS Muri ND	16	4	4	0.40
49	2062-2077-3077-3062	Discreto	C35/45	CLS Muri ND	16	4	4	0.40
50	1062-1077-2077-2062	Discreto	C35/45	CLS Muri ND	16	4	4	0.40
51	3077-3082-4082-4077	Discreto	C35/45	CLS Muri ND	16	4	4	0.40
52	2077-2082-3082-3077	Discreto	C35/45	CLS Muri ND	16	4	4	0.40
53	1077-1082-2082-2077	Discreto	C35/45	CLS Muri ND	16	4	4	0.40
54	1082-1090-2090-2082	Discreto	C35/45	CLS Muri ND	16	4	4	0.40
55	3082-3090-4090-4082	Discreto	C35/45	CLS Muri ND	16	4	4	0.40
56	2082-2090-3090-3082	Discreto	C35/45	CLS Muri ND	16	4	4	0.40
57	2090-3090-3089-2089	Discreto	C35/45	CLS Muri ND	16	4	4	0.40
58	2089-3089-3088-2088	Discreto	C35/45	CLS Muri ND	16	4	4	0.40
59	2088-3088-3087-2087	Discreto	C35/45	CLS Muri ND	16	4	4	0.40
60	2087-3087-3086-2086	Discreto	C35/45	CLS Muri ND	16	4	4	0.40
61	1090-2090-2089-1089	Discreto	C35/45	CLS Muri ND	16	4	4	0.40
62	1089-2089-2088-1088	Discreto	C35/45	CLS Muri ND	16	4	4	0.40
63	1088-2088-2087-1087	Discreto	C35/45	CLS Muri ND	16	4	4	0.40
64	1087-2087-2086-1086	Discreto	C35/45	CLS Muri ND	16	4	4	0.40
65	77-82-1082-1077	Discreto	C35/45	CLS Muri ND	16	4	4	0.40
66	82-90-1090-1082	Discreto	C35/45	CLS Muri ND	16	4	4	0.40
67	90-1090-1089-89	Discreto	C35/45	CLS Muri ND	16	4	4	0.40
68	89-1089-1088-88	Discreto	C35/45	CLS Muri ND	16	4	4	0.40
69	88-1088-1087-87	Discreto	C35/45	CLS Muri ND	16	4	4	0.40
70	87-1087-1086-86	Discreto	C35/45	CLS Muri ND	16	4	4	0.40
71	74-88-87-73	Platea	C35/45	CLS Platee ND	24			0.50
72	73-87-86-78-72	Platea	C35/45	CLS Platee ND	32			0.50
73	3072-3078-4078-4072	Discreto	C35/45	CLS Muri ND	16	4	4	0.40
74	3078-3086-4086-4078	Discreto	C35/45	CLS Muri ND	16	4	4	0.40
75	2072-2078-3078-3072	Discreto	C35/45	CLS Muri ND	16	4	4	0.40
76	2078-2086-3086-3078	Discreto	C35/45	CLS Muri ND	16	4	4	0.40

Parete	Nodi	Tipo	Materiale	Criterio	N.P.	N.P.X	N.P.Y	Spess.
77	1072-1078-2078-2072	Discreto	C35/45	CLS Muri ND	16	4	4	0.40
78	1078-1086-2086-2078	Discreto	C35/45	CLS Muri ND	16	4	4	0.40
79	72-78-1078-1072	Discreto	C35/45	CLS Muri ND	16	4	4	0.40
80	78-86-1086-1078	Discreto	C35/45	CLS Muri ND	16	4	4	0.40
81	1054-1070-2070-2054	Discreto	C35/45	CLS Muri ND	16	4	4	0.40
82	1070-1076-2076-2070	Discreto	C35/45	CLS Muri ND	16	4	4	0.40
83	2070-2076-3076-3070	Discreto	C35/45	CLS Muri ND	16	4	4	0.40
84	2054-2070-3070-3054	Discreto	C35/45	CLS Muri ND	16	4	4	0.40
85	3054-3070-4070-4054	Discreto	C35/45	CLS Muri ND	16	4	4	0.40
86	3070-3076-4076-4070	Discreto	C35/45	CLS Muri ND	16	4	4	0.40
87	3023-3024-4024-4023	Discreto	C35/45	CLS Muri ND	16	4	4	0.30
88	2023-2024-3024-3023	Discreto	C35/45	CLS Muri ND	16	4	4	0.30
89	1023-1024-2024-2023	Discreto	C35/45	CLS Muri ND	16	4	4	0.30
90	1022-1023-2023-2022	Discreto	C35/45	CLS Muri ND	16	4	4	0.30
91	2022-2023-3023-3022	Discreto	C35/45	CLS Muri ND	16	4	4	0.30
92	3022-3023-4023-4022	Discreto	C35/45	CLS Muri ND	16	4	4	0.30
93	3021-3022-4022-4021	Discreto	C35/45	CLS Muri ND	16	4	4	0.30
94	2021-2022-3022-3021	Discreto	C35/45	CLS Muri ND	16	4	4	0.30
95	1021-1022-2022-2021	Discreto	C35/45	CLS Muri ND	16	4	4	0.30
96	2033-2054-3054-3033	Discreto	C35/45	CLS Muri ND	16	4	4	0.40
97	3033-3054-4054-4033	Discreto	C35/45	CLS Muri ND	16	4	4	0.40
98	1033-1054-2054-2033	Discreto	C35/45	CLS Muri ND	16	4	4	0.40
99	1032-1033-2033-2032	Discreto	C35/45	CLS Muri ND	16	4	4	0.40
100	2032-2033-3033-3032	Discreto	C35/45	CLS Muri ND	16	4	4	0.40
101	3032-3033-4033-4032	Discreto	C35/45	CLS Muri ND	16	4	4	0.40
102	3031-3032-4032-4031	Discreto	C35/45	CLS Muri ND	16	4	4	0.40
103	2031-2032-3032-3031	Discreto	C35/45	CLS Muri ND	16	4	4	0.40
104	1031-1032-2032-2031	Discreto	C35/45	CLS Muri ND	16	4	4	0.40
105	2030-2031-3031-3030	Discreto	C35/45	CLS Muri ND	16	4	4	0.40
106	3030-3031-4031-4030	Discreto	C35/45	CLS Muri ND	16	4	4	0.40
107	1030-1031-2031-2030	Discreto	C35/45	CLS Muri ND	16	4	4	0.40
108	2053-2069-3069-3053	Discreto	C35/45	CLS Muri ND	16	4	4	0.70
109	1053-1069-2069-2053	Discreto	C35/45	CLS Muri ND	16	4	4	0.70
110	1052-1068-2068-2052	Discreto	C35/45	CLS Muri ND	16	4	4	0.64
111	2052-2068-3068-3052	Discreto	C35/45	CLS Muri ND	16	4	4	0.64
112	1067-1072-2072-2067	Discreto	C35/45	CLS Muri ND	16	4	4	0.40
113	3029-3035-4035-4029	Discreto	C35/45	CLS Muri ND	16	4	4	0.40
114	1029-1035-2035-2029	Discreto	C35/45	CLS Muri ND	16	4	4	0.40
115	2029-2035-3035-3029	Discreto	C35/45	CLS Muri ND	16	4	4	0.40
116	2067-2072-3072-3067	Discreto	C35/45	CLS Muri ND	16	4	4	0.40
117	3067-3072-4072-4067	Discreto	C35/45	CLS Muri ND	16	4	4	0.40
118	3076-3077-4077-4076	Discreto	C35/45	CLS Muri ND	16	4	4	0.40
119	2076-2077-3077-3076	Discreto	C35/45	CLS Muri ND	16	4	4	0.40
120	1076-1077-2077-2076	Discreto	C35/45	CLS Muri ND	16	4	4	0.40
121	1049-1053-2053-2049	Discreto	C35/45	CLS Muri ND	16	4	4	0.70
122	1048-1052-2052-2048	Discreto	C35/45	CLS Muri ND	16	4	4	0.64
123	2049-2053-3053-3049	Discreto	C35/45	CLS Muri ND	16	4	4	0.70
124	2048-2052-3052-3048	Discreto	C35/45	CLS Muri ND	16	4	4	0.64
125	1036-1048-2048-2036	Discreto	C35/45	CLS Muri ND	16	4	4	0.64
126	1037-1049-2049-2037	Discreto	C35/45	CLS Muri ND	16	4	4	0.70
127	2037-2049-3049-3037	Discreto	C35/45	CLS Muri ND	16	4	4	0.70
128	2036-2048-3048-3036	Discreto	C35/45	CLS Muri ND	16	4	4	0.64
129	3051-3067-4067-4051	Discreto	C35/45	CLS Muri ND	16	4	4	0.40
130	1051-1067-2067-2051	Discreto	C35/45	CLS Muri ND	16	4	4	0.40
131	2051-2067-3067-3051	Discreto	C35/45	CLS Muri ND	16	4	4	0.40
132	1047-1051-2051-2047	Discreto	C35/45	CLS Muri ND	16	4	4	0.40
133	3047-3051-4051-4047	Discreto	C35/45	CLS Muri ND	16	4	4	0.40
134	2047-2051-3051-3047	Discreto	C35/45	CLS Muri ND	16	4	4	0.40
135	3035-3047-4047-4035	Discreto	C35/45	CLS Muri ND	16	4	4	0.40
136	1035-1047-2047-2035	Discreto	C35/45	CLS Muri ND	16	4	4	0.40
137	2035-2047-3047-3035	Discreto	C35/45	CLS Muri ND	16	4	4	0.40
138	2075-3075-3074-2074	Discreto	C35/45	CLS Muri ND	16	4	4	0.40
139	2074-3074-3073-2073	Discreto	C35/45	CLS Muri ND	16	4	4	0.40
140	2073-3073-3072-2072	Discreto	C35/45	CLS Muri ND	16	4	4	0.40
141	1075-2075-2074-1074	Discreto	C35/45	CLS Muri ND	16	4	4	0.40
142	1074-2074-2073-1073	Discreto	C35/45	CLS Muri ND	16	4	4	0.40
143	1073-2073-2072-1072	Discreto	C35/45	CLS Muri ND	16	4	4	0.40
144	75-1075-1074-74	Discreto	C35/45	CLS Muri ND	16	4	4	0.40
145	74-1074-1073-73	Discreto	C35/45	CLS Muri ND	16	4	4	0.40
146	73-1073-1072-72	Discreto	C35/45	CLS Muri ND	16	4	4	0.40
147	1029-1030-2030-2029	Discreto	C35/45	CLS Muri ND	16	4	4	0.40
148	4067-4072-4071-4066	Discreto	C35/45	CLS Muri ND	16	4	4	0.50
149	4051-4067-4066-4050	Discreto	C35/45	CLS Muri ND	16	4	4	0.50
150	4047-4051-4050-4046	Discreto	C35/45	CLS Muri ND	16	4	4	0.50
151	4035-4047-4046-4034	Discreto	C35/45	CLS Muri ND	16	4	4	0.50

**POTENZIAMENTO DELL'IMPIANTO DI DEPURAZIONE E
DEL RECAPITO FINALE DI SQUINZANO (LE)
PROGETTO DEFINITIVO
Tabulati di calcolo strutturale-Edificio Grigliatura
Grossolana**

R.37.11

Maggio 2021

Pagina 23 di 183

Parete	Nodi	Tipo	Materiale	Criterio	N.P.	N.P.X	N.P.Y	Spess.
152	4030-4029-4027-4028	Discreto	C35/45	CLS Muri ND	16	4		0.50
153	4021-4030-4028-4020	Discreto	C35/45	CLS Muri ND	16	4	4	0.50
154	4066-4071-4065	Platea	C35/45	CLS Platee ND	8			0.50
155	4050-4066-4065	Platea	C35/45	CLS Platee ND	8			0.50
156	4050-4065-4040	Platea	C35/45	CLS Platee ND	20			0.50
157	4046-4050-4040	Platea	C35/45	CLS Platee ND	9			0.50
158	4034-4046-4040	Platea	C35/45	CLS Platee ND	8			0.50
159	4017-4025-4024-4016	Platea	C35/45	CLS Platee ND	8			0.50
160	4024-4023-4016	Platea	C35/45	CLS Platee ND	8			0.50
161	4023-4022-4015-4016	Platea	C35/45	CLS Platee ND	13			0.50
162	4022-4021-4015	Platea	C35/45	CLS Platee ND	8			0.50
163	4015-4021-4020	Platea	C35/45	CLS Platee ND	8			0.50
164	1025-1043-1033	Platea	C35/45	CLS Platee ND	8			0.50
165	1025-1033-1024	Platea	C35/45	CLS Platee ND	8			0.50
166	1033-1032-1023-1024	Platea	C35/45	CLS Platee ND	8			0.50
167	1032-1031-1022-1023	Platea	C35/45	CLS Platee ND	8			0.50
168	1031-1030-1021-1022	Platea	C35/45	CLS Platee ND	13			0.50
169	1062-1077-1076-1070	Platea	C35/45	CLS Platee ND	16			0.50
170	1043-1062-1054	Platea	C35/45	CLS Platee ND	9			0.50
171	1062-1070-1054	Platea	C35/45	CLS Platee ND	8			0.50
172	1043-1054-1033	Platea	C35/45	CLS Platee ND	9			0.50
173	1053-1052-1048-1049	Platea	C35/45	CLS Platee ND	8			0.50
174	1049-1048-1036-1037	Platea	C35/45	CLS Platee ND	13			0.50
175	1053-1069-1068-1052	Platea	C35/45	CLS Platee ND	8			0.50
176	1068-1067-1051-1052	Platea	C35/45	CLS Platee ND	16			0.50
177	1052-1051-1047-1048	Platea	C35/45	CLS Platee ND	16			0.50
178	1048-1047-1035-1036	Platea	C35/45	CLS Platee ND	16			0.50
179	1032-1037-1036-1031	Platea	C35/45	CLS Platee ND	8			0.50
180	1036-1035-1029-1030	Platea	C35/45	CLS Platee ND	13			0.50
181	1031-1036-1030	Platea	C35/45	CLS Platee ND	8			0.50
182	1033-1037-1032	Platea	C35/45	CLS Platee ND	8			0.50
183	1033-1054-1049	Platea	C35/45	CLS Platee ND	7			0.50
184	1033-1049-1037	Platea	C35/45	CLS Platee ND	9			0.50
185	1054-1053-1049	Platea	C35/45	CLS Platee ND	8			0.50
186	1070-1069-1053-1054	Platea	C35/45	CLS Platee ND	8			0.50
187	1073-1072-1067	Platea	C35/45	CLS Platee ND	8			0.50
188	1068-1073-1067	Platea	C35/45	CLS Platee ND	6			0.50
189	1068-1074-1073	Platea	C35/45	CLS Platee ND	8			0.50
190	1069-1075-1074	Platea	C35/45	CLS Platee ND	8			0.50
191	1069-1074-1068	Platea	C35/45	CLS Platee ND	3			0.50
192	1070-1076-1069	Platea	C35/45	CLS Platee ND	8			0.50
193	1076-1075-1069	Platea	C35/45	CLS Platee ND	8			0.50
194	4092-4097-4090	Platea	C35/45	CLS Platee ND	8			0.50
195	4092-4106-4104-4097	Platea	C35/45	CLS Platee ND	8			0.50
196	4103-4096-4097-4104	Platea	C35/45	CLS Platee ND	16			0.50
197	2075-2076-3076-3075	Discreto	C35/45	CLS Muri ND	16	4	4	0.40
198	1075-1076-2076-2075	Discreto	C35/45	CLS Muri ND	16	4	4	0.40
199	77-1077-1076-75	Discreto	C35/45	CLS Muri ND	16	4	4	0.40
200	75-1076-1075	Discreto	C35/45	CLS Muri ND	16	4	4	0.40
201	4020-4028-4027	Platea	C35/45	CLS Platee ND	10			0.50
202	4015-4020-4026	Platea	C35/45	CLS Platee ND	3			0.50
203	4020-4027-4026	Platea	C35/45	CLS Platee ND	6			0.50
204	4015-4026-4014	Platea	C35/45	CLS Platee ND	9			0.50
205	4026-4027-4014	Platea	C35/45	CLS Platee ND	8			0.50
206	1021-2021-2030-1030	Discreto	C35/45	CLS Muri ND	16	4	4	0.30
207	5029-3118-3119-5030	Discreto	C35/45	CLS Muri ND	16	4	4	0.40
208	4021-4022-5022-5021	Discreto	C35/45	CLS Muri ND	16	4	4	0.30
209	4022-4023-5023-5022	Discreto	C35/45	CLS Muri ND	16	4	4	0.30
210	4033-4054-5054-5033	Discreto	C35/45	CLS Muri ND	16	4	4	0.40
211	4031-4032-5032-5031	Discreto	C35/45	CLS Muri ND	16	4	4	0.40
212	4032-4033-5033-5032	Discreto	C35/45	CLS Muri ND	16	4	4	0.40
213	4030-4031-5031-5030	Discreto	C35/45	CLS Muri ND	16	4	4	0.40
214	4051-4067-5067-5051	Discreto	C35/45	CLS Muri ND	16	4	4	0.40
215	4047-4051-5051-5047	Discreto	C35/45	CLS Muri ND	16	4	4	0.40
216	4035-4047-5047-5035	Discreto	C35/45	CLS Muri ND	16	4	4	0.40
217	4089-5089-5088-4088	Discreto	C35/45	CLS Muri ND	16	4	4	0.40
218	4088-5088-5087-4087	Discreto	C35/45	CLS Muri ND	16	4	4	0.40
219	4087-5087-5086-4086	Discreto	C35/45	CLS Muri ND	16	4	4	0.40
220	4090-5090-5089-4089	Discreto	C35/45	CLS Muri ND	16	4	4	0.40
221	4024-4025-5025-5024	Discreto	C35/45	CLS Muri ND	16	4	4	0.30
222	4062-4077-5077-5062	Discreto	C35/45	CLS Muri ND	16	4	4	0.40
223	4025-4043-5043-5025	Discreto	C35/45	CLS Muri ND	16	4	4	0.40
224	4043-4062-5062-5043	Discreto	C35/45	CLS Muri ND	16	4	4	0.40
225	4082-4090-5090-5082	Discreto	C35/45	CLS Muri ND	16	4	4	0.40
226	4077-4082-5082-5077	Discreto	C35/45	CLS Muri ND	16	4	4	0.40

Parete	Nodi	Tipo	Materiale	Criterio	N.P.	N.P.X	N.P.Y	Spess.
227	4072-4078-5078-5072	Discreto	C35/45	CLS Muri ND	16	4	4	0.40
228	4078-4086-5086-5078	Discreto	C35/45	CLS Muri ND	16	4	4	0.40
229	4070-4076-5076-5070	Discreto	C35/45	CLS Muri ND	16	4	4	0.40
230	4054-4070-5070-5054	Discreto	C35/45	CLS Muri ND	16	4	4	0.40
231	4023-4024-5024-5023	Discreto	C35/45	CLS Muri ND	16	4	4	0.30
232	4076-4077-5077-5076	Discreto	C35/45	CLS Muri ND	16	4	4	0.40
233	4029-4035-5035-5029	Discreto	C35/45	CLS Muri ND	16	4	4	0.40
234	4067-4072-5072-5067	Discreto	C35/45	CLS Muri ND	16	4	4	0.40
235	5070-5067-5051-5054	Discreto	C35/45	CLS Muri ND	16	4	4	0.25
236	5087-5086-5078-5079	Discreto	C35/45	CLS Muri ND	16	4	4	0.25
237	5080-5088-5087-5079	Discreto	C35/45	CLS Muri ND	16	4	4	0.25
238	5081-5089-5088-5080	Discreto	C35/45	CLS Muri ND	16	4	4	0.25
239	5082-5090-5089-5081	Discreto	C35/45	CLS Muri ND	16	4	4	0.25
240	6018-6044-6043-6017	Discreto	C35/45	CLS Muri ND	16	4	4	0.25
241	6044-6063-6062-6043	Discreto	C35/45	CLS Muri ND	16	4	4	0.25
242	6063-6091-6090-6062	Discreto	C35/45	CLS Muri ND	16	4	4	0.25
243	6091-6105-6104-6090	Discreto	C35/45	CLS Muri ND	16	4	4	0.25
244	6105-6111-6110-6104	Discreto	C35/45	CLS Muri ND	16	4	4	0.25
245	6011-6018-6017-6010	Discreto	C35/45	CLS Muri ND	16	4	4	0.25
246	6010-6017-6015-6009	Discreto	C35/45	CLS Muri ND	16	4	4	0.25
247	6009-6015-6014-6008	Discreto	C35/45	CLS Muri ND	16	4	4	0.25
248	6008-6014-6013-6007	Discreto	C35/45	CLS Muri ND	16	4	4	0.25
249	6014-6040-6039-6013	Discreto	C35/45	CLS Muri ND	16	4	4	0.25
250	6040-6059-6058-6039	Discreto	C35/45	CLS Muri ND	16	4	4	0.25
251	6059-6085-6084-6058	Discreto	C35/45	CLS Muri ND	16	4	4	0.25
252	6085-6100-6099-6084	Discreto	C35/45	CLS Muri ND	16	4	4	0.25
253	6100-6108-6107-6099	Discreto	C35/45	CLS Muri ND	16	4	4	0.25
254	6102-6109-6108-6100	Discreto	C35/45	CLS Muri ND	16	4	4	0.25
255	6104-6110-6109-6102	Discreto	C35/45	CLS Muri ND	16	4	4	0.25
256	6011-7011-7018-6018	Discreto	C35/45	CLS Muri ND	16	4	4	0.15
257	6018-7018-7044-6044	Discreto	C35/45	CLS Muri ND	16	4	4	0.15
258	6044-7044-7063-6063	Discreto	C35/45	CLS Muri ND	16	4	4	0.15
259	6063-7063-7091-6091	Discreto	C35/45	CLS Muri ND	16	4	4	0.15
260	6091-7091-7105-6105	Discreto	C35/45	CLS Muri ND	16	4	4	0.15
261	6105-7105-7111-6111	Discreto	C35/45	CLS Muri ND	16	4	4	0.15
262	6111-7111-7110-6110	Discreto	C35/45	CLS Muri ND	16	4	4	0.15
263	6110-7110-7109-6109	Discreto	C35/45	CLS Muri ND	16	4	4	0.15
264	6109-7109-7108-6108	Discreto	C35/45	CLS Muri ND	16	4	4	0.15
265	6108-7108-7107-6107	Discreto	C35/45	CLS Muri ND	16	4	4	0.15
266	6107-7107-7099-6099	Discreto	C35/45	CLS Muri ND	16	4	4	0.15
267	6099-7099-7084-6084	Discreto	C35/45	CLS Muri ND	16	4	4	0.15
268	6084-7084-7058-6058	Discreto	C35/45	CLS Muri ND	16	4	4	0.15
269	6058-7058-7039-6039	Discreto	C35/45	CLS Muri ND	16	4	4	0.15
270	6039-7039-7013-6013	Discreto	C35/45	CLS Muri ND	16	4	4	0.15
271	6013-7013-7007-6007	Discreto	C35/45	CLS Muri ND	16	4	4	0.15
272	6007-7007-7008-6008	Discreto	C35/45	CLS Muri ND	16	4	4	0.15
273	6008-7008-7009-6009	Discreto	C35/45	CLS Muri ND	16	4	4	0.15
274	6009-7009-7010-6010	Discreto	C35/45	CLS Muri ND	16	4	4	0.15
275	6010-7010-7011-6011	Discreto	C35/45	CLS Muri ND	16	4	4	0.15

Muri - Carichi

Shell	Indice dello shell
Cond.	Condizione di carico
Tipo	Tipologia di spinta
γ	Peso specifico: terreno o acqua
Ht	Quota del piano di campagna
\varnothing	Angolo di attrito interno
c	Coesione
δ	Angolo di attrito terreno paramento shell
β	Angolo di inclinazione del piano di campagna
k0	Coefficiente di spinta a riposo (quando richiesto)
β_m	Coefficiente di riduzione dell'accelerazione massima attesa al sito (quando richiesto)
Ag	Accelerazione del sito a meno di 'g': quando richiesto, rappresenta il valore della accelerazione dello spettro per T=0, quindi comprensiva dei coefficienti di amplificazione topografica (S_T) e stratigrafica (S_S)
Q	Valore del carico uniforme
Vert.1	Valore del carico nel primo vertice ⁽¹⁾
Vert.2	Valore del carico nel secondo vertice ⁽¹⁾
Vert.3	Valore del carico nel terzo vertice ⁽¹⁾
Vert.4	Valore del carico nel quarto vertice ⁽¹⁾
Hw	Altezza del pelo libero dell'acqua

⁽¹⁾: Per shell con numero di vertici maggiori 4, per carichi trapezoidali, il valore del carico nei vertici e' stampato a gruppi di 4 secondo l'ordine con cui i vertici sono stati definiti

Shel 1	Cond.	Tipo	Ht	γ	\emptyset	c	δ	β	k0	β_m	Ag
			m	kg/m c	°	daN/ cmq	°	°			
21	Spinta Terreno	Terreno - Riposo - Dir.Neg.	0.00	1900	--	--	--	--	0.50	--	--
22	Spinta Terreno	Terreno - Riposo - Dir.Pos.	0.00	1900	--	--	--	--	0.50	--	--
23	Spinta Terreno	Terreno - Riposo - Dir.Neg.	0.00	1900	--	--	--	--	0.50	--	--
24	Spinta Terreno	Terreno - Riposo - Dir.Pos.	0.00	1900	--	--	--	--	0.50	--	--
26	Spinta Terreno	Terreno - Riposo - Dir.Neg.	0.00	1900	--	--	--	--	0.50	--	--
27	Spinta Terreno	Terreno - Riposo - Dir.Pos.	0.00	1900	--	--	--	--	0.50	--	--
29	Spinta Terreno	Terreno - Riposo - Dir.Pos.	0.00	1900	--	--	--	--	0.50	--	--
30	Spinta Terreno	Terreno - Riposo - Dir.Neg.	0.00	1900	--	--	--	--	0.50	--	--
38	Spinta Terreno	Terreno - Riposo - Dir.Pos.	0.00	1900	--	--	--	--	0.50	--	--
39	Spinta Terreno	Terreno - Riposo - Dir.Pos.	0.00	1900	--	--	--	--	0.50	--	--
40	Spinta Terreno	Terreno - Riposo - Dir.Pos.	0.00	1900	--	--	--	--	0.50	--	--
41	Spinta Terreno	Terreno - Riposo - Dir.Pos.	0.00	1900	--	--	--	--	0.50	--	--
42	Spinta Terreno	Terreno - Riposo - Dir.Pos.	0.00	1900	--	--	--	--	0.50	--	--
43	Spinta Terreno	Terreno - Riposo - Dir.Pos.	0.00	1900	--	--	--	--	0.50	--	--
44	Spinta Terreno	Terreno - Riposo - Dir.Pos.	0.00	1900	--	--	--	--	0.50	--	--
45	Spinta Terreno	Terreno - Riposo - Dir.Pos.	0.00	1900	--	--	--	--	0.50	--	--
46	Spinta Terreno	Terreno - Riposo - Dir.Pos.	0.00	1900	--	--	--	--	0.50	--	--
47	Spinta Terreno	Terreno - Riposo - Dir.Pos.	0.00	1900	--	--	--	--	0.50	--	--
48	Spinta Terreno	Terreno - Riposo - Dir.Pos.	0.00	1900	--	--	--	--	0.50	--	--
49	Spinta Terreno	Terreno - Riposo - Dir.Pos.	0.00	1900	--	--	--	--	0.50	--	--
50	Spinta Terreno	Terreno - Riposo - Dir.Pos.	0.00	1900	--	--	--	--	0.50	--	--
51	Spinta Terreno	Terreno - Riposo - Dir.Pos.	0.00	1900	--	--	--	--	0.50	--	--
52	Spinta Terreno	Terreno - Riposo - Dir.Pos.	0.00	1900	--	--	--	--	0.50	--	--
53	Spinta Terreno	Terreno - Riposo - Dir.Pos.	0.00	1900	--	--	--	--	0.50	--	--
54	Spinta Terreno	Terreno - Riposo - Dir.Pos.	0.00	1900	--	--	--	--	0.50	--	--
55	Spinta Terreno	Terreno - Riposo - Dir.Pos.	0.00	1900	--	--	--	--	0.50	--	--
56	Spinta Terreno	Terreno - Riposo - Dir.Pos.	0.00	1900	--	--	--	--	0.50	--	--
57	Spinta Terreno	Terreno - Riposo - Dir.Neg.	0.00	1900	--	--	--	--	0.50	--	--
58	Spinta Terreno	Terreno - Riposo - Dir.Neg.	0.00	1900	--	--	--	--	0.50	--	--
59	Spinta Terreno	Terreno - Riposo - Dir.Neg.	0.00	1900	--	--	--	--	0.50	--	--
60	Spinta Terreno	Terreno - Riposo - Dir.Neg.	0.00	1900	--	--	--	--	0.50	--	--
61	Spinta Terreno	Terreno - Riposo - Dir.Neg.	0.00	1900	--	--	--	--	0.50	--	--
62	Spinta Terreno	Terreno - Riposo - Dir.Neg.	0.00	1900	--	--	--	--	0.50	--	--
63	Spinta Terreno	Terreno - Riposo - Dir.Neg.	0.00	1900	--	--	--	--	0.50	--	--
64	Spinta Terreno	Terreno - Riposo - Dir.Neg.	0.00	1900	--	--	--	--	0.50	--	--
65	Spinta Terreno	Terreno - Riposo - Dir.Pos.	0.00	1900	--	--	--	--	0.50	--	--
66	Spinta Terreno	Terreno - Riposo - Dir.Pos.	0.00	1900	--	--	--	--	0.50	--	--
67	Spinta Terreno	Terreno - Riposo - Dir.Neg.	0.00	1900	--	--	--	--	0.50	--	--
68	Spinta Terreno	Terreno - Riposo - Dir.Neg.	0.00	1900	--	--	--	--	0.50	--	--
69	Spinta Terreno	Terreno - Riposo - Dir.Neg.	0.00	1900	--	--	--	--	0.50	--	--
70	Spinta Terreno	Terreno - Riposo - Dir.Neg.	0.00	1900	--	--	--	--	0.50	--	--
73	Spinta Terreno	Terreno - Riposo - Dir.Neg.	0.00	1900	--	--	--	--	0.50	--	--
74	Spinta Terreno	Terreno - Riposo - Dir.Neg.	0.00	1900	--	--	--	--	0.50	--	--
75	Spinta Terreno	Terreno - Riposo - Dir.Neg.	0.00	1900	--	--	--	--	0.50	--	--
76	Spinta Terreno	Terreno - Riposo - Dir.Neg.	0.00	1900	--	--	--	--	0.50	--	--
77	Spinta Terreno	Terreno - Riposo - Dir.Neg.	0.00	1900	--	--	--	--	0.50	--	--
78	Spinta Terreno	Terreno - Riposo - Dir.Neg.	0.00	1900	--	--	--	--	0.50	--	--
79	Spinta Terreno	Terreno - Riposo - Dir.Neg.	0.00	1900	--	--	--	--	0.50	--	--
80	Spinta Terreno	Terreno - Riposo - Dir.Neg.	0.00	1900	--	--	--	--	0.50	--	--
87	Spinta Terreno	Terreno - Riposo - Dir.Pos.	0.00	1900	--	--	--	--	0.50	--	--
88	Spinta Terreno	Terreno - Riposo - Dir.Pos.	0.00	1900	--	--	--	--	0.50	--	--
89	Spinta Terreno	Terreno - Riposo - Dir.Pos.	0.00	1900	--	--	--	--	0.50	--	--
90	Spinta Terreno	Terreno - Riposo - Dir.Pos.	0.00	1900	--	--	--	--	0.50	--	--
91	Spinta Terreno	Terreno - Riposo - Dir.Pos.	0.00	1900	--	--	--	--	0.50	--	--
92	Spinta Terreno	Terreno - Riposo - Dir.Pos.	0.00	1900	--	--	--	--	0.50	--	--
93	Spinta Terreno	Terreno - Riposo - Dir.Pos.	0.00	1900	--	--	--	--	0.50	--	--
94	Spinta Terreno	Terreno - Riposo - Dir.Pos.	0.00	1900	--	--	--	--	0.50	--	--
95	Spinta Terreno	Terreno - Riposo - Dir.Pos.	0.00	1900	--	--	--	--	0.50	--	--
112	Spinta Terreno	Terreno - Riposo - Dir.Neg.	0.00	1900	--	--	--	--	0.50	--	--
113	Spinta Terreno	Terreno - Riposo - Dir.Neg.	0.00	1900	--	--	--	--	0.50	--	--
114	Spinta Terreno	Terreno - Riposo - Dir.Neg.	0.00	1900	--	--	--	--	0.50	--	--
115	Spinta Terreno	Terreno - Riposo - Dir.Neg.	0.00	1900	--	--	--	--	0.50	--	--
116	Spinta Terreno	Terreno - Riposo - Dir.Neg.	0.00	1900	--	--	--	--	0.50	--	--
117	Spinta Terreno	Terreno - Riposo - Dir.Neg.	0.00	1900	--	--	--	--	0.50	--	--
129	Spinta Terreno	Terreno - Riposo - Dir.Neg.	0.00	1900	--	--	--	--	0.50	--	--
130	Spinta Terreno	Terreno - Riposo - Dir.Neg.	0.00	1900	--	--	--	--	0.50	--	--
131	Spinta Terreno	Terreno - Riposo - Dir.Neg.	0.00	1900	--	--	--	--	0.50	--	--
132	Spinta Terreno	Terreno - Riposo - Dir.Neg.	0.00	1900	--	--	--	--	0.50	--	--
133	Spinta Terreno	Terreno - Riposo - Dir.Neg.	0.00	1900	--	--	--	--	0.50	--	--
134	Spinta Terreno	Terreno - Riposo - Dir.Neg.	0.00	1900	--	--	--	--	0.50	--	--
135	Spinta Terreno	Terreno - Riposo - Dir.Neg.	0.00	1900	--	--	--	--	0.50	--	--
136	Spinta Terreno	Terreno - Riposo - Dir.Neg.	0.00	1900	--	--	--	--	0.50	--	--

Shel 1	Cond.	Tipo	Ht	γ	\emptyset	c	δ	β	k0	β_m	Ag
137	Spinta Terreno	Terreno - Riposo - Dir.Neg.	0.00	1900	--	--	--	--	0.50	--	--
147	Spinta Terreno	Terreno - Riposo - Dir.Pos.	0.00	1900	--	--	--	--	0.50	--	--
207	Spinta Terreno	Terreno - Riposo - Dir.Pos.	0.00	1900	--	--	--	--	0.50	--	--

She 11	Cond.	Tipo	Q	Vert.1	Vert.2	Vert.3	Vert.4	Hw	γ
			t/mq	t/mq	t/mq	t/mq	t/mq	m	kg/mc
1	Peso Proprio	Peso Proprio kg	313						
1	accidentali	Uniforme GLOBZ	0.60						
1	permanenti platea	Uniforme GLOBZ	0.60						
2	Peso Proprio	Peso Proprio kg	1344						
2	accidentali	Uniforme GLOBZ	0.60						
2	permanenti platea	Uniforme GLOBZ	0.60						
3	Peso Proprio	Peso Proprio kg	1828						
3	accidentali	Uniforme GLOBZ	0.60						
3	permanenti platea	Uniforme GLOBZ	0.60						
4	Peso Proprio	Peso Proprio kg	3172						
4	accidentali	Uniforme GLOBZ	0.60						
4	permanenti platea	Uniforme GLOBZ	0.60						
5	Peso Proprio	Peso Proprio kg	313						
5	accidentali	Uniforme GLOBZ	0.60						
5	permanenti platea	Uniforme GLOBZ	0.60						
6	Peso Proprio	Peso Proprio kg	2250						
6	accidentali	Uniforme GLOBZ	0.60						
6	permanenti platea	Uniforme GLOBZ	0.60						
7	Peso Proprio	Peso Proprio kg	2812						
7	accidentali	Uniforme GLOBZ	0.60						
7	permanenti platea	Uniforme GLOBZ	0.60						
8	Peso Proprio	Peso Proprio kg	2531						
8	accidentali	Uniforme GLOBZ	0.60						
8	permanenti platea	Uniforme GLOBZ	0.60						
9	Peso Proprio	Peso Proprio kg	2500						
9	accidentali	Uniforme GLOBZ	0.60						
9	permanenti platea	Uniforme GLOBZ	0.60						
10	Peso Proprio	Peso Proprio kg	313						
10	accidentali	Uniforme GLOBZ	0.60						
10	permanenti platea	Uniforme GLOBZ	0.60						
11	Peso Proprio	Peso Proprio kg	2438						
11	accidentali	Uniforme GLOBZ	0.60						
11	permanenti platea	Uniforme GLOBZ	0.60						
12	Peso Proprio	Peso Proprio kg	2562						
12	accidentali	Uniforme GLOBZ	0.60						
12	permanenti platea	Uniforme GLOBZ	0.60						
13	Peso Proprio	Peso Proprio kg	313						
13	accidentali	Uniforme GLOBZ	0.60						
13	permanenti platea	Uniforme GLOBZ	0.60						
14	Peso Proprio	Peso Proprio kg	1344						
14	accidentali	Uniforme GLOBZ	0.60						
14	permanenti platea	Uniforme GLOBZ	0.60						
15	Peso Proprio	Peso Proprio kg	2250						
15	accidentali	Uniforme GLOBZ	0.60						
15	permanenti platea	Uniforme GLOBZ	0.60						
16	Peso Proprio	Peso Proprio kg	2812						
16	accidentali	Uniforme GLOBZ	0.60						
16	permanenti platea	Uniforme GLOBZ	0.60						
17	Peso Proprio	Peso Proprio kg	2531						
17	accidentali	Uniforme GLOBZ	0.60						
17	permanenti platea	Uniforme GLOBZ	0.60						

She 11	Cond.	Tipo	Q	Vert.1	Vert.2	Vert.3	Vert.4	Hw	γ
18	Peso Proprio	Peso Proprio kg	232						
18	spinta acqua	Idrostatico - Positivo						-1.55	1100
19	Peso Proprio	Peso Proprio kg	5710						
19	accidentali	Uniforme GLOBZ	0.60						
19	permanenti platea	Uniforme GLOBZ	0.60						
20	Peso Proprio	Peso Proprio kg	784						
20	spinta acqua	Idrostatico - Positivo						-1.55	1100
21	Peso Proprio	Peso Proprio kg	2712						
21	spinta acqua	Idrostatico - Positivo						-1.55	1100
22	Peso Proprio	Peso Proprio kg	437						
22	spinta acqua	Idrostatico - Positivo						-1.55	1100
23	Peso Proprio	Peso Proprio kg	2356						
23	spinta acqua	Idrostatico - Positivo						-1.55	1100
24	Peso Proprio	Peso Proprio kg	405						
24	spinta acqua	Idrostatico - Positivo						-1.55	1100
25	Peso Proprio	Peso Proprio kg	6387						
25	spinta acqua	Uniforme GLOBZ	2.00						
25	permanenti platea	Uniforme GLOBZ	0.60						
26	Peso Proprio	Peso Proprio kg	2713						
26	spinta acqua	Idrostatico - Positivo						-1.55	1100
27	Peso Proprio	Peso Proprio kg	437						
27	spinta acqua	Idrostatico - Positivo						-1.55	1100
28	Peso Proprio	Peso Proprio kg	11133						
28	spinta acqua	Uniforme GLOBZ	2.00						
28	permanenti platea	Uniforme GLOBZ	0.60						
29	Peso Proprio	Peso Proprio kg	762						
29	spinta acqua	Idrostatico - Positivo						-1.55	1100
30	Peso Proprio	Peso Proprio kg	4728						
30	spinta acqua	Idrostatico - Positivo						-1.55	1100
31	Peso Proprio	Peso Proprio kg	4700						
31	accidentali	Uniforme GLOBZ	0.60						
31	permanenti platea	Uniforme GLOBZ	0.60						
32	Peso Proprio	Peso Proprio kg	13347						
32	accidentali	Uniforme GLOBZ	0.60						
32	permanenti platea	Uniforme GLOBZ	0.60						
33	Peso Proprio	Peso Proprio kg	6947						
33	accidentali	Uniforme GLOBZ	0.60						
33	permanenti platea	Uniforme GLOBZ	0.60						
34	Peso Proprio	Peso Proprio kg	11103						
34	accidentali	Uniforme GLOBZ	0.60						
34	permanenti platea	Uniforme GLOBZ	0.60						
35	Peso Proprio	Peso Proprio kg	2812						
35	accidentali	Uniforme GLOBZ	0.60						
35	permanenti platea	Uniforme GLOBZ	0.60						
36	Peso Proprio	Peso Proprio kg	8695						
36	accidentali	Uniforme GLOBZ	0.60						
36	permanenti platea	Uniforme GLOBZ	0.60						
37	Peso Proprio	Peso Proprio kg	492						
37	accidentali	Uniforme GLOBZ	0.60						
37	permanenti platea	Uniforme GLOBZ	0.60						
38	Peso Proprio	Peso Proprio kg	6530						
38	spinta acqua	Idrostatico - Negativo						-1.55	1100
39	Peso Proprio	Peso Proprio kg	1407						
40	Peso Proprio	Peso Proprio kg	517						
41	Peso Proprio	Peso Proprio kg	4681						
42	Peso Proprio	Peso Proprio kg	1721						
43	Peso Proprio	Peso Proprio kg	1679						
44	Peso Proprio	Peso Proprio kg	5587						
45	Peso Proprio	Peso Proprio kg	8325						
46	Peso Proprio	Peso Proprio kg	2565						
47	Peso Proprio	Peso Proprio kg	6975						
48	Peso Proprio	Peso Proprio kg	1752						
49	Peso Proprio	Peso Proprio kg	644						
50	Peso Proprio	Peso Proprio kg	2091						

She 11	Cond.	Tipo	Q	Vert.1	Vert.2	Vert.3	Vert.4	Hw	γ
51	Peso Proprio	Peso Proprio kg	2418						
51	spinta acqua	Idrostatico - Positivo						-1.55	1100
52	Peso Proprio	Peso Proprio kg	889						
52	spinta acqua	Idrostatico - Negativo						-1.55	1100
53	Peso Proprio	Peso Proprio kg	2886						
53	spinta acqua	Idrostatico - Negativo						-1.55	1100
54	Peso Proprio	Peso Proprio kg	2516						
54	spinta acqua	Idrostatico - Negativo						-1.55	1100
55	Peso Proprio	Peso Proprio kg	2108						
55	spinta acqua	Idrostatico - Positivo						-1.55	1100
56	Peso Proprio	Peso Proprio kg	775						
56	spinta acqua	Idrostatico - Negativo						-1.55	1100
57	Peso Proprio	Peso Proprio kg	1739						
57	spinta acqua	Idrostatico - Positivo						-1.55	1100
58	Peso Proprio	Peso Proprio kg	998						
58	spinta acqua	Idrostatico - Positivo						-1.55	1100
59	Peso Proprio	Peso Proprio kg	997						
59	spinta acqua	Idrostatico - Positivo						-1.55	1100
60	Peso Proprio	Peso Proprio kg	866						
60	spinta acqua	Idrostatico - Positivo						-1.55	1100
61	Peso Proprio	Peso Proprio kg	5643						
61	spinta acqua	Idrostatico - Positivo						-1.55	1100
61	permanenti platea	Uniforme_GLOBZ	0.60						
62	Peso Proprio	Peso Proprio kg	3238						
62	spinta acqua	Idrostatico - Positivo						-1.55	1100
62	permanenti platea	Uniforme_GLOBZ	0.60						
63	Peso Proprio	Peso Proprio kg	3238						
63	spinta acqua	Idrostatico - Positivo						-1.55	1100
64	Peso Proprio	Peso Proprio kg	2812						
64	spinta acqua	Idrostatico - Positivo						-1.55	1100
65	Peso Proprio	Peso Proprio kg	3120						
65	spinta acqua	Idrostatico - Negativo						-1.55	1100
66	Peso Proprio	Peso Proprio kg	2720						
66	spinta acqua	Idrostatico - Negativo						-1.55	1100
67	Peso Proprio	Peso Proprio kg	6100						
67	spinta acqua	Idrostatico - Positivo						-1.55	1100
67	permanenti platea	Uniforme_GLOBZ	0.60						
68	Peso Proprio	Peso Proprio kg	3500						
68	spinta acqua	Idrostatico - Positivo						-1.55	1100
68	permanenti platea	Uniforme_GLOBZ	0.60						
69	Peso Proprio	Peso Proprio kg	3500						
69	spinta acqua	Idrostatico - Positivo						-1.55	1100
69	permanenti platea	Uniforme_GLOBZ	0.60						
70	Peso Proprio	Peso Proprio kg	3040						
70	spinta acqua	Idrostatico - Positivo						-1.55	1100
70	permanenti platea	Uniforme_GLOBZ	0.60						
71	Peso Proprio	Peso Proprio kg	6387						
71	spinta acqua	Uniforme GLOBZ	2.00						
71	permanenti platea	Uniforme_GLOBZ	0.60						
72	Peso Proprio	Peso Proprio kg	5548						
72	spinta acqua	Uniforme GLOBZ	2.00						
72	permanenti platea	Uniforme_GLOBZ	0.60						
73	Peso Proprio	Peso Proprio kg	2418						
73	spinta acqua	Idrostatico - Positivo						-1.55	1100
74	Peso Proprio	Peso Proprio kg	2108						
74	spinta acqua	Idrostatico - Positivo						-1.55	1100
75	Peso Proprio	Peso Proprio kg	889						
75	spinta acqua	Idrostatico - Positivo						-1.55	1100
76	Peso Proprio	Peso Proprio kg	775						
76	spinta acqua	Idrostatico - Positivo						-1.55	1100
77	Peso Proprio	Peso Proprio kg	2886						
77	spinta acqua	Idrostatico - Positivo						-1.55	1100
78	Peso Proprio	Peso Proprio kg	2516						
78	spinta acqua	Idrostatico - Positivo						-1.55	1100
79	Peso Proprio	Peso Proprio kg	3120						
79	spinta acqua	Idrostatico - Positivo						-1.55	1100

She 11	Cond.	Tipo	Q	Vert.1	Vert.2	Vert.3	Vert.4	Hw	γ
79	permanenti platea	Uniforme_GLOBZ	0.60						
80	Peso Proprio	Peso Proprio kg	2720						
80	spinta acqua	Idrostatico - Positivo						-1.55	1100
80	permanenti platea	Uniforme_GLOBZ	0.60						
81	Peso Proprio	Peso Proprio kg	3219						
81	spinta acqua	Idrostatico - Negativo						-1.55	1100
81	permanenti platea	Uniforme_GLOBZ	2.00						
82	Peso Proprio	Peso Proprio kg	1980						
82	spinta acqua	Idrostatico - Negativo						-1.55	1100
82	permanenti platea	Uniforme_GLOBZ	2.00						
83	Peso Proprio	Peso Proprio kg	610						
83	spinta acqua	Idrostatico - Negativo						-1.55	1100
84	Peso Proprio	Peso Proprio kg	992						
84	spinta acqua	Idrostatico - Negativo						-1.55	1100
85	Peso Proprio	Peso Proprio kg	2697						
85	spinta acqua	Idrostatico - Positivo						-1.55	1100
86	Peso Proprio	Peso Proprio kg	1659						
86	spinta acqua	Idrostatico - Positivo						-1.55	1100
87	Peso Proprio	Peso Proprio kg	1407						
88	Peso Proprio	Peso Proprio kg	517						
89	Peso Proprio	Peso Proprio kg	1679						
90	Peso Proprio	Peso Proprio kg	1679						
91	Peso Proprio	Peso Proprio kg	517						
92	Peso Proprio	Peso Proprio kg	1407						
93	Peso Proprio	Peso Proprio kg	1581						
94	Peso Proprio	Peso Proprio kg	581						
95	Peso Proprio	Peso Proprio kg	1887						
96	Peso Proprio	Peso Proprio kg	2588						
96	spinta acqua	Idrostatico - Negativo						-1.55	1100
97	Peso Proprio	Peso Proprio kg	7037						
97	spinta acqua	Idrostatico - Positivo						-1.55	1100
98	Peso Proprio	Peso Proprio kg	8399						
98	spinta acqua	Idrostatico - Negativo						-1.55	1100
98	permanenti platea	Uniforme_GLOBZ	2.00						
99	Peso Proprio	Peso Proprio kg	2238						
99	spinta acqua	Idrostatico - Negativo						-1.55	1100
99	permanenti platea	Uniforme_GLOBZ	2.00						
100	Peso Proprio	Peso Proprio kg	690						
100	spinta acqua	Idrostatico - Negativo						-1.55	1100
101	Peso Proprio	Peso Proprio kg	1875						
101	spinta acqua	Idrostatico - Positivo						-1.55	1100
102	Peso Proprio	Peso Proprio kg	1876						
102	spinta acqua	Idrostatico - Positivo						-1.55	1100
103	Peso Proprio	Peso Proprio kg	690						
103	spinta acqua	Idrostatico - Negativo						-1.55	1100
104	Peso Proprio	Peso Proprio kg	2239						
104	spinta acqua	Idrostatico - Negativo						-1.55	1100
104	permanenti platea	Uniforme_GLOBZ	2.00						
105	Peso Proprio	Peso Proprio kg	775						
105	spinta acqua	Idrostatico - Negativo						-1.55	1100
106	Peso Proprio	Peso Proprio kg	2108						
106	spinta acqua	Idrostatico - Positivo						-1.55	1100
107	Peso Proprio	Peso Proprio kg	2516						
107	spinta acqua	Idrostatico - Negativo						-1.55	1100
108	Peso Proprio	Peso Proprio kg	1736						
109	Peso Proprio	Peso Proprio kg	5633						
109	permanenti platea	Uniforme_GLOBZ	2.00						
110	Peso Proprio	Peso Proprio kg	5150						
111	Peso Proprio	Peso Proprio kg	1587						
112	Peso Proprio	Peso Proprio kg	1980						
112	spinta acqua	Idrostatico - Positivo						-1.55	1100
113	Peso Proprio	Peso Proprio kg	1643						
113	spinta acqua	Idrostatico - Positivo						-1.55	1100
114	Peso Proprio	Peso Proprio kg	1961						
114	spinta acqua	Idrostatico - Positivo						-1.55	1100
115	Peso Proprio	Peso Proprio kg	604						

She ll	Cond.	Tipo	Q	Vert.1	Vert.2	Vert.3	Vert.4	Hw	γ
115	spinta acqua	Idrostatico - Positivo						-1.55	1100
116	Peso Proprio	Peso Proprio kg	610						
116	spinta acqua	Idrostatico - Positivo						-1.55	1100
117	Peso Proprio	Peso Proprio kg	1659						
117	spinta acqua	Idrostatico - Positivo						-1.55	1100
118	Peso Proprio	Peso Proprio kg	1876						
118	spinta acqua	Idrostatico - Positivo						-1.55	1100
119	Peso Proprio	Peso Proprio kg	690						
119	spinta acqua	Idrostatico - Positivo						-1.55	1100
120	Peso Proprio	Peso Proprio kg	2239						
120	spinta acqua	Idrostatico - Positivo						-1.55	1100
121	Peso Proprio	Peso Proprio kg	5633						
121	permanenti platea	Uniforme_GLOBZ	2.00						
122	Peso Proprio	Peso Proprio kg	5150						
123	Peso Proprio	Peso Proprio kg	1736						
124	Peso Proprio	Peso Proprio kg	1587						
125	Peso Proprio	Peso Proprio kg	5150						
126	Peso Proprio	Peso Proprio kg	5633						
126	permanenti platea	Uniforme_GLOBZ	2.00						
127	Peso Proprio	Peso Proprio kg	1736						
128	Peso Proprio	Peso Proprio kg	1587						
129	Peso Proprio	Peso Proprio kg	2697						
129	spinta acqua	Idrostatico - Positivo						-1.55	1100
130	Peso Proprio	Peso Proprio kg	3219						
130	spinta acqua	Idrostatico - Positivo						-1.55	1100
131	Peso Proprio	Peso Proprio kg	992						
131	spinta acqua	Idrostatico - Positivo						-1.55	1100
132	Peso Proprio	Peso Proprio kg	3219						
132	spinta acqua	Idrostatico - Positivo						-1.55	1100
133	Peso Proprio	Peso Proprio kg	2697						
133	spinta acqua	Idrostatico - Positivo						-1.55	1100
134	Peso Proprio	Peso Proprio kg	992						
134	spinta acqua	Idrostatico - Positivo						-1.55	1100
135	Peso Proprio	Peso Proprio kg	2697						
135	spinta acqua	Idrostatico - Positivo						-1.55	1100
136	Peso Proprio	Peso Proprio kg	3219						
136	spinta acqua	Idrostatico - Positivo						-1.55	1100
137	Peso Proprio	Peso Proprio kg	992						
137	spinta acqua	Idrostatico - Positivo						-1.55	1100
138	Peso Proprio	Peso Proprio kg	998						
138	spinta acqua	Idrostatico - Positivo						-1.55	1100
139	Peso Proprio	Peso Proprio kg	997						
139	spinta acqua	Idrostatico - Positivo						-1.55	1100
140	Peso Proprio	Peso Proprio kg	866						
140	spinta acqua	Idrostatico - Positivo						-1.55	1100
141	Peso Proprio	Peso Proprio kg	3238						
141	spinta acqua	Idrostatico - Positivo						-1.55	1100
142	Peso Proprio	Peso Proprio kg	3238						
142	spinta acqua	Idrostatico - Positivo						-1.55	1100
143	Peso Proprio	Peso Proprio kg	2812						
143	spinta acqua	Idrostatico - Positivo						-1.55	1100
144	Peso Proprio	Peso Proprio kg	3500						
144	spinta acqua	Idrostatico - Negativo						-1.55	1100
145	Peso Proprio	Peso Proprio kg	3500						
145	spinta acqua	Idrostatico - Negativo						-1.55	1100
146	Peso Proprio	Peso Proprio kg	3040						
146	spinta acqua	Idrostatico - Negativo						-1.55	1100
147	Peso Proprio	Peso Proprio kg	5698						
147	spinta acqua	Idrostatico - Negativo						-1.55	1100
148	Peso Proprio	Peso Proprio kg	239						
148	spinta acqua	Idrostatico - Positivo						-1.55	1100
149	Peso Proprio	Peso Proprio kg	435						
149	spinta acqua	Idrostatico - Positivo						-1.55	1100
150	Peso Proprio	Peso Proprio kg	435						
150	spinta acqua	Idrostatico - Positivo						-1.55	1100
151	Peso Proprio	Peso Proprio kg	435						
151	spinta acqua	Idrostatico - Positivo						-1.55	1100
152	Peso Proprio	Peso Proprio kg	770						
152	spinta acqua	Idrostatico - Positivo						-1.55	1100
153	Peso Proprio	Peso Proprio kg	300						
154	Peso Proprio	Peso Proprio kg	462						
154	accidentali	Uniforme_GLOBZ	0.60						

She ll	Cond.	Tipo	Q	Vert.1	Vert.2	Vert.3	Vert.4	Hw	γ
154	permanenti platea	Uniforme_GLOBZ	0.60						
155	Peso Proprio	Peso Proprio kg	957						
155	accidentali	Uniforme_GLOBZ	0.60						
155	permanenti platea	Uniforme_GLOBZ	0.60						
156	Peso Proprio	Peso Proprio kg	3596						
157	Peso Proprio	Peso Proprio kg	2045						
157	accidentali	Uniforme_GLOBZ	0.60						
157	permanenti platea	Uniforme_GLOBZ	0.60						
158	Peso Proprio	Peso Proprio kg	2044						
158	accidentali	Uniforme_GLOBZ	0.60						
158	permanenti platea	Uniforme_GLOBZ	0.60						
159	Peso Proprio	Peso Proprio kg	1218						
159	accidentali	Uniforme_GLOBZ	0.60						
159	permanenti platea	Uniforme_GLOBZ	0.60						
160	Peso Proprio	Peso Proprio kg	439						
160	accidentali	Uniforme_GLOBZ	0.60						
160	permanenti platea	Uniforme_GLOBZ	0.60						
161	Peso Proprio	Peso Proprio kg	1499						
161	accidentali	Uniforme_GLOBZ	0.60						
161	permanenti platea	Uniforme_GLOBZ	0.60						
162	Peso Proprio	Peso Proprio kg	493						
162	accidentali	Uniforme_GLOBZ	0.60						
162	permanenti platea	Uniforme_GLOBZ	0.60						
163	Peso Proprio	Peso Proprio kg	73						
163	accidentali	Uniforme_GLOBZ	0.60						
163	permanenti platea	Uniforme_GLOBZ	0.60						
164	Peso Proprio	Peso Proprio kg	2284						
164	permanenti platea	Uniforme_GLOBZ	2.00						
165	Peso Proprio	Peso Proprio kg	983						
165	permanenti platea	Uniforme_GLOBZ	2.00						
166	Peso Proprio	Peso Proprio kg	1966						
166	permanenti platea	Uniforme_GLOBZ	2.00						
167	Peso Proprio	Peso Proprio kg	1966						
167	permanenti platea	Uniforme_GLOBZ	2.00						
168	Peso Proprio	Peso Proprio kg	2210						
168	permanenti platea	Uniforme_GLOBZ	2.00						
169	Peso Proprio	Peso Proprio kg	1664						
169	permanenti platea	Uniforme_GLOBZ	2.00						
170	Peso Proprio	Peso Proprio kg	3403						
170	permanenti platea	Uniforme_GLOBZ	2.00						
171	Peso Proprio	Peso Proprio kg	1316						
171	permanenti platea	Uniforme_GLOBZ	2.00						
172	Peso Proprio	Peso Proprio kg	3433						
172	permanenti platea	Uniforme_GLOBZ	2.00						
173	Peso Proprio	Peso Proprio kg	3697						
173	spinta acqua	Uniforme_GLOBZ	2.00						
173	permanenti platea	Uniforme_GLOBZ	2.00						
174	Peso Proprio	Peso Proprio kg	3697						
174	spinta acqua	Uniforme_GLOBZ	2.00						
174	permanenti platea	Uniforme_GLOBZ	2.00						
175	Peso Proprio	Peso Proprio kg	3697						
175	spinta acqua	Uniforme_GLOBZ	2.00						
175	permanenti platea	Uniforme_GLOBZ	2.00						
176	Peso Proprio	Peso Proprio kg	7852						

She ll	Cond.	Tipo	Q	Vert.1	Vert.2	Vert.3	Vert.4	Hw	γ
176	spinta acqua	Uniforme_GLOBZ	2.00						
176	permanentil platea	Uniforme_GLOBZ	2.00						
177	Peso Proprio	Peso Proprio kg	7852						
177	spinta acqua	Uniforme_GLOBZ	2.00						
177	permanentil platea	Uniforme_GLOBZ	2.00						
178	Peso Proprio	Peso Proprio kg	7852						
178	spinta acqua	Uniforme_GLOBZ	2.00						
178	permanentil platea	Uniforme_GLOBZ	2.00						
179	Peso Proprio	Peso Proprio kg	1928						
179	spinta acqua	Uniforme_GLOBZ	2.00						
179	permanentil platea	Uniforme_GLOBZ	2.00						
180	Peso Proprio	Peso Proprio kg	4432						
180	spinta acqua	Uniforme_GLOBZ	2.00						
180	permanentil platea	Uniforme_GLOBZ	2.00						
181	Peso Proprio	Peso Proprio kg	901						
181	spinta acqua	Uniforme_GLOBZ	2.00						
181	permanentil platea	Uniforme_GLOBZ	2.00						
182	Peso Proprio	Peso Proprio kg	802						
182	spinta acqua	Uniforme_GLOBZ	2.00						
182	permanentil platea	Uniforme_GLOBZ	2.00						
183	Peso Proprio	Peso Proprio kg	4398						
183	spinta acqua	Uniforme_GLOBZ	2.00						
183	permanentil platea	Uniforme_GLOBZ	2.00						
184	Peso Proprio	Peso Proprio kg	1686						
184	spinta acqua	Uniforme_GLOBZ	2.00						
184	permanentil platea	Uniforme_GLOBZ	2.00						
185	Peso Proprio	Peso Proprio kg	1686						
185	spinta acqua	Uniforme_GLOBZ	2.00						
185	permanentil platea	Uniforme_GLOBZ	2.00						
186	Peso Proprio	Peso Proprio kg	3371						
186	spinta acqua	Uniforme_GLOBZ	2.00						
186	permanentil platea	Uniforme_GLOBZ	2.00						
187	Peso Proprio	Peso Proprio kg	1017						
187	spinta acqua	Uniforme_GLOBZ	2.00						
187	permanentil platea	Uniforme_GLOBZ	2.00						
188	Peso Proprio	Peso Proprio kg	2414						
188	spinta acqua	Uniforme_GLOBZ	2.00						
188	permanentil platea	Uniforme_GLOBZ	2.00						
189	Peso Proprio	Peso Proprio kg	1170						
189	spinta acqua	Uniforme_GLOBZ	2.00						
189	permanentil platea	Uniforme_GLOBZ	2.00						
190	Peso Proprio	Peso Proprio kg	1170						
190	spinta acqua	Uniforme_GLOBZ	2.00						
190	permanentil platea	Uniforme_GLOBZ	2.00						
191	Peso Proprio	Peso Proprio kg	1137						
191	spinta acqua	Uniforme_GLOBZ	2.00						
191	permanentil platea	Uniforme_GLOBZ	2.00						
192	Peso Proprio	Peso Proprio kg	1037						
192	spinta acqua	Uniforme_GLOBZ	2.00						
192	permanentil platea	Uniforme_GLOBZ	2.00						
193	Peso Proprio	Peso Proprio kg	1231						
193	spinta acqua	Uniforme_GLOBZ	2.00						
193	permanentil platea	Uniforme_GLOBZ	2.00						
194	Peso Proprio	Peso Proprio kg	62						
194	accidentali	Uniforme_GLOBZ	0.60						
194	permanentil platea	Uniforme_GLOBZ	0.60						

She 11	Cond.	Tipo	Q	Vert.1	Vert.2	Vert.3	Vert.4	Hw	γ
195	Peso Proprio	Peso Proprio kg	2437						
195	accidentali	Uniforme GLOBZ	0.60						
195	permanenti platea	Uniforme_GLOBZ	0.60						
196	Peso Proprio	Peso Proprio kg	12350						
196	accidentali	Uniforme GLOBZ	0.60						
196	permanenti platea	Uniforme_GLOBZ	0.60						
197	Peso Proprio	Peso Proprio kg	1049						
197	spinta acqua	Idrostatico - Positivo						-1.55	1100
198	Peso Proprio	Peso Proprio kg	3404						
198	spinta acqua	Idrostatico - Positivo						-1.55	1100
199	Peso Proprio	Peso Proprio kg	4260						
199	spinta acqua	Idrostatico - Negativo						-1.55	1100
200	Peso Proprio	Peso Proprio kg	1840						
200	spinta acqua	Idrostatico - Negativo						-1.55	1100
201	Peso Proprio	Peso Proprio kg	2118						
201	accidentali	Uniforme GLOBZ	0.60						
201	permanenti platea	Uniforme_GLOBZ	0.60						
202	Peso Proprio	Peso Proprio kg	747						
202	accidentali	Uniforme GLOBZ	0.60						
202	permanenti platea	Uniforme_GLOBZ	0.60						
203	Peso Proprio	Peso Proprio kg	1237						
203	accidentali	Uniforme_GLOBZ	0.60						
203	permanenti platea	Uniforme_GLOBZ	0.60						
204	Peso Proprio	Peso Proprio kg	2157						
204	accidentali	Uniforme GLOBZ	0.60						
204	permanenti platea	Uniforme_GLOBZ	0.60						
205	Peso Proprio	Peso Proprio kg	2225						
205	accidentali	Uniforme GLOBZ	0.60						
205	permanenti platea	Uniforme_GLOBZ	0.60						
206	Peso Proprio	Peso Proprio kg	1804						
207	Peso Proprio	Peso Proprio kg	3234						
207	spinta acqua	Idrostatico - Positivo						-1.55	1100
208	Peso Proprio	Peso Proprio kg	490						
209	Peso Proprio	Peso Proprio kg	436						
210	Peso Proprio	Peso Proprio kg	2179						
210	spinta acqua	Idrostatico - Positivo						-1.55	1100
211	Peso Proprio	Peso Proprio kg	581						
211	spinta acqua	Idrostatico - Positivo						-1.55	1100
212	Peso Proprio	Peso Proprio kg	581						
212	spinta acqua	Idrostatico - Positivo						-1.55	1100
213	Peso Proprio	Peso Proprio kg	653						
213	spinta acqua	Idrostatico - Positivo						-1.55	1100
214	Peso Proprio	Peso Proprio kg	835						
214	spinta acqua	Idrostatico - Positivo						-1.55	1100
215	Peso Proprio	Peso Proprio kg	835						
215	spinta acqua	Idrostatico - Positivo						-1.55	1100
216	Peso Proprio	Peso Proprio kg	835						
216	spinta acqua	Idrostatico - Positivo						-1.55	1100
217	Peso Proprio	Peso Proprio kg	840						
217	spinta acqua	Idrostatico - Positivo						-1.55	1100
218	Peso Proprio	Peso Proprio kg	840						
218	spinta acqua	Idrostatico - Positivo						-1.55	1100
219	Peso Proprio	Peso Proprio kg	730						
219	spinta acqua	Idrostatico - Positivo						-1.55	1100
220	Peso Proprio	Peso Proprio kg	1464						
220	spinta acqua	Idrostatico - Positivo						-1.55	1100
221	Peso Proprio	Peso Proprio kg	436						
222	Peso Proprio	Peso Proprio kg	542						
223	Peso Proprio	Peso Proprio kg	1450						
224	Peso Proprio	Peso Proprio kg	2160						
225	Peso Proprio	Peso Proprio kg	653						
225	spinta acqua	Idrostatico - Positivo						-1.55	1100
226	Peso Proprio	Peso Proprio kg	749						
226	spinta acqua	Idrostatico - Positivo						-1.55	1100
227	Peso Proprio	Peso Proprio kg	749						
227	spinta acqua	Idrostatico - Positivo						-1.55	1100
228	Peso Proprio	Peso Proprio kg	653						

She 11	Cond.	Tipo	Q	Vert.1	Vert.2	Vert.3	Vert.4	Hw	γ
228	spinta acqua	Idrostatico - Positivo						-1.55	1100
229	Peso Proprio	Peso Proprio kg	514						
229	spinta acqua	Idrostatico - Positivo						-1.55	1100
230	Peso Proprio	Peso Proprio kg	835						
230	spinta acqua	Idrostatico - Positivo						-1.55	1100
231	Peso Proprio	Peso Proprio kg	436						
232	Peso Proprio	Peso Proprio kg	581						
232	spinta acqua	Idrostatico - Positivo						-1.55	1100
233	Peso Proprio	Peso Proprio kg	509						
233	spinta acqua	Idrostatico - Positivo						-1.55	1100
234	Peso Proprio	Peso Proprio kg	514						
234	spinta acqua	Idrostatico - Positivo						-1.55	1100
235	Peso Proprio	Peso Proprio kg	7460						
235	grigliatura	Uniforme GLOBZ	0.60						
236	Peso Proprio	Peso Proprio kg	1292						
236	grigliatura	Uniforme GLOBZ	0.60						
237	Peso Proprio	Peso Proprio kg	1488						
237	grigliatura	Uniforme GLOBZ	0.60						
238	Peso Proprio	Peso Proprio kg	1488						
238	grigliatura	Uniforme GLOBZ	0.60						
239	Peso Proprio	Peso Proprio kg	2593						
239	grigliatura	Uniforme GLOBZ	0.60						
240	Peso Proprio	Peso Proprio kg	675						
240	accidentali	Uniforme GLOBZ	0.10						
240	neve	Uniforme GLOBZ	0.05						
241	Peso Proprio	Peso Proprio kg	844						
241	accidentali	Uniforme GLOBZ	0.10						
241	neve	Uniforme GLOBZ	0.05						
242	Peso Proprio	Peso Proprio kg	759						
242	accidentali	Uniforme GLOBZ	0.10						
242	neve	Uniforme GLOBZ	0.05						
243	Peso Proprio	Peso Proprio kg	750						
243	accidentali	Uniforme GLOBZ	0.10						
243	neve	Uniforme GLOBZ	0.05						
244	Peso Proprio	Peso Proprio kg	56						
244	accidentali	Uniforme GLOBZ	0.10						
244	neve	Uniforme GLOBZ	0.05						
245	Peso Proprio	Peso Proprio kg	56						
245	accidentali	Uniforme GLOBZ	0.10						
245	neve	Uniforme GLOBZ	0.05						
246	Peso Proprio	Peso Proprio kg	952						
246	accidentali	Uniforme GLOBZ	0.10						
246	neve	Uniforme GLOBZ	0.05						
247	Peso Proprio	Peso Proprio kg	952						
247	accidentali	Uniforme GLOBZ	0.10						
247	neve	Uniforme GLOBZ	0.05						
248	Peso Proprio	Peso Proprio kg	56						
248	accidentali	Uniforme GLOBZ	0.10						
248	neve	Uniforme GLOBZ	0.05						
249	Peso Proprio	Peso Proprio kg	675						
249	accidentali	Uniforme GLOBZ	0.10						
249	neve	Uniforme GLOBZ	0.05						
250	Peso Proprio	Peso Proprio kg	844						
250	accidentali	Uniforme GLOBZ	0.10						
250	neve	Uniforme GLOBZ	0.05						
251	Peso Proprio	Peso Proprio kg	759						
251	accidentali	Uniforme GLOBZ	0.10						
251	neve	Uniforme GLOBZ	0.05						
252	Peso Proprio	Peso Proprio kg	750						
252	accidentali	Uniforme GLOBZ	0.10						
252	neve	Uniforme GLOBZ	0.05						
253	Peso Proprio	Peso Proprio kg	56						
253	accidentali	Uniforme GLOBZ	0.10						
253	neve	Uniforme GLOBZ	0.05						
254	Peso Proprio	Peso Proprio kg	952						
254	accidentali	Uniforme GLOBZ	0.10						
254	neve	Uniforme GLOBZ	0.05						
255	Peso Proprio	Peso Proprio kg	952						
255	accidentali	Uniforme GLOBZ	0.10						
255	neve	Uniforme GLOBZ	0.05						
256	Peso Proprio	Peso Proprio kg	56						
257	Peso Proprio	Peso Proprio kg	675						
258	Peso Proprio	Peso Proprio kg	844						
259	Peso Proprio	Peso Proprio kg	759						

She 11	Cond.	Tipo	Q	Vert.1	Vert.2	Vert.3	Vert.4	Hw	γ
260	Peso Proprio	Peso Proprio kg	750						
261	Peso Proprio	Peso Proprio kg	56						
262	Peso Proprio	Peso Proprio kg	56						
263	Peso Proprio	Peso Proprio kg	952						
264	Peso Proprio	Peso Proprio kg	952						
265	Peso Proprio	Peso Proprio kg	56						
266	Peso Proprio	Peso Proprio kg	56						
267	Peso Proprio	Peso Proprio kg	750						
268	Peso Proprio	Peso Proprio kg	759						
269	Peso Proprio	Peso Proprio kg	844						
270	Peso Proprio	Peso Proprio kg	675						
271	Peso Proprio	Peso Proprio kg	56						
272	Peso Proprio	Peso Proprio kg	56						
273	Peso Proprio	Peso Proprio kg	952						
274	Peso Proprio	Peso Proprio kg	952						
275	Peso Proprio	Peso Proprio kg	56						

Tabella solai tipo

Sol.N°	Descrizione	Spessore	QP	QF	QVar.	ψ0	ψ1	ψ2	Luce netta	Def	%QX	%QY
		m	t/mq	t/mq	t/mq							
1	Copertura	0.35	0.43	0.20	0.05	0.00	0.00	0.00	No	No	100	0

Dati solai

Solaio n°	Nodi	Tipo
0	6059-6040-6041-6055-6060	Copertura
0	6060-6055-6056-6061	Copertura
0	6056-6042-6043-6062-6061	Copertura
0	6085-6059-6060-6061-6062-6090	Copertura
0	6100-6085-6090-6104-6102	Copertura
3	6040-6014-6015-6017-6043-6042-6041	Copertura

Tabulati di verifica

L'esito di ogni elaborazione viene sintetizzato nei disegni e schemi grafici allegati, che evidenziano i valori numerici nei punti e/o nelle sezioni significative, ai fini della valutazione del comportamento complessivo della struttura, e quelli necessari ai fini delle verifiche di misura della sicurezza.

Di seguito si riportano le tabelle relative a:

- Forze sismiche e masse
- Massime tensioni terreno platee per combinazione
- Massimi spostamenti dei nodi
- Massime reazioni vincolari
- Massimi spostamenti degli impalcati
- Massimi spostamenti degli impalcati (SLD)
- Massime sollecitazioni travi
- Massime sollecitazioni pilastri
- Massime sollecitazioni muri Discretizzati

Risultati Analisi Dinamica - Baricentri masse e masse

Scenario di calcolo: **ScenarioNT_ 2018 A2_SLV_SLD_STR_GEO**

Piano	Rigido	Massa	X	Y	Z
		kg	m	m	m
0	Si	0	0.00	0.00	0.00
1	Si	426397	6.20	5.31	-3.96
2	Si	141517	6.96	5.52	-2.57
3	Si	67132	6.91	5.95	-1.32
4	No	297288	4.47	8.10	-0.03
5	Si	42698	6.33	7.77	0.45
6	Si	202484	5.05	6.80	5.40
7	Si	5315	5.00	7.19	5.77

Piano	Rigido	Massa	X	Y	Z
		kg	m	m	m
0	Si	0	0.00	0.00	0.00
1	Si	426397	6.61	5.89	-3.96

Piano	Rigido	Massa	X	Y	Z
2	Si	141517	7.36	6.10	-2.57
3	Si	67132	7.31	6.53	-1.32
4	No	297288	5.01	8.94	-0.03
5	Si	42698	6.73	8.35	0.45
6	Si	202484	5.58	7.64	5.40
7	Si	5315	5.53	8.02	5.77

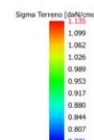
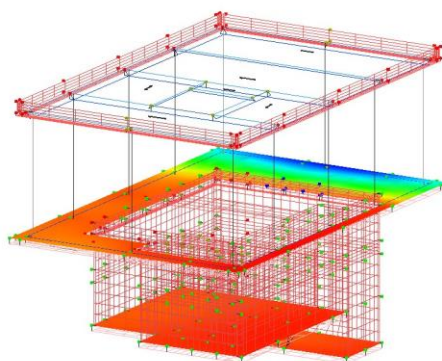
Piano	Rigido	Massa kg	X m	Y m	Z m
0	Si	0	0.00	0.00	0.00
1	Si	426397	6.20	6.46	-3.96
2	Si	141517	6.96	6.68	-2.57
3	Si	67132	6.91	7.11	-1.32
4	No	297288	4.47	9.77	-0.03
5	Si	42698	6.33	8.93	0.45
6	Si	202484	5.05	8.48	5.40
7	Si	5315	5.00	8.86	5.77

Piano	Rigido	Massa kg	X m	Y m	Z m
0	Si	0	0.00	0.00	0.00
1	Si	426397	5.80	5.89	-3.96
2	Si	141517	6.55	6.10	-2.57
3	Si	67132	6.50	6.53	-1.32
4	No	297288	3.94	8.94	-0.03
5	Si	42698	5.93	8.35	0.45
6	Si	202484	4.51	7.64	5.40
7	Si	5315	4.46	8.02	5.77

Risultati Analisi Dinamica - Sollecitazioni massime per combinazione - Sigma terreno platea
Scenario di calcolo: **ScenarioNT_ 2018 A2_SLV_SLD_STR_GEO**

Combinazione	Muro	Nodi	SigmaMax daN/cm ²	SigmaMin daN/cm ²
1	15	4019-4045-4043-4025-4017	0.95	0.66
2	15	4019-4045-4043-4025-4017	1.14	0.77
3	15	4019-4045-4043-4025-4017	1.10	0.69
4-I-1	15	4019-4045-4043-4025-4017	0.80	0.50
4-II-1	15	4019-4045-4043-4025-4017	0.78	0.49
4-I-2	15	4019-4045-4043-4025-4017	0.80	0.50
4-II-2	15	4019-4045-4043-4025-4017	0.78	0.49
4-I-3	15	4019-4045-4043-4025-4017	0.80	0.50
4-II-3	15	4019-4045-4043-4025-4017	0.78	0.49
4-I-4	15	4019-4045-4043-4025-4017	0.80	0.49
4-II-4	15	4019-4045-4043-4025-4017	0.78	0.49
5-I-1	15	4019-4045-4043-4025-4017	0.78	0.53
5-II-1	1	4006-4019-4017-4005	0.80	0.47
5-I-2	15	4019-4045-4043-4025-4017	0.78	0.53
5-II-2	1	4006-4019-4017-4005	0.81	0.47
5-I-3	15	4019-4045-4043-4025-4017	0.78	0.53
5-II-3	1	4006-4019-4017-4005	0.80	0.47
5-I-4	15	4019-4045-4043-4025-4017	0.78	0.53
5-II-4	1	4006-4019-4017-4005	0.80	0.47
Assoluti				
2	15	4019-4045-4043-4025-4017	1.14	
5-II-3	1	4006-4019-4017-4005		0.47

Tipo diagramma: Tensioni medie terreno
Combinazione corrente : Scenario ScenarioNT_ 2018 A2_SLV_SLD_STR_GEO - C 2
Tensioni medie terreno aste
Tensioni medie terreno platee



Risultati Analisi Dinamica - Spostamenti massimi - Nodi
Scenario di calcolo: ScenarioNT_ 2018 A2_SLV_SLD_STR_GEO

la tripletta (Cb [-SubC-Cbm]) indica la Combinazione - SottoCombinazione sismica - Posizione Masse, nel caso non sismico mancano SubC-Cbm

Nodo	Trasl. X mm	Trasl. Y mm	Trasl. Z mm	Rotaz. X mrad	Rotaz. Y mrad	Rotaz. Z mrad
72	0.00 (1)	0.00 (1)	-11.04 (2)	0.01 (2)	0.02 (1)	0.00 (1)
73	0.00 (1)	0.00 (1)	-11.07 (2)	0.04 (2)	0.03 (1)	0.00 (1)
74	0.00 (1)	0.00 (1)	-11.12 (2)	0.06 (2)	0.03 (1)	0.00 (1)
75	0.00 (1)	0.00 (1)	-11.16 (2)	0.04 (3)	0.03 (3)	0.00 (1)
77	0.00 (1)	0.00 (1)	-11.20 (2)	0.02 (3)	0.02 (2)	0.00 (1)
78	0.00 (1)	0.00 (1)	-11.02 (2)	0.01 (3)	0.03 (1)	0.00 (1)
82	0.00 (1)	0.00 (1)	-11.18 (2)	0.02 (3)	0.03 (2)	0.00 (1)
86	0.00 (1)	0.00 (1)	-11.02 (2)	0.01 (1)	0.01 (3)	0.00 (1)
87	-0.01 (3)	-0.05 (1)	-11.02 (2)	0.13 (1)	-0.00 (4-I-3)	-0.05 (1)
88	-0.02 (3)	-0.09 (1)	-11.04 (2)	0.23 (1)	0.00 (1)	-0.03 (1)
89	-0.03 (1)	-0.08 (1)	-11.07 (2)	0.23 (1)	0.00 (3)	-0.02 (3)
90	0.00 (1)	0.00 (1)	-11.15 (2)	0.01 (1)	0.01 (1)	0.00 (1)
1021	0.00 (1)	0.00 (1)	-11.17 (2)	-0.01 (4-II-1)	0.01 (1)	0.00 (1)
1022	0.00 (1)	0.00 (1)	-11.19 (2)	-0.02 (4-II-1)	0.02 (1)	0.00 (1)
1023	0.00 (1)	0.00 (1)	-11.20 (2)	-0.03 (3)	0.02 (1)	0.00 (1)
1024	0.00 (1)	0.00 (1)	-11.22 (2)	-0.03 (3)	0.01 (1)	0.00 (1)
1025	0.00 (1)	0.00 (1)	-11.24 (2)	-0.01 (3)	0.00 (1)	0.00 (1)
1029	0.00 (1)	0.00 (1)	-11.07 (2)	0.01 (2)	0.02 (1)	0.00 (1)
1030	0.00 (1)	0.00 (1)	-11.16 (2)	0.02 (1)	0.03 (3)	0.00 (1)
1031	0.00 (1)	0.00 (1)	-11.19 (2)	0.01 (1)	0.03 (1)	0.00 (1)
1032	0.00 (1)	0.00 (1)	-11.22 (2)	-0.01 (4-II-1)	0.02 (1)	0.00 (1)
1033	0.00 (1)	0.00 (1)	-11.24 (2)	-0.01 (3)	0.01 (1)	0.00 (1)
1035	0.00 (1)	0.00 (1)	-11.05 (2)	0.02 (1)	0.03 (1)	0.00 (1)
1036	0.00 (1)	0.00 (1)	-11.15 (2)	0.03 (1)	0.04 (1)	0.00 (1)
1037	0.00 (1)	0.00 (1)	-11.22 (2)	-0.01 (3)	0.03 (1)	0.00 (1)
1043	0.00 (1)	0.00 (1)	-11.26 (2)	-0.00 (5-I-2)	-0.02 (3)	0.00 (1)
1047	0.00 (1)	0.00 (1)	-11.03 (2)	0.01 (1)	0.03 (1)	0.00 (1)
1048	0.00 (1)	0.00 (1)	-11.13 (2)	0.01 (1)	0.05 (3)	0.00 (1)
1049	0.00 (1)	0.00 (1)	-11.22 (2)	0.01 (1)	0.03 (1)	0.00 (1)
1051	0.00 (1)	0.00 (1)	-11.02 (2)	0.00 (3)	0.03 (1)	0.00 (1)
1052	0.00 (1)	0.00 (1)	-11.10 (2)	0.01 (3)	0.05 (3)	0.00 (1)
1053	0.00 (1)	0.00 (1)	-11.20 (2)	0.01 (3)	0.04 (1)	0.00 (1)
1054	0.00 (1)	0.00 (1)	-11.24 (2)	0.01 (1)	0.02 (1)	0.00 (1)
1062	0.00 (1)	0.00 (1)	-11.23 (2)	0.02 (1)	-0.01 (3)	0.00 (1)
1067	0.00 (1)	0.00 (1)	-11.02 (2)	-0.00 (5-I-1)	0.02 (1)	0.00 (1)
1068	0.00 (1)	0.00 (1)	-11.08 (2)	0.01 (3)	0.04 (1)	0.00 (1)
1069	0.00 (1)	0.00 (1)	-11.17 (2)	0.02 (3)	0.04 (1)	0.00 (1)

**POTENZIAMENTO DELL'IMPIANTO DI DEPURAZIONE E
DEL RECAPITO FINALE DI SQUINZANO (LE)
PROGETTO DEFINITIVO
Tabulati di calcolo strutturale-Edificio Grigliatura
Grossolana**

R.37.11

Maggio 2021

Pagina 38 di 183

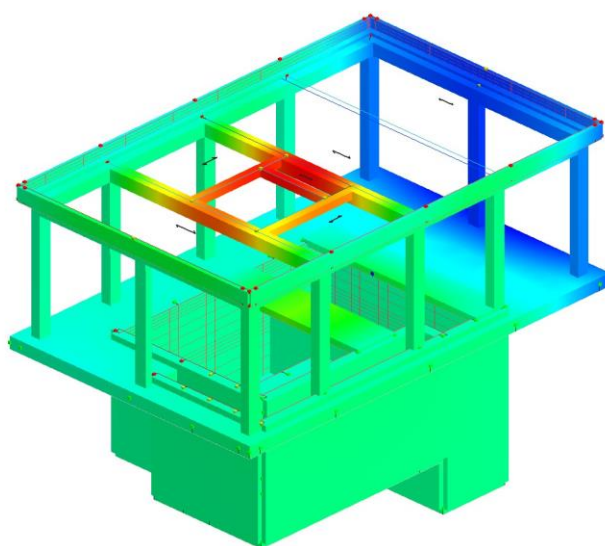
Nodo	Trasl. X	Trasl. Y	Trasl. Z	Rotaz. X	Rotaz. Y	Rotaz. Z
1070	0.00(1)	0.00(1)	-11.22(2)	0.02(1)	0.02(1)	0.00(1)
1072	0.00(1)	0.00(1)	-11.03(2)	-0.02(3)	0.02(1)	0.00(1)
1073	0.01(1)	0.01(2)	-11.06(2)	-0.06(2)	0.03(3)	-0.01(1)
1074	0.01(1)	0.02(2)	-11.10(2)	-0.07(2)	0.04(3)	-0.01(1)
1075	0.01(3)	0.01(2)	-11.16(2)	-0.03(2)	0.04(1)	-0.01(2)
1076	0.00(1)	0.00(1)	-11.21(2)	0.02(1)	0.01(1)	0.00(1)
1077	0.00(1)	0.00(1)	-11.21(2)	0.01(1)	0.01(1)	0.00(1)
1078	0.05(1)	-0.01(1)	-11.02(2)	-0.00(1)	0.02(3)	0.02(1)
1082	-0.05(1)	-0.01(1)	-11.18(2)	0.00(2)	-0.01(3)	0.01(3)
1086	0.02(1)	-0.00(3)	-11.02(2)	-0.01(3)	0.01(3)	-0.09(1)
1087	0.04(1)	-0.33(1)	-11.03(2)	-0.05(3)	0.00(3)	-0.22(1)
1088	-0.02(3)	-0.60(1)	-11.06(2)	-0.08(3)	-0.00(1)	-0.07(1)
1089	-0.04(1)	-0.59(1)	-11.09(2)	-0.07(3)	-0.02(3)	0.09(1)
1090	-0.05(1)	0.00(1)	-11.15(2)	-0.03(3)	-0.03(3)	0.11(1)
2021	0.01(1)	-0.02(4-I-2)	-11.18(2)	-0.04(1)	-0.03(1)	0.07(2)
2022	0.01(1)	0.15(1)	-11.19(2)	0.03(5-I-2)	0.02(3)	0.08(2)
2023	-0.01(4-I-1)	0.19(1)	-11.21(2)	0.03(5-I-2)	0.02(3)	-0.01(1)
2024	-0.02(3)	0.12(1)	-11.23(2)	0.02(5-I-2)	0.02(1)	-0.10(1)
2025	-0.01(3)	0.01(4-I-1)	-11.25(2)	0.02(3)	-0.01(4-I-1)	0.03(4-I-1)
2029	0.03(1)	-0.01(4-I-4)	-11.07(2)	-0.03(1)	-0.04(4-I-4)	-0.01(1)
2030	0.02(1)	-0.01(4-I-2)	-11.16(2)	0.01(5-I-1)	0.04(1)	-0.03(1)
2031	0.02(1)	-0.03(2)	-11.20(2)	0.01(5-I-1)	0.02(1)	-0.01(4-II-2)
2032	0.02(2)	-0.02(2)	-11.22(2)	0.00(1)	0.01(1)	0.02(2)
2033	0.02(3)	-0.00(2)	-11.24(2)	0.01(3)	0.00(1)	0.00(1)
2035	0.08(1)	0.01(1)	-11.05(2)	0.01(1)	-0.04(4-I-1)	-0.05(1)
2036	0.08(1)	-0.03(2)	-11.15(2)	0.01(1)	0.04(1)	-0.00(3)
2037	0.06(1)	-0.02(1)	-11.24(2)	0.01(1)	0.03(1)	-0.00(2)
2043	-0.16(4-I-1)	0.01(5-II-2)	-11.27(2)	0.01(3)	-0.04(4-I-1)	0.02(4-I-4)
2047	0.14(1)	-0.00(4-I-4)	-11.04(2)	0.01(1)	-0.04(4-I-1)	-0.01(1)
2048	0.08(1)	-0.03(2)	-11.13(2)	0.01(1)	0.04(1)	-0.00(3)
2049	0.06(1)	-0.02(1)	-11.22(2)	0.01(1)	0.03(1)	-0.00(2)
2051	0.14(1)	-0.00(1)	-11.03(2)	0.00(5-II-2)	-0.03(4-I-4)	-0.01(4-I-1)
2052	0.08(1)	-0.03(2)	-11.11(2)	0.01(3)	0.04(1)	0.00(3)
2053	0.06(1)	-0.02(2)	-11.20(2)	0.01(3)	0.03(1)	-0.00(2)
2054	0.08(2)	-0.00(1)	-11.25(2)	0.02(3)	0.01(1)	-0.00(1)
2062	-0.08(4-I-4)	-0.01(1)	-11.24(2)	0.02(3)	-0.02(4-I-4)	-0.07(3)
2067	0.11(1)	0.01(4-I-4)	-11.03(2)	0.00(5-II-2)	-0.02(4-I-4)	0.03(1)
2068	0.08(1)	-0.03(2)	-11.08(2)	0.01(3)	0.04(1)	0.00(3)
2069	0.06(1)	-0.02(3)	-11.18(2)	0.01(3)	0.03(1)	-0.00(2)
2070	0.05(2)	0.00(2)	-11.24(2)	0.02(3)	0.01(1)	0.03(2)
2072	0.07(1)	0.01(4-I-4)	-11.03(2)	-0.01(3)	0.02(1)	0.03(1)
2073	0.07(3)	0.11(2)	-11.07(2)	-0.04(2)	0.03(3)	0.07(2)
2074	0.05(1)	0.18(2)	-11.10(2)	-0.07(2)	0.04(3)	-0.01(1)
2075	0.04(1)	0.11(2)	-11.16(2)	-0.05(2)	0.03(1)	-0.07(2)
2076	0.02(1)	0.00(2)	-11.22(2)	0.01(1)	-0.02(3)	0.01(3)
2077	0.01(4-II-4)	-0.01(1)	-11.22(2)	-0.00(4-II-3)	0.01(4-II-4)	-0.03(4-I-4)
2078	0.06(3)	0.02(3)	-11.01(2)	-0.01(1)	-0.00(1)	0.03(1)
2082	-0.04(3)	0.02(3)	-11.19(2)	-0.01(1)	0.01(1)	0.02(3)
2086	-0.03(3)	0.00(4-I-3)	-11.00(2)	-0.03(1)	0.01(3)	0.10(3)
2087	-0.03(3)	0.19(3)	-11.03(2)	-0.21(1)	0.01(3)	0.10(3)
2088	-0.01(3)	0.29(3)	-11.07(2)	-0.34(1)	-0.00(1)	-0.05(1)
2089	-0.02(1)	0.27(3)	-11.11(2)	-0.33(1)	-0.02(3)	-0.05(3)
2090	-0.03(1)	0.01(1)	-11.16(2)	-0.04(1)	-0.03(3)	-0.07(3)
3021	0.01(1)	-0.02(5-I-1)	-11.18(2)	0.04(5-I-1)	0.03(3)	0.09(1)
3022	0.01(1)	0.13(1)	-11.20(2)	0.09(3)	0.04(3)	0.07(2)
3023	-0.01(4-I-1)	0.16(1)	-11.22(2)	0.10(3)	0.03(3)	-0.01(1)
3024	-0.02(3)	0.10(1)	-11.24(2)	0.06(3)	0.03(3)	-0.09(1)
3025	-0.01(4-I-1)	0.01(4-I-1)	-11.26(2)	0.02(3)	-0.01(4-I-1)	0.03(4-I-1)
3029	0.03(1)	-0.01(4-I-4)	-11.06(2)	-0.05(5-I-1)	-0.05(4-I-1)	-0.04(1)
3030	0.03(1)	-0.03(4-I-2)	-11.18(2)	0.02(5-I-1)	0.03(4-I-4)	-0.02(2)
3031	0.03(3)	-0.03(2)	-11.20(2)	0.01(5-I-1)	0.03(4-I-4)	-0.00(4-II-2)
3032	0.03(3)	-0.02(2)	-11.22(2)	0.00(1)	0.02(4-I-2)	0.02(2)
3033	0.02(3)	-0.00(2)	-11.24(2)	0.01(3)	-0.00(2)	0.01(1)
3035	0.08(1)	-0.01(4-I-4)	-11.06(2)	-0.02(5-I-1)	-0.04(4-I-1)	-0.04(1)
3036	0.10(1)	-0.04(2)	-11.15(2)	0.02(1)	0.04(1)	-0.00(3)
3037	0.07(1)	-0.03(1)	-11.24(2)	0.01(1)	0.03(1)	-0.00(2)
3043	-0.17(4-I-1)	0.01(5-II-2)	-11.28(2)	0.00(1)	0.05(4-II-1)	0.02(4-I-4)
3047	0.12(1)	-0.00(4-I-3)	-11.05(2)	0.01(1)	-0.05(1)	-0.01(1)
3048	0.11(1)	-0.03(2)	-11.13(2)	0.02(1)	0.04(1)	-0.00(3)
3049	0.08(1)	-0.03(1)	-11.22(2)	0.01(1)	0.03(1)	-0.00(2)
3051	0.12(1)	-0.00(1)	-11.04(2)	-0.01(5-I-2)	-0.05(1)	-0.01(4-I-1)
3052	0.11(1)	-0.03(2)	-11.11(2)	0.01(3)	0.04(1)	0.00(5-I-2)
3053	0.08(1)	-0.03(2)	-11.20(2)	0.01(3)	0.03(1)	-0.00(2)
3054	0.08(2)	-0.00(1)	-11.25(2)	0.02(3)	-0.01(2)	-0.01(1)
3062	-0.08(4-I-4)	-0.01(1)	-11.25(2)	0.01(1)	0.03(4-II-4)	-0.06(4-I-1)

Nodo	Trasl. X	Trasl. Y	Trasl. Z	Rotaz. X	Rotaz. Y	Rotaz. Z
3067	0.10(1)	0.01(4-I-4)	-11.04(2)	0.01(1)	-0.04(4-I-4)	-0.02(4-I-4)
3068	0.11(1)	-0.03(2)	-11.08(2)	0.01(3)	0.04(1)	0.00(3)
3069	0.08(1)	-0.03(3)	-11.18(2)	0.01(3)	0.03(1)	-0.00(2)
3070	0.05(2)	0.00(2)	-11.24(2)	0.03(3)	-0.01(3)	0.03(2)
3072	0.08(1)	0.01(4-I-4)	-11.04(2)	0.01(1)	-0.04(4-I-4)	-0.03(4-I-4)
3073	0.09(3)	0.13(2)	-11.07(2)	-0.04(2)	0.02(3)	0.08(2)
3074	0.07(1)	0.22(2)	-11.10(2)	-0.07(2)	0.02(3)	-0.01(1)
3075	0.06(1)	0.13(2)	-11.16(2)	-0.04(2)	0.01(4-I-3)	-0.08(2)
3076	0.03(1)	-0.00(1)	-11.23(2)	0.01(3)	-0.02(1)	0.01(3)
3077	0.01(4-II-4)	0.01(4-II-2)	-11.22(2)	0.01(2)	-0.01(4-I-2)	-0.03(4-I-4)
3078	0.05(3)	0.02(3)	-11.01(2)	0.01(3)	-0.02(3)	0.03(1)
3082	-0.04(3)	0.02(3)	-11.19(2)	0.01(3)	0.01(4-II-3)	0.02(3)
3086	-0.03(3)	0.01(3)	-10.99(2)	-0.04(1)	0.01(3)	0.11(3)
3087	-0.03(3)	0.25(3)	-11.02(2)	-0.20(1)	0.02(4-I-3)	0.12(3)
3088	-0.01(3)	0.37(3)	-11.05(2)	-0.31(1)	0.02(4-I-3)	-0.03(1)
3089	-0.01(1)	0.34(3)	-11.09(2)	-0.30(1)	0.01(2)	-0.05(3)
3090	-0.02(1)	0.01(1)	-11.16(2)	-0.04(3)	-0.03(3)	-0.08(3)
3118	-0.01(5-I-1)	0.04(5-I-1)	-11.06(2)	0.03(5-I-1)	0.04(4-I-4)	-0.01(5-I-1)
3119	0.00(1)	0.00(1)	-11.20(2)	0.04(5-I-1)	-0.05(1)	0.00(1)
4001	0.00(1)	0.00(1)	-10.93(2)	-0.15(5-I-1)	0.19(4-I-1)	0.00(1)
4002	0.00(1)	0.00(1)	-10.92(2)	-0.16(5-I-1)	0.18(4-I-1)	0.00(1)
4003	0.00(1)	0.00(1)	-11.01(2)	-0.16(5-I-1)	0.11(4-I-1)	0.00(1)
4004	0.00(1)	0.00(1)	-11.17(2)	-0.10(5-I-2)	0.04(3)	0.00(1)
4005	0.00(1)	0.00(1)	-11.32(2)	-0.11(5-I-2)	0.09(4-I-1)	0.00(1)
4006	0.00(1)	0.00(1)	-11.34(2)	-0.10(5-I-2)	0.09(4-I-1)	0.00(1)
4012	0.00(1)	0.00(1)	-10.95(2)	-0.15(5-I-1)	0.19(4-I-1)	0.00(1)
4014	0.00(1)	0.00(1)	-10.94(2)	-0.17(5-I-1)	0.20(4-I-1)	0.00(1)
4015	0.00(1)	0.00(1)	-11.07(2)	-0.17(5-I-1)	0.14(4-I-1)	0.00(1)
4016	0.00(1)	0.00(1)	-11.19(2)	-0.10(5-I-2)	0.05(3)	0.00(1)
4017	0.00(1)	0.00(1)	-11.33(2)	-0.12(5-I-2)	0.11(4-I-1)	0.00(1)
4019	0.00(1)	0.00(1)	-11.33(2)	0.09(5-II-2)	0.10(4-I-1)	0.00(1)
4020	0.01(3)	-0.01(5-I-1)	-11.11(2)	-0.12(5-I-1)	0.13(3)	-0.01(1)
4021	0.01(4-II-4)	-0.01(1)	-11.13(2)	-0.15(5-I-1)	0.12(3)	0.02(3)
4022	-0.01(4-I-4)	-0.00(5-I-2)	-11.18(2)	-0.11(5-I-2)	0.04(3)	-0.01(3)
4023	-0.00(4-I-4)	-0.00(5-I-2)	-11.20(2)	-0.09(5-I-2)	0.04(3)	-0.01(3)
4024	0.00(4-II-1)	-0.00(5-I-2)	-11.23(2)	-0.07(5-I-2)	0.06(3)	-0.01(1)
4025	0.01(1)	-0.01(5-I-2)	-11.29(2)	0.07(5-II-2)	0.08(4-I-1)	-0.01(5-I-2)
4026	0.00(1)	0.00(1)	-10.93(2)	-0.15(5-I-1)	0.10(4-I-3)	0.00(1)
4027	0.00(1)	0.00(1)	-10.99(2)	-0.14(5-I-1)	0.16(4-I-4)	0.00(1)
4028	0.03(1)	-0.04(5-I-1)	-11.15(2)	-0.03(3)	0.10(3)	-0.03(4-I-1)
4029	0.01(3)	0.02(4-I-1)	-11.03(2)	-0.18(5-I-1)	0.17(4-I-4)	-0.04(3)
4030	0.04(1)	-0.05(5-I-1)	-11.16(2)	0.02(1)	0.13(3)	-0.02(4-I-4)
4031	0.04(3)	-0.04(3)	-11.20(2)	0.01(1)	0.04(4-I-2)	0.01(5-I-1)
4032	0.03(3)	-0.02(3)	-11.22(2)	0.00(1)	0.02(4-I-2)	0.02(3)
4033	0.00(1)	0.00(1)	-11.24(2)	0.01(1)	-0.01(3)	0.00(1)
4034	0.00(1)	0.00(1)	-11.03(2)	-0.04(5-I-1)	0.18(4-I-1)	0.00(1)
4035	-0.00(4-I-1)	-0.00(1)	-11.04(2)	-0.03(5-I-1)	0.16(4-I-1)	0.00(5-I-1)
4038	0.00(1)	0.00(1)	-11.03(2)	-0.05(5-I-1)	0.21(4-I-1)	0.00(1)
4040	0.00(1)	0.00(1)	-11.04(2)	0.07(5-II-1)	0.22(4-I-1)	0.00(1)
4043	0.00(1)	0.00(1)	-11.31(2)	0.02(5-II-2)	0.21(4-I-1)	0.00(1)
4045	0.00(1)	0.00(1)	-11.35(2)	0.01(5-II-2)	0.20(4-I-1)	0.00(1)
4046	0.00(1)	0.00(1)	-11.02(2)	0.01(5-II-2)	0.17(4-I-1)	0.00(1)
4047	-0.00(4-I-1)	-0.00(1)	-11.03(2)	0.01(1)	0.16(4-I-1)	-0.00(1)
4050	0.00(1)	0.00(1)	-11.02(2)	-0.01(4-I-1)	0.17(4-I-4)	0.00(1)
4051	-0.00(4-I-4)	-0.00(1)	-11.03(2)	-0.01(4-I-1)	0.15(4-I-4)	-0.00(1)
4054	0.00(1)	0.00(1)	-11.23(2)	0.02(3)	-0.09(2)	0.00(1)
4057	0.00(1)	0.00(1)	-11.07(2)	0.03(5-II-2)	0.19(4-I-4)	0.00(1)
4059	0.00(1)	0.00(1)	-11.08(2)	0.06(5-II-1)	0.20(4-I-4)	0.00(1)
4062	0.00(1)	0.00(1)	-11.29(2)	-0.02(5-I-2)	0.14(4-I-4)	0.00(1)
4064	0.00(1)	0.00(1)	-11.31(2)	0.02(5-II-2)	0.13(4-I-4)	0.00(1)
4065	0.00(1)	0.00(1)	-11.03(2)	0.01(5-II-2)	0.16(4-I-4)	0.00(1)
4066	0.00(1)	0.00(1)	-11.04(2)	0.01(5-II-2)	0.15(4-I-4)	0.00(1)
4067	-0.01(4-I-4)	-0.00(1)	-11.04(2)	0.01(1)	0.13(4-I-4)	0.00(2)
4070	0.00(1)	0.00(1)	-11.23(2)	0.03(3)	-0.07(2)	0.00(1)
4071	0.00(1)	0.00(1)	-11.03(2)	0.03(3)	0.15(4-I-4)	0.00(1)
4072	-0.01(4-I-4)	-0.00(1)	-11.03(2)	0.04(3)	0.13(4-I-4)	-0.01(3)
4076	0.00(1)	0.00(1)	-11.23(2)	0.02(4-I-4)	-0.02(1)	0.00(1)
4077	0.00(1)	0.00(1)	-11.24(2)	0.03(4-I-4)	0.06(4-I-4)	0.00(1)
4078	0.00(1)	-0.02(3)	-11.03(2)	0.07(3)	-0.03(2)	-0.00(5-II-2)
4082	0.00(1)	0.00(1)	-11.22(2)	0.06(3)	0.06(4-I-3)	0.00(1)
4083	0.00(1)	0.00(1)	-10.59(2)	0.37(3)	0.21(4-I-3)	0.00(1)
4085	0.00(1)	0.00(1)	-10.62(2)	0.39(3)	0.23(4-I-3)	0.00(1)
4086	0.03(3)	-0.01(4-I-3)	-10.82(2)	0.46(3)	0.24(4-I-3)	-0.03(3)
4087	0.01(3)	0.02(3)	-10.88(2)	0.63(3)	0.03(4-I-3)	0.01(3)
4088	0.01(3)	0.01(3)	-10.90(2)	0.72(3)	0.03(4-I-3)	0.01(3)

Nodo	Trasl. X	Trasl. Y	Trasl. Z	Rotaz. X	Rotaz. Y	Rotaz. Z
4089	0.00(1)	0.01(3)	-10.94(2)	0.69(3)	0.06(3)	0.01(3)
4090	0.00(1)	0.00(1)	-11.10(2)	0.35(3)	0.06(4-I-3)	0.00(1)
4092	0.00(1)	0.00(1)	-11.09(2)	0.34(3)	0.06(4-I-3)	0.00(1)
4093	0.00(1)	0.00(1)	-10.69(2)	0.50(3)	0.20(4-I-3)	0.00(1)
4094	0.00(1)	0.00(1)	-10.75(2)	0.71(3)	-0.02(4-II-3)	0.00(1)
4095	0.00(1)	0.00(1)	-10.76(2)	0.77(3)	0.02(4-I-4)	0.00(1)
4096	0.00(1)	0.00(1)	-10.81(2)	0.74(3)	0.05(3)	0.00(1)
4097	0.00(1)	-0.01(3)	-11.01(2)	0.46(3)	0.06(4-I-3)	-0.01(5-II-2)
4098	0.00(1)	0.00(1)	-8.68(2)	0.60(3)	-0.20(4-II-3)	0.00(1)
4100	0.00(1)	0.00(1)	-8.63(2)	0.60(3)	-0.21(4-II-3)	0.00(1)
4101	0.00(1)	0.00(1)	-8.07(2)	0.72(3)	-0.09(4-II-4)	0.00(1)
4102	0.00(1)	0.00(1)	-8.04(2)	0.74(3)	0.11(4-I-3)	0.00(1)
4103	0.00(1)	0.00(1)	-8.29(2)	0.69(3)	0.18(3)	0.00(1)
4104	0.00(1)	0.00(1)	-8.82(2)	0.64(3)	0.26(4-I-3)	0.00(1)
4106	0.00(1)	0.00(1)	-8.91(2)	0.65(3)	0.25(4-I-3)	0.00(1)
4112	0.00(1)	0.00(1)	-8.41(2)	0.61(3)	-0.20(4-II-3)	0.00(1)
4113	0.00(1)	0.00(1)	-8.35(2)	0.61(3)	-0.20(4-II-3)	0.00(1)
4114	0.00(1)	0.00(1)	-7.74(2)	0.73(3)	-0.09(4-II-4)	0.00(1)
4115	0.00(1)	0.00(1)	-7.98(2)	0.70(3)	0.18(3)	0.00(1)
4116	0.00(1)	0.00(1)	-8.52(2)	0.65(3)	0.26(4-I-3)	0.00(1)
4117	0.00(1)	0.00(1)	-8.63(2)	0.65(3)	0.26(4-I-3)	0.00(1)
5021	0.02(3)	0.07(5-I-1)	-11.14(2)	-0.14(5-I-1)	0.08(3)	-0.01(4-I-1)
5022	0.01(4-II-4)	0.05(5-I-2)	-11.18(2)	-0.11(5-I-2)	0.03(3)	-0.01(3)
5023	0.01(1)	0.04(5-I-2)	-11.20(2)	-0.09(5-I-2)	0.03(3)	-0.01(3)
5024	0.02(1)	0.03(5-I-2)	-11.23(2)	-0.07(5-I-2)	0.04(3)	-0.02(3)
5025	0.03(4-I-1)	-0.01(5-II-3)	-11.28(2)	0.03(5-II-2)	0.07(4-I-1)	-0.01(4-I-1)
5029	0.06(4-I-4)	-0.01(1)	-11.05(2)	-0.01(4-II-2)	0.10(4-I-4)	0.02(4-I-1)
5030	0.04(3)	-0.05(5-I-1)	-11.19(2)	0.03(5-I-1)	-0.06(2)	-0.02(4-I-2)
5031	0.05(3)	-0.04(5-I-1)	-11.20(2)	0.01(1)	0.07(1)	0.02(5-I-1)
5032	0.04(3)	-0.02(3)	-11.22(2)	0.00(1)	0.03(3)	0.02(3)
5033	0.02(3)	0.01(3)	-11.24(2)	0.00(1)	0.01(1)	0.01(3)
5035	0.07(4-I-1)	-0.01(1)	-11.04(2)	-0.03(5-I-1)	0.16(4-I-1)	0.01(1)
5043	0.15(4-I-1)	-0.02(5-II-2)	-11.32(2)	0.14(5-II-2)	0.43(4-I-1)	-0.01(5-I-4)
5047	0.07(4-I-1)	-0.01(1)	-11.03(2)	-0.01(5-I-2)	0.16(4-I-1)	-0.00(5-II-2)
5051	0.07(4-I-4)	0.00(2)	-11.02(2)	-0.03(2)	0.19(4-I-4)	0.01(4-I-1)
5054	-0.05(2)	0.00(1)	-11.22(2)	-0.02(2)	-0.15(2)	0.01(1)
5062	0.11(4-I-4)	-0.03(5-II-2)	-11.30(2)	0.17(5-II-2)	0.36(4-I-4)	0.01(5-II-4)
5067	0.06(4-I-4)	-0.01(1)	-11.02(2)	0.03(1)	0.18(4-I-4)	0.00(1)
5070	-0.05(1)	-0.01(1)	-11.21(2)	0.04(3)	-0.15(2)	-0.01(1)
5072	0.04(4-I-4)	-0.01(3)	-11.04(2)	-0.02(3)	0.10(4-I-4)	0.01(4-I-4)
5076	-0.01(4-II-4)	-0.01(4-I-4)	-11.23(2)	0.02(4-I-4)	-0.02(1)	-0.02(2)
5077	0.02(4-I-4)	-0.01(4-II-3)	-11.24(2)	0.03(1)	0.05(4-I-4)	0.03(4-I-4)
5078	-0.02(2)	-0.05(3)	-11.02(2)	-0.07(3)	0.03(4-I-4)	0.04(3)
5079	0.02(4-I-3)	-0.25(3)	-11.52(2)	0.48(3)	0.31(3)	-0.03(3)
5080	0.02(3)	-0.33(3)	-11.85(2)	0.76(3)	0.08(3)	-0.02(3)
5081	0.03(3)	-0.32(3)	-11.85(2)	0.73(3)	-0.07(3)	-0.03(5-II-2)
5082	0.04(3)	-0.04(3)	-11.21(2)	-0.07(3)	0.04(4-I-3)	-0.05(3)
5086	0.06(3)	-0.13(3)	-10.86(2)	0.29(3)	0.09(4-I-3)	0.00(4-I-4)
5087	0.04(3)	-0.26(3)	-10.88(2)	0.58(3)	0.01(4-I-3)	-0.05(3)
5088	0.02(3)	-0.33(3)	-10.90(2)	0.72(3)	0.02(1)	-0.01(3)
5089	0.01(1)	-0.31(3)	-10.94(2)	0.69(3)	0.03(3)	0.02(3)
5090	0.05(4-I-3)	-0.13(5-II-2)	-11.11(2)	0.42(5-II-2)	0.21(4-I-3)	0.02(4-I-1)
6007	7.15(4-I-1)	-5.20(5-II-4)	-10.93(2)	0.33(5-II-1)	0.58(4-I-1)	0.27(5-II-4)
6008	7.15(4-I-1)	-5.15(5-II-4)	-11.03(2)	0.46(5-II-1)	0.59(4-I-1)	0.26(5-II-4)
6009	7.15(4-I-1)	-4.65(5-II-2)	-11.79(2)	1.66(5-II-1)	0.16(4-I-1)	0.27(5-II-4)
6010	7.12(4-I-1)	-4.89(5-II-2)	-11.43(2)	0.43(5-II-2)	-0.45(4-II-1)	0.28(5-II-4)
6011	7.12(4-I-1)	-4.89(5-II-2)	-11.36(2)	0.30(5-II-2)	-0.44(4-II-1)	-0.26(5-I-4)
6013	7.11(4-I-1)	-5.20(5-II-4)	-10.91(2)	0.34(5-II-1)	0.61(4-I-1)	0.28(5-II-4)
6014	7.11(4-I-1)	-5.16(5-II-4)	-10.97(2)	0.52(5-II-1)	0.65(4-I-1)	0.26(5-II-4)
6015	7.11(4-I-1)	-4.66(5-II-2)	-11.33(2)	1.66(5-II-1)	0.25(4-I-1)	0.26(5-II-4)
6017	7.11(4-I-1)	-4.89(5-II-2)	-11.37(2)	0.49(5-II-2)	-0.53(4-II-1)	0.26(5-II-4)
6018	7.10(4-I-1)	-4.90(5-II-2)	-11.33(2)	0.31(5-II-2)	-0.48(4-II-1)	0.25(5-II-4)
6039	6.59(4-I-1)	-5.21(5-II-4)	-10.69(2)	0.13(5-II-1)	1.16(4-I-1)	0.27(5-II-4)
6040	6.60(4-I-1)	-5.16(5-II-4)	-10.91(2)	0.20(5-II-1)	1.21(4-I-1)	0.26(5-II-4)
6041	6.60(4-I-1)	-4.74(5-II-1)	-16.02(2)	-0.23(5-I-1)	0.67(4-II-1)	0.26(5-II-4)
6042	6.60(4-I-1)	-4.74(5-II-2)	-15.25(2)	-0.21(5-I-2)	-1.05(2)	0.26(5-II-4)
6043	6.60(4-I-1)	-4.89(5-II-2)	-11.18(2)	0.23(5-II-2)	-1.17(4-II-1)	0.26(5-II-4)
6044	6.60(4-I-1)	-4.90(5-II-2)	-11.00(2)	0.15(5-II-2)	-1.11(4-II-1)	0.26(5-II-4)
6055	6.18(4-I-2)	-4.74(5-II-1)	-16.94(2)	0.07(5-II-1)	0.53(4-II-2)	0.26(5-II-4)
6056	6.18(4-I-2)	-4.74(5-II-2)	-16.07(2)	0.10(4-I-3)	-0.91(2)	0.26(5-II-4)
6058	6.15(4-I-4)	-5.20(5-II-4)	-10.72(2)	-0.12(5-I-3)	1.23(4-I-4)	-0.27(5-I-4)
6059	6.16(4-I-4)	-5.16(5-II-4)	-10.94(2)	-0.17(5-I-1)	1.28(4-I-4)	0.26(5-II-4)
6060	6.16(4-I-4)	-4.74(5-II-1)	-16.77(2)	0.23(5-II-1)	0.76(4-II-2)	0.26(5-II-4)
6061	6.16(4-I-4)	-4.74(5-II-2)	-15.88(2)	0.23(5-II-2)	-1.23(2)	0.26(5-II-4)
6062	6.16(4-I-4)	-4.89(5-II-2)	-11.16(2)	-0.20(5-I-2)	-1.27(4-II-2)	0.26(5-II-4)

Nodo	Trasl. X	Trasl. Y	Trasl. Z	Rotaz. X	Rotaz. Y	Rotaz. Z
6063	6.16 (4-I-4)	-4.90 (5-II-2)	-10.98 (2)	-0.15 (5-I-2)	-1.22 (4-II-2)	0.27 (5-II-4)
6084	6.54 (4-I-3)	-5.21 (5-II-4)	-10.79 (2)	0.29 (5-II-3)	-1.18 (4-II-3)	0.27 (5-II-4)
6085	6.54 (4-I-3)	-5.16 (5-II-4)	-10.73 (2)	0.35 (5-II-3)	-1.20 (4-II-3)	0.26 (5-II-4)
6090	6.54 (4-I-3)	-4.89 (5-II-2)	-11.19 (2)	0.37 (5-II-2)	1.35 (4-I-3)	0.26 (5-II-4)
6091	6.54 (4-I-3)	-4.90 (5-II-2)	-11.26 (2)	0.30 (5-II-2)	1.33 (4-I-3)	0.27 (5-II-4)
6099	6.99 (4-I-3)	-5.21 (5-II-4)	-8.71 (2)	0.80 (5-II-1)	-0.64 (4-II-3)	0.30 (5-II-4)
6100	7.00 (4-I-3)	-5.16 (5-II-4)	-8.65 (2)	0.83 (5-II-3)	-0.74 (4-II-3)	0.26 (5-II-4)
6102	7.00 (4-I-3)	-4.66 (5-II-2)	-8.12 (2)	0.79 (5-II-3)	0.25 (4-I-3)	0.26 (5-II-4)
6104	7.00 (4-I-3)	-4.89 (5-II-2)	-8.83 (2)	0.87 (5-II-2)	0.80 (4-I-3)	0.26 (5-II-4)
6105	6.98 (4-I-3)	-4.90 (5-II-2)	-8.91 (2)	0.85 (5-II-2)	0.70 (4-I-3)	-0.26 (5-I-4)
6107	7.01 (4-I-3)	-5.20 (5-II-4)	-8.51 (2)	0.79 (5-II-1)	-0.53 (4-II-3)	0.26 (5-II-4)
6108	7.02 (4-I-3)	-5.15 (5-II-4)	-8.47 (2)	0.80 (5-II-3)	-0.54 (4-II-3)	0.28 (5-II-4)
6109	7.02 (4-I-3)	-4.66 (5-II-2)	-8.07 (2)	0.79 (5-II-3)	0.16 (4-I-3)	0.27 (5-II-4)
6110	7.00 (4-I-3)	-4.89 (5-II-2)	-8.63 (2)	0.85 (4-I-3)	0.58 (4-I-3)	-0.29 (5-I-4)
6111	7.00 (4-I-3)	-4.90 (5-II-2)	-8.68 (2)	0.84 (5-II-2)	0.57 (4-I-3)	0.26 (5-II-4)
7007	7.45 (4-I-1)	-5.34 (5-II-4)	-10.93 (2)	0.29 (5-II-1)	0.58 (4-I-1)	-0.26 (5-I-4)
7008	7.44 (4-I-1)	-5.34 (5-II-4)	-11.03 (2)	0.40 (5-II-1)	0.59 (4-I-1)	-0.36 (5-I-4)
7009	7.21 (4-I-1)	-5.47 (5-II-1)	-11.79 (2)	1.63 (5-II-1)	0.07 (5-I-4)	0.28 (5-II-4)
7010	7.22 (4-I-1)	-5.07 (5-II-2)	-11.43 (2)	0.37 (5-II-2)	-0.44 (4-II-1)	0.44 (5-II-4)
7011	7.21 (4-I-1)	-5.03 (5-II-2)	-11.36 (2)	0.26 (5-II-2)	-0.44 (4-II-1)	0.29 (5-II-4)
7013	7.42 (4-I-1)	-5.35 (5-II-4)	-10.91 (2)	0.28 (5-II-1)	0.62 (4-I-1)	0.30 (5-II-4)
7018	7.20 (4-I-1)	-5.03 (5-II-2)	-11.33 (2)	0.25 (5-II-2)	-0.49 (4-II-1)	-0.26 (5-I-4)
7039	7.16 (4-I-1)	-5.26 (5-II-4)	-10.70 (2)	0.07 (5-II-2)	1.14 (4-I-1)	-0.28 (5-I-4)
7044	6.76 (4-I-1)	-4.96 (5-II-2)	-11.01 (2)	0.10 (2)	-1.10 (4-II-1)	0.28 (5-II-4)
7058	6.76 (4-I-4)	-5.21 (5-II-4)	-10.73 (2)	-0.15 (2)	1.22 (4-I-4)	0.31 (5-II-4)
7063	6.39 (4-I-2)	-4.89 (5-II-2)	-10.99 (2)	-0.20 (3)	-1.21 (4-II-2)	-0.29 (5-I-4)
7084	7.03 (4-I-3)	-5.34 (5-II-4)	-10.79 (2)	0.24 (5-II-2)	-1.12 (4-II-3)	0.30 (5-II-4)
7091	7.18 (4-I-3)	-5.04 (5-II-2)	-11.26 (2)	0.25 (5-II-2)	1.27 (4-I-3)	-0.29 (5-I-4)
7099	7.18 (4-I-3)	-5.60 (5-II-4)	-8.71 (2)	0.88 (5-II-1)	-0.56 (4-II-3)	-0.30 (4-II-1)
7105	7.28 (4-I-3)	-5.33 (5-II-2)	-8.91 (2)	0.97 (3)	0.61 (4-I-3)	0.33 (4-I-1)
7107	7.19 (4-I-3)	-5.60 (5-II-4)	-8.50 (2)	0.80 (5-II-1)	-0.48 (4-II-3)	0.24 (5-II-4)
7108	7.19 (4-I-3)	-5.55 (5-II-4)	-8.46 (2)	0.80 (5-II-1)	-0.44 (4-II-3)	0.30 (5-II-4)
7109	7.08 (4-I-3)	-5.05 (5-II-2)	-8.07 (2)	0.79 (5-II-3)	0.05 (4-I-1)	0.28 (5-II-4)
7110	7.27 (4-I-3)	-5.32 (5-II-2)	-8.63 (2)	0.86 (5-II-2)	0.48 (4-I-3)	-0.37 (5-I-4)
7111	7.26 (4-I-3)	-5.33 (5-II-2)	-8.68 (2)	0.85 (5-II-2)	0.52 (4-I-3)	-0.26 (5-I-4)

Tipo diagramma: Deformata
Combinazione corrente: Scenario ScenarioNT_2018 A2_SLV_SLD_STR_GEO - C 2



Risultati Analisi Dinamica - Reazioni massime - Nodi
Scenario di calcolo: ScenarioNT_2018 A2_SLV_SLD_STR_GEO

Nodo	Rx	Ry	Rz	Mx	My	Mz
	kg	kg	kg	kg*m	kg*m	kg*m
72	3012 (1)	-1982 (3)	0	0	0	-543 (3)

Nodo	Rx	Ry	Rz	Mx	My	Mz
73	6428 (1)	5233 (2)	0	0	0	-876 (3)
74	6944 (1)	6619 (1)	0	0	0	-1221 (3)
75	11431 (3)	7990 (1)	0	0	0	-2365 (2)
77	2681 (2)	-2983 (3)	0	0	0	-93 (1)
78	-1736 (1)	-1840 (3)	0	0	0	-309 (3)
82	5642 (1)	-4687 (3)	0	0	0	779 (3)
86	8493 (3)	1067 (1)	0	0	0	1126 (1)
90	22205 (1)	-5270 (3)	0	0	0	3451 (3)
1021	2045 (1)	-1823 (1)	0	0	0	-513 (1)
1022	2891 (3)	-4236 (1)	0	0	0	-335 (1)
1023	2846 (3)	-4646 (3)	0	0	0	-400 (3)
1024	2315 (2)	-3340 (3)	0	0	0	-345 (3)
1025	3454 (2)	2005 (3)	0	0	0	-934 (3)
1029	3418 (3)	-4162 (1)	0	0	0	-1091 (1)
1030	7502 (3)	-4254 (1)	0	0	0	-1241 (3)
1031	2783 (1)	1675 (2)	0	0	0	-652 (1)
1032	1711 (1)	1772 (2)	0	0	0	-291 (1)
1033	-1958 (4-I-1)	2510 (3)	0	0	0	-419 (1)
1035	-2524 (1)	-1665 (1)	0	0	0	-174 (5-II-1)
1036	-3187 (1)	3144 (1)	0	0	0	-251 (4-II-2)
1037	5013 (3)	-896 (4-I-1)	0	0	0	-817 (3)
1043	18768 (3)	-1690 (1)	0	0	0	-1406 (2)
1047	-4455 (1)	-2339 (1)	0	0	0	-382 (1)
1048	-3240 (3)	778 (3)	0	0	0	107 (1)
1049	1080 (3)	1141 (3)	0	0	0	142 (1)
1051	-4393 (1)	-1107 (3)	0	0	0	-184 (5-II-2)
1052	-3392 (3)	1604 (1)	0	0	0	-133 (1)
1053	-662 (1)	-212 (3)	0	0	0	146 (3)
1054	-8547 (2)	-2539 (3)	0	0	0	-500 (2)
1062	10824 (2)	-6920 (3)	0	0	0	3220 (3)
1067	-3102 (1)	-1456 (3)	0	0	0	-410 (3)
1068	-8406 (1)	-3719 (1)	0	0	0	193 (3)
1069	-3930 (1)	3711 (3)	0	0	0	1067 (3)
1070	-2426 (2)	-1795 (3)	0	0	0	426 (1)
1072	-18723 (1)	-8589 (3)	0	0	0	4045 (1)
1076	-6387 (3)	-1554 (3)	0	0	0	1341 (2)
1077	1820 (1)	-7508 (3)	0	0	0	1258 (3)
3119	-942 (4-I-1)	-84 (5-II-1)	0	0	0	401 (4-I-1)
4001	-159 (5-II-1)	-179 (4-II-1)	0	0	0	-3 (5-I-4)
4002	2166 (5-II-1)	-504 (5-II-4)	0	0	0	-104 (5-II-4)
4003	-1459 (4-I-3)	-97 (5-II-2)	0	0	0	29 (3)
4004	-1814 (4-II-1)	-308 (3)	0	0	0	12 (4-II-1)
4005	-1245 (5-II-2)	-311 (5-II-2)	0	0	0	40 (5-II-2)
4006	203 (5-II-2)	-211 (4-I-1)	0	0	0	3 (5-I-2)
4012	-320 (4-II-1)	1222 (4-II-1)	0	0	0	19 (5-II-1)
4014	-30016 (4-I-1)	-29257 (5-I-4)	0	0	0	-4443 (5-I-4)
4015	-42356 (4-I-1)	-5882 (5-I-2)	0	0	0	1372 (4-I-1)
4016	3055 (4-I-1)	-1597 (5-II-3)	0	0	0	-610 (4-I-3)
4017	35495 (4-II-1)	-28128 (5-I-2)	0	0	0	1197 (5-I-2)
4019	-462 (1)	1988 (4-I-1)	0	0	0	55 (5-I-2)
4026	-10796 (4-II-1)	-9142 (3)	0	0	0	-684 (1)
4027	-13792 (3)	-18570 (4-I-1)	0	0	0	-708 (3)
4033	-25148 (3)	-1312 (3)	0	0	0	4091 (3)
4034	-4026 (4-II-1)	4234 (5-I-1)	0	0	0	-168 (4-I-2)
4038	-379 (4-II-1)	863 (5-II-2)	0	0	0	21 (5-II-4)
4040	25728 (4-II-1)	42269 (5-II-4)	0	0	0	3666 (5-II-3)
4043	-9795 (4-I-1)	4894 (5-II-2)	0	0	0	1443 (5-II-2)
4045	881 (4-I-1)	-748 (4-II-1)	0	0	0	-227 (4-I-1)
4046	-5195 (4-II-2)	3626 (5-I-2)	0	0	0	-451 (3)
4050	-6033 (2)	-1391 (5-II-2)	0	0	0	114 (5-II-2)
4054	-1989 (4-I-4)	3031 (1)	0	0	0	-741 (1)
4057	-379 (4-II-2)	-692 (3)	0	0	0	-20 (5-I-4)
4059	-23369 (4-I-2)	40588 (5-II-4)	0	0	0	3248 (5-II-3)
4062	-7776 (4-I-4)	-7965 (5-I-2)	0	0	0	-2073 (5-I-2)
4064	872 (4-I-3)	2121 (1)	0	0	0	112 (4-I-3)
4065	5640 (1)	-3319 (3)	0	0	0	159 (1)
4066	3021 (4-I-4)	-769 (5-II-2)	0	0	0	157 (4-I-3)
4070	-1282 (4-I-4)	1694 (1)	0	0	0	-294 (3)
4071	-3324 (4-II-4)	-8254 (5-II-2)	0	0	0	1074 (3)
4076	-261 (2)	720 (1)	0	0	0	29 (2)
4077	-563 (4-II-3)	5076 (1)	0	0	0	-694 (1)
4082	-4651 (3)	3270 (1)	0	0	0	-1734 (3)
4083	284 (4-I-3)	-1544 (3)	0	0	0	25 (5-II-4)
4085	-27334 (4-I-3)	39397 (5-II-4)	0	0	0	3223 (5-II-1)
4090	18930 (3)	-29695 (3)	0	0	0	5265 (5-II-2)

Nodo	Rx	Ry	Rz	Mx	My	Mz
4092	-2005 (3)	3223 (4-II-3)	0	0	0	693 (3)
4093	-55282 (3)	36719 (3)	0	0	0	-2662 (3)
4094	4663 (4-I-3)	2526 (5-I-3)	0	0	0	-1346 (4-I-3)
4095	-3581 (4-II-4)	3980 (2)	0	0	0	-493 (4-I-3)
4096	4278 (4-I-2)	4424 (5-I-2)	0	0	0	586 (4-II-3)
4098	-314 (4-II-3)	-1566 (4-II-3)	0	0	0	29 (4-I-3)
4100	-35804 (4-I-3)	-31581 (5-I-4)	0	0	0	-4234 (4-I-3)
4101	4028 (4-I-3)	-1346 (4-II-3)	0	0	0	-505 (4-II-3)
4102	39186 (4-II-3)	-8576 (5-I-1)	0	0	0	2903 (4-II-3)
4103	-7247 (3)	-925 (5-I-2)	0	0	0	-825 (4-II-3)
4104	36477 (4-II-3)	-30815 (5-I-2)	0	0	0	3763 (4-II-3)
4106	-1186 (2)	-3546 (4-I-3)	0	0	0	-346 (2)
4112	-205 (5-I-4)	147 (4-II-3)	0	0	0	-3 (4-I-3)
4113	1677 (5-I-3)	368 (5-I-4)	0	0	0	19 (5-I-3)
4114	1467 (3)	83 (4-II-3)	0	0	0	-26 (4-II-3)
4115	-3055 (3)	162 (3)	0	0	0	12 (4-I-3)
4116	-2049 (5-I-2)	331 (5-I-2)	0	0	0	-33 (5-I-2)
4117	186 (5-I-2)	126 (4-I-3)	0	0	0	2 (4-II-3)

Risultati Analisi Dinamica - Spostamenti massimi - Impalcato
Scenario di calcolo: **ScenarioNT_ 2018 A2_SLV_SLD_STR_GEO**

la tripletta (Cb [-SubC-Cbm]) indica la Combinazione - SottoCombinazione sismica - Posizione Masse, nel caso non sismico mancano SubC-Cbm

Piano	Trasl. X	Trasl. Y	Trasl. Z	Rotaz. X	Rotaz. Y	Rotaz. Z
	mm	mm	mm	mrad	mrad	mrad
0	-0.01 (3-1)	-0.03 (1-1)	-11.08 (2-1)	0.00 (1-1)	0.00 (1-1)	0.00 (3-1)
1	0.00 (1-1)	-0.04 (1-1)	-11.14 (2-1)	0.00 (1-1)	0.00 (1-1)	0.00 (1-1)
2	0.02 (1-1)	0.03 (3-1)	-11.15 (2-1)	0.00 (1-1)	0.00 (1-1)	0.00 (1-1)
3	0.03 (1-1)	0.04 (3-1)	-11.15 (2-1)	0.00 (1-1)	0.00 (1-1)	-0.00 (4-I-1)
5	0.02 (4-II-4)	-0.08 (3-1)	-11.23 (2-1)	0.00 (1-1)	0.00 (1-1)	0.00 (3-1)
6	6.17 (4-II-4)	-4.69 (5-II-1)	-10.29 (2-1)	0.00 (1-1)	0.00 (1-1)	0.22 (5-I-4)
7	6.34 (4-II-4)	-4.88 (5-II-1)	-10.26 (2-1)	0.00 (1-1)	0.00 (1-1)	0.22 (5-I-4)

Risultati Analisi Dinamica - Spostamenti massimi - Impalcato (SLD)
Scenario di calcolo: **ScenarioNT_ 2018 A2_SLV_SLD_STR_GEO**

la tripletta (Cb [-SubC-Cbm]) indica la Combinazione - SottoCombinazione sismica - Posizione Masse, nel caso non sismico mancano SubC-Cbm

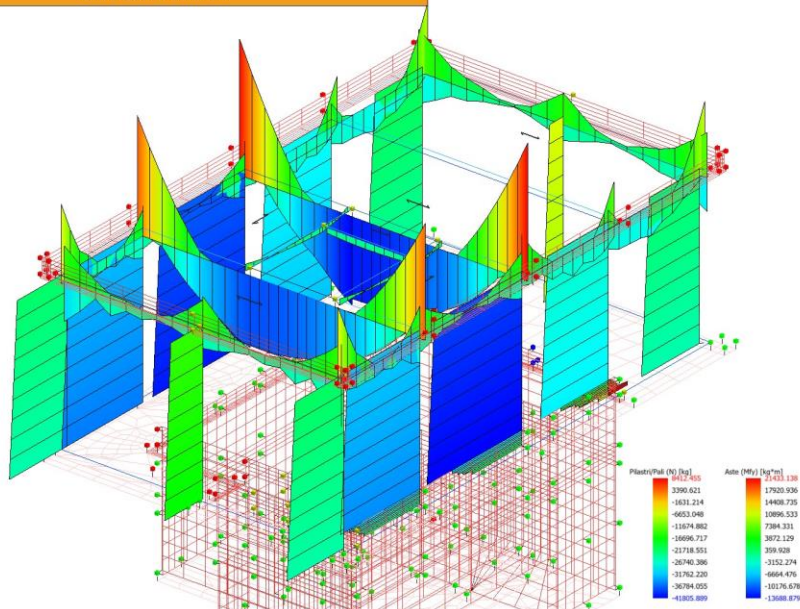
Piano	Trasl. X	Trasl. Y	Trasl. Z	Rotaz. X	Rotaz. Y	Rotaz. Z
	mm	mm	mm	mrad	mrad	mrad
0	-0.00 (9-II-3)	-0.00 (9-II-3)	-7.87 (6-1)	0.00 (6-1)	0.00 (6-1)	0.00 (9-II-3)
1	0.00 (9-I-4)	0.00 (10-I-2)	-7.91 (6-1)	0.00 (6-1)	0.00 (6-1)	0.00 (9-II-3)
2	0.01 (9-I-4)	0.02 (10-I-2)	-7.92 (6-1)	0.00 (6-1)	0.00 (6-1)	-0.00 (9-I-1)
3	0.01 (9-I-4)	0.03 (10-I-2)	-7.92 (6-1)	0.00 (6-1)	0.00 (6-1)	-0.00 (9-I-1)
5	0.02 (9-II-4)	-0.06 (10-I-2)	-7.98 (6-1)	0.00 (6-1)	0.00 (6-1)	0.00 (9-I-1)
6	2.28 (9-II-4)	-2.25 (10-II-1)	-7.28 (6-1)	0.00 (6-1)	0.00 (6-1)	0.08 (10-I-4)
7	2.35 (9-II-4)	-2.38 (10-II-1)	-7.25 (6-1)	0.00 (6-1)	0.00 (6-1)	0.08 (10-I-4)

Risultati Analisi Dinamica - Sollecitazioni massime - Involuppi - Travi
Scenario di calcolo: **ScenarioNT_ 2018 A2_SLV_SLD_STR_GEO**

Asta	N.in.	N	Ty	Tz	Mt	My	Mz
	N.fin.	kg	kg	kg	kg*m	kg*m	kg*m
601	6014	0	3052 (3)	4075 (4-I-1)	2871 (3)	-6193 (4-I-1)	1860 (3)
	6015	0	704 (5-II-2)	4698 (4-I-1)	-638 (1)	5008 (4-I-1)	-429 (5-II-2)
601	6015	0	-759 (5-II-4)	-4864 (4-II-1)	704 (5-I-4)	5548 (4-II-1)	-463 (5-II-4)
	6017	0	-3045 (2)	4532 (4-I-1)	-2866 (2)	-6754 (4-II-1)	1855 (2)
602	6017	0	-3187 (4-II-3)	-12729 (3)	-759 (4-II-3)	12135 (5-II-2)	-1434 (4-II-3)
	6043	0	-4235 (4-II-3)	6874 (5-I-2)	-2145 (2)	4970 (5-I-2)	1906 (4-II-3)
602	6043	0	1703 (4-I-3)	-3897 (5-II-2)	1598 (3)	4978 (5-II-2)	958 (4-I-3)
	6062	0	-1703 (4-II-3)	3193 (5-I-2)	-1680 (2)	4248 (5-I-2)	958 (4-II-3)
602	6062	0	5121 (4-I-3)	-7875 (5-II-2)	2865 (2)	6864 (5-II-2)	2593 (4-I-3)
	6090	0	4155 (4-I-3)	11796 (2)	1342 (4-I-3)	6871 (5-I-2)	-2103 (4-I-3)
602	6090	0	2722 (4-II-3)	-7467 (2)	1829 (4-II-3)	3045 (5-II-2)	1446 (4-II-3)
	6104	0	-2924 (4-I-2)	12231 (3)	-1925 (4-I-2)	11237 (5-I-2)	1553 (4-I-2)
603	6040	0	4035 (2)	-6299 (5-I-4)	2205 (2)	4057 (5-I-4)	1816 (2)
	6014	0	3109 (2)	13132 (3)	572 (4-I-3)	12260 (5-II-4)	-1399 (2)
603	6059	0	1748 (5-I-4)	-3034 (5-I-1)	1676 (2)	3797 (5-I-4)	983 (5-I-4)
	6040	0	-1688 (5-II-4)	3728 (5-II-1)	-1617 (3)	4739 (5-II-4)	949 (5-II-4)

Asta	N.in.	N	Ty	Tz	Mt	My	Mz
603	6085	0	-4281 (4-II-3)	-12460 (2)	-1398 (4-II-3)	7392 (5-I-4)	-2167 (4-II-3)
	6059	0	-5216 (4-II-3)	7021 (3)	-2960 (2)	5571 (5-II-4)	2641 (4-II-3)
603	6100	0	2417 (4-II-1)	-11593 (3)	1683 (4-II-1)	10818 (5-I-4)	1284 (4-II-1)
	6085	0	-2196 (4-I-3)	7479 (2)	-1346 (4-I-3)	3645 (5-II-4)	1167 (4-I-3)
604	6040	0	-207 (2)	-13214 (2)	-850 (2)	18363 (4-II-1)	-411 (2)
	6041	0	-207 (2)	-2332 (4-II-1)	-850 (2)	-11148 (3)	411 (2)
604	6041	0	88 (5-I-4)	-1604 (4-II-1)	213 (5-I-4)	-10842 (3)	132 (5-I-4)
	6042	0	88 (5-I-4)	2920 (4-I-1)	213 (5-I-4)	-7941 (4-II-1)	-132 (5-I-4)
604	6042	0	398 (3)	3558 (4-I-1)	1072 (3)	-8149 (4-II-1)	632 (3)
	6043	0	398 (3)	12637 (3)	1072 (3)	18183 (4-I-1)	-632 (3)
605	6060	0	176 (5-I-4)	3394 (4-II-2)	725 (5-I-4)	-13689 (2)	350 (5-I-4)
	6059	0	176 (5-I-4)	14643 (2)	725 (5-I-4)	21130 (4-II-4)	-350 (5-I-4)
605	6061	0	-66 (5-II-4)	-3121 (4-I-2)	-159 (5-II-4)	-9311 (2)	-98 (5-II-4)
	6060	0	-66 (5-II-4)	1648 (4-II-2)	-159 (5-II-4)	-12679 (2)	98 (5-II-4)
605	6062	0	-353 (3)	-14468 (3)	-952 (3)	21433 (4-I-4)	-562 (3)
	6061	0	-353 (3)	-5069 (3)	-952 (3)	-10248 (2)	562 (3)
606	6102	0	-682 (5-I-2)	-3621 (4-I-3)	-469 (5-I-2)	4834 (4-I-3)	-433 (5-I-2)
	6100	0	-704 (4-II-3)	3727 (4-II-3)	-484 (4-II-3)	6594 (4-II-3)	447 (4-II-3)
606	6104	0	821 (5-I-4)	-3944 (4-I-3)	564 (5-I-4)	7027 (4-I-3)	521 (5-I-4)
	6102	0	793 (5-I-4)	3687 (4-II-3)	545 (5-I-4)	4999 (4-II-3)	-503 (5-I-4)
607	6041	0	-32 (3)	-1046 (2)	-144 (3)	1049 (2)	-52 (3)
	6055	0	-32 (3)	-109 (5-II-2)	-144 (3)	-805 (3)	52 (3)
607	6055	0	686 (2)	375 (5-I-2)	516 (2)	-849 (3)	429 (2)
	6060	0	686 (2)	2604 (2)	516 (2)	819 (2)	-429 (2)
608	6042	0	22 (4-II-3)	-1022 (3)	101 (4-II-3)	1014 (3)	36 (4-II-3)
	6056	0	22 (4-II-3)	-111 (5-II-1)	101 (4-II-3)	-762 (3)	-36 (4-II-3)
608	6056	0	-586 (2)	470 (5-I-1)	-441 (2)	-851 (3)	-366 (2)
	6061	0	-586 (2)	2725 (3)	-441 (2)	967 (3)	366 (2)
609	6056	0	9 (4-I-3)	-488 (3)	34 (4-I-3)	-680 (2)	13 (4-I-3)
	6055	0	9 (4-I-3)	394 (1)	34 (4-I-3)	-827 (3)	-13 (4-I-3)

Tipo diagramma: Sollecitazioni
Combinazione corrente: Scenario ScenarioNT_2018 A2_SLV_SLD_STR_GEO - C 1
Sollecitazione aste: Momento fl.Y - pilastri/pali: Sforzo Normale
Sollecitazione Muri: S I
Sollecitazione Setti: Sxx



Risultati Analisi Dinamica - Sollecitazioni massime - Involuppi - Pilastri
Scenario di calcolo: ScenarioNT_2018 A2_SLV_SLD_STR_GEO

Asta	N.in.	N	Ty	Tz	Mt	My	Mz
	N.fin.	kg	kg	kg	kg*m	kg*m	kg*m
4014	4014	-25325 (3)	-3609 (4-II-1)	-3754 (5-II-4)	408 (5-II-4)	11290 (5-II-4)	-10126 (4-II-1)
	6014	-21815 (3)	-3609 (4-II-1)	-3754 (5-II-4)	408 (5-II-4)	-8984 (5-II-4)	9364 (4-II-1)
4015	4015	-16851 (2)	-4895 (4-II-1)	1049 (5-I-3)	209 (5-II-4)	-2438 (5-I-2)	-13544 (4-II-1)
	6015	-14219 (2)	-4895 (4-II-1)	1049 (5-I-3)	209 (5-II-4)	3346 (1)	12890 (4-II-1)
4017	4017	-24968 (3)	3847 (4-I-1)	-3471 (5-II-2)	408 (5-II-4)	10370 (5-II-2)	10903 (4-I-1)

**POTENZIAMENTO DELL'IMPIANTO DI DEPURAZIONE E
DEL RECAPITO FINALE DI SQUINZANO (LE)
PROGETTO DEFINITIVO
Tabulati di calcolo strutturale-Edificio Grigliatura
Grossolana**

R.37.11

Maggio 2021

Pagina 45 di 183

Asta	N.in.	N	Ty	Tz	Mt	My	Mz
	6017	-21458 (3)	3847 (4-I-1)	-3471 (5-II-2)	408 (5-II-4)	-8374 (5-II-2)	-9872 (4-I-1)
4040	4040	-35741 (2)	-3851 (4-II-1)	-4661 (5-II-4)	408 (5-II-4)	12933 (5-II-4)	-10428 (4-II-1)
	6040	-32231 (2)	-3851 (4-II-1)	-4661 (5-II-4)	408 (5-II-4)	-12236 (5-II-4)	10365 (4-II-1)
4043	4043	-24616 (2)	-2148 (4-I-1)	3822 (5-II-2)	-148 (4-II-1)	1437 (5-II-2)	3425 (4-I-1)
	5043	-30799 (2)	1418 (4-II-1)	5680 (5-II-2)	158 (5-II-4)	4456 (5-II-2)	4431 (4-I-1)
4043	5043	-34852 (2)	4272 (4-I-1)	-5501 (5-II-2)	438 (5-II-4)	13778 (5-II-2)	10216 (4-I-1)
	6043	-31654 (2)	4272 (4-I-1)	-5501 (5-II-2)	438 (5-II-4)	-13286 (5-II-2)	-10803 (4-I-1)
4059	4059	-40693 (2)	-3488 (4-II-2)	-4842 (5-II-4)	408 (5-II-4)	13316 (5-II-4)	-9557 (4-II-2)
	6059	-37183 (2)	-3488 (4-II-2)	-4842 (5-II-4)	408 (5-II-4)	-12833 (5-II-4)	9277 (4-II-2)
4062	4062	-21868 (2)	-2113 (4-I-4)	-4915 (5-I-2)	140 (5-II-4)	2214 (5-II-2)	3304 (4-I-4)
	5062	-30723 (5-I-2)	1540 (4-II-1)	6514 (5-II-2)	-182 (5-I-4)	5611 (5-II-2)	4722 (4-I-4)
4062	5062	-41806 (3)	3871 (4-I-4)	-5729 (5-II-2)	433 (5-II-4)	13979 (5-II-2)	9496 (4-I-4)
	6062	-38608 (3)	3871 (4-I-4)	-5729 (5-II-2)	433 (5-II-4)	-14207 (5-II-2)	-9548 (4-I-4)
4085	4085	-32153 (2)	2167 (4-I-3)	4095 (5-I-4)	408 (5-II-4)	-11661 (5-I-4)	7162 (4-I-3)
	6085	-28643 (2)	2167 (4-I-3)	4095 (5-I-4)	408 (5-II-4)	10452 (5-I-4)	-4543 (4-I-3)
4090	4090	8359 (5-I-2)	4456 (4-II-3)	19971 (5-II-2)	218 (5-I-2)	-6328 (5-I-2)	-1748 (4-II-3)
	5090	-20754 (1)	4153 (4-II-3)	8598 (5-II-2)	480 (5-II-3)	5911 (5-II-2)	-4144 (4-II-3)
4090	5090	-29797 (2)	-2697 (4-II-3)	4408 (5-I-2)	-435 (5-I-4)	-10901 (5-I-2)	-8234 (4-II-3)
	6090	-26599 (2)	-2697 (4-II-3)	4408 (5-I-2)	-435 (5-I-4)	10786 (5-I-2)	5038 (4-II-3)
4100	4100	-24310 (3)	3661 (4-I-3)	4525 (5-I-4)	408 (5-II-4)	-12924 (5-I-4)	10548 (4-I-3)
	6100	-20800 (3)	3661 (4-I-3)	4525 (5-I-4)	408 (5-II-4)	11509 (5-I-4)	-9219 (4-I-3)
4102	4102	-8490 (2)	4782 (4-I-3)	798 (5-I-1)	209 (5-II-4)	-2839 (5-I-1)	13185 (4-I-3)
	6102	-5857 (2)	4782 (4-I-3)	798 (5-I-1)	209 (5-II-4)	1469 (5-I-1)	-12638 (4-I-3)
4104	4104	-25361 (3)	-3760 (4-II-3)	4526 (5-I-2)	408 (5-II-4)	-12862 (5-I-2)	-10949 (4-II-3)
	6104	-21851 (3)	-3760 (4-II-3)	4526 (5-I-2)	408 (5-II-4)	11578 (5-I-2)	9358 (4-II-3)

Risultati Analisi Dinamica - Sollecitazioni Massime - Muri discretizzati
Scenario di calcolo: **ScenarioNT_2018 A2_SLV_SLD_STR_GEO**

Muro	Pann.	Sxx	Syy	Sxy	Mxx	Myy	Mxy
		daN/cm ²	daN/cm ²	daN/cm ²	kg*m/m	kg*m/m	kg*m/m
1	1	0.81 (5-I-2)	0.71 (4-II-1)	-0.50 (5-I-3)	-126 (5-I-2)	179 (4-I-1)	331 (3)
1	2	0.39 (5-II-2)	1.97 (4-II-1)	-1.12 (5-I-2)	148 (5-I-2)	-944 (4-II-1)	437 (5-I-2)
1	3	2.30 (5-I-2)	0.75 (4-I-1)	-0.79 (5-I-3)	-1161 (5-I-2)	191 (5-II-2)	359 (5-I-3)
1	4	1.41 (5-II-2)	2.18 (4-I-1)	-2.98 (5-I-3)	-819 (5-II-2)	-1286 (4-I-1)	1170 (5-I-3)
2	1	0.76 (5-II-2)	3.99 (4-II-1)	-1.13 (5-II-2)	125 (5-I-2)	-2228 (4-II-1)	-425 (1)
2	2	0.70 (5-I-2)	-3.43 (4-I-1)	-1.42 (5-II-2)	175 (4-II-1)	1576 (4-I-1)	-459 (4-II-1)
2	3	0.19 (4-II-1)	-2.50 (4-I-1)	-1.12 (5-II-2)	145 (5-I-2)	1130 (4-I-1)	274 (4-I-1)
2	4	-0.22 (5-II-2)	-1.54 (4-I-1)	-0.76 (5-II-2)	88 (3)	655 (4-I-1)	216 (4-I-3)
2	5	1.19 (5-II-2)	7.07 (4-II-1)	-1.88 (4-II-1)	-942 (5-II-2)	-3563 (4-II-1)	1385 (4-II-1)
2	6	0.59 (4-I-1)	3.22 (4-II-1)	-0.84 (4-I-4)	-585 (5-I-2)	1444 (4-I-1)	1232 (5-II-2)
2	7	0.15 (5-I-2)	-2.37 (4-I-1)	-1.09 (5-II-2)	-257 (5-I-2)	1024 (4-I-1)	1086 (5-I-2)
2	8	0.39 (3)	-1.62 (4-I-1)	-1.21 (3)	-182 (5-I-2)	634 (4-I-1)	707 (5-II-2)
3	1	0.37 (3)	-0.97 (5-II-3)	-0.63 (3)	71 (4-I-1)	412 (4-I-1)	277 (4-I-3)
3	2	0.11 (5-I-2)	-0.49 (5-II-2)	-0.78 (3)	154 (3)	252 (5-II-2)	324 (4-I-1)
3	3	0.14 (5-I-2)	1.32 (4-I-1)	-0.70 (4-II-1)	138 (3)	-481 (4-I-1)	384 (4-I-1)
3	4	0.22 (4-I-1)	2.85 (4-I-1)	-0.65 (3)	133 (3)	-1098 (4-I-1)	521 (4-I-1)
3	5	0.26 (5-I-2)	4.84 (4-I-1)	-0.68 (5-I-4)	215 (4-I-1)	-1969 (4-I-1)	626 (4-I-1)
3	6	-0.17 (5-I-4)	5.64 (4-I-1)	-0.69 (4-II-1)	104 (4-I-1)	-2566 (4-I-1)	297 (4-I-3)
3	7	0.17 (5-I-2)	-0.86 (5-II-3)	-1.18 (3)	-254 (3)	355 (4-I-1)	621 (3)
3	8	0.25 (3)	-0.56 (5-II-2)	-1.21 (3)	-284 (3)	234 (5-II-2)	733 (4-II-1)
3	9	0.19 (5-I-2)	1.44 (4-I-1)	-1.10 (3)	-244 (1)	-557 (4-I-1)	652 (4-II-1)
3	10	0.20 (5-I-2)	2.86 (4-I-1)	-1.29 (4-I-3)	-277 (5-I-2)	-1095 (4-I-1)	581 (4-II-1)
3	11	0.22 (4-II-1)	5.25 (4-I-1)	-1.37 (4-I-3)	-283 (5-I-2)	-2205 (4-I-1)	584 (5-I-4)
3	12	0.35 (4-I-1)	7.33 (4-I-1)	-1.54 (4-II-1)	-270 (4-I-1)	-3386 (4-I-1)	784 (4-II-1)
4	1	-0.18 (1)	2.15 (5-I-4)	0.58 (4-I-1)	18 (5-I-4)	-1094 (5-I-4)	-533 (1)
4	2	0.29 (5-I-2)	-3.20 (1)	-0.37 (5-I-4)	100 (4-II-1)	1543 (1)	-455 (4-II-1)
4	3	-0.13 (5-II-3)	-4.24 (1)	0.47 (5-II-4)	107 (3)	1890 (1)	224 (4-I-1)
4	4	-0.18 (5-II-4)	-4.04 (4-II-1)	0.94 (5-II-4)	117 (5-I-4)	1755 (4-II-1)	176 (4-I-1)
4	5	0.31 (5-I-4)	-4.14 (4-II-1)	1.50 (5-II-4)	151 (3)	1825 (4-II-1)	299 (1)
4	6	0.86 (5-II-4)	3.22 (4-I-1)	1.41 (5-II-4)	55 (4-I-2)	-1593 (4-I-1)	209 (1)
4	7	0.29 (4-II-1)	2.90 (4-II-1)	1.63 (4-I-1)	-199 (4-II-1)	-1525 (4-II-1)	-634 (4-I-1)
4	8	0.15 (5-I-1)	-2.97 (1)	0.79 (4-II-4)	-216 (5-I-1)	1424 (1)	273 (5-I-4)
4	9	0.06 (1)	-4.20 (1)	0.42 (4-II-3)	-108 (1)	1851 (1)	-417 (5-II-4)
4	10	0.11 (3)	-3.99 (4-II-1)	0.69 (5-II-4)	-218 (5-I-4)	1702 (4-II-1)	-936 (5-II-4)
4	11	0.18 (5-I-4)	-4.01 (4-II-1)	1.06 (5-II-4)	-286 (5-I-4)	1749 (4-II-1)	-1378 (5-II-4)
4	12	0.73 (5-II-4)	4.11 (4-I-1)	1.93 (5-II-4)	-780 (5-II-4)	-2008 (4-I-1)	-1387 (5-II-4)

Muro	Pann.	Sxx	Syy	Sxy	Mxx	Myy	Mxy
5	1	0.27(5-II-4)	0.99(4-I-2)	0.69(5-I-1)	57(3)	-513(4-I-1)	-290(5-I-4)
5	2	0.53(5-I-4)	0.39(4-I-1)	0.21(5-I-1)	128(5-II-1)	152(4-II-2)	-198(3)
5	3	1.48(5-II-1)	1.97(4-II-1)	1.43(5-I-1)	-813(5-II-1)	-1099(4-II-1)	-523(5-I-1)
5	4	1.27(5-I-1)	0.59(4-II-1)	0.46(4-I-2)	-691(5-I-4)	84(4-I-1)	-208(3)
6	1	4.24(5-I-4)	1.25(4-II-1)	2.33(4-II-1)	-2139(5-I-4)	-1003(4-II-1)	-1544(4-II-1)
6	2	2.61(5-I-4)	0.78(4-II-1)	1.37(4-II-1)	-1420(5-I-4)	102(4-I-1)	213(4-I-1)
6	3	3.01(5-I-4)	0.50(4-I-1)	0.91(4-II-1)	-1241(5-I-4)	-470(4-I-1)	-1246(4-II-1)
6	4	2.87(5-I-4)	0.47(4-I-1)	1.49(4-II-1)	-1111(5-I-4)	163(5-I-4)	336(1)
6	5	2.34(5-I-1)	0.28(4-I-1)	0.71(5-II-2)	1080(5-II-1)	-322(4-I-1)	-930(4-II-1)
6	6	2.33(5-I-1)	0.20(4-I-1)	0.99(4-II-1)	1114(5-II-1)	124(4-I-1)	174(4-II-1)
6	7	2.01(5-I-1)	-0.27(4-II-1)	0.79(5-II-1)	933(5-II-1)	-248(4-I-1)	-534(4-II-1)
6	8	2.01(5-I-1)	0.14(4-I-1)	0.57(4-II-1)	960(5-II-1)	111(4-I-1)	-156(5-II-4)
6	9	1.89(5-I-1)	-0.27(4-II-1)	0.85(5-II-1)	-695(5-I-1)	233(4-II-1)	-276(5-II-2)
6	10	1.89(5-I-1)	-0.13(4-II-1)	0.30(5-II-2)	-672(5-I-1)	104(4-I-1)	-273(5-II-4)
6	11	2.06(4-I-2)	-0.21(4-II-2)	0.88(5-II-1)	-823(4-I-2)	-233(4-I-1)	435(1)
6	12	1.96(5-I-1)	0.15(4-I-1)	-0.47(1)	-731(4-I-4)	114(4-I-1)	-388(5-II-4)
6	13	3.12(4-I-1)	0.38(4-I-3)	0.88(5-II-3)	-1245(4-I-1)	-448(4-I-1)	523(1)
6	14	2.77(3)	0.49(4-I-3)	-0.71(4-II-3)	-1061(4-I-1)	180(5-II-1)	-601(2)
6	15	5.27(3)	1.30(4-II-1)	1.15(4-I-3)	-2804(3)	-929(4-II-1)	898(4-II-3)
6	16	4.37(3)	0.61(4-II-1)	-0.67(4-II-2)	-2375(3)	105(4-I-1)	-427(2)
7	1	5.60(5-I-4)	1.36(4-II-1)	-2.04(4-I-1)	-2910(5-I-4)	-1057(4-II-1)	-894(4-II-1)
7	2	4.44(5-I-1)	0.77(4-II-1)	0.82(4-II-1)	-2340(5-I-4)	75(5-I-1)	466(4-I-1)
7	3	3.26(5-I-1)	0.48(4-I-1)	-1.13(4-I-1)	-1346(5-I-4)	-351(4-I-3)	-989(4-II-1)
7	4	3.02(5-I-4)	0.34(4-I-2)	1.17(4-II-1)	-1171(5-I-4)	173(5-I-4)	621(2)
7	5	-2.69(5-II-1)	0.28(4-I-1)	-0.54(4-I-1)	1246(5-II-1)	-243(4-I-1)	-806(4-II-1)
7	6	-2.60(5-II-1)	0.17(4-I-2)	0.87(4-II-1)	1240(5-II-1)	74(4-I-2)	411(5-I-4)
7	7	-2.63(5-II-1)	-0.19(4-II-2)	-0.34(5-I-2)	1206(5-II-1)	155(4-II-1)	-487(4-II-1)
7	8	-2.58(5-II-1)	-0.09(4-II-2)	0.52(4-II-1)	1213(5-II-1)	81(4-I-1)	272(5-I-4)
7	9	-2.64(2)	-0.19(4-II-2)	-0.27(5-I-2)	1290(2)	146(4-II-4)	259(5-II-4)
7	10	-2.58(2)	-0.08(4-II-4)	-0.28(5-II-4)	1277(2)	66(4-I-1)	157(5-I-4)
7	11	-2.46(2)	-0.18(4-II-4)	-0.24(5-I-2)	1229(2)	146(4-II-4)	486(5-II-4)
7	12	-2.42(2)	-0.07(4-II-4)	-0.52(5-II-4)	1225(2)	61(4-I-4)	-195(5-II-4)
7	13	-1.68(2)	-0.15(4-II-4)	-0.22(5-I-2)	924(2)	144(4-II-4)	699(5-II-4)
7	14	-1.69(2)	-0.08(4-II-1)	-0.74(5-II-4)	937(2)	65(4-I-3)	-329(5-II-4)
7	15	1.04(5-II-4)	0.22(4-I-3)	0.31(5-II-2)	512(5-I-4)	-192(4-I-2)	925(4-II-3)
7	16	1.00(5-II-4)	0.13(4-I-1)	-1.00(3)	546(5-I-4)	74(4-I-4)	-522(5-II-4)
7	17	3.70(5-II-4)	0.57(4-I-3)	0.79(4-I-3)	-1459(5-II-4)	-492(4-I-2)	1074(4-II-3)
7	18	3.36(5-II-4)	0.50(4-I-2)	-1.34(4-II-3)	-1236(5-II-4)	178(5-II-4)	-878(3)
7	19	7.65(5-II-4)	1.33(4-II-3)	1.57(4-I-3)	-4078(5-II-4)	-1058(4-II-3)	1247(4-II-3)
7	20	5.35(3)	0.67(4-II-3)	-1.00(4-II-3)	-3182(3)	66(4-I-1)	-604(2)
8	1	5.77(5-I-4)	1.28(4-II-2)	-1.93(4-I-1)	-2843(5-I-4)	-940(4-II-1)	726(4-I-1)
8	2	5.45(3)	0.70(4-II-2)	-0.80(4-I-1)	-2674(3)	81(4-I-3)	450(2)
8	3	3.85(5-I-4)	0.54(4-I-1)	-0.53(4-I-1)	-1489(5-I-4)	-416(4-I-3)	-734(4-II-1)
8	4	3.63(5-I-4)	0.44(4-I-3)	0.85(4-II-1)	-1343(5-I-4)	144(5-I-4)	369(5-I-1)
8	5	3.37(3)	0.26(4-I-1)	0.68(5-II-2)	-1161(3)	-215(4-I-4)	-515(4-II-1)
8	6	3.15(3)	0.17(4-I-3)	0.54(4-II-1)	-1054(3)	71(4-I-3)	-314(5-II-3)
8	7	4.41(3)	0.14(4-I-4)	0.88(5-II-2)	-1594(3)	-114(4-I-4)	218(5-II-4)
8	8	4.23(3)	0.07(4-I-3)	0.24(5-I-4)	-1505(3)	62(4-I-4)	-527(5-II-3)
8	9	6.45(3)	-0.13(4-II-3)	1.02(3)	-2458(3)	113(4-II-3)	431(5-II-4)
8	10	6.37(3)	0.07(4-I-4)	-0.39(5-II-4)	-2420(3)	51(4-I-3)	-722(5-II-3)
8	11	9.37(3)	-0.23(4-II-3)	1.19(3)	-3704(3)	201(4-II-3)	629(5-II-4)
8	12	9.51(3)	-0.13(4-II-3)	-0.65(5-II-4)	-3752(3)	85(4-I-3)	-925(3)
8	13	13.44(3)	-0.30(4-II-3)	0.89(1)	-5529(3)	-334(4-I-3)	973(4-II-3)
8	14	13.12(3)	0.42(4-I-3)	-1.14(4-II-3)	-5338(3)	173(5-II-4)	-1031(3)
8	15	16.48(3)	-0.59(4-I-3)	-1.56(4-II-3)	-7788(3)	-615(4-II-3)	1384(5-II-4)
8	16	16.06(3)	0.42(4-II-3)	-1.07(4-II-3)	-7549(3)	67(4-I-1)	-540(2)
9	1	13.36(3)	0.59(4-II-3)	-3.41(4-I-1)	-5888(3)	-423(4-II-3)	1366(4-I-1)
9	2	14.96(3)	-0.59(4-I-3)	-1.54(4-I-1)	-6490(3)	108(4-I-3)	868(3)
9	3	10.75(3)	0.29(4-I-2)	-3.08(3)	-4326(3)	-397(4-I-3)	1215(4-I-1)
9	4	10.57(3)	0.52(4-I-3)	-1.35(4-I-1)	-4235(3)	118(5-I-4)	990(3)
9	5	6.82(3)	0.23(4-I-3)	-3.00(3)	-2677(3)	-275(4-I-3)	1211(3)
9	6	6.85(3)	0.20(4-I-3)	-1.26(3)	-2686(3)	104(4-I-3)	725(3)
9	7	4.26(5-II-3)	0.29(4-I-3)	-2.79(3)	-1718(5-II-3)	-278(4-I-3)	1428(3)
9	8	4.28(5-II-3)	0.16(4-I-3)	-1.47(3)	-1702(5-II-3)	93(4-I-3)	596(3)
9	9	2.97(5-II-3)	0.31(4-I-3)	-2.47(3)	-1135(5-II-3)	-267(4-I-3)	1491(3)
9	10	2.96(5-II-3)	0.10(4-I-3)	-1.61(3)	-1116(5-II-3)	104(4-I-3)	399(3)
9	11	2.43(5-II-3)	0.65(4-I-3)	-2.13(3)	-915(5-II-3)	-585(4-I-3)	1739(4-II-3)
9	12	2.34(5-II-4)	0.45(4-I-3)	-1.84(4-II-3)	871(5-I-4)	119(4-I-3)	229(4-I-3)
9	13	2.97(5-II-4)	0.75(4-I-3)	-1.77(4-II-3)	-1274(5-II-4)	-567(4-I-3)	1791(4-II-3)
9	14	2.57(5-II-4)	0.53(4-I-3)	-2.02(4-II-3)	1129(5-I-4)	154(5-II-4)	-332(1)
9	15	3.62(5-II-4)	1.23(4-II-3)	-2.30(4-II-3)	-1994(5-II-4)	-1057(4-II-3)	1622(4-II-3)
9	16	2.45(5-II-4)	0.83(4-II-3)	-1.49(4-II-3)	-1455(5-II-4)	83(4-I-4)	-206(4-I-3)
10	1	2.23(5-I-3)	1.90(4-II-3)	-2.00(4-I-2)	-1216(5-I-3)	-1026(4-II-3)	765(4-I-2)
10	2	1.29(5-II-3)	0.47(4-II-3)	-0.86(4-I-3)	-603(5-II-4)	88(4-I-3)	387(3)
10	3	0.68(5-I-4)	1.65(4-I-3)	-0.68(2)	53(5-II-4)	-889(4-I-3)	334(3)

**POTENZIAMENTO DELL'IMPIANTO DI DEPURAZIONE E
DEL RECAPITO FINALE DI SQUINZANO (LE)
PROGETTO DEFINITIVO
Tabulati di calcolo strutturale-Edificio Grigliatura
Grossolana**

R.37.11

Maggio 2021

Pagina 47 di 183

Muro	Pann.	Sxx	Syy	Sxy	Mxx	Myy	Mxy
10	4	0.42 (5-II-4)	0.71 (4-I-3)	-0.29 (5-II-2)	131 (5-I-3)	111 (4-II-3)	257 (3)
11	1	-0.12 (5-I-2)	-4.03 (2)	-1.33 (4-II-1)	160 (5-I-1)	1981 (2)	839 (3)
11	2	-0.19 (5-I-3)	-4.22 (2)	-1.30 (4-II-1)	116 (5-I-3)	1915 (2)	1235 (3)
11	3	-0.10 (5-I-3)	-4.07 (1)	-1.27 (4-II-1)	-110 (5-II-3)	1809 (1)	1420 (3)
11	4	0.16 (5-II-1)	-3.46 (1)	-1.13 (4-II-1)	-173 (5-II-1)	1526 (1)	1496 (3)
11	5	0.19 (5-II-1)	-3.07 (4-II-3)	-1.07 (4-II-1)	-213 (5-II-1)	1298 (4-II-3)	1576 (3)
11	6	0.25 (5-II-4)	-2.75 (4-II-3)	-1.09 (5-I-3)	-267 (5-II-4)	1164 (4-II-3)	1785 (5-I-4)
11	7	0.38 (4-I-3)	4.56 (4-I-3)	-1.40 (5-I-4)	-420 (5-II-4)	-1985 (4-I-3)	1939 (5-I-4)
11	8	1.56 (5-I-4)	6.28 (4-I-3)	-3.39 (5-I-4)	-1288 (5-I-4)	-3256 (4-I-3)	2230 (5-I-4)
11	9	-0.19 (3)	-4.02 (2)	-0.84 (3)	56 (4-I-3)	2003 (2)	208 (4-II-3)
11	10	0.05 (5-II-2)	-4.25 (2)	-1.26 (3)	36 (5-II-3)	1920 (2)	-173 (4-I-3)
11	11	0.09 (5-II-3)	-4.11 (1)	-1.48 (3)	43 (5-II-3)	1817 (1)	-262 (4-I-3)
11	12	0.12 (5-II-3)	-3.51 (1)	-1.56 (3)	60 (5-II-3)	1553 (1)	-339 (4-I-3)
11	13	0.13 (5-II-3)	-3.11 (4-II-3)	-1.61 (5-I-4)	77 (5-II-4)	1340 (4-II-3)	-413 (3)
11	14	0.16 (5-II-4)	-2.60 (4-II-3)	-1.89 (5-I-4)	91 (5-II-4)	1141 (4-II-3)	-469 (2)
11	15	0.39 (5-II-4)	4.11 (4-I-3)	-2.29 (5-I-4)	212 (3)	-1702 (4-I-3)	-549 (2)
11	16	0.98 (5-I-4)	3.88 (4-I-3)	-1.93 (5-I-4)	99 (5-II-3)	-2202 (4-I-3)	-203 (5-II-4)
12	1	-0.13 (5-I-2)	-5.67 (3)	0.66 (4-I-1)	29 (1)	2518 (3)	-198 (4-I-3)
12	2	-0.11 (5-I-2)	-5.37 (3)	0.42 (4-I-1)	-18 (5-I-3)	2394 (3)	-302 (4-I-3)
12	3	-0.16 (5-I-2)	-5.01 (4-II-3)	-0.29 (5-I-4)	142 (4-I-3)	2200 (4-II-3)	-317 (4-I-3)
12	4	0.49 (4-I-3)	-3.82 (2)	-0.39 (5-I-4)	189 (4-I-3)	1494 (3)	-184 (4-I-3)
12	5	0.61 (4-II-3)	-3.73 (2)	-0.43 (4-I-3)	148 (4-II-3)	1553 (2)	128 (4-II-3)
12	6	0.09 (5-II-2)	-4.13 (2)	-0.45 (4-II-1)	-85 (4-I-3)	1667 (2)	241 (4-II-3)
12	7	-0.44 (4-II-3)	-4.09 (2)	-1.10 (4-II-1)	165 (5-I-2)	1667 (2)	470 (4-II-1)
12	8	-0.63 (4-II-3)	-5.22 (4-I-3)	-0.73 (4-I-3)	-200 (4-II-3)	2157 (4-I-3)	563 (4-I-3)
12	9	0.43 (4-II-3)	-5.94 (4-II-3)	-1.22 (4-I-3)	-307 (5-I-1)	2372 (4-II-3)	815 (4-I-3)
12	10	-0.44 (4-I-3)	-5.54 (4-II-3)	0.74 (4-I-2)	177 (5-I-1)	2413 (4-II-3)	244 (4-II-1)
12	11	-0.23 (4-I-3)	-5.51 (3)	1.02 (4-I-3)	191 (5-I-1)	2463 (3)	-415 (4-I-1)
12	12	-0.20 (5-I-2)	-5.77 (3)	1.01 (4-I-2)	179 (5-I-2)	2555 (3)	-619 (4-I-1)
12	13	-0.16 (5-I-2)	-5.67 (3)	1.13 (4-I-2)	158 (5-I-2)	2453 (3)	-914 (3)
12	14	-0.41 (5-I-2)	-5.59 (3)	1.59 (3)	57 (5-I-2)	1992 (3)	-962 (3)
12	15	0.17 (4-I-1)	-5.78 (3)	0.98 (3)	-26 (5-I-2)	2050 (3)	-221 (4-I-3)
12	16	-0.17 (5-I-2)	-5.68 (3)	0.95 (3)	42 (1)	2466 (3)	144 (4-II-3)
13	1	1.05 (1)	-0.25 (4-II-3)	0.92 (4-I-3)	-539 (2)	67 (3)	-433 (4-II-3)
13	2	2.06 (5-I-2)	1.61 (4-I-3)	1.83 (2)	-1175 (5-I-2)	-833 (4-I-3)	-649 (4-II-3)
13	3	0.27 (5-II-2)	0.72 (4-II-3)	0.31 (4-II-3)	141 (5-I-2)	-121 (4-II-3)	-235 (2)
13	4	0.64 (5-I-2)	1.60 (4-II-3)	0.60 (2)	67 (5-II-2)	-821 (4-II-3)	-243 (2)
14	1	1.25 (5-I-2)	5.49 (4-II-3)	2.70 (5-I-2)	-1088 (5-I-2)	-2994 (4-II-3)	-2008 (5-I-2)
14	2	0.31 (4-I-3)	-2.94 (4-I-3)	0.79 (5-I-2)	-365 (5-II-2)	1270 (4-I-3)	-1784 (5-I-2)
14	3	0.25 (5-II-2)	-4.15 (4-I-3)	0.92 (5-I-2)	-228 (5-II-2)	1845 (4-I-3)	-1600 (5-I-2)
14	4	0.33 (3)	-4.52 (3)	1.59 (3)	110 (5-I-2)	2464 (3)	-1214 (3)
14	5	0.89 (5-I-2)	3.13 (4-II-3)	1.80 (5-I-2)	62 (5-II-2)	-1972 (4-II-3)	401 (5-II-2)
14	6	0.38 (5-II-2)	-3.04 (4-I-3)	2.05 (5-I-2)	165 (3)	1337 (4-I-3)	796 (3)
14	7	0.20 (5-II-2)	-4.13 (4-I-3)	1.64 (5-I-2)	62 (5-II-2)	1856 (4-I-3)	512 (3)
14	8	-0.23 (5-I-2)	-4.61 (3)	1.18 (3)	66 (3)	2526 (3)	-116 (4-I-3)
15	1	-2.60 (5-II-2)	0.33 (4-I-3)	0.54 (5-I-2)	1059 (4-I-1)	708 (4-I-1)	-652 (4-I-1)
15	2	-5.08 (5-II-2)	-1.18 (1)	0.35 (4-II-1)	2813 (5-II-2)	-1076 (4-II-1)	498 (5-II-2)
15	3	4.86 (5-I-2)	1.00 (4-II-1)	-1.10 (5-I-2)	3674 (5-II-2)	-1803 (4-II-1)	-608 (1)
15	4	5.97 (5-I-2)	-2.17 (4-II-1)	-3.02 (4-I-1)	-5007 (5-I-2)	-1123 (4-I-1)	-1710 (4-II-1)
15	5	4.16 (5-I-2)	-0.82 (4-I-1)	-1.62 (4-I-1)	-2596 (5-I-2)	-520 (1)	-865 (1)
15	6	-5.06 (5-II-2)	-0.75 (1)	-1.54 (4-I-1)	2768 (5-II-2)	-918 (1)	-946 (4-I-1)
15	7	-4.46 (5-II-2)	-0.64 (1)	-0.60 (5-I-2)	2269 (5-II-2)	-549 (1)	-830 (5-I-2)
15	8	-2.94 (5-II-2)	0.33 (5-II-2)	1.03 (5-II-2)	1056 (5-II-2)	384 (4-I-1)	599 (5-II-2)
15	9	-1.28 (5-II-2)	0.36 (5-I-2)	0.88 (4-I-4)	969 (5-II-2)	650 (4-I-1)	654 (5-II-2)
15	10	-0.16 (4-II-4)	0.37 (1)	1.35 (4-I-3)	229 (2)	398 (1)	788 (5-II-2)
15	11	0.66 (4-I-3)	0.57 (4-II-1)	1.37 (4-I-4)	-666 (4-I-4)	313 (5-II-2)	569 (5-II-2)
15	12	1.76 (5-II-2)	0.55 (4-I-4)	1.16 (4-I-1)	-1175 (5-II-2)	135 (5-II-2)	451 (4-II-1)
15	13	2.87 (4-I-3)	0.72 (5-II-2)	1.67 (4-I-1)	-1750 (5-II-2)	-851 (4-I-1)	-1138 (4-I-4)
15	14	0.81 (5-I-2)	0.48 (4-I-1)	0.49 (5-I-2)	-88 (5-I-2)	-354 (3)	-1093 (4-I-1)
15	15	0.37 (5-I-2)	0.33 (5-I-2)	1.12 (4-I-4)	131 (5-I-2)	203 (1)	-856 (4-I-1)
16	1	1.59 (5-I-2)	0.80 (4-I-1)	0.85 (4-II-1)	-715 (5-I-2)	85 (4-II-1)	-329 (4-II-1)
16	2	1.97 (5-I-2)	0.68 (4-I-1)	1.32 (4-II-1)	-914 (5-I-2)	-669 (4-I-1)	-624 (4-II-1)
16	3	-0.38 (3)	0.64 (4-II-1)	-0.77 (4-I-1)	236 (4-I-2)	188 (3)	147 (4-I-1)
16	4	-0.28 (4-I-2)	0.27 (4-II-1)	-0.58 (4-I-1)	190 (4-I-1)	-558 (4-II-1)	608 (4-I-1)
16	5	-0.62 (4-I-1)	0.57 (4-II-4)	-0.42 (4-II-3)	347 (4-I-1)	189 (3)	113 (5-II-1)
16	6	-0.76 (4-I-1)	0.28 (3)	-0.44 (4-II-3)	396 (4-I-1)	-509 (4-II-4)	359 (4-II-3)
16	7	1.82 (5-II-2)	0.54 (4-I-3)	-0.86 (4-II-3)	-771 (5-II-2)	78 (4-II-1)	303 (4-II-3)
16	8	2.06 (5-II-2)	0.87 (4-I-1)	-1.59 (1)	-909 (5-II-2)	-628 (4-I-3)	711 (4-II-3)
17	1	12.96 (3)	1.02 (3)	-2.22 (3)	-4888 (3)	-460 (4-II-3)	-1511 (3)
17	2	7.62 (3)	0.44 (4-II-3)	-1.29 (3)	-2597 (3)	-309 (4-II-3)	-1246 (3)
17	3	4.70 (4-II-2)	0.36 (4-II-3)	-0.49 (5-II-1)	-2562 (3)	-502 (4-II-3)	-797 (3)
17	4	3.16 (4-II-2)	-0.22 (4-I-4)	-0.83 (3)	-1245 (4-II-2)	382 (4-I-3)	-1300 (3)
17	5	1.53 (4-II-3)	-0.57 (4-I-4)	-0.23 (5-II-3)	751 (4-I-3)	550 (4-I-4)	-743 (3)
17	6	-1.25 (4-I-3)	-0.72 (4-I-4)	-0.59 (4-I-4)	763 (2)	925 (4-I-4)	-605 (4-II-1)
17	7	-2.28 (4-I-3)	-1.02 (4-I-4)	0.59 (4-II-3)	1191 (4-I-3)	1633 (4-I-4)	669 (4-I-1)

**POTENZIAMENTO DELL'IMPIANTO DI DEPURAZIONE E
DEL RECAPITO FINALE DI SQUINZANO (LE)
PROGETTO DEFINITIVO
Tabulati di calcolo strutturale-Edificio Grigliatura
Grossolana**

R.37.11

Maggio 2021

Pagina 48 di 183

Muro	Pann.	Sxx	Syy	Sxy	Mxx	Myy	Mxy
17	8	0.90(5-I-2)	-0.47(4-I-4)	-0.70(4-I-3)	472(5-II-2)	352(4-I-4)	1035(4-I-1)
17	9	2.34(5-I-2)	0.17(5-II-2)	0.97(4-II-4)	-996(5-I-2)	-173(5-I-2)	1311(4-I-4)
17	10	5.55(4-I-1)	1.33(4-I-4)	-2.04(4-I-1)	-3126(4-I-1)	-1184(4-I-2)	1466(4-I-1)
17	11	2.48(5-I-2)	1.22(4-I-2)	-1.74(4-I-1)	-1520(5-I-2)	-38(4-II-1)	-499(4-II-4)
17	12	1.40(5-I-2)	-0.56(4-I-4)	-1.79(4-I-4)	378(5-II-2)	391(4-I-2)	-407(4-II-3)
17	13	0.40(4-II-3)	-0.82(4-I-4)	-0.85(4-I-2)	549(2)	-209(4-I-4)	249(4-I-3)
17	14	1.64(4-II-3)	-0.19(4-I-1)	1.07(3)	-375(4-II-3)	-157(4-I-4)	399(3)
17	15	4.37(3)	0.18(4-II-3)	1.52(3)	-1703(3)	95(4-II-3)	1037(3)
17	16	9.32(3)	0.40(4-II-3)	1.24(3)	-3369(3)	60(1)	1589(3)
17	17	16.90(3)	-0.17(4-I-3)	0.82(4-I-3)	-6916(3)	262(5-II-2)	2503(3)
17	18	25.41(3)	0.72(4-I-3)	0.85(4-I-3)	-12252(3)	180(3)	984(3)
17	19	27.84(3)	-1.12(4-II-3)	-1.66(4-II-3)	-13621(3)	-639(4-I-3)	-1156(5-II-2)
17	20	17.25(3)	0.30(4-II-3)	-3.98(3)	-7267(3)	-666(3)	-659(4-I-3)
17	21	2.26(4-II-3)	-0.30(4-I-3)	0.23(4-II-4)	-473(4-II-2)	361(4-I-4)	-575(4-II-1)
17	22	-0.80(4-I-3)	-1.03(4-I-4)	-0.67(4-I-4)	1044(4-I-3)	939(4-I-4)	800(4-I-4)
18	1	8.15(4-I-4)	8.35(4-I-1)	-1.38(5-II-1)	3098(3)	-3878(4-I-1)	-2654(3)
18	2	3.89(5-I-1)	6.30(4-I-4)	2.26(5-I-1)	1337(4-II-4)	1968(1)	-1987(3)
18	3	2.96(5-I-1)	3.34(4-I-3)	1.70(5-I-1)	-2191(4-I-4)	1843(1)	-1153(4-II-1)
18	4	1.92(5-I-1)	2.22(3)	1.34(5-I-1)	-2186(4-I-4)	1288(1)	-778(4-II-1)
18	5	7.64(4-I-4)	8.71(4-I-1)	-1.82(5-II-1)	2078(2)	-4901(4-I-1)	-2916(3)
18	6	3.78(5-I-1)	5.35(4-I-4)	2.52(5-I-1)	-1680(4-I-4)	1713(1)	-1762(3)
18	7	3.28(5-I-1)	2.96(5-I-1)	1.54(5-I-1)	-2008(4-I-4)	1571(1)	-992(4-II-1)
18	8	2.20(5-I-1)	2.18(3)	1.21(5-I-1)	-1979(4-I-4)	1158(1)	-675(4-II-1)
18	9	7.30(4-I-4)	9.36(4-I-4)	-2.34(1)	1572(1)	-6133(4-I-1)	-3217(3)
18	10	3.89(5-I-1)	3.93(4-I-3)	2.74(5-I-1)	-2050(4-I-4)	-1736(4-I-1)	-1395(3)
18	11	3.18(5-I-1)	2.48(5-I-1)	1.52(5-I-1)	-1875(4-I-4)	-1733(4-I-1)	-864(4-II-1)
18	12	2.39(5-I-1)	2.15(3)	1.17(5-I-1)	-1787(4-I-4)	-1514(4-I-1)	603(4-I-1)
18	13	7.44(4-I-4)	11.62(4-I-4)	-3.48(1)	-1322(4-I-4)	-7516(4-I-4)	-3494(3)
18	14	6.56(4-I-4)	3.22(3)	-1.26(1)	-2080(4-I-4)	-2152(4-I-4)	-1261(1)
18	15	3.05(5-I-1)	2.58(3)	1.40(5-I-1)	-1801(4-I-1)	-2231(4-I-4)	-735(4-II-1)
18	16	2.19(5-I-1)	1.63(3)	1.56(5-I-1)	-1519(4-I-1)	-2024(4-I-4)	652(4-I-1)
19	1	2.59(5-I-1)	-2.63(4-II-1)	2.16(5-II-1)	860(5-II-1)	1530(4-II-1)	-1249(4-I-1)
19	2	3.00(5-I-1)	-2.87(4-II-1)	2.07(5-II-3)	934(5-II-1)	-1852(4-I-1)	-1556(4-I-1)
19	3	4.45(5-I-1)	-2.90(4-II-1)	2.68(4-I-1)	-1908(5-I-1)	-2717(4-I-1)	-2111(4-I-1)
19	4	7.62(4-I-3)	-2.40(4-II-1)	3.15(4-I-1)	-4245(4-I-3)	-3809(4-I-1)	-1180(4-I-1)
19	5	6.75(5-I-1)	-2.29(3)	1.61(5-II-1)	-3807(4-I-3)	-3462(4-I-4)	306(1)
19	6	5.39(5-I-1)	-2.14(4-II-1)	-1.20(5-I-1)	-2254(4-I-3)	-2196(4-I-4)	614(5-I-1)
19	7	4.38(5-I-1)	-1.89(4-II-1)	-1.26(5-I-1)	-1416(4-I-3)	-1285(4-I-1)	840(5-I-1)
19	8	3.59(5-I-1)	-2.04(4-II-1)	1.11(5-II-1)	-1251(4-I-1)	1204(4-II-1)	1105(5-I-1)
19	9	2.90(5-I-1)	-1.84(4-II-1)	1.23(5-II-3)	-1785(3)	1169(4-II-1)	861(5-I-1)
19	10	4.52(5-II-4)	2.49(4-I-1)	1.63(5-II-4)	-2767(5-II-4)	-1238(4-I-1)	-1084(5-II-4)
19	11	3.13(4-I-1)	-1.36(4-II-1)	-0.80(5-I-3)	-959(4-I-1)	-582(1)	534(5-I-1)
19	12	2.35(5-I-1)	-1.30(4-II-1)	-0.68(1)	-945(4-I-2)	737(5-I-1)	-541(5-II-1)
19	13	2.20(5-I-1)	1.24(4-I-1)	0.60(5-II-2)	-732(5-I-1)	940(4-I-4)	-688(5-II-1)
19	14	2.24(5-I-1)	-1.32(4-II-1)	0.95(5-II-2)	944(5-II-1)	826(4-I-1)	-657(5-II-1)
19	15	2.51(5-I-1)	-1.52(4-II-1)	1.54(4-II-1)	1086(5-II-1)	-344(1)	-611(5-II-2)
19	16	3.09(5-I-4)	-1.50(4-II-1)	2.14(4-II-1)	1152(5-II-4)	-532(1)	-505(5-II-2)
19	17	4.57(5-I-4)	1.85(4-I-1)	2.74(4-II-1)	-2329(5-I-4)	-862(4-I-1)	-970(4-II-1)
19	18	2.90(5-I-4)	1.76(4-I-1)	2.06(4-II-1)	-1734(5-I-4)	918(4-II-1)	-1055(4-II-1)
19	19	2.58(5-I-1)	-2.13(4-II-1)	2.02(5-II-1)	-1224(5-I-1)	1280(4-II-1)	-1017(5-II-3)
19	20	2.97(5-I-1)	-1.66(4-II-1)	1.39(5-II-1)	-1256(5-I-1)	1444(3)	-507(5-II-2)
19	21	2.85(5-I-1)	-1.53(4-II-1)	1.15(5-II-1)	-1015(5-I-1)	1256(3)	386(5-I-1)
19	22	2.55(5-I-1)	-1.50(4-II-1)	1.07(5-II-1)	-863(5-I-1)	1079(3)	-533(5-II-2)
19	23	3.90(5-I-1)	-1.74(4-II-1)	1.56(5-II-3)	-2015(5-I-1)	1403(4-II-1)	641(5-I-1)
19	24	3.80(5-I-1)	-1.66(4-II-1)	1.45(5-II-1)	-1553(5-I-1)	1450(4-II-1)	927(5-I-1)
19	25	4.40(5-I-1)	-1.89(4-II-1)	1.40(5-II-1)	-2384(5-I-1)	984(4-II-1)	761(5-I-1)
19	26	3.28(5-I-1)	-1.62(4-II-1)	1.56(5-II-1)	-1387(5-I-1)	1525(4-II-1)	686(5-I-1)
19	27	5.11(5-I-1)	-2.01(4-II-1)	1.78(5-II-3)	-3156(5-I-1)	-1202(4-I-1)	-350(5-II-1)
19	28	3.43(5-I-1)	-1.78(4-II-1)	1.57(5-II-3)	-1724(5-I-1)	1545(4-II-1)	-442(5-II-1)
19	29	4.06(5-I-1)	-1.89(4-II-1)	1.71(5-II-3)	-2331(5-I-1)	1362(4-II-1)	-408(5-II-1)
19	30	4.08(5-I-1)	-2.04(4-II-1)	1.83(5-II-3)	-2464(5-I-1)	1358(4-II-1)	-727(4-I-1)
19	31	4.08(5-I-1)	-2.22(4-II-1)	2.04(4-I-1)	-2494(5-I-1)	1183(1)	-1351(4-I-1)
19	32	4.93(5-I-1)	-2.19(4-II-1)	1.93(5-II-3)	-3221(5-I-1)	-1492(4-I-1)	-854(4-I-1)
19	33	3.38(5-I-1)	-1.96(4-II-1)	1.71(5-II-3)	-1756(5-I-1)	1589(4-II-1)	-757(5-II-3)
19	34	3.25(5-I-1)	-2.35(4-II-1)	1.83(5-II-3)	-1504(5-I-1)	1558(4-II-1)	-1379(4-I-1)
19	35	2.71(5-I-1)	-1.93(4-II-1)	1.56(5-II-1)	1162(5-II-1)	982(4-II-1)	-897(3)
19	36	2.85(5-I-1)	-2.21(4-II-1)	1.73(5-II-1)	-958(5-I-1)	1511(4-II-1)	-1111(3)
19	37	2.60(5-I-1)	-1.69(4-II-1)	1.23(5-II-1)	1003(5-II-1)	1009(3)	-697(5-II-2)
19	38	2.92(5-I-1)	-1.88(4-II-1)	1.51(5-II-1)	-1163(5-I-1)	1472(4-II-1)	-751(5-II-2)
20	1	26.33(3)	2.18(4-I-4)	-5.49(3)	-10500(3)	7890(3)	-1290(1)
20	2	25.85(3)	0.53(4-I-1)	-4.87(3)	-11586(3)	6713(3)	1491(4-I-3)
20	3	25.28(3)	-2.27(3)	-4.21(3)	-12108(3)	5505(2)	2271(4-I-3)
20	4	24.44(3)	-7.01(3)	-3.32(3)	-11742(3)	4410(1)	3250(4-I-3)
20	5	13.05(3)	1.83(3)	-1.39(3)	-5225(3)	-294(3)	-5591(3)
20	6	13.01(3)	1.81(4-I-3)	-0.79(3)	-5106(3)	-802(3)	-3569(3)

Muro	Pann.	Sxx	Syy	Sxy	Mxx	Myy	Mxy
20	7	12.86(3)	2.20(4-I-3)	-0.25(3)	-5356(3)	-1180(3)	-1394(3)
20	8	12.40(3)	1.42(4-I-3)	0.11(4-II-3)	-6314(3)	-1335(2)	1288(3)
20	9	6.47(3)	2.57(3)	-1.10(3)	-2404(3)	458(3)	-3680(3)
20	10	6.70(3)	2.46(3)	-0.91(3)	-2280(3)	612(4-I-4)	-2641(3)
20	11	7.01(3)	3.62(4-I-3)	-0.69(3)	-2105(3)	825(4-I-4)	-1940(3)
20	12	7.23(3)	4.53(4-I-3)	-0.46(3)	-1754(3)	1060(4-I-4)	-1604(3)
20	13	3.27(3)	3.58(4-I-4)	0.44(4-I-3)	-1132(3)	-3092(4-I-4)	-1980(5-II-2)
20	14	3.46(3)	2.29(4-I-3)	0.61(4-I-3)	-915(3)	-3200(4-I-4)	-1466(4-I-3)
20	15	3.76(3)	1.94(4-I-3)	0.82(4-I-3)	-740(3)	-3225(4-I-4)	-879(4-I-3)
20	16	3.96(3)	0.91(4-I-3)	1.06(3)	-613(4-I-3)	-3180(4-I-4)	412(1)
21	1	2.13(3)	0.67(5-II-2)	1.89(3)	-5239(3)	-1421(3)	-586(1)
21	2	2.27(3)	0.94(4-I-3)	1.88(3)	-4989(3)	-1539(3)	-814(1)
21	3	2.61(3)	1.23(4-I-3)	1.99(3)	-4556(3)	-1697(3)	-1030(1)
21	4	3.34(3)	1.46(4-I-3)	2.22(3)	-3861(3)	-1846(3)	-1252(1)
21	5	2.34(3)	0.50(4-I-3)	1.66(3)	-7824(3)	-1590(3)	-440(1)
21	6	2.38(3)	0.80(4-I-3)	1.60(3)	-7646(3)	-1701(3)	-557(1)
21	7	2.59(3)	1.17(4-I-3)	1.68(3)	-7304(3)	-1884(3)	810(3)
21	8	3.17(3)	1.60(4-I-3)	1.96(3)	-6686(3)	-2138(3)	1065(3)
21	9	2.60(3)	0.21(4-I-3)	1.50(1)	-10729(3)	-1722(3)	393(3)
21	10	2.55(3)	0.44(4-I-3)	1.34(3)	-10673(3)	-1784(3)	695(3)
21	11	2.60(3)	0.77(4-I-3)	1.31(3)	-10556(3)	-1937(3)	1090(3)
21	12	2.97(3)	1.27(4-I-3)	1.50(3)	-10316(3)	-2222(3)	1581(3)
21	13	2.94(3)	-0.37(3)	1.47(1)	-14297(1)	-1840(3)	274(4-II-3)
21	14	2.78(3)	-0.20(3)	1.27(1)	-13829(1)	-1852(3)	529(3)
21	15	2.70(3)	-0.15(4-II-3)	1.10(1)	-13969(3)	-1948(3)	872(3)
21	16	2.96(3)	-0.18(4-II-3)	1.10(3)	-14357(3)	-2169(3)	1387(3)
22	1	-1.69(1)	1.31(1)	-2.11(3)	-1590(3)	-14542(3)	-2786(3)
22	2	-1.51(1)	1.41(1)	-2.10(3)	-1549(4-I-4)	-13879(3)	-2805(3)
22	3	-1.36(1)	1.38(1)	-2.09(3)	-1493(4-I-4)	-13222(3)	-2828(3)
22	4	-1.28(1)	0.97(1)	-2.08(3)	-1444(4-I-4)	-12574(3)	-2914(3)
22	5	-1.20(2)	0.98(1)	-2.20(3)	-1456(3)	-12601(3)	-2420(3)
22	6	-0.97(2)	1.57(1)	-2.19(3)	-1356(3)	-11866(3)	-2328(3)
22	7	-0.80(1)	1.45(1)	-2.21(3)	-1257(3)	-11130(3)	-2327(3)
22	8	-0.66(1)	1.15(1)	-2.24(3)	-1177(5-II-3)	-10383(3)	-2430(3)
22	9	-1.61(2)	1.10(1)	-1.55(3)	-1091(3)	-11348(3)	-2279(3)
22	10	-1.41(2)	1.96(1)	-1.43(3)	-971(3)	-10580(3)	-2223(3)
22	11	-1.32(2)	1.74(1)	-1.30(3)	-868(5-II-2)	-9817(3)	-2261(3)
22	12	-1.21(2)	1.51(1)	-1.13(3)	-764(5-II-2)	-9058(3)	-2405(3)
22	13	-2.60(3)	1.57(1)	-1.67(3)	-642(5-II-2)	-10739(3)	-1922(3)
22	14	-2.33(3)	2.49(1)	-1.62(3)	-574(5-II-2)	-9996(3)	-1737(3)
22	15	-2.25(3)	2.12(1)	-1.57(3)	-481(5-II-2)	-9280(3)	-1659(3)
22	16	-2.21(3)	1.85(1)	-1.51(3)	-365(5-II-2)	-8588(3)	-1692(3)
23	1	4.56(3)	1.51(4-I-3)	2.46(3)	-2929(3)	-1824(3)	-1492(1)
23	2	6.23(3)	1.27(4-I-3)	2.44(3)	-1840(3)	-1338(3)	-1751(1)
23	3	8.45(3)	0.68(4-I-3)	1.86(4-I-3)	-748(1)	-786(1)	-1894(1)
23	4	10.76(3)	-0.59(1)	0.37(4-I-4)	-166(1)	2729(3)	-1165(1)
23	5	4.36(3)	1.97(4-I-3)	2.42(3)	-5719(3)	-2325(3)	1194(3)
23	6	6.39(3)	2.11(4-I-3)	2.89(3)	-4312(3)	-2116(3)	1029(3)
23	7	9.37(3)	1.52(4-I-3)	2.64(4-I-3)	-2469(3)	-963(1)	-912(1)
23	8	13.45(3)	0.39(4-I-3)	0.94(4-I-4)	-874(3)	3572(3)	-610(1)
23	9	3.92(3)	1.90(4-I-3)	1.96(3)	-9842(3)	-2553(3)	2098(3)
23	10	5.87(3)	2.64(4-I-3)	2.73(3)	-8877(3)	-2718(3)	2510(3)
23	11	9.82(3)	3.41(4-I-3)	3.71(4-I-3)	-7034(3)	-1817(3)	2402(3)
23	12	16.51(3)	0.90(4-I-3)	2.02(3)	-4509(3)	3886(3)	1505(3)
23	13	3.61(3)	0.51(4-I-3)	1.35(3)	-14888(3)	-2486(3)	2005(3)
23	14	5.16(3)	1.39(4-I-3)	1.71(3)	-15670(3)	-2912(3)	2750(3)
23	15	9.02(3)	2.91(4-I-3)	2.65(3)	-16843(3)	-2783(3)	3445(3)
23	16	18.19(3)	8.27(4-I-3)	4.14(4-I-3)	-17259(3)	1608(3)	2708(3)
24	1	22.33(4-I-3)	19.38(3)	4.94(3)	-15345(3)	-15520(3)	-7241(3)
24	2	19.45(4-I-3)	24.60(3)	3.40(4-I-3)	-12650(3)	-12492(3)	-7138(3)
24	3	17.72(4-I-3)	27.57(3)	2.41(4-I-3)	-9945(4-I-3)	-9730(3)	-7299(3)
24	4	16.91(4-I-3)	29.38(3)	1.83(4-I-4)	-7376(4-I-3)	-7196(3)	-7562(3)
24	5	11.78(4-I-3)	8.65(3)	-3.71(3)	-5938(3)	-17329(3)	-2060(3)
24	6	13.37(4-I-3)	4.16(3)	-0.70(3)	-6338(3)	-15889(3)	-2557(2)
24	7	14.05(4-I-3)	3.58(3)	1.47(3)	-6724(3)	-14101(3)	-3209(2)
24	8	14.16(4-I-3)	3.57(3)	2.95(3)	-6737(3)	-12210(3)	-3886(2)
24	9	5.62(4-I-3)	3.36(3)	-1.18(3)	-3716(3)	-17891(3)	-3037(3)
24	10	5.80(4-I-3)	1.31(3)	-0.88(3)	-3819(3)	-16880(3)	-3418(3)
24	11	6.34(4-I-3)	1.73(3)	-0.44(1)	-3850(4-I-3)	-15876(3)	-3511(3)
24	12	6.81(4-I-3)	1.40(3)	0.44(4-I-3)	-4075(4-I-3)	-14804(3)	-3547(2)
24	13	1.72(4-I-3)	1.49(3)	-2.05(3)	-2171(4-I-4)	-16308(3)	-3139(3)
24	14	1.93(4-I-3)	0.87(1)	-1.57(3)	-2139(4-I-4)	-15638(3)	-3126(3)
24	15	2.06(4-I-3)	1.10(1)	-1.23(3)	-2155(4-I-4)	-14964(3)	-3272(3)
24	16	2.02(4-I-3)	0.79(1)	-0.90(2)	-2153(4-I-3)	-14268(3)	-3491(3)
25	1	-2.60(1)	0.35(1)	0.73(3)	-2255(1)	-511(1)	173(1)

**POTENZIAMENTO DELL'IMPIANTO DI DEPURAZIONE E
DEL RECAPITO FINALE DI SQUINZANO (LE)
PROGETTO DEFINITIVO
Tabulati di calcolo strutturale-Edificio Grigliatura
Grossolana**

R.37.11

Maggio 2021

Pagina 50 di 183

Muro	Pann.	Sxx	Syy	Sxy	Mxx	Myy	Mxy
25	2	-2.75 (1)	0.20 (1)	0.54 (3)	-2285 (1)	-466 (1)	155 (1)
25	3	-2.84 (1)	-0.22 (2)	0.38 (3)	-2272 (1)	-413 (1)	113 (1)
25	4	-2.86 (1)	-0.37 (2)	0.38 (1)	-2239 (1)	-354 (1)	101 (3)
25	5	-2.77 (1)	0.25 (1)	0.78 (3)	908 (2)	-211 (1)	229 (1)
25	6	-2.90 (1)	0.10 (1)	0.72 (3)	1049 (2)	-221 (1)	171 (1)
25	7	-2.99 (1)	-0.18 (2)	0.58 (3)	1157 (2)	201 (2)	95 (1)
25	8	-3.01 (1)	-0.33 (2)	0.51 (1)	1228 (2)	271 (2)	104 (3)
25	9	-2.90 (1)	0.11 (1)	0.89 (3)	2219 (2)	318 (2)	142 (1)
25	10	-3.05 (1)	-0.10 (1)	0.85 (3)	2287 (2)	354 (2)	122 (1)
25	11	-3.12 (1)	-0.27 (1)	0.75 (3)	2337 (2)	411 (2)	95 (1)
25	12	-3.13 (1)	-0.40 (1)	0.63 (1)	2363 (2)	481 (2)	128 (3)
25	13	-3.02 (1)	-0.19 (1)	1.07 (3)	2191 (2)	-379 (1)	71 (2)
25	14	-3.14 (1)	-0.45 (1)	1.04 (3)	2231 (2)	-419 (1)	93 (2)
25	15	-3.19 (1)	-0.67 (1)	0.94 (3)	2255 (2)	426 (2)	107 (2)
25	16	-3.19 (1)	-0.82 (1)	0.81 (3)	2258 (2)	489 (2)	143 (1)
25	17	-3.10 (1)	-0.67 (1)	1.33 (3)	-4740 (1)	-655 (1)	-231 (1)
25	18	-3.16 (1)	-1.02 (1)	1.27 (3)	-4913 (1)	-696 (1)	96 (2)
25	19	-3.19 (1)	-1.30 (1)	1.17 (3)	-4948 (1)	-677 (1)	109 (1)
25	20	-3.18 (1)	-1.48 (1)	1.03 (3)	-4830 (1)	-620 (1)	278 (1)
25	21	-2.99 (1)	-1.47 (1)	1.61 (3)	-9898 (1)	-1255 (1)	588 (3)
25	22	-3.09 (1)	-1.88 (1)	1.54 (3)	-10108 (1)	-1251 (1)	552 (3)
25	23	-3.09 (1)	-2.18 (1)	1.44 (3)	-10131 (1)	-1232 (1)	512 (3)
25	24	-3.06 (1)	-2.41 (1)	1.31 (3)	-9964 (1)	-1187 (1)	691 (1)
26	1	2.17 (3)	-0.81 (1)	2.40 (1)	-5145 (3)	-1296 (3)	424 (1)
26	2	2.15 (3)	-0.67 (1)	2.23 (3)	-5304 (3)	-1281 (3)	170 (1)
26	3	2.12 (3)	-0.54 (1)	2.10 (3)	-5377 (3)	-1295 (3)	-88 (1)
26	4	2.11 (3)	0.48 (5-II-2)	1.98 (3)	-5358 (3)	-1342 (3)	-341 (1)
26	5	2.48 (3)	-0.65 (1)	2.27 (1)	-7662 (3)	-1487 (3)	-371 (3)
26	6	2.44 (3)	-0.53 (1)	2.11 (1)	-7817 (3)	-1463 (3)	-211 (3)
26	7	2.39 (3)	-0.42 (1)	1.95 (3)	-7896 (3)	-1474 (3)	-102 (1)
26	8	2.36 (3)	0.31 (5-II-2)	1.79 (3)	-7899 (3)	-1520 (3)	-280 (1)
26	9	2.82 (3)	-0.48 (1)	2.17 (1)	-10508 (3)	-1637 (3)	-517 (3)
26	10	2.72 (3)	-0.38 (1)	2.04 (1)	-10714 (1)	-1611 (3)	-294 (3)
26	11	2.68 (3)	-0.27 (1)	1.85 (1)	-10808 (1)	-1629 (3)	-125 (4-I-2)
26	12	2.65 (3)	-0.18 (1)	1.67 (1)	-10762 (1)	-1675 (3)	-190 (1)
26	13	2.92 (3)	-0.49 (3)	2.16 (1)	-14207 (1)	-1743 (3)	-762 (3)
26	14	2.97 (3)	-0.28 (3)	1.97 (1)	-14438 (1)	-1772 (1)	-507 (3)
26	15	2.95 (3)	-0.25 (3)	1.82 (1)	-14559 (1)	-1796 (1)	-331 (4-I-2)
26	16	2.97 (3)	-0.35 (3)	1.63 (1)	-14542 (1)	-1816 (3)	-255 (1)
27	1	-2.43 (3)	1.58 (1)	-1.69 (3)	-681 (1)	-10362 (1)	-1724 (3)
27	2	-2.17 (3)	2.61 (1)	-1.76 (3)	-595 (1)	-9644 (1)	-1365 (3)
27	3	-2.11 (3)	2.19 (1)	-1.84 (3)	-476 (1)	-8947 (1)	-1131 (3)
27	4	-2.06 (3)	1.94 (1)	-1.93 (3)	-355 (5-II-2)	-8268 (1)	-1110 (4-II-4)
27	5	-1.62 (3)	1.39 (1)	-1.66 (3)	-977 (1)	-10246 (1)	-1498 (3)
27	6	-1.34 (3)	2.49 (1)	-1.73 (3)	-891 (1)	-9505 (1)	-1037 (3)
27	7	-1.22 (3)	2.06 (1)	-1.81 (3)	-807 (1)	-8761 (1)	-762 (4-II-2)
27	8	-1.05 (3)	1.83 (1)	-1.91 (3)	-731 (1)	-8010 (1)	-756 (4-II-2)
27	9	-1.69 (3)	1.36 (1)	-1.39 (1)	-1022 (1)	-10308 (1)	-1436 (1)
27	10	-1.48 (3)	2.38 (1)	-1.28 (1)	-919 (1)	-9566 (1)	-1059 (1)
27	11	-1.39 (3)	1.99 (1)	-1.17 (1)	-825 (1)	-8822 (1)	-828 (1)
27	12	-1.20 (3)	1.84 (1)	-1.04 (1)	-736 (1)	-8077 (1)	-737 (4-II-2)
27	13	-3.13 (3)	1.43 (1)	-1.22 (1)	-602 (1)	-10765 (3)	-1365 (1)
27	14	-2.85 (3)	1.95 (1)	-1.17 (1)	-533 (1)	-9997 (3)	-923 (1)
27	15	-2.76 (3)	1.58 (1)	-1.06 (1)	-426 (1)	-9255 (3)	-633 (1)
27	16	-2.67 (3)	1.58 (1)	-0.96 (1)	-301 (5-II-1)	-8536 (3)	503 (4-I-2)
28	1	-2.79 (1)	0.31 (3)	1.01 (3)	2132 (2)	378 (2)	50 (2)
28	2	-2.66 (1)	0.37 (1)	0.87 (3)	2115 (2)	328 (2)	139 (1)
28	3	-2.48 (1)	0.41 (1)	0.72 (3)	820 (2)	-166 (1)	247 (1)
28	4	-2.34 (1)	0.32 (1)	0.69 (3)	-2074 (1)	-450 (1)	184 (1)
28	5	-1.64 (1)	0.46 (1)	0.38 (3)	-1463 (1)	-301 (1)	-238 (2)
28	6	-0.73 (1)	0.52 (1)	0.68 (3)	-1063 (1)	-187 (3)	-537 (2)
28	7	0.32 (3)	0.51 (1)	0.62 (3)	-724 (1)	-455 (1)	-573 (2)
28	8	0.42 (1)	0.64 (1)	0.72 (3)	-277 (1)	-849 (1)	-682 (2)
28	9	0.52 (1)	0.99 (1)	0.74 (3)	-269 (1)	-1300 (1)	-394 (3)
28	10	0.65 (1)	1.35 (1)	0.69 (3)	-371 (1)	-1494 (1)	-231 (1)
28	11	0.82 (1)	1.66 (1)	0.57 (3)	-450 (1)	-1656 (2)	-235 (1)
28	12	0.84 (1)	2.17 (1)	0.52 (3)	-641 (1)	-1388 (2)	329 (2)
28	13	0.69 (1)	3.02 (1)	0.56 (3)	-749 (1)	-604 (2)	474 (2)
28	14	-0.92 (3)	6.33 (1)	0.74 (3)	-525 (1)	335 (1)	862 (2)
28	15	-1.55 (1)	2.89 (1)	1.22 (3)	-3667 (1)	365 (3)	-731 (1)
28	16	-2.52 (1)	1.01 (3)	1.51 (3)	-6154 (1)	-803 (1)	-687 (1)
28	17	-3.00 (1)	-0.72 (1)	1.60 (3)	-8900 (1)	-1185 (1)	493 (3)
28	18	-2.89 (1)	0.38 (3)	1.28 (3)	-4056 (1)	-555 (1)	-362 (1)
28	19	-2.25 (1)	0.62 (1)	0.76 (3)	1996 (2)	411 (2)	-150 (3)
28	20	-1.96 (1)	0.68 (1)	0.61 (3)	1066 (2)	190 (2)	-323 (3)

**POTENZIAMENTO DELL'IMPIANTO DI DEPURAZIONE E
DEL RECAPITO FINALE DI SQUINZANO (LE)
PROGETTO DEFINITIVO
Tabulati di calcolo strutturale-Edificio Grigliatura
Grossolana**

R.37.11

Maggio 2021

Pagina 51 di 183

Muro	Pann.	Sxx	Syy	Sxy	Mxx	Myy	Mxy
28	21	-1.56(1)	0.84(1)	0.60(3)	1639(2)	413(2)	-325(3)
28	22	-1.80(1)	1.04(1)	0.85(3)	1686(2)	543(2)	-58(1)
28	23	-2.33(1)	0.99(3)	1.11(3)	-2329(1)	400(2)	-355(1)
28	24	-2.44(1)	0.63(1)	0.94(3)	2046(2)	462(2)	-27(3)
28	25	-0.87(1)	0.98(1)	0.67(3)	1304(2)	490(2)	-514(3)
28	26	-0.36(1)	0.73(1)	0.74(3)	566(2)	183(2)	-846(2)
28	27	0.11(4-I-3)	1.03(1)	0.79(3)	667(2)	175(2)	-626(3)
28	28	0.52(1)	1.74(1)	0.69(3)	-482(1)	-197(1)	-181(1)
28	29	0.18(1)	1.38(1)	0.83(3)	540(2)	84(3)	-251(3)
28	30	0.21(3)	2.11(1)	0.82(3)	-1264(1)	298(2)	429(2)
28	31	-0.76(1)	1.38(1)	0.84(3)	1263(2)	553(2)	30(2)
29	1	-3.51(3)	2.38(1)	-1.35(1)	-448(1)	-11397(3)	-1280(1)
29	2	-3.45(3)	2.35(1)	-1.31(1)	-389(5-II-3)	-10608(3)	-592(1)
29	3	-3.41(3)	2.06(1)	-1.34(2)	-327(4-I-4)	-9868(3)	444(5-II-3)
29	4	-3.33(3)	2.27(1)	-1.41(2)	-335(4-I-4)	-9153(3)	846(3)
29	5	-1.80(3)	1.64(3)	-1.54(4-I-3)	-846(3)	-12585(3)	-1193(4-I-3)
29	6	-1.54(3)	0.99(1)	-1.97(3)	-797(3)	-11939(3)	646(4-II-3)
29	7	-1.30(3)	0.80(1)	-2.09(3)	-719(3)	-11231(3)	1070(3)
29	8	-0.96(4-I-3)	1.15(1)	-2.21(3)	-616(4-II-3)	-10506(3)	1613(3)
29	9	1.41(3)	2.79(3)	-2.69(4-I-3)	-2632(3)	-14900(3)	1231(4-II-3)
29	10	1.33(3)	1.70(5-II-2)	-1.91(4-I-3)	-2416(3)	-14312(3)	1729(3)
29	11	1.71(4-II-3)	1.56(3)	-2.03(4-I-3)	-1820(3)	-13854(3)	2175(3)
29	12	2.05(4-II-3)	2.72(3)	-2.23(4-I-3)	-1641(4-II-3)	-13339(3)	2432(3)
29	13	8.62(4-II-3)	7.55(3)	-9.68(3)	-5052(3)	-19615(3)	2555(3)
29	14	7.21(4-II-3)	5.36(5-II-2)	-6.53(3)	-4722(3)	-18386(3)	2997(3)
29	15	6.11(4-II-3)	6.74(3)	-6.28(3)	-4401(3)	-17175(3)	2868(3)
29	16	5.39(4-II-3)	9.45(3)	-5.59(3)	-4140(3)	-16054(3)	2604(3)
30	1	2.12(4-II-3)	-0.77(1)	3.46(1)	-430(1)	1553(3)	1426(1)
30	2	1.58(3)	-1.05(1)	3.47(1)	-2042(3)	-1082(3)	1775(1)
30	3	2.00(3)	-1.17(1)	3.13(1)	-3734(3)	-1463(3)	1237(1)
30	4	2.17(3)	-1.01(1)	2.71(1)	-4713(3)	-1358(3)	796(1)
30	5	2.41(4-II-3)	-0.84(4-I-3)	3.44(1)	-1556(3)	1541(3)	721(1)
30	6	1.84(3)	-1.10(1)	3.62(1)	-4277(3)	-1684(3)	-870(3)
30	7	2.38(3)	-1.13(1)	3.08(1)	-6308(3)	-1737(3)	-918(3)
30	8	2.49(3)	-0.84(1)	2.57(1)	-7249(3)	-1567(3)	-606(3)
30	9	2.40(4-II-3)	-1.22(4-I-3)	3.52(1)	-5026(3)	951(3)	-1747(3)
30	10	2.14(3)	-1.53(1)	3.77(1)	-7949(3)	-2151(3)	-2081(3)
30	11	2.65(3)	-0.89(1)	2.86(1)	-9503(3)	-1864(3)	-1446(3)
30	12	2.85(3)	-0.59(1)	2.43(1)	-10180(3)	-1716(3)	-881(3)
30	13	-4.57(1)	2.26(4-II-3)	4.08(1)	-13569(3)	-1095(3)	-2431(3)
30	14	2.71(4-I-3)	-1.32(1)	2.90(1)	-12978(3)	-2218(3)	-2883(3)
30	15	3.79(3)	-0.84(3)	2.60(1)	-12976(3)	-1894(3)	-1907(3)
30	16	3.77(3)	-0.94(3)	2.34(1)	-13493(1)	-1811(3)	-1207(3)
31	1	1.36(4-I-3)	2.51(5-II-3)	2.70(4-II-3)	-771(1)	-815(5-II-3)	-1958(3)
31	2	1.34(4-I-3)	3.73(5-II-3)	2.53(3)	-857(2)	-1275(5-II-3)	-2439(3)
31	3	1.53(4-I-3)	4.96(3)	3.16(3)	-719(3)	-2286(3)	-2344(3)
31	4	2.05(4-I-3)	7.58(3)	3.21(3)	489(5-II-4)	-2540(3)	-2666(3)
31	5	2.76(4-I-3)	11.66(3)	3.63(4-I-3)	-1323(4-I-3)	-6664(3)	-1975(5-I-4)
31	6	2.78(4-I-3)	12.21(3)	7.19(3)	-1394(4-I-3)	-7367(3)	-3516(3)
31	7	1.86(4-I-3)	5.83(3)	6.63(3)	836(1)	-1833(5-II-3)	-2177(3)
31	8	1.77(4-I-3)	2.04(5-II-3)	5.37(3)	-856(4-I-3)	949(5-I-3)	-1426(3)
31	9	2.75(4-I-3)	-4.17(5-I-4)	3.22(4-II-3)	-917(4-I-3)	-1541(5-II-4)	-1604(4-II-3)
31	10	2.51(4-I-3)	2.43(5-II-3)	3.30(4-II-3)	-794(4-I-3)	1164(5-I-4)	-1451(4-II-3)
31	11	1.31(4-I-3)	2.13(5-II-3)	2.92(4-II-3)	-634(1)	831(5-I-3)	-1568(3)
31	12	1.41(4-I-3)	2.76(5-II-3)	2.93(3)	-417(2)	788(5-I-3)	-1882(3)
31	13	1.18(4-I-3)	3.27(5-II-3)	3.68(3)	-374(4-I-3)	-831(5-II-3)	-2392(3)
31	14	1.24(4-I-3)	2.52(5-II-3)	3.39(3)	-374(4-I-3)	1012(5-I-3)	-1868(3)
32	1	-3.44(1)	1.23(5-II-3)	3.55(3)	2032(2)	1597(3)	-785(4-II-1)
32	2	-3.07(1)	1.48(5-II-3)	3.65(3)	1718(1)	1537(3)	-734(4-II-1)
32	3	-2.72(4-II-3)	1.55(5-II-3)	3.77(3)	1413(4-II-3)	1282(3)	-702(5-I-3)
32	4	-2.45(4-II-3)	1.41(5-II-3)	3.61(3)	-1365(4-I-3)	992(3)	-1012(5-I-3)
32	5	2.72(4-I-3)	1.41(5-II-4)	3.13(5-I-3)	-1284(4-I-3)	486(5-I-4)	-1506(3)
32	6	5.04(4-I-3)	2.21(5-II-4)	3.55(5-I-3)	-2899(4-I-3)	-1028(5-II-4)	-1490(5-I-3)
32	7	-1.98(1)	-1.36(5-I-1)	2.66(3)	-2131(4-I-3)	-992(5-II-3)	-2540(3)
32	8	1.98(4-I-3)	1.66(5-II-3)	2.05(4-II-4)	-2652(4-I-3)	-1613(5-II-3)	-3729(3)
32	9	4.92(4-I-3)	6.71(3)	2.36(3)	-4177(4-I-3)	-6167(3)	-5719(3)
32	10	10.40(4-I-3)	7.78(3)	5.75(3)	-6741(4-I-3)	-12264(3)	-4113(3)
32	11	10.21(4-I-3)	4.81(3)	5.54(3)	-6767(4-I-3)	-13529(3)	-2755(3)
32	12	7.84(4-I-3)	2.65(5-II-3)	4.43(3)	-3089(3)	-8684(3)	-1257(3)
32	13	5.33(4-I-3)	3.73(5-II-3)	4.96(3)	595(2)	-4098(3)	-745(4-II-4)
32	14	3.45(4-I-3)	1.53(5-II-3)	6.06(3)	1762(2)	985(5-I-3)	676(4-I-4)
32	15	-1.80(1)	-1.67(5-I-3)	4.32(3)	2045(2)	1937(3)	-495(4-II-1)
32	16	-3.24(1)	-1.32(3)	2.61(3)	2008(2)	1099(3)	-665(4-II-1)
32	17	-3.50(1)	-0.58(5-I-3)	3.38(3)	2164(2)	1536(3)	-830(4-II-1)
32	18	-2.28(1)	1.77(5-II-3)	3.89(3)	1749(1)	2574(3)	-1000(4-II-1)

Muro	Pann.	Sxx	Syy	Sxy	Mxx	Myy	Mxy
32	19	-2.34 (1)	1.26 (5-II-3)	3.52 (3)	2047 (2)	2719 (3)	-808 (4-II-1)
32	20	-2.68 (1)	1.50 (5-II-3)	3.28 (3)	2089 (1)	2481 (3)	-951 (4-II-1)
32	21	7.60 (4-I-3)	4.41 (3)	6.10 (3)	-5378 (4-I-3)	-6637 (3)	-2456 (3)
32	22	5.51 (4-I-3)	3.91 (5-II-3)	5.71 (3)	-3234 (4-I-3)	-3791 (3)	-1865 (3)
32	23	5.01 (4-I-3)	3.88 (5-II-3)	5.17 (3)	-3626 (4-I-3)	-2979 (3)	-2230 (3)
32	24	3.74 (4-I-3)	3.78 (5-II-3)	4.77 (3)	-2538 (4-I-3)	-1013 (5-II-3)	-1851 (3)
32	25	3.88 (4-I-3)	2.71 (5-II-3)	5.06 (3)	-1107 (4-I-3)	675 (5-I-3)	-975 (4-II-4)
32	26	2.14 (4-I-3)	2.95 (5-II-3)	4.07 (3)	1075 (1)	1392 (5-I-3)	-1233 (3)
32	27	5.53 (4-I-3)	5.73 (3)	4.75 (3)	-5169 (4-I-3)	-5249 (3)	-2815 (3)
32	28	3.72 (4-I-3)	4.33 (3)	3.96 (3)	-3445 (4-I-3)	-1587 (5-II-3)	-2920 (3)
32	29	-2.39 (4-II-3)	1.69 (5-II-3)	2.65 (3)	1294 (4-II-3)	1764 (3)	-1489 (3)
32	30	-2.57 (1)	1.78 (5-II-3)	3.16 (3)	1773 (1)	2268 (3)	-1197 (3)
32	31	-2.26 (1)	2.30 (5-II-3)	2.99 (3)	1477 (1)	2247 (3)	-1444 (3)
32	32	-2.16 (1)	2.48 (5-II-3)	2.58 (3)	-1312 (4-I-3)	1509 (5-I-1)	-2175 (3)
32	33	-2.08 (1)	3.01 (5-II-3)	2.98 (3)	-1654 (4-I-3)	1191 (5-I-3)	-2020 (3)
33	1	-0.99 (2)	2.03 (5-II-3)	1.47 (4-II-3)	166 (2)	-4336 (3)	-468 (4-II-3)
33	2	-1.44 (2)	2.95 (1)	1.73 (4-II-4)	1225 (3)	-2225 (1)	628 (4-I-3)
33	3	-2.06 (1)	-0.94 (5-I-3)	2.35 (4-I-4)	2171 (3)	1334 (2)	828 (4-I-3)
33	4	-2.65 (2)	-2.27 (2)	1.74 (4-II-4)	1892 (3)	2044 (3)	773 (4-I-3)
33	5	-3.46 (4-I-3)	-1.92 (5-I-1)	2.00 (4-II-3)	1808 (4-I-3)	891 (5-I-1)	-863 (4-II-3)
33	6	-3.56 (2)	-1.84 (3)	1.72 (4-II-4)	1376 (1)	838 (3)	-677 (4-II-4)
33	7	-2.75 (2)	-2.20 (2)	1.29 (4-II-3)	1108 (1)	1839 (3)	-658 (4-II-4)
33	8	-2.05 (2)	1.31 (5-II-3)	-1.55 (4-I-4)	919 (1)	989 (2)	-1014 (4-II-4)
33	9	-1.11 (1)	4.48 (3)	1.15 (4-II-3)	-1176 (4-I-3)	-3143 (3)	-1417 (3)
33	10	-0.94 (1)	2.57 (5-II-3)	1.27 (4-II-3)	-648 (4-I-3)	-4795 (3)	-953 (3)
33	11	-1.21 (1)	1.48 (5-II-3)	1.54 (4-II-4)	815 (2)	-587 (5-II-3)	-674 (4-II-3)
34	1	-5.30 (3)	-1.13 (2)	-1.33 (4-I-1)	2470 (3)	538 (4-II-3)	701 (4-I-2)
34	2	-5.17 (3)	-1.16 (2)	-1.07 (4-I-1)	2414 (3)	583 (4-II-3)	712 (4-I-2)
34	3	-4.87 (3)	-1.41 (3)	-1.13 (4-I-2)	2205 (4-II-3)	642 (4-II-3)	709 (4-I-3)
34	4	-5.12 (4-II-3)	-1.81 (5-I-2)	1.77 (4-II-3)	2249 (4-II-3)	710 (5-I-2)	946 (4-I-3)
34	5	-3.79 (3)	-2.74 (3)	-1.59 (4-I-2)	1162 (2)	1773 (3)	-644 (4-II-3)
34	6	-2.85 (3)	-1.91 (2)	-2.34 (4-I-2)	958 (2)	1409 (2)	-759 (4-II-3)
34	7	-1.91 (3)	2.08 (1)	-2.08 (4-I-2)	599 (2)	-2183 (1)	-508 (4-II-4)
34	8	-1.88 (3)	0.91 (5-II-2)	-1.68 (4-I-2)	371 (2)	-3029 (1)	430 (4-I-2)
34	9	-1.91 (3)	0.89 (5-II-2)	-1.42 (4-I-3)	384 (3)	-3071 (1)	600 (4-I-2)
34	10	-1.96 (3)	1.76 (5-II-2)	-0.92 (4-I-3)	784 (4-I-3)	-2410 (1)	1064 (3)
34	11	-2.54 (3)	-2.41 (2)	1.07 (4-II-3)	1037 (4-I-3)	1185 (2)	1293 (3)
34	12	-3.72 (3)	-3.02 (3)	-1.91 (4-I-2)	1248 (4-I-3)	1622 (3)	1187 (3)
34	13	-4.91 (3)	-1.47 (3)	-2.42 (3)	1772 (3)	611 (3)	1038 (3)
34	14	-5.24 (3)	-1.38 (3)	-1.78 (4-I-1)	2171 (3)	652 (3)	755 (4-I-1)
34	15	-3.11 (3)	-1.42 (5-I-2)	-1.71 (4-I-2)	1598 (3)	1796 (2)	510 (4-I-2)
34	16	-3.08 (3)	-1.51 (5-I-2)	-1.47 (4-I-2)	1550 (3)	1731 (2)	757 (4-I-2)
34	17	-4.52 (3)	-1.57 (2)	-1.62 (4-I-2)	2561 (3)	1947 (3)	573 (4-I-1)
34	18	-4.20 (3)	-1.72 (5-I-2)	-1.75 (4-I-3)	2161 (3)	2228 (3)	597 (4-I-2)
34	19	-4.04 (3)	-1.67 (5-I-2)	-1.81 (4-I-2)	2282 (3)	2483 (3)	604 (4-I-2)
34	20	-3.98 (3)	-1.74 (2)	-1.59 (4-I-2)	2232 (3)	2452 (3)	650 (4-I-1)
34	21	-4.23 (3)	-1.88 (2)	-1.72 (4-I-2)	2138 (3)	2183 (3)	709 (4-I-1)
34	22	-4.53 (3)	-1.61 (2)	-1.65 (4-I-2)	2578 (3)	1933 (3)	637 (4-I-1)
35	1	1.63 (5-II-4)	-1.54 (4-II-3)	-1.39 (2)	401 (5-I-4)	-291 (4-I-1)	224 (5-I-2)
35	2	-0.94 (5-I-4)	-1.30 (4-II-3)	-1.35 (2)	770 (2)	159 (4-II-3)	272 (5-I-2)
35	3	-1.92 (2)	-1.05 (2)	-1.05 (2)	1040 (2)	185 (4-II-3)	339 (2)
35	4	-2.40 (2)	-0.78 (4-II-3)	-0.79 (5-II-4)	1086 (2)	157 (4-II-3)	371 (2)
35	5	-2.51 (5-II-1)	-0.55 (4-II-3)	-0.61 (4-I-1)	1094 (5-II-1)	107 (4-II-3)	377 (4-I-1)
35	6	-2.81 (5-II-1)	0.49 (4-I-3)	0.84 (4-II-1)	1153 (5-II-1)	-116 (4-I-3)	434 (4-I-1)
35	7	3.23 (5-I-1)	0.66 (3)	1.37 (4-II-1)	-1542 (5-I-1)	-230 (3)	601 (4-I-1)
35	8	6.40 (5-I-1)	1.35 (4-II-1)	1.96 (4-II-1)	-2773 (5-I-1)	-610 (4-II-1)	-891 (4-II-1)
35	9	3.37 (5-I-1)	0.47 (3)	1.16 (4-II-1)	-1408 (5-I-1)	-299 (4-I-3)	-849 (4-II-1)
35	10	-2.77 (5-II-1)	-0.35 (4-II-3)	-0.71 (4-I-1)	1190 (5-II-1)	252 (4-II-3)	-555 (4-II-1)
35	11	-2.39 (5-II-1)	-0.63 (4-II-3)	-0.72 (4-I-1)	1050 (5-II-1)	401 (4-II-3)	-288 (4-II-1)
35	12	-2.28 (2)	-0.91 (4-II-3)	-0.71 (4-I-1)	1100 (2)	613 (2)	388 (5-II-4)
35	13	-1.80 (2)	-1.12 (4-II-3)	-0.61 (2)	974 (2)	855 (2)	557 (5-II-4)
35	14	-0.83 (2)	-1.22 (4-II-3)	-0.53 (5-I-2)	652 (2)	1097 (2)	738 (2)
35	15	1.22 (5-II-4)	-1.17 (4-II-4)	0.50 (5-II-2)	278 (5-I-4)	1400 (2)	908 (2)
35	16	2.37 (5-II-4)	1.56 (4-I-1)	1.17 (5-II-3)	-864 (5-II-4)	1931 (2)	956 (2)
35	17	2.94 (3)	2.51 (4-I-4)	1.40 (5-II-1)	-2191 (3)	1213 (4-II-4)	-577 (5-II-1)
35	18	5.95 (5-II-4)	3.35 (4-I-1)	2.07 (5-II-3)	-3377 (5-II-4)	-2502 (4-I-1)	-1700 (5-II-3)
35	19	3.40 (5-II-4)	-1.58 (4-II-3)	-1.08 (5-I-3)	-1367 (5-II-4)	-1098 (2)	-350 (5-II-3)
36	1	-2.75 (3)	8.97 (3)	0.56 (5-I-2)	-345 (5-II-4)	-2330 (3)	-414 (2)
36	2	-2.30 (3)	12.04 (3)	2.37 (3)	-933 (4-I-4)	-5467 (3)	-1188 (3)
36	3	3.54 (4-I-3)	14.18 (3)	7.27 (3)	-2283 (4-I-3)	-8147 (3)	-3653 (3)
36	4	4.24 (4-I-3)	11.41 (3)	6.36 (3)	-1789 (4-I-3)	-7051 (3)	-2881 (3)
36	5	3.32 (4-I-1)	8.09 (3)	4.88 (3)	461 (5-I-4)	-5734 (3)	-1813 (3)
36	6	3.28 (3)	6.01 (3)	4.96 (3)	852 (3)	-4399 (3)	-556 (5-II-4)
36	7	2.23 (4-I-1)	4.74 (3)	3.96 (3)	1144 (3)	-3091 (3)	210 (1)
36	8	1.60 (4-I-1)	3.84 (3)	2.67 (3)	967 (5-II-2)	-2107 (3)	300 (1)

**POTENZIAMENTO DELL'IMPIANTO DI DEPURAZIONE E
DEL RECAPITO FINALE DI SQUINZANO (LE)
PROGETTO DEFINITIVO
Tabulati di calcolo strutturale-Edificio Grigliatura
Grossolana**

R.37.11

Maggio 2021

Pagina 53 di 183

Muro	Pann.	Sxx	Syy	Sxy	Mxx	Myy	Mxy
36	9	1.18(4-I-1)	3.52(3)	1.77(3)	732(5-II-1)	-1511(3)	276(1)
36	10	1.24(4-I-1)	3.68(3)	1.17(5-I-1)	-647(5-I-1)	-1428(3)	314(5-II-1)
36	11	2.42(4-I-3)	4.11(3)	1.75(5-I-1)	-1167(4-I-3)	-1789(5-I-4)	-911(5-I-1)
36	12	-1.50(4-II-4)	5.22(3)	0.86(4-II-3)	1101(1)	-1197(4-I-3)	268(4-I-4)
36	13	-1.99(3)	5.97(3)	0.56(4-II-3)	783(1)	-1124(4-I-3)	359(4-I-3)
36	14	-0.79(4-II-1)	5.25(3)	2.05(3)	1465(3)	-1094(3)	176(1)
36	15	-1.28(4-II-2)	5.01(3)	1.67(3)	1754(3)	-940(3)	192(4-I-3)
36	16	-1.36(4-II-1)	6.35(3)	1.32(3)	1768(3)	-1110(3)	188(4-I-3)
36	17	1.19(4-I-1)	6.62(3)	3.60(3)	1238(3)	-2394(3)	-686(5-II-4)
36	18	0.72(4-I-1)	9.52(3)	4.00(3)	1219(3)	-3470(3)	-1113(3)
36	19	3.00(4-I-1)	7.79(3)	4.72(3)	1043(4-II-1)	-3623(3)	-1397(3)
36	20	-0.96(1)	7.40(3)	2.15(3)	1669(3)	-1844(3)	-203(4-II-3)
36	21	0.85(4-I-1)	6.03(3)	2.86(3)	1443(3)	-1601(3)	-325(5-II-4)
37	1	1.42(4-I-4)	2.35(4-I-3)	2.08(2)	483(1)	-982(4-I-3)	-727(2)
37	2	2.77(4-I-3)	4.43(5-II-3)	2.65(4-II-2)	-1179(4-I-3)	-2161(3)	-1032(4-II-3)
37	3	1.88(4-I-3)	2.92(4-I-3)	2.20(4-II-1)	-1035(4-I-3)	-976(4-I-3)	-1266(2)
38	1	5.78(3)	3.74(3)	4.40(3)	4454(5-I-1)	530(4-I-4)	597(4-I-4)
38	2	1.96(3)	2.39(1)	2.93(3)	3470(3)	459(5-I-1)	746(4-I-3)
38	3	1.28(3)	1.65(3)	2.49(3)	2430(3)	219(5-I-1)	704(3)
38	4	-1.72(1)	-0.97(1)	2.55(1)	1130(3)	221(4-II-4)	606(5-I-1)
38	5	5.08(4-I-4)	0.59(4-I-1)	2.71(4-I-4)	2120(5-I-1)	193(5-I-1)	129(1)
38	6	1.79(3)	1.85(4-I-1)	3.76(3)	1722(5-I-1)	259(5-I-1)	132(1)
38	7	1.50(3)	0.73(4-I-1)	3.55(3)	1163(5-I-1)	-203(1)	178(5-I-1)
38	8	-1.44(4-I-2)	-0.12(1)	2.48(3)	701(5-I-1)	-134(1)	195(5-I-1)
38	9	2.41(4-I-4)	0.23(4-I-1)	1.92(3)	474(5-I-1)	87(5-I-1)	141(1)
38	10	1.44(3)	1.11(4-I-4)	3.66(3)	397(5-I-1)	-228(1)	186(1)
38	11	1.10(3)	1.06(4-I-4)	4.10(3)	-273(1)	-436(1)	-80(4-I-4)
38	12	1.24(1)	0.17(4-I-1)	2.58(3)	-389(1)	-172(1)	-152(1)
38	13	-1.92(1)	-1.00(1)	2.02(3)	-886(3)	339(1)	215(1)
38	14	0.67(3)	0.82(4-I-4)	3.18(3)	-542(1)	-405(1)	175(1)
38	15	1.17(3)	1.13(4-I-4)	3.60(3)	-681(1)	-650(1)	-85(4-I-4)
38	16	2.37(3)	2.38(3)	3.46(3)	-456(4-II-1)	-237(3)	-234(1)
39	1	-1.72(4-I-1)	-1.09(2)	-2.64(3)	-222(5-II-2)	-331(1)	434(3)
39	2	-1.83(4-I-1)	-0.93(1)	-2.51(3)	-199(5-II-2)	246(5-I-2)	499(1)
39	3	-1.65(4-I-1)	-0.65(1)	-2.26(3)	162(5-I-2)	790(5-I-2)	425(1)
39	4	-0.54(4-I-1)	-0.61(4-II-1)	-1.78(3)	211(5-I-2)	1475(5-I-2)	98(1)
39	5	-1.74(4-I-1)	-1.86(2)	-2.55(3)	194(4-I-1)	-170(1)	439(3)
39	6	-1.97(4-I-1)	-1.88(2)	-2.58(3)	228(5-I-2)	166(5-I-2)	488(1)
39	7	-2.07(4-I-1)	-1.66(1)	-2.42(3)	260(5-I-2)	617(5-I-2)	423(1)
39	8	-1.26(4-I-1)	-1.35(1)	-1.83(3)	265(5-I-2)	1338(5-I-2)	129(5-II-2)
39	9	-1.66(4-I-1)	-2.71(2)	-2.28(3)	759(1)	-29(4-II-3)	369(3)
39	10	-1.92(4-I-1)	-3.06(2)	-2.42(3)	545(1)	75(5-I-2)	383(2)
39	11	-2.21(4-I-1)	-3.35(2)	-2.55(3)	316(1)	387(5-I-2)	342(5-II-2)
39	12	-2.46(4-I-1)	-2.87(1)	-1.80(3)	300(5-I-2)	1245(5-I-2)	-198(5-I-2)
39	13	-1.54(4-I-1)	-3.54(4-I-1)	-1.91(3)	1580(1)	164(5-II-2)	71(5-I-2)
39	14	-1.60(4-I-1)	-4.41(4-I-1)	-1.85(3)	1136(1)	145(5-II-2)	106(4-II-1)
39	15	-2.54(4-I-1)	-5.92(4-I-1)	-2.01(3)	622(1)	220(5-I-2)	125(4-II-1)
39	16	-2.52(4-I-1)	-8.46(4-I-1)	-2.25(4-I-1)	122(1)	-1244(5-II-2)	-204(5-I-2)
40	1	-1.52(1)	-1.17(2)	-2.85(3)	-292(2)	-681(1)	130(5-I-2)
40	2	-1.54(1)	-1.15(2)	-2.79(3)	-274(2)	-627(1)	185(3)
40	3	-1.55(1)	-1.15(2)	-2.74(3)	-253(2)	-563(1)	265(3)
40	4	-1.62(4-I-1)	-1.12(2)	-2.70(3)	-234(5-II-2)	-490(1)	336(3)
40	5	-1.63(1)	-1.63(2)	-2.68(3)	188(4-I-1)	-401(1)	156(5-I-2)
40	6	-1.63(1)	-1.68(2)	-2.64(3)	196(4-I-1)	-359(1)	212(5-I-2)
40	7	-1.61(1)	-1.74(2)	-2.59(3)	202(4-I-1)	-314(1)	278(3)
40	8	-1.61(4-I-1)	-1.77(2)	-2.56(3)	206(4-I-1)	-267(1)	348(3)
40	9	-1.72(1)	-2.16(2)	-2.42(3)	924(1)	-119(3)	167(5-I-2)
40	10	-1.69(1)	-2.31(2)	-2.40(3)	919(1)	-92(4-I-4)	215(5-I-2)
40	11	-1.67(1)	-2.43(2)	-2.35(3)	900(1)	-78(5-I-2)	256(5-I-2)
40	12	-1.60(1)	-2.57(2)	-2.29(3)	868(1)	-63(5-I-2)	308(3)
40	13	-1.73(1)	-2.87(2)	-2.18(3)	2092(1)	165(1)	-94(2)
40	14	-1.80(1)	-3.03(2)	-2.09(3)	2050(1)	171(1)	-67(2)
40	15	-1.76(1)	-3.21(2)	-2.04(3)	1971(1)	172(1)	-48(5-II-2)
40	16	-1.67(1)	-3.42(2)	-2.00(3)	1852(1)	159(1)	-33(5-II-2)
41	1	-1.02(1)	-2.31(4-I-1)	-1.27(5-I-2)	876(1)	-309(4-I-1)	-347(3)
41	2	-1.07(5-II-2)	-2.37(4-I-1)	-1.32(5-I-2)	620(1)	-463(4-I-1)	-516(4-I-1)
41	3	-1.71(5-II-2)	-2.21(4-I-1)	-1.45(5-I-2)	335(1)	-901(4-I-1)	-763(4-I-1)
41	4	2.39(5-I-2)	-1.42(4-I-1)	-1.14(5-I-2)	158(4-II-1)	-2221(4-I-1)	-678(4-I-1)
41	5	-1.23(5-II-2)	-1.42(2)	-1.42(5-I-3)	-365(4-I-1)	-1030(4-I-1)	-434(3)
41	6	-1.48(5-II-2)	-1.12(2)	-1.39(5-I-3)	-330(4-I-1)	-1105(4-I-1)	-640(4-I-1)
41	7	-1.45(5-II-2)	-0.89(2)	-1.29(3)	-289(4-I-1)	-1223(4-I-1)	-867(4-I-1)
41	8	1.16(5-I-2)	-0.65(5-I-2)	-0.99(3)	-240(4-I-1)	-1273(4-I-1)	-885(4-I-1)
41	9	-0.83(5-II-2)	-1.69(2)	-1.35(3)	-677(4-I-1)	-1681(4-I-1)	-326(3)
41	10	-0.86(5-II-2)	-1.58(2)	-1.63(3)	-561(4-I-1)	-1683(4-I-1)	-467(3)
41	11	-0.93(5-II-2)	-1.39(2)	-1.80(3)	-399(4-I-1)	-1614(4-I-1)	-652(4-I-1)

Muro	Pann.	Sxx	Syy	Sxy	Mxx	Myy	Mxy
41	12	-1.11 (5-II-2)	-1.08 (2)	-1.67 (5-II-2)	-261 (4-I-1)	1980 (4-II-1)	-884 (4-I-1)
41	13	-0.34 (5-II-2)	-2.59 (2)	-1.08 (5-I-2)	-772 (4-I-1)	-2068 (4-I-1)	-186 (3)
41	14	-0.13 (5-II-3)	-3.16 (2)	-1.31 (5-I-2)	-717 (4-I-1)	-2040 (4-I-1)	-272 (1)
41	15	-0.25 (5-I-2)	-3.83 (2)	-1.70 (5-I-2)	-582 (4-I-1)	-2038 (4-I-1)	-335 (4-I-1)
41	16	-0.84 (4-II-4)	-4.97 (2)	-2.18 (3)	376 (4-II-1)	3085 (4-II-1)	-557 (4-I-1)
42	1	-1.33 (1)	-2.36 (2)	-1.35 (3)	1055 (1)	-300 (3)	-173 (4-I-1)
42	2	-1.29 (1)	-2.27 (2)	-1.35 (3)	1061 (1)	-279 (3)	-216 (4-II-1)
42	3	-1.24 (1)	-2.22 (2)	-1.35 (3)	1045 (1)	-254 (3)	-248 (4-I-1)
42	4	-1.17 (1)	-2.07 (4-I-1)	-1.35 (3)	1012 (1)	-251 (4-I-1)	-291 (3)
42	5	-1.18 (2)	-1.70 (2)	-1.24 (5-I-3)	-408 (3)	-1028 (3)	247 (4-I-1)
42	6	-1.18 (1)	-1.59 (2)	-1.30 (5-I-3)	-410 (3)	-1001 (3)	-166 (4-II-1)
42	7	-1.18 (1)	-1.51 (2)	-1.34 (5-I-3)	-399 (3)	-975 (4-I-1)	-220 (4-II-1)
42	8	-1.17 (1)	-1.29 (2)	-1.37 (5-I-3)	-384 (4-I-1)	-1003 (4-I-1)	-263 (4-I-1)
42	9	-0.83 (1)	-1.76 (2)	-1.13 (5-I-2)	-708 (3)	-1667 (3)	171 (4-I-1)
42	10	-0.84 (1)	-1.71 (2)	-1.19 (5-I-2)	-719 (4-I-1)	-1642 (3)	-129 (4-II-1)
42	11	-0.84 (1)	-1.68 (2)	-1.24 (5-I-2)	-725 (4-I-1)	-1623 (4-I-1)	-169 (4-I-1)
42	12	-0.83 (1)	-1.59 (2)	-1.28 (5-I-2)	-721 (4-I-1)	-1652 (4-I-1)	-202 (4-II-1)
42	13	-0.51 (5-II-2)	-2.09 (2)	-0.81 (5-I-2)	-722 (4-I-1)	-2063 (3)	91 (4-I-1)
42	14	-0.50 (5-II-2)	-2.15 (2)	-0.86 (5-I-2)	-751 (4-I-1)	-2041 (3)	-60 (4-II-1)
42	15	-0.49 (5-II-2)	-2.25 (2)	-0.91 (5-I-2)	-771 (4-I-1)	-2023 (4-I-1)	-84 (4-II-1)
42	16	-0.47 (5-II-2)	-2.36 (2)	-0.96 (5-I-2)	-781 (4-I-1)	-2056 (4-I-1)	-105 (4-II-1)
43	1	-0.17 (2)	-1.21 (2)	-3.28 (3)	92 (1)	1098 (1)	-362 (3)
43	2	-0.56 (1)	-1.16 (2)	-3.32 (3)	-173 (3)	-218 (5-I-2)	-572 (1)
43	3	-1.06 (1)	-1.12 (2)	-3.21 (3)	-294 (3)	-674 (3)	-447 (1)
43	4	-1.41 (1)	-1.12 (2)	-3.00 (3)	-312 (3)	-746 (3)	-161 (1)
43	5	-0.11 (4-II-2)	-0.94 (2)	-3.08 (3)	97 (1)	740 (1)	-396 (3)
43	6	-0.56 (3)	-1.13 (2)	-3.19 (3)	32 (4-I-1)	-168 (5-I-2)	-588 (1)
43	7	-1.17 (3)	-1.27 (2)	-3.06 (3)	78 (4-I-1)	-440 (3)	-435 (1)
43	8	-1.52 (1)	-1.49 (2)	-2.82 (3)	149 (4-I-1)	-460 (3)	-139 (1)
43	9	0.21 (2)	-0.66 (2)	-2.67 (3)	160 (1)	408 (1)	-346 (3)
43	10	-0.56 (3)	-1.00 (2)	-2.93 (3)	370 (1)	-83 (5-I-2)	-491 (1)
43	11	-1.31 (3)	-1.54 (2)	-2.72 (3)	653 (1)	-175 (3)	-332 (1)
43	12	-1.64 (1)	-1.98 (2)	-2.52 (3)	859 (1)	-155 (3)	-86 (5-II-2)
43	13	0.67 (2)	0.63 (1)	-2.26 (3)	334 (3)	109 (1)	-194 (3)
43	14	-0.69 (3)	-1.00 (2)	-2.21 (3)	1041 (3)	51 (1)	-299 (2)
43	15	-1.48 (3)	-2.01 (2)	-2.20 (3)	1658 (3)	77 (1)	-220 (2)
43	16	-1.77 (3)	-2.64 (2)	-2.14 (3)	2004 (1)	133 (1)	-98 (2)
44	1	-0.50 (3)	-1.98 (3)	-1.04 (3)	258 (2)	1052 (2)	382 (3)
44	2	-0.89 (3)	-2.06 (2)	-1.06 (3)	466 (2)	173 (4-I-1)	514 (4-I-1)
44	3	-1.27 (3)	-2.14 (2)	-1.19 (3)	779 (1)	-216 (3)	474 (4-I-1)
44	4	-1.36 (2)	-2.24 (2)	-1.30 (3)	987 (1)	-307 (3)	316 (4-I-1)
44	5	-0.45 (3)	-1.52 (2)	-0.74 (5-I-3)	167 (1)	1715 (1)	520 (3)
44	6	-0.79 (3)	-1.60 (2)	-0.84 (5-I-3)	-137 (3)	230 (4-I-1)	706 (3)
44	7	-1.02 (3)	-1.65 (2)	-0.97 (5-I-3)	-306 (3)	-717 (3)	656 (4-I-1)
44	8	-1.15 (2)	-1.67 (2)	-1.14 (5-I-3)	-383 (3)	-1000 (3)	440 (4-I-1)
44	9	-0.37 (3)	-1.49 (2)	-0.59 (5-I-2)	248 (1)	2478 (1)	324 (3)
44	10	-0.58 (3)	-1.56 (2)	-0.67 (5-I-2)	-195 (3)	393 (4-I-1)	497 (4-I-1)
44	11	-0.72 (3)	-1.61 (2)	-0.82 (5-I-2)	-496 (3)	-1058 (3)	487 (4-I-1)
44	12	-0.81 (2)	-1.67 (2)	-1.01 (5-I-2)	-661 (3)	-1580 (3)	329 (4-I-1)
44	13	-0.30 (2)	-1.62 (2)	0.41 (5-II-2)	329 (1)	2955 (1)	183 (3)
44	14	-0.38 (2)	-1.67 (2)	-0.45 (5-I-2)	-119 (3)	530 (4-I-1)	279 (4-I-1)
44	15	-0.44 (1)	-1.75 (2)	-0.56 (5-I-2)	-429 (3)	-1236 (3)	277 (4-I-1)
44	16	-0.49 (5-II-2)	-1.88 (2)	-0.71 (5-I-2)	-622 (4-I-1)	-1927 (3)	185 (4-I-1)
45	1	-0.24 (2)	-1.56 (2)	0.70 (1)	368 (1)	3155 (1)	75 (1)
45	2	-0.30 (1)	-1.62 (2)	0.69 (1)	-55 (4-II-3)	592 (4-I-1)	99 (1)
45	3	-0.38 (5-II-2)	-1.69 (2)	0.69 (1)	-333 (3)	-1323 (3)	91 (1)
45	4	-0.46 (5-II-2)	-1.79 (2)	0.71 (1)	-506 (4-I-1)	-2111 (3)	50 (1)
45	5	-0.22 (1)	-1.40 (2)	1.05 (1)	370 (1)	3153 (1)	-43 (4-I-1)
45	6	-0.32 (1)	-1.42 (2)	1.06 (1)	-65 (4-II-1)	561 (4-I-1)	-82 (4-I-1)
45	7	-0.42 (1)	-1.41 (2)	1.07 (1)	-317 (3)	-1348 (3)	-98 (4-I-1)
45	8	-0.51 (1)	-1.39 (2)	1.11 (1)	-468 (3)	-2147 (3)	-89 (4-I-1)
45	9	-0.21 (1)	-1.28 (2)	1.47 (1)	316 (1)	2873 (1)	-163 (3)
45	10	-0.31 (1)	-1.40 (2)	1.46 (1)	-122 (3)	445 (4-I-1)	-258 (3)
45	11	-0.39 (1)	-1.50 (2)	1.43 (1)	-421 (3)	-1279 (3)	-252 (4-I-1)
45	12	-0.44 (1)	-1.57 (2)	1.35 (1)	-587 (3)	-1958 (3)	-156 (4-I-1)
45	13	-0.20 (1)	-1.50 (2)	2.24 (3)	194 (1)	2109 (1)	-399 (3)
45	14	-0.29 (1)	-1.72 (2)	2.18 (1)	-225 (3)	260 (4-I-2)	-592 (3)
45	15	0.32 (5-II-2)	-2.00 (2)	2.20 (1)	-504 (3)	-985 (3)	-523 (1)
45	16	0.47 (5-II-2)	-2.30 (2)	2.14 (1)	-646 (3)	-1387 (3)	-294 (4-I-1)
46	1	-0.49 (5-II-2)	-1.85 (2)	0.74 (1)	-590 (4-I-1)	-2276 (3)	33 (4-II-1)
46	2	-0.51 (5-II-2)	-1.95 (2)	0.75 (1)	-614 (4-I-1)	-2257 (3)	-40 (4-I-1)
46	3	-0.52 (5-II-2)	-2.01 (2)	0.77 (1)	-631 (4-I-1)	-2237 (4-I-1)	-58 (4-I-1)
46	4	-0.53 (5-II-2)	-2.06 (2)	0.80 (1)	-640 (4-I-1)	-2260 (4-I-1)	-74 (4-I-1)
46	5	-0.56 (1)	-1.15 (2)	1.14 (1)	-510 (1)	-2311 (3)	-74 (4-I-1)
46	6	-0.59 (1)	-1.19 (2)	1.15 (1)	-511 (1)	-2289 (3)	-65 (4-I-1)

**POTENZIAMENTO DELL'IMPIANTO DI DEPURAZIONE E
DEL RECAPITO FINALE DI SQUINZANO (LE)
PROGETTO DEFINITIVO
Tabulati di calcolo strutturale-Edificio Grigliatura
Grossolana**

R.37.11

Maggio 2021

Pagina 55 di 183

Muro	Pann.	Sxx	Syy	Sxy	Mxx	Myy	Mxy
46	7	-0.61(1)	-1.12(2)	1.17(1)	-503(1)	-2254(4-I-1)	-54(4-I-1)
46	8	-0.63(1)	-0.99(2)	1.19(1)	-486(1)	-2259(4-I-1)	49(4-II-1)
46	9	-0.46(1)	-1.37(2)	1.28(1)	-632(3)	-2082(3)	-58(1)
46	10	-0.49(1)	-1.24(2)	1.24(1)	-628(1)	-2052(3)	-17(5-II-4)
46	11	-0.51(1)	-1.41(2)	1.19(1)	-614(1)	-1993(4-I-1)	52(4-I-3)
46	12	-0.52(1)	-1.32(2)	1.15(1)	-588(1)	-1996(4-I-1)	97(4-I-3)
46	13	0.55(5-II-2)	-2.46(2)	2.06(1)	-678(3)	-1430(3)	-99(4-I-1)
46	14	0.58(5-II-2)	-2.66(2)	2.01(1)	-678(4-I-3)	-1398(2)	63(4-II-1)
46	15	0.61(5-II-2)	-2.81(2)	1.95(1)	-686(4-I-3)	-1343(2)	137(3)
46	16	0.62(5-II-2)	-3.00(2)	1.88(1)	-688(4-I-3)	-1362(4-I-1)	232(3)
47	1	-0.54(5-II-2)	-2.26(2)	0.90(1)	-632(4-I-1)	-2233(4-I-1)	-106(4-I-1)
47	2	-0.57(5-II-2)	-2.55(2)	1.12(1)	-584(4-I-1)	-2100(4-I-1)	-123(4-I-4)
47	3	-0.73(5-II-2)	-3.14(5-I-2)	1.48(1)	-481(4-I-1)	-1931(4-I-1)	-101(1)
47	4	-0.51(5-II-2)	-4.13(5-I-2)	1.99(1)	416(4-II-1)	2989(4-II-1)	-276(4-II-1)
47	5	-0.69(1)	-0.99(2)	1.23(1)	-427(1)	-2177(4-I-1)	51(4-II-1)
47	6	-0.71(1)	-0.81(5-I-2)	1.30(1)	-302(1)	-1894(4-I-1)	51(3)
47	7	-0.58(1)	-0.66(5-I-2)	1.31(1)	-188(4-I-1)	-1409(4-I-1)	147(4-I-1)
47	8	-0.22(1)	-0.40(1)	1.26(1)	202(4-II-1)	2024(4-II-1)	300(4-I-1)
47	9	-0.58(1)	-1.31(2)	1.04(1)	-507(1)	-1926(4-I-1)	180(4-I-4)
47	10	-0.62(1)	-1.02(5-II-2)	0.89(1)	-346(1)	-1679(4-I-1)	269(4-I-1)
47	11	-0.52(1)	-0.80(5-II-2)	0.81(1)	-188(4-I-4)	-1229(4-I-1)	284(4-I-1)
47	12	-0.26(1)	-0.32(1)	0.74(1)	180(4-II-4)	1870(4-II-1)	278(1)
47	13	0.69(5-II-2)	-3.22(2)	1.72(1)	-665(4-I-3)	-1385(4-I-4)	396(3)
47	14	0.73(5-II-2)	-3.75(2)	1.39(1)	-596(4-I-4)	-1431(4-I-4)	566(4-I-1)
47	15	0.71(5-II-2)	-4.21(3)	0.90(1)	-473(4-I-4)	-1539(4-I-4)	603(4-I-1)
47	16	-0.53(5-I-2)	-4.99(5-II-2)	-1.28(5-I-2)	324(4-II-4)	2370(4-II-4)	471(1)
48	1	1.09(3)	-3.70(3)	3.00(1)	-466(4-I-3)	-843(4-I-4)	529(3)
48	2	1.24(3)	-4.53(3)	3.14(1)	-560(4-I-4)	-1113(4-I-4)	743(3)
48	3	1.28(5-I-2)	-5.88(2)	3.72(1)	-607(4-I-4)	-1697(4-I-4)	871(4-I-4)
48	4	1.09(5-I-2)	-8.14(2)	5.31(1)	-508(4-I-4)	-2690(4-I-4)	970(4-I-4)
48	5	1.07(3)	-3.40(3)	3.50(1)	224(4-II-3)	-546(4-I-4)	507(3)
48	6	0.92(3)	-3.87(3)	3.81(1)	295(4-II-3)	-855(4-I-4)	714(3)
48	7	0.71(5-I-2)	-4.26(2)	4.38(1)	-386(4-I-4)	-1485(4-I-4)	864(4-I-4)
48	8	0.42(5-I-2)	-4.47(5-I-2)	4.83(1)	-414(4-I-4)	-2517(4-I-4)	1085(4-I-4)
48	9	1.01(3)	-2.96(3)	3.86(1)	661(3)	-250(4-I-4)	446(3)
48	10	0.73(3)	-3.13(3)	4.10(1)	452(3)	-570(4-I-4)	621(2)
48	11	0.40(5-I-2)	-2.94(3)	4.34(1)	292(4-II-3)	-1203(4-I-4)	810(4-I-4)
48	12	-0.20(1)	-2.60(5-I-2)	4.33(1)	-276(4-I-4)	-2292(4-I-4)	1113(4-I-4)
48	13	1.02(3)	-2.53(3)	4.07(1)	1498(3)	277(1)	413(2)
48	14	0.73(4-II-3)	-2.51(3)	4.17(1)	1113(4-I-4)	336(4-II-4)	537(1)
48	15	0.34(4-II-3)	-2.15(3)	4.14(1)	578(3)	-869(4-I-4)	621(4-I-2)
48	16	0.15(4-I-1)	-1.64(5-I-2)	3.91(1)	127(4-II-4)	-2095(4-I-4)	1014(4-I-4)
49	1	0.96(3)	-2.86(2)	2.96(1)	-340(4-I-3)	-782(2)	-172(4-I-4)
49	2	1.00(3)	-2.98(2)	2.97(1)	-358(4-I-3)	-752(2)	174(4-II-4)
49	3	1.05(3)	-3.17(3)	2.96(1)	-381(4-I-3)	-721(4-I-1)	241(4-II-4)
49	4	1.17(3)	-3.57(3)	2.96(1)	-408(4-I-3)	-751(4-I-4)	323(3)
49	5	1.02(3)	-2.71(3)	3.31(1)	102(3)	-441(2)	-184(4-I-4)
49	6	1.05(3)	-2.85(3)	3.34(1)	110(4-II-3)	-411(2)	204(4-II-4)
49	7	1.09(3)	-3.01(3)	3.37(1)	139(4-II-3)	-411(4-I-1)	271(4-II-4)
49	8	1.15(3)	-3.21(3)	3.39(1)	169(4-II-3)	-443(4-I-1)	329(4-II-4)
49	9	1.05(3)	-2.55(3)	3.59(1)	780(3)	-108(5-I-2)	-185(4-I-4)
49	10	1.06(3)	-2.63(3)	3.64(1)	785(3)	-90(4-I-1)	224(4-II-4)
49	11	1.09(3)	-2.73(3)	3.69(1)	777(3)	-107(4-I-1)	286(4-II-4)
49	12	1.09(3)	-2.81(3)	3.73(1)	753(3)	-142(4-I-1)	339(4-II-4)
49	13	1.01(3)	-2.26(3)	3.80(1)	1776(3)	299(1)	-132(4-I-4)
49	14	1.07(3)	-2.31(3)	3.85(1)	1774(3)	324(1)	191(4-II-4)
49	15	1.08(3)	-2.35(3)	3.90(1)	1746(3)	338(1)	248(4-II-4)
49	16	1.03(3)	-2.35(3)	3.96(1)	1688(3)	339(1)	298(4-II-4)
50	1	-0.40(1)	-1.44(2)	2.90(3)	126(1)	1364(1)	-555(3)
50	2	-0.46(1)	-1.83(2)	2.88(3)	-159(3)	-235(4-II-2)	-793(3)
50	3	0.55(3)	-2.17(2)	2.91(1)	-293(3)	-636(3)	-671(1)
50	4	0.74(3)	-2.53(2)	2.96(1)	-331(2)	-798(3)	-402(4-I-4)
50	5	-0.48(1)	-1.47(2)	3.29(3)	132(1)	958(1)	-585(3)
50	6	-0.56(1)	-1.89(2)	3.21(3)	47(1)	-197(4-II-2)	-804(3)
50	7	0.65(3)	-2.21(2)	3.21(1)	47(1)	-413(3)	-660(1)
50	8	0.87(3)	-2.49(2)	3.28(1)	80(1)	-475(2)	-401(4-I-4)
50	9	-0.62(1)	-1.58(2)	3.65(3)	201(1)	575(1)	-559(3)
50	10	-0.64(1)	-2.05(2)	3.52(3)	378(1)	-124(4-II-2)	-734(3)
50	11	0.75(3)	-2.19(2)	3.44(1)	563(1)	-218(4-II-2)	-598(1)
50	12	0.96(3)	-2.36(3)	3.52(1)	707(1)	-167(4-II-3)	-369(4-I-4)
50	13	-0.77(1)	-2.24(1)	4.26(3)	422(1)	286(1)	-467(3)
50	14	-0.66(1)	-2.18(2)	3.60(3)	973(1)	141(4-I-2)	-575(3)
50	15	0.92(3)	-2.18(2)	3.54(1)	1347(1)	132(4-I-2)	-481(1)
50	16	1.07(3)	-2.20(3)	3.68(1)	1657(3)	217(3)	-280(4-I-4)
51	1	1.28(3)	-2.31(3)	3.33(1)	2031(3)	423(1)	-83(1)

**POTENZIAMENTO DELL'IMPIANTO DI DEPURAZIONE E
DEL RECAPITO FINALE DI SQUINZANO (LE)
PROGETTO DEFINITIVO
Tabulati di calcolo strutturale-Edificio Grigliatura
Grossolana**

R.37.11

Maggio 2021

Pagina 56 di 183

Muro	Pann.	Sxx	Syy	Sxy	Mxx	Myy	Mxy
51	2	0.98(3)	-2.29(3)	3.05(1)	1647(4-I-4)	257(4-II-4)	-78(2)
51	3	0.49(5-II-1)	-1.94(3)	2.74(1)	1193(4-I-4)	-612(4-I-4)	-201(4-II-4)
51	4	-0.48(4-I-2)	-1.10(3)	2.47(1)	292(4-I-3)	-1750(4-I-4)	-359(4-I-4)
51	5	1.82(3)	-2.45(3)	3.44(1)	681(4-I-4)	227(1)	-191(1)
51	6	1.62(3)	-2.47(3)	2.96(1)	519(4-I-4)	-232(4-I-4)	-280(3)
51	7	1.04(5-II-1)	-2.16(3)	2.40(1)	259(4-I-2)	-684(4-I-4)	-386(3)
51	8	0.29(4-II-2)	-1.47(3)	2.01(1)	-63(4-I-4)	-1417(4-I-4)	-412(3)
51	9	2.52(3)	-2.56(3)	3.64(1)	-205(4-II-1)	-171(4-I-3)	-231(3)
51	10	2.59(3)	-2.90(3)	2.97(1)	-203(3)	-402(4-I-3)	-356(3)
51	11	2.00(3)	-2.94(3)	2.13(1)	-193(3)	-763(4-I-3)	-443(3)
51	12	0.68(4-II-2)	-2.50(3)	1.46(1)	-163(4-I-4)	-1192(4-I-4)	-464(3)
51	13	3.28(3)	-2.39(3)	4.13(3)	-740(3)	-364(3)	-178(3)
51	14	3.85(3)	-3.21(3)	3.27(1)	-623(3)	-530(4-I-3)	-269(3)
51	15	3.47(3)	-3.86(3)	2.10(1)	-456(3)	-808(4-I-3)	-311(3)
51	16	1.46(3)	-3.87(3)	1.10(1)	-244(3)	-1097(4-I-3)	-283(3)
52	1	1.27(3)	-2.10(3)	3.70(1)	2358(3)	509(1)	-131(1)
52	2	1.31(3)	-2.15(3)	3.65(1)	2359(3)	528(1)	-126(1)
52	3	1.34(3)	-2.21(3)	3.58(1)	2324(3)	530(1)	-118(1)
52	4	1.35(3)	-2.26(3)	3.50(1)	2255(3)	516(1)	-117(1)
52	5	1.51(3)	-2.06(3)	3.88(1)	825(3)	297(1)	-111(1)
52	6	1.63(3)	-2.16(3)	3.84(1)	813(3)	316(1)	-131(1)
52	7	1.73(3)	-2.25(3)	3.78(1)	793(3)	316(1)	-146(1)
52	8	1.79(3)	-2.30(3)	3.68(1)	765(3)	295(1)	-166(1)
52	9	1.69(3)	-1.98(1)	4.18(3)	-316(1)	141(1)	-64(1)
52	10	1.90(3)	-2.05(1)	4.12(3)	-287(1)	151(1)	-92(1)
52	11	2.10(3)	-2.15(3)	4.03(1)	-258(1)	146(1)	-119(1)
52	12	2.28(3)	-2.27(3)	3.94(1)	-229(1)	127(1)	-150(1)
52	13	1.73(3)	-1.76(1)	4.60(3)	-815(3)	-210(3)	18(1)
52	14	2.03(3)	-1.85(1)	4.61(3)	-817(3)	-236(3)	-31(3)
52	15	2.36(3)	-1.95(1)	4.59(3)	-810(3)	-267(3)	-68(3)
52	16	2.72(3)	-2.09(1)	4.52(3)	-795(3)	-301(3)	-107(3)
53	1	1.63(3)	-3.25(1)	4.04(3)	1803(1)	181(1)	-94(1)
53	2	0.79(3)	-2.45(1)	4.03(3)	1906(1)	164(4-I-2)	-278(1)
53	3	0.79(3)	-2.07(1)	3.92(3)	2161(1)	268(1)	-265(1)
53	4	1.03(3)	-1.97(3)	3.74(1)	2288(1)	425(1)	-188(1)
53	5	-1.53(1)	-2.49(2)	3.38(3)	326(3)	-220(1)	167(3)
53	6	-0.92(1)	-2.25(1)	3.92(3)	506(3)	-81(1)	133(3)
53	7	0.88(3)	-2.06(1)	4.00(3)	686(3)	119(4-I-2)	-141(1)
53	8	1.22(3)	-2.02(1)	3.94(3)	800(3)	234(1)	-127(1)
53	9	-1.92(1)	-1.92(2)	3.45(3)	-854(1)	-413(1)	209(3)
53	10	-1.38(1)	-1.96(1)	3.83(3)	-717(1)	-227(1)	190(3)
53	11	-0.84(1)	-1.90(1)	4.11(3)	-549(1)	-80(4-II-3)	150(3)
53	12	1.28(3)	-1.92(1)	4.21(3)	-396(1)	91(1)	77(3)
53	13	-2.26(1)	-1.66(1)	3.53(3)	-1126(1)	-473(1)	139(3)
53	14	-1.78(1)	-1.70(1)	3.86(3)	-1041(1)	-265(1)	139(3)
53	15	-1.17(1)	-1.69(1)	4.20(3)	-922(1)	-157(4-II-3)	116(3)
53	16	1.18(3)	-1.70(1)	4.49(3)	-804(1)	-179(4-II-3)	59(3)
54	1	-2.54(1)	-1.65(1)	3.54(3)	-746(1)	-399(1)	64(1)
54	2	-2.12(1)	-1.62(1)	3.85(3)	-801(3)	-204(1)	112(1)
54	3	-1.49(1)	-1.53(1)	4.23(3)	-971(3)	-206(3)	128(1)
54	4	0.95(5-II-2)	-1.44(1)	4.65(3)	-1100(3)	-256(3)	105(1)
54	5	-2.78(1)	-1.85(1)	3.48(3)	-531(3)	-226(1)	-129(3)
54	6	-2.40(1)	-1.72(1)	3.77(3)	-752(3)	-185(3)	-104(3)
54	7	-1.80(1)	-1.51(1)	4.14(3)	-984(3)	-208(3)	-90(3)
54	8	-0.98(1)	-1.22(1)	4.63(3)	-1197(3)	-265(3)	-76(4-I-3)
54	9	-2.99(1)	-2.26(1)	3.38(3)	1894(1)	-149(3)	-256(3)
54	10	-2.64(1)	-2.04(1)	3.62(3)	1738(1)	-143(3)	-256(3)
54	11	-2.06(1)	-1.69(1)	3.92(3)	1376(1)	-176(3)	-259(3)
54	12	-1.29(1)	-1.15(1)	4.35(3)	-1101(3)	-226(3)	-233(3)
54	13	-3.14(1)	-2.93(1)	3.28(3)	4357(1)	345(1)	564(1)
54	14	-2.81(1)	-2.61(1)	3.44(3)	3998(1)	375(1)	440(1)
54	15	-2.25(1)	-2.12(1)	3.62(3)	3283(1)	331(1)	305(1)
54	16	-1.50(1)	-1.45(1)	3.82(3)	2251(1)	230(1)	281(3)
55	1	3.81(3)	-1.88(1)	5.10(3)	-1063(3)	-479(3)	-69(3)
55	2	5.17(3)	-2.86(3)	4.17(3)	-876(3)	-584(4-I-3)	-98(3)
55	3	5.49(3)	-4.32(3)	2.45(1)	-606(3)	-825(4-I-3)	-88(3)
55	4	2.82(3)	-4.94(3)	0.81(1)	-279(3)	-1066(4-I-3)	68(4-II-3)
55	5	3.92(3)	-0.97(1)	5.88(3)	-1290(3)	-492(3)	65(4-II-2)
55	6	6.26(3)	-1.53(1)	5.78(3)	-1071(3)	-557(4-I-3)	120(3)
55	7	7.73(3)	-3.47(3)	3.65(3)	-712(3)	-812(4-I-3)	190(3)
55	8	5.36(3)	-5.10(3)	0.77(1)	-297(4-I-3)	-1058(4-I-3)	353(3)
55	9	3.39(3)	2.49(4-II-3)	5.79(3)	-1547(3)	-366(3)	135(4-II-3)
55	10	6.52(3)	3.10(4-I-3)	6.77(3)	-1358(3)	-434(3)	383(3)
55	11	9.86(3)	2.87(4-II-3)	6.57(3)	-908(3)	-746(4-I-3)	568(3)
55	12	10.10(3)	-3.55(2)	0.79(1)	-352(4-I-3)	-1115(4-I-3)	746(3)

Muro	Pann.	Sxx	Syy	Sxy	Mxx	Myy	Mxy
55	13	2.60 (3)	4.00 (4-II-3)	4.50 (3)	-1686 (3)	-355 (3)	611 (3)
55	14	5.14 (3)	6.68 (4-II-3)	4.83 (3)	-1714 (3)	-518 (3)	878 (3)
55	15	11.71 (3)	11.14 (3)	6.00 (3)	-1152 (3)	-913 (4-I-3)	991 (3)
55	16	13.96 (3)	20.93 (3)	6.35 (3)	-328 (3)	-1652 (4-I-3)	500 (3)
56	1	1.55 (3)	-1.43 (1)	4.92 (3)	-1159 (3)	-314 (3)	67 (1)
56	2	1.91 (3)	-1.46 (1)	5.03 (3)	-1166 (3)	-348 (3)	53 (1)
56	3	2.33 (3)	-1.53 (1)	5.12 (3)	-1162 (3)	-383 (3)	-40 (4-I-1)
56	4	2.89 (3)	-1.74 (1)	5.20 (3)	-1145 (3)	-419 (3)	-48 (4-I-1)
56	5	1.18 (3)	-1.04 (1)	5.00 (3)	-1314 (3)	-324 (3)	-66 (4-I-3)
56	6	1.55 (3)	-0.97 (1)	5.18 (3)	-1345 (3)	-360 (3)	-56 (4-I-3)
56	7	1.99 (3)	-0.93 (1)	5.36 (3)	-1361 (3)	-400 (3)	-43 (4-I-3)
56	8	2.55 (3)	-1.05 (1)	5.54 (3)	-1361 (3)	-432 (3)	38 (4-II-2)
56	9	0.71 (5-II-2)	1.29 (4-II-3)	4.73 (3)	-1321 (3)	-261 (3)	-236 (1)
56	10	1.06 (3)	1.55 (4-II-3)	4.94 (3)	-1417 (3)	-285 (3)	-211 (1)
56	11	1.50 (3)	1.81 (4-II-3)	5.14 (3)	-1483 (3)	-305 (3)	-198 (1)
56	12	1.94 (3)	2.14 (4-II-3)	5.25 (3)	-1540 (3)	-341 (3)	-188 (1)
56	13	-1.02 (1)	1.52 (4-II-3)	4.16 (3)	1553 (1)	-218 (3)	574 (3)
56	14	0.67 (3)	1.88 (4-II-3)	4.22 (3)	1312 (1)	-244 (3)	596 (3)
56	15	1.09 (3)	2.40 (4-II-3)	4.30 (3)	-1417 (3)	-263 (3)	621 (3)
56	16	1.61 (3)	3.25 (4-II-3)	4.41 (3)	-1498 (3)	-243 (3)	665 (3)
57	1	1.38 (4-II-3)	-1.07 (1)	3.47 (3)	235 (3)	-1279 (1)	1432 (1)
57	2	1.21 (3)	-1.25 (1)	3.29 (1)	337 (1)	-229 (5-II-2)	2334 (1)
57	3	1.53 (3)	-1.32 (1)	3.17 (1)	-797 (3)	-756 (3)	1676 (1)
57	4	1.65 (3)	-1.21 (1)	2.90 (1)	-1382 (3)	-877 (3)	1026 (1)
57	5	1.46 (4-II-3)	-1.00 (1)	3.47 (3)	223 (3)	1107 (3)	1480 (1)
57	6	1.21 (3)	-1.19 (1)	3.33 (1)	-380 (3)	-358 (5-II-2)	2328 (1)
57	7	1.58 (3)	-1.28 (1)	3.16 (1)	-1243 (3)	-913 (3)	1654 (1)
57	8	1.74 (3)	-1.17 (1)	2.87 (1)	-1935 (3)	-985 (3)	1018 (1)
57	9	1.54 (4-II-3)	-0.93 (1)	3.47 (3)	196 (3)	1266 (3)	1466 (1)
57	10	1.19 (3)	-1.13 (1)	3.36 (1)	-692 (3)	-512 (3)	2273 (1)
57	11	1.62 (3)	-1.24 (1)	3.16 (1)	-1761 (3)	-1067 (3)	1596 (1)
57	12	1.81 (3)	-1.13 (1)	2.84 (1)	-2552 (3)	-1090 (3)	988 (1)
57	13	1.44 (4-II-3)	-0.89 (1)	3.49 (3)	153 (3)	1415 (3)	1394 (1)
57	14	0.98 (5-II-2)	-1.09 (1)	3.37 (1)	-1090 (3)	-696 (3)	2173 (1)
57	15	1.55 (3)	-1.20 (1)	3.14 (1)	-2354 (3)	-1220 (3)	1510 (1)
57	16	1.90 (3)	-1.09 (1)	2.80 (1)	-3236 (3)	-1193 (3)	940 (1)
58	1	1.67 (3)	-1.03 (1)	2.67 (3)	-1693 (3)	953 (1)	548 (1)
58	2	1.67 (3)	-0.90 (1)	2.53 (3)	-1811 (3)	972 (1)	245 (1)
58	3	1.68 (3)	-0.77 (1)	2.41 (3)	-1856 (3)	953 (1)	-64 (1)
58	4	1.72 (3)	-0.65 (1)	2.32 (3)	-1825 (3)	-967 (3)	-371 (1)
58	5	1.77 (3)	-1.00 (1)	2.62 (3)	-2285 (3)	-979 (3)	543 (1)
58	6	1.77 (3)	-0.86 (1)	2.47 (3)	-2415 (3)	-984 (3)	240 (1)
58	7	1.78 (3)	-0.72 (1)	2.35 (3)	-2467 (3)	-1006 (3)	-69 (1)
58	8	1.81 (3)	-0.59 (1)	2.25 (3)	-2435 (3)	-1050 (3)	-374 (1)
58	9	1.85 (3)	-0.96 (1)	2.56 (3)	-2934 (3)	-1067 (3)	527 (1)
58	10	1.88 (3)	-0.81 (1)	2.41 (3)	-3075 (3)	-1066 (3)	230 (1)
58	11	1.90 (3)	-0.68 (1)	2.28 (3)	-3134 (3)	-1085 (3)	-74 (1)
58	12	1.93 (3)	0.56 (5-II-2)	2.18 (3)	-3103 (3)	-1131 (3)	-373 (1)
58	13	2.02 (3)	-0.92 (1)	2.50 (1)	-3644 (3)	-1153 (3)	502 (1)
58	14	2.07 (3)	-0.77 (1)	2.34 (3)	-3794 (3)	-1146 (3)	215 (1)
58	15	2.09 (3)	-0.64 (1)	2.21 (3)	-3859 (3)	-1163 (3)	-79 (1)
58	16	2.12 (3)	0.53 (5-II-2)	2.11 (3)	-3830 (3)	-1210 (3)	-368 (1)
59	1	1.78 (3)	0.71 (5-II-3)	2.24 (3)	-1710 (3)	-1023 (3)	-687 (1)
59	2	2.02 (3)	0.82 (4-I-3)	2.20 (3)	-1502 (3)	-1083 (3)	-1023 (1)
59	3	2.48 (3)	0.90 (4-I-3)	2.18 (3)	-1191 (3)	-1118 (3)	-1389 (1)
59	4	3.21 (3)	0.85 (4-I-3)	2.16 (3)	-789 (3)	-1060 (3)	-1783 (1)
59	5	1.88 (3)	0.73 (5-II-2)	2.18 (3)	-2311 (3)	-1114 (3)	-687 (1)
59	6	2.11 (3)	0.88 (4-I-3)	2.15 (3)	-2080 (3)	-1190 (3)	-1014 (1)
59	7	2.56 (3)	0.99 (4-I-3)	2.18 (3)	-1724 (3)	-1253 (3)	-1367 (1)
59	8	3.31 (3)	0.97 (4-I-3)	2.20 (3)	-1242 (3)	-1230 (3)	-1749 (1)
59	9	2.00 (3)	0.73 (5-II-2)	2.12 (3)	-2974 (3)	-1202 (3)	-676 (1)
59	10	2.20 (3)	0.92 (4-I-3)	2.10 (3)	-2725 (3)	-1294 (3)	-987 (1)
59	11	2.61 (3)	1.08 (4-I-3)	2.15 (3)	-2331 (3)	-1385 (3)	-1318 (1)
59	12	3.36 (3)	1.11 (4-I-3)	2.23 (3)	-1773 (3)	-1401 (3)	-1678 (1)
59	13	2.18 (3)	0.71 (5-II-2)	2.05 (3)	-3699 (3)	-1287 (3)	-656 (1)
59	14	2.35 (3)	0.94 (4-I-3)	2.04 (3)	-3440 (3)	-1393 (3)	-947 (1)
59	15	2.70 (3)	1.16 (4-I-3)	2.12 (3)	-3017 (3)	-1511 (3)	-1248 (1)
59	16	3.36 (3)	1.26 (4-I-3)	2.27 (3)	-2393 (3)	-1572 (3)	-1576 (1)
60	1	4.20 (3)	0.65 (4-I-3)	2.01 (3)	-376 (3)	-824 (3)	-2139 (1)
60	2	5.30 (3)	-0.80 (1)	1.64 (3)	253 (1)	-660 (1)	-2360 (1)
60	3	6.43 (3)	-1.02 (1)	0.97 (4-I-3)	221 (3)	-1103 (1)	-2319 (1)
60	4	7.22 (3)	-1.16 (1)	-0.35 (1)	290 (3)	-1857 (1)	-1186 (1)
60	5	4.34 (3)	0.79 (4-I-3)	2.11 (3)	-717 (3)	-1011 (3)	-2106 (1)
60	6	5.54 (3)	-0.64 (1)	1.78 (3)	-241 (3)	-750 (1)	-2344 (1)
60	7	6.83 (3)	-0.87 (1)	1.11 (4-I-3)	137 (2)	-1002 (1)	-2324 (1)

Muro	Pann.	Sxx	Syy	Sxy	Mxx	Myy	Mxy
60	8	7.81(3)	-1.06(1)	-0.31(1)	312(3)	1424(3)	-1215(1)
60	9	4.43(3)	0.95(4-I-3)	2.22(3)	-1133(3)	-1213(3)	-2027(1)
60	10	5.75(3)	0.61(4-I-3)	1.94(3)	-516(3)	-857(1)	-2281(1)
60	11	7.24(3)	-0.72(1)	1.27(4-I-3)	-102(1)	-907(1)	-2290(1)
60	12	8.48(3)	-0.94(1)	-0.26(1)	322(3)	1756(3)	-1210(1)
60	13	4.39(3)	1.16(4-I-3)	2.33(3)	-1641(3)	-1426(3)	-1905(1)
60	14	5.81(3)	0.81(4-I-3)	2.11(3)	-868(3)	-980(1)	-2169(1)
60	15	7.63(3)	-0.55(1)	1.42(4-I-3)	-282(1)	-833(1)	-2214(1)
60	16	9.34(3)	-0.82(1)	-0.20(1)	322(3)	2100(3)	-1171(1)
61	1	-1.93(1)	-2.22(1)	3.27(3)	329(1)	-3176(1)	357(3)
61	2	-0.71(1)	-1.98(1)	3.48(1)	2229(1)	651(1)	622(3)
61	3	-0.41(1)	-1.58(1)	3.59(1)	3964(1)	2056(1)	515(3)
61	4	-0.40(1)	-1.30(1)	3.38(1)	5128(1)	2417(1)	358(3)
61	5	-1.75(1)	-1.98(1)	3.32(3)	289(3)	-2962(1)	697(1)
61	6	-0.61(1)	-1.89(1)	3.35(3)	1980(1)	514(1)	1029(1)
61	7	0.66(3)	-1.64(1)	3.40(1)	3535(1)	1859(1)	718(1)
61	8	0.67(3)	-1.38(1)	3.24(1)	4583(1)	2254(1)	438(3)
61	9	-1.45(1)	-1.65(1)	3.36(3)	298(3)	-2460(1)	1246(1)
61	10	0.80(4-II-3)	-1.68(1)	3.29(3)	1530(1)	321(1)	1750(1)
61	11	0.96(3)	-1.56(1)	3.26(1)	2689(1)	1460(1)	1297(1)
61	12	1.04(3)	-1.36(1)	3.10(1)	3447(1)	1853(1)	781(1)
61	13	-1.09(1)	-1.30(1)	3.41(3)	264(3)	-1789(1)	1658(1)
61	14	1.04(4-II-3)	-1.42(1)	3.26(3)	879(1)	80(5-I-2)	2211(1)
61	15	1.28(3)	-1.41(1)	3.19(1)	1436(1)	904(1)	1634(1)
61	16	1.41(3)	-1.28(1)	2.97(1)	1762(1)	1270(1)	994(1)
62	1	-0.42(1)	-1.18(1)	3.11(3)	5695(1)	2450(1)	213(3)
62	2	-0.42(1)	-1.15(1)	2.95(3)	5881(1)	2429(1)	113(3)
62	3	-0.39(1)	-1.14(1)	2.79(3)	5917(1)	2405(1)	37(1)
62	4	0.40(3)	-1.18(1)	2.63(3)	5800(1)	2385(1)	-96(3)
62	5	0.65(3)	-1.22(1)	3.04(3)	5096(1)	2318(1)	241(3)
62	6	0.66(3)	-1.14(1)	2.90(3)	5264(1)	2309(1)	123(3)
62	7	0.71(3)	-1.09(1)	2.75(3)	5296(1)	2286(1)	33(4-I-2)
62	8	0.81(3)	-1.08(1)	2.62(3)	5188(1)	2254(1)	-116(3)
62	9	1.05(3)	-1.19(1)	2.92(3)	3814(1)	1945(1)	412(1)
62	10	1.06(3)	-1.09(1)	2.79(3)	3934(1)	1949(1)	190(1)
62	11	1.10(3)	-1.00(1)	2.67(3)	3952(1)	1927(1)	33(4-I-2)
62	12	1.18(3)	-0.95(1)	2.56(3)	3869(1)	1884(1)	-249(1)
62	13	1.45(3)	-1.11(1)	2.77(3)	1919(1)	1385(1)	525(1)
62	14	1.45(3)	-0.99(1)	2.64(3)	1967(1)	1400(1)	237(1)
62	15	1.47(3)	-0.87(1)	2.53(3)	1967(1)	1380(1)	-51(1)
62	16	1.53(3)	-0.78(1)	2.43(3)	1917(1)	1329(1)	-341(1)
63	1	0.60(3)	-1.26(1)	2.43(3)	5526(1)	2355(1)	-209(3)
63	2	0.84(3)	-1.36(1)	2.17(3)	5086(1)	2280(1)	-328(3)
63	3	1.15(3)	-1.51(1)	1.86(3)	4468(1)	2096(1)	-450(3)
63	4	1.52(3)	-1.69(1)	1.48(3)	3664(1)	1696(1)	-560(3)
63	5	1.00(3)	-1.11(1)	2.45(3)	4938(1)	2200(1)	-250(3)
63	6	1.27(3)	-1.18(1)	2.23(3)	4540(1)	2094(1)	-404(3)
63	7	1.64(3)	-1.30(1)	1.97(3)	3985(1)	1881(1)	-577(3)
63	8	2.11(3)	-1.47(1)	1.64(3)	3266(1)	1471(1)	-786(1)
63	9	1.35(3)	-0.92(1)	2.43(3)	3683(1)	1809(1)	-489(1)
63	10	1.63(3)	-0.94(1)	2.27(3)	3393(1)	1677(1)	-761(1)
63	11	2.06(3)	-1.02(1)	2.08(3)	2993(1)	1448(1)	-1066(1)
63	12	2.63(3)	-1.16(1)	1.83(3)	2474(1)	1062(1)	-1388(1)
63	13	1.65(3)	-0.70(1)	2.34(3)	1820(1)	1237(1)	-645(1)
63	14	1.92(3)	0.69(5-II-3)	2.25(3)	1683(1)	1085(1)	-977(1)
63	15	2.38(3)	0.69(4-I-4)	2.17(3)	1507(1)	848(1)	-1343(1)
63	16	3.05(3)	-0.77(1)	2.04(3)	1286(1)	-731(3)	-1732(1)
64	1	1.91(3)	-1.88(1)	1.04(3)	2756(1)	988(1)	-633(3)
64	2	2.27(3)	-2.06(1)	0.59(4-I-3)	1793(1)	-148(1)	-657(3)
64	3	2.57(3)	-2.20(1)	0.16(4-I-3)	768(1)	-1970(1)	-627(3)
64	4	2.73(3)	-2.26(1)	-0.46(3)	141(3)	-4831(1)	-319(3)
64	5	2.61(3)	-1.65(1)	1.22(3)	2453(1)	792(1)	-967(1)
64	6	3.06(3)	-1.83(1)	0.75(4-I-3)	1588(1)	-258(1)	-1074(1)
64	7	3.41(3)	-1.97(1)	0.26(4-I-3)	666(1)	-1909(1)	-1055(1)
64	8	3.56(3)	-2.03(1)	-0.50(3)	169(3)	-4478(1)	-577(1)
64	9	3.28(3)	-1.33(1)	1.47(3)	1879(1)	481(1)	-1654(1)
64	10	3.89(3)	-1.51(1)	1.00(4-I-3)	1228(1)	-371(1)	-1795(1)
64	11	4.40(3)	-1.67(1)	0.44(4-I-3)	513(1)	-1684(1)	-1726(1)
64	12	4.63(3)	-1.75(1)	-0.49(3)	212(3)	-3725(1)	-983(1)
64	13	3.88(3)	-0.92(1)	1.79(3)	1022(1)	-503(3)	-2065(1)
64	14	4.74(3)	-1.10(1)	1.35(3)	707(1)	-523(1)	-2256(1)
64	15	5.54(3)	-1.29(1)	0.72(4-I-3)	313(1)	-1345(1)	-2190(1)
64	16	6.01(3)	-1.40(1)	-0.42(3)	258(3)	-2678(1)	-1283(1)
65	1	0.43(3)	-0.66(1)	1.56(3)	369(1)	602(2)	277(1)
65	2	-1.08(1)	-1.57(1)	1.25(3)	984(1)	75(2)	360(1)

Muro	Pann.	Sxx	Syy	Sxy	Mxx	Myy	Mxy
65	3	-1.15 (1)	-2.55 (1)	1.32 (3)	1547 (1)	22 (1)	223 (3)
65	4	-2.33 (1)	-4.16 (1)	2.39 (3)	1798 (1)	69 (1)	135 (3)
65	5	-0.38 (1)	-1.23 (1)	2.25 (3)	130 (2)	801 (2)	392 (1)
65	6	-1.14 (1)	-1.49 (1)	2.23 (3)	91 (3)	172 (3)	535 (1)
65	7	-1.77 (1)	-2.13 (1)	2.46 (3)	102 (3)	-346 (1)	338 (1)
65	8	-2.06 (1)	-2.42 (2)	2.83 (3)	184 (3)	-309 (1)	204 (3)
65	9	-0.57 (1)	-1.51 (2)	2.46 (3)	141 (2)	1208 (1)	229 (1)
65	10	-1.38 (1)	-1.58 (2)	2.69 (3)	-532 (1)	286 (3)	398 (1)
65	11	-2.01 (1)	-1.75 (2)	2.88 (3)	-823 (1)	-629 (1)	291 (1)
65	12	-2.27 (1)	-1.90 (2)	3.11 (3)	-911 (1)	-581 (1)	226 (3)
65	13	-0.76 (1)	-1.77 (2)	2.57 (3)	172 (3)	1525 (1)	16 (3)
65	14	-1.65 (1)	-1.70 (2)	2.83 (3)	-559 (1)	357 (3)	140 (1)
65	15	-2.26 (1)	-1.67 (2)	3.07 (3)	-940 (1)	-742 (1)	148 (3)
65	16	-2.48 (1)	-1.64 (2)	3.27 (3)	-1117 (1)	-687 (1)	137 (3)
66	1	-0.97 (1)	-1.80 (2)	2.61 (3)	219 (3)	1718 (1)	-171 (1)
66	2	-1.94 (1)	-1.75 (2)	2.91 (3)	-266 (1)	366 (3)	80 (3)
66	3	-2.50 (1)	-1.68 (2)	3.13 (3)	-560 (1)	-712 (1)	-43 (1)
66	4	-2.70 (1)	-1.65 (1)	3.31 (3)	-716 (1)	-629 (1)	-13 (4-II-3)
66	5	-1.19 (1)	-1.84 (2)	2.70 (3)	389 (1)	1894 (1)	-168 (1)
66	6	-2.19 (1)	-1.87 (2)	2.99 (3)	319 (1)	283 (3)	-133 (1)
66	7	-2.69 (1)	-1.94 (1)	3.13 (3)	248 (1)	-582 (1)	-144 (1)
66	8	-2.90 (1)	-1.91 (1)	3.27 (3)	-309 (3)	-445 (1)	-155 (3)
66	9	-1.37 (1)	-2.48 (1)	2.84 (3)	773 (1)	2201 (1)	230 (3)
66	10	-2.32 (1)	-2.56 (1)	3.01 (3)	1209 (1)	-106 (1)	-53 (4-II-3)
66	11	-2.82 (1)	-2.49 (1)	3.04 (3)	1561 (1)	-361 (1)	-242 (3)
66	12	-3.06 (1)	-2.40 (1)	3.18 (3)	1824 (1)	-185 (3)	-264 (3)
66	13	-1.31 (1)	-4.45 (1)	2.64 (3)	920 (1)	2291 (1)	943 (1)
66	14	-2.32 (1)	-3.46 (1)	2.64 (3)	2135 (1)	67 (1)	586 (1)
66	15	-2.91 (1)	-3.22 (1)	2.89 (3)	3513 (1)	-129 (3)	615 (1)
66	16	-3.20 (1)	-3.11 (1)	3.09 (3)	4241 (1)	223 (1)	622 (1)
67	1	0.51 (3)	5.56 (1)	4.49 (1)	566 (3)	-1135 (1)	-1877 (1)
67	2	-1.87 (1)	2.66 (3)	3.82 (1)	-1145 (1)	131 (1)	-2038 (1)
67	3	-2.76 (1)	1.37 (3)	3.16 (1)	-2354 (1)	178 (1)	-1612 (1)
67	4	-2.81 (1)	0.42 (3)	2.71 (1)	-3105 (1)	104 (1)	-1031 (1)
67	5	-0.60 (1)	0.92 (3)	3.74 (1)	263 (3)	-1790 (1)	-1870 (1)
67	6	-1.37 (1)	1.60 (3)	4.58 (1)	840 (1)	478 (1)	-2184 (1)
67	7	-1.97 (1)	0.98 (3)	3.83 (1)	1148 (1)	1044 (1)	-1730 (1)
67	8	-2.19 (1)	-0.45 (1)	3.18 (1)	1209 (1)	1096 (1)	-1067 (1)
67	9	-1.49 (1)	-1.84 (1)	3.41 (1)	362 (1)	-2487 (1)	-1339 (1)
67	10	-0.92 (1)	-1.07 (1)	4.21 (1)	1840 (1)	686 (1)	-1678 (1)
67	11	-1.27 (1)	-0.66 (1)	4.00 (1)	3048 (1)	1680 (1)	-1419 (1)
67	12	-1.52 (1)	-0.77 (1)	3.44 (1)	3753 (1)	1848 (1)	-914 (1)
67	13	-1.91 (1)	-2.28 (1)	3.24 (3)	369 (1)	-3023 (1)	-642 (1)
67	14	-0.78 (1)	-1.80 (1)	3.78 (1)	2231 (1)	723 (1)	-805 (1)
67	15	-0.77 (1)	-1.30 (1)	3.83 (1)	3879 (1)	2012 (1)	-762 (1)
67	16	-0.91 (1)	-1.09 (1)	3.47 (1)	4946 (1)	2294 (1)	-522 (1)
68	1	-2.89 (1)	-0.88 (1)	2.39 (3)	-3522 (1)	-98 (2)	-618 (1)
68	2	-2.90 (1)	-1.25 (1)	2.27 (3)	-3684 (1)	-114 (2)	-340 (1)
68	3	-2.87 (1)	-1.55 (1)	2.15 (3)	-3719 (1)	-126 (2)	-148 (3)
68	4	-2.83 (1)	-1.78 (1)	1.99 (3)	-3645 (1)	-134 (2)	218 (1)
68	5	-2.29 (1)	-0.84 (1)	2.75 (1)	1212 (1)	1024 (1)	-554 (1)
68	6	-2.30 (1)	-1.10 (1)	2.59 (3)	1201 (1)	982 (1)	-200 (1)
68	7	-2.27 (1)	-1.32 (1)	2.43 (3)	1187 (1)	966 (1)	141 (1)
68	8	-2.21 (1)	-1.51 (1)	2.25 (3)	1180 (1)	977 (1)	480 (1)
68	9	-1.63 (1)	-0.95 (1)	2.98 (3)	4071 (1)	1811 (1)	-489 (1)
68	10	-1.65 (1)	-1.08 (1)	2.81 (3)	4169 (1)	1769 (1)	-192 (1)
68	11	-1.63 (1)	-1.22 (1)	2.63 (3)	4183 (1)	1749 (1)	105 (1)
68	12	-1.55 (1)	-1.36 (1)	2.44 (3)	4115 (1)	1751 (1)	398 (1)
68	13	-0.99 (1)	-1.09 (1)	3.10 (3)	5456 (1)	2291 (1)	-284 (1)
68	14	-1.01 (1)	-1.12 (1)	2.92 (3)	5621 (1)	2260 (1)	-107 (1)
68	15	-0.98 (1)	-1.18 (1)	2.75 (3)	5651 (1)	2237 (1)	74 (1)
68	16	-0.89 (1)	-1.26 (1)	2.57 (3)	5545 (1)	2229 (1)	250 (1)
69	1	-2.77 (1)	-1.96 (1)	1.80 (3)	-3461 (1)	-135 (2)	509 (1)
69	2	-2.66 (1)	-2.08 (1)	1.57 (3)	-3163 (1)	-127 (2)	816 (1)
69	3	-2.49 (1)	-2.14 (1)	1.30 (3)	-2747 (1)	118 (1)	1136 (1)
69	4	-2.23 (1)	-2.18 (1)	1.00 (3)	-2222 (1)	138 (1)	1453 (1)
69	5	-2.11 (1)	-1.67 (1)	2.05 (3)	1174 (1)	1007 (1)	824 (1)
69	6	-1.97 (1)	-1.80 (1)	1.80 (3)	1159 (1)	1039 (1)	1176 (1)
69	7	-1.78 (1)	-1.92 (1)	1.51 (3)	1115 (1)	1038 (1)	1528 (1)
69	8	-1.54 (1)	-2.03 (1)	1.20 (3)	1016 (1)	939 (1)	1846 (1)
69	9	-1.42 (1)	-1.50 (1)	2.22 (3)	3959 (1)	1766 (1)	689 (1)
69	10	-1.26 (1)	-1.64 (1)	1.96 (3)	3703 (1)	1765 (1)	975 (1)
69	11	-1.06 (1)	-1.79 (1)	1.65 (3)	3324 (1)	1695 (1)	1244 (1)
69	12	-0.84 (1)	-1.94 (1)	1.30 (3)	2803 (1)	1461 (1)	1465 (1)
69	13	-0.73 (1)	-1.38 (1)	2.35 (3)	5300 (1)	2222 (1)	417 (1)

Muro	Pann.	Sxx	Syy	Sxy	Mxx	Myy	Mxy
69	14	-0.56(1)	-1.51(1)	2.08(3)	4901(1)	2183(1)	567(1)
69	15	0.56(3)	-1.66(1)	1.76(3)	4333(1)	2048(1)	688(1)
69	16	0.84(3)	-1.84(1)	1.37(3)	3584(1)	1707(1)	766(1)
70	1	-1.92(1)	-2.24(3)	0.71(3)	-1667(1)	-88(2)	1684(1)
70	2	-1.55(1)	-2.51(3)	0.51(4-I-3)	-1157(1)	-160(1)	1807(1)
70	3	-1.21(1)	-2.87(3)	0.52(4-I-3)	-739(1)	-716(1)	1706(1)
70	4	-0.90(1)	-3.42(3)	0.74(2)	-545(1)	-2010(1)	1244(1)
70	5	-1.30(1)	-2.12(1)	0.90(3)	846(1)	656(1)	2055(1)
70	6	-1.10(1)	-2.18(1)	0.67(3)	594(1)	74(1)	2099(1)
70	7	-0.97(1)	-2.15(1)	0.47(4-I-3)	241(1)	-1019(1)	1900(1)
70	8	-0.69(1)	-2.14(1)	-0.49(1)	-115(1)	-2779(1)	1164(1)
70	9	-0.65(1)	-2.09(1)	0.93(3)	2180(1)	959(1)	1587(1)
70	10	0.55(3)	-2.22(1)	0.57(4-I-3)	1479(1)	84(3)	1579(1)
70	11	0.90(3)	-2.34(1)	-0.33(1)	692(1)	-1473(1)	1390(1)
70	12	1.31(3)	-2.44(1)	-0.41(1)	99(3)	-4045(1)	892(1)
70	13	1.13(3)	-2.02(1)	0.95(3)	2725(1)	1056(1)	780(1)
70	14	1.44(3)	-2.19(1)	0.52(4-I-3)	1801(1)	115(3)	729(1)
70	15	1.74(3)	-2.34(1)	-0.18(1)	802(1)	-1826(1)	596(1)
70	16	1.99(3)	-2.42(1)	-0.40(1)	122(3)	-4706(1)	415(1)
71	1	-2.81(1)	-0.50(2)	0.51(1)	-2186(1)	-286(1)	157(3)
71	2	-2.66(1)	-0.61(2)	0.64(1)	-2102(1)	-202(1)	222(3)
71	3	-2.43(1)	-0.70(2)	0.76(1)	-1971(1)	127(2)	305(2)
71	4	-2.10(1)	-0.75(2)	0.86(1)	-1774(1)	181(2)	411(2)
71	5	-2.95(1)	-0.47(2)	0.63(1)	1261(2)	343(2)	185(3)
71	6	-2.80(1)	-0.58(2)	0.74(1)	1258(2)	421(2)	283(3)
71	7	-2.55(1)	-0.67(2)	0.85(1)	1213(2)	499(2)	401(3)
71	8	-2.18(1)	-0.73(2)	0.94(1)	1123(2)	546(2)	534(3)
71	9	-3.06(1)	-0.52(2)	0.71(1)	2353(2)	561(2)	170(3)
71	10	-2.91(1)	-0.65(2)	0.79(1)	2294(2)	652(2)	219(3)
71	11	-2.65(1)	-0.77(3)	0.88(1)	2168(2)	740(2)	280(3)
71	12	-2.26(1)	-0.87(3)	0.95(1)	1954(2)	785(2)	351(3)
71	13	-3.13(1)	-0.91(1)	0.78(1)	2234(2)	566(2)	174(1)
71	14	-2.98(1)	-0.93(1)	0.80(1)	2169(2)	657(2)	187(1)
71	15	-2.73(1)	-0.99(3)	0.84(1)	2042(2)	748(2)	177(1)
71	16	-2.34(1)	-1.13(3)	0.90(1)	1829(2)	798(2)	144(1)
71	17	-3.11(1)	-1.59(1)	0.87(3)	-4561(1)	-522(1)	427(1)
71	18	-2.98(1)	-1.60(1)	0.78(1)	-4138(1)	453(3)	544(1)
71	19	-2.75(1)	-1.53(1)	0.73(1)	-3569(1)	531(2)	614(1)
71	20	-2.38(1)	-1.49(3)	0.72(1)	-2874(1)	588(2)	624(1)
71	21	-2.99(1)	-2.57(1)	1.15(3)	-9587(1)	-1109(1)	869(1)
71	22	-2.87(1)	-2.62(1)	0.97(3)	-8968(1)	-995(1)	1024(1)
71	23	-2.66(1)	-2.55(1)	0.77(3)	-8058(1)	-843(1)	1144(1)
71	24	-2.33(1)	-2.32(1)	0.55(3)	-6805(1)	-659(1)	1212(1)
72	1	0.72(1)	-1.60(3)	0.40(1)	-561(1)	-1937(2)	467(1)
72	2	-0.75(2)	-1.32(3)	0.56(1)	-379(1)	-2074(2)	386(1)
72	3	-0.77(2)	-1.10(3)	0.74(1)	229(3)	-1923(1)	363(1)
72	4	-0.61(2)	-0.89(3)	0.91(1)	252(2)	-1659(1)	370(1)
72	5	-0.20(2)	-0.70(3)	0.94(1)	-230(1)	-1150(1)	554(3)
72	6	0.41(3)	-1.05(3)	0.67(1)	-802(1)	301(3)	301(2)
72	7	-0.84(1)	-0.85(3)	0.90(1)	-1149(1)	-76(1)	437(2)
72	8	-1.24(1)	-0.78(3)	0.95(1)	-1305(1)	111(2)	533(2)
72	9	-1.70(1)	-0.77(2)	0.93(1)	-1521(1)	195(2)	501(2)
72	10	-1.72(1)	-0.77(2)	0.98(1)	1008(2)	506(2)	669(2)
72	11	-1.76(1)	-0.95(3)	1.00(2)	1652(2)	704(2)	408(3)
72	12	-1.82(1)	-1.25(3)	0.93(1)	1531(2)	729(2)	118(1)
72	13	-1.84(1)	-1.65(3)	0.73(1)	-2185(1)	549(2)	598(1)
72	14	-1.83(1)	-2.15(3)	0.34(3)	-5280(1)	-484(1)	1188(1)
72	15	-1.16(1)	-2.31(3)	0.17(1)	-3476(1)	-347(1)	1096(1)
72	16	-0.33(1)	-2.57(3)	0.16(1)	-1824(1)	-303(2)	1031(1)
72	17	1.29(1)	-2.89(3)	-0.40(3)	-669(1)	-1052(3)	781(1)
72	18	0.99(1)	-1.98(3)	0.43(1)	-755(1)	-1594(3)	690(1)
72	19	-1.19(1)	-1.36(3)	0.93(1)	1177(2)	467(2)	111(1)
72	20	-0.74(3)	-1.37(3)	0.87(1)	842(2)	-71(1)	122(1)
72	21	-0.72(3)	-1.35(3)	0.78(1)	516(2)	-843(2)	210(1)
72	22	-1.12(1)	-1.75(3)	0.75(1)	-1492(1)	302(2)	529(1)
72	23	-0.64(3)	-1.67(3)	0.86(1)	-870(1)	-271(1)	450(1)
72	24	-0.56(3)	-1.94(3)	0.52(1)	-970(1)	-580(3)	679(1)
72	25	-0.64(3)	-1.61(3)	0.64(1)	-512(1)	-908(2)	391(1)
72	26	-0.67(1)	-0.73(3)	0.93(1)	451(2)	-323(1)	736(2)
72	27	-1.19(1)	-0.78(3)	1.01(1)	761(2)	318(2)	746(2)
72	28	-0.69(2)	-0.91(2)	0.94(1)	722(2)	-547(1)	551(3)
72	29	-0.73(2)	-1.13(3)	0.89(1)	669(2)	-747(1)	278(3)
72	30	-0.83(1)	-1.13(3)	0.93(1)	1013(2)	-47(1)	305(3)
72	31	-1.00(1)	-0.93(2)	1.01(1)	1115(2)	203(2)	560(3)
72	32	-1.24(1)	-1.08(3)	0.96(1)	1365(2)	490(2)	376(3)

**POTENZIAMENTO DELL'IMPIANTO DI DEPURAZIONE E
DEL RECAPITO FINALE DI SQUINZANO (LE)
PROGETTO DEFINITIVO
Tabulati di calcolo strutturale-Edificio Grigliatura
Grossolana**

R.37.11

Maggio 2021

Pagina 61 di 183

Muro	Pann.	Sxx	Syy	Sxy	Mxx	Myy	Mxy
73	1	1.81 (3)	-0.97 (1)	0.52 (1)	624 (4-I-4)	1113 (1)	-344 (4-I-4)
73	2	1.29 (3)	-1.08 (3)	-0.40 (2)	153 (4-I-1)	694 (1)	-243 (1)
73	3	-0.17 (1)	-0.90 (3)	-0.84 (2)	-229 (4-I-3)	-1818 (4-I-4)	-273 (1)
73	4	-2.09 (3)	-0.60 (5-I-3)	-0.84 (2)	-359 (4-I-4)	-3502 (4-I-4)	1189 (4-I-4)
73	5	2.56 (3)	-1.00 (3)	0.93 (1)	372 (4-I-4)	917 (3)	-295 (4-I-4)
73	6	2.10 (3)	-1.48 (3)	0.27 (1)	358 (4-I-4)	607 (1)	-271 (4-I-3)
73	7	0.66 (3)	-1.55 (3)	-0.97 (2)	326 (3)	-1208 (4-I-4)	-229 (1)
73	8	-1.83 (3)	-0.95 (3)	-1.50 (3)	283 (3)	-1201 (4-I-4)	644 (4-I-4)
73	9	3.51 (3)	-0.86 (1)	1.84 (3)	506 (3)	790 (2)	-203 (4-I-4)
73	10	3.33 (3)	-1.68 (3)	0.68 (1)	475 (4-I-4)	496 (1)	-180 (4-I-3)
73	11	1.85 (3)	-2.13 (3)	-0.99 (2)	418 (4-I-4)	-692 (4-I-4)	-200 (1)
73	12	-1.34 (3)	-1.78 (3)	-2.17 (3)	228 (4-I-4)	-837 (4-I-4)	458 (4-I-4)
73	13	4.47 (3)	-0.30 (1)	3.13 (3)	709 (3)	708 (3)	-182 (4-I-4)
73	14	4.99 (3)	-1.76 (3)	1.76 (3)	540 (3)	427 (2)	-222 (1)
73	15	3.86 (3)	-2.48 (3)	-0.54 (2)	315 (4-I-4)	-427 (4-I-4)	-288 (1)
73	16	0.14 (1)	-2.75 (3)	-2.72 (3)	-148 (3)	-583 (4-I-4)	-319 (1)
74	1	5.07 (3)	2.12 (3)	4.56 (3)	860 (3)	630 (3)	-241 (3)
74	2	6.67 (3)	0.47 (4-I-3)	3.54 (3)	625 (3)	358 (2)	-345 (3)
74	3	6.61 (3)	-1.87 (3)	0.82 (3)	262 (4-I-4)	-378 (4-I-3)	-461 (3)
74	4	2.40 (3)	-3.13 (3)	-2.68 (3)	-362 (3)	-596 (4-I-4)	-607 (3)
74	5	5.02 (3)	5.03 (3)	5.43 (3)	1026 (3)	514 (3)	-375 (3)
74	6	8.02 (3)	4.12 (3)	5.71 (3)	770 (3)	236 (2)	-536 (3)
74	7	9.78 (3)	1.11 (4-I-3)	3.26 (3)	395 (3)	-482 (4-I-3)	-767 (3)
74	8	5.83 (3)	-1.73 (3)	-1.94 (3)	-211 (1)	-878 (4-I-3)	-1131 (3)
74	9	4.13 (3)	8.77 (3)	5.01 (3)	1352 (3)	303 (3)	-462 (3)
74	10	7.98 (3)	9.67 (3)	6.39 (3)	1097 (3)	-150 (4-I-3)	-805 (3)
74	11	13.70 (3)	9.56 (3)	7.30 (3)	484 (3)	-850 (4-I-3)	-1142 (3)
74	12	10.41 (3)	4.76 (3)	0.60 (4-I-3)	137 (3)	-589 (4-I-3)	-1284 (3)
74	13	2.98 (3)	12.16 (3)	2.68 (3)	1813 (3)	195 (3)	-450 (3)
74	14	6.03 (3)	17.19 (3)	3.43 (3)	1905 (3)	-112 (4-I-3)	-865 (3)
74	15	11.57 (3)	23.79 (3)	4.95 (3)	949 (3)	-1022 (4-I-3)	-1375 (3)
74	16	25.96 (3)	28.40 (3)	9.08 (3)	-818 (3)	-5020 (4-I-3)	-2954 (3)
75	1	1.50 (3)	-0.35 (1)	1.72 (3)	-992 (1)	833 (4-I-4)	-217 (4-I-4)
75	2	1.49 (3)	-0.43 (1)	1.46 (3)	-765 (1)	1026 (4-I-4)	-250 (4-I-4)
75	3	1.50 (3)	-0.53 (1)	1.13 (3)	546 (4-I-4)	1252 (3)	-324 (4-I-4)
75	4	1.63 (3)	-0.66 (1)	0.69 (3)	824 (4-I-4)	1429 (3)	-416 (4-I-4)
75	5	2.01 (3)	0.28 (5-I-1)	2.21 (3)	295 (4-I-4)	880 (3)	323 (1)
75	6	2.19 (3)	-0.36 (1)	2.03 (3)	307 (4-I-4)	1013 (3)	297 (1)
75	7	2.35 (3)	-0.50 (1)	1.78 (3)	322 (4-I-4)	1105 (3)	241 (1)
75	8	2.46 (3)	-0.57 (1)	1.52 (3)	334 (4-I-4)	1103 (3)	173 (1)
75	9	2.37 (3)	0.68 (3)	2.92 (3)	663 (1)	851 (3)	237 (1)
75	10	2.67 (3)	0.45 (3)	2.81 (3)	613 (1)	916 (3)	206 (1)
75	11	2.97 (3)	0.26 (5-I-1)	2.66 (3)	560 (1)	950 (3)	163 (1)
75	12	3.22 (3)	-0.36 (1)	2.45 (3)	536 (3)	948 (3)	-127 (4-I-4)
75	13	2.46 (3)	1.70 (3)	3.63 (3)	906 (3)	794 (3)	75 (1)
75	14	2.87 (3)	1.51 (3)	3.65 (3)	875 (3)	836 (3)	-69 (4-I-4)
75	15	3.32 (3)	1.22 (3)	3.64 (3)	838 (3)	853 (3)	-106 (4-I-4)
75	16	3.80 (3)	0.86 (3)	3.59 (3)	796 (3)	838 (3)	-139 (4-I-4)
76	1	2.21 (3)	3.14 (3)	4.07 (3)	1076 (3)	703 (3)	-78 (4-I-4)
76	2	2.66 (3)	3.08 (3)	4.23 (3)	1052 (3)	737 (3)	-113 (4-I-4)
76	3	3.20 (3)	2.92 (3)	4.38 (3)	1019 (3)	751 (3)	-148 (4-I-4)
76	4	3.90 (3)	2.46 (3)	4.55 (3)	975 (3)	740 (3)	-178 (4-I-4)
76	5	1.67 (3)	4.76 (3)	4.01 (3)	1148 (3)	562 (3)	-82 (4-I-4)
76	6	2.13 (3)	4.93 (3)	4.28 (3)	1157 (3)	592 (3)	-128 (4-I-4)
76	7	2.66 (3)	5.04 (3)	4.57 (3)	1152 (3)	609 (3)	-179 (3)
76	8	3.36 (3)	4.77 (3)	4.86 (3)	1132 (3)	601 (3)	-244 (3)
76	9	1.00 (3)	6.29 (3)	3.31 (3)	1130 (3)	360 (3)	149 (1)
76	10	1.39 (3)	6.79 (3)	3.61 (3)	1222 (3)	383 (3)	88 (1)
76	11	1.88 (3)	7.31 (3)	3.92 (3)	1293 (3)	392 (3)	-125 (3)
76	12	2.42 (3)	7.84 (3)	4.16 (3)	1350 (3)	390 (3)	-223 (3)
76	13	-0.78 (1)	7.07 (3)	1.95 (3)	-1855 (1)	-212 (1)	169 (1)
76	14	0.83 (3)	7.88 (3)	2.07 (3)	-1542 (1)	190 (3)	136 (1)
76	15	1.23 (3)	8.85 (3)	2.20 (3)	1329 (3)	199 (3)	-186 (3)
76	16	1.72 (3)	10.34 (3)	2.36 (3)	1513 (3)	189 (3)	-272 (3)
77	1	1.65 (3)	1.12 (3)	2.90 (3)	-1847 (1)	-946 (1)	286 (1)
77	2	-0.87 (1)	0.70 (3)	2.40 (3)	-1378 (1)	-130 (2)	456 (1)
77	3	0.92 (3)	0.44 (3)	2.25 (3)	-1436 (1)	220 (4-I-4)	373 (1)
77	4	1.33 (3)	0.22 (5-I-3)	2.00 (3)	-1261 (1)	506 (4-I-4)	246 (1)
77	5	-1.30 (1)	1.01 (3)	2.67 (3)	155 (1)	-402 (3)	403 (1)
77	6	-1.02 (1)	1.19 (3)	2.83 (3)	105 (1)	58 (1)	513 (1)
77	7	1.10 (3)	0.88 (3)	2.67 (3)	134 (4-I-4)	282 (4-I-4)	429 (1)
77	8	1.62 (3)	0.48 (3)	2.47 (3)	235 (4-I-4)	588 (3)	383 (1)
77	9	-1.56 (1)	1.24 (3)	2.58 (3)	1216 (1)	-174 (3)	299 (1)
77	10	-1.25 (1)	1.46 (3)	2.91 (3)	1069 (1)	143 (1)	389 (1)
77	11	1.14 (3)	1.44 (3)	3.04 (3)	911 (1)	351 (3)	358 (1)

Muro	Pann.	Sxx	Syy	Sxy	Mxx	Myy	Mxy
77	12	1.79 (3)	1.09 (3)	3.03 (3)	762 (1)	655 (3)	299 (1)
77	13	-1.90 (1)	1.54 (3)	2.44 (3)	1466 (1)	169 (1)	201 (1)
77	14	-1.57 (1)	1.91 (3)	2.86 (3)	1310 (1)	179 (1)	238 (1)
77	15	0.97 (3)	2.11 (3)	3.22 (3)	1124 (1)	382 (3)	209 (1)
77	16	1.73 (3)	2.02 (3)	3.51 (3)	945 (3)	649 (3)	138 (1)
78	1	-2.27 (1)	1.83 (3)	2.18 (3)	996 (1)	149 (1)	169 (3)
78	2	-1.93 (1)	2.38 (3)	2.65 (3)	978 (3)	142 (3)	186 (3)
78	3	-1.30 (1)	2.85 (3)	3.16 (3)	1056 (3)	355 (3)	154 (3)
78	4	1.41 (3)	3.15 (3)	3.71 (3)	1087 (3)	581 (3)	66 (2)
78	5	-2.62 (1)	2.04 (3)	1.84 (3)	648 (3)	-17 (2)	240 (3)
78	6	-2.29 (1)	2.75 (3)	2.30 (3)	791 (3)	111 (3)	251 (3)
78	7	-1.68 (1)	3.52 (3)	2.83 (3)	946 (3)	280 (3)	204 (3)
78	8	0.92 (3)	4.30 (3)	3.51 (3)	1082 (3)	461 (3)	79 (2)
78	9	-2.94 (1)	2.10 (3)	1.42 (3)	-1935 (1)	-181 (1)	324 (3)
78	10	-2.61 (1)	2.95 (3)	1.79 (3)	-1829 (1)	-193 (1)	360 (3)
78	11	-2.03 (1)	3.99 (3)	2.22 (3)	-1527 (1)	173 (3)	330 (3)
78	12	-1.16 (1)	5.28 (3)	2.82 (3)	-1076 (1)	295 (3)	196 (3)
78	13	-3.15 (1)	1.92 (3)	0.94 (3)	-4545 (1)	-486 (1)	190 (3)
78	14	-2.83 (1)	2.86 (3)	1.16 (3)	-4211 (1)	-464 (1)	236 (3)
78	15	-2.28 (1)	4.08 (3)	1.39 (3)	-3545 (1)	-385 (1)	236 (3)
78	16	-1.46 (1)	5.67 (3)	1.67 (3)	-2566 (1)	-273 (1)	302 (1)
79	1	-0.44 (1)	1.48 (3)	2.07 (3)	-428 (1)	504 (1)	-534 (1)
79	2	-1.07 (1)	1.10 (3)	1.69 (3)	-1327 (1)	33 (1)	-383 (1)
79	3	-1.28 (1)	1.15 (3)	1.58 (3)	-1916 (1)	-279 (1)	-274 (3)
79	4	-1.38 (1)	1.28 (1)	1.64 (3)	-2245 (1)	-893 (1)	-342 (3)
79	5	-0.37 (1)	-0.46 (1)	2.08 (3)	115 (1)	303 (3)	-612 (1)
79	6	-0.97 (1)	0.64 (3)	1.89 (3)	183 (1)	388 (1)	-556 (1)
79	7	-1.33 (1)	0.84 (3)	1.76 (3)	121 (1)	153 (1)	-312 (1)
79	8	-1.44 (1)	0.89 (1)	2.06 (3)	131 (1)	-458 (3)	-125 (3)
79	9	-0.39 (1)	-0.87 (2)	1.69 (3)	262 (1)	195 (3)	-364 (1)
79	10	-1.01 (1)	-0.11 (2)	1.73 (3)	826 (1)	647 (1)	-396 (1)
79	11	-1.46 (1)	0.58 (3)	1.81 (3)	1145 (1)	455 (1)	-209 (1)
79	12	-1.64 (1)	0.92 (3)	2.13 (3)	1262 (1)	-231 (3)	56 (1)
79	13	-0.48 (1)	-1.21 (2)	1.24 (3)	281 (1)	-175 (1)	15 (1)
79	14	-1.16 (1)	-0.41 (2)	1.39 (3)	970 (1)	710 (1)	-27 (1)
79	15	-1.70 (1)	0.47 (3)	1.62 (3)	1384 (1)	618 (1)	-13 (4-II-3)
79	16	-1.95 (1)	1.06 (3)	1.99 (3)	1522 (1)	327 (1)	99 (1)
80	1	-0.57 (1)	-1.24 (2)	0.83 (3)	219 (1)	200 (4-I-3)	357 (1)
80	2	-1.39 (1)	-0.45 (2)	1.01 (3)	746 (1)	622 (1)	297 (1)
80	3	-2.01 (1)	0.49 (3)	1.32 (3)	1015 (1)	567 (1)	169 (1)
80	4	-2.30 (1)	1.20 (3)	1.72 (3)	1069 (1)	317 (1)	131 (3)
80	5	-0.67 (1)	-1.05 (2)	0.48 (3)	177 (3)	370 (3)	552 (1)
80	6	-1.62 (1)	-0.38 (1)	0.67 (3)	338 (3)	402 (1)	427 (1)
80	7	-2.31 (1)	0.55 (3)	0.99 (3)	429 (3)	353 (1)	207 (3)
80	8	-2.65 (1)	1.31 (3)	1.40 (3)	524 (3)	155 (1)	204 (3)
80	9	-0.71 (1)	-0.79 (1)	-0.24 (1)	-373 (1)	593 (3)	458 (1)
80	10	-1.85 (1)	-0.63 (1)	0.39 (3)	-999 (1)	-101 (2)	315 (3)
80	11	-2.60 (1)	0.58 (3)	0.68 (3)	-1501 (1)	-139 (3)	221 (3)
80	12	-2.97 (1)	1.31 (3)	1.05 (3)	-1823 (1)	-98 (2)	259 (3)
80	13	-0.56 (1)	-1.07 (1)	-0.15 (1)	-1293 (1)	483 (3)	307 (3)
80	14	-2.08 (1)	-1.09 (1)	0.22 (3)	-3022 (1)	-312 (1)	-151 (1)
80	15	-2.87 (1)	-1.16 (1)	0.46 (3)	-3941 (1)	-368 (1)	-237 (1)
80	16	-3.22 (1)	1.13 (3)	0.71 (3)	-4481 (1)	-449 (1)	-184 (1)
81	1	-0.31 (1)	-1.80 (1)	0.90 (3)	-156 (3)	-1396 (3)	31 (2)
81	2	-0.31 (1)	-1.54 (2)	0.96 (3)	78 (2)	-101 (4-II-2)	65 (2)
81	3	-0.31 (1)	-1.29 (2)	0.96 (3)	239 (2)	625 (2)	60 (2)
81	4	-0.28 (1)	-1.01 (2)	0.95 (1)	339 (2)	854 (2)	-38 (1)
81	5	-0.34 (1)	-1.86 (2)	1.26 (3)	-136 (3)	-1294 (3)	67 (2)
81	6	-0.37 (1)	-1.73 (2)	1.25 (3)	99 (2)	-79 (4-II-2)	133 (2)
81	7	-0.35 (1)	-1.51 (2)	1.21 (3)	259 (2)	597 (2)	128 (2)
81	8	-0.32 (1)	-1.25 (2)	1.15 (3)	359 (2)	792 (2)	72 (2)
81	9	-0.35 (1)	-2.15 (2)	1.64 (3)	-112 (3)	-1143 (3)	116 (2)
81	10	-0.37 (1)	-2.01 (2)	1.58 (3)	114 (2)	-50 (4-II-2)	205 (2)
81	11	-0.35 (1)	-1.81 (2)	1.47 (3)	257 (2)	553 (2)	196 (2)
81	12	-0.33 (1)	-1.53 (2)	1.36 (3)	339 (2)	706 (2)	122 (2)
81	13	-0.34 (1)	-2.55 (2)	1.98 (3)	-91 (3)	-947 (3)	164 (2)
81	14	-0.33 (1)	-2.38 (2)	1.90 (3)	103 (2)	77 (2)	268 (2)
81	15	-0.30 (1)	-2.16 (2)	1.73 (3)	209 (2)	487 (2)	247 (2)
81	16	-0.30 (1)	-1.86 (2)	1.53 (3)	251 (2)	590 (2)	152 (2)
82	1	-0.39 (1)	-2.85 (2)	2.24 (3)	-85 (3)	-780 (3)	202 (2)
82	2	-0.31 (1)	-2.68 (2)	2.16 (3)	60 (2)	104 (2)	299 (2)
82	3	0.36 (2)	-2.48 (2)	1.93 (3)	117 (3)	408 (2)	263 (2)
82	4	0.40 (2)	-2.18 (2)	1.66 (3)	111 (3)	480 (3)	147 (2)
82	5	-0.41 (1)	-3.05 (2)	2.46 (3)	-93 (3)	-668 (3)	214 (2)
82	6	-0.27 (1)	-2.94 (2)	2.36 (3)	-17 (1)	116 (2)	315 (2)

**POTENZIAMENTO DELL'IMPIANTO DI DEPURAZIONE E
DEL RECAPITO FINALE DI SQUINZANO (LE)
PROGETTO DEFINITIVO
Tabulati di calcolo strutturale-Edificio Grigliatura
Grossolana**

R.37.11

Maggio 2021

Pagina 63 di 183

Muro	Pann.	Sxx	Syy	Sxy	Mxx	Myy	Mxy
82	7	0.52 (2)	-2.71 (2)	2.08 (3)	-13 (2)	321 (3)	253 (2)
82	8	0.57 (2)	-2.45 (1)	1.76 (3)	-84 (2)	382 (3)	117 (2)
82	9	-0.43 (1)	-3.38 (2)	2.75 (3)	-92 (3)	-513 (3)	208 (2)
82	10	0.41 (2)	-3.17 (2)	2.53 (3)	-104 (2)	111 (2)	333 (2)
82	11	0.69 (2)	-2.91 (1)	2.22 (3)	-214 (2)	217 (3)	243 (3)
82	12	0.77 (2)	-2.79 (1)	1.91 (1)	-349 (2)	260 (3)	94 (3)
82	13	-0.48 (1)	-4.13 (1)	2.81 (3)	-91 (2)	236 (1)	431 (3)
82	14	0.57 (2)	-3.29 (1)	2.55 (3)	-303 (2)	80 (3)	759 (3)
82	15	0.89 (2)	-3.06 (1)	2.38 (3)	-532 (2)	89 (3)	666 (3)
82	16	0.94 (2)	-3.07 (1)	2.23 (1)	-729 (2)	127 (1)	557 (1)
83	1	0.31 (2)	-1.96 (2)	1.54 (1)	89 (3)	476 (3)	106 (1)
83	2	-0.35 (1)	-1.93 (2)	1.52 (1)	81 (3)	467 (3)	117 (1)
83	3	-0.39 (1)	-1.89 (2)	1.51 (1)	78 (3)	455 (3)	126 (1)
83	4	-0.42 (1)	-1.84 (1)	1.51 (1)	81 (3)	446 (2)	132 (1)
83	5	0.49 (2)	-2.29 (1)	1.61 (1)	-141 (2)	402 (3)	92 (1)
83	6	0.39 (2)	-2.28 (1)	1.55 (1)	-162 (2)	407 (3)	115 (1)
83	7	-0.37 (1)	-2.24 (1)	1.50 (1)	-166 (2)	404 (3)	145 (1)
83	8	-0.42 (1)	-2.21 (1)	1.49 (1)	-156 (2)	391 (1)	166 (1)
83	9	0.73 (2)	-2.75 (1)	1.74 (1)	-437 (2)	315 (1)	66 (1)
83	10	0.65 (2)	-2.80 (1)	1.64 (1)	-486 (2)	388 (1)	83 (1)
83	11	0.48 (2)	-2.79 (1)	1.53 (1)	-518 (2)	453 (1)	127 (1)
83	12	-0.36 (1)	-2.81 (1)	1.42 (1)	-503 (2)	481 (1)	213 (1)
83	13	0.99 (2)	-3.29 (1)	2.05 (1)	-810 (2)	254 (1)	564 (1)
83	14	0.98 (2)	-3.50 (1)	1.96 (1)	-823 (2)	350 (1)	533 (1)
83	15	0.99 (2)	-3.71 (1)	1.80 (1)	-839 (2)	432 (1)	507 (1)
83	16	0.74 (2)	-3.83 (1)	1.53 (1)	-819 (2)	430 (1)	517 (1)
84	1	-0.28 (1)	-0.88 (2)	0.96 (1)	381 (2)	875 (2)	-44 (1)
84	2	-0.27 (1)	-0.91 (2)	0.97 (1)	392 (2)	863 (2)	-46 (1)
84	3	-0.26 (1)	-0.92 (2)	0.97 (1)	399 (2)	848 (2)	-48 (1)
84	4	-0.25 (1)	-0.92 (2)	0.98 (1)	404 (2)	835 (2)	-61 (2)
84	5	-0.30 (1)	-1.09 (2)	1.16 (1)	400 (2)	804 (2)	22 (3)
84	6	-0.29 (1)	-1.13 (2)	1.16 (1)	412 (2)	792 (2)	6 (4-I-1)
84	7	-0.29 (1)	-1.15 (2)	1.17 (1)	421 (2)	779 (2)	-24 (2)
84	8	-0.27 (1)	-1.17 (2)	1.18 (1)	427 (2)	770 (2)	-46 (2)
84	9	-0.33 (1)	-1.33 (2)	1.33 (1)	371 (2)	707 (2)	57 (2)
84	10	-0.33 (1)	-1.36 (2)	1.34 (1)	379 (2)	694 (2)	46 (1)
84	11	-0.33 (1)	-1.37 (2)	1.35 (1)	386 (2)	681 (2)	42 (1)
84	12	-0.32 (1)	-1.39 (2)	1.36 (1)	391 (2)	675 (2)	37 (1)
84	13	-0.33 (1)	-1.63 (2)	1.46 (1)	258 (2)	582 (2)	90 (1)
84	14	-0.35 (1)	-1.64 (2)	1.47 (1)	259 (2)	569 (2)	92 (1)
84	15	-0.37 (1)	-1.62 (2)	1.47 (1)	261 (2)	558 (2)	92 (1)
84	16	-0.38 (1)	-1.60 (2)	1.49 (1)	265 (2)	551 (2)	89 (1)
85	1	-0.22 (1)	-0.94 (2)	0.98 (1)	401 (2)	833 (2)	-85 (2)
85	2	-0.17 (1)	-0.99 (2)	0.97 (1)	384 (2)	895 (2)	-93 (2)
85	3	-0.11 (1)	-1.07 (2)	0.93 (1)	339 (2)	1187 (1)	56 (1)
85	4	-0.08 (1)	-1.21 (2)	0.88 (1)	289 (1)	1703 (1)	211 (1)
85	5	-0.24 (1)	-1.17 (2)	1.20 (1)	430 (2)	784 (2)	-87 (2)
85	6	-0.16 (1)	-1.24 (2)	1.22 (1)	420 (2)	889 (2)	-130 (2)
85	7	-0.10 (1)	-1.34 (2)	1.23 (1)	377 (1)	1285 (1)	-140 (2)
85	8	-0.12 (1)	-1.48 (2)	1.26 (1)	325 (1)	1902 (1)	-105 (2)
85	9	-0.29 (1)	-1.35 (2)	1.40 (1)	397 (2)	696 (2)	-88 (2)
85	10	-0.20 (1)	-1.37 (2)	1.46 (1)	398 (2)	834 (1)	-168 (2)
85	11	-0.12 (1)	-1.43 (2)	1.51 (1)	380 (1)	1254 (1)	-246 (2)
85	12	-0.13 (1)	-1.53 (2)	1.51 (1)	330 (1)	1911 (1)	-299 (2)
85	13	-0.36 (1)	-1.51 (2)	1.54 (1)	278 (2)	569 (2)	-80 (2)
85	14	-0.28 (1)	-1.44 (1)	1.62 (1)	299 (2)	717 (1)	-186 (2)
85	15	-0.17 (1)	-1.38 (1)	1.69 (1)	325 (1)	1074 (1)	-327 (2)
85	16	-0.11 (1)	-1.34 (1)	1.74 (1)	292 (1)	1687 (1)	-502 (2)
86	1	-0.43 (1)	-1.73 (1)	1.56 (1)	130 (1)	451 (2)	112 (1)
86	2	-0.34 (1)	-1.55 (1)	1.61 (1)	199 (1)	570 (1)	-177 (2)
86	3	-0.23 (1)	-1.28 (1)	1.65 (1)	231 (1)	834 (1)	-366 (2)
86	4	-0.16 (1)	-0.90 (1)	1.67 (1)	214 (1)	1282 (1)	-642 (2)
86	5	-0.46 (1)	-2.04 (1)	1.50 (1)	-91 (2)	384 (1)	163 (1)
86	6	-0.35 (1)	-1.72 (1)	1.50 (1)	104 (1)	419 (1)	-138 (2)
86	7	-0.25 (4-II-4)	-1.28 (1)	1.45 (1)	140 (1)	595 (1)	-366 (2)
86	8	-0.15 (4-II-4)	-0.71 (1)	1.36 (1)	134 (1)	863 (1)	-668 (2)
86	9	-0.44 (1)	-2.56 (1)	1.35 (1)	-334 (2)	341 (1)	266 (1)
86	10	-0.30 (1)	-2.03 (1)	1.25 (1)	-123 (2)	224 (4-II-4)	84 (1)
86	11	-0.22 (4-II-4)	-1.34 (1)	1.12 (1)	-44 (4-II-4)	342 (1)	-344 (2)
86	12	-0.11 (4-II-4)	-0.66 (1)	1.01 (1)	53 (1)	489 (1)	-638 (2)
86	13	-0.39 (1)	-3.54 (1)	0.96 (1)	-528 (2)	77 (4-II-4)	553 (1)
86	14	-0.19 (4-II-4)	-2.44 (1)	0.73 (1)	-250 (2)	134 (4-II-4)	121 (1)
86	15	0.18 (4-I-4)	-1.45 (1)	0.65 (3)	-205 (2)	160 (4-II-4)	-176 (2)
86	16	0.13 (4-I-4)	-0.71 (4-II-4)	0.73 (4-I-4)	-58 (2)	175 (1)	-410 (2)
87	1	-0.94 (1)	0.53 (4-I-1)	-2.27 (3)	-554 (1)	-729 (1)	139 (3)

Muro	Pann.	Sxx	Syy	Sxy	Mxx	Myy	Mxy
87	2	-0.71 (1)	0.80 (3)	-1.96 (3)	-328 (1)	390 (5-I-2)	151 (1)
87	3	-0.34 (5-II-3)	1.09 (3)	-1.69 (1)	-79 (5-II-2)	1154 (5-I-2)	105 (1)
87	4	0.39 (5-I-1)	1.37 (3)	-1.54 (1)	228 (5-I-2)	2132 (3)	-151 (3)
87	5	-1.13 (1)	0.45 (4-I-1)	-2.39 (3)	-546 (1)	-676 (1)	228 (3)
87	6	-0.98 (4-I-1)	0.78 (4-I-1)	-2.10 (3)	-334 (1)	369 (5-I-2)	261 (1)
87	7	-0.59 (4-I-1)	1.10 (4-I-1)	-1.81 (3)	-107 (5-II-2)	1093 (5-I-2)	205 (1)
87	8	0.33 (5-I-3)	1.33 (4-I-1)	-1.64 (3)	213 (5-I-2)	1942 (5-I-2)	-114 (3)
87	9	-1.38 (4-I-1)	0.25 (4-I-1)	-2.51 (3)	-502 (1)	-590 (1)	312 (3)
87	10	-1.29 (4-I-1)	0.62 (4-I-1)	-2.24 (3)	-317 (1)	342 (5-I-2)	364 (1)
87	11	-0.89 (4-I-1)	0.99 (4-I-1)	-1.96 (3)	-136 (5-II-2)	1015 (5-I-2)	297 (1)
87	12	0.29 (5-I-4)	1.31 (4-I-1)	-1.69 (3)	193 (5-I-2)	1799 (5-I-2)	-69 (3)
87	13	-1.59 (4-I-1)	-0.50 (1)	-2.60 (3)	-394 (1)	-474 (1)	385 (3)
87	14	-1.58 (4-I-1)	-0.29 (4-II-1)	-2.39 (3)	-280 (5-II-2)	304 (5-I-2)	449 (1)
87	15	-1.24 (4-I-1)	0.71 (4-I-1)	-2.10 (3)	-156 (5-II-2)	917 (5-I-2)	377 (1)
87	16	0.22 (4-II-1)	1.01 (4-I-1)	-1.84 (3)	198 (5-I-2)	1637 (5-I-2)	-54 (4-I-3)
88	1	-1.03 (1)	-0.16 (1)	-2.74 (3)	-779 (1)	-1393 (1)	40 (3)
88	2	-1.04 (1)	0.18 (5-I-2)	-2.66 (3)	-759 (1)	-1315 (1)	65 (3)
88	3	-1.03 (1)	0.25 (4-I-1)	-2.57 (3)	-725 (1)	-1204 (1)	89 (3)
88	4	-1.02 (1)	0.36 (4-I-1)	-2.47 (3)	-678 (1)	-1064 (1)	111 (3)
88	5	-1.16 (1)	-0.28 (1)	-2.84 (3)	-758 (1)	-1293 (1)	53 (3)
88	6	-1.18 (1)	-0.20 (1)	-2.76 (3)	-738 (1)	-1217 (1)	95 (3)
88	7	-1.19 (1)	0.16 (5-I-2)	-2.67 (3)	-707 (1)	-1112 (1)	139 (3)
88	8	-1.19 (1)	0.26 (4-I-1)	-2.57 (3)	-663 (1)	-982 (1)	176 (3)
88	9	-1.29 (1)	-0.49 (2)	-2.91 (3)	-694 (1)	-1138 (1)	69 (5-I-2)
88	10	-1.32 (1)	-0.41 (2)	-2.83 (3)	-675 (1)	-1067 (1)	126 (3)
88	11	-1.34 (1)	-0.32 (1)	-2.75 (3)	-646 (1)	-972 (1)	186 (3)
88	12	-1.35 (4-I-1)	-0.24 (1)	-2.67 (3)	-606 (1)	-857 (1)	238 (3)
88	13	-1.41 (1)	-0.79 (2)	-2.92 (3)	-553 (1)	-932 (1)	98 (5-I-2)
88	14	-1.44 (1)	-0.73 (2)	-2.85 (3)	-535 (1)	-868 (1)	157 (3)
88	15	-1.46 (1)	-0.67 (2)	-2.79 (3)	-509 (1)	-786 (1)	230 (3)
88	16	-1.52 (4-I-1)	-0.60 (2)	-2.72 (3)	-476 (1)	-690 (1)	294 (3)
89	1	-0.31 (1)	-1.42 (2)	-3.11 (3)	186 (1)	2036 (1)	-61 (1)
89	2	-0.58 (1)	-1.06 (2)	-3.11 (3)	-271 (3)	-236 (5-I-2)	-136 (1)
89	3	-0.82 (1)	-0.69 (2)	-3.04 (3)	-589 (2)	-1164 (3)	-123 (1)
89	4	-0.99 (1)	-0.35 (1)	-2.89 (3)	-752 (1)	-1434 (3)	-51 (1)
89	5	-0.31 (1)	-1.41 (2)	-3.24 (3)	166 (1)	1900 (1)	-137 (3)
89	6	-0.58 (1)	-1.09 (2)	-3.23 (3)	-277 (3)	-242 (5-I-2)	-262 (1)
89	7	-0.87 (1)	-0.78 (2)	-3.15 (3)	-581 (2)	-1105 (3)	-226 (1)
89	8	-1.09 (1)	-0.46 (2)	-2.99 (3)	-733 (1)	-1341 (3)	-92 (1)
89	9	-0.28 (1)	-1.37 (2)	-3.30 (3)	141 (1)	1696 (1)	-218 (3)
89	10	-0.58 (1)	-1.14 (2)	-3.31 (3)	-276 (3)	-245 (5-I-2)	-383 (1)
89	11	-0.92 (1)	-0.87 (2)	-3.23 (3)	-550 (3)	-1006 (3)	-323 (1)
89	12	-1.19 (1)	-0.63 (2)	-3.06 (3)	-676 (1)	-1195 (3)	-129 (1)
89	13	-0.23 (1)	-1.35 (2)	-3.30 (3)	113 (1)	1428 (1)	-297 (3)
89	14	-0.57 (1)	-1.17 (2)	-3.34 (3)	-251 (3)	-240 (5-I-2)	-493 (1)
89	15	-0.98 (1)	-0.99 (2)	-3.26 (3)	-470 (3)	-863 (3)	-401 (1)
89	16	-1.30 (1)	-0.84 (2)	-3.07 (3)	-553 (2)	-995 (3)	-154 (1)
90	1	-0.41 (1)	-1.44 (2)	-2.35 (3)	156 (1)	1845 (1)	258 (2)
90	2	-0.60 (1)	-1.02 (1)	-2.38 (3)	-286 (3)	-220 (5-I-2)	384 (2)
90	3	-0.69 (1)	-0.68 (1)	-2.38 (3)	-582 (2)	-1012 (3)	288 (2)
90	4	-0.68 (1)	-0.33 (1)	-2.34 (3)	-710 (1)	-1256 (3)	79 (2)
90	5	-0.38 (1)	-1.41 (2)	-2.59 (3)	177 (1)	2000 (1)	174 (2)
90	6	-0.59 (1)	-0.97 (1)	-2.60 (3)	-278 (3)	-225 (5-I-2)	253 (2)
90	7	-0.72 (1)	-0.62 (1)	-2.58 (3)	-591 (2)	-1115 (3)	195 (2)
90	8	-0.74 (1)	-0.29 (1)	-2.50 (3)	-739 (1)	-1386 (3)	66 (3)
90	9	-0.36 (1)	-1.41 (2)	-2.78 (3)	190 (1)	2083 (1)	94 (2)
90	10	-0.58 (1)	-0.98 (2)	-2.79 (3)	-270 (3)	-227 (5-I-2)	126 (2)
90	11	-0.74 (1)	-0.61 (1)	-2.75 (3)	-591 (2)	-1171 (3)	98 (3)
90	12	-0.81 (1)	-0.28 (1)	-2.64 (3)	-750 (1)	-1457 (3)	43 (3)
90	13	-0.33 (1)	-1.42 (2)	-2.97 (3)	194 (1)	2097 (1)	17 (2)
90	14	-0.58 (1)	-1.02 (2)	-2.96 (3)	-267 (3)	-230 (5-I-2)	-10 (1)
90	15	-0.78 (1)	-0.62 (1)	-2.90 (3)	-590 (2)	-1186 (3)	-18 (1)
90	16	-0.90 (1)	-0.30 (1)	-2.77 (3)	-754 (1)	-1472 (3)	15 (4-I-3)
91	1	-0.60 (1)	0.41 (5-I-1)	-2.28 (3)	-708 (1)	-1239 (1)	-73 (1)
91	2	-0.53 (1)	0.50 (3)	-2.25 (3)	-673 (1)	-1187 (1)	-122 (1)
91	3	-0.47 (1)	0.60 (3)	-2.22 (3)	-626 (1)	-1104 (1)	-167 (1)
91	4	-0.38 (1)	0.67 (3)	-2.18 (3)	-569 (1)	-989 (1)	-203 (1)
91	5	-0.68 (1)	0.31 (3)	-2.41 (3)	-749 (1)	-1361 (1)	-37 (1)
91	6	-0.63 (1)	0.40 (3)	-2.36 (3)	-718 (1)	-1295 (1)	-68 (1)
91	7	-0.58 (1)	0.48 (3)	-2.30 (3)	-675 (1)	-1194 (1)	-97 (1)
91	8	-0.51 (1)	0.57 (3)	-2.23 (3)	-620 (1)	-1061 (1)	-121 (1)
91	9	-0.79 (1)	0.23 (5-I-2)	-2.52 (3)	-769 (1)	-1428 (1)	-12 (1)
91	10	-0.76 (1)	0.31 (3)	-2.45 (3)	-743 (1)	-1353 (1)	-24 (1)
91	11	-0.72 (1)	0.40 (3)	-2.38 (3)	-704 (1)	-1243 (1)	-35 (1)
91	12	-0.67 (1)	0.50 (3)	-2.29 (3)	-652 (1)	-1101 (1)	-44 (1)

Muro	Pann.	Sxx	Syy	Sxy	Mxx	Myy	Mxy
91	13	-0.91 (1)	0.17 (5-I-2)	-2.63 (3)	-780 (1)	-1438 (1)	26 (3)
91	14	-0.89 (1)	0.23 (3)	-2.55 (3)	-757 (1)	-1360 (1)	32 (3)
91	15	-0.87 (1)	0.33 (3)	-2.47 (3)	-721 (1)	-1247 (1)	38 (3)
91	16	-0.84 (1)	0.44 (3)	-2.37 (3)	-672 (1)	-1103 (1)	43 (3)
92	1	0.34 (5-I-1)	0.82 (3)	-2.06 (3)	-440 (1)	-681 (1)	-248 (1)
92	2	0.58 (5-I-1)	0.90 (3)	-1.80 (3)	-229 (1)	456 (5-I-2)	-272 (1)
92	3	0.68 (5-I-1)	0.92 (3)	-1.51 (3)	97 (5-I-3)	1249 (5-I-2)	-261 (2)
92	4	0.46 (5-I-2)	1.08 (4-II-1)	-1.31 (1)	283 (3)	2391 (3)	-289 (3)
92	5	-0.37 (1)	0.70 (3)	-2.06 (3)	-488 (1)	-723 (1)	-152 (1)
92	6	0.41 (5-I-1)	0.84 (3)	-1.77 (3)	-262 (1)	443 (5-I-2)	-178 (2)
92	7	0.50 (5-I-1)	0.96 (3)	-1.50 (1)	79 (5-I-2)	1244 (5-I-2)	-184 (3)
92	8	0.46 (5-I-2)	1.11 (3)	-1.41 (1)	273 (3)	2407 (3)	-278 (3)
92	9	-0.55 (1)	0.64 (3)	-2.10 (3)	-521 (1)	-749 (1)	-56 (1)
92	10	-0.31 (1)	0.83 (3)	-1.79 (3)	-289 (1)	427 (5-I-2)	-76 (2)
92	11	0.36 (5-I-1)	1.02 (3)	-1.54 (1)	66 (5-I-2)	1230 (5-I-2)	-108 (3)
92	12	0.46 (5-I-1)	1.20 (3)	-1.39 (1)	268 (3)	2363 (3)	-235 (3)
92	13	-0.74 (1)	0.60 (3)	-2.17 (3)	-543 (1)	-753 (1)	48 (3)
92	14	-0.51 (1)	0.84 (3)	-1.86 (3)	-312 (1)	409 (5-I-2)	39 (1)
92	15	0.22 (5-I-3)	1.08 (3)	-1.60 (1)	56 (5-I-2)	1199 (5-I-2)	-24 (5-I-4)
92	16	0.44 (5-I-1)	1.32 (3)	-1.50 (1)	244 (3)	2277 (3)	-195 (3)
93	1	0.02 (5-I-2)	2.92 (3)	-0.57 (3)	-16 (1)	-560 (1)	-338 (1)
93	2	0.01 (1)	4.53 (3)	-0.75 (3)	-20 (1)	484 (5-I-1)	-317 (1)
93	3	-0.05 (1)	6.67 (3)	-1.27 (3)	51 (4-I-1)	1248 (5-I-1)	-299 (2)
93	4	2.22 (3)	8.75 (3)	-2.90 (3)	-154 (1)	2066 (5-I-1)	-292 (4-I-4)
93	5	0.19 (5-I-1)	2.22 (3)	-1.46 (3)	-99 (1)	-562 (1)	-432 (1)
93	6	0.52 (3)	2.96 (3)	-1.75 (3)	-65 (1)	477 (5-I-1)	-415 (1)
93	7	1.33 (3)	3.48 (3)	-2.32 (3)	78 (5-I-1)	1235 (5-I-1)	-381 (2)
93	8	0.87 (4-I-1)	2.99 (3)	-1.88 (3)	222 (5-I-2)	2139 (3)	-379 (3)
93	9	0.37 (5-I-1)	1.55 (3)	-1.90 (3)	-239 (1)	-583 (1)	-416 (1)
93	10	0.75 (5-I-2)	1.87 (3)	-2.02 (3)	-123 (1)	471 (5-I-2)	-410 (1)
93	11	1.08 (4-I-1)	1.73 (3)	-1.93 (3)	104 (5-I-1)	1235 (5-I-1)	-367 (2)
93	12	0.78 (4-I-1)	1.63 (4-II-1)	-1.56 (3)	253 (3)	2231 (3)	-349 (3)
93	13	0.41 (5-I-1)	1.09 (3)	-2.05 (3)	-362 (1)	-628 (1)	-343 (1)
93	14	0.71 (5-I-1)	1.16 (3)	-1.91 (3)	-183 (1)	464 (5-I-2)	-357 (1)
93	15	0.87 (5-I-2)	1.08 (4-II-1)	-1.65 (3)	108 (5-I-3)	1246 (5-I-2)	-325 (2)
93	16	0.59 (4-I-1)	1.07 (4-II-1)	-1.53 (3)	253 (3)	2309 (3)	-335 (3)
94	1	0.23 (1)	-2.08 (1)	-0.91 (1)	730 (1)	-368 (5-I-3)	90 (2)
94	2	-0.11 (1)	1.25 (5-I-1)	-0.78 (1)	153 (2)	-540 (3)	-259 (1)
94	3	-0.09 (1)	1.58 (5-I-1)	-0.67 (1)	44 (3)	-656 (1)	-299 (1)
94	4	-0.06 (1)	2.05 (3)	-0.61 (1)	9 (3)	-691 (1)	-308 (1)
94	5	-0.31 (1)	-0.91 (1)	-1.58 (1)	-75 (1)	-480 (3)	-255 (1)
94	6	-0.31 (1)	1.12 (5-I-1)	-1.49 (1)	-75 (1)	-563 (3)	-358 (1)
94	7	-0.26 (1)	1.35 (5-I-1)	-1.44 (1)	-86 (1)	-662 (1)	-411 (1)
94	8	-0.19 (1)	1.65 (3)	-1.38 (1)	-96 (1)	-700 (1)	-429 (1)
94	9	-0.45 (1)	0.74 (5-I-1)	-1.84 (1)	-431 (1)	-791 (3)	-203 (2)
94	10	-0.41 (1)	0.89 (5-I-1)	-1.85 (3)	-397 (1)	-801 (1)	-280 (1)
94	11	-0.34 (1)	1.05 (3)	-1.85 (3)	-359 (1)	-805 (1)	-348 (1)
94	12	-0.24 (1)	1.18 (3)	-1.85 (3)	-313 (1)	-776 (1)	-388 (1)
94	13	-0.52 (1)	0.56 (5-I-1)	-2.11 (3)	-620 (1)	-1045 (1)	-127 (1)
94	14	-0.46 (1)	0.66 (3)	-2.10 (3)	-581 (1)	-1022 (1)	-195 (1)
94	15	-0.40 (1)	0.79 (3)	-2.09 (3)	-532 (1)	-970 (1)	-253 (1)
94	16	-0.29 (1)	0.85 (3)	-2.08 (3)	-477 (1)	-887 (1)	-297 (1)
95	1	-1.00 (1)	-2.53 (1)	-1.82 (1)	179 (3)	497 (1)	325 (3)
95	2	-0.36 (3)	-1.79 (1)	-1.80 (1)	549 (3)	67 (1)	402 (2)
95	3	-0.36 (2)	-1.51 (1)	-1.86 (1)	975 (2)	54 (5-II-2)	304 (2)
95	4	-0.43 (3)	-1.66 (1)	-1.75 (1)	1197 (1)	304 (1)	88 (5-II-2)
95	5	-0.64 (1)	-1.72 (1)	-1.98 (1)	101 (1)	767 (1)	473 (2)
95	6	-0.56 (1)	-1.55 (1)	-2.04 (1)	51 (1)	-96 (5-I-2)	675 (2)
95	7	-0.53 (1)	-1.24 (1)	-1.85 (1)	65 (2)	-266 (3)	544 (1)
95	8	-0.50 (1)	-0.98 (1)	-1.68 (1)	20 (3)	-362 (5-I-3)	103 (1)
95	9	-0.54 (1)	-1.49 (1)	-2.01 (1)	102 (1)	1213 (1)	427 (2)
95	10	-0.61 (1)	-1.26 (1)	-2.09 (1)	-199 (3)	-167 (5-I-2)	642 (2)
95	11	-0.61 (1)	-0.99 (1)	-1.99 (1)	-365 (2)	-580 (3)	474 (1)
95	12	-0.58 (1)	-0.60 (1)	-1.89 (1)	-441 (1)	-739 (3)	79 (1)
95	13	-0.44 (1)	-1.48 (2)	-2.17 (1)	128 (1)	1587 (1)	347 (2)
95	14	-0.60 (1)	-1.11 (1)	-2.18 (1)	-275 (3)	-204 (5-I-2)	523 (2)
95	15	-0.66 (1)	-0.79 (1)	-2.15 (1)	-531 (2)	-838 (3)	385 (1)
95	16	-0.63 (1)	-0.42 (1)	-2.13 (3)	-633 (1)	-1046 (3)	84 (1)
96	1	0.33 (2)	0.41 (1)	-0.89 (3)	-292 (2)	208 (2)	23 (2)
96	2	0.31 (2)	0.50 (1)	-0.87 (3)	-293 (2)	211 (3)	65 (2)
96	3	0.28 (2)	0.50 (1)	-0.87 (3)	-290 (2)	216 (3)	95 (2)
96	4	0.24 (2)	0.47 (1)	-0.87 (3)	-284 (2)	225 (3)	119 (2)
96	5	0.16 (2)	0.08 (1)	-0.50 (5-I-1)	143 (2)	598 (2)	7 (1)
96	6	0.16 (2)	0.15 (1)	-0.49 (5-I-1)	124 (2)	559 (2)	36 (2)
96	7	0.16 (2)	0.14 (1)	-0.48 (5-I-1)	100 (2)	519 (2)	71 (2)

Muro	Pann.	Sxx	Syy	Sxy	Mxx	Myy	Mxy
96	8	0.15 (2)	0.11 (1)	-0.46 (5-I-1)	-98 (1)	480 (2)	103 (2)
96	9	-0.15 (1)	-0.16 (2)	0.22 (1)	208 (2)	838 (2)	-75 (2)
96	10	-0.15 (1)	-0.13 (2)	0.23 (1)	199 (2)	806 (2)	-64 (1)
96	11	-0.14 (1)	-0.14 (2)	0.25 (1)	187 (2)	763 (2)	-56 (1)
96	12	-0.14 (1)	-0.14 (2)	0.26 (1)	172 (2)	716 (2)	-45 (1)
96	13	-0.23 (1)	-0.50 (2)	0.65 (1)	291 (2)	909 (2)	-80 (1)
96	14	-0.23 (1)	-0.50 (2)	0.66 (1)	294 (2)	890 (2)	-77 (1)
96	15	-0.23 (1)	-0.51 (2)	0.66 (1)	293 (2)	865 (2)	-72 (1)
96	16	-0.23 (1)	-0.50 (2)	0.67 (1)	289 (2)	838 (2)	-65 (1)
97	1	0.19 (2)	0.52 (1)	-0.88 (3)	-267 (2)	263 (1)	185 (2)
97	2	0.15 (2)	0.45 (1)	-0.91 (3)	-237 (2)	331 (1)	175 (2)
97	3	0.13 (3)	0.37 (3)	-0.91 (3)	-200 (2)	266 (1)	-67 (1)
97	4	0.10 (3)	0.22 (3)	-0.89 (3)	-163 (3)	-490 (3)	-231 (1)
97	5	0.14 (2)	0.14 (1)	-0.43 (5-I-1)	-112 (1)	413 (2)	137 (2)
97	6	0.12 (2)	0.06 (1)	-0.40 (5-I-1)	-117 (1)	309 (2)	163 (2)
97	7	0.09 (2)	-0.07 (4-II-1)	-0.36 (5-I-1)	-67 (1)	148 (2)	162 (2)
97	8	0.03 (2)	-0.13 (2)	-0.34 (5-I-1)	-18 (1)	-51 (3)	257 (2)
97	9	-0.14 (1)	-0.14 (2)	0.29 (1)	142 (2)	627 (2)	23 (2)
97	10	-0.12 (1)	-0.15 (2)	0.34 (1)	94 (2)	498 (2)	99 (2)
97	11	-0.09 (1)	-0.17 (2)	0.39 (1)	45 (2)	358 (2)	192 (2)
97	12	-0.05 (1)	-0.17 (2)	0.43 (1)	15 (2)	231 (1)	269 (2)
97	13	-0.23 (1)	-0.50 (2)	0.68 (1)	271 (2)	798 (2)	-51 (2)
97	14	-0.22 (1)	-0.47 (2)	0.68 (1)	232 (2)	767 (2)	-12 (2)
97	15	-0.19 (1)	-0.41 (2)	0.68 (1)	179 (2)	802 (1)	123 (1)
97	16	-0.12 (1)	-0.26 (2)	0.68 (1)	126 (1)	942 (1)	338 (1)
98	1	-0.43 (3)	-0.81 (2)	-1.17 (3)	-89 (3)	-403 (3)	-139 (2)
98	2	-0.14 (1)	-0.84 (3)	-1.14 (3)	-114 (2)	113 (2)	-212 (2)
98	3	0.30 (2)	-0.43 (5-I-3)	-1.02 (3)	-186 (2)	246 (2)	-127 (2)
98	4	0.38 (2)	0.40 (1)	-0.92 (3)	-258 (2)	246 (2)	28 (1)
98	5	-0.16 (3)	-0.91 (1)	-0.62 (3)	-103 (3)	-964 (3)	-131 (2)
98	6	-0.14 (1)	-0.56 (1)	-0.64 (3)	77 (2)	111 (2)	-217 (2)
98	7	-0.11 (1)	-0.29 (2)	-0.64 (3)	159 (2)	539 (2)	-184 (2)
98	8	0.12 (2)	0.08 (1)	-0.56 (3)	165 (2)	629 (2)	-85 (2)
98	9	-0.18 (1)	-1.08 (1)	-0.17 (5-I-1)	-151 (3)	-1296 (3)	-72 (2)
98	10	-0.21 (1)	-0.77 (1)	-0.16 (5-I-1)	47 (2)	-63 (4-II-3)	-122 (2)
98	11	-0.19 (1)	-0.52 (2)	0.16 (1)	162 (2)	656 (2)	-132 (2)
98	12	-0.16 (1)	-0.25 (2)	0.20 (1)	207 (2)	852 (2)	-105 (2)
98	13	-0.23 (1)	-1.59 (1)	0.58 (1)	-162 (3)	-1412 (3)	-26 (1)
98	14	-0.24 (1)	-1.23 (1)	0.59 (1)	55 (2)	-104 (4-II-3)	-52 (1)
98	15	-0.25 (1)	-0.93 (2)	0.61 (1)	192 (2)	649 (2)	-69 (1)
98	16	-0.24 (1)	-0.64 (2)	0.64 (1)	268 (2)	891 (2)	-78 (1)
99	1	-0.06 (4-II-2)	-0.71 (2)	-1.17 (1)	-119 (3)	-988 (3)	142 (2)
99	2	0.17 (2)	-0.56 (2)	-1.23 (1)	-35 (1)	-101 (5-I-3)	187 (2)
99	3	0.28 (2)	-0.39 (2)	-1.31 (1)	103 (2)	276 (2)	150 (2)
99	4	0.27 (2)	-0.24 (5-I-3)	-1.41 (1)	118 (2)	267 (2)	91 (3)
99	5	-0.08 (4-II-2)	-0.58 (2)	-0.98 (1)	-126 (3)	-885 (3)	138 (2)
99	6	0.25 (2)	-0.44 (4-II-1)	-1.07 (1)	-48 (3)	-96 (5-I-3)	195 (2)
99	7	0.38 (2)	-0.28 (4-II-1)	-1.12 (1)	-32 (1)	212 (2)	157 (3)
99	8	0.40 (2)	0.26 (1)	-1.19 (1)	-43 (2)	194 (2)	87 (3)
99	9	-0.11 (4-II-2)	-0.63 (4-II-1)	-0.83 (1)	-146 (3)	-777 (3)	100 (2)
99	10	0.34 (2)	-0.46 (4-II-2)	-0.92 (1)	-168 (2)	-88 (5-I-3)	159 (2)
99	11	0.49 (2)	0.37 (1)	-0.95 (1)	-236 (2)	135 (2)	131 (3)
99	12	0.51 (2)	0.63 (1)	-1.03 (2)	-293 (2)	110 (2)	65 (3)
99	13	-0.23 (4-II-2)	-1.02 (4-II-2)	-0.70 (1)	-166 (2)	-787 (3)	-41 (1)
99	14	0.46 (2)	-0.47 (4-II-2)	-0.73 (1)	-330 (2)	-122 (3)	-96 (1)
99	15	0.60 (2)	0.66 (1)	-0.83 (3)	-567 (2)	21 (2)	-108 (1)
99	16	0.58 (2)	1.00 (1)	-0.97 (3)	-652 (2)	8 (4-II-2)	-140 (2)
100	1	0.20 (2)	-0.20 (5-I-3)	-1.52 (3)	107 (2)	192 (2)	60 (5-I-1)
100	2	-0.17 (1)	-0.25 (5-I-3)	-1.60 (3)	96 (2)	150 (2)	53 (5-I-1)
100	3	-0.22 (1)	-0.29 (5-I-3)	-1.68 (3)	83 (2)	109 (2)	47 (5-I-1)
100	4	-0.31 (1)	-0.30 (5-I-3)	-1.77 (3)	69 (2)	74 (2)	47 (1)
100	5	0.34 (2)	0.32 (1)	-1.31 (3)	-61 (2)	129 (2)	50 (5-I-1)
100	6	0.29 (2)	0.25 (1)	-1.37 (3)	-69 (2)	96 (2)	48 (1)
100	7	0.22 (2)	0.17 (1)	-1.44 (3)	-77 (2)	65 (2)	49 (1)
100	8	0.14 (2)	-0.12 (5-I-3)	-1.50 (3)	-83 (2)	38 (2)	51 (1)
100	9	0.45 (2)	0.75 (1)	-1.14 (3)	-312 (2)	66 (2)	49 (1)
100	10	0.40 (2)	0.69 (1)	-1.19 (3)	-308 (2)	42 (3)	50 (1)
100	11	0.33 (2)	0.64 (1)	-1.23 (3)	-301 (2)	24 (1)	52 (1)
100	12	0.26 (2)	0.54 (1)	-1.26 (3)	-285 (2)	22 (1)	55 (1)
100	13	0.56 (2)	1.27 (1)	-1.07 (3)	-644 (2)	-36 (2)	-217 (2)
100	14	0.47 (2)	1.27 (1)	-1.09 (3)	-627 (2)	-51 (2)	-229 (3)
100	15	0.39 (2)	1.27 (1)	-1.12 (3)	-590 (2)	-61 (2)	-240 (3)
100	16	0.29 (2)	1.27 (1)	-1.15 (3)	-547 (2)	-66 (2)	-247 (3)
101	1	-0.56 (1)	-0.45 (2)	-1.98 (3)	50 (5-II-1)	27 (2)	53 (1)
101	2	-1.24 (1)	-0.54 (3)	-2.25 (3)	29 (5-II-1)	14 (1)	63 (1)

**POTENZIAMENTO DELL'IMPIANTO DI DEPURAZIONE E
DEL RECAPITO FINALE DI SQUINZANO (LE)
PROGETTO DEFINITIVO
Tabulati di calcolo strutturale-Edificio Grigliatura
Grossolana**

R.37.11

Maggio 2021

Pagina 67 di 183

Muro	Pann.	Sxx	Syy	Sxy	Mxx	Myy	Mxy
101	3	-2.49 (1)	-0.37 (3)	-2.28 (3)	-46 (5-I-1)	-14 (5-I-1)	74 (1)
101	4	-4.15 (3)	-0.04 (4-II-1)	-1.70 (3)	-68 (5-I-1)	-11 (4-I-3)	83 (1)
101	5	-0.34 (1)	-0.20 (5-I-3)	-1.69 (3)	-89 (4-I-2)	20 (1)	53 (1)
101	6	-1.02 (1)	-0.44 (3)	-2.12 (3)	-102 (4-I-2)	17 (1)	54 (1)
101	7	-2.53 (1)	-0.35 (3)	-2.47 (3)	-124 (4-I-2)	16 (1)	58 (1)
101	8	-5.07 (3)	0.24 (1)	-1.88 (3)	-148 (5-I-1)	-8 (5-I-1)	74 (1)
101	9	-0.11 (1)	0.43 (1)	-1.36 (3)	-245 (2)	-24 (2)	51 (1)
101	10	-0.60 (1)	0.10 (1)	-1.67 (3)	-194 (2)	-34 (2)	34 (1)
101	11	-2.24 (1)	-0.62 (3)	-2.64 (3)	-209 (3)	-22 (4-I-3)	-44 (2)
101	12	-6.30 (3)	0.43 (1)	-2.35 (3)	-271 (3)	40 (1)	38 (1)
101	13	0.19 (2)	1.25 (1)	-1.15 (3)	-430 (2)	-64 (2)	-206 (3)
101	14	-0.19 (1)	1.11 (1)	-1.24 (3)	-265 (2)	-44 (2)	-229 (3)
101	15	-1.11 (1)	0.56 (1)	-1.48 (3)	-237 (3)	25 (1)	-300 (3)
101	16	-7.83 (3)	-1.86 (3)	-3.39 (3)	-477 (3)	80 (1)	-324 (3)
102	1	-0.89 (1)	-0.83 (2)	-2.54 (3)	306 (2)	61 (2)	132 (5-I-1)
102	2	-1.04 (1)	-0.77 (2)	-2.42 (3)	258 (2)	-26 (1)	135 (5-I-1)
102	3	-1.37 (1)	-0.63 (3)	-2.04 (3)	222 (2)	15 (4-II-3)	124 (5-I-1)
102	4	-1.88 (1)	-0.40 (3)	-1.43 (3)	200 (2)	18 (5-I-2)	107 (5-I-1)
102	5	-0.88 (1)	-0.74 (2)	-2.43 (3)	281 (2)	63 (2)	109 (5-I-1)
102	6	-1.21 (1)	-0.69 (2)	-2.38 (3)	233 (2)	-14 (1)	114 (5-I-1)
102	7	-1.72 (1)	-0.56 (3)	-2.08 (3)	193 (2)	-8 (1)	110 (5-I-1)
102	8	-2.40 (3)	-0.35 (3)	-1.52 (3)	165 (2)	-8 (2)	101 (5-I-1)
102	9	-0.83 (1)	-0.67 (2)	-2.31 (3)	229 (2)	58 (2)	85 (5-I-1)
102	10	-1.31 (1)	-0.64 (2)	-2.34 (3)	182 (2)	9 (5-II-3)	90 (5-I-1)
102	11	-2.03 (1)	-0.49 (3)	-2.12 (3)	143 (2)	-10 (2)	92 (5-I-1)
102	12	-2.94 (3)	-0.29 (3)	-1.58 (3)	114 (2)	-12 (2)	92 (1)
102	13	-0.72 (1)	-0.58 (2)	-2.17 (3)	151 (2)	46 (2)	63 (5-I-1)
102	14	-1.33 (1)	-0.59 (2)	-2.30 (3)	109 (2)	-8 (5-I-3)	68 (1)
102	15	-2.29 (1)	-0.43 (2)	-2.17 (3)	73 (2)	-13 (5-I-4)	80 (1)
102	16	-3.50 (3)	-0.20 (2)	-1.63 (3)	52 (5-II-1)	-13 (2)	88 (1)
103	1	-0.65 (1)	-0.85 (2)	-2.29 (3)	389 (2)	247 (2)	80 (5-I-1)
103	2	-0.72 (1)	-0.87 (2)	-2.35 (3)	377 (2)	201 (2)	95 (5-I-1)
103	3	-0.78 (1)	-0.86 (2)	-2.42 (3)	360 (2)	156 (2)	109 (5-I-1)
103	4	-0.82 (1)	-0.87 (2)	-2.48 (3)	342 (2)	116 (2)	119 (5-I-1)
103	5	-0.53 (1)	-0.67 (2)	-2.14 (3)	358 (2)	269 (2)	76 (5-I-1)
103	6	-0.59 (1)	-0.71 (2)	-2.22 (3)	348 (2)	219 (2)	84 (5-I-1)
103	7	-0.66 (1)	-0.72 (2)	-2.29 (3)	333 (2)	170 (2)	93 (5-I-1)
103	8	-0.73 (1)	-0.74 (2)	-2.36 (3)	316 (2)	125 (2)	99 (5-I-1)
103	9	-0.39 (1)	-0.53 (2)	-1.96 (3)	304 (2)	265 (2)	72 (5-I-1)
103	10	-0.45 (1)	-0.57 (2)	-2.04 (3)	293 (2)	216 (2)	75 (5-I-1)
103	11	-0.53 (1)	-0.61 (2)	-2.12 (3)	279 (2)	166 (2)	78 (5-I-1)
103	12	-0.62 (1)	-0.64 (2)	-2.20 (3)	263 (2)	121 (2)	80 (5-I-1)
103	13	-0.25 (1)	-0.36 (2)	-1.75 (1)	223 (2)	239 (2)	68 (5-I-1)
103	14	-0.31 (1)	-0.42 (2)	-1.83 (3)	212 (2)	192 (2)	65 (5-I-1)
103	15	-0.38 (1)	-0.47 (2)	-1.92 (3)	198 (2)	145 (2)	63 (5-I-1)
103	16	-0.49 (1)	-0.50 (2)	-2.01 (3)	182 (2)	103 (2)	61 (5-I-1)
104	1	-0.14 (1)	-1.48 (1)	-2.32 (3)	-73 (3)	-956 (3)	75 (1)
104	2	0.17 (4-I-4)	-1.37 (1)	-2.26 (3)	176 (2)	-69 (5-I-3)	-75 (4-II-1)
104	3	-0.25 (1)	-1.20 (2)	-2.20 (3)	330 (2)	352 (2)	-63 (4-II-2)
104	4	-0.50 (1)	-1.00 (2)	-2.21 (3)	390 (2)	332 (2)	44 (4-I-2)
104	5	-0.14 (1)	-1.24 (1)	-1.97 (3)	-97 (3)	-1055 (3)	87 (2)
104	6	-0.13 (1)	-1.13 (1)	-1.94 (3)	140 (2)	-86 (5-I-3)	52 (4-I-1)
104	7	-0.22 (1)	-0.99 (2)	-1.94 (3)	291 (2)	366 (2)	48 (4-I-2)
104	8	-0.39 (1)	-0.79 (2)	-2.03 (3)	355 (2)	357 (2)	58 (4-I-2)
104	9	-0.12 (1)	-1.03 (1)	-1.62 (3)	-111 (3)	-1088 (3)	113 (2)
104	10	0.11 (4-I-2)	-0.91 (2)	-1.64 (1)	108 (2)	-97 (5-I-3)	101 (2)
104	11	-0.17 (1)	-0.79 (2)	-1.71 (1)	245 (2)	355 (2)	86 (4-I-2)
104	12	-0.28 (1)	-0.61 (2)	-1.84 (1)	301 (2)	352 (2)	73 (4-I-2)
104	13	-0.07 (1)	-0.87 (1)	-1.34 (1)	-117 (3)	-1062 (3)	133 (2)
104	14	0.13 (4-I-2)	-0.73 (2)	-1.42 (1)	75 (2)	-102 (5-I-3)	153 (2)
104	15	0.18 (4-I-2)	-0.60 (2)	-1.51 (1)	186 (2)	324 (2)	122 (2)
104	16	-0.18 (1)	-0.43 (2)	-1.64 (1)	226 (2)	322 (2)	84 (3)
105	1	-2.67 (1)	-5.55 (3)	-3.34 (1)	479 (1)	-511 (4-II-1)	307 (1)
105	2	-1.10 (1)	-6.89 (3)	-2.50 (3)	162 (1)	-283 (4-II-1)	202 (1)
105	3	-0.54 (3)	-5.72 (3)	-1.85 (3)	87 (1)	-170 (1)	189 (3)
105	4	-0.35 (3)	-4.47 (3)	-1.45 (3)	61 (1)	-125 (1)	184 (3)
105	5	-1.20 (1)	-3.06 (3)	-2.10 (3)	348 (1)	-170 (4-II-1)	152 (3)
105	6	-1.54 (1)	-2.38 (3)	-2.42 (3)	300 (1)	-177 (4-II-1)	198 (3)
105	7	-1.32 (1)	-2.32 (3)	-2.62 (3)	228 (1)	-129 (4-II-1)	226 (3)
105	8	-0.98 (1)	-2.27 (3)	-2.55 (3)	177 (2)	-105 (1)	235 (3)
105	9	-0.94 (1)	-1.75 (2)	-2.33 (3)	350 (2)	107 (4-I-1)	115 (3)
105	10	-1.12 (1)	-1.45 (2)	-2.42 (3)	331 (2)	93 (4-I-1)	146 (3)
105	11	-1.13 (1)	-1.46 (2)	-2.51 (3)	310 (2)	-86 (1)	172 (3)
105	12	-1.05 (1)	-1.42 (2)	-2.59 (3)	286 (2)	-84 (1)	188 (3)
105	13	-0.78 (1)	-1.23 (2)	-2.34 (3)	392 (2)	197 (2)	90 (5-I-1)

Muro	Pann.	Sxx	Syy	Sxy	Mxx	Myy	Mxy
105	14	-0.89(1)	-1.12(2)	-2.42(3)	376(2)	159(2)	113(3)
105	15	-0.92(1)	-1.09(2)	-2.49(3)	356(2)	124(2)	132(3)
105	16	-0.93(1)	-1.08(2)	-2.56(3)	336(2)	93(2)	146(3)
106	1	-0.09(3)	-2.79(3)	-1.04(3)	39(2)	79(4-I-1)	176(3)
106	2	-0.06(4-I-4)	-0.98(4-I-2)	-0.77(3)	45(3)	110(3)	126(4-II-1)
106	3	-0.14(1)	1.25(1)	-0.72(3)	-13(1)	161(4-II-4)	93(4-II-1)
106	4	3.08(3)	1.63(3)	-1.65(4-I-4)	548(3)	438(4-II-1)	-261(5-I-1)
106	5	-0.59(3)	-1.92(3)	-2.28(3)	153(2)	-77(1)	219(3)
106	6	-0.18(1)	-1.04(3)	-1.90(3)	137(2)	82(3)	172(3)
106	7	0.49(4-I-4)	-0.29(5-I-1)	-1.82(3)	189(3)	138(4-II-4)	117(4-II-1)
106	8	-0.65(1)	0.60(1)	-0.87(3)	281(4-I-4)	138(5-I-3)	56(1)
106	9	-0.78(1)	-1.27(3)	-2.59(3)	250(2)	-72(1)	192(3)
106	10	-0.49(1)	-0.91(3)	-2.41(3)	220(2)	51(3)	172(3)
106	11	-0.42(1)	-0.64(3)	-1.88(3)	217(3)	77(4-II-4)	132(3)
106	12	-0.92(1)	-0.47(4-I-4)	-1.08(3)	247(4-I-4)	90(5-I-3)	88(1)
106	13	-0.86(1)	-0.96(2)	-2.62(3)	299(2)	54(2)	159(3)
106	14	-0.81(1)	-0.85(3)	-2.46(3)	256(2)	-38(1)	155(5-I-3)
106	15	-0.95(1)	-0.69(3)	-1.98(3)	231(2)	39(4-II-4)	133(5-I-1)
106	16	-1.35(1)	-0.42(3)	-1.30(3)	224(3)	43(5-I-3)	102(5-I-1)
107	1	-0.28(3)	-2.32(1)	-2.93(3)	-70(3)	647(1)	-141(2)
107	2	-0.33(1)	-1.37(1)	-3.06(3)	-151(4-II-1)	72(1)	-219(2)
107	3	0.58(4-I-4)	-0.98(1)	-3.50(3)	411(1)	-132(5-I-3)	-143(2)
107	4	1.88(4-I-4)	-1.75(1)	-4.42(3)	671(1)	-272(4-II-1)	-68(4-II-2)
107	5	-0.13(1)	-1.94(1)	-2.84(3)	167(1)	581(1)	-175(2)
107	6	0.30(4-I-4)	-1.71(1)	-3.01(3)	262(1)	92(1)	-287(2)
107	7	0.63(4-I-4)	-1.55(1)	-3.18(3)	360(1)	83(2)	-183(3)
107	8	-0.79(1)	-2.20(2)	-2.50(3)	380(1)	-181(4-II-1)	38(4-I-2)
107	9	-0.13(1)	-1.84(1)	-2.73(3)	120(1)	-533(3)	-93(2)
107	10	0.28(4-I-4)	-1.68(1)	-2.77(3)	229(2)	117(1)	-220(2)
107	11	0.42(4-I-4)	-1.72(1)	-2.59(3)	340(2)	210(2)	-146(4-II-1)
107	12	-0.68(1)	-1.70(2)	-2.27(3)	367(2)	165(2)	31(4-I-2)
107	13	-0.18(1)	-1.68(1)	-2.57(3)	67(1)	-785(3)	43(1)
107	14	0.22(4-I-4)	-1.57(1)	-2.52(3)	212(2)	96(1)	-137(4-II-1)
107	15	0.28(4-I-4)	-1.48(1)	-2.38(3)	355(2)	303(2)	-107(4-II-1)
107	16	-0.57(1)	-1.31(2)	-2.29(3)	400(2)	269(2)	34(4-I-2)
108	1	-0.33(3)	-0.14(1)	0.15(3)	82(2)	19(2)	-64(2)
108	2	-0.35(3)	-0.11(1)	0.12(3)	83(2)	11(2)	-56(2)
108	3	-0.37(3)	-0.07(1)	0.07(3)	83(2)	5(2)	-43(2)
108	4	-0.40(3)	-0.03(3)	0.02(3)	82(2)	0	-19(2)
108	5	-0.22(3)	-0.16(1)	0.17(3)	62(2)	23(2)	-55(2)
108	6	-0.22(3)	-0.12(2)	0.13(3)	64(2)	13(2)	-48(2)
108	7	-0.23(3)	-0.07(3)	0.08(3)	65(2)	6(2)	-37(2)
108	8	-0.23(3)	-0.02(1)	0.03(3)	63(2)	0	-16(2)
108	9	-0.10(3)	-0.22(3)	0.13(3)	36(2)	28(2)	-42(2)
108	10	-0.10(3)	-0.14(3)	0.09(3)	38(2)	17(2)	-36(2)
108	11	-0.09(3)	-0.08(3)	0.06(3)	39(2)	8(2)	-27(2)
108	12	-0.07(3)	-0.02(1)	0.02(3)	36(2)	2(2)	-12(2)
108	13	-0.02(3)	-0.25(3)	0.05(3)	9(2)	28(2)	-21(2)
108	14	-0.02(3)	-0.15(3)	0.03(3)	10(2)	17(2)	-17(2)
108	15	-0.01(3)	-0.08(3)	0.01(3)	11(2)	7(2)	-11(2)
108	16	-0.00(3)	-0.02(1)	0.00(3)	10(2)	1(2)	-3(2)
109	1	-0.22(3)	-1.26(1)	0.22(3)	52(2)	293(2)	-50(2)
109	2	-0.33(3)	-0.95(1)	0.24(3)	64(2)	164(2)	-76(2)
109	3	-0.33(3)	-0.65(1)	0.26(3)	74(1)	90(2)	-81(2)
109	4	-0.32(3)	-0.34(1)	0.21(3)	79(2)	42(2)	-74(2)
109	5	-0.30(3)	-1.26(1)	0.27(3)	30(3)	178(3)	50(1)
109	6	-0.36(3)	-0.99(1)	0.37(3)	39(2)	130(2)	-58(2)
109	7	-0.30(3)	-0.70(1)	0.35(3)	49(2)	88(2)	-70(2)
109	8	-0.24(3)	-0.36(2)	0.25(3)	57(2)	47(2)	-64(2)
109	9	-0.37(3)	-1.33(2)	0.46(3)	9(2)	-59(1)	-20(2)
109	10	-0.39(3)	-1.25(3)	0.55(3)	20(2)	102(2)	-52(2)
109	11	-0.18(3)	-0.87(3)	0.35(3)	23(2)	84(2)	-58(2)
109	12	-0.12(3)	-0.46(3)	0.21(3)	31(2)	51(2)	-51(2)
109	13	-0.64(3)	-2.84(3)	0.82(3)	13(2)	98(2)	-73(2)
109	14	-0.04(3)	-1.89(3)	0.32(3)	7(2)	91(2)	-36(2)
109	15	-0.01(3)	-1.12(3)	0.16(3)	4(2)	80(2)	-34(2)
109	16	-0.01(3)	-0.51(3)	0.09(3)	7(2)	52(2)	-29(2)
110	1	-0.09(3)	-1.06(1)	-0.16(1)	43(3)	212(3)	79(3)
110	2	0.18(1)	-0.82(1)	-0.22(1)	53(3)	80(3)	29(3)
110	3	0.25(1)	-0.56(1)	-0.24(1)	59(3)	32(3)	-8(2)
110	4	0.29(1)	-0.32(1)	-0.21(1)	58(3)	13(2)	-15(2)
110	5	0.07(1)	-0.98(1)	-0.25(1)	12(3)	26(3)	145(3)
110	6	0.22(1)	-0.71(1)	-0.33(1)	23(3)	14(2)	41(3)
110	7	0.23(1)	-0.45(1)	-0.33(1)	29(3)	10(2)	-4(2)
110	8	0.22(1)	-0.27(3)	-0.24(1)	33(3)	7(2)	-13(2)

**POTENZIAMENTO DELL'IMPIANTO DI DEPURAZIONE E
DEL RECAPITO FINALE DI SQUINZANO (LE)
PROGETTO DEFINITIVO
Tabulati di calcolo strutturale-Edificio Grigliatura
Grossolana**

R.37.11

Maggio 2021

Pagina 69 di 183

Muro	Pann.	Sxx	Syy	Sxy	Mxx	Myy	Mxy
110	9	0.19 (1)	-0.79 (2)	-0.34 (1)	-21 (3)	-160 (3)	110 (3)
110	10	0.28 (1)	-0.60 (3)	-0.47 (1)	-8 (3)	-70 (3)	47 (3)
110	11	0.15 (1)	-0.43 (3)	-0.33 (1)	3 (3)	-21 (3)	5 (5-I-2)
110	12	0.11 (1)	-0.27 (3)	-0.21 (1)	11 (3)	-3 (4-I-1)	-8 (2)
110	13	0.51 (1)	-0.79 (3)	-0.59 (1)	-40 (3)	-342 (3)	117 (3)
110	14	0.03 (1)	-0.58 (3)	-0.26 (1)	-12 (3)	-121 (3)	30 (3)
110	15	0.01 (1)	-0.41 (3)	-0.15 (1)	-3 (3)	-36 (3)	5 (5-I-2)
110	16	0.01 (1)	-0.26 (3)	-0.09 (1)	0	-7 (3)	-4 (2)
111	1	0.34 (1)	-0.21 (1)	-0.15 (1)	58 (3)	5 (2)	-14 (2)
111	2	0.36 (1)	-0.13 (1)	-0.12 (1)	58 (3)	3 (2)	-13 (2)
111	3	0.39 (1)	-0.07 (1)	-0.08 (1)	58 (3)	1 (2)	-10 (2)
111	4	0.43 (1)	-0.02 (3)	-0.02 (1)	58 (3)	0	-4 (2)
111	5	0.23 (1)	-0.18 (1)	-0.17 (1)	35 (3)	4 (2)	-12 (2)
111	6	0.23 (1)	-0.12 (2)	-0.13 (1)	36 (3)	2 (2)	-11 (2)
111	7	0.24 (1)	-0.07 (3)	-0.09 (1)	36 (3)	1 (2)	-8 (2)
111	8	0.25 (1)	-0.03 (1)	-0.03 (1)	36 (3)	0	-4 (2)
111	9	0.11 (1)	-0.17 (3)	-0.13 (1)	15 (3)	2 (2)	-9 (2)
111	10	0.11 (1)	-0.12 (3)	-0.10 (1)	16 (3)	2 (2)	-8 (2)
111	11	0.10 (1)	-0.07 (3)	-0.06 (1)	16 (3)	1 (2)	-6 (2)
111	12	0.08 (1)	-0.04 (1)	-0.02 (1)	16 (3)	0	-3 (2)
111	13	0.03 (1)	-0.16 (3)	-0.05 (1)	2 (2)	1 (2)	-4 (2)
111	14	0.02 (1)	-0.11 (3)	-0.03 (1)	3 (2)	1 (2)	-3 (2)
111	15	0.02 (1)	-0.07 (3)	-0.01 (1)	3 (2)	0	-2 (2)
111	16	0.01 (1)	-0.04 (1)	-0.00 (1)	3 (3)	0	0
112	1	0.35 (3)	-1.68 (1)	0.83 (3)	-225 (1)	-1930 (1)	249 (1)
112	2	1.06 (3)	-1.35 (2)	0.66 (3)	82 (1)	223 (4-I-4)	393 (1)
112	3	1.42 (3)	-1.21 (2)	0.48 (5-II-2)	306 (1)	972 (1)	293 (1)
112	4	1.61 (3)	-1.16 (2)	0.28 (5-II-2)	407 (1)	1419 (1)	-261 (4-I-4)
112	5	0.40 (3)	-1.15 (1)	0.83 (3)	-248 (1)	-1687 (1)	274 (1)
112	6	1.17 (3)	-1.01 (2)	0.68 (5-II-2)	89 (4-I-4)	183 (4-I-4)	448 (1)
112	7	1.53 (3)	-0.93 (2)	0.53 (5-II-2)	266 (3)	817 (1)	348 (1)
112	8	1.75 (3)	-0.95 (2)	0.36 (5-II-2)	383 (2)	1205 (1)	-314 (4-I-4)
112	9	0.46 (3)	-0.56 (1)	0.92 (3)	-343 (1)	-1502 (1)	242 (1)
112	10	1.26 (3)	-0.51 (2)	0.72 (5-II-2)	-254 (1)	161 (4-I-4)	503 (1)
112	11	1.61 (3)	-0.55 (2)	0.62 (5-II-2)	352 (4-I-4)	621 (1)	416 (1)
112	12	1.87 (3)	-0.65 (2)	0.49 (5-II-2)	485 (3)	975 (3)	-344 (4-I-4)
112	13	0.52 (3)	0.68 (3)	1.06 (3)	-520 (1)	-1213 (1)	158 (1)
112	14	1.38 (3)	0.25 (5-I-1)	0.86 (3)	-606 (1)	122 (4-I-4)	690 (1)
112	15	1.71 (3)	-0.19 (1)	0.79 (3)	451 (4-I-4)	437 (4-I-4)	519 (1)
112	16	1.98 (3)	-0.35 (1)	0.67 (3)	749 (4-I-4)	769 (3)	-189 (4-I-4)
113	1	0.04 (1)	4.31 (4-I-4)	0.47 (1)	-26 (4-I-4)	-732 (4-I-1)	277 (1)
113	2	-0.16 (4-I-2)	4.41 (4-I-3)	0.42 (1)	28 (1)	-1824 (4-I-1)	304 (1)
113	3	-0.06 (4-I-1)	4.89 (5-I-1)	0.57 (1)	-247 (3)	-3141 (4-I-1)	369 (1)
113	4	2.79 (5-I-1)	5.68 (5-I-1)	1.73 (1)	1129 (3)	-4465 (4-I-4)	-253 (5-II-3)
113	5	0.34 (4-I-3)	3.42 (4-I-4)	1.08 (1)	-55 (4-I-1)	745 (1)	433 (1)
113	6	0.39 (5-I-1)	3.37 (4-I-3)	1.08 (1)	-120 (4-I-4)	-1806 (4-I-1)	477 (1)
113	7	0.72 (5-I-1)	3.63 (5-I-1)	1.35 (1)	-239 (4-I-4)	-3027 (4-I-1)	529 (1)
113	8	-1.11 (1)	3.30 (4-I-4)	1.30 (1)	-372 (4-I-4)	-4490 (4-I-4)	557 (1)
113	9	0.61 (4-I-3)	2.53 (4-I-4)	1.34 (1)	-102 (4-I-1)	808 (1)	473 (1)
113	10	0.62 (5-I-1)	2.58 (4-I-4)	1.43 (1)	-202 (4-I-1)	-1765 (4-I-1)	513 (1)
113	11	0.72 (5-I-1)	2.33 (5-I-1)	1.44 (1)	-379 (4-I-1)	-2931 (4-I-1)	539 (1)
113	12	-0.89 (1)	1.98 (4-I-4)	1.19 (1)	-648 (4-I-1)	-4263 (4-I-1)	515 (1)
113	13	0.77 (5-I-1)	1.81 (4-I-4)	1.45 (1)	237 (1)	878 (1)	464 (1)
113	14	0.77 (5-I-1)	1.78 (4-I-4)	1.50 (1)	-248 (4-I-1)	-1733 (4-I-1)	504 (1)
113	15	0.70 (5-I-1)	1.57 (3)	1.43 (1)	-424 (4-I-1)	-2898 (4-I-1)	505 (1)
113	16	-0.59 (1)	1.50 (3)	1.13 (1)	-606 (4-I-1)	-4153 (4-I-1)	429 (1)
114	1	0.57 (2)	1.78 (3)	2.03 (1)	-336 (1)	431 (3)	-458 (1)
114	2	-0.55 (1)	1.08 (4-I-4)	2.04 (1)	-1034 (1)	265 (4-I-1)	-695 (1)
114	3	-1.17 (1)	1.34 (4-I-4)	2.24 (1)	-1614 (1)	394 (4-I-1)	-688 (1)
114	4	-1.74 (1)	2.15 (4-I-4)	2.86 (1)	-2056 (1)	828 (4-I-1)	-731 (1)
114	5	0.31 (2)	0.73 (3)	2.40 (1)	-149 (1)	-252 (1)	-459 (1)
114	6	-0.41 (1)	1.02 (4-I-4)	2.47 (1)	-377 (1)	299 (4-I-1)	-628 (1)
114	7	-0.89 (1)	1.42 (4-I-4)	2.34 (1)	-648 (1)	484 (4-I-1)	-485 (1)
114	8	-1.31 (1)	2.39 (4-I-4)	1.73 (1)	-708 (1)	867 (4-I-1)	-203 (1)
114	9	0.22 (2)	-0.52 (1)	2.46 (1)	-92 (1)	-639 (1)	-458 (1)
114	10	-0.30 (1)	0.78 (4-I-4)	2.44 (1)	100 (4-I-4)	396 (4-I-1)	-685 (1)
114	11	-0.79 (1)	1.36 (4-I-4)	2.17 (1)	96 (4-I-4)	605 (4-I-1)	-512 (1)
114	12	-0.92 (1)	1.86 (4-I-4)	1.60 (1)	25 (4-I-3)	764 (4-I-1)	160 (4-I-1)
114	13	0.19 (3)	-0.89 (1)	2.13 (1)	-78 (1)	-991 (1)	-486 (1)
114	14	-0.24 (1)	0.53 (4-I-4)	2.28 (1)	164 (1)	475 (4-I-1)	-659 (1)
114	15	-0.60 (1)	1.04 (4-I-4)	2.03 (1)	298 (1)	711 (1)	-500 (1)
114	16	-0.63 (1)	1.38 (4-I-4)	1.62 (1)	349 (1)	918 (1)	-127 (1)
115	1	-1.96 (1)	5.71 (3)	1.47 (5-I-1)	-1494 (1)	-1131 (1)	-1158 (1)
115	2	0.38 (5-I-1)	5.54 (3)	1.08 (3)	-344 (1)	473 (4-I-1)	-199 (1)
115	3	0.20 (4-I-3)	4.95 (4-I-4)	0.75 (3)	-134 (1)	416 (1)	-136 (4-I-4)

Muro	Pann.	Sxx	Syy	Sxy	Mxx	Myy	Mxy
115	4	0.15 (3)	4.59 (4-I-4)	0.61 (1)	-51 (1)	644 (1)	184 (1)
115	5	-1.07 (1)	3.15 (4-I-4)	0.98 (1)	-553 (1)	824 (4-I-1)	26 (5-II-3)
115	6	0.82 (5-I-1)	3.04 (4-I-4)	1.06 (3)	-384 (1)	601 (4-I-1)	-79 (4-I-4)
115	7	0.65 (5-I-1)	3.24 (4-I-4)	1.08 (3)	-172 (1)	578 (1)	239 (1)
115	8	0.50 (4-I-3)	3.34 (4-I-4)	1.11 (1)	-75 (1)	713 (1)	347 (1)
115	9	-0.60 (1)	2.12 (4-I-4)	1.23 (1)	-39 (4-I-1)	684 (1)	146 (1)
115	10	0.69 (5-I-1)	2.18 (4-I-4)	1.16 (1)	54 (1)	795 (1)	258 (1)
115	11	0.73 (4-I-3)	2.27 (4-I-4)	1.19 (1)	71 (1)	838 (1)	337 (1)
115	12	0.71 (4-I-3)	2.31 (4-I-4)	1.25 (1)	89 (1)	871 (1)	403 (1)
115	13	0.59 (4-I-3)	1.53 (4-I-4)	1.37 (1)	351 (1)	1004 (1)	142 (1)
115	14	0.68 (4-I-3)	1.58 (4-I-4)	1.33 (1)	335 (1)	1018 (1)	239 (1)
115	15	0.75 (4-I-3)	1.62 (4-I-4)	1.33 (1)	314 (1)	1031 (1)	326 (1)
115	16	0.80 (4-I-3)	1.62 (4-I-4)	1.36 (1)	289 (1)	1013 (1)	390 (1)
116	1	1.64 (3)	-1.17 (2)	-0.15 (5-I-2)	405 (1)	1523 (1)	-220 (4-I-4)
116	2	1.59 (3)	-1.16 (2)	-0.19 (5-I-2)	379 (1)	1520 (1)	-199 (1)
116	3	1.53 (3)	-1.15 (2)	-0.24 (5-I-2)	346 (1)	1485 (1)	-250 (1)
116	4	1.44 (3)	-1.15 (2)	-0.29 (2)	309 (1)	1414 (1)	-286 (1)
116	5	1.81 (3)	-1.02 (2)	0.26 (1)	378 (2)	1340 (1)	-308 (4-I-4)
116	6	1.77 (3)	-1.03 (2)	0.24 (1)	340 (2)	1372 (1)	-259 (4-I-4)
116	7	1.70 (3)	-1.04 (2)	0.22 (1)	294 (2)	1375 (1)	-299 (1)
116	8	1.59 (3)	-1.05 (2)	-0.27 (5-I-1)	243 (2)	1344 (1)	-333 (1)
116	9	2.00 (3)	-0.79 (2)	0.43 (1)	503 (2)	1225 (3)	-425 (4-I-4)
116	10	2.00 (3)	-0.83 (2)	0.40 (1)	451 (2)	1319 (3)	-397 (4-I-4)
116	11	1.94 (3)	-0.87 (2)	0.35 (1)	377 (2)	1359 (3)	-349 (1)
116	12	1.79 (3)	-0.89 (2)	0.29 (1)	299 (2)	1301 (3)	-367 (1)
116	13	2.15 (3)	-0.44 (1)	0.63 (1)	913 (4-I-4)	1076 (3)	-369 (4-I-4)
116	14	2.27 (3)	-0.52 (1)	0.62 (1)	891 (4-I-4)	1251 (3)	-433 (4-I-4)
116	15	2.30 (3)	-0.60 (1)	0.57 (1)	750 (4-I-4)	1428 (3)	-450 (4-I-4)
116	16	2.06 (3)	-0.65 (1)	0.46 (1)	473 (4-I-1)	1535 (3)	-415 (3)
117	1	1.20 (3)	-1.07 (1)	-0.36 (2)	235 (1)	1172 (1)	-313 (1)
117	2	0.75 (3)	-0.99 (1)	-0.38 (2)	-373 (4-I-4)	-1241 (4-I-4)	297 (4-I-4)
117	3	0.24 (2)	-0.87 (1)	0.33 (1)	-477 (4-I-4)	-2672 (4-I-4)	384 (4-I-4)
117	4	-0.30 (1)	-0.72 (1)	0.59 (1)	-582 (4-I-4)	-4167 (4-I-4)	275 (4-I-1)
117	5	1.30 (3)	-0.99 (1)	-0.37 (2)	-170 (4-I-3)	1161 (1)	-345 (1)
117	6	0.73 (3)	-0.89 (1)	-0.42 (4-I-1)	-371 (4-I-3)	-1103 (4-I-4)	-296 (1)
117	7	-0.17 (1)	-0.69 (1)	-0.33 (4-I-1)	-545 (4-I-4)	-2653 (4-I-4)	444 (4-I-4)
117	8	-0.48 (3)	-0.41 (1)	0.50 (1)	-676 (4-I-4)	-4413 (4-I-4)	315 (4-I-1)
117	9	1.43 (3)	-0.92 (1)	-0.34 (2)	180 (2)	1169 (1)	-349 (1)
117	10	0.78 (3)	-0.87 (1)	-0.47 (2)	-297 (4-I-3)	-966 (4-I-4)	-297 (1)
117	11	-0.25 (1)	-0.59 (1)	-0.48 (4-I-1)	-638 (4-I-4)	-2547 (4-I-4)	441 (4-I-4)
117	12	-0.75 (3)	0.30 (5-I-3)	0.36 (1)	-880 (4-I-4)	-4758 (4-I-4)	404 (4-I-1)
117	13	1.58 (3)	-0.96 (1)	0.39 (1)	245 (4-I-1)	1207 (1)	-285 (1)
117	14	0.93 (3)	-0.90 (1)	-0.47 (2)	-77 (4-I-3)	-811 (4-I-4)	-288 (1)
117	15	-0.25 (1)	-0.71 (5-II-3)	-0.68 (2)	-593 (4-I-3)	-2271 (4-I-4)	320 (4-I-4)
117	16	-1.09 (3)	-0.39 (5-II-3)	-0.54 (4-I-1)	-1128 (4-I-4)	-5327 (4-I-4)	414 (4-I-4)
118	1	-3.16 (1)	-4.98 (1)	-2.34 (2)	-221 (4-I-4)	161 (1)	232 (1)
118	2	-0.68 (2)	-1.97 (1)	-0.35 (2)	-653 (2)	-294 (4-I-4)	85 (1)
118	3	-0.58 (4-I-4)	-1.04 (4-II-4)	0.35 (4-I-4)	-559 (2)	-327 (4-I-4)	-74 (2)
118	4	-0.28 (2)	0.67 (4-I-4)	0.73 (4-I-4)	-243 (2)	-271 (1)	-167 (2)
118	5	-3.11 (1)	-2.42 (1)	-1.92 (2)	-494 (4-I-4)	-80 (4-I-4)	-41 (3)
118	6	-1.52 (4-I-4)	-2.35 (1)	-1.62 (2)	-547 (4-I-4)	-221 (4-I-4)	-66 (3)
118	7	-1.19 (4-I-4)	-1.13 (1)	-0.75 (2)	-449 (4-I-4)	-282 (1)	-81 (4-II-2)
118	8	-0.61 (4-I-4)	-0.49 (4-II-4)	0.67 (4-I-4)	-194 (4-I-4)	-355 (1)	-107 (4-II-3)
118	9	-2.79 (3)	-1.73 (2)	-1.57 (2)	-781 (4-I-4)	-132 (3)	-38 (4-I-4)
118	10	-2.01 (4-I-4)	-1.91 (2)	-1.72 (2)	-720 (4-I-4)	-216 (3)	-29 (5-II-2)
118	11	-1.92 (4-I-4)	-1.65 (2)	-1.39 (2)	-567 (4-I-4)	-266 (1)	110 (4-I-4)
118	12	-1.23 (4-I-4)	-0.80 (2)	-0.73 (4-II-4)	-242 (4-I-4)	-394 (1)	209 (4-I-4)
118	13	-2.39 (3)	-1.78 (4-I-1)	-1.19 (2)	-1077 (4-I-4)	-256 (3)	-179 (1)
118	14	-2.15 (4-I-4)	-2.53 (4-I-4)	-1.42 (2)	-942 (4-I-4)	-251 (3)	-198 (1)
118	15	-2.25 (4-I-4)	-2.96 (4-I-2)	-1.35 (2)	-763 (4-I-4)	-267 (4-I-1)	-190 (1)
118	16	-2.60 (4-I-4)	-2.60 (4-I-2)	-1.35 (2)	-386 (4-I-4)	-574 (4-I-4)	-145 (1)
119	1	-4.26 (3)	-3.50 (1)	0.54 (4-II-2)	138 (3)	84 (1)	331 (1)
119	2	-4.82 (3)	-3.60 (1)	0.41 (4-II-2)	224 (3)	133 (1)	316 (1)
119	3	-5.56 (3)	-3.74 (1)	-0.58 (4-I-2)	302 (3)	204 (1)	299 (1)
119	4	-6.44 (1)	-3.74 (1)	-1.21 (2)	296 (3)	302 (1)	293 (3)
119	5	-3.80 (1)	-2.62 (1)	0.67 (4-II-2)	-379 (4-I-4)	-48 (3)	75 (1)
119	6	-4.17 (1)	-2.49 (1)	0.51 (4-II-2)	-381 (4-I-4)	35 (1)	67 (1)
119	7	-4.48 (1)	-2.32 (1)	-0.68 (4-I-2)	-397 (4-I-4)	62 (1)	47 (1)
119	8	-4.44 (1)	-2.41 (1)	-1.15 (4-I-2)	-425 (4-I-4)	51 (1)	21 (1)
119	9	-3.30 (1)	-1.86 (1)	0.54 (4-II-2)	-770 (3)	-108 (3)	82 (4-II-4)
119	10	-3.42 (1)	-1.75 (1)	-0.43 (4-I-2)	-782 (4-I-4)	-92 (3)	79 (4-II-4)
119	11	-3.45 (1)	-1.64 (1)	-0.72 (4-I-2)	-797 (4-I-4)	-82 (3)	68 (4-II-4)
119	12	-3.29 (3)	-1.69 (1)	-1.04 (2)	-800 (4-I-4)	-79 (3)	55 (4-II-4)
119	13	-2.81 (1)	-1.29 (3)	0.33 (4-II-2)	-1088 (3)	-264 (3)	121 (4-II-2)
119	14	-2.82 (1)	-1.17 (3)	-0.37 (2)	-1104 (4-I-4)	-265 (3)	-99 (1)

Muro	Pann.	Sxx	Syy	Sxy	Mxx	Myy	Mxy
119	15	-2.76(3)	-1.23(4-I-1)	-0.59(2)	-1126(4-I-4)	-272(3)	-132(1)
119	16	-2.64(3)	-1.46(4-I-1)	-0.81(2)	-1133(4-I-4)	-287(3)	-172(1)
120	1	-1.55(1)	-3.01(1)	1.40(3)	30(3)	323(3)	262(3)
120	2	-2.00(1)	-3.08(1)	1.10(3)	-97(2)	-72(2)	392(3)
120	3	-2.52(1)	-3.05(1)	0.91(4-II-2)	-131(2)	-126(2)	333(1)
120	4	-3.30(3)	-3.21(1)	0.75(4-II-2)	-34(4-I-2)	-51(2)	314(1)
120	5	-1.28(1)	-3.25(1)	1.26(3)	55(1)	528(3)	51(3)
120	6	-2.10(1)	-2.98(1)	1.09(3)	-236(2)	-108(2)	69(3)
120	7	-2.57(1)	-2.89(1)	0.96(3)	-375(2)	-190(3)	62(3)
120	8	-3.18(1)	-2.79(1)	0.84(4-II-2)	-391(2)	-123(3)	74(1)
120	9	-1.28(1)	-3.40(1)	1.08(3)	53(1)	510(3)	-68(2)
120	10	-2.22(1)	-3.02(1)	1.01(3)	-333(3)	-113(2)	-94(4-I-2)
120	11	-2.60(1)	-2.69(1)	0.86(3)	-589(3)	-189(3)	-60(4-I-2)
120	12	-3.00(1)	-2.24(1)	0.74(4-II-2)	-727(3)	-156(3)	69(4-II-4)
120	13	-1.30(1)	-3.99(1)	0.92(3)	-75(3)	469(3)	-136(2)
120	14	-2.37(1)	-3.21(1)	0.67(3)	-420(3)	106(1)	-197(2)
120	15	-2.61(1)	-2.47(1)	0.65(4-II-3)	-733(3)	-175(3)	-124(1)
120	16	-2.79(1)	-1.70(1)	0.51(4-II-3)	-979(3)	-222(3)	119(4-II-2)
121	1	-0.20(3)	-1.30(1)	-0.11(3)	29(3)	103(3)	-257(2)
121	2	-0.30(3)	-0.97(1)	-0.15(3)	44(3)	41(1)	-166(2)
121	3	-0.34(3)	-0.65(1)	-0.16(3)	49(1)	7(1)	-110(2)
121	4	-0.37(3)	-0.33(1)	-0.14(3)	49(1)	-8(2)	-80(2)
121	5	-0.21(3)	-1.18(1)	-0.08(3)	55(1)	276(1)	-197(2)
121	6	-0.30(3)	-0.91(1)	-0.05(3)	71(1)	120(1)	-150(2)
121	7	-0.35(3)	-0.62(1)	-0.05(3)	79(1)	47(1)	-107(2)
121	8	-0.40(3)	-0.32(1)	-0.05(3)	77(1)	13(1)	-83(2)
121	9	-0.21(3)	-1.18(1)	0.08(3)	69(1)	340(1)	-162(2)
121	10	-0.30(3)	-0.90(1)	0.05(3)	88(1)	169(1)	-126(2)
121	11	-0.35(3)	-0.62(1)	0.05(3)	95(1)	72(1)	-100(2)
121	12	-0.40(3)	-0.32(1)	0.04(3)	93(1)	25(2)	-83(2)
121	13	-0.20(3)	-1.24(1)	0.11(3)	69(1)	364(1)	-103(2)
121	14	-0.30(3)	-0.92(1)	0.15(3)	85(1)	178(1)	-100(2)
121	15	-0.34(3)	-0.63(1)	0.15(3)	94(1)	85(2)	-91(2)
121	16	-0.37(3)	-0.32(1)	0.13(3)	93(1)	36(2)	-80(2)
122	1	-0.09(3)	-1.09(1)	0.10(1)	49(3)	233(3)	-92(3)
122	2	0.13(1)	-0.85(1)	0.12(1)	64(3)	95(3)	-57(3)
122	3	0.25(1)	-0.60(1)	0.15(1)	70(3)	35(3)	-30(2)
122	4	0.33(1)	-0.35(1)	0.13(1)	69(3)	10(3)	-17(2)
122	5	-0.08(3)	-1.07(1)	0.02(1)	48(3)	208(3)	-28(2)
122	6	0.11(1)	-0.85(1)	0.04(1)	71(3)	121(3)	-39(2)
122	7	0.24(1)	-0.61(1)	0.05(1)	81(3)	53(3)	-25(2)
122	8	0.35(1)	-0.36(1)	0.05(1)	82(3)	18(3)	-18(2)
122	9	-0.08(3)	-1.08(1)	0.04(3)	49(3)	220(3)	-46(2)
122	10	0.11(1)	-0.85(1)	-0.03(1)	73(3)	129(3)	-18(2)
122	11	0.24(1)	-0.61(1)	-0.05(1)	83(3)	58(3)	-17(2)
122	12	0.36(1)	-0.36(1)	-0.04(1)	85(3)	20(3)	-17(2)
122	13	-0.09(3)	-1.09(1)	-0.10(1)	55(3)	268(3)	28(3)
122	14	0.14(1)	-0.85(1)	-0.12(1)	70(3)	120(3)	10(5-I-2)
122	15	0.25(1)	-0.60(1)	-0.14(1)	77(3)	51(3)	-11(2)
122	16	0.34(1)	-0.35(1)	-0.13(1)	77(3)	18(3)	-16(2)
123	1	-0.42(3)	-0.15(1)	-0.10(3)	47(1)	-6(2)	-67(2)
123	2	-0.45(3)	-0.11(1)	-0.08(3)	46(1)	-4(2)	-59(2)
123	3	-0.49(3)	-0.07(1)	-0.05(3)	45(1)	-2(2)	-46(2)
123	4	-0.54(3)	-0.04(3)	-0.02(3)	46(1)	0	-21(2)
123	5	-0.46(3)	-0.14(1)	-0.04(3)	75(1)	4(1)	-71(2)
123	6	-0.50(3)	-0.10(1)	-0.03(3)	74(1)	2(5-I-1)	-63(2)
123	7	-0.55(3)	-0.07(1)	-0.02(3)	73(1)	0	-49(2)
123	8	-0.61(3)	-0.05(3)	-0.01(3)	73(1)	0	-22(2)
123	9	-0.46(3)	-0.14(1)	0.03(3)	91(1)	10(2)	-72(2)
123	10	-0.50(3)	-0.10(1)	0.03(3)	90(1)	5(2)	-63(2)
123	11	-0.55(3)	-0.07(1)	0.02(3)	90(1)	2(2)	-49(2)
123	12	-0.61(3)	-0.05(3)	0.01(3)	89(1)	0	-22(2)
123	13	-0.42(3)	-0.14(1)	0.10(3)	93(1)	15(2)	-69(2)
123	14	-0.45(3)	-0.11(1)	0.08(3)	92(1)	8(2)	-61(2)
123	15	-0.49(3)	-0.07(1)	0.05(3)	92(1)	3(2)	-47(2)
123	16	-0.54(3)	-0.04(3)	0.02(3)	92(1)	0	-21(2)
124	1	0.41(1)	-0.21(1)	0.10(1)	67(3)	3(5-I-1)	-13(2)
124	2	0.45(1)	-0.14(1)	0.08(1)	66(3)	2(5-I-1)	-12(2)
124	3	0.50(1)	-0.07(1)	0.05(1)	66(3)	0	-9(2)
124	4	0.57(1)	-0.02(3)	0.02(1)	66(3)	0	-4(2)
124	5	0.45(1)	-0.21(1)	0.03(1)	81(3)	6(3)	-15(2)
124	6	0.50(1)	-0.14(1)	0.03(1)	80(3)	3(3)	-13(2)
124	7	0.57(1)	-0.07(1)	0.02(1)	80(3)	1(5-I-1)	-10(2)
124	8	0.64(1)	-0.02(3)	0.01(1)	80(3)	0	-5(2)
124	9	0.45(1)	-0.21(1)	-0.03(1)	84(3)	7(3)	-15(2)

Muro	Pann.	Sxx	Syy	Sxy	Mxx	Myy	Mxy
124	10	0.50(1)	-0.14(1)	-0.03(1)	84(3)	4(3)	-14(2)
124	11	0.57(1)	-0.07(1)	-0.02(1)	83(3)	1(3)	-11(2)
124	12	0.64(1)	-0.02(3)	-0.01(1)	83(3)	0	-5(2)
124	13	0.41(1)	-0.21(1)	-0.10(1)	76(3)	7(3)	-15(2)
124	14	0.45(1)	-0.14(1)	-0.08(1)	76(3)	4(3)	-14(2)
124	15	0.50(1)	-0.07(1)	-0.05(1)	75(3)	1(3)	-11(2)
124	16	0.57(1)	-0.02(3)	-0.02(1)	75(3)	0	-5(2)
125	1	0.40(1)	-0.90(3)	0.51(1)	-52(3)	-487(3)	-152(3)
125	2	0.02(1)	-0.65(3)	0.25(1)	-14(3)	-208(3)	-55(3)
125	3	0.01(1)	-0.45(3)	0.15(1)	-7(3)	-87(3)	-23(2)
125	4	0.01(1)	-0.27(3)	0.09(1)	-3(2)	-33(3)	-10(2)
125	5	0.15(1)	-0.65(1)	0.36(1)	-36(2)	-281(3)	-176(3)
125	6	0.23(1)	-0.56(3)	0.45(1)	-19(2)	-147(3)	-88(3)
125	7	0.13(1)	-0.42(3)	0.32(1)	-9(1)	-67(3)	-33(2)
125	8	0.11(1)	-0.27(3)	0.21(1)	-3(1)	-26(2)	-15(2)
125	9	-0.09(3)	-0.97(1)	0.29(1)	-11(1)	-97(1)	-204(3)
125	10	0.20(1)	-0.69(1)	0.34(1)	11(3)	-53(2)	-85(3)
125	11	0.22(1)	-0.44(1)	0.33(1)	17(3)	-32(2)	-32(2)
125	12	0.22(1)	-0.26(1)	0.24(1)	20(3)	-14(2)	-15(2)
125	13	-0.10(3)	-1.08(1)	0.17(1)	35(3)	155(3)	-140(3)
125	14	0.17(1)	-0.82(1)	0.23(1)	44(3)	39(3)	-76(3)
125	15	0.24(1)	-0.55(1)	0.24(1)	48(3)	8(5-I-1)	-31(2)
125	16	0.29(1)	-0.32(1)	0.21(1)	46(3)	-3(5-II-1)	-15(2)
126	1	-0.78(3)	-2.86(3)	-0.90(3)	-85(3)	-810(2)	-270(3)
126	2	-0.05(3)	-1.90(3)	-0.33(3)	-24(3)	-392(2)	-110(2)
126	3	-0.01(3)	-1.13(3)	-0.16(3)	-13(2)	-197(2)	-60(2)
126	4	-0.01(3)	-0.51(3)	-0.08(3)	-9(2)	-91(2)	-36(2)
126	5	-0.42(3)	-1.23(1)	-0.44(3)	-61(2)	-466(2)	-286(2)
126	6	-0.44(3)	-1.23(3)	-0.56(3)	-43(2)	-308(2)	-177(2)
126	7	-0.20(3)	-0.86(3)	-0.35(3)	-27(2)	-168(2)	-97(2)
126	8	-0.12(3)	-0.45(3)	-0.21(3)	-22(2)	-79(2)	-61(2)
126	9	-0.33(3)	-1.28(1)	-0.21(3)	-29(1)	-222(2)	-306(2)
126	10	-0.37(3)	-1.00(1)	-0.35(3)	-22(1)	-178(2)	-179(2)
126	11	-0.31(3)	-0.71(1)	-0.35(3)	-15(2)	-112(2)	-104(2)
126	12	-0.24(3)	-0.37(1)	-0.24(3)	-14(2)	-55(2)	-69(2)
126	13	-0.23(3)	-1.37(1)	-0.22(3)	8(3)	-64(1)	-244(2)
126	14	-0.33(3)	-1.00(1)	-0.23(3)	17(3)	-67(2)	-177(2)
126	15	-0.33(3)	-0.67(1)	-0.25(3)	20(3)	-55(2)	-109(2)
126	16	-0.32(3)	-0.35(1)	-0.21(3)	18(3)	-31(2)	-75(2)
127	1	-0.02(3)	-0.24(3)	-0.04(3)	-8(2)	-41(2)	-23(2)
127	2	-0.02(3)	-0.15(3)	-0.03(3)	-9(2)	-24(2)	-18(2)
127	3	-0.01(3)	-0.08(3)	-0.01(3)	-9(2)	-10(2)	-12(2)
127	4	-0.00(3)	-0.02(1)	-0.00(3)	-8(2)	-2(2)	-4(2)
127	5	-0.10(3)	-0.21(3)	-0.12(3)	-21(2)	-38(2)	-45(2)
127	6	-0.10(3)	-0.14(3)	-0.09(3)	-22(2)	-22(2)	-38(2)
127	7	-0.09(3)	-0.08(3)	-0.06(3)	-22(2)	-10(2)	-28(2)
127	8	-0.07(3)	-0.02(1)	-0.02(3)	-18(2)	-2(2)	-13(2)
127	9	-0.22(3)	-0.16(1)	-0.16(3)	-15(2)	-26(2)	-55(2)
127	10	-0.22(3)	-0.12(1)	-0.13(3)	-15(2)	-15(2)	-48(2)
127	11	-0.23(3)	-0.07(3)	-0.08(3)	-15(2)	-6(2)	-37(2)
127	12	-0.23(3)	-0.02(1)	-0.03(3)	-14(2)	0	-17(2)
127	13	-0.33(3)	-0.15(1)	-0.15(3)	15(1)	-15(2)	-62(2)
127	14	-0.35(3)	-0.11(1)	-0.12(3)	15(1)	-9(2)	-54(2)
127	15	-0.37(3)	-0.07(3)	-0.07(3)	15(1)	-4(2)	-42(2)
127	16	-0.40(3)	-0.03(3)	-0.02(3)	15(1)	0	-19(2)
128	1	0.02(1)	-0.17(3)	0.05(1)	-1(2)	-14(2)	-6(2)
128	2	0.02(1)	-0.12(3)	0.03(1)	-1(1)	-8(2)	-4(2)
128	3	0.02(1)	-0.07(3)	0.01(1)	-1(1)	-3(2)	-3(2)
128	4	0.01(1)	-0.04(1)	0.00(1)	0	0	0
128	5	0.11(1)	-0.16(3)	0.13(1)	4(3)	-11(2)	-10(2)
128	6	0.11(1)	-0.12(3)	0.10(1)	4(3)	-6(2)	-8(2)
128	7	0.10(1)	-0.07(3)	0.06(1)	5(3)	-3(2)	-6(2)
128	8	0.08(1)	-0.04(1)	0.02(1)	6(3)	0	-3(2)
128	9	0.22(1)	-0.17(1)	0.17(1)	21(3)	-6(2)	-11(2)
128	10	0.23(1)	-0.12(1)	0.13(1)	21(3)	-4(2)	-9(2)
128	11	0.24(1)	-0.07(3)	0.08(1)	21(3)	-1(5-II-1)	-7(2)
128	12	0.25(1)	-0.03(1)	0.03(1)	22(3)	0	-3(2)
128	13	0.33(1)	-0.21(1)	0.15(1)	45(3)	-2(5-II-1)	-12(2)
128	14	0.36(1)	-0.13(1)	0.12(1)	44(3)	-1(5-II-1)	-10(2)
128	15	0.39(1)	-0.07(1)	0.08(1)	44(3)	0	-8(2)
128	16	0.43(1)	-0.02(3)	0.02(1)	44(3)	0	-4(2)
129	1	0.72(3)	-0.83(1)	-0.32(2)	273(1)	1323(1)	-90(1)
129	2	0.59(3)	-0.63(1)	-0.46(2)	-301(4-I-4)	-1603(4-I-4)	-100(1)
129	3	0.43(3)	-0.46(1)	-0.57(2)	-409(4-I-4)	-2727(4-I-4)	140(4-I-1)
129	4	0.26(2)	-0.32(1)	-0.62(2)	-520(4-I-4)	-3953(4-I-4)	181(4-I-1)

Muro	Pann.	Sxx	Syy	Sxy	Mxx	Myy	Mxy
129	5	0.87(3)	-1.07(1)	-0.40(2)	301(1)	1291(1)	-143(1)
129	6	0.71(3)	-0.98(1)	-0.50(2)	-311(4-I-4)	-1545(4-I-4)	-155(1)
129	7	0.50(3)	-0.96(1)	-0.56(2)	-409(4-I-4)	-2682(4-I-4)	177(4-I-1)
129	8	0.23(2)	-1.00(1)	-0.53(2)	-517(4-I-4)	-3882(4-I-4)	205(4-I-1)
129	9	1.00(3)	-1.19(1)	-0.40(2)	322(1)	1248(1)	-202(1)
129	10	0.78(3)	-1.16(1)	-0.45(2)	-326(4-I-4)	-1472(4-I-4)	-211(1)
129	11	0.51(2)	-1.20(1)	-0.43(2)	-415(4-I-4)	-2657(4-I-4)	226(4-I-1)
129	12	0.17(2)	-1.32(1)	-0.38(2)	-524(4-I-4)	-3884(4-I-4)	219(4-I-1)
129	13	1.10(3)	-1.16(1)	-0.37(2)	302(1)	1202(1)	-265(1)
129	14	0.77(3)	-1.13(1)	-0.38(2)	-351(4-I-4)	-1367(4-I-4)	-259(1)
129	15	0.40(2)	-1.14(1)	-0.28(4-I-1)	-436(4-I-4)	-2660(4-I-4)	302(4-I-1)
129	16	0.08(2)	-1.25(1)	0.45(1)	-541(4-I-4)	-3991(4-I-4)	240(4-I-1)
130	1	-0.11(1)	-2.30(1)	0.55(5-II-2)	-305(1)	-2582(1)	59(1)
130	2	0.38(3)	-1.97(1)	0.45(5-II-2)	62(1)	412(4-I-4)	105(1)
130	3	0.64(3)	-1.67(1)	0.33(5-II-2)	306(1)	1402(1)	-97(4-I-1)
130	4	0.79(3)	-1.39(1)	0.18(5-II-2)	419(1)	2033(1)	-75(4-I-1)
130	5	-0.19(1)	-2.09(1)	0.54(5-II-2)	-266(1)	-2420(1)	96(1)
130	6	0.50(3)	-1.87(1)	0.49(5-II-2)	105(1)	379(4-I-4)	167(1)
130	7	0.81(3)	-1.66(1)	0.34(5-II-2)	347(1)	1347(1)	-132(4-I-1)
130	8	0.97(3)	-1.44(1)	0.16(5-II-2)	456(1)	1949(1)	-102(4-I-1)
130	9	-0.16(1)	-1.86(1)	0.75(3)	-232(1)	-2250(1)	177(1)
130	10	0.65(3)	-1.75(1)	0.58(3)	141(1)	334(4-I-4)	237(1)
130	11	1.01(3)	-1.57(1)	0.38(5-II-2)	382(1)	1258(1)	183(1)
130	12	1.19(3)	-1.41(1)	0.17(5-II-2)	487(1)	1819(1)	-142(4-I-1)
130	13	0.23(3)	-1.88(1)	0.89(3)	-225(1)	-2120(1)	256(1)
130	14	0.89(3)	-1.58(1)	0.66(3)	134(1)	277(4-I-4)	323(1)
130	15	1.25(3)	-1.43(2)	0.43(5-II-2)	376(1)	1122(1)	241(1)
130	16	1.42(3)	-1.32(2)	0.21(5-II-2)	478(1)	1627(1)	-200(4-I-1)
131	1	0.81(3)	-1.22(1)	-0.16(5-I-2)	432(1)	2099(1)	-45(4-I-1)
131	2	0.81(3)	-1.14(1)	-0.19(5-I-2)	416(1)	2033(1)	-36(1)
131	3	0.80(3)	-1.06(1)	-0.22(5-I-2)	392(1)	1916(1)	-53(1)
131	4	0.78(3)	-0.98(1)	-0.24(5-I-2)	358(1)	1752(1)	-67(1)
131	5	1.00(3)	-1.32(1)	-0.20(5-I-2)	466(1)	2016(1)	-61(4-I-1)
131	6	1.00(3)	-1.27(1)	-0.23(5-I-2)	449(1)	1955(1)	-62(1)
131	7	0.98(3)	-1.22(1)	-0.26(5-I-2)	423(1)	1847(1)	-88(1)
131	8	0.95(3)	-1.19(1)	-0.30(2)	388(1)	1694(1)	-111(1)
131	9	1.21(3)	-1.34(1)	-0.20(5-I-2)	493(1)	1889(1)	-89(4-I-1)
131	10	1.19(3)	-1.30(1)	-0.24(5-I-2)	474(1)	1839(1)	-96(1)
131	11	1.16(3)	-1.28(1)	-0.27(2)	445(1)	1746(1)	-132(1)
131	12	1.12(3)	-1.28(1)	-0.32(2)	409(1)	1611(1)	-162(1)
131	13	1.43(3)	-1.27(2)	-0.19(5-I-2)	478(1)	1710(1)	-145(4-I-1)
131	14	1.40(3)	-1.24(2)	-0.23(5-I-2)	455(1)	1681(1)	-146(1)
131	15	1.35(3)	-1.22(1)	-0.26(5-I-2)	424(1)	1613(1)	-191(1)
131	16	1.28(3)	-1.23(1)	-0.31(2)	385(1)	1507(1)	-227(1)
132	1	-0.16(1)	-2.17(1)	1.06(1)	-291(1)	-2513(1)	-42(1)
132	2	0.25(4-I-3)	-1.73(1)	1.00(1)	92(1)	512(4-I-1)	-92(1)
132	3	0.42(4-I-3)	-1.30(1)	0.99(1)	355(1)	1437(1)	-97(1)
132	4	0.54(4-I-3)	-0.89(1)	0.95(1)	487(1)	2043(1)	-46(1)
132	5	-0.26(1)	-2.11(1)	0.70(1)	-295(1)	-2538(1)	14(5-II-2)
132	6	0.23(4-I-3)	-1.78(1)	0.78(1)	69(1)	490(4-I-1)	-32(1)
132	7	0.41(4-I-3)	-1.41(1)	0.75(1)	312(1)	1449(1)	-41(1)
132	8	0.52(4-I-3)	-1.02(1)	0.71(1)	433(1)	2087(1)	-31(5-I-2)
132	9	-0.25(1)	-2.16(1)	0.70(1)	-303(1)	-2574(1)	37(1)
132	10	0.24(4-I-3)	-1.86(1)	0.59(1)	53(1)	466(4-I-4)	-35(4-I-1)
132	11	0.43(4-I-3)	-1.52(1)	0.54(1)	288(1)	1447(1)	-47(4-I-1)
132	12	0.53(4-I-3)	-1.15(1)	0.48(1)	402(1)	2098(1)	-40(4-I-1)
132	13	-0.14(1)	-2.30(1)	0.48(5-II-1)	-317(1)	-2629(1)	56(1)
132	14	0.29(3)	-1.95(1)	0.46(5-II-1)	44(1)	440(4-I-4)	-58(4-I-1)
132	15	0.51(3)	-1.62(1)	0.36(5-II-2)	285(1)	1433(1)	-70(4-I-1)
132	16	0.64(3)	-1.28(1)	0.29(1)	398(1)	2080(1)	-55(4-I-1)
133	1	0.56(5-I-1)	0.46(5-II-1)	0.88(1)	361(1)	1332(1)	91(1)
133	2	0.49(5-I-1)	0.74(5-II-1)	0.87(1)	-257(4-I-1)	-1724(4-I-1)	104(1)
133	3	0.40(5-I-1)	1.03(5-II-1)	0.88(1)	-379(4-I-1)	-2832(4-I-1)	70(1)
133	4	0.38(2)	1.34(3)	0.88(1)	-506(4-I-1)	-4046(4-I-1)	-95(5-II-2)
133	5	0.50(4-I-3)	0.34(5-II-1)	0.60(1)	308(1)	1352(1)	43(1)
133	6	0.41(5-I-1)	0.64(5-II-1)	0.58(1)	-264(4-I-1)	-1711(4-I-1)	45(1)
133	7	0.33(5-I-1)	1.01(3)	0.60(1)	-378(4-I-1)	-2827(4-I-1)	36(5-I-2)
133	8	0.40(2)	1.43(3)	0.63(1)	-492(4-I-1)	-4045(4-I-1)	-111(1)
133	9	0.48(4-I-3)	-0.28(1)	0.32(1)	272(1)	1355(1)	18(4-I-3)
133	10	0.38(4-I-3)	0.46(5-II-1)	0.27(1)	-275(4-I-1)	-1686(4-I-1)	42(4-I-1)
133	11	0.29(3)	0.87(3)	0.24(1)	-383(4-I-1)	-2808(4-I-1)	69(4-I-1)
133	12	0.34(2)	1.37(3)	0.29(1)	-492(4-I-1)	-4048(4-I-1)	-132(1)
133	13	0.57(3)	-0.54(1)	-0.18(5-I-2)	260(1)	1345(1)	-42(1)
133	14	0.45(3)	-0.22(1)	-0.27(2)	-288(4-I-4)	-1650(4-I-4)	67(4-I-1)
133	15	0.32(3)	0.49(3)	-0.36(2)	-397(4-I-4)	-2773(4-I-4)	107(4-I-1)

Muro	Pann.	Sxx	Syy	Sxy	Mxx	Myy	Mxy
133	16	0.26(2)	0.93(3)	-0.41(2)	-512(4-I-4)	-4021(4-I-4)	137(4-I-1)
134	1	0.59(4-I-3)	-0.63(1)	0.93(1)	510(1)	2098(1)	-21(5-I-2)
134	2	0.60(4-I-3)	-0.50(1)	0.91(1)	499(1)	2029(1)	24(1)
134	3	0.60(4-I-3)	-0.37(1)	0.90(1)	477(1)	1912(1)	44(1)
134	4	0.59(5-I-1)	0.30(5-II-1)	0.89(1)	446(1)	1749(1)	63(1)
134	5	0.55(4-I-3)	-0.76(1)	0.68(1)	453(1)	2148(1)	-21(4-I-1)
134	6	0.56(4-I-3)	-0.63(1)	0.66(1)	441(1)	2078(1)	-18(4-I-1)
134	7	0.55(4-I-3)	-0.49(1)	0.64(1)	420(1)	1957(1)	22(1)
134	8	0.53(4-I-3)	-0.34(1)	0.62(1)	389(1)	1789(1)	30(1)
134	9	0.56(4-I-3)	-0.90(1)	0.43(1)	419(1)	2164(1)	-27(4-I-1)
134	10	0.56(4-I-3)	-0.78(1)	0.41(1)	406(1)	2093(1)	-20(4-I-1)
134	11	0.55(4-I-3)	-0.65(1)	0.39(1)	384(1)	1971(1)	-12(4-I-1)
134	12	0.53(4-I-3)	-0.50(1)	0.37(1)	353(1)	1800(1)	8(4-I-1)
134	13	0.66(3)	-1.07(1)	0.23(1)	412(1)	2147(1)	-35(4-I-1)
134	14	0.66(3)	-0.97(1)	0.20(1)	399(1)	2078(1)	-24(4-I-1)
134	15	0.65(3)	-0.86(1)	0.17(1)	375(1)	1957(1)	-24(1)
134	16	0.63(3)	-0.73(1)	-0.15(5-I-2)	343(1)	1787(1)	-31(1)
135	1	0.85(5-I-1)	1.14(3)	1.47(1)	379(1)	980(1)	406(1)
135	2	0.84(5-I-1)	1.18(3)	1.47(1)	-264(4-I-1)	-1726(4-I-1)	455(1)
135	3	0.66(5-I-1)	1.17(3)	1.36(1)	-405(4-I-1)	-2871(4-I-1)	439(1)
135	4	-0.18(5-II-1)	1.13(3)	1.09(1)	-611(4-I-1)	-4112(4-I-1)	300(1)
135	5	0.84(5-I-1)	0.73(3)	1.42(1)	467(1)	1104(1)	312(1)
135	6	0.80(5-I-1)	0.84(3)	1.38(1)	300(1)	-1729(4-I-1)	366(1)
135	7	0.61(5-I-1)	0.95(5-II-1)	1.28(1)	-377(4-I-1)	-2850(4-I-1)	341(1)
135	8	0.23(5-I-1)	1.05(5-II-1)	1.12(1)	-529(4-I-1)	-4016(4-I-1)	172(5-I-1)
135	9	0.76(5-I-1)	0.58(5-II-1)	1.29(1)	468(1)	1210(1)	225(1)
135	10	0.70(5-I-1)	0.79(5-II-1)	1.26(1)	297(1)	-1731(4-I-1)	270(1)
135	11	0.53(5-I-1)	0.98(5-II-1)	1.20(1)	-363(4-I-1)	-2836(4-I-1)	242(1)
135	12	0.29(2)	1.16(5-II-1)	1.11(1)	-509(4-I-1)	-3987(4-I-1)	-145(5-II-1)
135	13	0.66(5-I-1)	0.53(5-II-1)	1.11(1)	421(1)	1286(1)	151(1)
135	14	0.59(5-I-1)	0.78(5-II-1)	1.10(1)	253(1)	-1729(4-I-1)	181(1)
135	15	0.46(5-I-1)	1.03(5-II-1)	1.07(1)	-373(4-I-1)	-2832(4-I-1)	149(1)
135	16	0.32(2)	1.28(5-II-1)	1.04(1)	-513(4-I-1)	-4029(4-I-1)	-131(5-II-2)
136	1	-0.12(1)	-1.10(1)	2.04(1)	-87(1)	-1329(1)	-396(1)
136	2	-0.24(1)	-0.69(1)	2.04(1)	267(1)	528(4-I-1)	-575(1)
136	3	-0.39(1)	0.60(4-I-4)	1.88(1)	493(1)	960(1)	-450(1)
136	4	0.49(4-I-3)	0.85(4-I-4)	1.62(1)	578(1)	1260(1)	-134(1)
136	5	-0.19(1)	-1.40(1)	1.78(1)	-132(1)	-1729(1)	-263(1)
136	6	0.22(4-I-4)	-1.03(1)	1.80(1)	275(1)	554(4-I-1)	-431(1)
136	7	0.39(4-I-4)	-0.64(1)	1.69(1)	544(1)	1185(1)	-358(1)
136	8	0.57(4-I-3)	0.36(4-I-1)	1.55(1)	660(1)	1586(1)	-130(1)
136	9	-0.21(1)	-1.78(1)	1.64(1)	-198(1)	-2084(1)	-140(1)
136	10	0.26(4-I-4)	-1.34(1)	1.54(1)	214(1)	549(4-I-1)	-295(1)
136	11	0.43(4-I-3)	-0.93(1)	1.48(1)	496(1)	1323(1)	-262(1)
136	12	0.59(4-I-3)	-0.56(1)	1.40(1)	629(1)	1811(1)	-109(1)
136	13	-0.14(1)	-2.08(1)	1.20(1)	-260(1)	-2372(1)	-70(1)
136	14	0.26(4-I-3)	-1.59(1)	1.27(1)	140(1)	532(4-I-1)	-181(1)
136	15	0.44(4-I-3)	-1.15(1)	1.24(1)	420(1)	1400(1)	-172(1)
136	16	0.57(4-I-3)	-0.75(1)	1.19(1)	559(1)	1956(1)	-78(1)
137	1	0.65(4-I-3)	0.93(4-I-4)	1.47(1)	570(1)	1312(1)	97(1)
137	2	0.72(4-I-3)	0.98(4-I-4)	1.44(1)	543(1)	1300(1)	182(1)
137	3	0.78(4-I-3)	1.01(4-I-4)	1.43(1)	508(1)	1259(1)	259(1)
137	4	0.83(4-I-3)	1.02(3)	1.44(1)	467(1)	1192(1)	323(1)
137	5	0.70(4-I-3)	0.43(3)	1.47(1)	665(1)	1624(1)	52(5-II-1)
137	6	0.74(4-I-3)	0.53(3)	1.44(1)	641(1)	1580(1)	113(1)
137	7	0.78(4-I-3)	0.57(3)	1.43(1)	608(1)	1503(1)	177(1)
137	8	0.82(4-I-3)	0.61(3)	1.42(1)	565(1)	1395(1)	232(1)
137	9	0.69(4-I-3)	-0.38(1)	1.35(1)	647(1)	1848(1)	36(5-II-1)
137	10	0.71(4-I-3)	0.31(5-II-1)	1.33(1)	629(1)	1790(1)	67(1)
137	11	0.74(4-I-3)	0.38(5-II-1)	1.32(1)	601(1)	1692(1)	116(1)
137	12	0.76(5-I-1)	0.46(5-II-1)	1.31(1)	563(1)	1557(1)	159(1)
137	13	0.64(4-I-3)	-0.51(1)	1.16(1)	582(1)	2002(1)	-25(5-I-2)
137	14	0.66(4-I-3)	-0.38(1)	1.15(1)	569(1)	1936(1)	40(1)
137	15	0.67(4-I-3)	0.29(5-II-1)	1.13(1)	545(1)	1826(1)	74(1)
137	16	0.67(5-I-1)	0.39(5-II-1)	1.12(1)	511(1)	1675(1)	104(1)
138	1	-0.25(1)	-2.57(3)	0.56(1)	-190(2)	-487(2)	436(2)
138	2	-0.25(1)	-2.15(3)	0.43(1)	-227(2)	-673(2)	324(2)
138	3	-0.27(1)	-1.80(3)	0.35(4-I-4)	-252(2)	-804(2)	185(2)
138	4	-0.29(1)	-1.49(1)	0.31(4-I-4)	-265(2)	-891(2)	34(2)
138	5	-0.15(1)	-2.60(3)	0.40(1)	-123(2)	-512(2)	415(2)
138	6	-0.15(1)	-2.18(3)	0.31(1)	-149(2)	-707(2)	308(2)
138	7	-0.17(1)	-1.83(3)	0.25(4-I-4)	-165(2)	-843(2)	177(2)
138	8	-0.18(1)	-1.53(3)	0.22(4-I-4)	-174(2)	-932(2)	32(2)
138	9	-0.10(1)	-2.60(3)	0.23(1)	-58(2)	-530(2)	362(2)
138	10	-0.10(1)	-2.19(3)	0.18(1)	-71(2)	-733(2)	269(2)

**POTENZIAMENTO DELL'IMPIANTO DI DEPURAZIONE E
DEL RECAPITO FINALE DI SQUINZANO (LE)
PROGETTO DEFINITIVO
Tabulati di calcolo strutturale-Edificio Grigliatura
Grossolana**

R.37.11

Maggio 2021

Pagina 75 di 183

Muro	Pann.	Sxx	Syy	Sxy	Mxx	Myy	Mxy
138	11	-0.09(1)	-1.84(3)	0.15(4-I-4)	-80(2)	-873(2)	154(2)
138	12	-0.09(1)	-1.55(3)	0.13(4-I-4)	-84(2)	-964(2)	29(2)
138	13	-0.01(4-II-2)	-2.58(3)	0.06(1)	-10(2)	-531(2)	196(2)
138	14	0.04(1)	-2.19(3)	0.05(4-I-4)	-14(2)	-736(2)	145(2)
138	15	0.03(1)	-1.86(3)	0.05(4-I-4)	-15(2)	-877(2)	84(2)
138	16	0.02(1)	-1.57(3)	0.04(4-I-4)	-16(2)	-968(2)	16(2)
139	1	-0.29(1)	-1.31(1)	0.29(4-I-4)	-268(2)	-934(2)	-120(2)
139	2	-0.28(1)	-1.22(1)	0.27(4-I-4)	-259(2)	-922(2)	-266(2)
139	3	-0.26(1)	-1.19(1)	0.29(4-I-4)	-233(2)	-836(2)	-392(2)
139	4	-0.20(1)	-1.23(1)	0.37(4-I-4)	-187(2)	-637(2)	-478(2)
139	5	-0.19(1)	-1.31(1)	0.20(4-I-4)	-175(2)	-974(2)	-114(2)
139	6	-0.19(1)	-1.24(1)	0.19(4-I-4)	-167(2)	-959(2)	-253(2)
139	7	-0.17(1)	-1.23(1)	0.21(4-I-4)	-148(2)	-863(2)	-372(2)
139	8	-0.12(1)	-1.27(1)	0.29(4-I-4)	-115(2)	-649(2)	-454(2)
139	9	-0.10(1)	-1.31(3)	0.12(4-I-4)	-84(2)	-1005(2)	-99(2)
139	10	-0.10(1)	-1.24(1)	0.11(4-I-4)	-80(2)	-986(2)	-220(2)
139	11	-0.11(1)	-1.26(1)	0.13(4-I-4)	-70(2)	-883(2)	-323(2)
139	12	-0.09(1)	-1.30(1)	0.18(4-I-4)	-52(2)	-658(2)	-396(2)
139	13	-0.02(4-I-4)	-1.34(3)	0.04(4-I-4)	-16(2)	-1009(2)	-53(2)
139	14	-0.03(4-I-4)	-1.23(1)	0.04(4-I-4)	-15(2)	-989(2)	-118(2)
139	15	-0.06(4-I-4)	-1.28(1)	0.04(4-I-4)	-13(2)	-884(2)	-174(2)
139	16	-0.11(3)	-1.34(1)	0.07(4-I-4)	-10(2)	-657(2)	-215(2)
140	1	-0.10(1)	-1.32(1)	0.56(4-I-4)	-124(2)	-305(2)	-508(2)
140	2	0.20(4-I-4)	-1.45(1)	0.86(4-I-4)	-49(2)	292(4-I-4)	-475(2)
140	3	0.38(4-I-4)	-1.69(1)	1.12(4-I-4)	82(4-I-4)	907(3)	-357(2)
140	4	-0.96(1)	-1.86(1)	0.87(4-I-4)	-97(1)	1797(3)	246(4-I-4)
140	5	-0.05(1)	-1.30(1)	0.46(4-I-4)	-71(2)	-299(2)	-483(2)
140	6	0.14(4-I-4)	-1.27(1)	0.76(4-I-4)	-17(2)	325(4-I-4)	-452(2)
140	7	0.30(4-I-4)	-1.28(1)	1.20(4-I-4)	88(4-I-4)	994(3)	-324(2)
140	8	-0.73(1)	-1.52(1)	0.92(4-I-4)	-123(1)	2064(3)	249(4-I-4)
140	9	-0.05(1)	-1.28(1)	0.30(4-I-4)	-29(2)	-294(2)	-423(2)
140	10	0.07(4-I-4)	-1.11(1)	0.51(4-I-4)	7(4-I-4)	350(4-I-4)	-400(2)
140	11	0.05(4-I-4)	2.08(4-I-4)	1.09(4-I-4)	76(3)	1068(3)	-284(2)
140	12	0.29(4-I-4)	2.21(4-I-4)	0.98(4-I-4)	-159(1)	2384(3)	238(4-I-4)
140	13	-0.21(3)	-1.28(1)	0.11(4-I-4)	-3(2)	-289(2)	-230(2)
140	14	-0.25(3)	1.37(4-I-4)	0.21(4-I-4)	-9(1)	356(4-I-4)	-223(2)
140	15	-0.13(1)	2.77(4-I-4)	0.25(4-I-4)	43(3)	1073(3)	-163(2)
140	16	1.12(4-I-4)	5.77(4-I-4)	1.17(4-I-4)	-196(1)	2745(3)	175(4-I-4)
141	1	-1.59(1)	-1.53(1)	1.71(1)	1273(3)	102(3)	444(2)
141	2	-1.40(1)	-1.30(1)	1.62(1)	1295(3)	112(3)	383(2)
141	3	-1.61(1)	-0.86(1)	1.63(3)	1197(3)	87(3)	270(2)
141	4	-1.80(1)	-0.67(1)	1.30(3)	1038(3)	-160(1)	106(2)
141	5	-1.26(1)	-1.85(1)	1.56(1)	176(3)	-123(2)	532(2)
141	6	-1.13(1)	-1.63(1)	1.36(1)	152(3)	-196(2)	411(2)
141	7	-1.19(1)	-1.32(1)	1.25(3)	-238(1)	-281(2)	259(2)
141	8	-1.24(1)	-1.04(1)	1.11(3)	-318(1)	-366(2)	106(2)
141	9	-0.87(1)	-2.22(1)	1.28(1)	-301(2)	-298(2)	502(2)
141	10	-0.77(1)	-1.91(1)	1.07(1)	-354(2)	-418(2)	372(2)
141	11	-0.78(1)	-1.60(1)	0.92(3)	-400(2)	-518(2)	218(2)
141	12	-0.79(1)	-1.32(1)	0.80(3)	-442(2)	-597(2)	56(2)
141	13	-0.47(1)	-2.50(1)	0.88(1)	-300(2)	-423(2)	462(2)
141	14	-0.42(1)	-2.10(1)	0.70(1)	-352(2)	-585(2)	342(2)
141	15	-0.42(1)	-1.75(1)	0.58(3)	-389(2)	-703(2)	195(2)
141	16	-0.42(1)	-1.48(1)	0.51(4-I-4)	-413(2)	-786(2)	37(2)
142	1	-1.57(1)	-0.74(1)	1.13(3)	914(3)	-222(1)	-46(2)
142	2	-1.55(1)	-0.36(1)	1.06(3)	778(3)	-162(1)	-205(2)
142	3	-1.56(1)	0.23(3)	0.96(3)	-625(1)	-139(1)	-359(2)
142	4	-1.52(1)	0.57(3)	0.68(4-I-4)	-712(1)	-184(1)	-541(2)
142	5	-1.17(1)	-0.84(1)	0.92(3)	-377(1)	-405(2)	57(1)
142	6	-1.15(1)	-0.65(1)	0.82(4-I-4)	-414(1)	-409(2)	-220(2)
142	7	-1.07(1)	-0.44(1)	0.73(4-I-4)	-421(1)	-404(2)	-405(2)
142	8	-0.92(1)	-0.30(1)	0.59(4-I-4)	-391(1)	-390(2)	-559(2)
142	9	-0.77(1)	-1.10(1)	0.71(4-I-4)	-481(2)	-644(2)	-109(2)
142	10	-0.73(1)	-0.94(1)	0.64(4-I-4)	-509(2)	-652(2)	-278(2)
142	11	-0.64(1)	-0.85(1)	0.59(4-I-4)	-513(2)	-622(2)	-438(2)
142	12	-0.45(1)	-0.85(1)	0.54(4-I-4)	-478(2)	-527(2)	-560(2)
142	13	-0.42(1)	-1.28(1)	0.46(4-I-4)	-425(2)	-831(2)	-123(2)
142	14	-0.39(1)	-1.16(1)	0.44(4-I-4)	-422(2)	-829(2)	-279(2)
142	15	-0.32(1)	-1.11(1)	0.43(4-I-4)	-394(2)	-764(2)	-415(2)
142	16	-0.19(1)	-1.16(1)	0.48(4-I-4)	-336(2)	-604(2)	-511(2)
143	1	-1.08(1)	0.59(2)	0.52(4-I-4)	-677(1)	-222(1)	-691(2)
143	2	-0.75(1)	1.01(3)	-0.62(1)	-530(1)	-129(1)	-749(2)
143	3	0.21(3)	1.59(3)	-1.03(1)	-430(1)	120(2)	-710(2)
143	4	2.14(1)	2.69(1)	-1.48(1)	-163(1)	621(2)	-224(2)
143	5	-0.56(1)	-0.28(1)	-0.54(1)	-381(2)	-293(2)	-645(2)

Muro	Pann.	Sxx	Syy	Sxy	Mxx	Myy	Mxy
143	6	-0.16(1)	-0.37(1)	-0.87(1)	-327(2)	-124(1)	-654(2)
143	7	0.55(3)	-0.61(1)	-1.02(1)	-223(2)	337(2)	-567(2)
143	8	0.58(2)	-1.46(1)	0.73(3)	10(4-I-4)	1194(2)	-285(2)
143	9	-0.15(1)	-1.01(1)	0.49(4-I-4)	-403(2)	-336(2)	-611(2)
143	10	0.30(4-I-4)	-1.32(1)	-0.48(1)	-293(2)	-123(1)	-580(2)
143	11	0.27(3)	-1.79(1)	0.48(4-I-4)	-133(3)	523(2)	-486(2)
143	12	-0.58(1)	-2.16(1)	0.80(3)	31(4-I-4)	1262(2)	-158(2)
143	13	0.17(4-I-4)	-1.33(1)	0.60(4-I-4)	-251(2)	-322(2)	-545(2)
143	14	0.35(4-I-4)	-1.63(1)	0.77(4-I-4)	-147(2)	209(4-I-4)	-508(2)
143	15	0.31(4-I-4)	-2.07(1)	0.84(4-I-4)	-20(4-II-4)	730(3)	-395(2)
143	16	-1.00(1)	-2.38(1)	0.82(4-I-4)	83(4-I-4)	1505(2)	160(4-I-4)
144	1	-2.25(2)	-0.17(1)	3.60(1)	985(3)	274(3)	-535(2)
144	2	-2.09(2)	-0.26(1)	3.64(1)	892(3)	252(3)	-306(2)
144	3	-2.00(2)	-0.28(1)	3.61(1)	785(3)	179(3)	-146(2)
144	4	-1.96(2)	-0.27(1)	3.59(3)	-789(1)	135(3)	-52(2)
144	5	-1.98(2)	-0.73(3)	3.56(1)	1114(2)	386(2)	-56(2)
144	6	-1.91(2)	-0.58(1)	3.57(1)	1546(2)	489(2)	-121(2)
144	7	-1.80(2)	-0.48(1)	3.52(1)	1781(2)	418(2)	-90(2)
144	8	-1.73(2)	-0.37(1)	3.49(3)	1874(2)	354(2)	-53(2)
144	9	-2.03(3)	-0.90(1)	3.40(1)	1034(2)	263(2)	337(2)
144	10	-1.77(3)	-0.81(2)	3.39(1)	1314(2)	382(2)	208(2)
144	11	-1.62(3)	-0.67(1)	3.37(1)	1544(2)	361(2)	100(2)
144	12	-1.49(3)	-0.50(1)	3.30(3)	1703(2)	315(2)	36(2)
144	13	-1.63(3)	-1.50(1)	3.01(1)	299(1)	-27(3)	548(2)
144	14	-1.80(3)	-1.11(1)	3.08(1)	559(1)	65(2)	447(2)
144	15	-1.44(3)	-0.82(1)	3.20(1)	852(1)	135(1)	373(2)
144	16	-1.17(3)	-0.61(1)	3.07(3)	1130(1)	127(1)	252(2)
145	1	-1.93(2)	-0.23(1)	3.57(3)	-783(1)	111(3)	-48(1)
145	2	-1.89(2)	-0.17(1)	3.54(3)	-730(1)	99(3)	61(2)
145	3	-1.81(2)	-0.12(2)	3.46(3)	-637(1)	98(3)	119(2)
145	4	-1.65(2)	-0.07(2)	3.33(3)	-513(1)	108(3)	199(2)
145	5	-1.68(2)	-0.22(1)	3.46(3)	1892(2)	320(2)	-31(3)
145	6	-1.62(2)	-0.05(1)	3.42(3)	1858(2)	314(2)	-14(3)
145	7	-1.49(2)	0.12(3)	3.35(3)	1775(2)	333(2)	15(2)
145	8	-1.28(2)	0.29(1)	3.26(3)	1632(2)	372(2)	58(2)
145	9	-1.46(3)	-0.26(1)	3.24(3)	1786(2)	291(2)	16(1)
145	10	-1.37(3)	0.07(3)	3.20(3)	1798(2)	292(2)	-60(2)
145	11	-1.19(3)	0.29(3)	3.14(3)	1747(2)	322(2)	-100(2)
145	12	-0.97(2)	0.58(1)	3.05(3)	1618(2)	363(2)	-151(2)
145	13	-1.30(3)	-0.27(1)	2.96(3)	1217(1)	96(1)	139(3)
145	14	-1.15(3)	-0.05(1)	2.89(3)	1190(1)	129(1)	94(1)
145	15	-0.90(3)	0.30(3)	2.85(3)	1173(1)	157(1)	66(1)
145	16	-0.61(3)	0.62(1)	2.66(3)	1144(1)	144(1)	-169(2)
146	1	-1.40(2)	-0.08(3)	3.14(3)	-379(1)	129(3)	303(2)
146	2	-1.11(2)	-0.15(3)	2.87(3)	295(3)	140(3)	427(2)
146	3	-1.01(1)	-0.31(3)	2.56(3)	349(3)	72(3)	524(2)
146	4	-1.49(1)	-0.55(1)	2.06(3)	478(3)	-355(2)	537(3)
146	5	-0.99(2)	0.39(1)	3.15(3)	1417(2)	412(2)	117(2)
146	6	-0.61(2)	0.43(1)	3.01(3)	1105(2)	390(3)	186(2)
146	7	-0.34(1)	0.37(1)	2.65(3)	654(3)	127(3)	220(2)
146	8	-0.12(1)	0.38(1)	1.91(3)	220(3)	-940(2)	338(3)
146	9	-0.72(2)	0.90(1)	2.98(3)	1406(2)	405(2)	-218(2)
146	10	-0.28(2)	1.16(1)	2.96(3)	1082(2)	378(2)	-302(2)
146	11	0.58(1)	1.31(1)	2.84(3)	626(2)	102(3)	-362(2)
146	12	1.17(1)	1.11(1)	2.01(3)	195(2)	-829(2)	134(1)
146	13	-0.57(3)	1.21(1)	2.56(3)	970(1)	77(2)	-357(2)
146	14	-0.10(2)	1.75(1)	2.47(3)	721(1)	117(2)	-503(2)
146	15	0.66(3)	2.57(1)	2.47(3)	526(1)	69(1)	-592(2)
146	16	2.99(1)	3.56(1)	2.65(3)	166(1)	-276(3)	-309(2)
147	1	-0.46(1)	-1.80(1)	-1.88(3)	241(1)	965(1)	90(1)
147	2	-0.87(1)	-1.63(1)	-1.99(3)	445(1)	201(1)	159(1)
147	3	-1.28(1)	-1.57(1)	-2.26(3)	736(1)	-156(5-I-1)	84(1)
147	4	-1.59(1)	-1.52(1)	-2.55(3)	852(1)	-367(5-I-1)	-254(4-I-2)
147	5	-0.44(1)	-1.31(1)	-2.29(3)	94(1)	1386(1)	176(1)
147	6	-0.75(1)	-0.94(1)	-2.42(3)	-243(1)	124(2)	282(1)
147	7	-0.94(1)	-0.53(1)	-2.56(3)	-482(1)	-468(1)	188(1)
147	8	-0.96(1)	0.46(4-I-4)	-2.71(3)	-545(1)	-629(1)	-44(1)
147	9	-0.44(1)	-1.31(1)	-2.98(3)	125(1)	1671(1)	-62(1)
147	10	-0.66(1)	-0.64(1)	-2.97(3)	-297(1)	-104(5-I-1)	-92(1)
147	11	-0.63(1)	0.39(3)	-2.94(3)	-605(1)	-609(1)	-85(1)
147	12	0.91(4-I-4)	0.52(3)	-3.04(3)	-725(1)	-779(1)	47(5-I-1)
147	13	-0.51(1)	-1.38(1)	-3.63(3)	131(1)	1127(1)	-237(1)
147	14	-0.51(1)	-0.78(1)	-3.78(3)	-136(3)	-86(5-I-1)	-440(1)
147	15	-0.67(1)	0.72(3)	-3.84(3)	-278(3)	-331(1)	-343(1)
147	16	0.75(4-I-4)	2.13(3)	-3.67(3)	-329(3)	-396(5-I-3)	-119(1)

Muro	Pann.	Sxx	Syy	Sxy	Mxx	Myy	Mxy
148	1	2.15 (3)	0.08 (1)	0.52 (1)	-1180 (4-I-4)	-4001 (4-I-4)	632 (1)
148	2	2.07 (3)	-0.07 (3)	0.48 (1)	-1093 (4-I-4)	-3943 (4-I-4)	448 (1)
148	3	2.01 (3)	0.11 (4-I-4)	0.43 (1)	-1043 (4-I-4)	-3854 (4-I-4)	299 (1)
148	4	1.94 (3)	-0.13 (5-II-2)	0.37 (1)	-1018 (4-I-4)	-3713 (4-I-4)	189 (1)
148	5	2.50 (3)	0.16 (4-I-4)	0.74 (1)	-1370 (4-I-4)	-4353 (4-I-4)	703 (1)
148	6	2.38 (3)	0.25 (4-I-3)	0.70 (1)	-1270 (4-I-4)	-4200 (4-I-4)	410 (1)
148	7	2.29 (3)	0.43 (4-I-4)	0.64 (1)	-1188 (4-I-3)	-4023 (4-I-4)	206 (1)
148	8	2.23 (3)	0.17 (1)	0.61 (1)	-1140 (4-I-3)	-3895 (4-I-4)	-253 (5-II-2)
148	9	2.59 (3)	0.22 (5-I-2)	1.01 (1)	-1496 (4-I-3)	-5036 (4-I-4)	756 (3)
148	10	2.57 (3)	0.53 (4-I-4)	0.96 (1)	-1342 (4-I-3)	-4824 (4-I-4)	303 (1)
148	11	2.50 (3)	0.49 (4-I-4)	0.91 (1)	-1284 (4-I-4)	-4503 (4-I-4)	-194 (2)
148	12	2.35 (3)	0.34 (4-I-3)	0.82 (1)	-1217 (4-I-4)	-4039 (4-I-4)	-367 (5-II-2)
148	13	2.95 (3)	1.12 (3)	0.96 (3)	-1497 (4-I-3)	-5160 (4-I-4)	923 (3)
148	14	2.68 (3)	1.32 (3)	1.01 (3)	-1326 (4-I-3)	-5065 (4-I-4)	360 (4-I-1)
148	15	2.52 (3)	0.62 (5-I-2)	1.16 (3)	-1244 (4-I-3)	-4941 (4-I-4)	-280 (2)
148	16	2.44 (3)	1.02 (4-I-3)	1.21 (1)	-1285 (4-I-4)	-4823 (4-I-4)	-585 (2)
149	1	-0.51 (2)	0.54 (1)	0.18 (1)	-322 (4-I-1)	-3441 (4-I-4)	344 (1)
149	2	-0.51 (2)	-0.44 (4-I-1)	-0.18 (2)	323 (1)	-3209 (4-I-4)	331 (1)
149	3	-0.49 (2)	-0.41 (4-I-1)	-0.26 (2)	348 (1)	-2978 (4-I-4)	325 (1)
149	4	-0.50 (2)	-0.48 (4-I-4)	-0.35 (2)	378 (1)	-2747 (4-I-4)	321 (1)
149	5	0.45 (5-II-4)	-0.73 (4-I-1)	0.20 (1)	-588 (4-I-1)	-3638 (4-I-4)	373 (1)
149	6	0.43 (5-II-4)	-0.82 (4-I-4)	-0.18 (2)	-571 (4-I-1)	-3455 (4-I-4)	370 (1)
149	7	0.42 (5-II-4)	-0.74 (4-I-4)	-0.26 (2)	-550 (4-I-1)	-3271 (4-I-4)	367 (1)
149	8	0.40 (5-II-4)	-0.79 (4-I-3)	-0.34 (2)	-525 (4-I-1)	-3087 (4-I-4)	364 (1)
149	9	1.03 (3)	-0.68 (4-I-1)	0.26 (1)	-796 (4-I-1)	-3768 (4-I-4)	394 (1)
149	10	1.02 (3)	-0.78 (4-I-4)	0.20 (1)	-779 (4-I-1)	-3655 (4-I-4)	385 (1)
149	11	1.05 (3)	-0.68 (4-I-4)	-0.23 (2)	-770 (4-I-1)	-3534 (4-I-4)	380 (1)
149	12	1.07 (3)	-0.77 (4-I-3)	-0.32 (2)	-769 (4-I-1)	-3407 (4-I-4)	383 (1)
149	13	1.55 (3)	-0.39 (4-I-4)	0.36 (1)	-955 (4-I-4)	-3859 (4-I-4)	487 (1)
149	14	1.56 (3)	-0.49 (4-I-4)	0.31 (1)	-931 (4-I-4)	-3789 (4-I-4)	413 (1)
149	15	1.58 (3)	-0.38 (3)	0.26 (1)	-917 (4-I-4)	-3698 (4-I-4)	353 (1)
149	16	1.58 (3)	-0.48 (4-I-3)	0.21 (1)	-915 (4-I-4)	-3591 (4-I-4)	305 (1)
150	1	-0.66 (5-II-1)	0.72 (1)	0.50 (1)	-282 (4-I-3)	-2906 (4-I-1)	607 (1)
150	2	-0.63 (5-II-1)	0.89 (3)	0.51 (1)	-267 (4-I-3)	-2677 (4-I-1)	488 (1)
150	3	-0.61 (5-II-1)	0.70 (1)	0.53 (1)	-254 (4-I-3)	-2445 (4-I-1)	432 (1)
150	4	-0.58 (5-II-4)	0.68 (4-I-1)	0.53 (1)	-248 (5-I-1)	-2212 (4-I-4)	428 (1)
150	5	-0.68 (5-II-1)	0.71 (1)	0.51 (1)	293 (1)	-2789 (4-I-1)	435 (1)
150	6	-0.70 (5-II-1)	0.80 (1)	0.55 (1)	313 (1)	-2532 (4-I-1)	328 (1)
150	7	-0.74 (5-II-1)	0.74 (1)	0.59 (1)	347 (2)	-2276 (4-I-4)	273 (1)
150	8	-0.77 (5-II-1)	0.74 (1)	0.65 (1)	403 (2)	-2019 (4-I-4)	275 (4-I-1)
150	9	-0.84 (2)	0.89 (1)	0.30 (1)	444 (1)	-2853 (4-I-1)	338 (1)
150	10	-0.86 (2)	0.86 (1)	0.32 (1)	460 (2)	-2597 (4-I-4)	273 (1)
150	11	-0.87 (2)	0.82 (1)	0.34 (1)	486 (2)	-2336 (4-I-4)	257 (4-I-1)
150	12	-0.89 (2)	0.74 (1)	0.35 (1)	514 (2)	-2065 (4-I-4)	340 (4-I-1)
150	13	-0.97 (2)	0.88 (1)	0.35 (1)	504 (1)	-3124 (4-I-4)	261 (1)
150	14	-0.93 (2)	0.67 (1)	0.33 (1)	509 (1)	-2874 (4-I-4)	217 (1)
150	15	-0.90 (2)	0.59 (1)	0.31 (1)	517 (1)	-2619 (4-I-4)	238 (4-I-1)
150	16	-0.88 (2)	0.44 (1)	0.31 (1)	521 (1)	-2354 (4-I-4)	274 (4-I-1)
151	1	2.13 (5-I-1)	-0.16 (4-II-1)	0.61 (1)	-1100 (4-I-4)	-3709 (4-I-1)	894 (1)
151	2	2.30 (5-I-1)	1.04 (4-I-1)	0.60 (1)	-1062 (4-I-4)	-3589 (4-I-1)	881 (1)
151	3	2.38 (5-I-1)	0.77 (4-I-1)	0.57 (1)	-1091 (4-I-3)	-3445 (4-I-1)	945 (5-I-1)
151	4	2.51 (5-I-1)	0.68 (4-I-1)	0.54 (1)	-1213 (4-I-3)	-3286 (4-I-1)	1472 (5-I-1)
151	5	1.97 (5-I-1)	-0.29 (5-I-1)	0.69 (1)	-1048 (4-I-3)	-3325 (4-I-1)	765 (1)
151	6	2.02 (5-I-1)	0.73 (3)	0.69 (1)	-1006 (4-I-3)	-3201 (4-I-1)	722 (1)
151	7	1.98 (5-I-1)	0.51 (1)	0.69 (1)	-979 (4-I-3)	-3048 (4-I-1)	727 (1)
151	8	1.94 (5-I-1)	0.60 (3)	0.70 (1)	-956 (4-I-3)	-2865 (4-I-1)	935 (5-I-1)
151	9	1.54 (5-I-1)	0.27 (1)	0.72 (1)	-795 (5-I-1)	-3150 (4-I-1)	702 (1)
151	10	1.57 (5-I-1)	0.77 (3)	0.77 (1)	-759 (5-I-1)	-2978 (4-I-1)	590 (1)
151	11	1.53 (5-I-1)	0.55 (1)	0.83 (1)	-748 (5-I-1)	-2791 (4-I-1)	552 (1)
151	12	1.55 (5-I-1)	0.64 (4-I-4)	0.89 (1)	-762 (5-I-1)	-2594 (4-I-4)	667 (5-I-1)
151	13	0.82 (5-I-1)	0.62 (5-II-1)	0.73 (1)	-459 (5-I-1)	-3044 (4-I-1)	628 (1)
151	14	0.84 (5-I-1)	0.92 (3)	0.78 (1)	-431 (5-I-1)	-2852 (4-I-1)	490 (1)
151	15	0.80 (5-I-1)	0.68 (1)	0.84 (1)	-413 (5-I-1)	-2649 (4-I-1)	427 (1)
151	16	0.76 (5-I-1)	0.69 (3)	0.90 (1)	-407 (5-I-1)	-2433 (4-I-4)	445 (5-I-2)
152	1	0.98 (4-I-4)	-3.34 (3)	1.36 (4-I-3)	1776 (3)	-2083 (5-I-1)	882 (4-I-3)
152	2	1.21 (4-I-4)	-1.31 (1)	1.26 (4-I-3)	1621 (3)	-2057 (5-I-1)	167 (5-II-2)
152	3	1.25 (4-I-4)	-0.97 (1)	1.26 (4-I-3)	1472 (3)	-2035 (5-I-1)	-659 (5-I-2)
152	4	1.21 (4-I-4)	-0.84 (1)	1.26 (4-I-3)	1347 (3)	-1999 (5-I-1)	-1017 (5-I-1)
152	5	2.15 (4-I-4)	-0.80 (4-I-1)	1.88 (3)	-298 (4-I-3)	-1919 (5-I-1)	1272 (3)
152	6	2.12 (4-I-4)	0.59 (1)	1.94 (3)	308 (1)	-1965 (5-I-1)	589 (1)
152	7	2.10 (4-I-4)	0.64 (3)	1.97 (3)	445 (1)	-1938 (5-I-1)	-222 (5-I-1)
152	8	2.08 (4-I-4)	0.53 (5-I-1)	1.98 (3)	568 (1)	-1849 (5-I-1)	-698 (5-I-1)
152	9	2.90 (4-I-1)	0.62 (5-I-1)	2.76 (4-I-4)	-839 (4-I-4)	-2763 (5-I-1)	2034 (3)
152	10	3.21 (4-I-1)	0.37 (1)	2.50 (3)	880 (1)	-2329 (5-I-1)	1107 (1)
152	11	3.44 (4-I-1)	0.55 (1)	2.37 (3)	924 (1)	-1854 (5-I-1)	713 (1)

Muro	Pann.	Sxx	Syy	Sxy	Mxx	Myy	Mxy
152	12	3.52(4-I-1)	-0.54(4-I-1)	2.24(3)	-1082(4-I-4)	-1368(5-I-1)	-1138(4-I-3)
152	13	7.28(4-I-1)	2.10(5-I-1)	1.91(1)	-3900(4-I-4)	1279(5-II-1)	3246(3)
152	14	6.76(4-I-1)	1.26(5-I-1)	1.62(1)	-4045(4-I-4)	1701(5-II-3)	3000(3)
152	15	6.33(4-I-1)	1.24(5-I-1)	1.40(1)	-3811(4-I-1)	2235(3)	2911(3)
152	16	5.84(4-I-1)	0.94(5-I-1)	1.21(1)	-3392(4-I-1)	2880(3)	2935(3)
153	1	-4.67(1)	-0.33(4-I-1)	-1.69(1)	-6714(5-I-1)	-1769(3)	-2586(3)
153	2	-3.60(1)	-1.15(1)	-1.35(1)	-5408(5-I-1)	-1616(3)	-1612(3)
153	3	-2.86(1)	-1.56(1)	-1.21(1)	-4535(5-I-1)	-1537(3)	-1026(4-II-1)
153	4	-2.29(1)	-1.30(1)	-1.16(1)	-3875(5-I-1)	-1341(3)	-876(4-II-1)
153	5	-2.19(4-I-3)	-1.59(1)	0.14(1)	-2680(5-I-1)	404(3)	569(3)
153	6	-2.21(3)	-0.38(1)	-0.21(1)	-2921(5-I-1)	100(1)	578(4-I-1)
153	7	-2.14(3)	-0.19(2)	-0.55(1)	-3002(5-I-1)	-123(5-I-3)	688(4-I-1)
153	8	-1.94(3)	0.26(3)	-0.82(1)	-2956(5-I-1)	-174(5-I-4)	830(4-I-1)
153	9	-2.07(4-I-3)	-2.05(2)	0.15(3)	-3117(5-I-1)	-22(1)	447(4-I-2)
153	10	-1.63(4-I-3)	-0.26(3)	-0.16(1)	-2907(5-I-1)	112(3)	692(4-I-2)
153	11	-1.45(4-I-3)	-0.24(4-I-1)	-0.35(1)	-2761(5-I-1)	150(3)	860(4-I-2)
153	12	-1.34(4-I-3)	0.39(3)	-0.53(3)	-2693(5-I-1)	177(3)	964(4-I-2)
153	13	1.77(1)	-0.69(2)	-1.04(4-I-3)	-3454(5-I-1)	1078(4-I-4)	-645(4-I-4)
153	14	0.72(4-II-4)	0.89(3)	-0.90(3)	-3197(5-I-1)	908(4-I-4)	-239(5-II-2)
153	15	-0.53(4-I-3)	0.72(3)	-0.91(3)	-2960(5-I-1)	825(4-I-4)	408(5-I-2)
153	16	-0.63(4-I-3)	0.95(4-I-4)	-0.91(3)	-2723(5-I-1)	777(4-I-4)	705(5-I-2)
154	1	2.25(3)	2.02(4-I-4)	0.75(3)	-938(3)	-1043(4-I-4)	-209(1)
154	2	2.34(3)	1.94(4-I-4)	1.01(3)	-1184(3)	-811(4-I-4)	-443(3)
154	3	2.54(3)	-1.76(4-II-4)	0.60(5-II-2)	-1071(3)	886(4-II-4)	-320(5-II-2)
154	4	2.29(3)	1.61(4-I-4)	0.35(5-II-2)	-656(3)	-749(4-I-4)	-215(5-II-2)
154	5	2.26(3)	2.23(4-I-4)	0.86(3)	-1060(3)	-1325(4-I-4)	-201(1)
154	6	2.15(3)	1.96(4-I-4)	0.73(5-II-2)	-1158(3)	-1031(4-I-4)	-293(1)
154	7	2.33(3)	1.77(4-I-4)	0.68(5-II-2)	-755(3)	-1005(4-I-4)	-231(1)
154	8	2.26(3)	1.95(4-I-4)	0.66(5-II-2)	-943(3)	-1244(4-I-4)	-101(1)
155	1	1.58(3)	-1.45(4-II-4)	-0.33(5-I-2)	-834(3)	-593(4-I-4)	201(5-I-2)
155	2	1.81(3)	-1.79(4-II-4)	-0.57(5-I-2)	-843(3)	897(4-II-4)	173(5-I-2)
155	3	0.43(4-I-1)	-1.53(4-II-4)	-0.82(2)	182(2)	650(4-II-4)	242(2)
155	4	0.72(4-I-1)	-1.51(4-II-4)	-0.42(2)	-280(4-I-1)	642(1)	400(2)
155	5	0.98(3)	-1.44(4-II-4)	-0.49(2)	-474(3)	-765(4-I-4)	478(2)
155	6	0.85(4-I-1)	-1.50(4-II-4)	-0.63(2)	-444(3)	645(1)	511(2)
155	7	0.64(4-I-1)	-1.25(4-II-4)	-0.57(2)	-247(4-I-1)	728(1)	402(2)
155	8	0.57(4-I-1)	-1.37(1)	-0.42(2)	-239(4-I-1)	-660(4-I-4)	373(2)
156	1	-2.36(2)	1.01(4-I-1)	-0.67(4-II-3)	649(5-I-3)	730(4-II-1)	234(4-II-3)
156	2	-2.44(2)	-1.09(4-II-1)	0.26(4-I-3)	986(2)	803(2)	131(5-I-2)
156	3	-2.10(2)	-1.56(4-II-1)	0.37(5-II-2)	1116(2)	762(5-II-2)	-144(5-II-2)
156	4	-1.85(5-II-4)	-1.87(4-II-1)	0.75(5-II-2)	1064(2)	664(5-II-1)	-285(5-II-2)
156	5	-1.48(5-II-4)	-1.99(4-II-1)	1.10(5-II-1)	766(5-II-4)	639(5-II-1)	-433(5-II-1)
156	6	2.26(5-I-4)	-2.30(4-II-1)	1.57(5-II-1)	696(5-II-4)	-985(5-I-1)	-684(5-II-1)
156	7	4.47(5-I-4)	2.12(4-I-2)	-2.39(5-I-1)	-2320(5-I-4)	-915(4-I-2)	1169(5-I-1)
156	8	-1.26(5-II-4)	-1.88(4-II-2)	1.05(5-II-1)	-842(5-I-4)	1146(4-II-1)	-503(5-II-1)
156	9	-1.57(2)	-1.94(4-II-1)	0.32(5-II-2)	515(5-II-4)	886(4-II-1)	-289(5-II-2)
156	10	-1.54(2)	-1.54(4-II-1)	-0.54(4-II-3)	736(2)	534(4-II-1)	-242(4-I-3)
156	11	-1.26(2)	-1.33(4-II-1)	-0.73(4-II-3)	697(2)	-818(4-I-1)	525(2)
156	12	0.86(5-II-3)	1.32(4-I-1)	-1.64(2)	-523(5-II-3)	-760(4-I-1)	971(2)
156	13	-1.01(2)	1.33(4-I-1)	-1.64(2)	-728(5-II-3)	-424(4-I-1)	628(4-II-3)
156	14	-1.92(2)	1.24(4-I-1)	-1.24(2)	-433(5-II-3)	664(4-II-1)	318(4-II-3)
156	15	-1.66(5-II-4)	-1.71(4-II-1)	0.55(5-II-2)	865(2)	915(4-II-1)	-276(5-II-2)
156	16	-2.19(2)	-1.25(4-II-1)	-0.34(4-II-3)	1197(2)	825(4-II-1)	124(4-II-3)
156	17	-1.90(2)	-1.25(4-II-1)	-0.34(4-II-3)	1225(2)	821(4-II-1)	162(4-II-3)
156	18	-2.04(2)	-1.48(4-II-1)	0.19(5-II-2)	1158(2)	935(4-II-1)	-83(4-I-3)
156	19	-1.93(2)	-1.21(4-II-1)	-0.60(4-II-3)	1145(2)	806(4-II-1)	286(4-II-3)
156	20	-1.57(2)	0.93(4-I-1)	-0.90(4-II-3)	933(2)	560(4-II-1)	481(4-II-3)
157	1	-0.92(5-II-1)	-1.25(4-II-4)	0.39(4-II-1)	339(2)	-885(4-I-1)	-153(1)
157	2	-1.04(2)	-1.16(4-II-4)	0.29(4-II-1)	519(2)	-736(4-I-4)	95(5-II-4)
157	3	-1.08(2)	1.09(4-I-4)	-0.27(4-I-1)	525(2)	489(4-II-4)	206(4-I-1)
157	4	-1.25(5-II-1)	-1.19(4-II-1)	0.57(4-II-1)	856(2)	1192(2)	322(4-I-1)
157	5	-1.21(5-II-1)	-1.59(4-II-1)	0.96(5-II-2)	705(5-II-1)	952(4-II-2)	-302(4-II-1)
157	6	3.35(5-I-1)	-2.08(4-II-1)	1.64(5-II-1)	-1524(5-I-1)	886(4-II-1)	-745(5-II-1)
157	7	-0.82(5-II-1)	-1.61(4-II-4)	0.65(5-II-2)	-926(5-I-1)	517(4-II-1)	-638(5-II-2)
157	8	-0.84(5-II-1)	-1.45(4-II-4)	-0.36(5-I-2)	-316(5-I-1)	-969(4-I-1)	-357(2)
157	9	-0.93(5-II-1)	-1.48(4-II-1)	0.49(5-II-2)	499(5-II-1)	823(4-II-1)	-343(2)
158	1	1.78(5-I-1)	1.49(4-I-4)	-0.86(5-I-1)	-419(5-I-4)	609(1)	-271(5-II-1)
158	2	1.83(5-I-1)	-1.49(4-II-1)	0.85(5-II-2)	378(5-II-4)	686(4-II-1)	-293(5-II-2)
158	3	3.33(5-I-1)	-2.88(4-II-1)	2.27(5-II-1)	-1263(5-I-1)	1308(4-II-1)	-858(5-II-1)
158	4	2.70(5-I-1)	-2.59(4-II-1)	1.25(5-II-1)	-1757(5-I-1)	1166(4-II-1)	736(5-I-1)
158	5	2.38(5-I-1)	-2.04(4-II-1)	-1.36(5-I-1)	-1763(5-I-1)	1096(4-II-1)	717(5-I-1)
158	6	2.44(5-I-1)	1.70(4-I-1)	-1.41(5-I-1)	-1591(5-I-1)	-940(4-I-1)	474(5-I-1)
158	7	2.06(5-I-1)	1.58(4-I-1)	-1.18(5-I-1)	-929(5-I-1)	-913(4-I-1)	-333(5-II-1)
158	8	2.50(5-I-1)	-1.83(4-II-1)	0.76(5-II-1)	-1200(5-I-1)	1091(4-II-1)	547(5-I-1)
159	1	3.64(5-I-2)	6.85(4-II-1)	1.40(4-II-1)	-4835(5-I-2)	-3356(4-II-1)	-1729(4-II-1)

Muro	Pann.	Sxx	Syy	Sxy	Mxx	Myy	Mxy
159	2	-0.51(1)	3.40(4-II-1)	-1.54(5-II-2)	-1814(5-I-2)	1365(4-I-1)	1145(4-I-1)
159	3	0.30(4-I-1)	-2.38(4-I-1)	-1.49(3)	-1027(5-I-2)	1052(4-I-1)	1155(4-I-4)
159	4	0.65(4-I-1)	-1.92(4-I-1)	-1.48(3)	-558(5-I-3)	790(4-I-1)	1111(4-I-3)
159	5	4.38(5-I-2)	2.54(4-II-1)	-0.72(4-I-1)	-2893(5-I-2)	-1997(4-II-1)	612(4-I-1)
159	6	0.46(5-I-2)	3.25(4-II-1)	-1.18(5-I-2)	-1891(5-I-2)	1173(4-I-1)	1029(4-I-1)
159	7	-0.25(1)	2.69(4-II-1)	-1.07(5-I-2)	-1473(5-I-2)	1165(4-I-1)	531(4-I-4)
159	8	0.31(4-I-1)	-2.06(4-I-1)	-1.04(3)	-1226(5-I-2)	919(4-I-1)	325(4-I-3)
160	1	-0.69(4-I-1)	0.50(1)	1.08(3)	281(4-I-1)	-1026(5-I-2)	168(1)
160	2	-1.13(4-I-1)	0.83(3)	1.18(4-II-1)	534(4-I-1)	-548(5-I-2)	-843(4-I-3)
160	3	-1.75(4-I-1)	0.52(3)	1.13(3)	961(4-I-1)	-1145(5-I-2)	-212(4-I-3)
160	4	-1.38(4-I-1)	0.64(3)	1.01(3)	784(4-I-1)	-1183(5-I-2)	430(1)
160	5	-1.26(4-I-1)	1.23(3)	1.11(3)	637(4-I-1)	-1313(5-I-2)	910(3)
160	6	-1.26(4-I-1)	1.42(3)	1.13(3)	-422(4-II-1)	-1169(5-I-2)	357(1)
160	7	-1.60(4-I-1)	-0.21(5-II-2)	1.29(3)	998(4-I-1)	-1115(5-I-2)	246(1)
160	8	-1.48(4-I-1)	0.14(5-I-2)	1.25(3)	722(4-I-1)	-1257(5-I-2)	773(1)
161	1	1.15(4-I-1)	0.62(2)	1.16(4-II-1)	-279(5-I-2)	-590(5-I-2)	-970(4-I-3)
161	2	0.70(5-I-1)	0.67(2)	1.13(4-II-1)	-380(5-I-2)	-562(5-I-2)	-866(4-I-3)
161	3	-0.57(5-II-3)	0.71(2)	1.25(4-II-1)	357(5-II-3)	488(5-II-2)	-1014(4-I-3)
161	4	0.57(5-I-3)	0.71(2)	1.00(3)	472(5-II-3)	-929(5-I-2)	-286(5-II-2)
161	5	0.87(5-I-1)	0.73(3)	1.26(3)	210(5-II-3)	-1201(5-I-2)	667(1)
161	6	1.00(5-I-2)	0.47(2)	1.09(3)	322(5-II-2)	-1450(5-I-2)	1013(3)
161	7	1.11(5-I-2)	0.53(2)	1.24(3)	-619(5-I-1)	-1136(5-I-2)	422(1)
161	8	2.01(4-I-1)	0.43(4-II-1)	1.21(3)	-718(4-I-1)	-1125(5-I-2)	158(1)
161	9	2.94(4-I-1)	1.33(3)	1.20(3)	-1213(4-I-1)	-939(5-I-2)	-461(4-I-3)
161	10	7.43(4-I-1)	0.91(4-II-1)	1.27(1)	-3558(4-I-1)	-1007(4-I-1)	-1512(4-I-4)
161	11	4.38(4-I-1)	0.81(4-II-1)	1.24(1)	-1626(4-I-1)	-948(4-I-1)	-1971(4-I-4)
161	12	2.54(4-I-1)	0.82(3)	1.05(4-II-1)	-872(4-I-1)	-739(4-I-1)	-1379(4-I-3)
161	13	1.03(5-I-2)	0.87(3)	1.17(3)	-450(5-I-1)	-1148(5-I-2)	248(1)
162	1	3.86(4-I-1)	1.04(5-I-2)	1.56(1)	-4357(4-I-1)	-552(5-I-2)	712(4-II-1)
162	2	5.67(4-I-1)	0.62(5-I-4)	2.44(4-I-1)	-3700(4-I-1)	-1512(5-I-2)	-1412(4-I-1)
162	3	3.41(4-I-1)	0.82(4-II-1)	1.37(3)	-1226(4-I-1)	-1287(4-I-1)	-203(4-I-3)
162	4	3.79(4-I-1)	1.01(3)	1.40(3)	-1390(4-I-1)	-1380(5-I-2)	545(1)
162	5	3.81(4-I-1)	1.24(3)	1.55(3)	-1754(4-I-1)	-1514(5-I-1)	1299(3)
162	6	4.11(4-I-1)	1.51(3)	1.59(3)	-2372(4-I-1)	-1457(5-I-2)	518(1)
162	7	3.80(4-I-1)	0.27(3)	1.43(3)	-1266(4-I-1)	-1403(5-I-2)	340(1)
162	8	3.83(4-I-1)	0.21(4-II-3)	1.36(3)	-1594(4-I-1)	-1497(5-I-2)	987(1)
163	1	-2.22(1)	-1.71(1)	-0.83(4-I-1)	-2043(5-I-2)	-3427(3)	-3463(3)
163	2	-1.95(1)	1.28(5-I-1)	-1.10(4-I-1)	-2246(5-I-2)	-2894(3)	-2927(3)
163	3	-0.80(5-II-2)	2.10(5-I-1)	-3.33(4-I-1)	-1877(5-I-2)	-3584(3)	-2603(4-II-1)
163	4	-2.43(1)	1.89(5-I-2)	-1.07(4-I-1)	-937(5-I-2)	-4558(3)	-3376(3)
163	5	-2.19(3)	-2.37(1)	-0.66(4-I-1)	-2683(5-I-1)	-3202(3)	-3035(3)
163	6	-2.21(1)	-1.43(1)	-0.83(4-I-1)	-2052(5-I-2)	-3115(3)	-3310(3)
163	7	-2.36(1)	1.31(5-I-1)	-0.84(4-I-1)	-2021(5-I-2)	-3825(3)	-3443(3)
163	8	-2.42(1)	-2.46(1)	-0.54(1)	-2416(5-I-1)	-3765(3)	-3634(3)
164	1	0.55(3)	1.71(3)	-0.34(3)	-246(1)	-1803(1)	188(3)
164	2	0.69(3)	2.51(1)	-0.12(3)	-265(3)	-1127(1)	121(3)
164	3	0.66(3)	1.31(1)	-0.42(3)	-230(4-II-1)	-97(5-I-2)	172(3)
164	4	0.40(1)	1.38(2)	-0.39(3)	-161(3)	-655(2)	105(4-II-2)
164	5	0.66(3)	1.81(3)	-0.15(3)	-408(3)	-2119(1)	-29(4-II-2)
164	6	0.60(3)	1.69(3)	-0.26(3)	-296(2)	-1564(1)	147(3)
164	7	0.63(3)	1.47(1)	-0.58(3)	-503(3)	-1494(1)	236(3)
164	8	0.54(3)	1.52(1)	-0.48(3)	-378(3)	-2044(1)	-38(4-II-2)
165	1	0.51(1)	1.05(3)	0.07(4-I-1)	-376(1)	-478(3)	70(1)
165	2	0.59(1)	0.97(3)	0.23(3)	-294(1)	-528(3)	-176(3)
165	3	0.59(1)	1.10(3)	-0.13(4-II-1)	-140(1)	-567(3)	32(4-II-1)
165	4	0.84(1)	1.10(3)	-0.22(1)	-246(1)	-351(3)	203(1)
165	5	0.50(1)	0.91(3)	0.08(4-I-1)	-532(2)	-308(1)	56(1)
165	6	0.53(1)	1.14(3)	0.05(4-I-1)	-402(1)	-573(3)	-80(5-I-2)
165	7	0.51(1)	1.17(3)	-0.08(4-II-1)	-291(1)	-402(1)	170(2)
165	8	0.49(1)	1.14(3)	0.07(4-I-1)	-529(2)	-372(1)	131(1)
166	1	0.77(3)	0.87(3)	0.31(3)	-464(3)	-334(3)	-125(4-II-2)
166	2	0.53(3)	1.18(1)	0.24(3)	-293(3)	-645(1)	-107(4-II-2)
166	3	0.68(3)	0.97(3)	0.17(4-II-1)	-255(3)	-340(4-II-1)	-74(4-II-1)
166	4	0.47(3)	1.30(3)	0.19(4-II-1)	-237(3)	-861(1)	42(1)
166	5	0.59(3)	1.02(3)	-0.21(1)	-168(3)	-326(4-II-1)	84(1)
166	6	0.46(3)	1.40(3)	-0.11(1)	-193(1)	-947(1)	42(4-I-1)
166	7	0.54(3)	0.97(3)	-0.43(1)	-137(3)	-333(4-II-1)	26(1)
166	8	0.41(3)	1.59(1)	-0.32(1)	-173(1)	-851(1)	30(5-I-2)
167	1	0.48(3)	0.96(3)	-0.23(2)	-169(3)	-327(4-II-1)	265(1)
167	2	0.34(1)	1.63(1)	-0.13(3)	-147(3)	-861(1)	198(1)
167	3	0.43(3)	1.04(2)	-0.44(1)	-155(3)	-292(4-II-1)	232(1)
167	4	0.34(1)	1.45(1)	-0.32(1)	-166(1)	-1006(1)	155(3)
167	5	0.37(3)	1.01(1)	-0.65(1)	-135(3)	-278(4-II-1)	266(1)
167	6	0.28(1)	1.41(1)	-0.48(1)	-185(1)	-976(1)	201(3)
167	7	0.28(3)	0.84(2)	-0.86(1)	-154(1)	-283(4-II-1)	262(3)

Muro	Pann.	Sxx	Syy	Sxy	Mxx	Myy	Mxy
167	8	0.15 (1)	1.44 (1)	-0.65 (1)	-157 (1)	-785 (1)	216 (3)
168	1	0.17 (3)	0.89 (1)	-0.89 (3)	-40 (4-II-2)	-198 (4-II-1)	443 (3)
168	2	0.26 (3)	1.30 (1)	-0.98 (3)	-113 (2)	-394 (1)	405 (3)
168	3	-0.31 (3)	0.79 (1)	-0.57 (3)	117 (1)	-167 (1)	80 (4-II-1)
168	4	-0.31 (3)	0.74 (1)	-0.47 (3)	122 (1)	-243 (1)	-179 (1)
168	5	-0.61 (1)	0.79 (1)	-0.33 (3)	256 (1)	-734 (1)	-50 (2)
168	6	-0.33 (2)	0.55 (1)	-0.57 (3)	94 (3)	-851 (1)	243 (1)
168	7	-0.15 (2)	0.92 (1)	-0.64 (3)	136 (3)	-745 (1)	370 (3)
168	8	0.09 (1)	1.25 (1)	-0.57 (3)	-44 (1)	-620 (1)	356 (3)
168	9	0.22 (3)	0.79 (1)	-0.76 (3)	-42 (1)	-228 (4-II-1)	395 (3)
168	10	0.15 (3)	0.90 (1)	-0.85 (3)	-45 (4-II-2)	-192 (4-II-1)	362 (3)
168	11	-0.17 (2)	0.74 (1)	-0.60 (3)	58 (3)	-175 (1)	344 (3)
168	12	0.06 (1)	0.82 (1)	-0.73 (3)	50 (2)	-75 (1)	427 (3)
168	13	-0.10 (4-I-2)	0.94 (1)	-0.80 (3)	101 (2)	95 (4-I-1)	421 (3)
169	1	0.25 (1)	1.54 (2)	0.05 (5-I-2)	-381 (1)	-855 (2)	-208 (3)
169	2	-0.33 (3)	1.28 (1)	0.09 (4-II-3)	-534 (1)	-441 (1)	-111 (4-I-4)
169	3	-0.33 (3)	1.23 (2)	0.22 (3)	-553 (1)	-415 (3)	89 (1)
169	4	0.15 (1)	1.46 (2)	0.24 (3)	-351 (1)	-881 (3)	183 (1)
169	5	-0.24 (3)	1.07 (2)	-0.09 (1)	-225 (1)	-796 (2)	-261 (3)
169	6	-0.37 (3)	1.09 (2)	0.16 (3)	-238 (1)	-179 (1)	-103 (3)
169	7	-0.34 (3)	1.06 (2)	0.20 (3)	-230 (1)	-175 (1)	89 (1)
169	8	-0.18 (2)	1.01 (2)	0.25 (3)	-203 (1)	-881 (3)	282 (1)
169	9	-0.55 (3)	0.79 (1)	-0.15 (1)	237 (3)	-530 (2)	-253 (3)
169	10	-0.49 (3)	0.70 (1)	0.16 (3)	390 (3)	82 (4-II-2)	-69 (5-I-2)
169	11	-0.40 (3)	0.75 (1)	0.20 (3)	369 (3)	-63 (1)	-63 (4-II-3)
169	12	-0.27 (2)	0.73 (2)	0.33 (3)	126 (2)	-703 (3)	241 (1)
169	13	-0.94 (3)	0.30 (1)	0.24 (3)	813 (3)	-139 (1)	-152 (3)
169	14	-0.46 (3)	0.38 (1)	0.05 (5-I-2)	1028 (3)	153 (3)	-73 (4-I-3)
169	15	-0.50 (3)	0.40 (1)	0.07 (5-I-2)	1045 (3)	92 (3)	-158 (3)
169	16	-0.35 (3)	0.55 (1)	0.22 (3)	532 (3)	-361 (3)	-69 (4-II-3)
170	1	0.56 (3)	2.57 (1)	-0.08 (1)	-168 (3)	-481 (3)	-84 (1)
170	2	0.56 (3)	2.89 (1)	-0.07 (1)	-188 (3)	-736 (3)	-54 (2)
170	3	0.66 (3)	3.08 (1)	-0.07 (3)	-309 (3)	-1450 (1)	-62 (1)
170	4	0.61 (3)	2.74 (1)	-0.07 (1)	-328 (2)	-1942 (1)	-11 (4-I-1)
170	5	0.63 (3)	2.43 (2)	0.08 (3)	-341 (1)	-1657 (1)	-37 (3)
170	6	0.62 (1)	2.27 (2)	0.20 (3)	-269 (1)	-1029 (1)	-42 (3)
170	7	0.61 (3)	2.32 (2)	0.14 (3)	-247 (3)	-601 (3)	99 (1)
170	8	0.57 (3)	2.38 (2)	-0.08 (1)	-227 (3)	-663 (3)	-28 (4-I-3)
170	9	0.60 (3)	2.40 (2)	0.06 (5-I-2)	-225 (3)	-695 (1)	27 (1)
171	1	1.91 (2)	0.60 (1)	0.09 (1)	-896 (3)	-294 (3)	-68 (2)
171	2	2.09 (2)	0.58 (1)	0.08 (1)	-805 (2)	-279 (3)	-35 (1)
171	3	1.73 (2)	0.51 (1)	-0.06 (5-I-2)	-738 (1)	-275 (1)	84 (3)
171	4	1.51 (2)	0.53 (1)	-0.06 (5-I-2)	-550 (1)	-201 (1)	93 (3)
171	5	1.54 (2)	0.53 (1)	0.06 (1)	-517 (3)	-82 (1)	83 (4-II-3)
171	6	1.70 (2)	0.54 (1)	-0.08 (5-I-2)	-945 (3)	-175 (1)	-52 (1)
171	7	1.86 (2)	0.58 (1)	-0.12 (3)	-1135 (3)	-292 (3)	-87 (2)
171	8	1.78 (2)	0.56 (1)	-0.14 (3)	-605 (3)	-241 (1)	-36 (1)
172	1	0.78 (3)	1.75 (3)	0.54 (2)	-279 (3)	-1215 (1)	-232 (1)
172	2	0.77 (3)	1.80 (3)	0.56 (2)	-298 (3)	-785 (1)	-180 (3)
172	3	0.81 (3)	1.93 (3)	0.61 (2)	-364 (3)	-827 (3)	-277 (2)
172	4	0.82 (3)	1.75 (3)	0.56 (2)	-299 (3)	-650 (3)	-184 (3)
172	5	0.76 (3)	1.79 (3)	0.54 (2)	-242 (3)	-412 (3)	-103 (5-I-2)
172	6	0.72 (3)	1.36 (3)	0.21 (1)	-307 (3)	-461 (3)	-114 (1)
172	7	0.75 (3)	1.95 (3)	0.43 (2)	-523 (1)	-1024 (1)	-397 (1)
172	8	0.91 (3)	1.82 (3)	0.58 (2)	-526 (1)	-1781 (1)	-395 (1)
172	9	0.79 (3)	1.84 (3)	0.60 (2)	-230 (3)	-690 (1)	-72 (4-I-1)
173	1	1.63 (3)	0.36 (3)	-0.48 (2)	-1123 (3)	-169 (3)	-160 (1)
173	2	1.12 (3)	0.44 (3)	-0.19 (2)	-1414 (3)	-270 (3)	77 (2)
173	3	1.15 (3)	0.44 (3)	-0.12 (2)	-1412 (3)	-290 (3)	133 (2)
173	4	1.70 (3)	0.36 (3)	0.14 (3)	-1149 (3)	-284 (3)	310 (1)
173	5	0.28 (3)	0.21 (3)	-0.46 (2)	628 (1)	178 (1)	-176 (1)
173	6	0.84 (3)	0.17 (3)	-0.22 (2)	938 (1)	176 (1)	27 (2)
173	7	0.89 (3)	0.18 (3)	-0.08 (2)	901 (1)	157 (1)	68 (1)
173	8	0.46 (3)	0.23 (3)	0.21 (1)	536 (1)	96 (1)	261 (1)
174	1	1.20 (3)	0.77 (3)	-0.43 (1)	-1550 (3)	-403 (3)	19 (1)
174	2	1.72 (3)	0.60 (3)	-0.69 (1)	-1061 (3)	-220 (3)	-22 (5-I-2)
174	3	0.52 (3)	0.31 (3)	-0.69 (1)	460 (1)	101 (1)	10 (2)
174	4	1.02 (3)	0.36 (4-II-2)	-0.46 (3)	814 (1)	252 (1)	175 (1)
174	5	0.94 (3)	-0.45 (1)	-0.36 (3)	757 (1)	371 (1)	206 (3)
174	6	0.53 (3)	-0.55 (1)	-0.29 (2)	342 (1)	282 (1)	300 (3)
174	7	0.72 (3)	0.50 (4-II-2)	-0.20 (1)	138 (1)	-252 (4-II-1)	648 (1)
174	8	1.24 (3)	0.71 (3)	0.11 (3)	-491 (3)	-313 (4-II-1)	757 (1)
174	9	2.17 (3)	1.21 (3)	-0.27 (1)	-1771 (3)	-621 (3)	434 (1)
174	10	1.33 (3)	0.92 (3)	-0.37 (1)	-1993 (3)	-643 (3)	142 (1)
174	11	1.30 (3)	0.72 (3)	-0.42 (1)	-468 (3)	-408 (3)	409 (1)

**POTENZIAMENTO DELL'IMPIANTO DI DEPURAZIONE E
DEL RECAPITO FINALE DI SQUINZANO (LE)
PROGETTO DEFINITIVO
Tabulati di calcolo strutturale-Edificio Grigliatura
Grossolana**

R.37.11

Maggio 2021

Pagina 81 di 183

Muro	Pann.	Sxx	Syy	Sxy	Mxx	Myy	Mxy
174	12	1.16(3)	0.54(3)	-0.46(1)	136(1)	-269(3)	288(1)
174	13	1.03(3)	0.45(3)	-0.35(1)	400(1)	263(1)	346(1)
175	1	0.26(3)	1.55(3)	-0.57(1)	-312(3)	-1168(3)	-218(2)
175	2	-0.36(1)	-0.29(1)	-0.52(1)	-88(3)	645(1)	-160(2)
175	3	0.36(3)	0.94(3)	-0.35(1)	-358(3)	-1503(3)	-72(2)
175	4	-0.53(1)	0.73(3)	-0.22(1)	274(1)	1044(1)	87(1)
175	5	0.36(3)	0.86(3)	-0.32(1)	-303(3)	-1506(3)	108(1)
175	6	-0.69(1)	0.68(3)	-0.07(1)	453(1)	1048(1)	170(3)
175	7	0.27(3)	1.22(3)	-0.15(1)	170(1)	-1017(3)	478(1)
175	8	-0.80(1)	0.15(3)	0.13(2)	643(2)	619(2)	359(1)
176	1	-1.35(1)	-1.14(1)	0.48(2)	419(1)	624(2)	-400(3)
176	2	-1.18(1)	-1.04(1)	0.50(2)	-190(3)	466(1)	-285(1)
176	3	-1.04(2)	-0.88(1)	0.54(2)	-276(3)	299(1)	-224(1)
176	4	-0.68(1)	-0.73(1)	0.58(2)	-137(4-II-2)	130(1)	-47(1)
176	5	-1.37(2)	-1.15(1)	0.53(1)	953(2)	702(2)	-320(3)
176	6	-1.07(2)	-1.13(1)	0.37(3)	1286(1)	701(1)	-268(2)
176	7	-1.08(2)	-1.04(1)	0.30(3)	1445(1)	648(1)	-181(1)
176	8	-1.65(1)	-0.81(1)	0.44(3)	1195(1)	359(1)	-148(1)
176	9	-0.92(2)	-0.90(2)	0.69(1)	722(2)	450(2)	397(1)
176	10	-0.66(2)	-0.86(2)	0.26(3)	1026(2)	519(2)	170(1)
176	11	-0.75(2)	-0.77(2)	-0.15(1)	1096(2)	552(1)	-130(3)
176	12	-1.23(2)	-0.62(2)	-0.80(1)	879(2)	402(1)	-352(1)
176	13	0.94(1)	-0.48(2)	0.52(1)	-988(1)	165(3)	289(1)
176	14	0.50(1)	-0.33(2)	0.13(4-I-4)	-1547(1)	-123(1)	140(1)
176	15	0.52(1)	-0.30(2)	-0.19(1)	-1667(1)	-91(1)	71(1)
176	16	1.22(1)	-0.37(2)	-0.66(1)	-1214(1)	166(1)	-226(1)
177	1	-0.66(1)	-0.44(1)	-0.13(3)	-157(3)	209(1)	-200(1)
177	2	-0.95(1)	-0.47(1)	0.02(2)	-416(3)	124(1)	-15(1)
177	3	-0.90(1)	-0.48(1)	0.12(2)	-450(3)	94(1)	25(1)
177	4	-0.49(1)	-0.49(1)	0.24(3)	-258(3)	95(1)	187(1)
177	5	-1.63(1)	-0.65(1)	0.13(1)	1264(1)	431(1)	-195(3)
177	6	-1.03(2)	-0.82(1)	0.18(1)	1616(1)	530(1)	-130(2)
177	7	-0.97(2)	-0.85(1)	0.12(3)	1579(1)	487(1)	-32(2)
177	8	-1.50(1)	-0.73(1)	0.29(3)	1171(1)	266(1)	92(4-I-4)
177	9	-1.22(2)	-0.63(1)	0.97(1)	913(2)	329(1)	297(1)
177	10	-0.77(4-I-1)	-0.73(1)	0.33(1)	1236(1)	467(1)	-98(2)
177	11	-0.76(4-I-1)	-0.74(1)	0.10(3)	1224(1)	455(1)	-186(2)
177	12	-1.14(2)	-0.66(1)	-0.63(1)	868(1)	296(1)	-451(1)
177	13	1.23(1)	-0.42(1)	0.77(1)	-1258(1)	117(2)	217(1)
177	14	0.53(1)	-0.28(2)	0.31(1)	-1790(1)	-133(1)	-86(2)
177	15	-0.53(4-I-1)	-0.28(2)	0.09(3)	-1765(1)	-123(1)	-119(2)
177	16	1.18(1)	-0.43(1)	-0.47(1)	-1210(1)	150(1)	-347(1)
178	1	-0.39(1)	-0.46(1)	-0.47(3)	-249(3)	250(1)	40(1)
178	2	-0.66(1)	-0.59(1)	-0.34(3)	-468(3)	291(1)	274(1)
178	3	-0.64(1)	-0.72(1)	-0.26(3)	-458(3)	294(1)	342(1)
178	4	-0.59(1)	-0.81(1)	-0.19(3)	-274(3)	-264(4-II-2)	349(3)
178	5	-1.42(1)	-0.50(1)	-0.32(3)	1101(1)	607(1)	-87(3)
178	6	-0.76(1)	-0.76(1)	-0.14(3)	1243(1)	687(1)	73(1)
178	7	-0.62(1)	-0.88(1)	-0.13(3)	990(1)	501(1)	148(3)
178	8	-0.83(1)	-0.91(1)	-0.13(1)	557(1)	-226(1)	251(3)
178	9	-1.07(2)	-0.47(1)	0.96(1)	813(2)	540(1)	129(1)
178	10	-0.62(4-I-1)	-0.63(1)	0.36(1)	989(1)	606(1)	-208(1)
178	11	-0.52(4-I-1)	-0.71(1)	0.10(2)	819(1)	401(1)	-343(1)
178	12	-0.64(2)	-0.72(1)	-0.23(1)	474(2)	-204(1)	-463(1)
178	13	1.18(1)	-0.40(1)	0.83(1)	-1099(1)	218(1)	54(1)
178	14	0.51(1)	-0.34(2)	0.39(1)	-1435(1)	130(4-I-1)	-230(1)
178	15	0.40(1)	-0.35(4-I-2)	0.17(2)	-1251(1)	111(4-I-1)	-287(1)
178	16	0.60(1)	-0.38(2)	-0.19(1)	-733(1)	-103(1)	-362(1)
179	1	0.75(1)	0.50(3)	0.42(2)	-408(1)	-410(3)	-239(1)
179	2	0.94(1)	0.33(4-II-2)	0.45(1)	-590(1)	-102(4-II-1)	-462(3)
179	3	1.03(1)	0.29(4-II-2)	0.57(1)	-797(1)	160(3)	-458(3)
179	4	1.23(1)	0.29(4-II-2)	0.72(1)	-862(1)	291(3)	-358(3)
179	5	0.56(3)	1.28(3)	0.66(1)	-422(3)	-972(3)	-401(1)
179	6	0.88(1)	0.70(3)	0.85(1)	-536(3)	-387(3)	-442(1)
179	7	0.99(1)	0.25(4-II-2)	0.83(1)	-379(3)	181(1)	-403(1)
179	8	0.79(3)	-0.27(1)	0.91(1)	-291(4-II-1)	242(1)	-250(1)
180	1	-0.44(2)	0.91(1)	-0.09(4-II-1)	84(4-I-2)	-2423(1)	88(3)
180	2	0.15(4-II-2)	0.77(1)	-0.19(4-II-1)	-228(1)	-1938(1)	190(3)
180	3	-0.10(2)	0.71(1)	-0.43(3)	-244(1)	-779(1)	398(3)
180	4	-0.34(1)	0.48(4-II-1)	-0.57(3)	-192(3)	614(1)	358(1)
180	5	-0.55(1)	0.91(1)	-0.44(3)	471(1)	1122(1)	96(4-II-1)
180	6	-0.56(2)	0.96(1)	0.28(1)	484(1)	898(1)	-57(1)
180	7	0.44(1)	0.54(1)	0.38(1)	151(4-I-1)	500(1)	-218(1)
180	8	-0.27(4-I-1)	0.66(1)	0.16(1)	163(4-I-1)	297(3)	-264(1)
180	9	-0.24(4-I-4)	0.93(1)	-0.16(3)	178(4-I-1)	-418(1)	-303(1)

**POTENZIAMENTO DELL'IMPIANTO DI DEPURAZIONE E
DEL RECAPITO FINALE DI SQUINZANO (LE)
PROGETTO DEFINITIVO
Tabulati di calcolo strutturale-Edificio Grigliatura
Grossolana**

R.37.11

Maggio 2021

Pagina 82 di 183

Muro	Pann.	Sxx	Syy	Sxy	Mxx	Myy	Mxy
180	10	-0.49 (3)	0.97 (1)	-0.11 (3)	173 (3)	-1306 (1)	49 (3)
180	11	-0.40 (4-I-2)	0.76 (1)	-0.07 (4-II-1)	-199 (1)	-1844 (1)	-69 (1)
180	12	-0.47 (2)	0.93 (1)	-0.14 (4-II-1)	329 (2)	-459 (1)	-161 (1)
180	13	-0.32 (4-I-1)	0.65 (1)	0.24 (1)	108 (4-I-2)	-380 (1)	-342 (1)
181	1	1.52 (1)	-0.50 (4-I-1)	0.21 (4-I-1)	-1400 (1)	-353 (1)	635 (1)
181	2	1.70 (1)	-0.41 (4-I-1)	-0.34 (1)	-854 (1)	219 (1)	139 (1)
181	3	1.22 (1)	-0.61 (1)	0.20 (4-I-1)	-312 (3)	669 (1)	-157 (1)
181	4	2.03 (1)	-0.21 (4-I-2)	-0.42 (1)	-743 (1)	-325 (1)	316 (1)
181	5	1.53 (1)	-0.52 (4-I-1)	-0.25 (1)	-1586 (1)	-544 (1)	713 (1)
181	6	1.52 (1)	-0.49 (4-I-1)	-0.24 (1)	-1327 (1)	-256 (1)	482 (1)
181	7	1.48 (1)	-0.48 (4-I-1)	-0.21 (1)	-1231 (1)	-599 (1)	506 (1)
181	8	1.51 (1)	-0.48 (4-I-1)	0.21 (4-I-1)	-1628 (1)	-768 (1)	800 (1)
182	1	0.66 (1)	0.76 (4-II-1)	-0.14 (1)	-317 (1)	-266 (4-II-1)	-97 (4-I-1)
182	2	0.74 (1)	0.80 (4-II-2)	0.19 (4-I-1)	-307 (1)	-411 (3)	-86 (4-I-1)
182	3	0.55 (1)	0.81 (4-II-2)	0.25 (3)	-217 (1)	-546 (3)	-93 (3)
182	4	0.91 (1)	0.58 (4-II-1)	0.17 (4-I-1)	-371 (1)	-219 (4-II-1)	-81 (3)
182	5	0.67 (1)	0.81 (4-II-2)	-0.14 (1)	-342 (1)	-317 (4-II-1)	115 (1)
182	6	0.66 (1)	0.67 (4-II-1)	0.13 (4-I-1)	-314 (1)	-346 (4-II-1)	-132 (3)
182	7	0.66 (1)	0.70 (4-II-1)	0.15 (4-I-1)	-289 (1)	-221 (4-II-1)	94 (1)
182	8	0.66 (1)	0.71 (4-II-1)	-0.14 (1)	-358 (1)	-219 (4-II-1)	142 (1)
183	1	0.45 (3)	1.00 (1)	0.19 (2)	-260 (1)	-1173 (1)	-49 (2)
183	2	0.42 (3)	1.57 (1)	0.19 (1)	-194 (1)	-785 (1)	-52 (3)
183	3	0.44 (3)	0.95 (1)	0.27 (2)	-193 (3)	-290 (3)	-117 (2)
183	4	0.60 (3)	0.88 (1)	0.16 (2)	-234 (3)	-152 (3)	-194 (1)
183	5	0.65 (3)	0.96 (1)	0.08 (1)	-224 (3)	-142 (5-I-2)	-189 (1)
183	6	0.75 (3)	1.09 (1)	-0.20 (3)	-325 (3)	-568 (1)	-79 (1)
183	7	0.48 (3)	0.97 (1)	0.07 (1)	-233 (1)	-1209 (1)	47 (4-I-1)
184	1	1.09 (3)	0.53 (3)	-0.20 (3)	-643 (3)	-538 (3)	-95 (1)
184	2	0.56 (3)	0.55 (3)	-0.32 (3)	-194 (3)	-280 (3)	159 (4-II-1)
184	3	0.62 (3)	0.96 (3)	0.23 (1)	-259 (3)	-431 (3)	-107 (1)
184	4	0.59 (3)	0.71 (3)	-0.16 (4-II-1)	-218 (3)	-213 (5-I-2)	181 (3)
184	5	0.89 (3)	0.63 (3)	0.16 (1)	-363 (3)	76 (2)	62 (3)
184	6	1.00 (3)	0.78 (3)	0.46 (1)	-417 (3)	-265 (3)	-219 (3)
184	7	1.06 (3)	0.68 (3)	0.26 (1)	-533 (3)	-529 (3)	-227 (3)
184	8	1.11 (3)	0.59 (3)	0.18 (1)	-688 (3)	-724 (3)	-229 (2)
184	9	0.92 (3)	0.60 (3)	0.15 (1)	-538 (3)	-235 (3)	-41 (1)
185	1	1.01 (3)	0.47 (3)	-0.19 (2)	-428 (3)	-175 (3)	110 (1)
185	2	0.95 (3)	0.40 (3)	-0.23 (2)	-382 (3)	-131 (3)	104 (1)
185	3	1.25 (1)	0.43 (3)	-0.15 (3)	-755 (1)	-376 (1)	126 (1)
185	4	0.96 (3)	0.33 (3)	-0.22 (2)	-405 (3)	-182 (3)	101 (3)
185	5	0.97 (3)	0.46 (3)	-0.18 (2)	-532 (3)	-211 (3)	99 (1)
185	6	0.99 (3)	0.46 (3)	-0.19 (2)	-372 (3)	-225 (3)	121 (1)
185	7	1.03 (3)	0.48 (3)	-0.20 (2)	-450 (3)	-173 (3)	153 (2)
185	8	1.01 (3)	0.47 (3)	-0.18 (2)	-590 (3)	-211 (3)	111 (1)
186	1	1.48 (1)	0.42 (3)	-0.20 (3)	-937 (1)	-106 (1)	-151 (1)
186	2	1.16 (1)	0.49 (3)	-0.10 (3)	-1166 (1)	-287 (1)	112 (3)
186	3	1.16 (1)	0.50 (3)	-0.11 (3)	-1127 (1)	-304 (1)	107 (3)
186	4	1.48 (1)	0.46 (3)	0.17 (1)	-908 (1)	-252 (1)	147 (1)
186	5	0.73 (1)	0.52 (3)	-0.35 (2)	-97 (3)	-91 (3)	-115 (1)
186	6	1.01 (1)	0.53 (3)	-0.11 (2)	256 (1)	-223 (3)	-44 (1)
186	7	1.07 (1)	0.48 (3)	0.09 (1)	187 (1)	-221 (3)	33 (2)
186	8	0.96 (3)	0.41 (3)	0.20 (1)	-296 (3)	-166 (3)	115 (1)
187	1	1.94 (1)	-0.14 (3)	0.84 (1)	259 (3)	475 (3)	1006 (2)
187	2	2.30 (1)	-0.85 (3)	1.09 (3)	654 (3)	591 (3)	586 (2)
187	3	1.94 (1)	-0.71 (3)	0.58 (3)	-513 (1)	531 (3)	469 (2)
187	4	1.67 (1)	-0.70 (3)	0.38 (3)	-681 (1)	457 (3)	355 (2)
187	5	1.45 (1)	-0.51 (3)	0.14 (3)	-671 (1)	548 (3)	327 (2)
187	6	0.84 (1)	-0.27 (2)	0.97 (1)	342 (2)	1145 (3)	968 (2)
187	7	1.41 (1)	-0.26 (3)	0.90 (1)	368 (3)	799 (3)	1043 (2)
187	8	1.69 (1)	-0.32 (3)	0.75 (3)	-352 (1)	811 (3)	793 (2)
188	1	-1.64 (3)	0.84 (1)	0.20 (3)	1191 (2)	1943 (2)	-478 (2)
188	2	-1.91 (2)	1.06 (1)	0.45 (3)	1151 (2)	1828 (2)	-780 (2)
188	3	-1.51 (2)	0.91 (1)	0.49 (3)	719 (3)	1789 (2)	-347 (3)
188	4	-0.58 (3)	0.80 (1)	0.35 (3)	422 (3)	1925 (2)	290 (1)
188	5	0.84 (1)	0.37 (1)	0.24 (1)	-359 (1)	782 (2)	-410 (1)
188	6	-0.82 (3)	0.23 (1)	-0.20 (1)	854 (2)	1626 (2)	-340 (2)
189	1	-0.97 (3)	-0.19 (2)	-1.30 (1)	1626 (3)	977 (2)	-892 (2)
189	2	-0.92 (3)	0.18 (1)	-1.39 (1)	1855 (3)	962 (2)	-784 (2)
189	3	-1.09 (3)	0.20 (3)	-1.47 (1)	2180 (2)	697 (2)	-243 (2)
189	4	-0.87 (3)	0.19 (4-II-2)	-1.39 (1)	2270 (2)	833 (2)	-496 (3)
189	5	-0.96 (3)	-0.15 (2)	-1.35 (1)	1477 (3)	1357 (2)	-1194 (3)
189	6	-0.91 (3)	-0.15 (2)	-1.35 (1)	1773 (3)	943 (2)	-899 (2)
189	7	-0.95 (3)	-0.24 (2)	-1.29 (1)	1731 (3)	1361 (2)	-714 (2)
189	8	-0.90 (3)	-0.14 (2)	-1.30 (1)	-1384 (1)	1248 (2)	-1230 (3)
190	1	-0.63 (3)	0.15 (3)	-1.07 (1)	2440 (3)	-285 (1)	-217 (3)

**POTENZIAMENTO DELL'IMPIANTO DI DEPURAZIONE E
DEL RECAPITO FINALE DI SQUINZANO (LE)
PROGETTO DEFINITIVO
Tabulati di calcolo strutturale-Edificio Grigliatura
Grossolana**

R.37.11

Maggio 2021

Pagina 83 di 183

Muro	Pann.	Sxx	Syy	Sxy	Mxx	Myy	Mxy
190	2	-0.97 (3)	0.21 (3)	-1.40 (1)	2548 (2)	267 (2)	278 (1)
190	3	-0.55 (2)	0.84 (3)	-1.03 (1)	858 (2)	-498 (3)	150 (1)
190	4	-0.46 (3)	0.74 (3)	-1.07 (1)	2103 (3)	-509 (1)	255 (1)
190	5	-0.50 (3)	-0.27 (2)	-1.06 (1)	2299 (3)	650 (2)	-615 (3)
190	6	-0.48 (3)	-0.08 (2)	-1.14 (1)	2351 (3)	-271 (1)	260 (1)
190	7	-0.66 (3)	0.21 (3)	-1.13 (1)	2558 (3)	595 (2)	269 (1)
190	8	-0.57 (3)	0.23 (3)	-0.99 (1)	2466 (3)	362 (2)	-696 (3)
191	1	-1.64 (1)	1.21 (1)	1.01 (3)	889 (2)	1323 (2)	-411 (1)
191	2	-0.92 (1)	1.21 (1)	1.19 (3)	-222 (3)	477 (2)	-705 (2)
191	3	-1.68 (1)	1.13 (1)	0.70 (3)	1257 (2)	1581 (2)	-914 (2)
192	1	0.25 (1)	1.50 (1)	-0.41 (1)	-104 (1)	-1298 (1)	194 (1)
192	2	0.18 (1)	1.70 (1)	-0.47 (1)	337 (3)	-449 (1)	516 (1)
192	3	-0.26 (2)	0.90 (1)	-0.34 (1)	110 (2)	84 (1)	175 (1)
192	4	0.20 (1)	1.63 (1)	-0.51 (1)	-285 (3)	-974 (1)	-316 (3)
192	5	0.24 (1)	1.56 (1)	-0.40 (1)	-205 (1)	-1770 (1)	123 (1)
192	6	0.23 (1)	1.50 (1)	-0.41 (1)	-114 (1)	-1077 (1)	305 (1)
192	7	0.26 (1)	1.47 (1)	-0.43 (1)	-316 (1)	-1440 (1)	-202 (3)
192	8	0.26 (1)	1.50 (1)	-0.44 (1)	-310 (1)	-2010 (1)	-109 (3)
193	1	0.22 (4-I-1)	-0.16 (1)	1.07 (1)	-354 (1)	1590 (3)	-484 (2)
193	2	0.06 (4-I-1)	-0.42 (3)	0.86 (1)	-585 (3)	662 (2)	216 (3)
193	3	0.45 (1)	-0.26 (1)	1.14 (1)	-935 (1)	689 (2)	-87 (2)
193	4	0.16 (4-I-1)	-0.21 (1)	0.86 (1)	-308 (1)	1227 (3)	-449 (2)
193	5	-0.14 (1)	-0.26 (1)	0.94 (1)	-273 (1)	1477 (3)	-586 (2)
193	6	0.22 (4-I-1)	-0.31 (1)	0.97 (1)	-267 (1)	1195 (3)	-538 (2)
193	7	0.25 (4-I-1)	-0.23 (1)	0.82 (1)	-392 (1)	1129 (3)	-375 (2)
193	8	0.17 (4-I-1)	-0.29 (1)	0.80 (1)	-344 (1)	1313 (3)	-505 (2)
194	1	7.41 (3)	17.04 (3)	-10.85 (3)	-5449 (3)	-17132 (3)	7219 (3)
194	2	6.30 (3)	17.96 (3)	-10.10 (3)	-3720 (3)	-15085 (3)	5593 (3)
194	3	7.20 (3)	17.67 (3)	-9.44 (3)	-6869 (3)	-13239 (3)	6985 (3)
194	4	8.37 (3)	16.78 (3)	-11.40 (3)	-7182 (3)	-15096 (3)	7864 (3)
194	5	8.52 (3)	18.61 (3)	-11.43 (3)	-8131 (3)	-16229 (3)	7937 (3)
194	6	8.16 (3)	16.53 (3)	-10.52 (3)	-7264 (3)	-16253 (3)	7878 (3)
194	7	7.84 (3)	17.04 (3)	-10.93 (3)	-7117 (3)	-14461 (3)	7956 (3)
194	8	7.78 (3)	17.92 (3)	-12.16 (3)	-7588 (3)	-14624 (3)	7593 (3)
195	1	19.11 (3)	-2.26 (3)	-1.54 (4-II-3)	-9341 (3)	-1255 (3)	-2968 (3)
195	2	15.22 (3)	-0.61 (4-I-3)	1.48 (4-I-3)	-9185 (3)	-2563 (3)	-3026 (3)
195	3	6.00 (3)	-1.45 (3)	-3.10 (4-II-3)	-2220 (5-II-1)	-2461 (3)	-3078 (3)
195	4	6.40 (3)	-2.15 (3)	-1.19 (4-II-3)	-1591 (5-II-1)	-2262 (3)	-2176 (3)
195	5	-1.92 (5-I-2)	-1.33 (4-I-3)	-1.73 (4-II-3)	1245 (5-I-2)	-2031 (3)	-1400 (4-II-3)
195	6	2.74 (5-II-2)	-2.14 (3)	1.35 (4-I-3)	1715 (5-I-2)	-2091 (3)	-1331 (4-I-3)
195	7	-2.58 (5-I-2)	-0.80 (4-II-3)	1.85 (4-I-3)	-1030 (5-II-2)	-972 (3)	302 (1)
195	8	-3.37 (5-I-2)	-0.93 (4-II-3)	2.67 (4-I-3)	1362 (5-I-2)	-1381 (4-I-3)	1026 (4-II-3)
196	1	-2.40 (5-I-2)	-1.77 (4-I-3)	3.81 (3)	1367 (3)	2544 (3)	-1058 (3)
196	2	-2.28 (5-I-2)	-1.50 (4-I-3)	3.94 (3)	1276 (5-I-2)	1809 (3)	-1028 (4-I-2)
196	3	-2.10 (5-I-2)	-1.53 (4-I-3)	3.55 (4-I-3)	1215 (5-I-2)	859 (4-I-3)	-971 (4-I-3)
196	4	-3.15 (5-I-2)	2.59 (4-II-3)	3.17 (4-I-3)	1346 (5-I-2)	-1512 (4-II-3)	1183 (4-II-3)
196	5	-3.13 (3)	0.91 (4-II-3)	4.07 (3)	2811 (3)	3446 (3)	-815 (4-I-3)
196	6	-1.72 (5-I-2)	0.51 (4-II-3)	3.96 (3)	3260 (3)	2360 (3)	-1049 (4-I-3)
196	7	1.59 (5-II-2)	-0.36 (4-I-3)	3.39 (3)	2944 (3)	765 (3)	-1128 (4-I-3)
196	8	2.69 (5-II-2)	-1.55 (3)	2.67 (4-I-3)	2323 (5-I-2)	-1220 (3)	-946 (4-I-3)
196	9	-2.27 (5-I-2)	1.59 (3)	4.64 (3)	1697 (2)	2970 (3)	-724 (4-I-3)
196	10	-1.36 (5-I-2)	1.67 (3)	4.14 (3)	1725 (2)	1651 (3)	-1271 (4-I-3)
196	11	1.83 (5-II-1)	1.33 (3)	4.47 (3)	1285 (5-I-1)	-290 (4-II-3)	-1516 (4-I-3)
196	12	4.16 (5-I-1)	-0.30 (2)	3.68 (3)	836 (5-I-1)	-2056 (3)	-1554 (3)
196	13	1.14 (1)	0.54 (4-II-3)	3.59 (3)	-2257 (3)	918 (4-II-3)	-1838 (3)
196	14	-1.04 (5-I-2)	1.65 (3)	3.06 (3)	-4150 (3)	-784 (3)	-3277 (3)
196	15	1.17 (5-II-1)	3.80 (3)	3.68 (3)	-5759 (3)	-2238 (3)	-3808 (3)
196	16	7.05 (3)	4.19 (3)	5.80 (3)	-6967 (3)	-4259 (3)	-3620 (3)
197	1	-3.15 (1)	-0.27 (1)	-0.76 (1)	-205 (2)	-136 (2)	-507 (2)
197	2	-3.15 (1)	-0.17 (1)	-0.55 (1)	-214 (2)	-84 (2)	-481 (2)
197	3	-3.15 (3)	-0.10 (1)	-0.34 (1)	-219 (2)	-39 (2)	-420 (2)
197	4	-3.08 (3)	-0.14 (1)	-0.06 (1)	-219 (2)	-11 (2)	-229 (2)
197	5	-3.96 (1)	-0.35 (1)	-1.16 (1)	239 (2)	-64 (3)	-514 (2)
197	6	-4.05 (1)	-0.25 (1)	-0.85 (1)	253 (2)	-35 (3)	-489 (2)
197	7	-3.99 (1)	-0.19 (1)	-0.48 (1)	263 (2)	-11 (3)	-431 (2)
197	8	-3.87 (1)	-0.50 (1)	-0.18 (1)	272 (2)	12 (1)	-230 (2)
197	9	-4.78 (1)	-0.90 (1)	-2.03 (1)	937 (2)	24 (2)	-401 (2)
197	10	-5.37 (1)	-0.60 (1)	-1.79 (1)	989 (2)	24 (2)	-381 (2)
197	11	-5.81 (1)	-0.23 (1)	-1.22 (1)	1033 (2)	-24 (1)	-342 (2)
197	12	-5.32 (1)	-0.66 (1)	-0.09 (1)	1027 (2)	-55 (2)	-221 (2)
197	13	-4.69 (1)	-2.82 (1)	-2.61 (1)	1970 (2)	234 (2)	-394 (3)
197	14	-5.74 (1)	-2.96 (1)	-2.77 (1)	2041 (2)	240 (2)	-357 (3)
197	15	-7.51 (1)	-2.78 (1)	-2.98 (1)	2097 (2)	240 (2)	-286 (3)
197	16	-11.06 (1)	-1.14 (1)	-3.23 (1)	2159 (2)	259 (2)	-110 (3)
198	1	-1.70 (1)	-1.81 (1)	-2.01 (1)	142 (3)	1156 (3)	-464 (2)

Muro	Pann.	Sxx	Syy	Sxy	Mxx	Myy	Mxy
198	2	-2.05 (1)	-1.49 (1)	-1.80 (1)	78 (1)	167 (3)	-606 (2)
198	3	-2.52 (1)	-1.10 (1)	-1.55 (1)	-129 (2)	-237 (2)	-585 (2)
198	4	-2.98 (1)	-0.62 (1)	-1.14 (1)	-182 (2)	-227 (2)	-538 (2)
198	5	-1.67 (1)	-2.02 (1)	-1.98 (1)	184 (3)	923 (3)	-440 (2)
198	6	-2.19 (1)	-1.85 (1)	-1.94 (1)	135 (1)	141 (3)	-606 (2)
198	7	-2.77 (1)	-1.54 (1)	-1.84 (1)	160 (1)	-157 (2)	-591 (2)
198	8	-3.47 (1)	-0.98 (1)	-1.57 (1)	201 (2)	-130 (2)	-543 (2)
198	9	-1.68 (1)	-2.37 (1)	-1.92 (1)	278 (2)	708 (3)	-341 (2)
198	10	-2.19 (1)	-2.36 (1)	-1.87 (1)	390 (2)	105 (3)	-472 (2)
198	11	-2.77 (1)	-2.17 (1)	-2.03 (1)	603 (2)	-57 (2)	-466 (2)
198	12	-3.74 (1)	-1.80 (1)	-2.14 (1)	813 (2)	-12 (4-II-2)	-425 (2)
198	13	-1.96 (3)	-2.88 (1)	-1.45 (1)	449 (2)	399 (3)	-195 (2)
198	14	-2.07 (1)	-2.76 (1)	-1.77 (1)	862 (2)	93 (3)	-321 (2)
198	15	-2.55 (1)	-2.81 (1)	-1.97 (1)	1369 (2)	77 (2)	-342 (3)
198	16	-3.44 (1)	-2.93 (1)	-2.27 (1)	1761 (2)	164 (2)	-342 (3)
199	1	-1.41 (1)	-0.11 (1)	0.60 (1)	740 (3)	-56 (2)	-406 (3)
199	2	-1.99 (2)	-0.19 (1)	1.86 (1)	921 (3)	291 (3)	-93 (2)
199	3	-2.28 (2)	-0.27 (3)	2.72 (1)	1396 (3)	274 (3)	249 (3)
199	4	-2.22 (2)	-0.38 (2)	3.34 (1)	1432 (3)	46 (3)	47 (1)
199	5	-2.19 (1)	-0.55 (2)	0.30 (1)	333 (3)	-335 (3)	-74 (3)
199	6	-2.58 (1)	-0.28 (1)	1.51 (1)	770 (3)	515 (3)	36 (3)
199	7	-2.68 (2)	-0.23 (1)	2.46 (1)	794 (3)	401 (3)	151 (2)
199	8	-2.59 (2)	-0.33 (1)	3.14 (1)	238 (3)	-314 (3)	-190 (2)
199	9	-3.09 (1)	-0.62 (3)	-0.26 (4-II-3)	50 (2)	-366 (3)	107 (2)
199	10	-3.22 (1)	-0.49 (3)	1.07 (1)	204 (2)	361 (2)	192 (3)
199	11	-3.46 (1)	-0.34 (1)	1.95 (1)	108 (2)	372 (2)	-34 (1)
199	12	-3.16 (3)	-0.42 (1)	2.83 (1)	-126 (3)	-337 (3)	-272 (3)
199	13	-4.14 (1)	-0.69 (2)	-0.30 (4-II-3)	-655 (3)	-234 (3)	-96 (1)
199	14	-3.79 (1)	-0.66 (1)	0.76 (1)	-517 (3)	-109 (1)	162 (2)
199	15	-3.91 (1)	-0.60 (1)	1.24 (1)	-746 (3)	-111 (1)	-14 (3)
199	16	-4.52 (1)	-0.51 (1)	2.07 (1)	-1025 (3)	-250 (3)	-175 (3)
200	1	-4.95 (2)	2.28 (1)	0.42 (3)	613 (3)	-1487 (2)	980 (3)
200	2	-5.07 (2)	2.56 (1)	0.25 (3)	727 (3)	-912 (2)	809 (3)
200	3	-5.19 (2)	2.85 (1)	-0.08 (2)	870 (3)	-455 (2)	628 (3)
200	4	-5.23 (2)	3.14 (3)	-0.47 (2)	1011 (3)	-160 (1)	475 (3)
200	5	-4.77 (1)	1.88 (1)	-0.20 (2)	56 (1)	-1309 (2)	392 (2)
200	6	-4.80 (1)	2.02 (1)	-0.35 (2)	50 (1)	-685 (2)	429 (2)
200	7	-4.81 (1)	2.15 (1)	-0.37 (2)	186 (2)	-151 (2)	408 (2)
200	8	-4.88 (1)	2.35 (1)	-0.36 (2)	403 (2)	266 (3)	369 (2)
200	9	-4.93 (1)	1.29 (1)	-0.40 (1)	30 (1)	-436 (2)	101 (2)
200	10	-4.96 (1)	1.61 (1)	-0.36 (2)	-107 (3)	-29 (3)	350 (2)
200	11	-4.91 (1)	1.87 (1)	-0.29 (2)	-79 (3)	406 (2)	420 (2)
200	12	-4.90 (1)	2.11 (1)	-0.24 (2)	90 (2)	721 (2)	414 (2)
200	13	-5.35 (1)	-0.44 (4-II-2)	-0.72 (1)	-425 (3)	-193 (3)	-333 (3)
200	14	-4.91 (1)	0.81 (1)	-0.49 (3)	-422 (3)	158 (2)	-149 (1)
200	15	-4.63 (1)	1.19 (1)	-0.39 (3)	-568 (3)	402 (2)	64 (2)
200	16	-4.54 (1)	1.60 (1)	0.16 (1)	-681 (3)	525 (2)	53 (2)
201	1	-0.79 (1)	0.36 (4-I-4)	-0.99 (1)	-2124 (5-I-1)	686 (3)	1578 (4-I-2)
201	2	-0.52 (4-I-4)	0.90 (4-I-4)	-1.19 (3)	-2103 (5-I-1)	1088 (3)	1455 (5-I-1)
201	3	0.26 (3)	1.68 (4-I-4)	-1.74 (3)	-1494 (5-I-1)	823 (1)	1563 (5-I-1)
201	4	0.79 (4-I-4)	3.23 (4-I-1)	-1.92 (3)	1073 (1)	1294 (1)	1520 (4-I-3)
201	5	2.05 (4-I-2)	5.55 (4-I-1)	-1.69 (1)	2030 (1)	-3479 (4-I-1)	-1657 (2)
201	6	0.81 (4-I-1)	2.45 (4-I-1)	-1.83 (1)	1466 (5-II-1)	1570 (1)	1407 (4-I-3)
201	7	0.17 (5-II-4)	0.93 (5-I-1)	-1.71 (1)	1110 (5-II-1)	1436 (1)	1576 (4-I-3)
201	8	-0.88 (4-I-1)	-0.66 (1)	-1.22 (1)	-2784 (5-I-1)	614 (5-II-4)	1106 (4-I-2)
201	9	-1.05 (1)	-0.35 (1)	-1.15 (1)	-2511 (5-I-1)	486 (3)	1346 (4-I-2)
201	10	-0.20 (4-I-1)	0.87 (4-I-3)	-1.37 (1)	-1456 (5-I-1)	1104 (2)	1760 (5-I-1)
202	1	-1.21 (1)	1.18 (4-II-1)	-0.65 (1)	-2286 (5-I-1)	600 (5-II-4)	822 (4-I-1)
202	2	-1.38 (4-II-1)	0.81 (5-I-4)	-2.57 (1)	-1122 (5-I-1)	2594 (1)	809 (4-I-3)
202	3	-1.38 (1)	1.93 (4-II-1)	1.76 (4-II-1)	-3087 (5-I-3)	1092 (1)	-1711 (4-II-1)
203	1	-1.50 (1)	1.66 (3)	1.15 (1)	1849 (1)	2065 (1)	-1308 (4-I-4)
203	2	3.91 (4-I-1)	2.97 (4-I-3)	1.02 (1)	-2933 (4-I-1)	3548 (1)	1315 (1)
203	3	-1.68 (1)	1.85 (3)	0.87 (1)	2070 (1)	2712 (1)	-1338 (4-I-4)
203	4	-2.63 (1)	1.53 (3)	0.83 (5-I-4)	1941 (1)	1656 (1)	-823 (4-I-4)
203	5	-1.54 (1)	0.37 (4-II-1)	1.22 (1)	945 (4-I-1)	-2622 (5-I-1)	539 (3)
203	6	-1.93 (1)	0.90 (1)	1.02 (1)	1836 (2)	-1376 (5-I-1)	-756 (4-I-3)
204	1	-3.79 (1)	-0.69 (4-II-3)	-1.21 (4-II-4)	1407 (1)	754 (5-II-1)	826 (1)
204	2	-3.14 (1)	0.95 (4-I-2)	-0.78 (1)	1027 (1)	-267 (5-I-1)	935 (1)
204	3	2.92 (4-II-1)	0.82 (5-I-4)	0.81 (4-II-1)	-1591 (4-II-1)	-212 (5-I-4)	-430 (4-II-1)
204	4	-3.35 (1)	-0.85 (5-II-1)	-1.40 (1)	1512 (1)	-490 (4-I-1)	-280 (5-I-4)
204	5	-3.29 (1)	-0.85 (5-II-1)	-1.46 (4-II-4)	1524 (1)	877 (5-II-1)	624 (4-II-4)
204	6	5.66 (4-I-1)	-1.70 (5-II-1)	-2.69 (5-II-1)	-2719 (4-I-1)	670 (5-II-4)	1157 (5-II-1)
204	7	-2.68 (4-II-1)	-2.62 (5-II-4)	-2.52 (4-II-1)	2201 (1)	-2100 (1)	-1618 (4-I-1)
204	8	-3.54 (4-II-1)	-2.76 (5-II-4)	-1.74 (1)	1276 (4-II-1)	-353 (4-I-1)	917 (5-II-1)
204	9	-3.26 (4-II-1)	-1.73 (5-II-4)	-1.64 (2)	1467 (4-II-1)	-205 (4-I-1)	830 (5-II-1)

Muro	Pann.	Sxx	Syy	Sxy	Mxx	Myy	Mxy
205	1	3.26(4-I-1)	-3.42(5-II-1)	-1.57(4-II-1)	-2122(4-I-1)	1488(5-II-1)	788(5-I-4)
205	2	2.74(4-I-1)	-3.23(5-II-1)	-1.83(4-II-1)	-1699(4-I-4)	1340(5-II-1)	880(5-I-4)
205	3	2.74(4-I-1)	-3.21(5-II-1)	-1.85(4-II-1)	-1509(4-I-3)	1171(5-II-1)	1139(5-I-4)
205	4	2.59(4-I-1)	-2.94(5-II-1)	-2.53(4-II-1)	-1065(4-I-1)	1269(5-II-1)	938(4-II-1)
205	5	2.29(4-I-1)	-2.60(4-II-3)	1.62(4-I-1)	700(1)	1189(5-II-1)	-1007(4-I-1)
205	6	4.06(4-I-1)	-2.69(4-II-2)	2.17(4-I-1)	-1783(4-I-1)	1150(5-II-1)	-1218(4-I-1)
205	7	3.19(4-I-1)	-3.14(5-II-1)	-1.39(4-II-1)	-2322(4-I-1)	1180(4-II-3)	701(4-II-1)
205	8	3.59(4-I-1)	-3.25(5-II-1)	-1.77(4-II-1)	-1936(4-I-1)	1512(5-II-1)	875(4-II-1)
206	1	0.81(1)	0.70(1)	2.14(1)	-314(1)	169(2)	-67(2)
206	2	-0.63(3)	0.15(1)	2.63(1)	-305(1)	46(2)	16(3)
206	3	-0.62(2)	-0.19(2)	2.78(1)	-350(1)	-32(3)	66(3)
206	4	-0.44(1)	-0.60(1)	2.81(1)	-235(3)	-27(3)	183(1)
206	5	-0.69(3)	-0.94(3)	2.12(1)	38(3)	559(2)	-89(2)
206	6	-0.55(3)	-0.72(3)	2.75(1)	20(2)	272(2)	-33(1)
206	7	-0.47(2)	-0.66(2)	2.92(1)	7(5-I-3)	127(1)	88(3)
206	8	-0.43(1)	-0.60(2)	2.97(1)	-30(3)	85(1)	302(1)
206	9	-1.06(1)	-1.65(3)	2.00(1)	112(3)	865(2)	-40(2)
206	10	-0.65(1)	-1.33(3)	2.31(1)	103(3)	502(1)	13(5-I-1)
206	11	-0.42(3)	-1.13(2)	2.41(1)	94(3)	270(1)	96(3)
206	12	-0.43(5-I-3)	-0.80(2)	2.33(1)	43(3)	135(1)	264(1)
206	13	-1.23(1)	-2.64(2)	1.84(1)	64(3)	1097(2)	79(1)
206	14	-0.23(1)	-2.44(2)	1.25(1)	38(3)	670(1)	68(3)
206	15	-0.13(3)	-1.70(3)	1.12(1)	63(1)	333(1)	132(1)
206	16	-0.79(5-I-3)	-1.24(3)	1.19(1)	174(1)	132(1)	268(1)
207	1	-1.80(4-I-4)	2.13(1)	0.93(1)	558(1)	-423(4-I-4)	378(1)
207	2	-0.10(4-I-1)	-1.87(4-I-4)	0.18(4-I-4)	-98(1)	-163(4-I-4)	62(5-I-1)
207	3	-0.10(4-I-1)	-1.62(4-I-4)	-0.26(4-I-1)	-29(5-I-1)	-80(5-II-3)	59(5-I-1)
207	4	-1.81(4-I-4)	1.60(1)	-0.77(1)	254(5-I-1)	-60(5-II-1)	-39(5-I-1)
207	5	0.77(1)	0.65(1)	0.54(3)	301(1)	-179(4-I-4)	178(1)
207	6	-0.07(1)	-0.98(4-I-4)	0.27(1)	-9(4-I-4)	-195(4-I-4)	110(5-I-1)
207	7	-0.07(1)	-0.88(4-I-4)	-0.12(2)	1(5-I-1)	-91(2)	56(5-I-1)
207	8	0.60(1)	0.52(1)	-0.55(3)	121(5-I-1)	53(5-I-1)	74(5-I-1)
207	9	0.39(1)	0.27(3)	0.49(4-I-4)	127(1)	-116(4-I-4)	81(1)
207	10	0.00(5-I-4)	0.81(1)	0.28(1)	19(1)	-207(4-I-4)	93(5-I-1)
207	11	0.06(4-I-1)	0.90(1)	-0.27(4-I-1)	14(5-I-1)	-108(2)	59(5-I-1)
207	12	0.42(1)	0.32(1)	-0.53(4-I-4)	37(5-I-1)	106(5-I-1)	125(5-I-1)
207	13	0.38(4-I-4)	0.50(4-I-4)	0.21(4-I-4)	24(3)	-92(4-I-4)	37(1)
207	14	0.28(4-I-4)	1.26(4-I-4)	0.13(1)	-1(4-I-1)	-209(4-I-4)	57(5-I-1)
207	15	0.19(3)	1.14(3)	-0.10(1)	13(4-I-4)	-135(3)	30(5-I-1)
207	16	0.51(1)	0.71(1)	-0.47(4-I-1)	-12(5-II-3)	328(4-I-2)	201(5-I-1)
208	1	-4.02(3)	1.59(3)	-3.34(3)	-472(3)	-390(4-I-4)	-273(4-I-4)
208	2	-1.80(3)	-1.38(3)	-2.19(3)	-148(3)	-228(4-I-3)	-157(4-I-3)
208	3	-1.11(3)	-0.76(3)	-1.23(3)	-87(3)	-102(4-I-3)	-103(4-I-3)
208	4	-0.90(3)	-0.53(3)	-0.36(3)	-73(3)	-19(4-I-3)	-44(4-I-3)
208	5	-1.13(3)	1.19(4-I-1)	0.70(1)	-82(4-II-1)	-120(4-II-1)	-95(4-I-3)
208	6	-2.10(3)	1.03(4-I-1)	-0.12(4-I-1)	-114(4-II-1)	-97(3)	-195(4-I-3)
208	7	-2.55(3)	0.54(3)	-0.40(3)	-113(4-II-1)	-50(3)	-176(4-I-3)
208	8	-3.15(3)	-0.26(3)	-0.20(3)	-109(3)	-10(3)	-101(4-I-3)
208	9	-0.68(3)	0.30(4-I-1)	0.73(4-I-1)	-37(4-II-1)	54(4-I-1)	-131(4-I-3)
208	10	-1.33(3)	0.21(4-I-1)	0.65(4-I-1)	-48(4-II-1)	42(4-I-1)	-204(4-I-3)
208	11	-2.10(3)	-0.07(1)	0.46(4-I-1)	-59(4-II-1)	-19(4-II-1)	-196(4-I-3)
208	12	-2.91(3)	-0.30(3)	0.17(4-I-1)	-63(4-II-1)	4(4-I-1)	-113(4-I-3)
208	13	-0.64(3)	0.20(4-I-3)	0.84(3)	-37(4-II-1)	110(4-I-1)	-90(4-I-3)
208	14	-0.98(3)	0.06(4-I-3)	0.73(3)	46(4-I-1)	60(4-I-1)	-163(4-I-3)
208	15	-1.40(3)	-0.09(3)	0.53(3)	55(4-I-1)	27(4-I-1)	-175(3)
208	16	-1.89(3)	-0.11(3)	0.18(4-I-1)	57(4-I-1)	5(4-I-1)	-102(3)
209	1	0.38(1)	-0.49(3)	1.04(3)	36(4-I-1)	85(4-I-1)	-45(5-I-4)
209	2	-0.32(3)	-0.20(3)	0.80(3)	54(4-I-1)	44(4-I-1)	-162(3)
209	3	-0.61(3)	-0.13(3)	0.53(3)	57(4-I-1)	19(4-I-1)	-177(3)
209	4	-0.86(3)	0.02(4-I-1)	0.18(3)	56(4-I-1)	3(4-I-1)	-104(3)
209	5	0.41(1)	-0.34(3)	0.57(3)	20(4-I-1)	25(5-I-2)	46(1)
209	6	0.42(1)	-0.20(3)	0.54(3)	14(4-I-1)	23(4-I-1)	-155(3)
209	7	0.44(1)	-0.11(3)	0.38(3)	21(4-I-1)	12(4-I-1)	-173(3)
209	8	0.49(1)	0.04(5-I-2)	0.13(3)	24(4-I-1)	2(4-I-1)	-101(3)
209	9	0.49(1)	-0.22(3)	0.60(3)	13(5-I-4)	24(5-I-1)	48(1)
209	10	0.62(1)	-0.15(3)	0.47(3)	8(5-I-1)	17(5-I-1)	-151(3)
209	11	0.76(1)	-0.07(3)	0.31(3)	-10(5-II-1)	8(5-I-1)	-169(3)
209	12	0.91(1)	0.03(5-I-1)	0.12(3)	-11(5-II-1)	2(5-I-1)	-99(3)
209	13	0.58(1)	-0.18(5-I-2)	0.44(3)	-14(5-II-4)	-24(5-II-4)	47(1)
209	14	0.81(1)	-0.16(3)	0.38(4-I-1)	-18(4-I-1)	-15(5-II-4)	-154(3)
209	15	1.03(1)	-0.07(3)	0.26(4-I-1)	-21(4-I-1)	-7(5-II-4)	-171(3)
209	16	1.26(1)	0.02(5-I-3)	0.10(4-I-1)	-22(4-I-1)	-1(5-II-4)	-100(3)
210	1	0.03(5-I-1)	0.11(3)	-0.44(3)	-188(3)	-1307(3)	290(2)
210	2	0.04(5-I-1)	0.02(3)	-0.42(3)	-126(3)	-515(1)	441(3)
210	3	-0.04(5-II-1)	0.14(3)	-0.35(3)	-93(1)	-127(1)	376(3)

Muro	Pann.	Sxx	Syy	Sxy	Mxx	Myy	Mxy
210	4	0.07(5-I-1)	1.15(3)	-0.27(3)	-67(1)	32(3)	149(2)
210	5	-0.09(3)	-0.11(1)	0.04(2)	19(1)	28(1)	218(2)
210	6	-0.25(3)	-0.06(1)	0.04(2)	20(1)	-44(3)	271(2)
210	7	-0.39(3)	0.15(3)	0.03(2)	-7(5-II-2)	-8(3)	249(2)
210	8	-0.46(3)	1.22(3)	0.04(1)	-9(5-II-1)	39(3)	137(2)
210	9	-0.05(3)	-0.10(1)	0.10(1)	34(1)	66(1)	351(2)
210	10	-0.12(3)	-0.03(1)	0.07(1)	73(1)	-76(3)	305(2)
210	11	-0.20(3)	0.17(3)	0.02(2)	100(1)	-158(3)	225(2)
210	12	-0.23(3)	1.05(3)	-0.04(1)	91(1)	-227(3)	35(2)
210	13	-0.05(3)	-0.04(2)	-0.11(3)	133(1)	1016(1)	652(1)
210	14	-0.09(3)	0.12(1)	-0.07(3)	147(1)	1012(1)	716(1)
210	15	-0.08(4-I-4)	0.27(3)	0.02(1)	156(1)	981(1)	736(1)
210	16	0.16(1)	0.67(3)	0.18(1)	131(1)	936(3)	492(1)
211	1	-2.25(3)	-0.25(1)	-0.94(3)	192(3)	14(5-I-2)	94(5-I-1)
211	2	-2.46(3)	-0.16(1)	-0.68(3)	191(3)	9(5-I-2)	88(1)
211	3	-2.63(3)	-0.13(1)	-0.40(3)	192(3)	5(5-I-2)	74(1)
211	4	-2.71(3)	-0.19(1)	-0.17(1)	191(3)	-2(4-I-4)	38(1)
211	5	-2.89(3)	-0.21(1)	-1.03(3)	153(2)	-6(2)	95(5-I-1)
211	6	-3.12(3)	-0.18(1)	-0.76(3)	149(2)	-4(2)	89(1)
211	7	-3.32(3)	-0.15(1)	-0.47(3)	147(2)	-2(2)	75(1)
211	8	-3.52(3)	0.01(4-I-4)	-0.17(3)	146(2)	0	38(1)
211	9	-3.55(3)	-0.18(1)	-1.09(3)	101(2)	-9(2)	92(1)
211	10	-3.82(3)	-0.17(1)	-0.81(3)	97(2)	-6(2)	87(1)
211	11	-4.09(3)	-0.14(1)	-0.51(3)	94(2)	-3(2)	74(1)
211	12	-4.38(3)	-0.01(1)	-0.17(3)	94(2)	0	37(1)
211	13	-4.22(3)	-0.12(1)	-1.10(3)	44(5-II-1)	-9(2)	89(1)
211	14	-4.56(3)	-0.13(1)	-0.81(3)	42(5-II-1)	-6(2)	85(1)
211	15	-4.90(3)	-0.11(1)	-0.50(3)	40(5-II-1)	-3(2)	72(1)
211	16	-5.25(3)	-0.08(1)	-0.16(3)	40(5-II-1)	0	37(1)
212	1	-4.97(3)	-0.02(4-II-4)	-1.03(3)	-78(5-I-1)	-7(4-I-3)	85(1)
212	2	-5.33(3)	0.02(4-I-4)	-0.69(3)	-81(5-I-1)	-5(4-I-3)	82(1)
212	3	-5.68(3)	-0.04(1)	-0.41(3)	-83(5-I-1)	-4(4-I-3)	70(1)
212	4	-6.04(3)	-0.19(1)	-0.12(3)	-84(5-I-1)	0	34(1)
212	5	-5.92(3)	0.13(3)	-0.87(3)	-157(5-I-1)	-9(5-I-1)	81(1)
212	6	-6.25(3)	0.36(3)	-0.38(3)	-158(5-I-1)	-3(5-I-1)	75(1)
212	7	-6.32(3)	0.15(3)	-0.05(5-I-1)	-160(5-I-1)	10(2)	66(1)
212	8	-6.42(3)	-0.23(3)	0.03(1)	-158(5-I-1)	4(3)	37(1)
212	9	-7.80(3)	-0.08(2)	-0.75(3)	-290(3)	43(3)	90(1)
212	10	-7.68(3)	0.57(3)	0.40(1)	-265(4-I-2)	5(5-II-1)	106(1)
212	11	-6.70(3)	0.27(3)	0.60(1)	-236(5-I-1)	-40(3)	89(1)
212	12	-5.68(3)	-0.04(2)	0.35(1)	-187(5-I-1)	-7(3)	61(1)
212	13	-11.90(3)	-0.99(3)	1.82(1)	-598(3)	105(3)	-100(2)
212	14	-7.52(3)	-2.07(3)	0.75(1)	-451(3)	15(2)	-56(2)
212	15	-5.75(3)	-1.36(3)	-0.08(5-I-1)	-351(5-I-1)	-12(1)	-98(2)
212	16	-4.97(3)	-0.27(3)	-0.49(3)	-405(3)	-90(3)	-212(3)
213	1	-4.78(1)	1.73(3)	-2.56(1)	793(4-I-4)	-165(4-II-4)	388(4-I-4)
213	2	-2.14(1)	-3.11(1)	-1.44(1)	310(4-I-4)	-298(5-I-2)	138(4-I-4)
213	3	-0.85(4-I-1)	-1.49(3)	-0.67(1)	255(4-I-4)	-489(5-I-1)	93(4-I-4)
213	4	5.29(1)	4.45(1)	-1.74(1)	664(5-I-1)	-696(5-I-1)	64(2)
213	5	-1.31(1)	0.17(1)	-0.41(1)	354(4-I-2)	147(4-II-1)	-34(5-I-2)
213	6	-1.29(1)	0.62(1)	-1.18(1)	405(4-I-2)	117(5-I-3)	56(1)
213	7	-0.55(4-I-1)	-0.14(4-I-4)	-1.72(1)	410(4-I-2)	125(5-I-1)	-43(5-I-2)
213	8	-0.84(4-I-4)	-0.28(1)	-0.14(1)	420(4-I-2)	180(5-I-1)	-69(5-I-2)
213	9	-1.02(1)	-0.35(3)	-0.86(1)	275(4-I-2)	68(5-I-1)	74(1)
213	10	-1.14(3)	0.27(1)	-0.69(1)	285(3)	44(5-I-3)	63(1)
213	11	-1.34(3)	0.13(1)	-0.40(1)	298(3)	18(4-II-1)	54(1)
213	12	-1.39(3)	-0.92(1)	-0.24(1)	291(3)	-34(5-I-1)	36(1)
213	13	-1.59(1)	-0.34(3)	-0.84(1)	229(3)	32(5-I-3)	90(1)
213	14	-1.82(1)	-0.04(4-I-1)	-0.62(1)	234(3)	22(5-I-3)	84(1)
213	15	-1.97(3)	-0.06(1)	-0.36(1)	236(3)	11(5-I-1)	71(1)
213	16	-2.00(3)	-0.64(1)	-0.14(1)	237(3)	10(5-I-1)	34(1)
214	1	0.10(2)	-1.77(2)	-0.60(3)	-261(1)	-3027(1)	185(4-I-1)
214	2	0.07(2)	-1.70(2)	-0.56(3)	-270(3)	-3533(1)	-264(1)
214	3	-0.19(3)	-1.89(1)	-0.47(3)	-321(4-I-1)	-4138(1)	-417(1)
214	4	-0.79(3)	-2.39(1)	-0.28(3)	-512(3)	-4807(2)	-271(1)
214	5	-0.21(3)	-1.75(1)	-0.36(3)	-400(1)	-3771(1)	179(4-I-1)
214	6	-0.40(3)	-1.65(1)	-0.28(3)	-439(1)	-4377(1)	147(4-I-1)
214	7	-0.59(3)	-1.57(1)	-0.18(3)	-532(3)	-5032(1)	119(4-I-1)
214	8	-0.70(1)	-1.68(3)	-0.19(3)	-692(3)	-5696(1)	116(4-I-1)
214	9	-0.38(3)	-1.62(1)	-0.32(3)	-435(1)	-3889(1)	208(3)
214	10	-0.64(3)	-1.62(1)	-0.32(3)	-467(1)	-4474(1)	201(3)
214	11	-0.91(3)	-1.56(1)	-0.27(3)	-551(3)	-5095(1)	167(2)
214	12	-1.08(3)	-1.73(3)	-0.05(2)	-703(3)	-5683(1)	84(2)
214	13	-0.49(3)	-1.31(1)	0.07(1)	-353(1)	-3315(1)	364(1)
214	14	-0.78(3)	-1.52(1)	0.13(1)	-311(1)	-3770(1)	466(1)

Muro	Pann.	Sxx	Syy	Sxy	Mxx	Myy	Mxy
214	15	-1.16(3)	-1.83(1)	0.18(1)	-326(3)	-4365(1)	547(1)
214	16	-1.95(3)	-2.47(1)	0.15(3)	-556(3)	-5123(2)	282(1)
215	1	0.41(1)	-0.31(3)	0.26(4-I-2)	27(5-II-4)	64(5-II-4)	104(1)
215	2	0.58(1)	-0.16(3)	0.21(4-I-3)	-35(1)	42(5-II-4)	-60(5-II-2)
215	3	0.76(1)	-0.07(1)	0.14(3)	-46(1)	20(5-II-4)	-70(5-II-2)
215	4	0.94(1)	0.14(3)	0.04(4-I-3)	-46(1)	17(3)	-35(5-II-2)
215	5	0.45(2)	-0.33(3)	0.14(4-I-3)	42(4-I-1)	-123(1)	-64(4-II-1)
215	6	0.67(1)	-0.19(2)	0.12(5-I-1)	-75(1)	-72(1)	-90(4-II-1)
215	7	0.90(1)	-0.07(1)	0.08(5-I-1)	-87(1)	-43(1)	-84(1)
215	8	1.15(1)	0.27(3)	0.03(5-I-1)	-106(1)	-76(1)	-84(1)
215	9	0.42(2)	-0.40(3)	-0.04(5-II-1)	-106(1)	-426(1)	-140(1)
215	10	0.68(2)	-0.23(2)	0.04(5-I-1)	-172(1)	-262(1)	-256(1)
215	11	0.98(1)	-0.12(1)	0.05(5-I-1)	-217(1)	94(4-I-1)	-240(1)
215	12	1.22(1)	0.32(3)	-0.05(1)	115(4-I-1)	321(3)	132(4-I-1)
215	13	0.22(2)	-0.52(2)	-0.44(3)	-171(1)	-1575(1)	-244(1)
215	14	0.33(2)	-0.17(3)	-0.35(3)	-171(1)	-1639(1)	-575(1)
215	15	0.62(2)	0.14(1)	-0.17(3)	-170(1)	-1645(1)	-903(1)
215	16	1.36(2)	0.31(1)	0.25(1)	-126(1)	-1577(1)	-923(1)
216	1	-0.71(4-I-1)	-0.08(4-I-1)	0.44(4-I-4)	-197(3)	-360(1)	531(1)
216	2	-1.15(4-I-4)	-0.05(4-II-3)	0.35(4-I-4)	-231(1)	-230(1)	408(1)
216	3	-1.60(4-I-4)	-0.09(1)	0.23(4-I-4)	-268(1)	-108(1)	315(1)
216	4	-2.07(4-I-4)	-0.14(3)	0.08(4-I-4)	-270(1)	-19(1)	155(1)
216	5	-0.44(4-I-1)	-0.06(5-II-4)	0.51(4-I-1)	-97(1)	-215(1)	346(1)
216	6	-0.76(4-I-4)	-0.09(5-II-1)	0.41(4-I-1)	-129(1)	-140(1)	215(1)
216	7	-1.08(4-I-4)	-0.08(1)	0.28(4-I-1)	-154(1)	-66(1)	159(5-I-1)
216	8	-1.39(4-I-4)	-0.08(1)	0.09(4-I-1)	-152(1)	-13(1)	81(5-I-1)
216	9	0.20(1)	-0.16(5-II-4)	0.43(4-I-2)	-51(5-I-1)	-128(1)	216(1)
216	10	-0.37(4-I-4)	-0.12(5-II-4)	0.36(4-I-2)	-62(1)	-80(1)	-125(5-II-1)
216	11	-0.54(4-I-3)	-0.07(1)	0.25(4-I-2)	-78(1)	-37(1)	-124(5-II-1)
216	12	-0.70(4-I-3)	-0.05(1)	0.08(4-I-2)	-79(1)	-5(5-I-4)	-68(5-II-1)
216	13	0.32(1)	-0.30(5-II-1)	0.33(4-I-2)	-29(5-I-1)	78(5-II-4)	136(1)
216	14	0.44(1)	-0.17(3)	0.28(4-I-2)	-36(1)	49(5-II-4)	-108(5-II-2)
216	15	0.56(1)	-0.07(2)	0.19(4-I-2)	-45(1)	22(5-II-4)	-107(5-II-2)
216	16	0.68(1)	0.07(4-I-4)	0.06(4-I-2)	-44(1)	-6(5-I-4)	-58(5-II-2)
217	1	-1.39(3)	-0.67(3)	0.58(4-II-3)	456(3)	203(3)	-300(4-I-1)
217	2	-1.00(3)	-0.76(3)	0.22(4-II-3)	-417(1)	113(3)	157(1)
217	3	-0.99(3)	-0.79(3)	-0.30(4-I-3)	-478(1)	86(3)	290(4-II-2)
217	4	-1.23(3)	-0.89(3)	-0.51(4-I-3)	-365(1)	99(3)	588(3)
217	5	-0.87(3)	-0.86(3)	0.43(4-II-3)	-344(1)	248(3)	-527(3)
217	6	-0.97(3)	-0.81(3)	0.22(4-II-3)	-514(1)	191(3)	-274(4-I-2)
217	7	-0.94(3)	-0.88(3)	-0.27(4-I-3)	-547(1)	161(3)	114(4-II-2)
217	8	-0.97(3)	-1.01(3)	-0.45(4-I-3)	-457(1)	169(3)	331(4-II-2)
217	9	-1.07(4-I-3)	-0.96(3)	0.42(4-II-3)	-527(1)	287(3)	-559(3)
217	10	-0.92(4-I-3)	-0.92(3)	0.26(4-II-3)	-617(1)	242(3)	-301(3)
217	11	-0.67(4-I-3)	-0.98(3)	-0.27(4-I-3)	-624(1)	215(3)	-108(4-I-2)
217	12	-0.66(2)	-1.13(3)	-0.41(4-I-3)	-557(1)	227(3)	244(4-II-2)
217	13	-0.71(4-II-3)	-1.04(3)	0.48(4-II-3)	-699(1)	293(3)	-366(3)
217	14	-0.66(4-II-3)	-0.99(3)	0.27(4-II-3)	-716(1)	259(3)	-177(3)
217	15	-0.56(1)	-1.05(3)	-0.24(4-I-3)	-694(1)	237(3)	-46(1)
217	16	-0.54(1)	-1.22(3)	-0.36(4-I-3)	-645(1)	249(3)	207(3)
218	1	-1.35(3)	-1.01(3)	-0.68(4-I-3)	372(3)	130(3)	918(3)
218	2	-1.16(3)	-1.11(3)	-1.02(3)	696(3)	189(3)	1312(3)
218	3	-1.16(3)	-1.29(3)	-1.42(3)	1294(3)	247(3)	1676(3)
218	4	-1.43(3)	-1.53(3)	-1.65(3)	2195(3)	291(3)	2208(3)
218	5	-1.01(3)	-1.19(3)	-0.65(4-I-3)	-300(1)	208(3)	655(3)
218	6	-0.94(3)	-1.45(3)	-0.97(3)	387(3)	280(3)	1017(3)
218	7	-0.83(3)	-1.84(3)	-1.30(3)	858(3)	349(3)	1371(3)
218	8	-0.70(1)	-2.30(3)	-1.54(3)	1553(3)	383(3)	1848(3)
218	9	-0.69(2)	-1.38(3)	-0.59(4-I-3)	-441(1)	270(3)	542(3)
218	10	-0.67(1)	-1.78(3)	-0.87(3)	-270(1)	338(3)	870(3)
218	11	-0.62(1)	-2.35(3)	-1.16(3)	440(3)	408(3)	1207(3)
218	12	-0.52(1)	-3.05(3)	-1.39(3)	946(3)	440(3)	1631(3)
218	13	-0.53(1)	-1.53(3)	-0.50(4-I-3)	-566(1)	291(3)	428(3)
218	14	-0.50(1)	-2.06(3)	-0.72(3)	-449(1)	352(3)	662(3)
218	15	-0.45(1)	-2.84(3)	-0.95(3)	-256(1)	409(3)	902(3)
218	16	-0.39(1)	-3.80(3)	-1.15(3)	409(3)	426(3)	1183(3)
219	1	-1.17(3)	-1.54(3)	-1.54(3)	3140(3)	283(3)	2734(3)
219	2	-0.49(1)	-1.41(3)	-1.31(3)	4202(3)	205(2)	3259(3)
219	3	1.40(3)	-1.38(3)	-0.87(4-I-3)	5959(3)	529(3)	3266(3)
219	4	6.25(3)	-4.75(4-I-3)	2.23(4-I-3)	11297(3)	3082(3)	1801(3)
219	5	-0.29(1)	-2.68(3)	-1.55(3)	2288(3)	356(3)	2349(3)
219	6	0.93(3)	-2.82(3)	-1.35(3)	3076(3)	260(3)	2782(3)
219	7	2.02(3)	-3.14(4-I-3)	-0.72(3)	4636(3)	301(3)	3084(3)
219	8	1.09(1)	-3.91(4-I-3)	2.09(4-I-3)	6459(3)	579(3)	2508(3)
219	9	-0.26(1)	-3.71(3)	-1.49(3)	1475(3)	386(3)	2060(3)

Muro	Pann.	Sxx	Syy	Sxy	Mxx	Myy	Mxy
219	10	0.62(3)	-4.11(3)	-1.32(3)	1980(3)	233(3)	2435(3)
219	11	1.74(3)	-4.58(4-I-3)	-0.48(1)	2744(3)	163(3)	2878(3)
219	12	-1.49(4-I-3)	-2.92(4-I-3)	1.20(4-I-3)	2892(3)	-1206(3)	2375(3)
219	13	-0.25(1)	-4.79(3)	-1.25(3)	754(3)	332(3)	1441(3)
219	14	0.39(3)	-5.61(4-I-3)	-1.25(3)	948(3)	120(2)	1603(3)
219	15	1.06(3)	-5.65(4-I-3)	-0.46(1)	809(3)	-79(4-I-3)	1771(3)
219	16	-1.48(4-I-3)	-3.70(4-I-3)	-0.36(2)	492(3)	-2104(3)	1699(3)
220	1	1.10(5-II-2)	-1.07(1)	2.59(1)	5574(5-I-2)	470(4-II-3)	-1435(5-I-2)
220	2	2.16(3)	-1.87(4-II-3)	-2.20(4-I-3)	3291(3)	334(5-I-2)	-1972(3)
220	3	-1.77(3)	-1.09(4-II-3)	1.27(4-II-3)	1746(3)	222(3)	-1520(3)
220	4	-2.54(3)	-1.16(3)	0.90(4-II-3)	1021(3)	226(3)	-789(3)
220	5	4.26(4-I-3)	-1.26(1)	2.87(3)	4717(5-I-2)	-229(5-II-2)	-1956(5-I-2)
220	6	1.08(4-II-3)	-2.35(4-II-3)	2.22(4-II-3)	2346(3)	320(5-I-2)	-2332(3)
220	7	-1.17(3)	-1.15(4-II-3)	1.28(4-II-3)	1181(3)	288(3)	-1790(3)
220	8	-1.39(3)	-1.01(3)	0.85(4-I-3)	547(3)	281(3)	-1033(3)
220	9	-8.76(4-II-3)	-5.33(4-II-3)	3.43(4-II-3)	3867(5-I-2)	-680(3)	-2333(5-I-2)
220	10	-0.36(5-II-2)	-2.53(4-II-3)	1.37(4-II-3)	1563(5-II-2)	321(5-I-2)	-2428(3)
220	11	-0.66(4-I-3)	-1.23(4-II-3)	1.31(4-II-3)	577(3)	347(3)	-1742(3)
220	12	-1.06(4-I-3)	-0.94(3)	0.76(4-II-3)	-305(1)	325(3)	-1036(3)
220	13	-3.19(4-II-3)	-12.23(4-II-3)	5.33(4-II-3)	3296(5-I-2)	-1100(4-II-1)	-2301(5-I-2)
220	14	-2.01(4-I-3)	2.15(4-I-3)	0.59(3)	862(5-II-2)	296(5-I-2)	-2061(3)
220	15	-0.33(4-I-3)	-1.55(4-II-3)	1.40(4-II-3)	-301(1)	348(3)	-1251(3)
220	16	0.31(4-I-3)	-0.95(4-II-3)	0.68(4-II-3)	-588(1)	335(3)	-732(3)
221	1	1.20(4-I-1)	-0.33(3)	0.66(4-I-1)	103(4-II-1)	178(5-II-2)	-165(4-I-1)
221	2	1.88(4-I-1)	-0.18(4-II-1)	0.56(4-I-1)	109(5-II-2)	132(5-II-2)	-206(4-I-1)
221	3	2.76(4-I-1)	-0.08(4-II-1)	0.40(4-I-1)	139(5-II-2)	70(5-II-2)	-186(4-I-1)
221	4	3.63(4-I-1)	0.02(3)	0.15(4-I-1)	146(5-II-2)	14(5-II-2)	-105(4-I-1)
221	5	1.15(4-I-1)	-0.63(4-I-1)	-0.92(4-II-1)	166(5-II-2)	491(5-II-2)	-192(5-I-2)
221	6	2.04(4-I-1)	-0.13(4-II-1)	-0.72(4-II-1)	220(5-II-2)	332(5-II-2)	-176(5-I-2)
221	7	3.25(4-I-1)	-0.15(5-II-2)	-0.46(4-II-1)	274(5-II-2)	159(5-II-2)	-162(5-I-2)
221	8	4.40(4-I-1)	0.06(4-I-1)	-0.16(4-II-1)	286(5-II-2)	29(5-II-2)	-91(5-I-2)
221	9	1.02(4-I-4)	-0.96(4-I-1)	-0.92(4-II-1)	198(2)	1076(5-II-2)	242(5-II-2)
221	10	2.50(4-I-1)	-0.35(4-I-1)	-0.63(4-II-1)	255(5-II-2)	606(5-II-2)	247(5-II-2)
221	11	3.59(4-I-1)	-0.32(5-II-2)	-0.39(4-I-1)	291(5-II-2)	265(5-II-2)	245(5-II-2)
221	12	4.78(4-I-1)	-0.08(4-II-1)	-0.09(4-II-1)	296(5-II-2)	54(5-II-2)	148(5-II-2)
221	13	-1.25(4-II-4)	1.46(4-I-1)	-0.99(5-II-2)	-196(5-I-2)	1373(5-II-2)	297(5-II-2)
221	14	2.35(4-I-1)	-0.52(5-II-2)	-0.98(5-II-2)	-205(5-II-2)	767(5-II-2)	260(5-II-2)
221	15	3.14(4-I-1)	-0.32(4-II-1)	-0.74(5-II-2)	-436(5-II-2)	238(5-II-2)	243(5-II-2)
221	16	4.29(4-I-1)	-0.30(4-II-1)	-0.51(5-II-2)	-533(5-II-2)	-26(4-II-4)	171(5-II-2)
222	1	-0.98(3)	-6.30(5-I-2)	4.96(2)	-164(4-I-1)	-5267(4-I-4)	1431(4-I-1)
222	2	-2.58(3)	-6.70(5-I-2)	3.98(5-I-2)	883(4-I-3)	-5268(4-I-4)	2207(4-I-4)
222	3	-5.10(5-I-2)	-10.46(5-I-2)	5.24(5-I-2)	1764(4-I-3)	-4972(4-I-4)	3333(4-I-4)
222	4	-16.65(5-I-2)	-9.26(5-I-2)	7.53(5-I-2)	1467(4-I-3)	-4269(4-I-4)	3814(4-I-4)
222	5	-1.37(5-I-2)	-3.14(5-I-2)	4.33(5-I-2)	-289(4-I-4)	-2605(4-I-4)	1956(4-I-4)
222	6	-3.08(5-I-2)	-2.63(5-I-2)	4.27(5-I-2)	-235(4-I-1)	-1825(4-I-4)	2213(4-I-4)
222	7	-5.05(5-I-2)	-0.47(3)	3.43(5-I-2)	-251(4-I-1)	-827(4-I-4)	2097(4-I-4)
222	8	-4.78(5-I-2)	-0.32(5-II-2)	0.60(5-I-2)	466(4-I-3)	184(4-I-4)	672(4-I-4)
222	9	-0.84(5-I-2)	-1.39(5-I-2)	2.50(5-I-2)	-194(4-I-4)	-883(4-I-3)	1796(4-I-4)
222	10	-1.51(5-I-2)	-1.10(5-I-2)	2.05(5-I-2)	-289(4-I-4)	-558(4-I-3)	1809(4-I-4)
222	11	-1.90(5-I-2)	-0.13(5-II-2)	1.24(5-I-2)	-299(4-I-4)	-214(4-I-3)	1600(4-I-4)
222	12	2.55(5-II-2)	0.49(5-II-2)	0.46(5-I-2)	-286(4-I-4)	-81(4-I-4)	823(4-I-4)
222	13	0.30(5-II-2)	-1.00(5-I-2)	1.28(5-I-2)	-131(4-I-3)	313(4-I-1)	1463(4-I-4)
222	14	0.82(5-II-2)	-0.52(5-I-2)	1.03(5-I-2)	-434(4-I-4)	152(3)	1498(4-I-4)
222	15	1.43(5-II-2)	-0.34(5-II-2)	0.67(5-I-2)	-581(4-I-4)	92(4-II-3)	1371(4-I-4)
222	16	1.87(5-II-2)	0.60(5-I-2)	-0.27(5-II-2)	-371(4-I-4)	62(3)	851(4-I-4)
223	1	2.04(2)	-1.90(5-II-2)	1.06(5-I-2)	284(4-I-1)	660(4-I-1)	339(4-II-1)
223	2	2.42(5-II-2)	-2.24(5-II-2)	0.51(4-I-1)	190(4-I-1)	406(4-I-1)	-338(4-I-1)
223	3	3.20(5-II-2)	0.67(5-II-2)	0.45(4-I-1)	177(5-II-2)	173(5-II-3)	-337(4-I-1)
223	4	4.10(5-II-2)	0.40(5-II-2)	0.20(4-I-1)	171(5-II-2)	78(5-II-2)	-190(4-I-1)
223	5	1.03(5-I-2)	-1.12(4-I-1)	-1.00(5-II-2)	-161(5-II-2)	-219(4-I-4)	-648(4-I-1)
223	6	1.49(2)	-0.47(5-I-2)	-0.91(5-II-2)	-173(5-II-2)	-225(4-I-1)	-591(4-I-1)
223	7	2.03(1)	0.81(5-II-2)	-0.82(5-II-2)	-181(5-II-3)	-169(4-I-1)	-529(4-I-1)
223	8	2.53(1)	0.14(5-II-2)	-0.33(5-II-2)	-176(1)	-114(4-I-1)	-247(4-I-1)
223	9	-1.14(5-II-2)	0.54(5-II-2)	-1.95(5-II-2)	-232(4-I-1)	-623(4-I-1)	-1224(4-I-1)
223	10	-1.27(5-II-2)	1.26(5-II-2)	-1.38(5-II-2)	-370(4-I-1)	99(4-I-1)	-1216(4-I-1)
223	11	1.30(5-I-2)	0.09(4-II-1)	-0.20(5-I-2)	-486(4-I-1)	356(4-I-1)	-894(4-I-1)
223	12	1.37(4-I-1)	-0.52(5-II-2)	0.63(5-II-2)	-499(4-I-1)	442(4-I-1)	-122(4-I-1)
223	13	-1.58(5-II-2)	-7.51(5-II-2)	-2.47(2)	-240(4-I-4)	-4090(4-I-1)	-1031(4-I-1)
223	14	-2.88(5-II-2)	-9.38(5-II-2)	-2.35(5-II-2)	140(4-I-1)	-4017(4-I-1)	-1561(4-I-1)
223	15	-5.86(5-II-2)	-12.02(5-II-2)	-3.39(5-II-2)	448(4-I-1)	-3873(4-I-1)	-2065(4-I-1)
223	16	-10.96(5-II-2)	-9.17(5-II-2)	-7.45(5-II-2)	525(4-I-1)	-3645(4-I-1)	-2224(4-I-1)
224	1	-0.94(5-I-2)	-5.58(5-I-2)	1.79(2)	-417(4-I-1)	-3780(4-I-1)	727(4-I-1)
224	2	-1.97(5-I-2)	8.52(5-II-2)	1.70(5-I-2)	-297(4-I-1)	-3707(4-I-1)	1125(4-I-1)
224	3	-3.65(5-I-2)	10.31(5-II-2)	2.38(5-I-2)	-208(4-I-1)	-3661(4-I-1)	1490(4-I-1)
224	4	-6.04(5-I-2)	8.73(5-II-2)	-5.74(5-II-2)	-209(4-I-1)	-3608(4-I-1)	1734(4-I-1)

Muro	Pann.	Sxx	Syy	Sxy	Mxx	Myy	Mxy
224	5	0.21 (5-II-2)	0.68 (5-I-2)	0.53 (5-I-2)	73 (4-II-1)	178 (4-II-3)	585 (4-I-1)
224	6	0.76 (5-II-2)	0.57 (5-II-2)	-0.27 (5-II-2)	142 (4-II-1)	304 (4-I-1)	575 (4-I-1)
224	7	0.89 (5-II-2)	1.71 (5-II-2)	-0.54 (5-I-2)	204 (4-II-1)	478 (4-I-1)	331 (4-I-1)
224	8	1.15 (2)	0.74 (5-II-2)	0.45 (5-II-2)	229 (4-II-1)	388 (4-I-1)	-62 (4-I-3)
224	9	0.16 (5-I-2)	0.79 (5-II-2)	-0.82 (5-II-2)	64 (4-II-1)	155 (4-II-1)	354 (4-II-3)
224	10	0.64 (5-I-2)	-0.39 (4-I-1)	0.30 (5-I-2)	-135 (4-I-1)	281 (4-I-3)	354 (4-II-3)
224	11	0.89 (5-I-2)	-1.11 (5-II-2)	0.89 (5-II-2)	-198 (4-I-1)	501 (4-I-3)	209 (4-II-3)
224	12	1.38 (2)	-0.76 (5-II-2)	0.78 (5-II-2)	-211 (4-I-4)	451 (4-I-3)	283 (4-I-1)
224	13	-1.33 (5-II-2)	-9.32 (5-II-2)	-2.12 (3)	-420 (4-I-4)	-3701 (4-I-4)	605 (4-II-3)
224	14	-2.60 (5-II-2)	-12.11 (5-II-2)	-2.13 (3)	-334 (4-I-3)	-3650 (4-I-4)	848 (4-II-3)
224	15	-5.03 (5-II-2)	-13.76 (5-II-2)	-3.28 (5-II-2)	-285 (4-I-3)	-3711 (4-I-4)	-1193 (4-I-3)
224	16	-8.76 (5-II-2)	-11.21 (5-II-2)	-8.58 (5-II-2)	-309 (4-I-3)	-3856 (4-I-4)	-1528 (4-I-3)
225	1	-2.42 (5-II-2)	-2.63 (5-II-2)	-7.21 (5-II-2)	100 (4-II-3)	-1008 (3)	208 (4-II-3)
225	2	-5.56 (5-II-2)	-3.37 (3)	-6.77 (5-II-2)	567 (3)	270 (5-II-2)	161 (4-II-3)
225	3	-9.16 (5-II-2)	-2.44 (3)	-6.10 (3)	1004 (3)	1507 (3)	-352 (3)
225	4	-12.18 (5-II-2)	-3.77 (3)	-5.66 (3)	1335 (3)	3511 (3)	-1860 (3)
225	5	-3.06 (5-II-2)	-2.07 (5-II-2)	-9.08 (5-II-2)	-104 (4-I-3)	-679 (4-I-2)	793 (4-II-3)
225	6	-7.61 (5-II-2)	-3.59 (5-II-2)	-8.66 (5-II-2)	302 (4-II-3)	402 (4-II-3)	668 (4-II-3)
225	7	-12.84 (5-II-2)	-1.40 (3)	-7.24 (5-II-2)	522 (4-II-3)	1262 (3)	-275 (4-I-3)
225	8	-16.34 (5-II-2)	-1.87 (5-II-2)	-5.15 (3)	927 (3)	2087 (3)	-1613 (5-II-2)
225	9	-4.12 (3)	2.09 (5-I-2)	-11.03 (3)	-242 (4-I-3)	-1426 (4-I-3)	1153 (4-II-3)
225	10	-11.42 (3)	-1.88 (5-II-2)	-9.01 (5-II-2)	-331 (4-I-3)	-823 (4-I-3)	1106 (4-II-3)
225	11	-18.02 (5-II-2)	1.26 (5-I-2)	-8.04 (5-II-2)	520 (4-II-3)	665 (4-II-3)	730 (4-II-3)
225	12	-25.94 (5-II-2)	-2.78 (5-II-2)	-5.37 (5-II-2)	823 (5-II-1)	663 (4-II-3)	-894 (3)
225	13	-4.74 (3)	-14.71 (5-I-2)	-3.17 (2)	-242 (4-I-3)	-2637 (4-I-3)	585 (4-II-3)
225	14	-11.66 (3)	-10.47 (5-I-2)	-2.87 (2)	-305 (4-II-1)	-3431 (4-I-3)	1185 (4-II-3)
225	15	-18.58 (5-II-2)	-11.07 (5-I-2)	-4.18 (3)	-564 (4-II-1)	-4047 (4-I-3)	1987 (4-II-3)
225	16	-36.81 (5-II-2)	-11.95 (5-I-2)	-5.85 (3)	432 (4-I-1)	-4352 (4-I-3)	2402 (4-II-3)
226	1	-0.12 (4-II-3)	-0.96 (3)	-0.97 (5-II-2)	-170 (4-I-3)	532 (4-I-1)	-493 (4-II-4)
226	2	0.30 (1)	-0.21 (5-I-2)	-0.79 (5-II-2)	-654 (4-I-4)	197 (4-I-1)	-466 (4-II-4)
226	3	0.66 (1)	0.51 (5-II-2)	-0.59 (5-II-2)	-1057 (4-I-4)	21 (5-II-1)	-407 (4-II-4)
226	4	1.19 (1)	1.03 (3)	-0.40 (5-II-2)	-1299 (4-I-4)	-88 (4-I-4)	-260 (4-II-4)
226	5	-0.25 (4-II-3)	-1.10 (3)	-1.44 (5-II-2)	-36 (2)	-76 (4-II-4)	-450 (4-II-1)
226	6	-0.57 (5-II-1)	-0.25 (3)	-1.26 (5-II-2)	-92 (3)	-46 (4-II-1)	-422 (4-II-1)
226	7	-0.73 (5-II-2)	0.20 (5-II-2)	-0.83 (5-II-2)	-136 (4-I-3)	28 (5-II-3)	-349 (4-II-1)
226	8	-0.93 (5-II-2)	1.41 (5-II-2)	-0.33 (5-II-2)	-137 (4-I-3)	99 (3)	-157 (4-II-1)
226	9	-0.83 (5-II-2)	-1.35 (3)	-2.78 (3)	-117 (3)	-397 (3)	-626 (3)
226	10	-2.03 (5-II-2)	-0.62 (3)	-2.43 (3)	-238 (3)	-312 (3)	-632 (3)
226	11	-3.03 (5-II-2)	0.09 (5-II-2)	-1.68 (3)	-342 (3)	-285 (3)	-581 (3)
226	12	-3.57 (5-II-2)	1.63 (5-II-2)	-0.47 (3)	-275 (3)	-406 (3)	-283 (3)
226	13	-1.63 (5-II-2)	-2.03 (3)	-4.68 (3)	-65 (4-I-2)	-922 (3)	-552 (3)
226	14	-4.00 (5-II-2)	-1.69 (3)	-4.33 (3)	133 (4-II-3)	-317 (3)	-598 (3)
226	15	-6.62 (5-II-2)	-0.67 (3)	-3.44 (3)	89 (4-II-3)	354 (3)	-603 (3)
226	16	-9.55 (5-II-2)	0.21 (5-II-2)	-1.71 (3)	-924 (5-II-2)	1400 (3)	-538 (3)
227	1	-3.34 (3)	-0.63 (3)	-1.38 (3)	321 (3)	393 (4-I-3)	2285 (4-I-4)
227	2	-3.39 (3)	-0.20 (3)	-1.03 (3)	120 (3)	242 (4-I-3)	1767 (4-I-4)
227	3	-3.63 (3)	0.12 (3)	-0.66 (3)	81 (3)	113 (4-I-3)	1312 (4-I-4)
227	4	-3.89 (3)	0.54 (3)	-0.27 (3)	74 (3)	33 (4-I-3)	671 (4-I-4)
227	5	-3.57 (3)	-0.75 (3)	-1.40 (3)	202 (1)	-1333 (4-I-4)	882 (4-I-4)
227	6	-4.38 (3)	-0.27 (3)	-1.23 (3)	197 (1)	-727 (4-I-4)	1091 (4-I-4)
227	7	-5.00 (3)	0.07 (3)	-0.81 (3)	158 (1)	-328 (4-I-4)	975 (4-I-4)
227	8	-5.64 (3)	1.01 (3)	-0.36 (3)	144 (1)	-121 (3)	487 (4-I-4)
227	9	-4.24 (3)	-1.12 (3)	-2.33 (3)	149 (1)	-488 (4-I-4)	650 (4-I-4)
227	10	-5.67 (3)	-0.71 (3)	-2.03 (3)	138 (1)	-341 (4-I-4)	638 (4-I-4)
227	11	-7.01 (3)	-0.04 (1)	-1.41 (3)	145 (1)	-77 (4-I-4)	588 (4-I-4)
227	12	-8.01 (3)	1.44 (3)	-0.43 (3)	121 (1)	309 (3)	293 (4-I-4)
227	13	-4.45 (3)	-2.11 (3)	-3.55 (3)	-486 (3)	-557 (4-I-4)	-344 (1)
227	14	-7.02 (3)	-1.60 (3)	-3.47 (3)	-608 (3)	-556 (3)	-340 (1)
227	15	-9.91 (3)	-0.67 (3)	-2.93 (3)	-514 (3)	-707 (3)	-273 (1)
227	16	-13.14 (3)	0.51 (3)	-1.51 (3)	425 (3)	-1259 (3)	323 (4-I-4)
228	1	-3.42 (3)	-3.29 (3)	-4.40 (3)	-889 (3)	-935 (3)	-691 (3)
228	2	-7.02 (3)	-2.89 (3)	-4.73 (3)	-1164 (3)	-1248 (3)	-619 (3)
228	3	-10.91 (3)	-2.95 (3)	-4.82 (3)	-1417 (3)	-1898 (3)	-269 (1)
228	4	-15.26 (3)	-4.15 (3)	-4.75 (3)	-1668 (3)	-3144 (3)	1476 (3)
228	5	-1.26 (3)	-3.05 (3)	-4.47 (3)	-489 (3)	-903 (3)	-1182 (3)
228	6	-6.33 (3)	-1.60 (3)	-5.07 (3)	-643 (3)	-1341 (3)	-940 (3)
228	7	-11.59 (3)	-1.62 (3)	-5.09 (3)	-765 (3)	-1684 (3)	-308 (3)
228	8	-16.49 (3)	-1.60 (3)	-4.53 (3)	-1002 (3)	-1905 (3)	1388 (3)
228	9	2.41 (3)	-1.53 (2)	-4.95 (3)	-138 (1)	-1956 (4-I-3)	-1103 (3)
228	10	-5.92 (3)	1.41 (3)	-4.56 (3)	101 (4-I-3)	-1097 (3)	-1079 (3)
228	11	-12.89 (3)	0.65 (4-I-3)	-3.79 (3)	-65 (1)	-900 (3)	-497 (4-I-3)
228	12	-20.02 (3)	-0.63 (3)	-3.09 (3)	-338 (3)	-831 (3)	866 (3)
228	13	-1.99 (3)	12.90 (3)	5.37 (3)	743 (4-I-3)	5234 (4-I-3)	-3328 (4-I-3)
228	14	-7.38 (3)	3.45 (4-I-3)	3.82 (3)	1182 (3)	2766 (4-I-3)	-1723 (4-I-3)
228	15	-11.47 (3)	0.84 (4-I-3)	2.25 (3)	1513 (3)	1235 (4-I-3)	-841 (4-I-3)

Muro	Pann.	Sxx	Syy	Sxy	Mxx	Myy	Mxy
228	16	-17.11 (3)	-2.06 (2)	0.53 (4-I-3)	1246 (3)	880 (3)	264 (1)
229	1	-0.12 (4-I-4)	-0.55 (3)	0.46 (2)	149 (1)	1646 (1)	-1045 (1)
229	2	-0.21 (4-I-4)	-0.31 (1)	0.40 (2)	60 (1)	1786 (1)	-1268 (1)
229	3	-0.22 (4-I-4)	-0.01 (1)	0.24 (3)	28 (4-I-1)	1860 (1)	-1570 (1)
229	4	1.07 (1)	0.37 (3)	-0.25 (1)	24 (5-II-4)	1867 (3)	-1507 (2)
229	5	-0.04 (4-I-4)	-0.32 (1)	0.11 (2)	135 (1)	903 (1)	-1059 (1)
229	6	0.25 (1)	-0.18 (1)	0.05 (4-II-4)	173 (1)	686 (1)	-1119 (1)
229	7	0.61 (1)	-0.11 (3)	-0.07 (1)	228 (1)	303 (1)	-1035 (1)
229	8	0.89 (1)	0.19 (3)	0.02 (4-II-4)	-169 (4-I-4)	-269 (3)	-322 (1)
229	9	0.09 (1)	-0.30 (1)	-0.11 (1)	90 (1)	462 (1)	-960 (2)
229	10	0.33 (1)	-0.21 (1)	-0.14 (1)	123 (1)	289 (1)	-934 (2)
229	11	0.54 (1)	-0.08 (1)	-0.13 (1)	101 (1)	115 (1)	-788 (2)
229	12	0.78 (1)	0.03 (2)	-0.04 (1)	93 (4-II-4)	83 (3)	-421 (2)
229	13	0.14 (1)	-0.32 (4-II-4)	-0.24 (4-II-4)	96 (1)	157 (1)	-623 (2)
229	14	0.32 (1)	-0.21 (4-II-4)	-0.22 (4-II-4)	211 (1)	113 (1)	-634 (2)
229	15	0.47 (1)	-0.12 (4-II-4)	-0.19 (4-II-4)	237 (1)	54 (1)	-593 (2)
229	16	0.49 (1)	-0.12 (1)	-0.13 (1)	-154 (4-I-4)	-36 (4-II-4)	-378 (2)
230	1	-0.21 (3)	-1.38 (3)	-0.28 (3)	212 (1)	2254 (1)	440 (1)
230	2	-0.37 (3)	-1.52 (3)	-0.27 (3)	181 (3)	2725 (1)	531 (1)
230	3	-0.65 (3)	-1.81 (3)	-0.26 (3)	255 (4-I-4)	3215 (1)	628 (1)
230	4	-1.22 (3)	-2.44 (3)	-0.20 (3)	402 (4-I-4)	3890 (3)	537 (1)
230	5	-0.29 (3)	-1.51 (2)	0.09 (1)	286 (1)	2645 (1)	91 (1)
230	6	-0.50 (3)	-1.45 (3)	0.12 (1)	296 (3)	3392 (1)	108 (1)
230	7	-0.70 (3)	-1.41 (3)	0.14 (1)	374 (3)	4201 (3)	110 (1)
230	8	-0.78 (3)	-1.76 (3)	-0.05 (4-I-4)	556 (3)	5268 (3)	-48 (4-I-4)
230	9	-0.27 (3)	-1.56 (3)	0.13 (1)	290 (1)	2702 (1)	-273 (2)
230	10	-0.44 (3)	-1.53 (3)	0.07 (1)	305 (3)	3479 (1)	-253 (2)
230	11	-0.64 (3)	-1.48 (3)	0.02 (4-II-3)	402 (3)	4301 (3)	-198 (2)
230	12	-0.71 (3)	-1.77 (3)	0.10 (3)	536 (3)	5270 (3)	-82 (2)
230	13	-0.16 (3)	-1.41 (3)	0.48 (3)	209 (1)	2398 (1)	-657 (2)
230	14	-0.23 (4-I-4)	-1.55 (3)	0.47 (3)	138 (4-I-4)	3024 (1)	-712 (2)
230	15	-0.42 (4-I-4)	-1.82 (3)	0.42 (3)	184 (4-I-4)	3794 (3)	-705 (2)
230	16	-1.01 (3)	-2.44 (3)	0.23 (3)	390 (4-I-4)	4845 (3)	-344 (1)
231	1	0.78 (2)	-0.32 (3)	0.42 (4-I-1)	-20 (4-I-1)	-47 (4-I-1)	-62 (5-II-2)
231	2	1.01 (2)	-0.17 (3)	0.36 (4-I-1)	-36 (4-I-1)	-27 (4-I-1)	-165 (3)
231	3	1.29 (2)	-0.07 (3)	0.25 (4-I-1)	-42 (4-I-1)	-13 (4-I-1)	-179 (3)
231	4	1.60 (2)	0.02 (4-II-1)	0.09 (4-I-1)	-43 (4-I-1)	-3 (4-I-1)	-104 (3)
231	5	0.85 (2)	-0.35 (3)	0.42 (4-I-1)	-37 (4-I-1)	-74 (4-I-1)	-83 (5-II-2)
231	6	1.18 (4-I-1)	-0.17 (3)	0.36 (4-I-1)	-52 (4-I-1)	-45 (4-I-1)	-185 (3)
231	7	1.58 (4-I-1)	-0.07 (3)	0.25 (4-I-1)	-63 (4-I-1)	-21 (4-I-1)	-192 (3)
231	8	1.99 (4-I-1)	0.03 (4-II-1)	0.10 (4-I-1)	-66 (4-I-1)	-4 (4-I-1)	-111 (3)
231	9	0.91 (4-I-4)	-0.25 (3)	0.49 (4-I-1)	-67 (4-I-1)	-93 (4-I-1)	-122 (4-I-3)
231	10	1.41 (4-I-1)	-0.17 (3)	0.41 (4-I-1)	-77 (4-I-1)	-53 (4-I-1)	-206 (3)
231	11	1.94 (4-I-1)	-0.06 (3)	0.28 (4-I-1)	-84 (4-I-1)	-24 (4-I-1)	-204 (3)
231	12	2.47 (4-I-1)	0.04 (4-II-1)	0.10 (4-I-1)	-85 (4-I-1)	-4 (4-I-1)	-117 (3)
231	13	0.94 (4-I-4)	-0.22 (4-II-1)	-0.49 (4-II-1)	-58 (4-I-1)	-93 (4-I-1)	-142 (4-I-3)
231	14	1.64 (4-I-1)	-0.15 (4-II-1)	0.43 (4-I-1)	-73 (4-I-1)	-51 (4-I-1)	-203 (3)
231	15	2.32 (4-I-1)	-0.07 (4-II-1)	0.30 (4-I-1)	-80 (4-I-1)	27 (4-II-1)	-196 (3)
231	16	2.99 (4-I-1)	0.03 (4-II-1)	0.11 (4-I-1)	-81 (4-I-1)	6 (4-II-1)	-113 (3)
232	1	0.27 (4-I-2)	0.35 (4-I-4)	0.78 (4-I-4)	77 (2)	-229 (1)	-219 (2)
232	2	0.61 (4-I-4)	0.24 (4-I-2)	0.64 (4-I-4)	302 (2)	-83 (1)	-222 (2)
232	3	1.09 (2)	0.12 (2)	0.39 (4-I-4)	534 (2)	18 (2)	-208 (2)
232	4	1.81 (2)	-0.24 (4-I-4)	-0.17 (4-II-4)	785 (2)	45 (2)	-143 (2)
232	5	0.38 (4-I-4)	0.21 (4-I-3)	1.15 (4-I-4)	-19 (1)	-301 (1)	-152 (1)
232	6	1.13 (4-I-4)	-0.14 (4-II-4)	1.01 (4-I-4)	96 (4-I-4)	-180 (1)	-142 (1)
232	7	1.87 (4-I-4)	-0.09 (4-II-4)	0.73 (4-I-4)	169 (4-I-4)	-70 (1)	-121 (1)
232	8	2.55 (4-I-4)	-0.14 (4-I-3)	0.27 (4-I-4)	207 (4-I-4)	-16 (4-II-3)	-50 (4-II-3)
232	9	0.43 (4-I-4)	-0.19 (2)	1.14 (4-I-4)	-67 (4-II-4)	-491 (1)	227 (4-I-4)
232	10	1.54 (4-I-4)	-0.28 (2)	1.10 (4-I-4)	234 (4-I-4)	-266 (1)	-203 (4-II-4)
232	11	2.82 (4-I-4)	-0.18 (2)	0.87 (4-I-4)	340 (4-I-4)	-121 (1)	-164 (4-II-4)
232	12	4.07 (4-I-4)	-0.09 (4-II-2)	0.29 (4-I-4)	402 (4-I-4)	-42 (4-I-3)	-76 (4-II-4)
232	13	0.55 (4-I-4)	-1.78 (4-I-4)	-0.55 (4-II-3)	234 (4-I-4)	-520 (4-II-4)	-264 (1)
232	14	1.81 (4-I-4)	-0.95 (4-I-4)	-0.39 (4-II-3)	575 (4-I-4)	287 (4-I-4)	-203 (4-II-3)
232	15	3.18 (4-I-4)	-0.29 (2)	-0.34 (4-II-3)	917 (4-I-4)	210 (4-I-3)	-188 (4-II-3)
232	16	5.45 (4-I-4)	0.32 (4-I-4)	0.35 (4-I-4)	1130 (4-I-4)	142 (4-I-3)	-101 (4-II-3)
233	1	-6.77 (4-I-4)	1.88 (4-I-4)	-2.86 (4-I-4)	2075 (3)	2585 (4-I-4)	1592 (1)
233	2	-1.50 (4-I-4)	-3.31 (3)	-1.24 (4-I-4)	475 (3)	1782 (4-I-4)	740 (1)
233	3	-0.86 (5-I-1)	-2.47 (3)	1.05 (1)	399 (1)	1585 (4-I-4)	-719 (4-I-1)
233	4	0.24 (1)	1.52 (5-I-1)	0.95 (1)	1679 (1)	1615 (3)	-896 (3)
233	5	-2.41 (4-I-4)	0.73 (5-I-1)	0.26 (1)	341 (4-I-4)	897 (4-I-4)	1018 (1)
233	6	-2.55 (4-I-4)	0.81 (4-I-2)	-0.83 (4-I-4)	330 (4-I-4)	894 (4-I-4)	929 (1)
233	7	-1.79 (4-I-4)	-0.33 (1)	-1.04 (4-I-4)	314 (4-I-4)	358 (4-I-4)	643 (1)
233	8	-1.23 (4-I-4)	-0.92 (1)	-0.35 (4-I-4)	-113 (1)	-236 (3)	422 (1)
233	9	-1.24 (4-I-1)	0.46 (4-I-4)	0.06 (5-I-1)	-250 (1)	-631 (1)	855 (1)
233	10	-1.79 (4-I-4)	0.67 (4-I-4)	-0.16 (3)	-272 (1)	-381 (1)	754 (1)

Muro	Pann.	Sxx	Syy	Sxy	Mxx	Myy	Mxy
233	11	-2.06(4-I-4)	0.28(5-I-1)	-0.26(3)	-304(1)	-175(1)	628(1)
233	12	-2.27(4-I-4)	-0.57(3)	-0.19(1)	-313(1)	74(4-I-1)	314(1)
233	13	-0.96(4-I-1)	0.19(4-I-1)	0.27(5-I-1)	-268(1)	-505(1)	745(1)
233	14	-1.49(4-I-4)	0.23(4-I-4)	0.20(5-I-1)	-311(1)	-309(1)	615(1)
233	15	-1.95(4-I-4)	-0.07(1)	0.13(5-I-1)	-350(1)	-137(1)	494(1)
233	16	-2.42(4-I-4)	-0.27(4-I-2)	-0.10(1)	-341(1)	-39(1)	243(1)
234	1	-0.83(3)	-0.41(3)	-0.12(4-I-3)	-307(1)	-2167(1)	497(1)
234	2	-1.14(3)	-0.19(3)	0.08(1)	-285(1)	-2184(1)	757(1)
234	3	-1.33(3)	0.16(2)	-0.03(5-II-2)	-278(1)	-2126(1)	1172(1)
234	4	-0.94(3)	0.71(3)	-0.35(1)	-288(1)	-1959(2)	1336(1)
234	5	-1.05(3)	-0.24(5-II-3)	-0.51(3)	-318(1)	-1143(1)	458(3)
234	6	-1.25(3)	-0.11(5-II-3)	-0.42(3)	-376(1)	-869(1)	488(3)
234	7	-1.32(3)	0.02(5-I-3)	-0.34(3)	-459(1)	-387(1)	480(3)
234	8	-1.47(3)	0.35(3)	-0.06(5-II-2)	286(4-I-4)	281(3)	52(4-I-1)
234	9	-1.37(3)	-0.37(4-I-1)	-0.87(3)	-318(1)	-516(1)	596(4-I-1)
234	10	-1.59(3)	-0.27(4-I-4)	-0.70(3)	-347(1)	362(4-I-4)	468(4-I-1)
234	11	-1.85(3)	0.06(4-II-4)	-0.44(3)	-348(1)	186(4-I-4)	404(4-I-1)
234	12	-1.97(3)	0.11(3)	-0.15(3)	-344(1)	-86(1)	221(4-I-1)
234	13	-1.93(3)	-0.22(4-II-3)	-1.49(3)	-384(1)	1792(4-I-3)	750(4-I-4)
234	14	-2.36(3)	-0.13(4-II-4)	-0.95(3)	-306(1)	1021(4-I-3)	853(4-I-4)
234	15	-2.61(3)	0.17(5-I-3)	-0.56(3)	-271(1)	435(4-I-3)	779(4-I-4)
234	16	-2.75(3)	0.18(3)	-0.23(3)	-256(1)	86(4-I-3)	378(4-I-4)
235	1	-2.61(4-I-4)	0.21(1)	0.29(1)	2218(3)	176(3)	6(2)
235	2	-2.77(4-I-4)	0.34(1)	0.09(1)	2149(3)	247(3)	-6(1)
235	3	-2.84(4-I-4)	0.27(1)	-0.14(1)	2141(3)	243(3)	-10(1)
235	4	-2.91(4-I-4)	0.31(1)	-0.23(1)	2216(3)	188(3)	-28(1)
235	5	-2.59(4-I-4)	0.13(1)	-0.08(1)	-2779(3)	-88(1)	-100(3)
235	6	-2.71(4-I-4)	-0.11(3)	-0.02(4-I-1)	-2764(3)	-150(1)	-33(3)
235	7	-2.85(4-I-4)	-0.11(1)	0.03(4-II-1)	-2763(3)	-151(1)	28(1)
235	8	-2.99(4-I-4)	0.20(1)	0.07(1)	-2776(3)	-90(3)	91(3)
235	9	-2.52(4-I-4)	0.12(1)	0.05(1)	-2692(3)	-88(1)	104(1)
235	10	-2.71(4-I-4)	-0.07(3)	-0.03(4-I-1)	-2677(3)	-140(1)	30(1)
235	11	-2.89(4-I-4)	-0.05(1)	-0.04(4-I-1)	-2678(3)	-141(1)	-34(2)
235	12	-3.02(4-I-4)	0.16(1)	-0.04(1)	-2694(3)	-90(1)	-107(1)
235	13	-2.52(4-I-4)	-0.09(4-I-3)	-0.16(1)	2643(1)	193(1)	-19(2)
235	14	-2.65(4-I-4)	0.20(1)	-0.07(1)	2581(1)	284(1)	-16(2)
235	15	-2.82(4-I-4)	0.20(1)	0.07(1)	2577(1)	288(1)	-20(4-I-1)
235	16	-3.16(4-I-1)	-0.28(4-I-1)	0.16(1)	2637(1)	204(1)	-18(4-I-1)
236	1	-4.05(3)	-1.76(3)	-1.82(3)	-258(3)	-846(3)	-830(3)
236	2	-1.76(3)	-1.23(3)	-1.63(3)	-382(3)	-654(3)	-1089(3)
236	3	0.86(1)	-0.50(3)	-1.12(3)	-509(3)	-369(3)	-1166(3)
236	4	3.49(3)	-0.03(3)	-0.37(3)	-597(3)	-93(3)	-1048(3)
236	5	-3.72(3)	-2.87(3)	-2.08(3)	-342(3)	-1354(3)	-937(3)
236	6	-2.04(3)	-2.25(3)	-2.55(3)	-282(3)	-814(3)	-1193(3)
236	7	-0.43(4-I-3)	-1.05(3)	-2.07(3)	-242(3)	-360(3)	-1262(3)
236	8	2.09(3)	0.01(4-I-3)	-0.72(3)	-219(3)	-60(3)	-1137(3)
236	9	-2.61(4-I-3)	-5.06(3)	-2.39(3)	-290(3)	-1703(3)	-876(3)
236	10	-1.66(4-I-3)	-3.86(3)	-3.87(3)	129(2)	-874(3)	-1045(3)
236	11	-1.28(3)	-3.04(3)	-3.92(3)	523(3)	-324(3)	-1119(3)
236	12	-0.45(3)	-0.11(3)	-1.61(3)	758(3)	-12(4-I-3)	-1102(3)
236	13	0.84(2)	-5.73(3)	-3.39(3)	-209(4-I-3)	-1671(3)	-582(3)
236	14	-1.19(4-I-3)	-7.01(3)	-4.21(3)	851(3)	-1017(3)	-494(3)
236	15	-0.85(3)	-6.20(3)	-5.44(3)	2022(3)	-338(3)	-648(3)
236	16	-5.06(3)	-5.06(3)	-5.74(3)	3041(3)	-214(3)	-826(3)
237	1	-0.01(3)	4.68(3)	-0.07(1)	-60(3)	-416(3)	297(3)
237	2	-0.00(5-II-2)	4.68(3)	-0.06(1)	-75(3)	-504(3)	477(3)
237	3	0.00(2)	4.56(3)	0.04(3)	-89(3)	-606(3)	678(3)
237	4	-0.00(3)	4.21(3)	0.16(3)	-100(3)	-672(3)	891(3)
237	5	-0.04(3)	2.27(3)	-0.11(1)	-120(3)	-295(3)	313(3)
237	6	-0.09(3)	2.07(3)	0.11(4-I-3)	-183(3)	-370(3)	507(3)
237	7	-0.16(3)	1.76(2)	0.28(3)	-260(3)	-462(3)	731(3)
237	8	-0.29(3)	1.31(2)	0.60(3)	-332(3)	-536(3)	970(3)
237	9	-0.12(3)	0.41(1)	0.26(4-I-3)	218(1)	-125(3)	262(3)
237	10	-0.25(3)	-0.49(4-I-4)	0.35(3)	119(1)	-181(3)	436(3)
237	11	-0.44(3)	-0.90(4-I-4)	0.62(3)	-244(3)	-258(3)	643(3)
237	12	-0.72(3)	-1.35(4-I-4)	1.04(3)	-452(3)	-341(3)	878(3)
237	13	-0.27(3)	-2.15(3)	0.54(4-I-3)	698(1)	95(1)	192(3)
237	14	-0.46(3)	-2.67(3)	0.75(3)	559(1)	65(1)	323(3)
237	15	-0.75(3)	-3.29(3)	1.05(3)	341(1)	-62(5-II-3)	474(3)
237	16	-1.13(3)	-3.85(3)	1.42(3)	-367(3)	-153(3)	656(3)
238	1	0.03(4-I-3)	4.44(3)	-0.04(5-II-1)	-44(3)	-348(3)	-275(3)
238	2	-0.03(3)	4.60(3)	0.04(4-I-3)	-42(3)	-325(3)	-140(3)
238	3	-0.01(3)	4.63(3)	0.04(4-I-3)	-43(3)	-327(3)	-30(4-I-2)
238	4	-0.01(3)	4.65(3)	-0.05(1)	-49(3)	-356(3)	139(3)
238	5	-0.15(5-II-2)	2.32(3)	-0.18(5-II-1)	-71(3)	-242(3)	-301(3)

Muro	Pann.	Sxx	Syy	Sxy	Mxx	Myy	Mxy
238	6	-0.09(5-II-2)	2.40(3)	-0.10(4-II-3)	-53(3)	-223(3)	-153(3)
238	7	-0.04(5-II-2)	2.42(3)	0.10(4-I-3)	-54(3)	-224(3)	-36(4-I-2)
238	8	-0.02(4-II-1)	2.38(3)	-0.11(1)	-76(3)	-247(3)	144(3)
238	9	-0.35(3)	0.48(1)	-0.35(4-II-3)	286(1)	-88(3)	-271(3)
238	10	-0.22(5-II-2)	0.58(1)	-0.19(4-II-3)	314(1)	-77(3)	-143(3)
238	11	-0.10(5-II-2)	0.60(1)	0.19(4-I-3)	313(1)	-76(3)	-44(4-I-2)
238	12	-0.07(4-II-4)	0.55(1)	0.22(4-I-3)	282(1)	-91(3)	114(3)
238	13	-0.65(3)	-1.77(3)	-0.56(4-II-3)	782(1)	120(1)	-222(3)
238	14	-0.38(3)	-1.60(3)	-0.31(4-II-3)	823(1)	118(1)	-121(3)
238	15	-0.20(3)	-1.60(3)	0.28(4-I-3)	825(1)	117(1)	-40(4-I-2)
238	16	-0.17(3)	-1.78(3)	0.40(4-I-3)	783(1)	111(1)	79(4-II-2)
239	1	-3.55(3)	-7.20(3)	-4.59(3)	-175(5-II-2)	1765(3)	-894(3)
239	2	-0.18(5-II-2)	-0.17(1)	-0.57(5-I-2)	-19(5-II-2)	-368(3)	-1156(3)
239	3	0.26(5-I-2)	2.59(3)	-0.39(3)	-86(3)	-518(3)	-839(3)
239	4	0.19(3)	3.99(3)	-0.15(3)	-55(3)	-411(3)	-516(3)
239	5	-4.92(5-II-2)	-3.15(3)	-4.83(3)	-271(5-II-2)	1181(3)	-808(3)
239	6	-0.91(3)	-1.86(4-II-3)	-2.65(3)	-252(3)	-262(4-II-2)	-1228(3)
239	7	-0.48(3)	1.21(4-I-3)	-1.13(3)	-232(3)	-397(3)	-889(3)
239	8	-0.30(3)	1.93(3)	-0.51(3)	-136(3)	-295(3)	-545(3)
239	9	-5.53(5-II-2)	-2.80(4-II-3)	-4.12(3)	-871(5-II-2)	581(4-I-3)	-794(3)
239	10	-2.44(3)	-2.15(4-II-3)	-3.34(3)	-527(3)	-170(5-II-2)	-1179(3)
239	11	-1.13(3)	-1.35(4-II-3)	-1.76(3)	-235(3)	-209(3)	-830(3)
239	12	-0.65(3)	-0.60(4-II-3)	-0.77(3)	189(1)	-125(3)	-489(3)
239	13	-7.13(5-II-2)	3.80(4-I-3)	-4.18(3)	-2449(5-II-2)	-985(4-II-3)	-679(4-I-2)
239	14	-2.05(3)	-2.77(4-II-3)	-2.92(3)	-737(3)	-122(5-II-2)	-918(3)
239	15	-1.18(3)	-2.76(4-II-3)	-1.83(3)	316(1)	42(1)	-660(3)
239	16	-0.92(3)	-2.04(3)	-0.96(4-II-3)	646(1)	104(1)	-396(3)
240	1	-16.96(5-II-2)	5.10(5-II-2)	1.28(2)	1187(5-II-2)	-680(5-II-3)	416(5-I-2)
240	2	-17.33(5-II-2)	2.09(5-II-2)	1.47(4-I-1)	1432(5-II-2)	-747(4-I-1)	521(4-II-3)
240	3	-18.36(5-II-2)	2.05(5-II-2)	1.77(3)	1735(5-II-2)	-922(4-I-1)	-527(4-I-3)
240	4	-19.97(5-II-2)	1.91(5-II-2)	0.99(4-I-3)	2081(5-II-2)	-1106(4-I-1)	-912(5-II-2)
240	5	6.20(5-I-2)	-3.49(5-I-2)	0.58(5-II-2)	-521(5-I-2)	-120(5-II-2)	585(5-II-2)
240	6	6.00(5-I-2)	-1.28(2)	-0.54(5-II-3)	-596(5-I-2)	-134(2)	754(3)
240	7	5.71(5-I-2)	-0.94(2)	-1.82(5-II-2)	-640(5-I-2)	-322(5-I-2)	822(4-II-2)
240	8	5.61(5-I-2)	-1.13(5-II-2)	-2.68(5-II-2)	-661(5-I-2)	-559(5-I-2)	944(4-II-3)
240	9	6.70(3)	-4.15(3)	-1.34(5-I-2)	-514(3)	231(5-II-2)	323(5-II-2)
240	10	6.38(3)	-2.11(3)	-1.05(2)	-605(3)	-144(3)	602(4-II-1)
240	11	6.10(3)	-1.02(2)	-1.14(5-II-2)	-667(3)	-534(3)	874(4-II-1)
240	12	5.86(3)	0.67(5-II-2)	-1.85(5-II-2)	-694(3)	-831(3)	1057(4-II-3)
240	13	7.47(5-II-2)	1.85(5-I-2)	-2.87(2)	568(5-I-2)	83(5-II-2)	-193(4-I-3)
240	14	7.26(5-II-2)	1.96(5-I-2)	-2.51(2)	705(5-I-2)	276(2)	362(4-II-3)
240	15	7.51(5-II-2)	2.17(5-I-2)	-2.19(2)	810(5-I-2)	603(2)	643(5-I-2)
240	16	7.94(5-II-2)	1.06(5-I-2)	-2.66(2)	880(5-I-2)	876(5-I-2)	898(5-I-2)
241	1	-8.22(5-II-2)	1.47(5-II-2)	1.61(1)	758(5-II-2)	-49(5-II-2)	-170(5-II-2)
241	2	-8.04(5-II-2)	1.62(5-II-2)	1.72(1)	869(5-II-2)	278(2)	-287(5-II-2)
241	3	-8.26(5-II-2)	2.27(5-II-2)	2.13(5-II-2)	973(5-II-2)	656(2)	-532(5-II-2)
241	4	-8.92(5-II-2)	1.06(5-II-2)	2.51(5-II-2)	1058(5-II-2)	998(2)	-622(5-II-2)
241	5	-2.56(5-II-2)	-2.07(1)	0.86(5-II-2)	-152(5-I-2)	-99(5-II-2)	147(5-II-2)
241	6	-2.39(5-II-2)	-1.31(1)	0.47(1)	-191(5-I-2)	-164(1)	-164(5-I-4)
241	7	-2.09(5-II-2)	-0.87(3)	0.50(5-I-2)	-215(5-I-2)	-348(1)	-252(4-I-3)
241	8	-1.79(5-II-2)	-0.46(5-II-2)	0.70(5-I-2)	-228(5-I-2)	-475(1)	-329(4-I-3)
241	9	2.96(5-II-2)	-2.35(5-II-2)	-1.13(5-I-2)	-145(5-II-2)	127(5-II-2)	-171(5-I-1)
241	10	2.70(5-II-2)	-1.45(5-II-2)	-0.98(2)	-189(5-II-2)	-163(1)	194(5-II-4)
241	11	2.36(5-II-2)	-0.73(2)	-0.98(5-II-2)	-226(5-II-2)	-418(2)	315(4-II-3)
241	12	2.01(5-II-2)	-0.43(5-I-2)	-1.20(5-II-2)	-251(5-II-2)	-568(3)	327(4-II-3)
241	13	-7.86(5-I-2)	2.77(5-I-2)	-2.21(1)	769(5-I-2)	40(5-II-2)	-240(5-II-2)
241	14	-7.63(5-I-2)	2.40(5-I-2)	-2.13(1)	878(5-I-2)	374(2)	-349(5-II-2)
241	15	-7.66(5-I-2)	2.60(5-I-2)	-2.08(1)	954(5-I-2)	841(2)	-496(5-II-2)
241	16	-8.12(5-I-2)	0.64(5-I-2)	-2.20(5-I-2)	1001(5-I-2)	1263(2)	-609(5-II-2)
242	1	-9.46(5-II-2)	3.50(5-II-2)	4.23(3)	878(5-II-2)	-57(5-II-2)	291(5-I-2)
242	2	-9.25(5-II-2)	2.88(5-II-2)	3.95(3)	1052(5-II-2)	425(3)	-584(4-I-3)
242	3	-9.55(5-II-2)	3.15(3)	3.70(3)	1189(5-II-2)	931(3)	-1049(4-I-3)
242	4	-10.39(5-II-2)	1.16(5-II-2)	4.41(3)	1282(5-II-2)	1365(3)	-1386(4-I-3)
242	5	8.38(3)	-3.63(2)	2.98(3)	-781(3)	191(5-I-2)	344(5-II-1)
242	6	8.11(3)	-2.01(2)	2.38(3)	-853(3)	-160(2)	-664(4-I-3)
242	7	7.92(3)	-1.37(2)	1.76(3)	-892(3)	-524(2)	-1143(4-I-3)
242	8	7.75(3)	-0.55(5-II-2)	1.79(5-I-2)	-900(3)	-782(2)	-1492(4-I-3)
242	9	9.70(5-II-2)	-3.21(4-II-3)	1.02(5-II-2)	-1019(3)	137(5-II-2)	-317(1)
242	10	9.33(5-II-2)	-1.44(3)	1.13(4-I-3)	-1102(3)	-150(3)	-800(2)
242	11	8.91(3)	-1.33(2)	1.55(3)	-1133(3)	-398(2)	-1054(4-I-3)
242	12	9.22(3)	-0.49(5-I-2)	2.33(3)	-1117(3)	-673(2)	-1310(4-I-3)
242	13	7.21(5-II-2)	2.60(1)	1.32(4-I-3)	-812(5-II-2)	-245(2)	-314(5-II-2)
242	14	7.59(5-II-2)	1.65(1)	1.52(4-I-3)	-852(5-II-2)	-202(4-I-3)	-615(2)
242	15	8.00(5-II-2)	-1.56(4-I-3)	1.77(4-I-3)	-896(5-II-2)	364(4-II-3)	-821(5-II-2)
242	16	8.60(5-II-2)	1.05(5-I-2)	3.33(4-I-3)	-935(5-II-2)	549(4-II-3)	-960(5-II-2)

Muro	Pann.	Sxx	Syy	Sxy	Mxx	Myy	Mxy
243	1	10.39(5-I-2)	-2.24(4-II-3)	1.29(4-II-3)	-981(5-I-2)	-193(4-I-3)	319(1)
243	2	10.49(5-I-2)	1.23(5-II-2)	-1.08(4-I-3)	-1077(5-I-2)	-223(4-I-3)	392(4-I-1)
243	3	10.95(5-I-2)	-1.84(4-I-2)	-1.54(4-I-3)	-1183(5-I-2)	-290(4-I-4)	516(4-I-1)
243	4	11.72(5-I-2)	-0.78(5-I-2)	-2.28(4-I-2)	-1279(5-I-2)	-376(4-I-4)	609(4-I-1)
243	5	14.64(3)	-4.24(4-II-3)	-0.95(5-I-2)	-1356(3)	172(2)	-363(4-II-3)
243	6	14.18(3)	-1.84(3)	-0.65(4-I-1)	-1460(3)	-155(3)	-583(4-II-3)
243	7	13.69(3)	-1.61(2)	-0.81(4-I-3)	-1527(3)	-516(2)	-693(4-II-3)
243	8	13.60(3)	0.57(5-I-2)	-1.23(4-I-3)	-1549(3)	-859(2)	922(4-I-2)
243	9	9.62(5-II-2)	-3.45(5-II-2)	-2.47(3)	-945(2)	-78(5-I-2)	-659(4-II-3)
243	10	9.59(5-II-2)	-1.60(1)	-1.35(3)	-1024(2)	-156(1)	-714(4-II-3)
243	11	9.44(5-II-2)	-1.79(2)	-0.87(5-II-2)	-1052(2)	-366(1)	-663(4-II-3)
243	12	9.47(5-II-2)	-1.24(5-I-2)	1.35(5-I-2)	-1066(5-II-2)	-586(1)	1194(4-I-3)
243	13	-15.72(5-I-2)	5.20(5-I-2)	-2.83(3)	1071(5-I-2)	-658(4-I-3)	-546(4-II-1)
243	14	-15.80(5-I-2)	2.18(5-I-2)	-2.81(3)	1307(5-I-2)	-635(4-I-3)	784(4-I-2)
243	15	-16.45(5-I-2)	1.99(4-I-3)	-2.82(3)	1594(5-I-2)	964(4-II-3)	1337(4-I-2)
243	16	-17.65(5-I-2)	1.44(5-I-1)	-3.31(4-I-2)	1916(5-I-2)	1562(4-II-3)	1972(4-I-2)
244	1	-6.63(5-I-2)	-3.35(5-I-1)	-2.49(4-I-3)	695(4-II-3)	-1176(4-I-3)	1165(5-I-2)
244	2	-3.77(5-I-2)	-3.77(4-I-3)	-2.25(3)	1040(4-II-3)	-1196(4-I-3)	2055(4-I-2)
244	3	-3.98(5-I-2)	-4.67(4-I-3)	-3.21(3)	740(4-II-2)	1610(4-II-3)	2950(4-I-3)
244	4	-1.31(5-I-2)	-4.50(4-I-3)	-3.54(5-I-2)	-1411(5-I-2)	2394(4-II-3)	3970(4-I-3)
244	5	-3.85(4-I-3)	-2.06(4-I-3)	-1.74(5-II-2)	309(4-II-3)	-969(4-I-3)	937(5-I-2)
244	6	-4.51(5-I-2)	-3.45(4-I-3)	-1.74(3)	397(4-II-2)	-899(4-I-3)	1749(4-I-3)
244	7	-3.23(5-I-2)	-4.64(4-I-3)	-2.26(3)	-518(5-I-2)	931(4-II-3)	2429(4-I-3)
244	8	2.00(4-II-2)	-6.46(4-I-3)	-2.17(5-I-2)	-1250(5-I-2)	1087(4-II-3)	3413(4-I-3)
244	9	-2.42(5-I-2)	-2.24(4-I-3)	-1.10(5-II-2)	-438(5-I-2)	-815(4-I-3)	688(5-I-2)
244	10	-2.92(5-I-2)	-3.68(4-I-3)	-1.52(4-II-3)	-497(5-I-2)	-721(4-I-3)	1429(4-I-3)
244	11	-2.56(5-I-2)	-5.51(4-I-3)	-1.99(4-II-3)	-651(5-I-2)	563(4-II-3)	2018(4-I-3)
244	12	-3.15(4-I-3)	-6.20(4-I-3)	-2.54(4-I-3)	-976(5-I-2)	533(5-II-2)	2702(4-I-3)
244	13	-2.29(4-I-3)	-2.77(4-I-3)	0.95(4-I-3)	-614(5-I-2)	-732(4-I-3)	406(4-I-3)
244	14	-1.64(5-I-2)	-3.03(4-I-3)	-2.16(4-II-3)	-638(5-I-2)	-611(4-I-3)	993(4-I-3)
244	15	-1.63(5-I-2)	-4.20(4-I-3)	-2.95(4-II-3)	-735(5-I-2)	313(4-I-3)	1395(4-I-3)
244	16	-5.88(4-I-3)	-7.41(4-I-3)	-2.19(4-II-3)	-775(5-I-2)	412(4-I-3)	1883(4-I-3)
245	1	-2.56(5-II-3)	-1.81(4-I-1)	-0.87(4-I-1)	-688(5-II-2)	-623(4-I-1)	-344(4-I-1)
245	2	-1.93(5-II-2)	1.95(4-II-1)	1.81(4-II-1)	-729(5-II-2)	-593(4-I-1)	-791(4-I-1)
245	3	-1.64(5-II-2)	3.28(4-II-1)	2.57(4-II-1)	-778(5-II-2)	-417(4-I-1)	-1091(4-I-1)
245	4	-4.52(4-I-1)	6.17(4-II-1)	1.62(5-II-2)	-745(5-II-2)	-135(5-II-3)	-1406(4-I-1)
245	5	-3.17(5-II-2)	-1.77(4-I-1)	-1.33(5-II-2)	-447(5-II-2)	-684(4-I-1)	-788(5-II-2)
245	6	-3.14(5-II-2)	-2.78(4-I-1)	-0.93(4-I-1)	-493(5-II-2)	-689(4-I-1)	-1174(4-I-1)
245	7	-2.30(5-II-2)	-4.15(4-I-1)	1.04(5-II-2)	-564(5-II-2)	561(4-II-1)	-1673(4-I-1)
245	8	-2.07(4-I-1)	-4.56(4-I-1)	-1.89(4-I-1)	-696(5-II-2)	603(5-I-3)	-2289(4-I-1)
245	9	-4.61(5-II-2)	-1.90(4-I-1)	-1.39(5-II-2)	329(4-II-1)	-879(4-I-1)	-1062(5-II-2)
245	10	-4.64(5-II-2)	-3.13(4-I-1)	0.82(3)	466(5-I-3)	-911(4-I-1)	-1541(5-II-2)
245	11	-2.82(5-II-2)	-4.63(4-I-1)	1.62(5-II-2)	728(5-I-2)	-933(4-I-1)	-1960(4-I-1)
245	12	1.85(4-II-2)	-7.25(4-I-1)	1.31(5-II-2)	1204(5-I-2)	1096(4-II-1)	-2791(4-I-1)
245	13	-7.68(5-II-2)	-3.50(5-II-2)	1.59(4-I-1)	762(2)	-1099(4-I-1)	-1324(5-II-2)
245	14	-6.06(5-II-2)	-3.37(4-I-1)	1.72(4-I-1)	1030(4-II-1)	-1287(4-I-1)	-1946(5-II-2)
245	15	-3.25(5-II-2)	-4.83(4-I-1)	3.07(3)	1058(4-II-4)	-1583(4-I-1)	-2527(5-II-2)
245	16	-1.65(5-II-2)	-4.97(4-I-1)	3.85(5-II-2)	1661(5-I-2)	-1876(4-I-1)	-3013(4-I-1)
246	1	6.41(4-I-1)	-13.50(4-I-1)	2.03(4-II-1)	-371(4-I-4)	-1060(4-II-1)	-632(4-I-1)
246	2	4.46(4-I-1)	9.31(4-II-1)	1.12(4-I-1)	-160(4-I-1)	-814(4-II-1)	-569(4-II-1)
246	3	3.22(5-II-2)	4.09(4-I-1)	-1.72(4-II-1)	-125(4-II-1)	-432(3)	-669(4-II-1)
246	4	6.98(2)	-11.89(4-II-1)	-1.21(1)	-161(4-II-1)	813(4-II-1)	-298(5-II-4)
246	5	-2.36(4-II-1)	-13.51(4-I-1)	1.91(3)	-393(5-II-2)	-1191(4-II-1)	-1304(4-I-1)
246	6	-1.93(4-II-1)	9.18(4-II-1)	0.55(3)	-193(2)	-866(4-II-1)	-994(2)
246	7	-0.97(4-I-1)	3.53(4-I-1)	-1.06(4-II-1)	-178(1)	-459(3)	-741(4-II-2)
246	8	2.92(4-II-1)	-11.39(4-II-1)	-1.07(5-I-3)	-78(5-II-3)	926(4-II-1)	-435(4-I-1)
246	9	-1.89(4-II-1)	-13.58(4-I-1)	1.68(3)	518(5-I-2)	-1323(4-II-1)	-1818(4-I-1)
246	10	-3.19(2)	8.76(4-I-1)	0.79(4-II-1)	-363(2)	-893(4-II-1)	-1312(2)
246	11	-2.69(3)	3.08(4-I-1)	-0.41(1)	-365(1)	-452(3)	-775(2)
246	12	-2.03(4-I-1)	-11.22(4-II-1)	-1.28(4-II-1)	234(4-II-1)	1056(4-II-1)	-669(4-I-1)
246	13	0.36(4-I-1)	13.93(4-II-1)	5.49(2)	788(5-I-2)	1466(4-I-1)	-2170(4-I-1)
246	14	-0.87(4-I-1)	8.43(4-II-1)	1.56(4-II-1)	-515(2)	-904(4-II-1)	-1530(2)
246	15	-0.72(4-II-1)	3.18(4-I-1)	0.44(4-II-1)	-527(1)	-415(3)	-923(5-II-4)
246	16	-0.70(4-I-1)	-11.17(4-II-1)	1.14(5-II-4)	391(4-II-1)	1176(4-II-1)	-708(4-I-1)
247	1	6.91(2)	-10.12(4-I-1)	1.27(1)	-154(2)	647(4-I-1)	308(4-II-1)
247	2	3.15(5-II-1)	3.45(4-II-1)	1.47(4-I-1)	-125(4-I-1)	-447(3)	608(4-I-1)
247	3	4.04(4-II-1)	9.16(4-I-1)	-0.96(4-II-1)	-155(4-II-1)	-816(4-I-1)	509(4-I-1)
247	4	5.72(4-II-1)	12.48(4-I-1)	-2.11(4-I-1)	-348(4-II-3)	-994(4-I-1)	616(4-II-1)
247	5	2.54(4-I-1)	-9.65(4-I-1)	1.08(1)	-72(5-II-2)	753(4-I-1)	480(4-II-1)
247	6	-0.89(4-II-1)	2.89(4-II-1)	0.85(4-I-1)	-178(1)	-475(3)	712(2)
247	7	-1.77(4-I-1)	9.04(4-I-1)	-0.56(3)	-192(1)	-865(4-I-1)	1004(2)
247	8	-2.00(4-I-1)	12.47(4-I-1)	-1.94(2)	-414(5-II-4)	-1113(4-I-1)	1277(4-II-1)
247	9	-1.88(4-II-1)	-9.52(4-I-1)	1.22(4-I-1)	205(4-I-1)	878(4-I-1)	711(4-II-1)
247	10	-2.70(3)	2.44(5-I-4)	0.45(1)	-366(1)	-469(3)	793(2)
247	11	-3.20(2)	8.66(4-I-1)	-0.82(4-I-1)	-362(1)	-890(4-I-1)	1324(2)

Muro	Pann.	Sxx	Syy	Sxy	Mxx	Myy	Mxy
247	12	-1.66(2)	12.48(4-I-1)	-1.69(1)	-567(5-II-4)	-1232(4-I-1)	1775(4-II-1)
247	13	-0.76(4-II-1)	-9.47(4-I-1)	-1.10(4-II-1)	342(4-I-1)	995(4-I-1)	743(4-II-1)
247	14	-0.70(4-I-1)	2.88(3)	-0.52(4-I-1)	-530(1)	-433(3)	943(3)
247	15	-0.78(4-II-1)	8.37(4-I-1)	-1.57(4-I-1)	-516(1)	-900(4-I-1)	1553(3)
247	16	0.33(4-II-2)	12.82(4-I-1)	-5.50(3)	831(5-I-4)	-1349(4-I-1)	2113(4-II-1)
248	1	-4.01(4-II-1)	5.96(4-I-1)	-2.00(5-II-4)	-763(5-II-4)	-137(5-II-2)	1295(4-II-1)
248	2	-1.66(5-II-1)	3.24(4-I-1)	-2.54(4-I-1)	-862(5-II-4)	-393(4-II-1)	1012(4-II-1)
248	3	-1.94(5-II-1)	1.85(4-I-1)	-1.74(4-I-1)	-825(5-II-4)	-548(4-II-1)	734(4-II-1)
248	4	-2.47(5-II-1)	-1.65(4-II-2)	0.79(4-II-1)	-711(5-II-4)	-565(4-II-1)	321(4-II-2)
248	5	-1.74(4-II-2)	-4.29(4-II-1)	-1.86(4-I-1)	-717(5-II-4)	558(5-I-1)	2139(4-II-1)
248	6	-2.33(5-II-1)	-3.88(4-II-1)	-1.29(5-II-4)	-593(5-II-4)	516(4-I-1)	1569(4-II-1)
248	7	-3.30(5-II-4)	-2.59(4-II-1)	0.79(4-II-1)	-520(5-II-4)	-640(4-II-1)	1116(4-II-2)
248	8	-3.33(5-II-4)	-1.63(4-II-1)	1.43(5-II-4)	-451(5-II-1)	-625(4-II-1)	798(5-II-1)
248	9	1.48(4-I-3)	-7.01(4-II-1)	-1.58(5-I-4)	1136(5-I-4)	1027(4-I-1)	2614(4-II-1)
248	10	-2.98(5-II-4)	-4.40(4-II-1)	-1.67(5-II-4)	686(5-I-1)	-885(4-II-1)	1868(4-II-2)
248	11	-4.93(5-II-4)	-2.94(4-II-1)	-0.87(3)	444(5-I-1)	-858(4-II-1)	1520(5-II-1)
248	12	-5.10(5-II-4)	-1.77(4-II-1)	1.63(5-II-4)	295(4-I-2)	-822(4-II-1)	1078(5-II-1)
248	13	-1.79(5-II-4)	-4.76(4-II-1)	-3.83(5-II-1)	1581(5-I-4)	-1787(4-II-1)	2885(4-II-2)
248	14	-3.55(5-II-4)	-4.60(4-II-1)	-3.18(3)	1019(4-I-3)	-1512(4-II-1)	2489(5-II-1)
248	15	-6.45(5-II-4)	-3.21(4-II-1)	-1.72(4-II-1)	1006(4-I-1)	-1230(4-II-1)	1928(5-II-1)
248	16	-8.32(5-II-4)	-3.48(5-II-1)	-1.55(4-II-1)	783(3)	-1051(4-II-1)	1339(5-II-1)
249	1	-20.32(5-II-4)	1.89(5-II-1)	-0.80(4-II-3)	2146(5-II-4)	-1047(4-II-1)	903(5-II-1)
249	2	-18.78(5-II-4)	1.95(5-II-1)	-1.80(3)	1799(5-II-4)	-878(4-II-1)	503(5-II-1)
249	3	-17.84(5-II-4)	2.03(5-II-1)	-1.45(3)	1493(5-II-4)	-716(4-II-1)	-438(4-I-3)
249	4	-17.56(5-II-4)	5.15(5-II-1)	-1.38(5-I-4)	1241(5-II-4)	-652(5-II-2)	-415(5-I-1)
249	5	5.55(5-I-4)	-1.15(5-II-1)	2.73(5-II-4)	-656(5-I-4)	-534(2)	-809(4-I-3)
249	6	5.60(5-I-4)	-0.97(2)	1.89(5-II-1)	-639(5-I-4)	-301(5-I-1)	-840(3)
249	7	-5.97(5-II-4)	-1.24(2)	0.61(5-II-1)	-599(5-I-4)	-133(2)	-788(3)
249	8	-6.25(5-II-4)	-3.24(5-I-1)	-0.61(4-I-1)	-527(5-I-4)	-120(5-II-4)	-578(3)
249	9	5.95(3)	0.59(5-II-1)	1.82(5-II-4)	-703(3)	-840(3)	-996(2)
249	10	6.22(3)	-1.04(3)	1.10(5-II-4)	-675(3)	-538(3)	-867(2)
249	11	6.50(3)	-2.14(3)	1.02(2)	-612(3)	-143(3)	-572(5-II-3)
249	12	6.84(3)	-4.13(3)	1.14(5-I-4)	-521(3)	226(5-II-1)	-321(5-II-3)
249	13	6.97(5-II-4)	0.98(5-I-4)	2.71(1)	671(5-I-4)	883(2)	-856(5-I-4)
249	14	6.60(5-II-4)	2.05(2)	2.16(2)	615(5-I-4)	611(2)	-612(5-I-4)
249	15	6.38(5-II-4)	1.73(5-I-4)	2.48(2)	526(5-I-4)	283(2)	-312(4-I-3)
249	16	6.59(5-II-4)	1.52(5-I-4)	2.84(2)	406(5-I-4)	82(5-II-4)	152(4-II-3)
250	1	-8.57(5-II-4)	1.02(5-II-4)	-2.67(5-II-4)	1027(5-II-4)	1023(2)	639(5-II-4)
250	2	-7.92(5-II-4)	2.39(5-II-4)	-2.27(5-II-4)	950(5-II-4)	673(2)	541(5-II-4)
250	3	-7.71(5-II-4)	1.64(5-II-4)	-1.83(1)	853(5-II-4)	287(2)	288(5-II-4)
250	4	-7.90(5-II-4)	1.39(5-II-1)	-1.72(1)	745(5-II-4)	-44(5-II-3)	-140(5-I-4)
250	5	2.28(5-I-4)	-0.43(5-II-3)	-0.62(5-I-3)	-283(5-I-4)	-476(1)	307(5-II-4)
250	6	2.45(5-I-4)	-0.76(1)	-0.41(5-I-3)	-274(5-I-4)	-350(1)	219(4-II-3)
250	7	2.67(5-I-4)	-1.26(1)	-0.56(1)	-253(5-I-4)	-163(1)	144(5-I-2)
250	8	2.83(5-I-4)	-2.15(1)	-1.02(5-II-4)	-216(5-I-4)	-91(5-II-4)	-175(5-II-3)
250	9	2.49(5-II-4)	-0.41(5-I-1)	1.04(5-II-1)	-302(5-II-4)	-562(3)	-301(5-I-4)
250	10	2.81(5-II-4)	-0.65(1)	0.84(3)	-278(5-II-4)	-415(2)	-276(4-I-3)
250	11	3.12(5-II-4)	-1.49(5-II-4)	0.84(2)	-243(5-II-4)	-166(1)	-177(5-II-2)
250	12	3.31(5-II-4)	-2.77(5-II-4)	1.09(5-I-4)	-200(5-II-4)	111(5-II-4)	161(5-I-3)
250	13	-7.05(5-I-4)	0.66(5-I-4)	2.33(5-I-4)	884(5-I-4)	1219(2)	645(5-II-4)
250	14	-6.59(5-I-4)	2.56(2)	2.13(1)	840(5-I-4)	816(2)	518(5-II-1)
250	15	-6.54(5-I-4)	2.23(5-I-4)	2.13(1)	767(5-I-4)	367(2)	367(5-II-4)
250	16	-6.76(5-I-4)	2.36(5-I-4)	2.17(1)	663(5-I-4)	46(4-II-3)	230(5-II-4)
251	1	-8.07(5-II-4)	1.16(5-II-4)	-4.37(3)	1031(5-II-4)	1267(2)	1438(5-II-4)
251	2	-7.26(5-II-4)	2.92(3)	-3.45(3)	957(5-II-4)	871(2)	1114(5-II-4)
251	3	-6.95(5-II-4)	2.38(5-II-4)	-3.67(3)	842(5-II-4)	406(2)	617(5-II-4)
251	4	-7.11(5-II-4)	2.43(5-II-4)	-3.94(3)	690(5-II-4)	50(5-I-3)	-259(5-I-4)
251	5	8.11(3)	-0.45(5-II-1)	-1.65(5-I-3)	-933(3)	-803(2)	1520(4-II-3)
251	6	8.33(3)	-1.46(2)	-1.47(3)	-920(3)	-535(2)	1180(4-II-3)
251	7	8.55(3)	-2.20(2)	-1.95(3)	-876(3)	-166(2)	720(4-II-3)
251	8	8.83(3)	-3.96(2)	-2.43(3)	-799(3)	185(5-I-4)	-192(5-II-3)
251	9	7.86(3)	-0.51(5-I-1)	-2.20(3)	-979(3)	-657(2)	1350(4-II-3)
251	10	7.50(3)	-1.29(2)	-1.27(5-I-3)	-999(3)	-389(2)	1089(4-II-3)
251	11	7.94(5-II-4)	-1.24(3)	-0.80(4-II-3)	-973(3)	-141(3)	900(2)
251	12	8.34(5-II-4)	-2.52(4-I-4)	-0.53(5-II-4)	-894(3)	136(5-II-4)	433(2)
251	13	-8.55(5-I-4)	1.01(5-I-4)	-3.29(4-II-3)	938(5-I-4)	627(4-I-3)	1066(5-II-4)
251	14	-7.95(5-I-4)	1.61(4-I-3)	-1.56(4-II-3)	769(5-I-4)	404(4-I-3)	919(5-II-4)
251	15	-7.72(5-I-4)	2.04(1)	-1.29(4-II-3)	600(5-I-4)	-169(4-II-3)	707(5-II-4)
251	16	-8.12(5-I-4)	3.53(1)	-1.05(4-II-3)	-532(5-II-4)	-268(2)	395(5-II-4)
252	1	10.17(5-I-4)	-0.81(5-I-4)	2.01(4-II-4)	-1100(5-I-4)	361(4-I-1)	-514(5-I-4)
252	2	9.42(5-I-4)	-1.61(4-II-4)	1.37(4-II-2)	-1002(5-I-4)	230(4-I-1)	-442(4-II-1)
252	3	8.94(5-I-4)	1.59(5-II-4)	-0.88(4-I-3)	-900(5-I-4)	-187(4-II-2)	-361(4-II-1)
252	4	8.83(5-I-4)	2.38(4-II-3)	-1.34(4-I-3)	-814(5-I-4)	-196(4-II-3)	-366(1)
252	5	12.36(3)	0.55(5-I-1)	1.01(4-II-3)	-1420(3)	-865(2)	-746(4-II-4)
252	6	12.48(3)	-1.64(2)	0.53(4-II-3)	-1403(3)	-516(2)	593(4-I-3)

Muro	Pann.	Sxx	Syy	Sxy	Mxx	Myy	Mxy
252	7	13.01(3)	-1.83(3)	-0.42(1)	-1339(3)	-145(3)	477(4-I-3)
252	8	13.53(3)	-3.88(4-I-3)	-0.71(5-II-4)	-1238(3)	187(2)	282(5-I-4)
252	9	9.70(5-II-4)	-1.17(5-I-3)	-1.39(5-I-4)	-1085(5-II-4)	-610(2)	-1005(4-II-4)
252	10	9.73(5-II-4)	-1.89(2)	0.83(5-II-1)	-1058(5-II-4)	-379(2)	554(4-I-3)
252	11	9.93(5-II-4)	-1.76(2)	1.15(3)	-1016(2)	-161(1)	608(4-I-3)
252	12	10.00(5-II-4)	-3.92(5-II-3)	2.16(3)	-941(5-II-4)	-80(5-I-4)	568(5-I-4)
252	13	-16.93(5-I-4)	1.37(5-I-3)	2.86(4-II-4)	1865(5-I-4)	1501(4-I-3)	-1735(4-II-1)
252	14	-15.87(5-I-4)	1.66(4-II-4)	2.58(3)	1559(5-I-4)	929(4-I-3)	-1159(4-II-1)
252	15	-15.33(5-I-4)	1.96(5-I-3)	2.61(3)	1285(5-I-4)	-602(4-II-3)	-656(4-II-4)
252	16	-15.37(5-I-4)	4.77(5-I-3)	2.66(3)	1057(5-I-4)	-595(4-II-3)	523(5-II-3)
253	1	1.24(5-II-4)	-4.13(4-II-3)	3.44(5-I-3)	-1377(5-I-4)	2339(4-I-3)	-3511(4-II-3)
253	2	-3.94(5-I-4)	-4.11(4-II-3)	3.07(3)	752(4-I-1)	1575(4-I-3)	-2608(4-II-4)
253	3	-5.68(5-I-4)	-3.26(4-II-3)	2.22(4-II-3)	1000(4-I-3)	-1112(4-II-3)	-1862(5-I-3)
253	4	-6.81(5-I-4)	-2.96(5-I-3)	2.45(4-II-3)	649(4-I-3)	-1094(4-II-3)	-1108(5-I-3)
253	5	1.78(4-I-1)	-6.09(4-II-3)	2.28(5-I-4)	-1209(5-I-4)	1073(4-I-3)	-3053(4-II-3)
253	6	-3.12(5-I-4)	-4.31(4-II-3)	2.13(3)	507(5-II-3)	912(4-I-3)	-2148(4-II-3)
253	7	-4.47(5-I-4)	-3.13(4-II-3)	1.66(3)	410(5-II-3)	-841(4-II-3)	-1534(4-II-4)
253	8	-4.04(5-I-4)	-1.89(4-II-3)	2.00(5-I-4)	291(4-I-3)	-930(4-II-3)	-892(5-I-3)
253	9	-2.63(4-II-3)	-5.93(4-II-3)	2.42(4-I-3)	-934(5-I-3)	564(5-II-3)	-2430(4-II-3)
253	10	-2.42(5-I-3)	-5.22(4-II-3)	1.88(5-I-4)	-631(5-I-4)	551(4-I-3)	-1798(4-II-3)
253	11	-2.86(5-I-4)	-3.46(4-II-3)	1.36(4-I-3)	-487(5-I-4)	-676(4-II-3)	-1258(4-II-3)
253	12	-2.42(5-I-4)	-2.05(4-II-3)	1.25(5-II-4)	-414(5-I-3)	-795(4-II-3)	-655(5-I-3)
253	13	-5.22(4-II-3)	-7.21(4-II-3)	2.27(5-I-4)	-743(5-I-3)	395(4-II-3)	-1714(4-II-3)
253	14	-1.55(5-I-3)	-4.17(4-II-3)	2.81(4-I-3)	-762(5-I-4)	303(4-I-3)	-1284(4-II-3)
253	15	-1.56(5-I-3)	-2.90(4-II-3)	2.04(4-I-3)	-688(5-I-4)	-555(4-II-3)	-911(4-II-3)
253	16	-1.98(4-II-3)	-2.43(4-II-3)	-0.79(4-II-3)	-596(5-I-4)	-680(4-II-3)	-350(4-II-3)
254	1	-0.64(4-II-3)	-10.37(4-I-3)	1.72(4-II-3)	222(4-I-3)	1089(4-I-3)	-680(4-II-3)
254	2	-0.36(4-I-3)	-0.81(5-I-4)	0.60(4-I-3)	-128(4-II-3)	63(3)	-518(5-I-2)
254	3	-0.60(4-II-3)	6.19(4-I-3)	-0.81(4-II-3)	138(4-II-3)	-611(4-I-3)	-625(5-I-2)
254	4	0.44(4-II-3)	-16.95(4-II-3)	1.38(4-I-3)	-1003(5-I-4)	1747(4-II-3)	-1504(4-II-3)
254	5	-1.59(4-II-3)	-10.25(4-I-3)	1.09(4-II-3)	-135(4-II-3)	983(4-I-3)	-634(4-II-3)
254	6	-1.23(4-II-3)	-1.06(5-I-4)	-0.14(2)	-57(4-II-3)	60(4-II-1)	-446(5-I-2)
254	7	-0.92(5-I-3)	6.61(4-I-3)	-0.60(4-II-3)	132(5-I-3)	-573(4-I-3)	-446(5-I-2)
254	8	-1.33(4-I-3)	-16.55(4-II-3)	-0.17(5-II-2)	-750(5-I-4)	1544(4-II-3)	-1149(4-II-3)
254	9	1.59(4-I-3)	-10.36(4-I-3)	0.63(5-I-2)	-94(5-I-2)	871(4-I-3)	-396(4-II-3)
254	10	-0.85(4-II-3)	-1.01(4-I-3)	-0.73(4-I-3)	40(5-I-3)	88(4-II-4)	-453(4-I-3)
254	11	-1.00(4-I-3)	7.01(4-I-3)	-0.20(5-I-4)	85(5-I-3)	-537(4-I-3)	-394(4-I-3)
254	12	2.27(4-I-3)	-16.40(4-II-3)	-0.40(4-II-3)	-499(5-I-4)	1355(4-II-3)	-758(4-II-3)
254	13	3.85(5-I-4)	-10.79(4-I-3)	0.51(5-I-1)	-121(4-I-3)	778(4-I-3)	-220(4-II-3)
254	14	2.33(5-I-3)	-1.11(4-I-3)	-1.32(4-I-3)	135(4-II-3)	114(4-II-3)	-469(4-I-3)
254	15	4.55(4-II-3)	7.12(4-I-3)	0.63(4-II-3)	97(4-I-3)	-504(4-I-3)	-353(4-I-3)
254	16	7.10(4-II-3)	-16.29(4-II-3)	0.83(4-I-3)	-485(4-II-4)	1199(4-II-3)	-511(4-II-3)
255	1	0.53(4-I-3)	-18.13(4-I-3)	-1.56(4-I-3)	-932(5-I-2)	1851(4-I-3)	1652(4-I-3)
255	2	-0.65(4-I-3)	-6.38(4-I-3)	0.82(4-I-3)	161(4-I-3)	633(4-I-3)	704(5-I-4)
255	3	-0.38(4-II-3)	-0.76(3)	-0.56(4-II-3)	-133(4-I-3)	59(3)	592(5-I-4)
255	4	-0.63(4-I-3)	-10.89(4-II-3)	-1.86(4-I-3)	241(4-II-3)	1144(4-II-3)	734(4-I-3)
255	5	-1.51(4-II-3)	-17.64(4-I-3)	0.22(4-II-3)	-725(5-I-2)	1633(4-I-3)	1263(4-I-3)
255	6	-0.93(5-I-3)	-6.92(4-I-3)	0.61(4-I-3)	136(5-I-2)	584(4-I-3)	484(5-I-3)
255	7	-1.28(4-I-3)	-1.08(4-II-3)	0.18(4-II-3)	-60(4-I-3)	52(3)	486(5-I-3)
255	8	-1.73(4-I-3)	-10.78(4-II-3)	-1.15(4-I-3)	-155(4-I-3)	1039(4-II-3)	678(4-I-3)
255	9	2.58(4-I-3)	-17.45(4-I-3)	0.33(4-I-3)	-515(5-I-2)	1431(4-I-3)	841(4-I-3)
255	10	-1.05(4-II-3)	-7.26(4-I-3)	0.16(5-I-2)	87(5-I-2)	541(4-I-3)	435(4-II-4)
255	11	-0.94(4-I-3)	-1.24(4-II-3)	0.82(4-II-3)	41(5-I-3)	58(4-I-1)	495(4-II-3)
255	12	1.76(4-II-3)	-10.89(4-II-3)	-0.69(4-I-3)	-102(5-I-1)	926(4-II-3)	422(4-I-3)
255	13	7.76(4-I-3)	-17.29(4-I-3)	-0.80(4-II-3)	-552(4-I-3)	1265(4-I-3)	555(4-I-3)
255	14	4.93(4-I-3)	7.27(4-II-3)	-0.71(4-I-3)	95(4-II-3)	517(4-I-3)	390(4-II-3)
255	15	2.30(5-I-2)	-1.35(4-II-3)	1.42(4-II-3)	139(4-I-3)	86(4-I-3)	509(4-II-3)
255	16	3.74(5-I-2)	-11.34(4-II-3)	-0.49(5-I-2)	-123(4-II-3)	832(4-II-3)	260(5-I-4)
256	1	8.17(5-II-2)	2.55(5-II-2)	2.57(5-II-2)	-205(4-I-1)	505(4-I-1)	-180(4-II-1)
256	2	6.16(5-II-2)	-1.04(5-I-2)	4.67(5-II-2)	-272(4-I-1)	259(5-II-2)	-169(4-II-1)
256	3	3.48(5-II-2)	-1.99(4-II-1)	6.08(5-II-2)	-393(4-I-1)	-106(5-I-2)	203(4-I-1)
256	4	-3.94(4-II-1)	-2.59(4-II-1)	7.57(5-II-2)	-488(4-I-1)	-325(2)	295(4-I-1)
256	5	4.20(5-II-2)	2.42(5-II-2)	3.81(4-I-1)	-62(5-I-2)	654(4-I-1)	-209(4-II-1)
256	6	3.10(5-II-2)	2.48(5-II-2)	5.76(5-II-2)	-77(2)	354(4-I-1)	-130(4-II-1)
256	7	1.72(4-I-1)	2.68(5-II-2)	7.13(5-II-2)	-117(2)	150(5-II-2)	134(4-I-1)
256	8	-1.94(4-II-1)	2.87(5-II-2)	7.41(5-II-2)	-170(4-I-1)	-72(5-I-2)	235(4-I-1)
256	9	1.21(4-I-1)	3.08(5-II-2)	3.54(4-II-1)	92(4-I-1)	764(4-I-1)	-198(4-II-1)
256	10	1.11(4-I-1)	4.19(5-II-2)	4.65(5-II-2)	43(4-I-1)	477(4-I-1)	-120(4-II-1)
256	11	0.89(4-I-1)	5.30(5-II-2)	5.37(5-II-2)	-29(4-II-2)	255(4-I-1)	-120(4-II-1)
256	12	0.68(4-I-1)	6.38(5-II-2)	5.84(5-II-2)	-38(2)	118(5-II-2)	185(4-I-1)
256	13	-1.12(4-II-1)	4.16(5-II-3)	2.27(4-II-1)	38(4-I-1)	751(4-I-1)	-148(4-II-1)
256	14	0.23(4-I-1)	5.41(5-II-2)	1.97(5-II-2)	28(5-II-2)	539(4-I-1)	-83(4-II-1)
256	15	0.13(4-I-1)	7.76(5-II-2)	2.10(5-II-2)	21(4-I-1)	328(4-I-1)	88(4-I-1)
256	16	1.38(2)	8.71(5-II-2)	1.86(5-II-2)	17(5-II-3)	182(4-I-4)	131(4-I-1)
257	1	-5.05(5-II-2)	-4.59(5-II-2)	-3.07(5-I-2)	-309(4-I-1)	-97(5-II-3)	148(4-I-1)

Muro	Pann.	Sxx	Syy	Sxy	Mxx	Myy	Mxy
257	2	0.99(5-II-2)	-1.95(5-II-2)	-4.55(5-II-2)	-65(5-II-2)	17(5-I-3)	-137(4-II-2)
257	3	1.04(5-I-2)	2.91(5-II-2)	4.29(5-I-2)	51(5-II-2)	38(3)	-141(2)
257	4	3.27(5-II-2)	4.18(5-II-2)	6.36(2)	76(5-II-2)	22(5-II-2)	-100(4-II-3)
257	5	-3.33(5-II-2)	3.19(5-II-2)	-2.91(5-I-2)	-165(4-I-1)	-115(4-I-1)	-158(4-II-1)
257	6	0.71(5-II-2)	-4.22(5-I-2)	-4.66(5-II-2)	-51(5-II-3)	-25(4-I-1)	-172(4-II-1)
257	7	0.74(5-I-2)	-2.39(5-I-2)	4.02(5-I-2)	37(5-II-2)	35(3)	-148(4-II-2)
257	8	1.81(5-II-2)	3.53(1)	5.58(2)	53(5-II-2)	31(5-II-2)	-103(4-II-3)
257	9	-1.45(5-II-2)	10.89(5-II-2)	-2.24(5-I-2)	-70(4-I-1)	-127(4-I-1)	-156(4-II-1)
257	10	0.37(5-II-2)	-9.21(5-I-2)	-3.75(5-II-2)	-29(5-II-3)	-37(4-I-1)	-171(4-II-1)
257	11	-0.46(5-II-2)	-6.56(3)	3.01(5-I-2)	19(3)	39(3)	-146(4-II-2)
257	12	0.74(5-II-2)	5.51(5-I-2)	4.25(2)	28(5-II-2)	41(5-II-2)	-100(4-II-3)
257	13	-1.01(5-I-2)	19.58(5-II-2)	-0.94(5-I-2)	-17(4-I-1)	-135(4-I-1)	-121(4-II-1)
257	14	-0.87(5-I-2)	-14.64(5-I-2)	-1.66(5-II-2)	-5(5-II-3)	-44(4-I-1)	-134(4-II-1)
257	15	-0.47(2)	-11.63(3)	1.11(5-I-2)	5(3)	42(3)	-114(4-II-2)
257	16	0.51(5-II-2)	9.76(5-I-2)	2.15(2)	7(5-II-2)	47(5-II-2)	-78(4-II-3)
258	1	2.20(5-I-2)	2.00(5-I-2)	-3.52(5-I-2)	42(1)	-14(5-II-2)	31(4-I-3)
258	2	-1.07(5-I-2)	0.86(5-I-2)	-3.19(5-II-2)	-37(5-II-2)	10(5-I-2)	-25(4-II-3)
258	3	-1.11(5-II-2)	1.44(5-II-2)	3.46(5-I-2)	-25(5-I-2)	13(5-II-2)	-36(4-II-3)
258	4	4.07(5-II-2)	3.29(5-II-2)	5.07(5-II-2)	74(4-I-3)	-15(5-I-2)	49(4-I-3)
258	5	-1.64(5-II-2)	5.18(2)	-3.22(5-I-2)	25(5-I-3)	11(5-I-2)	44(4-I-3)
258	6	-1.04(5-I-2)	1.02(5-II-2)	-2.98(5-II-2)	-22(5-II-2)	6(5-I-2)	-35(4-II-3)
258	7	-1.23(5-II-2)	1.33(5-I-2)	3.12(5-I-2)	-15(5-I-2)	12(5-II-2)	-40(4-II-3)
258	8	1.82(5-II-2)	7.44(2)	4.63(5-II-2)	44(4-I-3)	20(5-II-2)	61(4-I-3)
258	9	-0.86(5-II-2)	10.17(5-II-2)	-2.54(5-I-2)	12(5-I-3)	14(5-I-2)	-44(4-II-3)
258	10	-0.58(5-I-2)	2.57(5-II-2)	-2.19(5-II-2)	-10(5-II-2)	-7(5-II-2)	-36(4-II-3)
258	11	-0.76(5-II-2)	2.85(5-I-2)	2.23(5-I-2)	-7(5-I-2)	12(5-II-2)	-39(4-II-3)
258	12	0.79(5-II-2)	12.36(2)	3.64(5-II-2)	22(4-I-3)	26(5-II-2)	64(4-I-3)
258	13	1.11(5-I-2)	16.14(5-II-2)	-1.42(5-I-2)	3(5-I-2)	16(5-I-2)	-34(4-II-3)
258	14	1.68(3)	-4.35(5-I-2)	-0.79(5-II-2)	-2(5-II-2)	-9(5-II-2)	-28(4-II-3)
258	15	1.80(3)	4.23(5-I-2)	0.70(5-I-2)	-1(5-I-2)	13(5-II-2)	-30(4-II-3)
258	16	1.44(3)	18.96(5-I-2)	2.02(5-II-2)	5(5-II-2)	29(5-II-2)	49(4-I-3)
259	1	2.76(5-I-2)	2.57(5-I-2)	-8.48(3)	79(2)	-24(5-II-2)	177(4-I-3)
259	2	1.99(5-II-2)	-1.78(5-II-2)	-6.84(3)	39(5-I-2)	30(2)	243(4-I-3)
259	3	1.10(5-I-2)	-3.02(3)	2.17(5-I-2)	-25(5-I-2)	18(5-II-2)	251(3)
259	4	-4.03(5-I-2)	-6.82(3)	2.20(5-II-2)	-125(4-I-3)	-34(1)	170(2)
259	5	-1.89(5-II-2)	5.05(2)	-7.28(3)	49(2)	21(5-I-2)	154(4-I-3)
259	6	0.82(5-II-2)	-6.69(3)	-6.27(5-II-2)	29(5-I-2)	32(2)	206(4-I-3)
259	7	0.78(5-I-2)	-11.74(3)	2.36(5-I-2)	16(5-II-2)	10(4-II-4)	221(2)
259	8	-2.33(5-I-2)	-11.14(3)	2.20(5-II-2)	-84(4-I-3)	-47(4-I-3)	153(2)
259	9	-0.93(5-II-2)	9.90(5-II-2)	-5.44(3)	25(2)	30(5-I-2)	148(4-I-3)
259	10	-0.58(5-I-2)	-13.13(3)	-4.61(5-II-2)	16(2)	37(2)	200(4-I-3)
259	11	-0.62(5-II-2)	-20.67(3)	1.94(5-I-2)	-7(5-I-2)	11(4-II-2)	214(2)
259	12	-1.38(5-I-2)	-17.64(5-II-2)	1.82(5-II-2)	-44(4-I-3)	-62(4-I-3)	147(2)
259	13	0.38(1)	16.78(5-II-2)	-2.75(3)	6(5-I-2)	36(5-I-2)	115(4-I-3)
259	14	-0.95(3)	-20.35(3)	-1.65(5-II-2)	4(2)	40(2)	156(4-I-3)
259	15	-2.53(3)	-30.28(3)	0.90(5-I-2)	-1(5-I-2)	-13(4-I-2)	169(2)
259	16	-4.24(3)	-25.01(5-II-2)	1.06(5-II-2)	-10(4-I-3)	-70(4-I-3)	115(2)
260	1	-2.55(5-II-2)	-6.31(4-I-3)	-5.09(1)	-117(4-I-3)	-24(5-II-2)	86(4-II-2)
260	2	-1.42(5-I-2)	-3.88(5-II-2)	2.55(5-I-2)	31(2)	26(2)	-124(4-I-3)
260	3	1.81(5-I-2)	-3.61(3)	6.87(3)	-47(5-I-2)	18(5-II-1)	-160(4-I-3)
260	4	-4.51(5-I-2)	-4.95(5-I-2)	5.07(5-II-2)	-291(4-I-3)	-91(4-I-3)	-316(4-I-3)
260	5	1.63(5-I-2)	-13.21(3)	-4.75(1)	-77(4-I-3)	-40(4-I-3)	108(4-II-2)
260	6	-0.76(5-I-2)	-15.18(3)	2.43(5-I-2)	22(2)	16(2)	135(4-II-3)
260	7	1.04(5-I-2)	-11.19(3)	6.45(3)	-39(5-I-1)	-16(4-I-3)	158(4-II-3)
260	8	-3.31(5-I-2)	-4.61(5-II-2)	4.65(5-II-2)	-153(4-I-3)	-104(4-I-3)	-284(4-I-3)
260	9	-0.97(5-II-2)	-21.08(3)	-3.71(1)	-39(4-I-3)	-54(4-I-3)	107(4-II-2)
260	10	-0.75(5-I-2)	-27.96(3)	1.84(5-I-2)	10(2)	16(4-II-3)	135(4-II-3)
260	11	0.35(5-I-2)	-19.33(5-II-2)	4.88(3)	-23(4-I-3)	-25(4-I-3)	162(4-II-3)
260	12	-1.59(5-I-2)	8.31(5-I-2)	3.40(5-II-2)	-64(4-I-3)	-114(4-I-3)	-279(4-I-3)
260	13	-4.66(3)	-29.16(3)	-1.85(1)	-8(4-I-3)	-61(4-I-3)	83(4-II-2)
260	14	-4.54(3)	-41.68(3)	0.76(5-I-2)	2(2)	18(4-II-3)	105(4-II-3)
260	15	-3.56(3)	-28.63(5-II-2)	2.04(5-I-2)	-3(5-I-1)	-30(4-I-3)	127(4-II-3)
260	16	-2.81(3)	15.90(5-I-2)	1.29(5-II-2)	-16(4-I-3)	-121(4-I-3)	-218(4-I-3)
261	1	-5.71(4-II-3)	-4.56(4-II-3)	-7.25(5-I-2)	-496(4-I-3)	-360(3)	-457(4-I-3)
261	2	3.05(5-I-2)	-3.62(4-II-3)	-5.45(5-I-2)	-403(4-I-3)	-133(5-II-2)	-342(4-I-3)
261	3	5.90(5-I-2)	-2.12(4-II-3)	-4.04(5-I-2)	-285(4-I-3)	223(4-I-2)	-266(4-I-3)
261	4	8.46(5-I-2)	2.19(5-I-2)	-2.50(4-II-3)	-210(4-I-3)	566(4-I-3)	-185(4-I-3)
261	5	-2.70(4-II-3)	2.69(5-I-2)	-6.68(5-I-2)	-163(4-I-3)	-70(5-II-2)	-377(4-I-3)
261	6	1.68(4-I-3)	2.40(5-I-2)	-6.84(5-I-2)	-93(4-I-3)	138(4-I-2)	-260(4-I-3)
261	7	3.05(5-I-2)	2.32(5-I-2)	-5.57(5-I-2)	-47(5-II-2)	397(4-I-3)	-185(4-I-3)
261	8	4.66(5-I-2)	2.38(5-I-2)	-4.10(4-II-3)	43(5-I-2)	739(4-I-3)	209(4-II-3)
261	9	0.92(4-I-3)	6.30(5-I-2)	-5.23(5-I-2)	-20(5-II-2)	123(4-I-1)	-317(4-I-3)
261	10	1.18(4-I-3)	4.89(5-I-2)	-5.17(5-I-2)	37(4-I-2)	295(4-I-3)	-226(4-I-3)
261	11	1.43(4-I-3)	3.93(5-I-2)	-4.57(5-I-2)	78(4-I-3)	545(4-I-3)	-160(4-I-3)
261	12	1.96(4-I-3)	2.89(5-I-2)	-3.84(4-II-3)	133(4-I-3)	873(4-I-3)	203(4-II-3)

Muro	Pann.	Sxx	Syy	Sxy	Mxx	Myy	Mxy
261	13	4.98(3)	5.97(5-I-2)	-2.10(5-I-2)	22(4-I-3)	215(4-I-3)	-219(4-I-3)
261	14	0.15(4-I-3)	6.98(5-I-2)	-2.05(5-I-2)	30(4-I-3)	384(4-I-3)	-166(4-I-3)
261	15	0.30(4-I-3)	4.60(5-I-2)	-2.03(4-II-3)	33(4-I-1)	629(4-I-3)	-126(4-I-3)
261	16	-1.18(4-II-3)	3.83(4-I-3)	-2.46(4-II-3)	58(4-I-3)	885(4-I-3)	159(4-II-3)
262	1	9.79(4-I-3)	4.51(4-I-3)	-3.18(4-II-3)	-238(4-II-3)	420(4-I-3)	165(4-II-3)
262	2	7.85(4-I-3)	2.97(4-I-3)	-5.14(4-II-3)	-261(5-I-2)	345(4-I-3)	214(5-I-2)
262	3	5.65(4-I-3)	1.69(5-I-2)	6.95(4-I-3)	-333(5-I-2)	160(4-I-3)	255(5-I-2)
262	4	3.24(5-I-2)	1.41(5-I-2)	9.48(4-I-3)	-382(5-I-2)	-154(4-I-2)	309(5-I-2)
262	5	5.11(4-I-3)	3.80(4-I-3)	-4.06(4-II-3)	-116(4-II-3)	555(4-I-3)	198(4-II-3)
262	6	4.08(4-I-3)	3.97(4-I-3)	6.01(4-I-3)	-85(4-II-3)	385(4-I-3)	170(5-I-2)
262	7	2.44(4-I-3)	4.32(4-I-3)	7.92(4-I-3)	-104(5-I-2)	225(4-I-3)	217(5-I-1)
262	8	1.52(5-I-2)	4.80(4-I-3)	8.62(4-I-3)	-154(5-I-2)	116(4-I-3)	307(5-I-1)
262	9	1.45(5-I-2)	3.74(4-I-3)	-3.77(4-II-3)	81(5-I-1)	783(4-I-3)	191(4-II-3)
262	10	1.24(4-I-3)	4.95(4-I-3)	4.61(4-I-3)	47(4-I-3)	543(4-I-3)	155(5-I-2)
262	11	0.80(5-I-2)	6.24(4-I-3)	5.58(4-I-3)	-34(4-II-3)	345(4-I-3)	196(5-I-1)
262	12	0.70(4-I-2)	7.55(4-I-3)	6.67(4-I-3)	-36(5-I-2)	189(4-I-3)	268(5-I-1)
262	13	1.20(4-II-3)	3.84(4-I-3)	-2.42(4-II-3)	59(4-I-3)	970(4-I-3)	149(4-II-3)
262	14	0.25(5-I-2)	5.01(4-I-3)	-1.99(4-II-3)	46(4-I-3)	622(4-I-3)	119(5-I-2)
262	15	0.13(4-II-3)	7.32(4-I-3)	2.05(4-I-3)	32(4-I-3)	399(4-I-3)	146(5-I-1)
262	16	-0.39(5-I-1)	7.99(4-I-3)	1.54(4-I-3)	24(4-I-3)	263(4-I-3)	188(5-I-1)
263	1	-3.45(4-I-3)	-2.77(4-I-3)	-2.96(4-II-3)	-225(4-I-2)	-65(4-I-3)	162(5-I-1)
263	2	-2.37(4-II-3)	0.31(4-II-4)	-3.48(4-I-3)	36(4-II-3)	-16(4-I-3)	82(5-I-3)
263	3	-1.73(4-I-3)	1.81(4-I-3)	3.88(4-II-3)	40(4-I-3)	9(4-I-3)	84(5-I-4)
263	4	-3.49(4-II-3)	-2.46(4-II-3)	1.82(4-I-3)	-70(4-II-3)	-26(4-II-3)	74(4-I-3)
263	5	-2.75(4-I-3)	6.86(4-I-3)	-2.78(4-II-3)	-125(4-I-2)	-65(4-I-2)	206(5-I-1)
263	6	0.91(4-I-3)	5.63(4-I-3)	-3.46(4-I-3)	-33(4-I-3)	-16(4-I-3)	117(5-I-3)
263	7	-1.22(4-I-3)	1.95(4-I-3)	3.69(4-II-3)	27(4-I-3)	11(4-I-3)	106(5-I-3)
263	8	-1.98(4-II-3)	3.09(4-II-3)	1.88(4-I-3)	-48(4-II-3)	-28(4-II-3)	70(5-I-4)
263	9	-1.22(4-I-3)	16.61(4-I-3)	2.31(4-I-3)	-55(4-I-2)	-72(4-I-2)	209(5-I-1)
263	10	0.56(4-I-3)	11.57(4-I-3)	-2.76(4-I-3)	-19(4-I-3)	-22(4-I-3)	122(5-I-3)
263	11	-0.52(4-I-3)	2.03(4-I-2)	2.79(4-II-3)	13(4-I-3)	12(4-I-3)	104(5-I-3)
263	12	-0.99(4-II-3)	8.74(4-II-3)	1.53(4-I-3)	-24(4-II-3)	-34(4-II-3)	65(5-I-4)
263	13	0.86(4-I-3)	27.23(4-I-3)	1.12(4-I-3)	-14(4-I-2)	-77(4-I-2)	165(5-I-1)
263	14	1.34(4-I-3)	17.57(4-I-3)	-1.28(4-I-3)	-3(4-I-3)	-25(4-I-3)	92(5-I-3)
263	15	0.90(4-I-3)	2.39(3)	1.13(4-II-3)	2(4-I-3)	12(4-I-3)	82(5-I-3)
263	16	0.90(4-I-3)	15.06(4-II-3)	0.77(4-I-3)	-6(4-II-3)	-37(4-II-3)	53(5-I-4)
264	1	-3.61(4-I-3)	-2.68(4-I-3)	-1.97(4-II-3)	-72(5-I-1)	-25(4-I-3)	-67(4-II-3)
264	2	-1.65(4-I-3)	1.90(4-II-3)	-3.68(4-I-3)	39(4-II-3)	8(4-II-3)	-77(5-I-2)
264	3	-2.24(4-I-3)	0.27(5-II-3)	3.17(4-II-3)	36(4-I-3)	-14(4-II-3)	-75(5-I-2)
264	4	-3.24(4-II-3)	-2.54(4-I-3)	2.92(4-I-3)	-201(4-II-1)	-57(4-II-4)	-150(5-I-2)
264	5	-2.05(4-I-3)	2.56(2)	-2.00(4-II-3)	-48(5-I-1)	-28(4-I-3)	-54(5-I-2)
264	6	-1.17(4-II-3)	2.35(4-II-3)	-3.51(4-I-3)	26(4-II-3)	11(4-II-3)	-97(5-I-2)
264	7	0.83(4-II-3)	5.54(4-II-3)	3.15(4-II-3)	-30(4-II-3)	-14(4-II-3)	-108(5-I-2)
264	8	-2.59(4-II-3)	6.55(4-II-3)	2.74(4-I-3)	-112(4-II-1)	-57(4-II-1)	-191(5-I-2)
264	9	-1.05(4-I-3)	7.40(4-I-3)	-1.62(4-II-3)	-25(5-I-1)	-33(4-I-3)	-50(5-I-2)
264	10	0.48(4-I-3)	2.74(4-II-3)	-2.67(4-I-3)	12(4-II-3)	11(4-II-3)	-96(5-I-2)
264	11	0.52(4-II-3)	11.24(4-II-3)	2.52(4-II-3)	-17(4-II-3)	-19(4-II-3)	-113(5-I-2)
264	12	-1.15(4-II-3)	15.76(4-II-3)	-2.19(4-II-3)	-50(4-II-1)	-63(4-II-1)	-193(5-I-2)
264	13	1.09(4-II-3)	13.12(4-I-3)	-0.82(4-II-3)	-6(4-I-3)	-37(4-I-3)	-41(5-I-2)
264	14	1.08(4-II-3)	3.28(4-II-4)	-1.10(4-I-3)	2(4-II-3)	12(4-II-3)	-76(5-I-2)
264	15	1.44(4-II-3)	17.01(4-II-3)	1.17(4-I-3)	3(4-I-3)	-21(4-II-3)	-85(5-I-2)
264	16	-0.96(4-I-3)	25.82(4-II-3)	-1.05(4-II-3)	-12(4-II-1)	-68(4-II-1)	-152(5-I-2)
265	1	3.23(5-I-4)	1.35(5-I-4)	-9.17(4-II-3)	-366(5-I-3)	-130(4-II-1)	-294(5-I-3)
265	2	5.15(4-II-3)	1.58(5-I-3)	-6.78(4-II-3)	-323(5-I-4)	155(4-II-3)	-248(5-I-4)
265	3	7.32(4-II-3)	2.68(4-II-3)	4.94(4-I-3)	-260(5-I-4)	310(4-II-3)	-212(5-I-4)
265	4	9.27(4-II-3)	4.17(4-II-3)	3.06(4-I-3)	-250(5-I-4)	356(4-II-4)	-175(5-I-4)
265	5	1.44(5-I-3)	4.48(4-II-3)	-8.31(4-II-3)	-148(5-I-4)	118(4-II-3)	-290(5-I-3)
265	6	2.15(4-II-3)	4.04(4-II-3)	-7.69(4-II-3)	-103(5-I-4)	205(4-II-3)	-201(5-I-3)
265	7	3.74(4-II-3)	3.71(4-II-3)	-5.91(4-II-3)	-83(4-I-3)	336(4-II-3)	-161(5-I-3)
265	8	4.79(4-II-3)	3.56(4-II-3)	3.91(4-I-3)	-111(4-I-3)	479(4-II-4)	-190(5-I-4)
265	9	0.60(4-II-1)	7.06(4-II-3)	-6.44(4-II-3)	-40(5-I-4)	175(4-II-3)	-251(5-I-3)
265	10	0.76(5-I-3)	5.82(4-II-3)	-5.45(4-II-3)	-33(4-I-3)	308(4-II-3)	-185(5-I-3)
265	11	1.10(4-II-4)	4.58(4-II-3)	-4.58(4-II-3)	39(4-II-3)	476(4-II-3)	-147(5-I-3)
265	12	1.38(5-I-3)	3.41(4-II-3)	3.63(4-I-3)	77(5-I-3)	677(4-II-3)	-182(5-I-4)
265	13	-0.49(4-II-4)	7.63(4-II-3)	-1.49(4-II-3)	21(4-II-3)	238(4-II-3)	-175(5-I-3)
265	14	0.13(5-I-4)	6.86(4-II-3)	-2.02(4-II-3)	28(4-II-3)	353(4-II-3)	-138(5-I-3)
265	15	0.25(5-I-4)	4.58(4-II-3)	1.93(4-I-3)	42(4-II-3)	546(4-II-3)	-112(5-I-3)
265	16	1.15(4-I-3)	3.38(4-II-3)	2.33(4-I-3)	52(4-II-3)	857(4-II-3)	-144(5-I-4)
266	1	8.32(5-I-4)	2.10(5-I-3)	2.54(5-I-4)	-210(4-II-3)	503(4-II-3)	181(4-II-3)
266	2	5.62(5-I-3)	-1.95(4-I-4)	4.38(5-I-4)	-273(4-II-3)	204(5-I-3)	252(4-II-3)
266	3	2.91(5-I-3)	-3.31(4-I-3)	5.79(5-I-4)	-382(4-II-3)	-142(5-II-4)	321(4-II-3)
266	4	-5.38(4-I-3)	-4.23(4-I-3)	7.53(5-I-4)	-464(4-II-3)	-338(3)	424(4-II-3)
266	5	4.46(5-I-4)	2.30(5-I-4)	3.94(4-I-3)	-47(5-II-4)	662(4-II-3)	-199(4-I-3)
266	6	2.90(5-I-3)	2.22(5-I-4)	5.92(5-I-4)	-54(5-II-4)	346(4-II-3)	166(4-II-3)
266	7	-1.47(4-I-3)	2.32(5-I-4)	7.12(5-I-4)	-90(4-II-3)	120(5-I-3)	230(4-II-3)

Muro	Pann.	Sxx	Syy	Sxy	Mxx	Myy	Mxy
266	8	-2.58 (4-I-3)	2.58 (5-I-4)	6.87 (5-I-4)	-154 (4-II-3)	-87 (5-II-4)	339 (4-II-3)
266	9	1.80 (4-II-3)	2.74 (5-I-3)	3.70 (4-I-3)	119 (4-II-3)	772 (4-II-3)	-192 (4-I-3)
266	10	1.28 (4-II-3)	3.73 (5-I-3)	4.90 (5-I-4)	68 (4-II-3)	475 (4-II-3)	144 (4-II-3)
266	11	1.07 (4-II-3)	4.71 (5-I-4)	5.41 (5-I-4)	31 (4-II-4)	251 (4-II-4)	200 (4-II-3)
266	12	0.82 (4-II-3)	6.08 (5-I-4)	5.39 (5-I-4)	-24 (5-II-4)	105 (4-II-1)	282 (4-II-3)
266	13	-1.13 (4-I-3)	3.37 (4-II-3)	2.38 (4-I-3)	50 (4-II-3)	768 (4-II-3)	-151 (4-I-3)
266	14	0.29 (4-II-3)	4.38 (5-I-3)	2.09 (5-I-4)	31 (5-I-3)	548 (4-II-3)	113 (4-II-3)
266	15	0.15 (4-II-3)	6.77 (5-I-4)	2.18 (5-I-4)	26 (4-II-3)	329 (4-II-3)	147 (4-II-3)
266	16	4.45 (3)	6.15 (5-I-4)	2.14 (5-I-4)	19 (4-II-4)	182 (4-II-4)	195 (4-II-3)
267	1	-4.39 (5-I-3)	-4.64 (5-I-4)	-5.15 (5-II-4)	-267 (4-II-3)	-81 (4-II-3)	281 (4-II-3)
267	2	1.78 (5-I-4)	-3.10 (3)	-6.06 (3)	-45 (5-I-3)	20 (5-II-3)	131 (4-II-3)
267	3	-1.34 (5-I-3)	-3.52 (5-II-4)	2.40 (5-II-4)	36 (2)	27 (2)	98 (4-II-3)
267	4	-2.37 (5-II-4)	-5.81 (4-II-3)	5.71 (2)	-114 (4-II-3)	-30 (5-II-4)	-73 (4-I-1)
267	5	-3.22 (5-I-4)	-4.94 (5-II-4)	-4.73 (5-II-3)	-141 (4-II-3)	-95 (4-II-3)	247 (4-II-3)
267	6	0.98 (5-I-4)	-10.59 (3)	-5.84 (5-I-4)	-35 (5-I-3)	-13 (4-II-3)	-136 (4-I-3)
267	7	-0.77 (5-I-4)	-13.48 (3)	2.41 (5-II-4)	25 (2)	18 (2)	-111 (4-I-3)
267	8	1.60 (5-I-4)	-10.35 (3)	5.36 (2)	-75 (4-II-3)	-40 (4-II-3)	-90 (4-I-1)
267	9	-1.55 (5-I-4)	-9.18 (5-II-4)	-3.49 (5-II-4)	-59 (4-II-3)	-105 (4-II-3)	242 (4-II-3)
267	10	0.34 (5-I-4)	-19.30 (5-II-4)	-4.53 (5-I-4)	-20 (5-I-2)	-21 (4-II-3)	-140 (4-I-3)
267	11	-0.71 (5-I-4)	-25.09 (3)	1.88 (5-II-4)	11 (2)	17 (4-I-3)	-110 (4-I-3)
267	12	-0.84 (5-I-4)	-15.86 (3)	4.19 (2)	-39 (4-II-3)	-53 (4-II-3)	-90 (4-I-1)
267	13	-2.58 (2)	15.90 (5-I-4)	-1.35 (5-II-4)	-15 (4-II-3)	-111 (4-II-3)	190 (4-II-3)
267	14	-3.10 (3)	-28.77 (5-II-4)	-1.91 (5-I-4)	-3 (5-I-2)	-26 (4-II-3)	-109 (4-I-3)
267	15	-3.80 (3)	-37.62 (3)	0.72 (5-II-4)	2 (2)	19 (4-I-3)	-85 (4-I-3)
267	16	-3.76 (3)	-21.46 (3)	2.09 (2)	-8 (4-II-3)	-61 (4-II-3)	-69 (4-I-1)
268	1	-3.90 (5-I-3)	-6.49 (3)	-2.63 (5-II-3)	-123 (4-II-3)	-40 (2)	-170 (2)
268	2	1.19 (5-I-4)	-2.73 (3)	-2.87 (5-I-4)	-23 (5-I-4)	16 (5-II-3)	-245 (3)
268	3	1.71 (5-II-4)	-1.48 (5-II-4)	5.71 (5-II-4)	38 (5-I-3)	32 (2)	-233 (4-II-3)
268	4	2.66 (5-I-4)	2.50 (5-I-3)	7.89 (3)	85 (2)	-17 (5-II-4)	-171 (4-II-3)
268	5	-2.33 (5-I-4)	-8.73 (4-II-3)	-2.55 (5-II-4)	-83 (4-II-3)	-49 (2)	-161 (2)
268	6	0.79 (5-I-4)	-10.15 (3)	-2.97 (5-I-4)	14 (5-II-4)	9 (4-I-1)	-236 (2)
268	7	0.70 (5-II-4)	-6.69 (3)	5.24 (5-II-4)	29 (5-I-3)	32 (2)	-212 (4-II-3)
268	8	-1.65 (5-II-4)	3.99 (1)	6.77 (3)	54 (2)	22 (5-I-3)	-157 (4-II-3)
268	9	-1.31 (5-I-4)	-12.83 (5-II-4)	-2.08 (5-II-4)	-44 (4-II-3)	-62 (4-II-3)	-155 (2)
268	10	-0.51 (5-II-4)	-17.78 (3)	-2.37 (5-I-4)	-7 (5-I-3)	-10 (4-II-1)	-230 (2)
268	11	-0.59 (5-I-4)	-13.41 (3)	3.85 (5-II-4)	17 (2)	38 (2)	-207 (4-II-3)
268	12	-0.84 (5-II-4)	7.30 (5-II-4)	5.08 (3)	28 (2)	32 (5-I-3)	-150 (4-II-3)
268	13	-3.46 (3)	-17.60 (5-II-4)	-1.18 (5-II-3)	-10 (4-II-3)	-70 (4-II-3)	-121 (2)
268	14	-2.03 (3)	-26.06 (3)	-1.04 (5-I-4)	-1 (5-I-3)	-12 (4-II-1)	-182 (2)
268	15	-0.89 (3)	-20.91 (3)	1.36 (5-II-4)	5 (2)	42 (2)	-161 (4-II-3)
268	16	-0.31 (5-II-3)	12.55 (5-II-4)	2.61 (2)	6 (2)	37 (5-I-3)	-117 (4-II-3)
269	1	3.68 (5-II-4)	2.99 (5-II-4)	-4.65 (5-II-4)	78 (4-II-3)	-13 (5-I-4)	-45 (4-II-3)
269	2	-1.06 (5-II-4)	1.14 (5-II-4)	-3.32 (5-I-4)	-25 (5-I-1)	13 (5-II-4)	31 (4-I-3)
269	3	0.97 (5-II-4)	-0.55 (5-II-3)	3.42 (5-II-4)	-36 (5-II-4)	9 (5-I-3)	-18 (5-II-4)
269	4	1.91 (5-I-4)	1.47 (1)	3.20 (5-I-4)	44 (1)	-13 (5-II-1)	-38 (5-II-4)
269	5	1.66 (5-II-4)	6.01 (2)	-4.21 (5-II-4)	47 (4-II-3)	21 (5-II-4)	-57 (4-II-3)
269	6	-1.15 (5-II-4)	-1.02 (5-II-3)	-3.00 (5-I-4)	-15 (5-I-4)	11 (5-II-4)	34 (4-I-3)
269	7	-0.93 (5-I-4)	-1.81 (5-I-4)	3.16 (5-II-4)	-21 (5-II-4)	5 (5-I-1)	26 (4-I-3)
269	8	-1.51 (5-II-4)	5.28 (5-II-4)	2.91 (5-I-4)	25 (1)	10 (5-I-1)	-35 (4-II-3)
269	9	0.68 (5-II-4)	9.95 (5-I-3)	-3.31 (5-II-4)	23 (4-II-3)	27 (5-II-4)	-61 (4-II-3)
269	10	-0.73 (5-II-4)	-3.31 (5-II-3)	-2.14 (5-I-4)	-7 (5-I-4)	12 (5-II-4)	32 (4-I-3)
269	11	-0.57 (5-I-4)	-4.11 (5-I-4)	2.31 (5-II-4)	-10 (5-II-4)	-6 (5-II-1)	28 (4-I-3)
269	12	-0.78 (5-II-4)	10.47 (5-II-4)	2.29 (5-I-4)	12 (1)	13 (5-I-1)	34 (4-I-3)
269	13	0.94 (2)	15.66 (5-I-3)	-1.86 (5-II-4)	5 (5-II-4)	30 (5-II-4)	-46 (4-II-3)
269	14	1.26 (2)	-5.84 (5-II-3)	-0.68 (5-I-4)	-1 (5-I-4)	12 (5-II-4)	25 (4-I-3)
269	15	1.20 (2)	-6.58 (5-I-4)	0.81 (5-II-4)	-2 (5-II-4)	-7 (5-II-1)	21 (4-I-3)
269	16	0.61 (2)	16.44 (5-II-4)	1.29 (5-I-4)	3 (5-I-1)	14 (5-I-1)	-26 (4-II-3)
270	1	3.17 (5-II-4)	4.29 (5-II-4)	-6.30 (2)	78 (5-II-4)	21 (5-II-4)	88 (2)
270	2	0.92 (5-I-1)	3.01 (5-II-4)	-3.73 (5-I-4)	51 (3)	38 (3)	144 (2)
270	3	1.13 (5-II-4)	-1.85 (5-II-1)	4.44 (5-II-4)	-64 (5-II-1)	15 (5-I-1)	131 (2)
270	4	-5.09 (5-II-1)	-4.57 (5-II-4)	3.15 (5-I-4)	-299 (4-II-1)	-94 (4-II-1)	-124 (4-II-1)
270	5	1.68 (5-II-4)	3.60 (1)	-5.54 (2)	54 (5-II-4)	31 (5-II-4)	88 (4-I-3)
270	6	0.69 (5-I-4)	-3.31 (5-I-4)	-3.48 (5-I-4)	38 (3)	36 (3)	141 (2)
270	7	0.71 (5-II-4)	-4.68 (5-I-4)	4.57 (5-II-4)	-50 (5-II-1)	-25 (4-II-1)	151 (4-I-1)
270	8	-3.43 (5-II-4)	3.57 (5-II-4)	2.95 (5-I-4)	-161 (4-II-1)	-113 (4-II-1)	129 (4-I-1)
270	9	0.73 (5-II-4)	5.30 (1)	-4.22 (2)	29 (5-II-4)	41 (5-II-4)	86 (4-I-3)
270	10	-0.43 (5-II-4)	-6.70 (3)	-2.60 (5-I-4)	20 (3)	40 (3)	137 (2)
270	11	0.38 (5-II-4)	-9.71 (5-I-4)	3.69 (5-II-4)	-27 (5-II-2)	-36 (4-II-1)	149 (4-I-1)
270	12	-1.49 (5-II-4)	11.66 (5-II-4)	2.23 (5-I-4)	-69 (4-II-1)	-125 (4-II-1)	127 (4-I-1)
270	13	0.56 (5-II-1)	7.49 (1)	-2.15 (2)	7 (5-II-4)	48 (5-II-4)	67 (4-I-3)
270	14	-0.57 (5-I-1)	-11.87 (3)	-0.95 (5-I-4)	5 (3)	43 (3)	109 (3)
270	15	-1.03 (5-I-4)	-15.16 (5-I-4)	1.64 (5-II-4)	-5 (5-II-2)	-43 (4-II-1)	117 (4-I-1)
270	16	-1.06 (5-I-4)	20.78 (5-II-4)	0.91 (5-I-4)	-17 (4-II-1)	-132 (4-II-1)	98 (4-I-1)
271	1	-3.85 (4-I-1)	-2.44 (4-I-1)	-8.31 (5-II-4)	-472 (4-II-1)	-327 (3)	-271 (4-II-1)
271	2	3.52 (5-II-1)	-1.78 (4-I-1)	-6.77 (5-II-4)	-378 (4-II-1)	-106 (5-I-4)	-182 (4-II-1)

**POTENZIAMENTO DELL'IMPIANTO DI DEPURAZIONE E
DEL RECAPITO FINALE DI SQUINZANO (LE)
PROGETTO DEFINITIVO
Tabulati di calcolo strutturale-Edificio Grigliatura
Grossolana**

R.37.11

Maggio 2021

Pagina 99 di 183

Muro	Pann.	Sxx	Syy	Sxy	Mxx	Myy	Mxy
271	3	6.26(5-II-1)	1.10(5-II-1)	-5.26(5-II-4)	-261(4-II-1)	258(5-II-1)	159(4-I-1)
271	4	8.56(5-II-4)	2.65(5-II-4)	-2.99(5-II-4)	-195(4-II-1)	473(4-II-1)	176(4-I-1)
271	5	-1.81(4-I-1)	3.01(5-II-4)	-8.03(5-II-4)	-167(4-II-1)	-76(5-II-4)	-208(4-II-1)
271	6	1.64(4-II-2)	2.83(5-II-4)	-7.82(5-II-4)	-118(3)	150(5-II-1)	-113(4-II-1)
271	7	3.12(5-II-1)	2.61(5-II-4)	-6.44(5-II-4)	-77(2)	328(4-II-1)	114(4-I-1)
271	8	4.27(5-II-4)	2.56(5-II-4)	-4.26(5-II-4)	-60(5-I-4)	612(4-II-1)	205(4-I-1)
271	9	0.64(4-II-1)	6.64(5-II-4)	-6.34(5-II-4)	-38(2)	118(5-II-1)	-161(4-II-1)
271	10	0.82(4-II-1)	5.46(5-II-4)	-5.90(5-II-4)	-25(4-I-3)	240(5-II-1)	100(4-I-1)
271	11	1.04(4-II-2)	4.24(5-II-4)	-5.23(5-II-4)	37(4-II-1)	441(4-II-1)	106(4-I-1)
271	12	1.11(4-II-1)	3.09(5-II-1)	-3.91(5-II-4)	82(4-II-1)	711(4-II-1)	194(4-I-1)
271	13	1.38(3)	9.10(5-II-4)	-2.01(5-II-4)	17(5-II-1)	175(5-II-1)	-114(4-II-1)
271	14	0.12(4-II-1)	7.91(5-II-4)	-2.34(5-II-4)	19(4-II-4)	302(4-II-2)	-73(4-II-1)
271	15	0.21(4-II-1)	5.40(5-II-1)	-2.25(5-II-4)	28(5-II-1)	497(4-II-1)	73(4-I-1)
271	16	-1.12(4-I-1)	4.03(5-II-1)	-2.33(5-II-4)	34(4-II-4)	704(4-II-4)	145(4-I-1)
272	1	8.15(4-II-1)	3.67(4-II-1)	-2.85(4-I-1)	-226(5-II-4)	367(5-II-1)	238(5-II-4)
272	2	5.95(4-II-1)	2.34(4-II-1)	-4.65(4-I-1)	-242(5-II-4)	274(4-II-1)	303(5-II-4)
272	3	4.06(4-II-1)	1.28(5-II-1)	-6.24(4-I-1)	-292(5-II-4)	152(4-II-1)	361(5-II-4)
272	4	2.71(5-II-4)	-1.32(5-I-4)	-8.50(4-I-1)	-310(5-II-4)	-92(5-II-4)	430(5-II-1)
272	5	4.55(4-II-1)	3.13(4-II-1)	-3.63(4-I-1)	70(4-II-1)	536(5-II-1)	256(5-II-4)
272	6	3.31(4-II-1)	3.20(4-II-1)	-5.02(4-I-1)	48(4-II-1)	339(4-II-1)	259(5-II-1)
272	7	1.83(4-II-2)	3.33(4-II-1)	-6.40(4-I-1)	-57(5-II-4)	241(4-II-1)	319(5-II-1)
272	8	-1.30(5-I-1)	3.73(4-II-1)	-7.01(4-I-1)	-102(5-II-4)	183(4-II-1)	424(5-II-1)
272	9	1.83(5-II-1)	2.84(4-II-1)	-3.38(4-I-1)	121(5-II-1)	690(5-II-1)	245(5-II-4)
272	10	1.24(5-II-1)	3.69(4-II-1)	-3.95(4-I-1)	82(4-II-1)	494(4-II-1)	245(3)
272	11	1.00(5-II-1)	4.53(4-II-1)	-4.31(4-I-1)	64(4-II-1)	364(4-II-1)	305(3)
272	12	0.65(5-II-1)	5.60(4-II-1)	-5.31(4-I-1)	38(4-II-1)	266(4-II-1)	379(5-II-1)
272	13	1.23(5-II-4)	2.47(4-II-1)	-2.24(4-I-1)	67(4-II-1)	864(4-II-1)	185(5-II-4)
272	14	0.31(5-II-4)	3.33(4-II-1)	-1.72(4-I-1)	53(4-II-1)	584(4-II-1)	176(5-II-1)
272	15	0.19(5-II-4)	5.12(4-II-1)	1.61(4-II-1)	37(4-II-1)	423(4-II-1)	216(5-II-1)
272	16	2.30(3)	4.81(4-II-1)	1.46(4-II-1)	33(4-II-1)	334(4-II-1)	262(5-II-1)
273	1	-3.46(4-II-1)	-2.70(4-II-1)	-5.04(4-I-1)	-167(5-II-1)	-41(4-II-3)	344(3)
273	2	-3.05(4-I-1)	-2.82(3)	-3.73(4-II-1)	-89(4-II-1)	-19(4-II-1)	235(3)
273	3	-2.49(4-II-1)	-4.20(4-I-1)	4.34(4-I-1)	-59(4-I-1)	-11(4-I-1)	140(3)
273	4	-3.85(4-I-1)	-4.63(4-I-1)	4.02(4-II-1)	-87(5-II-3)	-33(4-I-1)	69(4-II-1)
273	5	-2.32(4-II-1)	-6.71(4-I-1)	-4.55(4-I-1)	-90(5-II-1)	-45(4-II-3)	361(3)
273	6	-1.00(4-I-1)	-10.12(4-I-1)	-3.53(4-II-1)	-62(4-II-1)	-26(4-II-1)	271(3)
273	7	-1.32(4-II-1)	-7.42(3)	4.08(4-I-1)	-40(4-I-1)	-18(4-I-1)	183(2)
273	8	-1.93(4-I-1)	-2.20(5-II-2)	3.79(4-II-1)	-61(5-II-3)	-36(4-I-1)	72(5-II-2)
273	9	-1.08(4-II-1)	-14.74(4-I-1)	-3.42(4-I-1)	-38(5-II-1)	-52(4-II-3)	356(3)
273	10	-0.59(4-I-1)	-18.66(4-I-1)	-2.72(4-II-1)	-32(4-II-1)	-34(4-II-1)	271(3)
273	11	-0.60(4-II-1)	-11.61(3)	3.04(4-I-1)	-21(4-I-1)	-26(3)	184(2)
273	12	-1.03(4-I-1)	-4.28(4-II-1)	2.99(4-II-1)	-32(5-II-3)	-45(5-II-3)	69(5-II-2)
273	13	-1.93(4-I-1)	-23.50(4-I-1)	-1.50(4-I-1)	-11(4-II-3)	-58(4-II-3)	278(3)
273	14	-2.16(4-I-1)	-27.57(4-I-1)	-1.18(4-II-1)	-5(4-II-1)	-39(4-II-1)	211(3)
273	15	-1.94(4-I-1)	-16.27(3)	1.14(4-I-1)	-5(2)	-31(3)	144(2)
273	16	-2.37(4-I-1)	-6.90(4-II-1)	1.59(4-II-1)	-7(4-I-1)	-51(5-II-3)	55(5-II-2)
274	1	-3.81(4-II-1)	-4.28(4-II-1)	-3.59(2)	-86(4-II-1)	-36(4-II-1)	-73(5-II-4)
274	2	-2.50(4-I-1)	-3.91(4-II-1)	-4.88(4-II-1)	-59(4-II-1)	-12(4-II-1)	-138(3)
274	3	-3.24(4-II-1)	-2.78(3)	4.22(4-I-1)	-92(4-I-1)	-21(4-I-1)	-232(3)
274	4	-3.60(4-I-1)	-2.98(4-I-1)	5.08(4-II-1)	-167(5-II-2)	-45(4-I-4)	-337(3)
274	5	-1.93(4-II-1)	-3.87(4-I-1)	-3.41(4-I-1)	-62(4-II-1)	-39(4-II-1)	-79(5-II-4)
274	6	-1.34(4-I-1)	-7.23(3)	-4.56(4-II-1)	-41(4-II-1)	-19(4-II-1)	-179(2)
274	7	-1.09(4-II-1)	-9.86(4-II-1)	3.99(4-I-1)	-65(4-I-1)	-28(4-I-1)	-268(2)
274	8	-2.50(4-I-1)	-6.89(4-II-1)	4.61(4-II-1)	-90(5-II-2)	-47(4-I-3)	-356(5-II-3)
274	9	-0.98(4-II-1)	-7.46(4-I-1)	-2.70(4-I-1)	-33(4-II-1)	-47(4-II-1)	-76(5-II-4)
274	10	-0.65(4-I-1)	-11.25(3)	-3.37(4-II-1)	-22(4-II-1)	-27(3)	-180(2)
274	11	-0.62(4-II-1)	-18.42(4-II-1)	3.07(4-I-1)	-34(4-I-1)	-37(4-I-1)	-268(2)
274	12	-1.18(4-I-1)	-15.43(4-II-1)	3.49(4-II-1)	-38(5-II-2)	-55(4-I-4)	-353(5-II-3)
274	13	-1.89(4-II-1)	11.83(4-II-1)	-1.46(4-I-1)	-7(4-II-1)	-52(4-II-1)	-61(5-II-4)
274	14	-1.50(4-II-1)	-15.74(3)	-1.25(4-II-1)	-5(2)	-32(3)	-142(2)
274	15	-1.84(4-II-1)	-27.33(4-II-1)	1.33(4-I-1)	-6(4-I-1)	-42(4-I-1)	-208(2)
274	16	-1.70(4-II-1)	-24.72(4-II-1)	1.56(4-II-1)	-11(4-I-4)	-61(4-I-4)	-277(5-II-3)
275	1	2.63(5-II-2)	-1.43(5-I-2)	8.86(4-II-1)	-299(5-II-2)	-89(4-I-3)	-427(5-II-2)
275	2	4.42(4-I-1)	1.34(5-II-2)	6.41(4-II-1)	-275(5-II-2)	157(4-I-1)	-355(5-II-2)
275	3	6.44(4-I-1)	2.43(4-I-1)	4.73(4-II-1)	-225(5-II-2)	295(4-I-1)	-294(5-II-2)
275	4	8.73(4-I-1)	3.88(4-I-1)	2.86(4-II-1)	-198(5-II-2)	372(5-II-3)	-220(5-II-2)
275	5	-1.44(5-I-2)	3.99(4-I-1)	7.32(4-II-1)	-95(5-II-2)	188(4-I-1)	-429(5-II-2)
275	6	1.94(4-I-1)	3.54(4-I-1)	6.66(4-II-1)	-48(5-II-2)	253(4-I-1)	-326(5-II-3)
275	7	3.55(4-I-1)	3.38(4-I-1)	5.16(4-II-1)	50(4-I-1)	362(4-I-1)	-261(5-II-2)
275	8	4.81(4-I-1)	3.30(4-I-1)	3.65(4-II-1)	75(4-I-1)	541(5-II-2)	-237(5-II-2)
275	9	0.67(5-II-3)	6.16(4-I-1)	5.51(4-II-1)	38(4-I-1)	277(4-I-1)	-384(5-II-3)
275	10	1.00(5-II-2)	4.93(4-I-1)	-4.58(4-I-1)	67(4-I-1)	384(4-I-1)	-305(5-II-3)
275	11	1.27(5-II-3)	4.00(4-I-1)	4.04(4-II-1)	85(4-I-1)	527(4-I-1)	-244(5-II-2)
275	12	1.83(5-II-2)	3.05(4-I-1)	3.38(4-II-1)	121(5-II-2)	713(5-II-3)	-229(5-II-2)
275	13	2.27(3)	5.15(4-I-1)	-1.61(4-I-1)	35(4-I-1)	351(4-I-1)	-267(5-II-3)

Muro	Pann.	Sxx	Syy	Sxy	Mxx	Myy	Mxy
275	14	0.19(4-II-1)	5.63(4-I-1)	-1.75(4-I-1)	39(4-I-1)	446(4-I-1)	-219(5-II-3)
275	15	0.30(5-II-2)	3.66(4-I-1)	1.73(4-II-1)	56(4-I-1)	621(4-I-1)	-178(5-II-2)
275	16	1.17(4-II-1)	2.72(4-I-1)	2.21(4-II-1)	70(4-I-1)	920(4-I-1)	-170(5-II-2)

Verifica delle travi

Scenario di calcolo: **ScenarioNT_ 2018 A2_SLV_SLD_STR_GEO**

Simbologia:

Terreno Nome della stratigrafia per travi Winkler
 L [cm] Lunghezza teorica elemento (distanza tra i nodi)
 Ln [cm] Lunghezza netta elemento (tiene conto dei conci rigidi)
 L2,L3 [cm] Lunghezze libere di inflessione
 Sez. R: Sezione Rettangolare
 By[cm]: Larghezza (asse locale y)
 Bz[cm]: Larghezza (asse locale z)
 Sez. T: Sezione a T (rovescia e non)
 Ba[cm]: Larghezza base inferiore
 Ha[cm]: Altezza inferiore
 Bs[cm]: Larghezza superiore
 Hs[cm]: Altezza superiore
 Sez. L: Sezione ad L (rovescia e non)
 Ba[cm]: Larghezza base inferiore
 Ha[cm]: Altezza inferiore
 Bs[cm]: Larghezza superiore
 Hs[cm]: Altezza superiore
 Sez. C: Sezione circolare
 R[cm]: Raggio
 Sez. G: Sezione generica
 B[cm]: Larghezza
 H[cm]: Altezza
 Fatt.Ampl.Sisma Fattore moltiplicativo di gruppo per le azioni sismiche (solo se diverso da 1.0)
 X [cm] Punto di verifica
 ILN Inizio luce netta
 CAMP Punto di massimo momento sia superiore che inferiore ad esclusione degli estremi
 FLN Fine luce netta
 M- [kg*m] Momento negativo massimo di calcolo⁽¹⁾
 N- [kg] Sforzo normale corrispondente ad M-
 M+ [kg*m] Momento positivo massimo di calcolo⁽¹⁾
 N+ [kg] Sforzo normale corrispondente ad M+
 ΔM- [kg*m] Incremento di M- per la traslazione del diagramma del momento a causa del taglio
 ΔM+ [kg*m] Incremento di M+ per la traslazione del diagramma del momento a causa del taglio
 Afs [cmq] Area di ferro superiore
 Afi [cmq] Area di ferro inferiore
 εsc- Deformazione nel cls per effetto di M-:N-⁽⁴⁾
 εsc+ Deformazione nel cls per effetto di M+:N+⁽⁴⁾
 εsf- Deformazione nell'acciaio per effetto di M-:N-⁽⁴⁾
 εsf+ Deformazione nell'acciaio per effetto di M+:N+⁽⁴⁾
 C- Combinazione di carico generatore di M-:N-
 C+ Combinazione di carico generatore di M+:N+
 x- [cm] Profondità asse neutro per la combinazione C-⁽⁵⁾
 d- [cm] Altezza utile della sezione per la combinazione C-⁽⁶⁾
 x+ [cm] Profondità asse neutro per la combinazione C+⁽⁵⁾
 d+ [cm] Altezza utile della sezione per la combinazione C+⁽⁶⁾
 Mr- [kg*m] Momento resistente superiore
 Mr+ [kg*m] Momento resistente inferiore
 Stato- Stato della sezione per la combinazione C-⁽⁷⁾
 Stato+ Stato della sezione per la combinazione C+⁽⁷⁾
 Comb Combinazione di carico: quando Comb non è sismica è individuata dal codice [C], quando è sismica è individuata dal codice [(Cx+Cy) Cm Sc].
 - C Individua la Combinazione di Carico non sismica (1, 2, ecc. come da scenario);
 - Cx Individua la Combinazione di Carico sismica in direzione x (SismaX, come da scenario);
 - Cy Individua la Combinazione di Carico sismica in direzione y (SismaY, come da scenario);
 - Cm Individua la Combinazione spostamento masse (I, II, III, IV, V, ecc. come da Combinazioni Sisma in Spostamento masse impalcato);
 - Sc Individua la sottocombinazione ottenuta mediante la permutazione dei segni (1, 2, 3, 4, 5, 6, 7, 8):
 1) Sc = + SismaZ*fz + SismaX*fx + SismaY*fy
 2) Sc = + SismaZ*fz + SismaX*fx - SismaY*fy
 3) Sc = + SismaZ*fz - SismaX*fx + SismaY*fy
 4) Sc = + SismaZ*fz - SismaX*fx - SismaY*fy.

- 5) $S_c = -S_{ismaZ} \cdot f_z + S_{ismaX} \cdot f_x + S_{ismaY} \cdot f_y$
 6) $S_c = -S_{ismaZ} \cdot f_z + S_{ismaX} \cdot f_x - S_{ismaY} \cdot f_y$
 7) $S_c = -S_{ismaZ} \cdot f_z - S_{ismaX} \cdot f_x + S_{ismaY} \cdot f_y$
 8) $S_c = -S_{ismaZ} \cdot f_z - S_{ismaX} \cdot f_x - S_{ismaY} \cdot f_y$

Le ultime quattro sono assenti quando non è richiesto il contributo del sisma in direzione verticale. Le combinazioni delle azioni sismiche così ottenute vengono combinate con i carichi verticali (come da scenario).

Sez Sezione di verifica [Sinistra/Destra]

Td [kg] Taglio di verifica⁽²⁾

VRdns [kg] Resistenza a taglio in assenza di armature

VRcd [kg] Resistenza taglio-compressione calcestruzzo

VRsd [kg] Resistenza taglio-trazione acciaio

VRd [kg] Resistenza a taglio $= \min(VRcd, VRsd)$

VRd,f [kg] Resistenza a taglio dovuta alla resistenza a trazione del calcestruzzo ad alte prestazioni (quando presente) (cfr. eq 4.2 CNR204/2006), oppure resistenza rinforzo del composito (quando presente) (cfr. eq 4.19 CNR200/2013), oppure resistenza rinforzo della camicia in acciaio (quando presente) (cfr. eq C8.7.4.5 Circolare NTC)

Mt [kg*m] Momento torcente

Tpl [kg] Taglio dovuto ai momenti resistenti alle estremità della trave

Mr [kg*m] Momento resistente (ultimo) utilizzato per il calcolo di Tpl quando richiesto

Dx [cm] Distanza dall'estremo da armare con staffe

Staffe [cmq] Area delle staffe

cot(θ) cot(θ) secondo il punto 4.1.2.3.5 delle Norme Tecniche

F.Par. [cmq] Area armatura longitudinale di parete⁽³⁾

Cs Coefficiente di sicurezza definito dal rapporto Fr/Fd (Fr=resistenza, Fd=azione)

ζs Livello di sicurezza sismico definito come rapporto tra l'accelerazione sopportabile e l'accelerazione di progetto, quando richiesto dal criterio di verifica

Verifiche duttilità (quando richieste):

Zona Sezione di verifica dell'elemento

Comb. Combinazione di verifica

Nmax [kg] Sforzo Normale massimo

Dir Direzione di flessione (pilastri=Y o Z, travi =Z, pareti= ortogonale alla base)

Mry [kg*m] Momento di snervamento corrispondente a Nmax

MrU [kg*m] Momento ultimo (resistente) corrispondente a Nmax sulla sezione depurata del calcestruzzo non confinato, considerando il confinamento

φy[1/m] Curvatura allo snervamento ($\phi_y = MrU/Mry \cdot \phi'_y$)

φu[1/m] Curvatura allo corrispondente a MrU

μ Capacità in duttilità della sezione

F.Conf Fattore di confinamento adottato ($= f_{ck}, c/f_{ck}$)

μd Richiesta in duttilità della sezione

Cs Livello di sicurezza ($Cs = \mu/\mu_d$)

Note Verifica travi:

(1) il valore del momento di verifica è dato da M +ΔM

(2) Td è il valore di verifica a taglio esso è calcolato in funzione della somma tra taglio da carichi verticali il valore di Tpl ovvero quando la trave è tozza amplificando il taglio di calcolo dovuto al sisma per il fattore di comportamento

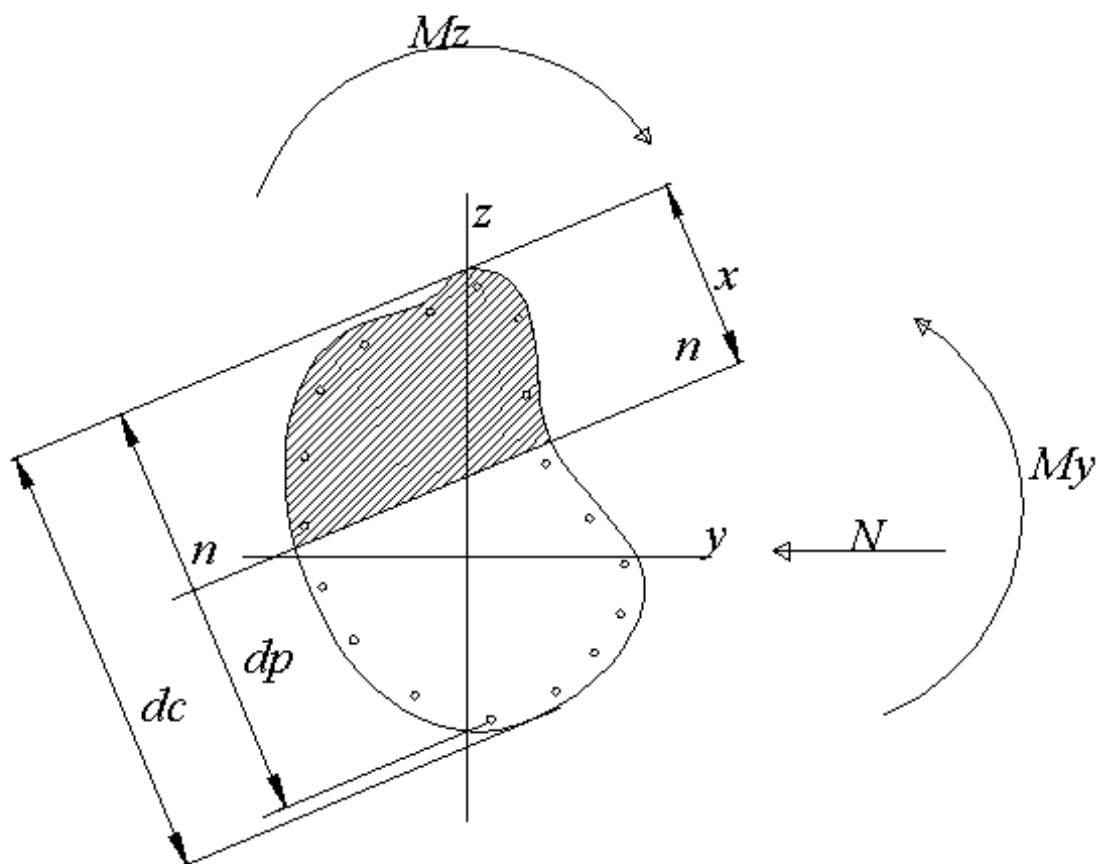
(3) armatura necessaria per la sola verifica a torsione

(4) le deformazioni sono stampate a meno del fattore 10^{-3}

(5) distanza tra la fibra di cls compressa più lontana e l'asse neutro in direzione ortogonale all'asse neutro

(6) distanza tra le fibre sollecitate più lontane dall'asse neutro: nel caso di sezione parzializzata le due fibre sono quella di cls compresso e quella dell'acciaio teso più lontane da n-n, mentre nel caso di sezione completamente compressa le due fibre sono le due di cls compresso più lontane da n-n

(7) Indica lo stato della sezione se: completamente compressa (Compr.), completamente tesa (Tesa), parzializzata (Parz.)



$M_z=0$ per presso-flessione retta e z asse di simmetria
 $d = d_p$ per sezione parzializzata
 $d = d_c$ per sezione completamente compressa ($x \geq d_c$)

Schema geometrico verifica della sezione

**POTENZIAMENTO DELL'IMPIANTO DI DEPURAZIONE E
DEL RECAPITO FINALE DI SQUINZANO (LE)
PROGETTO DEFINITIVO
Tabulati di calcolo strutturale-Edificio Grigliatura
Grossolana**

R.37.11

Maggio 2021

Pagina 103 di
183

Trave: 601 [6014,6015], Pilastrate [4014,4015] Sez. R: By=30.00 cm Bz=50.00 cm L=507.50 cm Ln=487.50 cm Criterio : CLS_TraviAlte - Verifica a flessione, $\zeta_e=1.516$ [(4+5)-III-2] : **Verificato**

X	M-	M+	$\Delta M-$	$\Delta M+$	Afs	Afi	Mr-	Mr+	C-	C+	CS
cm	kg*m	kg*m	kg*m	kg*m	cmq	cmq	kg*m	kg*m			
ILN	5929	6665	--	--	6.03	6.03	10001	10001	(4+5)-III-3	(4+5)-III-2	1.5
48.75	3956	4348	1972	2317	6.03	6.03	10001	10001	(4+5)-III-3	(4+5)-III-2	1.5
CAMP	2314	1893	1668	2486	6.03	6.03	10001	10001	(4+5)-III-3	(4+5)-III-2	2.3
438.75	3146	1999	2263	384	6.03	6.03	10001	10001	(4+5)-III-2	(4+5)-III-3	1.8
FLN	5409	2384	--	--	6.03	6.03	10001	10001	(4+5)-III-2	(4+5)-III-3	1.8

X	x-	d-	x-/d-	x+	d+	x+/d+	Mr-	Mr+	C-	C+	Stato-	Stato+
cm	cm	cm		cm	cm		kg*m	kg*m				
ILN	10.95	43.90	0.249	10.99	43.90	0.250	10001	10001	(4+5)-III-3	(4+5)-III-2	Parz.	Parz.
48.75	10.95	43.90	0.249	10.99	43.90	0.250	10001	10001	(4+5)-III-3	(4+5)-III-2	Parz.	Parz.
CAMP	10.86	43.90	0.247	10.88	43.90	0.248	10001	10001	(4+5)-III-3	(4+5)-III-2	Parz.	Parz.
438.75	10.93	43.90	0.249	10.79	43.90	0.246	10001	10001	(4+5)-III-2	(4+5)-III-3	Parz.	Parz.
FLN	10.93	43.90	0.249	10.79	43.90	0.246	10001	10001	(4+5)-III-2	(4+5)-III-3	Parz.	Parz.

Verifica a taglio: $\cot(\theta)$ Sin=2.500, $\cot(\theta)$ Cen=2.500, $\cot(\theta)$ Des=2.500 Comb: Sin=(4+5)-III-3 Cen=(4+5)-III-3 Des=(4+5)-III-3

Sez	Td	VRdns	VRcd	VRsd	VRd	Tpl	Mr	Dx	Staffe	CS
	kg	kg	kg	kg	kg	kg	kg*m	cm	cmq/m	
Sin	5091	--	43253	38856	38856	0	0	50.00	10.05	7.6
Cen	5761	--	43253	18152	18152	--	--	--	4.70	3.2
Des	4980	--	43253	38856	38856	0	0	50.00	10.05	7.8

Trave: 601 [6015,6017], Pilastrate [4015,4017] Sez. R: By=30.00 cm Bz=50.00 cm L=507.50 cm Ln=487.50 cm Criterio : CLS_TraviAlte - Verifica a flessione, $\zeta_e=1.397$ [(4+5)-III-3] : **Verificato**

X	M-	M+	$\Delta M-$	$\Delta M+$	Afs	Afi	Mr-	Mr+	C-	C+	CS
cm	kg*m	kg*m	kg*m	kg*m	cmq	cmq	kg*m	kg*m			
ILN	5817	2735	--	--	6.03	6.03	10001	10001	(4+5)-III-3	(4+5)-III-2	1.7
48.75	3536	2330	2280	405	6.03	6.03	10001	10001	(4+5)-III-3	(4+5)-III-2	1.7
CAMP	2519	1896	1878	2851	6.03	6.03	10001	10001	(4+5)-III-2	(4+5)-III-3	2.1
438.75	4369	4714	2180	2495	6.03	6.03	10001	10001	(4+5)-III-2	(4+5)-III-3	1.4
FLN	6549	7209	--	--	6.03	6.03	10001	10001	(4+5)-III-2	(4+5)-III-3	1.4

X	x-	d-	x-/d-	x+	d+	x+/d+	Mr-	Mr+	C-	C+	Stato-	Stato+
cm	cm	cm		cm	cm		kg*m	kg*m				
ILN	10.95	43.90	0.249	10.80	43.90	0.246	10001	10001	(4+5)-III-3	(4+5)-III-2	Parz.	Parz.
48.75	10.95	43.90	0.249	10.80	43.90	0.246	10001	10001	(4+5)-III-3	(4+5)-III-2	Parz.	Parz.
CAMP	10.88	43.90	0.248	10.89	43.90	0.248	10001	10001	(4+5)-III-2	(4+5)-III-3	Parz.	Parz.
438.75	10.98	43.90	0.250	11.01	43.90	0.251	10001	10001	(4+5)-III-2	(4+5)-III-3	Parz.	Parz.
FLN	10.98	43.90	0.250	11.01	43.90	0.251	10001	10001	(4+5)-III-2	(4+5)-III-3	Parz.	Parz.

Verifica a taglio: $\cot(\theta)$ Sin=2.500, $\cot(\theta)$ Cen=2.500, $\cot(\theta)$ Des=2.500 Comb: Sin=(4+5)-I-4 Cen=(4+5)-III-3 Des=(4+5)-III-3

Sez	Td	VRdns	VRcd	VRsd	VRd	Tpl	Mr	Dx	Staffe	CS
	kg	kg	kg	kg	kg	kg	kg*m	cm	cmq/m	
Sin	5036	--	43253	38856	38856	0	0	50.00	10.05	7.7
Cen	6128	--	43253	18152	18152	--	--	--	4.70	3.0
Des	5457	--	43253	38856	38856	0	0	50.00	10.05	7.1

Trave: 602 [6017,6043], Pilastrate [4017,4043] Sez. R: By=40.00 cm Bz=50.00 cm L=360.00 cm Ln=360.00 cm Criterio : CLS_TraviAlte - Verifica a flessione, $\zeta_e=1.102$ [(4+5)-II-4] : **Verificato**

X	M-	M+	$\Delta M-$	$\Delta M+$	Afs	Afi	Mr-	Mr+	C-	C+	CS
cm	kg*m	kg*m	kg*m	kg*m	cmq	cmq	kg*m	kg*m			
ILN	12403	525	--	1250	8.04	8.04	13334	13334	(4+5)-II-4	(4+5)-VI-3	1.1
36.00	8002	1586	4401	400	8.04	8.04	13334	13334	(4+5)-II-4	(4+5)-VI-3	1.1
CAMP	4298	2033	5355	1605	8.04	8.04	13334	13334	(4+5)-VI-2	(4+5)-II-4	1.4
324.00	2991	3362	2312	741	8.04	8.04	13334	13334	(4+5)-II-1	(4+5)-II-4	2.5
FLN	5302	4103	--	--	8.04	8.04	13334	13334	(4+5)-II-1	(4+5)-II-4	2.5

X	x-	d-	x-/d-	x+	d+	x+/d+	Mr-	Mr+	C-	C+	Stato-	Stato+
cm	cm	cm		cm	cm		kg*m	kg*m				
ILN	11.12	43.90	0.253	10.74	43.90	0.245	13334	13334	(4+5)-II-4	(4+5)-VI-3	Parz.	Parz.
36.00	11.12	43.90	0.253	10.75	43.90	0.245	13334	13334	(4+5)-II-4	(4+5)-VI-3	Parz.	Parz.
CAMP	11.01	43.90	0.251	10.80	43.90	0.246	13334	13334	(4+5)-VI-2	(4+5)-II-4	Parz.	Parz.
324.00	10.86	43.90	0.247	10.82	43.90	0.246	13334	13334	(4+5)-II-1	(4+5)-II-4	Parz.	Parz.
FLN	10.86	43.90	0.247	10.82	43.90	0.246	13334	13334	(4+5)-II-1	(4+5)-II-4	Parz.	Parz.

Verifica a taglio: cot(0) Sin=2.500,cot(0) Cen=2.500,cot(0) Des=2.500 Comb: Sin=3 Cen=(4+5)-II-4 Des=(4+5)-II-4

Sez	Td	VRdns	VRcd	VRsd	VRd	Tpl	Mr	Dx	Staffe	CS
	kg	kg	kg	kg	kg	kg	kg*m	cm	cmq/m	
Sin	12729	--	57671	38856	38856	0	0	50.00	10.05	3.1
Cen	9874	--	57671	25204	25204	--	--	--	6.52	2.6
Des	7247	--	57671	38856	38856	0	0	50.00	10.05	5.4

Trave: 602 [6043,6062], Pilastrate [4043,4062] Sez. R: By=40.00 cm Bz=50.00 cm L=450.00 cm Ln=450.00 cm Criterio :
CLS_TraviAlte - Verifica a flessione, $\zeta_s=2.893$ [(4+5)-II-4] : **Verificato**

X	M-	M+	ΔM-	ΔM+	Afs	Afi	Mr-	Mr+	C-	C+	CS
cm	kg*m	kg*m	kg*m	kg*m	cmq	cmq	kg*m	kg*m			
ILN	5167	2339	--	--	8.04	8.04	13334	13334	(4+5)-II-4	(4+5)-II-1	2.6
45.00	3509	1802	1659	537	8.04	8.04	13334	13334	(4+5)-II-4	(4+5)-II-1	2.6
CAMP	2155	1107	1515	1285	8.04	8.04	13334	13334	(4+5)-II-4	(4+5)-II-4	3.6
405.00	3109	2305	1345	895	8.04	8.04	13334	13334	(4+5)-II-1	(4+5)-II-4	3.0
FLN	4454	3200	--	--	8.04	8.04	13334	13334	(4+5)-II-1	(4+5)-II-4	3.0

X	x-	d-	x-/d-	x+	d+	x+/d+	Mr-	Mr+	C-	C+	Stato-	Stato+
cm	cm	cm		cm	cm		kg*m	kg*m				
ILN	10.85	43.90	0.247	10.76	43.90	0.245	13334	13334	(4+5)-II-4	(4+5)-II-1	Parz.	Parz.
45.00	10.85	43.90	0.247	10.76	43.90	0.245	13334	13334	(4+5)-II-4	(4+5)-II-1	Parz.	Parz.
CAMP	10.80	43.90	0.246	10.76	43.90	0.245	13334	13334	(4+5)-II-4	(4+5)-II-4	Parz.	Parz.
405.00	10.83	43.90	0.247	10.79	43.90	0.246	13334	13334	(4+5)-II-1	(4+5)-II-4	Parz.	Parz.
FLN	10.83	43.90	0.247	10.79	43.90	0.246	13334	13334	(4+5)-II-1	(4+5)-II-4	Parz.	Parz.

Verifica a taglio: cot(0) Sin=2.500,cot(0) Cen=2.500,cot(0) Des=2.500 Comb: Sin=(4+5)-II-4 Cen=(4+5)-II-4 Des=(4+5)-II-4

Sez	Td	VRdns	VRcd	VRsd	VRd	Tpl	Mr	Dx	Staffe	CS
	kg	kg	kg	kg	kg	kg	kg*m	cm	cmq/m	
Sin	4025	--	57671	38856	38856	0	0	50.00	10.05	9.7
Cen	3002	--	57671	24609	24609	--	--	--	6.37	8.2
Des	3328	--	57671	38856	38856	0	0	50.00	10.05	12

Trave: 602 [6062,6090], Pilastrate [4062,4090] Sez. R: By=40.00 cm Bz=50.00 cm L=405.00 cm Ln=405.00 cm Criterio :
CLS_TraviAlte - Verifica a flessione, $\zeta_s=1.855$ [(4+5)-II-1] : **Verificato**

X	M-	M+	ΔM-	ΔM+	Afs	Afi	Mr-	Mr+	C-	C+	CS
cm	kg*m	kg*m	kg*m	kg*m	cmq	cmq	kg*m	kg*m			
ILN	7144	992	--	576	8.04	8.04	13334	13334	(4+5)-II-4	(4+5)-VI-3	1.9
40.50	4216	1701	2928	--	8.04	8.04	13334	13334	(4+5)-II-4	(4+5)-II-1	1.9
CAMP	2051	4089	2807	--	8.04	8.04	13334	13334	(4+5)-II-4	3	2.7
364.50	3392	3205	3839	274	8.04	8.04	13334	13334	(4+5)-II-1	(4+5)-II-4	1.8
FLN	7231	2027	--	1274	8.04	8.04	13334	13334	(4+5)-II-1	(4+5)-II-4	1.8

X	x-	d-	x-/d-	x+	d+	x+/d+	Mr-	Mr+	C-	C+	Stato-	Stato+
cm	cm	cm		cm	cm		kg*m	kg*m				
ILN	10.92	43.90	0.249	10.74	43.90	0.245	13334	13334	(4+5)-II-4	(4+5)-VI-3	Parz.	Parz.
40.50	10.92	43.90	0.249	10.74	43.90	0.245	13334	13334	(4+5)-II-4	(4+5)-II-1	Parz.	Parz.
CAMP	10.84	43.90	0.247	10.82	43.90	0.246	13334	13334	(4+5)-II-4	3	Parz.	Parz.
364.50	10.93	43.90	0.249	10.80	43.90	0.246	13334	13334	(4+5)-II-1	(4+5)-II-4	Parz.	Parz.
FLN	10.93	43.90	0.249	10.79	43.90	0.246	13334	13334	(4+5)-II-1	(4+5)-II-4	Parz.	Parz.

Verifica a taglio: cot(0) Sin=2.500,cot(0) Cen=2.500,cot(0) Des=2.500 Comb: Sin=(4+5)-II-4 Cen=(4+5)-II-4 Des=2

Sez	Td	VRdns	VRcd	VRsd	VRd	Tpl	Mr	Dx	Staffe	CS
	kg	kg	kg	kg	kg	kg	kg*m	cm	cmq/m	

**POTENZIAMENTO DELL'IMPIANTO DI DEPURAZIONE E
DEL RECAPITO FINALE DI SQUINZANO (LE)
PROGETTO DEFINITIVO
Tabulati di calcolo strutturale-Edificio Grigliatura
Grossolana**

R.37.11

Maggio 2021

Pagina 105 di
183

Sez	Td	VRdns	VRcd	VRsd	VRd	Tpl	Mr	Dx	Staffe	CS
Sin	8165	--	57671	38856	38856	0	0	50.00	10.05	4.8
Cen	6708	--	57671	24285	24285	--	--	--	6.28	3.6
Des	11796	--	57671	38856	38856	0	0	50.00	10.05	3.3

Trave: 602 [6090,6104], Pilastrate [4090,4104] Sez. R: By=40.00 cm Bz=50.00 cm L=400.00 cm Ln=425.00 cm Criterio : CLS_TraviAlte - Verifica a flessione, $\zeta_e=1.206$ [(4+5)-VI-3] : **Verificato**

X	M-	M+	ΔM-	ΔM+	Afs	Afi	Mr-	Mr+	C-	C+	CS
cm	kg*m	kg*m	kg*m	kg*m	cmq	cmq	kg*m	kg*m			
ILN	3537	2804	--	1087	8.04	8.04	13334	13334	(4+5)-VI-2	(4+5)-II-1	3.4
42.50	757	4217	2779	--	8.04	8.04	13334	13334	(4+5)-VI-2	(4+5)-VI-3	3.2
CAMP	3112	4737	4488	--	8.04	8.04	13334	13334	(4+5)-II-1	3	1.8
382.50	6812	1116	4739	1073	8.04	8.04	13334	13334	(4+5)-VI-3	(4+5)-II-4	1.2
FLN	11550	-573	--	1839	8.04	8.04	13334	13334	(4+5)-VI-3	(4+5)-II-4	1.2

X	x-	d-	x-/d-	x+	d+	x+/d+	Mr-	Mr+	C-	C+	Stato-	Stato+
cm	cm	cm		cm	cm		kg*m	kg*m				
ILN	10.80	43.90	0.246	10.81	43.90	0.246	13334	13334	(4+5)-VI-2	(4+5)-II-1	Parz.	Parz.
42.50	10.80	43.90	0.246	10.82	43.90	0.247	13334	13334	(4+5)-VI-2	(4+5)-VI-3	Parz.	Parz.
CAMP	10.94	43.90	0.249	10.84	43.90	0.247	13334	13334	(4+5)-II-1	3	Parz.	Parz.
382.50	11.09	43.90	0.253	10.76	43.90	0.245	13334	13334	(4+5)-VI-3	(4+5)-II-4	Parz.	Parz.
FLN	11.09	43.90	0.253	10.73	43.90	0.244	13334	13334	(4+5)-VI-3	(4+5)-II-4	Parz.	Parz.

Verifica a taglio: $\cot(\theta)$ Sin=2.500, $\cot(\theta)$ Cen=2.500, $\cot(\theta)$ Des=2.500 Comb: Sin=(4+5)-VI-3 Des=3

Sez	Td	VRdns	VRcd	VRsd	VRd	Tpl	Mr	Dx	Staffe	CS
	kg	kg	kg	kg	kg	kg	kg*m	cm	cmq/m	
Sin	7467	--	57671	38856	38856	0	0	50.00	10.05	5.2
Cen	8336	--	57671	24868	24868	--	--	--	6.43	3.0
Des	12231	--	57671	38856	38856	0	0	50.00	10.05	3.2

Trave: 603 [6040,6014], Pilastrate [4040,4014] Sez. R: By=40.00 cm Bz=50.00 cm L=360.00 cm Ln=360.00 cm Criterio : CLS_TraviAlte - Verifica a flessione, $\zeta_e=1.083$ [(4+5)-VIII-4] : **Verificato**

X	M-	M+	ΔM-	ΔM+	Afs	Afi	Mr-	Mr+	C-	C+	CS
cm	kg*m	kg*m	kg*m	kg*m	cmq	cmq	kg*m	kg*m			
ILN	4383	3678	--	--	8.04	8.04	13334	13334	(4+5)-IV-3	(4+5)-IV-2	3.0
36.00	2292	3017	2091	660	8.04	8.04	13334	13334	(4+5)-IV-3	(4+5)-IV-2	3.0
CAMP	4423	1765	5420	1498	8.04	8.04	13334	13334	(4+5)-VIII-4	(4+5)-IV-2	1.4
324.00	8222	1175	4359	637	8.04	8.04	13334	13334	(4+5)-VIII-4	(4+5)-VIII-1	1.1
FLN	12581	-54	--	1481	8.04	8.04	13334	13334	(4+5)-VIII-4	(4+5)-VIII-1	1.1

X	x-	d-	x-/d-	x+	d+	x+/d+	Mr-	Mr+	C-	C+	Stato-	Stato+
cm	cm	cm		cm	cm		kg*m	kg*m				
ILN	10.83	43.90	0.247	10.80	43.90	0.246	13334	13334	(4+5)-IV-3	(4+5)-IV-2	Parz.	Parz.
36.00	10.83	43.90	0.247	10.80	43.90	0.246	13334	13334	(4+5)-IV-3	(4+5)-IV-2	Parz.	Parz.
CAMP	11.02	43.90	0.251	10.79	43.90	0.246	13334	13334	(4+5)-VIII-4	(4+5)-IV-2	Parz.	Parz.
324.00	10.27	43.90	0.234	10.74	43.90	0.245	13334	13334	(4+5)-VIII-4	(4+5)-VIII-1	Parz.	Parz.
FLN	10.27	43.90	0.234	10.73	43.90	0.244	13334	13334	(4+5)-VIII-4	(4+5)-VIII-1	Parz.	Parz.

Verifica a taglio: $\cot(\theta)$ Sin=2.500, $\cot(\theta)$ Cen=2.500, $\cot(\theta)$ Des=2.500 Comb: Sin=(4+5)-IV-3 Cen=(4+5)-IV-3 Des=3

Sez	Td	VRdns	VRcd	VRsd	VRd	Tpl	Mr	Dx	Staffe	CS
	kg	kg	kg	kg	kg	kg	kg*m	cm	cmq/m	
Sin	6633	--	57671	38856	38856	0	0	50.00	10.05	5.9
Cen	9894	--	57671	25204	25204	--	--	--	6.52	2.5
Des	13132	--	57671	38856	38856	0	0	50.00	10.05	3.0

Trave: 603 [6059,6040], Pilastrate [4059,4040] Sez. R: By=40.00 cm Bz=50.00 cm L=450.00 cm Ln=450.00 cm Criterio : CLS_TraviAlte - Verifica a flessione, $\zeta_e=3.036$ [(4+5)-VIII-4] : **Verificato**

X	M-	M+	ΔM-	ΔM+	Afs	Afi	Mr-	Mr+	C-	C+	CS
cm	kg*m	kg*m	kg*m	kg*m	cmq	cmq	kg*m	kg*m			
ILN	3987	3239	--	--	8.04	8.04	13334	13334	(4+5)-IV-3	(4+5)-IV-2	3.3
45.00	2730	2440	1257	799	8.04	8.04	13334	13334	(4+5)-IV-3	(4+5)-IV-2	3.3
CAMP	2151	1339	1384	1179	8.04	8.04	13334	13334	(4+5)-VIII-4	(4+5)-IV-2	3.8

X	M-	M+	ΔM-	ΔM+	Afs	Afi	Mr-	Mr+	C-	C+	CS
405.00	3386	1792	1540	359	8.04	8.04	13334	13334	(4+5)-VIII-4	(4+5)-VIII-1	2.7
FLN	4926	2152	--	--	8.04	8.04	13334	13334	(4+5)-VIII-4	(4+5)-VIII-1	2.7

X	x-	d-	x-/d-	x+	d+	x+/d+	Mr-	Mr+	C-	C+	Stato-	Stato+
cm	cm	cm		cm	cm		kg*m	kg*m				
ILN	10.81	43.90	0.246	10.79	43.90	0.246	13334	13334	(4+5)-IV-3	(4+5)-IV-2	Parz.	Parz.
45.00	10.81	43.90	0.246	10.79	43.90	0.246	13334	13334	(4+5)-IV-3	(4+5)-IV-2	Parz.	Parz.
CAMP	10.80	43.90	0.246	10.77	43.90	0.245	13334	13334	(4+5)-VIII-4	(4+5)-IV-2	Parz.	Parz.
405.00	10.85	43.90	0.247	10.75	43.90	0.245	13334	13334	(4+5)-VIII-4	(4+5)-VIII-1	Parz.	Parz.
FLN	10.85	43.90	0.247	10.75	43.90	0.245	13334	13334	(4+5)-VIII-4	(4+5)-VIII-1	Parz.	Parz.

Verifica a taglio: cot(θ) Sin=2.500, cot(θ) Cen=2.500, cot(θ) Des=2.500 Comb: Sin=(4+5)-IV-3 Cen=(4+5)-IV-3 Des=(4+5)-IV-3

Sez	Td	VRdns	VRcd	VRsd	VRd	Tpl	Mr	Dx	Staffe	CS
	kg	kg	kg	kg	kg	kg	kg*m	cm	cmq/m	
Sin	3132	--	57671	38856	38856	0	0	50.00	10.05	12
Cen	2789	--	57671	24609	24609	--	--	--	6.37	8.8
Des	3814	--	57671	38856	38856	0	0	50.00	10.05	10

Trave: 603 [6085,6059], Pilastrate [4085,4059] Sez. R: By=40.00 cm Bz=50.00 cm L=405.00 cm Ln=405.00 cm Criterio : CLS_TraviAlte - Verifica a flessione, $\zeta_e=1.825$ [(4+5)-IV-3] : **Verificato**

X	M-	M+	ΔM-	ΔM+	Afs	Afi	Mr-	Mr+	C-	C+	CS
cm	kg*m	kg*m	kg*m	kg*m	cmq	cmq	kg*m	kg*m			
ILN	7714	461	--	1750	8.04	8.04	13334	13334	(4+5)-IV-3	(4+5)-IV-2	1.7
40.50	3840	1951	3874	812	8.04	8.04	13334	13334	(4+5)-IV-3	(4+5)-VIII-4	1.7
CAMP	728	3391	3963	--	8.04	8.04	13334	13334	(4+5)-IV-3	3	2.8
364.50	3308	1956	2518	--	8.04	8.04	13334	13334	(4+5)-IV-2	(4+5)-IV-3	2.3
FLN	5826	1660	--	--	8.04	8.04	13334	13334	(4+5)-IV-2	(4+5)-IV-3	2.3

X	x-	d-	x-/d-	x+	d+	x+/d+	Mr-	Mr+	C-	C+	Stato-	Stato+
cm	cm	cm		cm	cm		kg*m	kg*m				
ILN	10.94	43.90	0.249	10.76	43.90	0.245	13334	13334	(4+5)-IV-3	(4+5)-IV-2	Parz.	Parz.
40.50	10.94	43.90	0.249	10.77	43.90	0.245	13334	13334	(4+5)-IV-3	(4+5)-VIII-4	Parz.	Parz.
CAMP	10.84	43.90	0.247	10.80	43.90	0.246	13334	13334	(4+5)-IV-3	3	Parz.	Parz.
364.50	10.88	43.90	0.248	10.75	43.90	0.245	13334	13334	(4+5)-IV-2	(4+5)-IV-3	Parz.	Parz.
FLN	10.88	43.90	0.248	10.74	43.90	0.245	13334	13334	(4+5)-IV-2	(4+5)-IV-3	Parz.	Parz.

Verifica a taglio: cot(θ) Sin=2.500, cot(θ) Cen=2.500, cot(θ) Des=2.500 Comb: Sin=2 Cen=(4+5)-IV-3 Des=(4+5)-IV-3

Sez	Td	VRdns	VRcd	VRsd	VRd	Tpl	Mr	Dx	Staffe	CS
	kg	kg	kg	kg	kg	kg	kg*m	cm	cmq/m	
Sin	12460	--	57671	38856	38856	0	0	50.00	10.05	3.1
Cen	6797	--	57671	24285	24285	--	--	--	6.28	3.6
Des	7154	--	57671	38856	38856	0	0	50.00	10.05	5.4

Trave: 603 [6100,6085], Pilastrate [4100,4085] Sez. R: By=40.00 cm Bz=50.00 cm L=400.00 cm Ln=425.00 cm Criterio : CLS_TraviAlte - Verifica a flessione, $\zeta_e=1.244$ [(4+5)-VIII-1] : **Verificato**

X	M-	M+	ΔM-	ΔM+	Afs	Afi	Mr-	Mr+	C-	C+	CS
cm	kg*m	kg*m	kg*m	kg*m	cmq	cmq	kg*m	kg*m			
ILN	11196	309	--	1512	8.04	8.04	13334	13334	(4+5)-VIII-1	(4+5)-IV-2	1.2
42.50	6595	1719	4602	772	8.04	8.04	13334	13334	(4+5)-VIII-1	(4+5)-IV-2	1.2
CAMP	2819	4365	4521	--	8.04	8.04	13334	13334	(4+5)-VIII-1	3	1.8
382.50	1324	3726	2795	--	8.04	8.04	13334	13334	(4+5)-VIII-4	(4+5)-VIII-1	3.2
FLN	4119	2387	--	1042	8.04	8.04	13334	13334	(4+5)-VIII-4	(4+5)-IV-3	3.2

X	x-	d-	x-/d-	x+	d+	x+/d+	Mr-	Mr+	C-	C+	Stato-	Stato+
cm	cm	cm		cm	cm		kg*m	kg*m				
ILN	11.07	43.90	0.252	10.74	43.90	0.245	13334	13334	(4+5)-VIII-1	(4+5)-IV-2	Parz.	Parz.
42.50	11.07	43.90	0.252	10.77	43.90	0.245	13334	13334	(4+5)-VIII-1	(4+5)-IV-2	Parz.	Parz.
CAMP	10.93	43.90	0.249	10.83	43.90	0.247	13334	13334	(4+5)-VIII-1	3	Parz.	Parz.
382.50	10.82	43.90	0.246	10.81	43.90	0.246	13334	13334	(4+5)-VIII-4	(4+5)-VIII-1	Parz.	Parz.
FLN	10.82	43.90	0.246	10.80	43.90	0.246	13334	13334	(4+5)-VIII-4	(4+5)-IV-3	Parz.	Parz.

**POTENZIAMENTO DELL'IMPIANTO DI DEPURAZIONE E
DEL RECAPITO FINALE DI SQUINZANO (LE)
PROGETTO DEFINITIVO
Tabulati di calcolo strutturale-Edificio Grigliatura
Grossolana**

R.37.11

Maggio 2021

Pagina 107 di
183

Verifica a taglio: cot(0) Sin=2.500,cot(0) Cen=2.500,cot(0) Des=2.500 Comb: Sin=3 Cen=(4+5)-VIII-4 Des=2

Sez	Td	VRdns	VRcd	VRsd	VRd	Tpl	Mr	Dx	Staffe	CS
	kg	kg	kg	kg	kg	kg	kg*m	cm	cmq/m	
Sin	11593	--	57671	38856	38856	0	0	50.00	10.05	3.4
Cen	8008	--	57671	24868	24868	--	--	--	6.43	3.1
Des	7479	--	57671	38856	38856	0	0	50.00	10.05	5.2

Trave: 604 [6040,6041], Pilastrate [4040,--] Sez. R: By=50.00 cm Bz=50.00 cm L=397.00 cm Ln=397.00 cm Criterio :
CLS_TraviAlte - Verifica a flessione, $\zeta_e=1.096$ [(4+5)-III-3] : **Verificato**

X	M-	M+	ΔM-	ΔM+	Afs	Afi	Mr-	Mr+	C-	C+	CS
cm	kg*m	kg*m	kg*m	kg*m	cmq	cmq	kg*m	kg*m			
ILN	18613	--	--	--	12.06	8.04	19679	13662	(4+5)-III-3	1	1.1
39.70	14723	-2251	3889	3062	12.06	8.04	19679	13662	(4+5)-III-3	(4+5)-III-2	1.1
CAMP	11128	9387	4545	1277	10.05	8.04	16657	13648	(4+5)-III-3	3	1.1
357.30	--	10508	--	640	10.05	8.04	16657	13648	1	3	1.2
FLN	--	11148	--	--	10.05	8.04	16657	13648	1	3	1.2

X	x-	d-	x-/d-	x+	d+	x+/d+	Mr-	Mr+	C-	C+	Stato-	Stato+
cm	cm	cm		cm	cm		kg*m	kg*m				
ILN	12.25	43.90	0.279	--	--	--	19679	13662	(4+5)-III-3	1	Parz.	--
39.70	12.25	43.90	0.279	9.64	43.90	0.220	19679	13662	(4+5)-III-3	(4+5)-III-2	Parz.	Parz.
CAMP	10.95	43.90	0.249	10.02	43.90	0.228	16657	13648	(4+5)-III-3	3	Parz.	Parz.
357.30	--	--	--	10.03	43.90	0.228	16657	13648	1	3	--	Parz.
FLN	--	--	--	10.03	43.90	0.228	16657	13648	1	3	--	Parz.

Verifica a taglio: cot(0) Sin=2.500,cot(0) Cen=2.500,cot(0) Des=2.500 Comb: Sin=2 Cen=2 Des=(4+5)-III-3

Sez	Td	VRdns	VRcd	VRsd	VRd	Tpl	Mr	Dx	Staffe	CS
	kg	kg	kg	kg	kg	kg	kg*m	cm	cmq/m	
Sin	13214	--	72089	38856	38856	0	0	50.00	10.05	2.9
Cen	11138	--	72089	30238	30238	--	--	--	7.82	2.7
Des	2978	--	72089	38856	38856	0	0	50.00	10.05	13

Trave: 604 [6041,6042], Pilastrate [--,--] Sez. R: By=50.00 cm Bz=50.00 cm L=300.00 cm Ln=300.00 cm Criterio :
CLS_TraviAlte - Verifica a flessione, $\zeta_e=3.040$ [(4+5)-III-3] : **Verificato**

X	M-	M+	ΔM-	ΔM+	Afs	Afi	Mr-	Mr+	C-	C+	CS
cm	kg*m	kg*m	kg*m	kg*m	cmq	cmq	kg*m	kg*m			
ILN	--	10842	--	--	8.04	8.04	13630	13630	1	3	1.3
30.00	--	10872	--	--	8.04	8.04	13630	13630	1	3	1.3
CAMP	--	10713	--	144	8.04	8.04	13630	13630	1	3	1.3
270.00	--	8479	--	867	8.04	8.04	13630	13630	1	3	1.5
FLN	--	7851	--	987	8.04	8.04	13630	13630	1	3	1.5

X	x-	d-	x-/d-	x+	d+	x+/d+	Mr-	Mr+	C-	C+	Stato-	Stato+
cm	cm	cm		cm	cm		kg*m	kg*m				
ILN	--	--	--	10.15	43.90	0.231	13630	13630	1	3	--	Parz.
30.00	--	--	--	10.15	43.90	0.231	13630	13630	1	3	--	Parz.
CAMP	--	--	--	10.15	43.90	0.231	13630	13630	1	3	--	Parz.
270.00	--	--	--	10.10	43.90	0.230	13630	13630	1	3	--	Parz.
FLN	--	--	--	10.09	43.90	0.230	13630	13630	1	3	--	Parz.

Verifica a taglio: cot(0) Sin=2.500,cot(0) Cen=2.500,cot(0) Des=2.500 Comb: Sin=(4+5)-III-3 Cen=(4+5)-III-3 Des=(4+5)-III-3

Sez	Td	VRdns	VRcd	VRsd	VRd	Tpl	Mr	Dx	Staffe	CS
	kg	kg	kg	kg	kg	kg	kg*m	cm	cmq/m	
Sin	1662	--	72089	38856	38856	0	0	50.00	10.05	23
Cen	2603	--	72089	29889	29889	--	--	--	7.73	11
Des	2978	--	72089	38856	38856	0	0	50.00	10.05	13

Trave: 604 [6042,6043], Pilastrate [--,4043] Sez. R: By=50.00 cm Bz=50.00 cm L=318.00 cm Ln=318.00 cm Criterio :
CLS_TraviAlte - Verifica a flessione, $\zeta_e=1.123$ [(4+5)-III-2] : **Verificato**

X	M-	M+	ΔM-	ΔM+	Afs	Afi	Mr-	Mr+	C-	C+	CS
cm	kg*m	kg*m	kg*m	kg*m	cmq	cmq	kg*m	kg*m			
ILN	--	8241	--	--	12.06	8.04	19679	13662	1	(4+5)-III-3	1.7
31.80	-1477	7857	2281	384	12.06	8.04	19679	13662	(4+5)-III-2	(4+5)-III-3	1.7
CAMP	12638	7284	4516	785	12.06	8.04	19679	13662	(4+5)-III-2	(4+5)-III-3	1.1
286.20	15482	-2486	3022	3015	12.06	8.04	19679	13662	(4+5)-III-2	(4+5)-III-3	1.1
FLN	18505	--	--	--	12.06	8.04	19679	13662	(4+5)-III-2	1	1.1

X	x-	d-	x-/d-	x+	d+	x+/d+	Mr-	Mr+	C-	C+	Stato-	Stato+
cm	cm	cm		cm	cm		kg*m	kg*m				
ILN	--	--	--	9.83	43.90	0.224	19679	13662	1	(4+5)-III-3	--	Parz.
31.80	11.70	43.90	0.267	9.83	43.90	0.224	19679	13662	(4+5)-III-2	(4+5)-III-3	Parz.	Parz.
CAMP	12.19	43.90	0.278	9.82	43.90	0.224	19679	13662	(4+5)-III-2	(4+5)-III-3	Parz.	Parz.
286.20	12.24	43.90	0.279	9.63	43.90	0.219	19679	13662	(4+5)-III-2	(4+5)-III-3	Parz.	Parz.
FLN	12.24	43.90	0.279	--	--	--	19679	13662	(4+5)-III-2	1	Parz.	--

Verifica a taglio: cot(θ) Sin=2.500, cot(θ) Cen=2.500, cot(θ) Des=2.500 Comb: Sin=(4+5)-III-3 Cen=3 Des=3

Sez	Td	VRdns	VRcd	VRsd	VRd	Tpl	Mr	Dx	Staffe	CS
	kg	kg	kg	kg	kg	kg	kg*m	cm	cmq/m	
Sin	4075	--	72089	38856	38856	0	0	50.00	10.05	9.5
Cen	11071	--	72089	30561	30561	--	--	--	7.91	2.8
Des	12637	--	72089	38856	38856	0	0	50.00	10.05	3.1

Trave: 605 [6060,6059], Pilastrate [--,4059] Sez. R: By=50.00 cm Bz=50.00 cm L=397.00 cm Ln=397.00 cm Criterio :
CLS_TraviAlte - Verifica a flessione, $\zeta_e=1.133$ [(4+5)-V-3] : **Verificato**

X	M-	M+	ΔM-	ΔM+	Afs	Afi	Mr-	Mr+	C-	C+	CS
cm	kg*m	kg*m	kg*m	kg*m	cmq	cmq	kg*m	kg*m			
ILN	--	13689	--	--	12.06	10.05	19683	16675	1	2	1.2
39.70	--	12480	--	1209	12.06	10.05	19683	16675	1	2	1.2
CAMP	12901	10790	5061	1985	12.06	8.04	19679	13662	(4+5)-V-3	2	1.1
357.30	16912	-3328	4305	3419	14.07	8.04	22692	13672	(4+5)-V-3	(4+5)-V-2	1.1
FLN	21217	--	--	--	14.07	8.04	22692	13672	(4+5)-V-3	1	1.1

X	x-	d-	x-/d-	x+	d+	x+/d+	Mr-	Mr+	C-	C+	Stato-	Stato+
cm	cm	cm		cm	cm		kg*m	kg*m				
ILN	--	--	--	10.92	43.90	0.249	19683	16675	1	2	--	Parz.
39.70	--	--	--	10.92	43.90	0.249	19683	16675	1	2	--	Parz.
CAMP	12.22	43.90	0.278	8.22	43.90	0.187	19679	13662	(4+5)-V-3	2	Parz.	Parz.
357.30	13.11	43.90	0.299	9.52	43.90	0.217	22692	13672	(4+5)-V-3	(4+5)-V-2	Parz.	Parz.
FLN	13.11	43.90	0.299	--	--	--	22692	13672	(4+5)-V-3	1	Parz.	--

Verifica a taglio: cot(θ) Sin=2.500, cot(θ) Cen=2.500, cot(θ) Des=2.500 Comb: Sin=(4+5)-V-3 Cen=2 Des=2

Sez	Td	VRdns	VRcd	VRsd	VRd	Tpl	Mr	Dx	Staffe	CS
	kg	kg	kg	kg	kg	kg	kg*m	cm	cmq/m	
Sin	4023	--	72089	38856	38856	0	0	50.00	10.05	9.7
Cen	12568	--	72089	30238	30238	--	--	--	7.82	2.4
Des	14643	--	72089	38856	38856	0	0	50.00	10.05	2.7

Trave: 605 [6061,6060], Pilastrate [--,--] Sez. R: By=50.00 cm Bz=50.00 cm L=300.00 cm Ln=300.00 cm Criterio :
CLS_TraviAlte - Verifica a flessione, $\zeta_e=2.531$ [(4+5)-V-3] : **Verificato**

X	M-	M+	ΔM-	ΔM+	Afs	Afi	Mr-	Mr+	C-	C+	CS
cm	kg*m	kg*m	kg*m	kg*m	cmq	cmq	kg*m	kg*m			
ILN	--	9311	--	1049	8.04	8.04	13630	13630	1	2	1.3
30.00	--	9977	--	929	8.04	8.04	13630	13630	1	2	1.2
CAMP	--	12591	--	86	8.04	8.04	13630	13630	1	2	1.1
270.00	--	12672	--	8	8.04	8.04	13630	13630	1	2	1.1
FLN	--	12679	--	--	8.04	8.04	13630	13630	1	2	1.1

X	x-	d-	x-/d-	x+	d+	x+/d+	Mr-	Mr+	C-	C+	Stato-	Stato+
cm	cm	cm		cm	cm		kg*m	kg*m				
ILN	--	--	--	10.14	43.90	0.231	13630	13630	1	2	--	Parz.
30.00	--	--	--	10.15	43.90	0.231	13630	13630	1	2	--	Parz.

**POTENZIAMENTO DELL'IMPIANTO DI DEPURAZIONE E
DEL RECAPITO FINALE DI SQUINZANO (LE)
PROGETTO DEFINITIVO
Tabulati di calcolo strutturale-Edificio Grigliatura
Grossolana**

R.37.11

Maggio 2021

Pagina 109 di
183

X	x-	d-	x-/d-	x+	d+	x+/d+	Mr-	Mr+	C-	C+	Stato-	Stato+
CAMP	--	--	--	9.58	43.90	0.218	13630	13630	1	2	--	Parz.
270.00	--	--	--	9.56	43.90	0.218	13630	13630	1	2	--	Parz.
FLN	--	--	--	9.56	43.90	0.218	13630	13630	1	2	--	Parz.

Verifica a taglio: cot(0) Sin=2.500,cot(0) Cen=2.500,cot(0) Des=2.500 Comb: Sin=(4+5)-VII-4 Cen=(4+5)-VII-4 Des=(4+5)-VII-4

Sez	Td	VRdns	VRcd	VRsd	VRd	Tpl	Mr	Dx	Staffe	CS
	kg	kg	kg	kg	kg	kg	kg*m	cm	cmq/m	
Sin	3137	--	72089	38856	38856	0	0	50.00	10.05	12
Cen	2762	--	72089	29889	29889	--	--	--	7.73	11
Des	1664	--	72089	38856	38856	0	0	50.00	10.05	23

Trave: 605 [6062,6061], Pilastrate [4062,--] Sez. R: By=50.00 cm Bz=50.00 cm L=318.00 cm Ln=318.00 cm Criterio : CLS_TraviAlte - Verifica a flessione, $\zeta_e=1.108$ [(4+5)-VII-1] : **Verificato**

X	M-	M+	ΔM-	ΔM+	Afs	Afi	Mr-	Mr+	C-	C+	CS
cm	kg*m	kg*m	kg*m	kg*m	cmq	cmq	kg*m	kg*m			
ILN	21550	--	--	--	14.07	8.04	22692	13672	(4+5)-VII-1	1	1.1
31.80	18117	--	3434	--	14.07	8.04	22692	13672	(4+5)-VII-1	1	1.1
CAMP	14861	6577	5154	2917	14.07	8.04	22692	13672	(4+5)-VII-1	2	1.1
286.20	-2100	8562	2897	1686	14.07	8.04	22692	13672	(4+5)-V-2	2	1.3
FLN	--	10248	--	--	14.07	8.04	22692	13672	1	2	1.3

X	x-	d-	x-/d-	x+	d+	x+/d+	Mr-	Mr+	C-	C+	Stato-	Stato+
cm	cm	cm		cm	cm		kg*m	kg*m				
ILN	13.13	43.90	0.299	--	--	--	22692	13672	(4+5)-VII-1	1	Parz.	--
31.80	13.13	43.90	0.299	--	--	--	22692	13672	(4+5)-VII-1	1	Parz.	--
CAMP	13.07	43.90	0.298	9.75	43.90	0.222	22692	13672	(4+5)-VII-1	2	Parz.	Parz.
286.20	12.48	43.90	0.284	9.77	43.90	0.222	22692	13672	(4+5)-V-2	2	Parz.	Parz.
FLN	--	--	--	9.77	43.90	0.222	22692	13672	1	2	--	Parz.

Verifica a taglio: cot(0) Sin=2.500,cot(0) Cen=2.500,cot(0) Des=2.500 Comb: Sin=3 Cen=3 Des=3

Sez	Td	VRdns	VRcd	VRsd	VRd	Tpl	Mr	Dx	Staffe	CS
	kg	kg	kg	kg	kg	kg	kg*m	cm	cmq/m	
Sin	14468	--	72089	38856	38856	0	0	50.00	10.05	2.7
Cen	12902	--	72089	30561	30561	--	--	--	7.91	2.4
Des	5732	--	72089	38856	38856	0	0	50.00	10.05	6.8

Trave: 606 [6102,6100], Pilastrate [4102,4100] Sez. R: By=30.00 cm Bz=50.00 cm L=507.50 cm Ln=507.50 cm Criterio : CLS_TraviAlte - Verifica a flessione, $\zeta_e=1.457$ [(4+5)-VII-4] : **Verificato**

X	M-	M+	ΔM-	ΔM+	Afs	Afi	Mr-	Mr+	C-	C+	CS
cm	kg*m	kg*m	kg*m	kg*m	cmq	cmq	kg*m	kg*m			
ILN	5255	2597	--	--	6.03	6.03	10001	10001	(4+5)-VII-1	(4+5)-VII-4	1.9
50.75	3320	1798	1883	778	6.03	6.03	10001	10001	(4+5)-VII-1	(4+5)-VII-4	1.9
CAMP	3222	2537	1832	1452	6.03	6.03	10001	10001	(4+5)-VII-4	(4+5)-VII-1	2.0
456.75	5105	4030	1929	1361	6.03	6.03	10001	10001	(4+5)-VII-4	(4+5)-VII-1	1.4
FLN	7088	5428	--	--	6.03	6.03	10001	10001	(4+5)-VII-4	(4+5)-VII-1	1.4

X	x-	d-	x-/d-	x+	d+	x+/d+	Mr-	Mr+	C-	C+	Stato-	Stato+
cm	cm	cm		cm	cm		kg*m	kg*m				
ILN	10.92	43.90	0.249	10.80	43.90	0.246	10001	10001	(4+5)-VII-1	(4+5)-VII-4	Parz.	Parz.
50.75	10.92	43.90	0.249	10.80	43.90	0.246	10001	10001	(4+5)-VII-1	(4+5)-VII-4	Parz.	Parz.
CAMP	10.91	43.90	0.248	10.86	43.90	0.247	10001	10001	(4+5)-VII-4	(4+5)-VII-1	Parz.	Parz.
456.75	11.00	43.90	0.251	10.92	43.90	0.249	10001	10001	(4+5)-VII-4	(4+5)-VII-1	Parz.	Parz.
FLN	11.01	43.90	0.251	10.93	43.90	0.249	10001	10001	(4+5)-VII-4	(4+5)-VII-1	Parz.	Parz.

Verifica a taglio: cot(0) Sin=2.500,cot(0) Cen=2.500,cot(0) Des=2.500 Comb: Sin=(4+5)-VII-4 Cen=(4+5)-VII-4 Des=(4+5)-VII-4

Sez	Td	VRdns	VRcd	VRsd	VRd	Tpl	Mr	Dx	Staffe	CS
	kg	kg	kg	kg	kg	kg	kg*m	cm	cmq/m	
Sin	3910	--	43253	38856	38856	0	0	50.00	10.05	9.9
Cen	3816	--	43253	18152	18152	--	--	--	4.70	4.8
Des	4006	--	43253	38856	38856	0	0	50.00	10.05	9.7

**POTENZIAMENTO DELL'IMPIANTO DI DEPURAZIONE E
DEL RECAPITO FINALE DI SQUINZANO (LE)
PROGETTO DEFINITIVO
Tabulati di calcolo strutturale-Edificio Grigliatura
Grossolana**

R.37.11

Maggio 2021

Pagina 110 di
183

Trave: 606 [6104,6102], Pilastrate [4104,4102] Sez. R: By=30.00 cm Bz=50.00 cm L=507.50 cm Ln=507.50 cm Criterio :
CLS_TraviAlte - Verifica a flessione, $\zeta_e=1.373$ [(4+5)-VII-1] : **Verificato**

X	M-	M+	ΔM-	ΔM+	Afs	Afi	Mr-	Mr+	C-	C+	CS
cm	kg*m	kg*m	kg*m	kg*m	cmq	cmq	kg*m	kg*m			
ILN	7510	5660	--	--	6.03	6.03	10001	10001	(4+5)-VII-1	(4+5)-VII-4	1.3
50.75	5447	4204	2008	1417	6.03	6.03	10001	10001	(4+5)-VII-1	(4+5)-VII-4	1.3
CAMP	3483	2654	1911	1508	6.03	6.03	10001	10001	(4+5)-VII-1	(4+5)-VII-4	1.9
456.75	3392	1983	1860	767	6.03	6.03	10001	10001	(4+5)-VII-4	(4+5)-VII-1	1.9
FLN	5304	2771	--	--	6.03	6.03	10001	10001	(4+5)-VII-4	(4+5)-VII-1	1.9

X	x-	d-	x-/d-	x+	d+	x+/d+	Mr-	Mr+	C-	C+	Stato-	Stato+
cm	cm	cm		cm	cm		kg*m	kg*m				
ILN	11.03	43.90	0.251	10.94	43.90	0.249	10001	10001	(4+5)-VII-1	(4+5)-VII-4	Parz.	Parz.
50.75	11.03	43.90	0.251	10.94	43.90	0.249	10001	10001	(4+5)-VII-1	(4+5)-VII-4	Parz.	Parz.
CAMP	10.93	43.90	0.249	10.87	43.90	0.248	10001	10001	(4+5)-VII-1	(4+5)-VII-4	Parz.	Parz.
456.75	10.92	43.90	0.249	10.80	43.90	0.246	10001	10001	(4+5)-VII-4	(4+5)-VII-1	Parz.	Parz.
FLN	10.92	43.90	0.249	10.81	43.90	0.246	10001	10001	(4+5)-VII-4	(4+5)-VII-1	Parz.	Parz.

Verifica a taglio: $\cot(\theta)$ Sin=2.500, $\cot(\theta)$ Cen=2.500, $\cot(\theta)$ Des=2.500 Comb: Sin=(4+5)-VII-4 Cen=(4+5)-VII-4 Des=(4+5)-VII-4

Sez	Td	VRdns	VRcd	VRsd	VRd	Tpl	Mr	Dx	Staffe	CS
	kg	kg	kg	kg	kg	kg	kg*m	cm	cmq/m	
Sin	4166	--	43253	38856	38856	0	0	50.00	10.05	9.3
Cen	3976	--	43253	18152	18152	--	--	--	4.70	4.6
Des	3869	--	43253	38856	38856	0	0	50.00	10.05	10

Trave: 607 [6041,6055], Pilastrate [--,--] Sez. R: By=30.00 cm Bz=30.00 cm L=325.00 cm Ln=325.00 cm Criterio :
CLS_TraviAlte - Verifica a flessione, $\zeta_e=8.444$ [(4+5)-VI-2] : **Verificato**

X	M-	M+	ΔM-	ΔM+	Afs	Afi	Mr-	Mr+	C-	C+	CS
cm	kg*m	kg*m	kg*m	kg*m	cmq	cmq	kg*m	kg*m			
ILN	1049	--	--	--	4.02	4.02	3805	3805			3.6
32.50	725	--	268	--	4.02	4.02	3805	3805	2		3.8
CAMP	432	682	243	64	4.02	4.02	3805	3805	2		5.1
292.50	--	759	--	38	4.02	4.02	3805	3805	1		4.8
FLN	--	805	--	--	4.02	4.02	3805	3805	1		4.7

X	x-	d-	x-/d-	x+	d+	x+/d+	Mr-	Mr+	C-	C+	Stato-	Stato+
cm	cm	cm		cm	cm		kg*m	kg*m				
ILN	6.75	23.90	0.283	--	--	--	3805	3805	2		1	--
32.50	6.75	23.90	0.282	--	--	--	3805	3805	2		1	--
CAMP	6.72	23.90	0.281	6.73	23.90	0.281	3805	3805	2		3	Parz.
292.50	--	--	--	6.73	23.90	0.282	3805	3805	1		3	--
FLN	--	--	--	6.73	23.90	0.282	3805	3805	1		3	Parz.

Verifica a taglio: $\cot(\theta)$ Sin=1.908, $\cot(\theta)$ Cen=2.500, $\cot(\theta)$ Des=1.908 Comb: Sin=2 Cen=2 Des=(4+5)-VI-3

Sez	Td	VRdns	VRcd	VRsd	VRd	Tpl	Mr	Dx	Staffe	CS
	kg	kg	kg	kg	kg	kg	kg*m	cm	cmq/m	
Sin	1046	--	28078	28078	28078	0	0	30.00	17.48	27
Cen	950	--	23548	11497	11497	--	--	--	5.46	12
Des	111	--	28078	28078	28078	0	0	30.00	17.48	>100

Trave: 607 [6055,6060], Pilastrate [--,--] Sez. R: By=30.00 cm Bz=30.00 cm L=125.00 cm Ln=125.00 cm Criterio :
CLS_TraviAlte - Verifica a flessione, $\zeta_e=5.978$ [(4+5)-II-3] : **Verificato**

X	M-	M+	ΔM-	ΔM+	Afs	Afi	Mr-	Mr+	C-	C+	CS
cm	kg*m	kg*m	kg*m	kg*m	cmq	cmq	kg*m	kg*m			
ILN	--	849	--	--	4.02	4.02	3805	3805		1	3
12.50	--	809	--	39	4.02	4.02	3805	3805		1	3
CAMP	233	757	587	92	4.02	4.02	3805	3805		2	3
112.50	510	-170	309	343	4.02	4.02	3805	3805		2	(4+5)-II-2
FLN	819	-362	--	386	4.02	4.02	3805	3805		2	(4+5)-II-2

**POTENZIAMENTO DELL'IMPIANTO DI DEPURAZIONE E
DEL RECAPITO FINALE DI SQUINZANO (LE)
PROGETTO DEFINITIVO
Tabulati di calcolo strutturale-Edificio Grigliatura
Grossolana**

R.37.11

Maggio 2021

Pagina 111 di
183

X	x-	d-	x-/d-	x+	d+	x+/d+	Mr-	Mr+	C-	C+	Stato-	Stato+
cm	cm	cm		cm	cm		kg*m	kg*m				
ILN	--	--	--	6.73	23.90	0.282	3805	3805	1	3	--	Parz.
12.50	--	--	--	6.73	23.90	0.282	3805	3805	1	3	--	Parz.
CAMP	6.73	23.90	0.282	6.73	23.90	0.282	3805	3805	2	3	Parz.	Parz.
112.50	6.73	23.90	0.282	6.68	23.90	0.279	3805	3805	2	(4+5)-II-2	Parz.	Parz.
FLN	6.73	23.90	0.282	6.66	23.90	0.279	3805	3805	2	(4+5)-II-2	Parz.	Parz.

Verifica a taglio: $\cot(\theta) = 1.894$ Comb: 2

Sez	Td	VRdns	VRcd	VRsd	VRd	Tpl	Mr	Dx	Staffe	CS
	kg	kg	kg	kg	kg	kg	kg*m	cm	cmq/m	
Sin	2604	--	28199	28199	28199	0	0	125.00	17.69	11
Des							0			

Trave: 608 [6042,6056], Pilastrate [--,--] Sez. R: By=30.00 cm Bz=30.00 cm L=325.00 cm Ln=325.00 cm Criterio :
CLS_TraviAlte - Verifica a flessione, $\zeta_e = 7.769$ [(4+5)-VI-4] : **Verificato**

X	M-	M+	ΔM-	ΔM+	Afs	Afi	Mr-	Mr+	C-	C+	CS
cm	kg*m	kg*m	kg*m	kg*m	cmq	cmq	kg*m	kg*m			
ILN	1014	--	--	--	4.02	4.02	3805	3805	3	1	3.8
32.50	697	--	262	--	4.02	4.02	3805	3805	3	1	4.0
CAMP	412	654	236	58	4.02	4.02	3805	3805	3	3	5.3
292.50	--	724	--	32	4.02	4.02	3805	3805	1	3	5.0
FLN	--	762	--	--	4.02	4.02	3805	3805	1	3	5.0

X	x-	d-	x-/d-	x+	d+	x+/d+	Mr-	Mr+	C-	C+	Stato-	Stato+
cm	cm	cm		cm	cm		kg*m	kg*m				
ILN	6.75	23.90	0.282	--	--	--	3805	3805	3	1	Parz.	--
32.50	6.74	23.90	0.282	--	--	--	3805	3805	3	1	Parz.	--
CAMP	6.72	23.90	0.281	6.72	23.90	0.281	3805	3805	3	3	Parz.	Parz.
292.50	--	--	--	6.73	23.90	0.281	3805	3805	1	3	--	Parz.
FLN	--	--	--	6.73	23.90	0.281	3805	3805	1	3	--	Parz.

Verifica a taglio: $\cot(\theta)$ Sin=1.908, $\cot(\theta)$ Cen=2.500, $\cot(\theta)$ Des=1.908 Comb: Sin=3 Cen=3 Des=(4+5)-VI-4

Sez	Td	VRdns	VRcd	VRsd	VRd	Tpl	Mr	Dx	Staffe	CS
	kg	kg	kg	kg	kg	kg	kg*m	cm	cmq/m	
Sin	1022	--	28078	28078	28078	0	0	30.00	17.48	27
Cen	927	--	23548	11497	11497	--	--	--	5.46	12
Des	117	--	28078	28078	28078	0	0	30.00	17.48	>100

Trave: 608 [6056,6061], Pilastrate [--,--] Sez. R: By=30.00 cm Bz=30.00 cm L=125.00 cm Ln=125.00 cm Criterio :
CLS_TraviAlte - Verifica a flessione, $\zeta_e = 5.346$ [(4+5)-VI-1] : **Verificato**

X	M-	M+	ΔM-	ΔM+	Afs	Afi	Mr-	Mr+	C-	C+	CS
cm	kg*m	kg*m	kg*m	kg*m	cmq	cmq	kg*m	kg*m			
ILN	--	851	--	--	4.02	4.02	3805	3805	1	3	4.5
12.50	--	796	--	54	4.02	4.02	3805	3805	1	3	4.5
CAMP	350	729	617	122	4.02	4.02	3805	3805	3	3	3.9
112.50	643	-222	325	360	4.02	4.02	3805	3805	3	(4+5)-VI-4	3.9
FLN	967	--	--	--	4.02	4.02	3805	3805	3	1	3.9

X	x-	d-	x-/d-	x+	d+	x+/d+	Mr-	Mr+	C-	C+	Stato-	Stato+
cm	cm	cm		cm	cm		kg*m	kg*m				
ILN	--	--	--	6.73	23.90	0.282	3805	3805	1	3	--	Parz.
12.50	--	--	--	6.73	23.90	0.282	3805	3805	1	3	--	Parz.
CAMP	6.75	23.90	0.282	6.73	23.90	0.282	3805	3805	3	3	Parz.	Parz.
112.50	6.75	23.90	0.282	6.67	23.90	0.279	3805	3805	3	(4+5)-VI-4	Parz.	Parz.
FLN	6.75	23.90	0.282	--	--	--	3805	3805	3	1	Parz.	--

Verifica a taglio: $\cot(\theta) = 1.894$ Comb: 3

Sez	Td	VRdns	VRcd	VRsd	VRd	Tpl	Mr	Dx	Staffe	CS
	kg	kg	kg	kg	kg	kg	kg*m	cm	cmq/m	

Sez	Td	VRdns	VRcd	VRsd	VRd	Tpl	Mr	Dx	Staffe	CS
Sin	2725	--	28199	28199	28199	0	0	125.00	17.69	10
Des							0			

Trave: 609 [6056,6055], Pilastrate [--,--] Sez. R: By=30.00 cm Bz=30.00 cm L=300.00 cm Ln=300.00 cm Criterio :
CLS_TraviAlte - Verifica a flessione, $\zeta_E=15.611$ [(4+5)-V-3] : **Verificato**

X	M-	M+	ΔM-	ΔM+	Afs	Afi	Mr-	Mr+	C-	C+	CS
cm	kg*m	kg*m	kg*m	kg*m	cmq	cmq	kg*m	kg*m			
ILN	--	680	--	119	4.02	4.02	3805	3805	1	2	4.8
30.00	--	813	--	96	4.02	4.02	3805	3805	1	2	4.2
CAMP	--	1083	--	--	4.02	4.02	3805	3805	1	2	3.5
270.00	--	930	--	69	4.02	4.02	3805	3805	1	3	3.8
FLN	--	827	--	93	4.02	4.02	3805	3805	1	3	4.1

X	x-	d-	x-/d-	x+	d+	x+/d+	Mr-	Mr+	C-	C+	Stato-	Stato+
cm	cm	cm		cm	cm		kg*m	kg*m				
ILN	--	--	--	6.73	23.90	0.282	3805	3805	1	2	--	Parz.
30.00	--	--	--	6.74	23.90	0.282	3805	3805	1	2	--	Parz.
CAMP	--	--	--	6.76	23.90	0.283	3805	3805	1	2	--	Parz.
270.00	--	--	--	6.75	23.90	0.282	3805	3805	1	3	--	Parz.
FLN	--	--	--	6.74	23.90	0.282	3805	3805	1	3	--	Parz.

Verifica a taglio: cot(0) Sin=1.908, cot(0) Cen=2.500, cot(0) Des=1.908 Comb: Sin=3 Cen=3 Des=1

Sez	Td	VRdns	VRcd	VRsd	VRd	Tpl	Mr	Dx	Staffe	CS
	kg	kg	kg	kg	kg	kg	kg*m	cm	cmq/m	
Sin	488	--	28078	28078	28078	0	0	30.00	17.48	58
Cen	400	--	23548	11497	11497	--	--	--	5.46	29
Des	394	--	28078	28078	28078	0	0	30.00	17.48	71

Verifica dei Pilastri

Scenario di calcolo: **ScenarioNT_ 2018 A2_SLV_SLD_STR_GEO**

Simbologia

L [cm] Lunghezza teorica elemento (distanza tra i nodi)
Ln [cm] Lunghezza netta elemento (tiene conto dei conci rigidi)
L2, L3 [cm] Lunghezze libere di inflessione
Sez. R: Sezione Rettangolare
By[cm]: Larghezza (asse locale y)
Bz[cm]: Larghezza (asse locale z)
Sez. T: Sezione a T (rovescia e non)
Ba[cm]: Larghezza base inferiore
Ha[cm]: Altezza inferiore
Bs[cm]: Larghezza superiore
Hs[cm]: Altezza superiore
Sez. L: Sezione ad L (rovescia e non)
Ba[cm]: Larghezza base inferiore
Ha[cm]: Altezza inferiore
Bs[cm]: Larghezza superiore
Hs[cm]: Altezza superiore
Sez. C: Sezione circolare
R[cm]: Raggio
Sez. G: Sezione generica
B[cm]: Larghezza
H[cm]: Altezza
Aspigoli Area di ferro negli spigoli
Afy Area di ferro sul lato Y
Afz Area di ferro sul lato Z
Zona Punto di verifica
1/N Distanza dall'inizio della lunghezza netta
Piede Inizio lunghezza netta
Testa Fine lunghezza netta
Comb Combinazione di carico: quando Comb non è sismica è individuata dal codice [(+/-)C], quando è sismica è individuata dal codice [(+/-)(Cx+Cy) Cm Sc], (+/-) rappresenta la eventuale traslazione del diagramma del momento dovuta al taglio, come specificato nel criterio di verifica [positiva (+) o negativa (-)]
- C Individua la Combinazione di Carico non sismica (1, 2, ecc. come da scenario);
- Cx Individua la Combinazione di Carico sismica in direzione x (SismaX, come da scenario);
- Cy Individua la Combinazione di Carico sismica in direzione y (SismaY, come da scenario);
- Cm Individua la Combinazione spostamento masse (I, II, III, IV, V, ecc. come da Combinazioni Sisma in Spostamento masse impalcato);

- Sc Individua la sottocombinazione ottenuta mediante la permutazione dei segni (1, 2, 3, 4, 5, 6, 7, 8):
- 1) $Sc = + SismaZ*fx + SismaX*fx + SismaY*fy$
 - 2) $Sc = + SismaZ*fx + SismaX*fx - SismaY*fy$
 - 3) $Sc = + SismaZ*fx - SismaX*fx + SismaY*fy$
 - 4) $Sc = + SismaZ*fx - SismaX*fx - SismaY*fy$
 - 5) $Sc = - SismaZ*fx + SismaX*fx + SismaY*fy$
 - 6) $Sc = - SismaZ*fx + SismaX*fx - SismaY*fy$
 - 7) $Sc = - SismaZ*fx - SismaX*fx + SismaY*fy$
 - 8) $Sc = - SismaZ*fx - SismaX*fx - SismaY*fy$

Le ultime quattro sono assenti quando non è richiesto il contributo del sisma in direzione verticale. Le combinazioni delle azioni sismiche così ottenute vengono combinate con i carichi verticali (come da scenario).

N [kg] Sforzo Normale
N'y [kg] Sforzo Normale x Omega2
N'z [kg] Sforzo Normale x Omega3
My [kg*m] Momento flettente dir Y
M'y [kg*m] Momento flettente dir Y x cy
cy [kg*m] Coefficiente moltiplicativo momento flettente dir Y per verifica a carico di punta
cz [kg*m] Coefficiente moltiplicativo momento flettente dir Z per verifica a carico di punta
Mz [kg*m] Momento flettente dir Z
M'z [kg*m] Momento flettente dir Z x cz
ecmax Deformazione massima cls ⁽¹⁾
efmax Deformazione massima acciaio ⁽¹⁾
ecMy Deformazione massima cls int direzione Y per pressoflessione retta ⁽¹⁾
efMy Deformazione massima acciaio int direzione Y per pressoflessione retta ⁽¹⁾
ecMz Deformazione massima cls int direzione Z per pressoflessione retta ⁽¹⁾
efMz Deformazione massima acciaio int direzione Z per pressoflessione retta ⁽¹⁾
ΣMrtY Somma dei momenti resistenti delle travi in direzione Y⁽²⁾
ΣMrtZ Somma dei momenti resistenti delle travi in direzione Z⁽²⁾
ΣMyRich. Momento resistente richiesto direzione Y per rispettare la gerarchia⁽²⁾
ΣMzRich. Momento resistente richiesto direzione Z per rispettare la gerarchia⁽²⁾
T [kg] Valore del taglio
Dir[Y-Z] Direzione della componente di taglio
VRdns [kg] Resistenza a taglio in assenza di armature
VRdns [kg] Resistenza a taglio in assenza di armature
VRcd [kg] Resistenza taglio-compressione calcestruzzo
VRsd [kg] Resistenza taglio-trazione acciaio
VRd [kg] Resistenza a taglio =min(VRcd,VRsd)
VRd,f [kg] Resistenza a taglio dovuta alla resistenza a trazione del calcestruzzo ad alte prestazioni (quando presente)(cfr. eq 4.2 CNR204/2006), oppure resistenza rinforzo del composito (quando presente)(cfr. eq 4.19 CNR200/2013), oppure resistenza rinforzo della camicia in acciaio (quando presente)(cfr. eq C8.7.4.5 Circolare NTC)
Ast/m [cmq] Armatura staffe
Min.Norm. Valore minimo di norma dell' area delle staffe
cot(θ) secondo il punto 4.1.2.3.5 delle Norme Tecniche
Fatt.Ampl.Sisma Fattore moltiplicativo di gruppo per le azioni sismiche (solo se diverso da 1.0)
Cs Coefficiente di sicurezza definito dal rapporto |Fr|/|Fd| (Fr=punto sul dominio di resistenza ottenuto aumentando proporzionalmente Fd,Fd=azione), quando richiesto dal criterio di verifica
ξs Livello di sicurezza sismico definito come rapporto tra l'accelerazione sopportabile e l'accelerazione di progetto(valore stampato quando richiesto dal criterio di verifica)

Verifiche duttilità (quando richieste):

Zona Sezione di verifica dell'elemento
Comb. Combinazione di verifica
Nmax [kg] Sforzo Normale massimo
Dir Direzione di flessione (pilastri=Y o Z, travi =Z, pareti= ortogonale alla base)
Mry [kg*m] Momento di snervamento corrispondente a Nmax
MrU [kg*m] Momento ultimo (resistente) corrispondente a Nmax sulla sezione depurata del calcestruzzo non confinato, considerando il confinamento
φy[1/m] Curvatura allo snervamento (φy= MrU/Mry * φ'y)
φu[1/m] Curvatura allo corrispondente a MrU
μ Capacità in duttilità della sezione
F.Conf Fattore di confinamento adottato (= fck,c/fck)
μd Richiesta in duttilità della sezione
Cs Livello di sicurezza (Cs=μ/μd)

Note Verifica pilastri:

⁽¹⁾ le deformazioni sono stampate a meno del fattore 10⁻³

⁽²⁾ I momenti resistenti richiesti sono quelli dovuti alla ripartizione della somma dei momenti resistenti delle travi quando nella tabella dei momenti appare '-' significa che la gerarchia in quella direzione non è applicabile a seconda che il pilastro sia al piano terra o all'ultimo piano, oppure, la combinazione corrente non è sismica, oppure, la combinazione è sismica ma la sua direzione non è nella direzione del pilastro considerata. Un valore nullo dei momenti resistenti è relativo a piede o testa di pilastri in fondazione o copertura

**POTENZIAMENTO DELL'IMPIANTO DI DEPURAZIONE E
DEL RECAPITO FINALE DI SQUINZANO (LE)
PROGETTO DEFINITIVO
Tabulati di calcolo strutturale-Edificio Grigliatura
Grossolana**

R.37.11

Maggio 2021

Pagina 114 di
183

Pilastro: 4014 [4014,6014] Sez. R: By=40.00 cm Bz=50.00 cm L=540.00 cm Ln=540.00 cm Criterio: CLS_Pilastri - Verifica a presso-flessione deviata, $\zeta_e=1.508$ [(4+5)-III-2] : **Verificato**

Piede	AfSpigolo = 3.14	Afy = 3.14	Afz = 3.14
Testa	AfSpigolo = 3.14	Afy = 3.14	Afz = 3.14

$v_{max}=N/(fcd*A)=0.049 \leq 0.65$ [Comb. (4+5)-VI-4(-)]

Zona	C.	N	My	Mz	Mry+	Mrz+	Mry-	Mrz-	CS
		kg	kg*m	kg*m	kg*m	kg*m	kg*m	kg*m	
Piede	(4+5)-III-2(-)	-15289	7245	10568	22976	17710	22976	17710	1.6
Testa	(4+5)-III-3(+)	-15722	3106	10261	23056	17770	23056	17770	1.9

Verifica a taglio

Dir	C.	MrSup	MrInf	T	Vrdns	Vrcd	Vrsd	Vrd	Ast/m	cot(θ)	Cs
		kg*m	kg*m	kg	kg	kg	kg	kg	cmq/m		
Y	(4+5)-III-3	--	--	3958	--	58090	12502	12502	4.19	2.500	3.2
Z	(4+5)-IV-2	--	--	4000	--	60296	16190	16190	4.19	2.500	4.0

Pilastro: 4015 [4015,6015] Sez. R: By=50.00 cm Bz=30.00 cm L=540.00 cm Ln=540.00 cm Criterio: CLS_Pilastri - Verifica a presso-flessione deviata, $\zeta_e=1.164$ [(4+5)-III-3] : **Verificato**

Piede	AfSpigolo = 3.14	Afy = 3.14	Afz = 0.00
Testa	AfSpigolo = 3.14	Afy = 3.14	Afz = 0.00

$v_{max}=N/(fcd*A)=0.038 \leq 0.65$ [Comb. (4+5)-I-4(-)]

Zona	C.	N	My	Mz	Mry+	Mrz+	Mry-	Mrz-	CS
		kg	kg*m	kg*m	kg*m	kg*m	kg*m	kg*m	
Piede	(4+5)-III-3(-)	-12032	-1143	-14735	9482	17304	9482	17304	1.2
Testa	(4+5)-III-3(+)	-10007	2497	14035	9291	16937	9291	16937	1.2

Verifica a taglio

Dir	C.	MrSup	MrInf	T	Vrdns	Vrcd	Vrsd	Vrd	Ast/m	cot(θ)	Cs
		kg*m	kg*m	kg	kg	kg	kg	kg	cmq/m		
Y	(4+5)-III-3	--	--	5328	--	44892	16190	16190	4.19	2.500	3.0
Z	(4+5)-II-2	--	--	1060	--	40699	8814	8814	4.19	2.500	8.3

Pilastro: 4017 [4017,6017] Sez. R: By=40.00 cm Bz=50.00 cm L=540.00 cm Ln=540.00 cm Criterio: CLS_Pilastri - Verifica a presso-flessione deviata, $\zeta_e=1.531$ [(4+5)-III-3] : **Verificato**

Piede	AfSpigolo = 3.14	Afy = 3.14	Afz = 3.14
Testa	AfSpigolo = 3.14	Afy = 3.14	Afz = 3.14

$v_{max}=N/(fcd*A)=0.051 \leq 0.65$ [Comb. (4+5)-VI-2(+)]

Zona	C.	N	My	Mz	Mry+	Mrz+	Mry-	Mrz-	CS
		kg	kg*m	kg*m	kg*m	kg*m	kg*m	kg*m	
Piede	(4+5)-I-4(-)	-14619	6282	-10317	22852	17618	22852	17618	1.7
Testa	(4+5)-I-1(+)	-15809	3357	-10188	23072	17782	23072	17782	1.9

Verifica a taglio

Dir	C.	MrSup	MrInf	T	Vrdns	Vrcd	Vrsd	Vrd	Ast/m	cot(θ)	Cs
		kg*m	kg*m	kg	kg	kg	kg	kg	cmq/m		
Y	(4+5)-III-2	--	--	4160	--	58401	12502	12502	4.19	2.500	3.0
Z	(4+5)-II-4	--	--	3691	--	60357	16190	16190	4.19	2.500	4.4

Pilastro: 4040 [4040,6040] Sez. R: By=40.00 cm Bz=50.00 cm L=540.00 cm Ln=540.00 cm Criterio: CLS_Pilastri - Verifica a presso-flessione deviata, $\zeta_e=1.797$ [(4+5)-IV-2] : **Verificato**

Piede	AfSpigolo = 3.14	Afy = 3.14	Afz = 3.14
Testa	AfSpigolo = 3.14	Afy = 3.14	Afz = 3.14

$v_{max}=N/(fcd*A)=0.059 \leq 0.65$ [Comb. (4+5)-III-3(-)]

Zona	C.	N	My	Mz	Mry+	Mrz+	Mry-	Mrz-	CS
		kg	kg*m	kg*m	kg*m	kg*m	kg*m	kg*m	
Piede	(4+5)-III-3(-)	-25257	-3283	-10898	24791	19075	24791	19075	1.9
Testa	(4+5)-VIII-4(+)	-19226	-12804	3912	23698	18253	23698	18253	1.9

Verifica a taglio

Dir	C.	MrSup	MrInf	T	Vrdns	Vrcd	Vrsd	Vrd	Ast/m	cot (θ)	Cs
		kg*m	kg*m	kg	kg	kg	kg	kg	cmq/m		
Y	(4+5)-III-3	--	--	4008	--	58989	12502	12502	4.19	2.500	3.1
Z	(4+5)-IV-3	--	--	4901	--	61069	16190	16190	4.19	2.500	3.3

Pilastro: 4043 [5043,6043] Sez. R: By=40.00 cm Bz=50.00 cm L=492.00 cm Ln=492.00 cm Criterio: CLS_Pilastri - Verifica a presso-flessione deviata, $\zeta_e=1.703$ [(4+5)-II-4] : **Verificato**

Piede	AfSpigolo = 3.14	Afy = 3.14	Afz = 3.14
Testa	AfSpigolo = 3.14	Afy = 3.14	Afz = 3.14

$v_{max}=N/(fcd*A)=0.058 \leq 0.65$ [Comb. (4+5)-II-1(+)]

Zona	C.	N	My	Mz	Mry+	Mrz+	Mry-	Mrz-	CS
		kg	kg*m	kg*m	kg*m	kg*m	kg*m	kg*m	
Piede	(4+5)-VI-2(-)	-21130	14220	3094	24045	18514	24045	18514	1.8
Testa	(4+5)-VI-2(+)	-18670	-13717	-4789	23596	18176	23596	18176	1.7

Verifica a taglio

Dir	C.	MrSup	MrInf	T	Vrdns	Vrcd	Vrsd	Vrd	Ast/m	cot (θ)	Cs
		kg*m	kg*m	kg	kg	kg	kg	kg	cmq/m		
Y	(4+5)-III-2	--	--	4450	--	58773	12502	12502	4.19	2.500	2.8
Z	(4+5)-II-1	--	--	5770	--	61032	16190	16190	4.19	2.500	2.8

Pilastro: 4059 [4059,6059] Sez. R: By=40.00 cm Bz=50.00 cm L=540.00 cm Ln=540.00 cm Criterio: CLS_Pilastri - Verifica a presso-flessione deviata, $\zeta_e=1.844$ [(4+5)-VIII-4] : **Verificato**

Piede	AfSpigolo = 3.14	Afy = 3.14	Afz = 3.14
Testa	AfSpigolo = 3.14	Afy = 3.14	Afz = 3.14

$v_{max}=N/(fcd*A)=0.069 \leq 0.65$ [Comb. (4+5)-VII-4(-)]

Zona	C.	N	My	Mz	Mry+	Mrz+	Mry-	Mrz-	CS
		kg	kg*m	kg*m	kg*m	kg*m	kg*m	kg*m	
Piede	(4+5)-VIII-4(-)	-28071	13978	-4299	25295	19454	25295	19454	1.9
Testa	(4+5)-VIII-4(+)	-25371	-13471	5147	24812	19090	24812	19090	1.8

Verifica a taglio

Dir	C.	MrSup	MrInf	T	Vrdns	Vrcd	Vrsd	Vrd	Ast/m	cot (θ)	Cs
		kg*m	kg*m	kg	kg	kg	kg	kg	cmq/m		
Y	(4+5)-V-3	--	--	3467	--	59491	12502	12502	4.19	2.500	3.6
Z	(4+5)-VIII-4	--	--	5083	--	61495	16190	16190	4.19	2.500	3.2

Pilastro: 4062 [5062,6062] Sez. R: By=40.00 cm Bz=50.00 cm L=492.00 cm Ln=492.00 cm Criterio: CLS_Pilastri - Verifica a presso-flessione deviata, $\zeta_e=1.734$ [(4+5)-VI-2] : **Verificato**

Piede	AfSpigolo = 3.14	Afy = 3.14	Afz = 3.14
Testa	AfSpigolo = 3.14	Afy = 3.14	Afz = 3.14

$v_{max}=N/(fcd*A)=0.07 \leq 0.65$ [Comb. (4+5)-V-2(+)]

Zona	C.	N	My	Mz	Mry+	Mrz+	Mry-	Mrz-	CS
		kg	kg*m	kg*m	kg*m	kg*m	kg*m	kg*m	
Piede	(4+5)-VI-2(-)	-29151	14412	4046	25488	19599	25488	19599	1.9
Testa	(4+5)-VI-2(+)	-26691	-14645	-5399	25049	19268	25049	19268	1.7

Verifica a taglio

Dir	C.	MrSup	MrInf	T	Vrdns	Vrcd	Vrsd	Vrd	Ast/m	cot (θ)	Cs
		kg*m	kg*m	kg	kg	kg	kg	kg	cmq/m		
Y	(4+5)-VII-1	--	--	3845	--	59576	12502	12502	4.19	2.500	3.3
Z	(4+5)-II-4	--	--	5990	--	61500	16190	16190	4.19	2.500	2.7

Pilastro: 4085 [4085,6085] Sez. R: By=40.00 cm Bz=50.00 cm L=540.00 cm Ln=540.00 cm Criterio: CLS_Pilastri - Verifica a presso-flessione deviata, $\zeta_e=1.859$ [(4+5)-VIII-1] : **Verificato**

**POTENZIAMENTO DELL'IMPIANTO DI DEPURAZIONE E
DEL RECAPITO FINALE DI SQUINZANO (LE)
PROGETTO DEFINITIVO
Tabulati di calcolo strutturale-Edificio Grigliatura
Grossolana**

R.37.11

Maggio 2021

Pagina 116 di
183

Piede	AfSpigolo = 3.14	Afy = 3.14	Afz = 3.14
Testa	AfSpigolo = 3.14	Afy = 3.14	Afz = 3.14

$$v_{max}=N/(fcd*A)=0.047 \leq 0.65 \quad [\text{Comb. (4+5)-VIII-4 (+)}]$$

Zona	C.	N	My	Mz	Mry+	Mrz+	Mry-	Mrz-	CS
		kg	kg*m	kg*m	kg*m	kg*m	kg*m	kg*m	
Piede	(4+5)-VIII-1 (-)	-19145	-12381	3608	23683	18242	23683	18242	2.0
Testa	(4+5)-VIII-1 (+)	-16445	11120	-2665	23189	17870	23189	17870	2.3

Verifica a taglio

Dir	C.	MrSup	MrInf	T	Vrdns	Vrcd	Vrsd	Vrd	Ast/m	cot (θ)	Cs
		kg*m	kg*m	kg	kg	kg	kg	kg	cmq/m		
Y	(4+5)-VII-4	--	--	2293	--	58307	12502	12502	4.19	2.500	5.5
Z	(4+5)-VIII-4	--	--	4352	--	60431	16190	16190	4.19	2.500	3.7

Pilastro: 4090 [5090,6090] Sez. R: By=40.00 cm Bz=50.00 cm L=492.00 cm Ln=492.00 cm Criterio: CLS_Pilastri - Verifica a presso-flessione deviata, $\zeta_e=1.953$ [(4+5)-V-3] : **Verificato**

Piede	AfSpigolo = 3.14	Afy = 3.14	Afz = 3.14
Testa	AfSpigolo = 3.14	Afy = 3.14	Afz = 3.14

$$v_{max}=N/(fcd*A)=0.042 \leq 0.65 \quad [\text{Comb. (4+5)-VII-1 (-)}]$$

Zona	C.	N	My	Mz	Mry+	Mrz+	Mry-	Mrz-	CS
		kg	kg*m	kg*m	kg*m	kg*m	kg*m	kg*m	
Piede	(4+5)-V-3 (-)	-17470	-5415	-8413	23377	18011	23377	18011	2.1
Testa	(4+5)-VI-3 (+)	-15053	11286	2358	22933	17678	22933	17678	2.2

Verifica a taglio

Dir	C.	MrSup	MrInf	T	Vrdns	Vrcd	Vrsd	Vrd	Ast/m	cot (θ)	Cs
		kg*m	kg*m	kg	kg	kg	kg	kg	cmq/m		
Y	(4+5)-VII-1	--	--	2843	--	58037	16670	16670	5.59	2.500	5.9
Z	(4+5)-II-4	--	--	4626	--	60113	21587	21587	5.59	2.500	4.7

Pilastro: 4100 [4100,6100] Sez. R: By=40.00 cm Bz=50.00 cm L=540.00 cm Ln=540.00 cm Criterio: CLS_Pilastri - Verifica a presso-flessione deviata, $\zeta_e=1.367$ [(4+5)-VII-1] : **Verificato**

Piede	AfSpigolo = 3.14	Afy = 3.14	Afz = 3.14
Testa	AfSpigolo = 3.14	Afy = 3.14	Afz = 3.14

$$v_{max}=N/(fcd*A)=0.048 \leq 0.65 \quad [\text{Comb. (4+5)-V-3 (-)}]$$

Zona	C.	N	My	Mz	Mry+	Mrz+	Mry-	Mrz-	CS
		kg	kg*m	kg*m	kg*m	kg*m	kg*m	kg*m	
Piede	(4+5)-VII-1 (-)	-14340	-9316	11598	22801	17579	22801	17579	1.3
Testa	(4+5)-VII-1 (+)	-11640	8653	-10151	22301	17204	22301	17204	1.5

Verifica a taglio

Dir	C.	MrSup	MrInf	T	Vrdns	Vrcd	Vrsd	Vrd	Ast/m	cot (θ)	Cs
		kg*m	kg*m	kg	kg	kg	kg	kg	cmq/m		
Y	(4+5)-VII-4	--	--	4028	--	58131	12502	12502	4.19	2.500	3.1
Z	(4+5)-VIII-1	--	--	4791	--	60150	16190	16190	4.19	2.500	3.4

Pilastro: 4102 [4102,6102] Sez. R: By=50.00 cm Bz=30.00 cm L=540.00 cm Ln=540.00 cm Criterio: CLS_Pilastri - Verifica a presso-flessione deviata, $\zeta_e=1.102$ [(4+5)-VII-1] : **Verificato**

Piede	AfSpigolo = 3.14	Afy = 3.14	Afz = 0.00
Testa	AfSpigolo = 3.14	Afy = 3.14	Afz = 0.00

$$v_{max}=N/(fcd*A)=0.02 \leq 0.65 \quad [\text{Comb. (4+5)-VI-3 (-)}]$$

Zona	C.	N	My	Mz	Mry+	Mrz+	Mry-	Mrz-	CS
		kg	kg*m	kg*m	kg*m	kg*m	kg*m	kg*m	
Piede	(4+5)-VII-1 (-)	-5962	-1644	14494	8910	16196	8910	16196	1.1
Testa	(4+5)-VII-1 (+)	-3937	806	-13896	8718	15821	8718	15821	1.1

Verifica a taglio

Dir	C.	MrSup	MrInf	T	Vrdns	Vrcd	Vrsd	Vrd	Ast/m	cot (θ)	Cs
		kg*m	kg*m	kg	kg	kg	kg	kg	cmq/m		
Y	(4+5)-VII-4	--	--	5257	--	44118	16190	16190	4.19	2.500	3.1
Z	(4+5)-VI-1	--	--	807	--	40033	8814	8814	4.19	2.500	11

Pilastro: 4104 [4104,6104] Sez. R: By=40.00 cm Bz=50.00 cm L=540.00 cm Ln=540.00 cm Criterio: CLS_Pilastri - Verifica a presso-flessione deviata, $\zeta_s=1.406$ [(4+5)-V-3] : **Verificato**

Piede	AfSpigolo = 3.14	Afy = 3.14	Afz = 3.14
Testa	AfSpigolo = 3.14	Afy = 3.14	Afz = 3.14

$v_{max}=N/(fcd*A)=0.05 \leq 0.65$ [Comb. (4+5)-V-1(-)]

Zona	C.	N	My	Mz	Mry+	Mrz+	Mry-	Mrz-	CS
		kg	kg*m	kg*m	kg*m	kg*m	kg*m	kg*m	
Piede	(4+5)-V-3(-)	-14853	-9242	-11366	22896	17650	22896	17650	1.4
Testa	(4+5)-V-3(+)	-12153	8827	9738	22397	17275	22397	17275	1.5

Verifica a taglio

Dir	C.	MrSup	MrInf	T	Vrdns	Vrcd	Vrsd	Vrd	Ast/m	cot (θ)	Cs
		kg*m	kg*m	kg	kg	kg	kg	kg	cmq/m		
Y	(4+5)-VII-1	--	--	4096	--	58486	12502	12502	4.19	2.500	3.1
Z	(4+5)-VI-3	--	--	4745	--	60283	16190	16190	4.19	2.500	3.4

Verifica delle travi (Stati limite esercizio)

Scenario di calcolo: **ScenarioNT_ 2018 A2_SLV_SLD_STR_GEO**

Simbologia

Terreno	Nome della stratigrafia per travi Winkler
L [cm]	Lunghezza teorica elemento (distanza tra i nodi)
Ln [cm]	Lunghezza netta elemento (tiene conto dei conci rigidi)
L2,L3 [cm]	Lunghezze libere di inflessione
Sez. R: Sezione	Rettangolare
	By[cm]: Larghezza (asse locale y)
	Bz[cm]: Larghezza (asse locale z)
Sez. T: Sezione	a T (rovescia e non)
	Ba[cm]: Larghezza base inferiore
	Ha[cm]: Altezza inferiore
	Bs[cm]: Larghezza superiore
	Hs[cm]: Altezza superiore
Sez. L: Sezione	ad L (rovescia e non)
	Ba[cm]: Larghezza base inferiore
	Ha[cm]: Altezza inferiore
	Bs[cm]: Larghezza superiore
	Hs[cm]: Altezza superiore
Sez. C: Sezione	circolare
	R[cm]: Raggio
Sez. G: Sezione	generica
	B[cm]: Larghezza
	H[cm]: Altezza
X [cm]	Punto di verifica
σ_{ca} [kg/cmq]	Tensione ammissibile nel cls
σ_{fa} [kg/cmq]	Tensione ammissibile nell'acciaio
σ_{cta} [kg/cmq]	Tensione ammissibile a trazione (quando richiesto dalla verifica)
M- [kg*m]	Momento negativo massimo di calcolo
M+ [kg*m]	Momento positivo massimo di calcolo
M [kg*m]	Momento di calcolo (travi a flessione, pilastri circolari)
My [kg*m]	Momento calcolo per verifiche a pressoflessione
Mz [kg*m]	Momento calcolo per verifiche a pressoflessione (Sez. L, Pilastri)
N [kg]	Sforzo normale corrispondente ad My (e Mz per Sez. L, Pilastri)
Afsup [cmq]	Area di ferro superiore
Afinf [cmq]	Area di ferro inferiore
Afsin [cmq]	Area di ferro sinistra (Sez. L)
Afdes [cmq]	Area di ferro destra (Sez. L)
σ_{c-} [kg/cmq]	Tensione nel cls compresso per effetto di M-
σ_{cy} [kg/cmq]	Tensione nel cls compresso per effetto di (N,My) in caso di pressoflessione retta
σ_{cz} [kg/cmq]	Tensione nel cls compresso per effetto di (N,Mz) in caso di pressoflessione retta
σ_{c+} [kg/cmq]	Tensione nel cls compresso per effetto di M+
σ_{ct-} [kg/cmq]	Tensione nel cls teso per effetto di M-
σ_{ct+} [kg/cmq]	Tensione nel cls teso per effetto di M+
σ_{f-} [kg/cmq]	Tensione nell'acciaio per effetto di M-

σ_{f+} [kg/cmq]	Tensione nell'acciaio per effetto di $M+$
σ_{fy} [kg/cmq]	Tensione nel acciaio per effetto di (N, My) in caso di pressoflessione retta
σ_{fz} [kg/cmq]	Tensione nel acciaio per effetto di (N, Mz) in caso di pressoflessione retta
$Cb-$	Combinazione di carico generatore di $M-$
$Cb+$	Combinazione di carico generatore di $M+$
σ_c [kg/cmq]	Tensione nel cls per effetto di N My
σ_f [kg/cmq]	Tensione nell'acciaio per effetto di N My
Cb	Combinazione di carico generatore di N My
A_{ct} [mq]	Area di calcestruzzo teso
A_{ft} [cmq]	Area di acciaio teso
pA_{ft} [cm]	Perimetro area di acciaio teso
$S_{r,max}$ [cm]	Distanza massima delle fessure
σ_{fmed} [kg/cmq]	Tensione media dell'acciaio
W_d [mm]	Apertura delle fessure
W_k [mm]	Apertura caratteristica delle fessure
W_{amm_Freq} [mm]	Apertura ammissibile delle fessure per combinazione Frequente
W_{amm_Qp} [mm]	Apertura ammissibile delle fessure per combinazione Quasi Permanente
W_{amm_Rara} [mm]	Apertura ammissibile delle fessure per combinazione Rara
C_s	Coefficiente di sicurezza definito come minimo di σ_{amm}/σ tra acciaio e calcestruzzo oppure W_{amm}/W_k

**POTENZIAMENTO DELL'IMPIANTO DI DEPURAZIONE E
DEL RECAPITO FINALE DI SQUINZANO (LE)
PROGETTO DEFINITIVO
Tabulati di calcolo strutturale-Edificio Grigliatura
Grossolana**

R.37.11

Maggio 2021

Pagina 119 di
183

Trave: 601 [6014,6015], Pilastrate [4014,4015] Sez. R: By=30.00 cm Bz=50.00 cm L=507.50 cm Ln=487.50 cm Criterio: CLS_TraviAlte

Combinazione Rara: σ_{ca} [kg/cmq]=224 σ_{fa} [kg/cmq]=3600

X cm	M+ kg*m	M- kg*m	Afsup cmq	Afinf cmq	σ_{c+} kg/cmq	σ_{f+} kg/cmq	σ_{c-} kg/cmq	σ_{f-} kg/cmq	Cb+	Cb-	Ver.	CS
0.00	544	--	6.03	6.03	-6	229	--	--	6	6	Si	16
48.75	313	--	6.03	6.03	-3	132	--	--	6	6	Si	27
243.75	1266	--	6.03	6.03	-14	533	--	--	6	6	Si	6.8
438.75	--	666	6.03	6.03	--	--	-7	280	6	6	Si	13
487.50	--	1631	6.03	6.03	--	--	-18	687	6	6	Si	5.2

Combinazione QP: σ_{ca} [kg/cmq]=168 σ_{fa} [kg/cmq]=3600

X cm	M+ kg*m	M- kg*m	Afsup cmq	Afinf cmq	σ_{c+} kg/cmq	σ_{f+} kg/cmq	σ_{c-} kg/cmq	σ_{f-} kg/cmq	Cb+	Cb-	Ver.	CS
0.00	381	--	6.03	6.03	-4	160	--	--	8	8	Si	22
48.75	204	--	6.03	6.03	-2	86	--	--	8	8	Si	42
243.75	1252	--	6.03	6.03	-14	527	--	--	8	8	Si	6.8
438.75	--	582	6.03	6.03	--	--	-6	245	8	8	Si	15
487.50	--	1521	6.03	6.03	--	--	-17	640	8	8	Si	5.6

Verifica aperture fessure:Wamm Freq[mm]=0.300 Wamm Qp[mm]=0.200

X cm	M kg*m	Act mq	Aft cmq	pAft cm	$S_{r,max}$ cm	σ_{fmed} kg/cmq	Wd mm	Wk mm	Cb	Ver.	Cs
0.00	-399	3.76E-02	6.03	15.08	33.98	168	0.016	0.016	7 (Fr)	Si	18
0.00	-381	3.76E-02	6.03	15.08	33.98	160	0.016	0.016	8 (Qp)	Si	13
48.75	-204	3.76E-02	6.03	15.08	33.98	86	0.008	0.008	8 (Qp)	Si	24
48.75	-217	3.76E-02	6.03	15.08	33.98	91	0.009	0.009	7 (Fr)	Si	34
243.75	-1252	3.76E-02	6.03	15.08	33.98	527	0.051	0.051	8 (Qp)	Si	3.9
243.75	-1252	3.76E-02	6.03	15.08	33.98	527	0.051	0.051	7 (Fr)	Si	5.9
438.75	582	3.76E-02	6.03	15.08	33.98	245	0.024	0.024	8 (Qp)	Si	8.4
438.75	600	3.76E-02	6.03	15.08	33.98	253	0.025	0.025	7 (Fr)	Si	12
487.50	1521	3.76E-02	6.03	15.08	33.98	640	0.062	0.062	8 (Qp)	Si	3.2
487.50	1544	3.76E-02	6.03	15.08	33.98	650	0.063	0.063	7 (Fr)	Si	4.8

Trave: 601 [6015,6017], Pilastrate [4015,4017] Sez. R: By=30.00 cm Bz=50.00 cm L=507.50 cm Ln=487.50 cm Criterio: CLS_TraviAlte

Combinazione Rara: σ_{ca} [kg/cmq]=224 σ_{fa} [kg/cmq]=3600

X cm	M+ kg*m	M- kg*m	Afsup cmq	Afinf cmq	σ_{c+} kg/cmq	σ_{f+} kg/cmq	σ_{c-} kg/cmq	σ_{f-} kg/cmq	Cb+	Cb-	Ver.	CS
0.00	--	1678	6.03	6.03	--	--	-18	706	6	6	Si	5.1
48.75	--	709	6.03	6.03	--	--	-8	298	6	6	Si	12
243.75	--	234	6.03	6.03	--	--	-3	98	6	6	Si	37
438.75	275	--	6.03	6.03	-3	116	--	--	6	6	Si	31
487.50	488	--	6.03	6.03	-5	205	--	--	6	6	Si	18

Combinazione QP: σ_{ca} [kg/cmq]=168 σ_{fa} [kg/cmq]=3600

X cm	M+ kg*m	M- kg*m	Afsup cmq	Afinf cmq	σ_{c+} kg/cmq	σ_{f+} kg/cmq	σ_{c-} kg/cmq	σ_{f-} kg/cmq	Cb+	Cb-	Ver.	CS
0.00	--	1557	6.03	6.03	--	--	-17	655	8	8	Si	5.5
48.75	--	617	6.03	6.03	--	--	-7	260	8	8	Si	14
243.75	--	234	6.03	6.03	--	--	-3	98	8	8	Si	37
438.75	182	--	6.03	6.03	-2	77	--	--	8	8	Si	47
487.50	345	--	6.03	6.03	-4	145	--	--	8	8	Si	25

Verifica aperture fessure:Wamm Freq[mm]=0.300 Wamm Qp[mm]=0.200

X cm	M kg*m	Act mq	Aft cmq	pAft cm	$S_{r,max}$ cm	σ_{fmed} kg/cmq	Wd mm	Wk mm	Cb	Ver.	Cs
0.00	1581	3.76E-02	6.03	15.08	33.98	665	0.065	0.065	7 (Fr)	Si	4.6
0.00	1557	3.76E-02	6.03	15.08	33.98	655	0.064	0.064	8 (Qp)	Si	3.1
48.75	617	3.76E-02	6.03	15.08	33.98	260	0.025	0.025	8 (Qp)	Si	7.9
48.75	636	3.76E-02	6.03	15.08	33.98	268	0.026	0.026	7 (Fr)	Si	12
243.75	234	3.76E-02	6.03	15.08	33.98	98	0.010	0.010	8 (Qp)	Si	21
243.75	234	3.76E-02	6.03	15.08	33.98	99	0.010	0.010	7 (Fr)	Si	31
438.75	-182	3.76E-02	6.03	15.08	33.98	77	0.007	0.007	8 (Qp)	Si	27
438.75	-190	3.76E-02	6.03	15.08	33.98	80	0.008	0.008	7 (Fr)	Si	39
487.50	-345	3.76E-02	6.03	15.08	33.98	145	0.014	0.014	8 (Qp)	Si	14
487.50	-357	3.76E-02	6.03	15.08	33.98	150	0.015	0.015	7 (Fr)	Si	21

Trave: 602 [6017,6043], Pilastrate [4017,4043] Sez. R: By=40.00 cm Bz=50.00 cm L=360.00 cm Ln=360.00 cm Criterio: CLS_TraviAlte

Combinazione Rara: σ_{ca} [kg/cmq]=224 σ_{fa} [kg/cmq]=3600

X	M+	M-	Afsup	Afinf	σ_{c+}	σ_{f+}	σ_{c-}	σ_{f-}	Cb+	Cb-	Ver.	CS
cm	kg*m	kg*m	cmq	cmq	kg/cmq	kg/cmq	kg/cmq	kg/cmq				
0.00	--	6024	8.04	8.04	--	--	-50	1902	6	6	Si	1.9
36.00	--	3194	8.04	8.04	--	--	-26	1008	6	6	Si	3.6
180.00	433	--	8.04	8.04	-4	137	--	--	6	6	Si	26
324.00	102	--	8.04	8.04	-1	32	--	--	6	6	Si	>100
360.00	--	817	8.04	8.04	--	--	-7	258	6	6	Si	14

Combinazione QP: σ_{ca} [kg/cmq]=168 σ_{fa} [kg/cmq]=3600

X	M+	M-	Afsup	Afinf	σ_{c+}	σ_{f+}	σ_{c-}	σ_{f-}	Cb+	Cb-	Ver.	CS
cm	kg*m	kg*m	cmq	cmq	kg/cmq	kg/cmq	kg/cmq	kg/cmq				
0.00	--	5896	8.04	8.04	--	--	-49	1861	8	8	Si	1.9
36.00	--	3214	8.04	8.04	--	--	-26	1014	8	8	Si	3.5
180.00	320	--	8.04	8.04	-3	101	--	--	8	8	Si	36
324.00	175	--	8.04	8.04	-1	55	--	--	8	8	Si	65
360.00	--	615	8.04	8.04	--	--	-5	194	8	8	Si	19

Verifica aperture fessure:Wamm Freq[mm]=0.300 Wamm Qp[mm]=0.200

X	M	Act	Aft	pAft	$S_{r,max}$	σ_{fmed}	Wd	Wk	Cb	Ver.	Cs
cm	kg*m	mq	cmq	cm	cm	kg/cmq	mm	mm			
0.00	5865	5.02E-02	8.04	20.11	33.98	1851	0.180	0.180	7 (Fr)	Si	1.7
0.00	5896	5.02E-02	8.04	20.11	33.98	1861	0.181	0.181	8 (Qp)	Si	1.1
36.00	3214	5.02E-02	8.04	20.11	33.98	1014	0.098	0.098	8 (Qp)	Si	2.0
36.00	3190	5.02E-02	8.04	20.11	33.98	1007	0.098	0.098	7 (Fr)	Si	3.1
180.00	-320	5.02E-02	8.04	20.11	33.98	101	0.010	0.010	8 (Qp)	Si	20
180.00	-324	5.02E-02	8.04	20.11	33.98	102	0.010	0.010	7 (Fr)	Si	30
324.00	-175	5.02E-02	8.04	20.11	33.98	55	0.005	0.005	8 (Qp)	Si	37
324.00	-154	5.02E-02	8.04	20.11	33.98	48	0.005	0.005	7 (Fr)	Si	64
360.00	615	5.02E-02	8.04	20.11	33.98	194	0.019	0.019	8 (Qp)	Si	11
360.00	646	5.02E-02	8.04	20.11	33.98	204	0.020	0.020	7 (Fr)	Si	15

Trave: 602 [6043,6062], Pilastrate [4043,4062] Sez. R: By=40.00 cm Bz=50.00 cm L=450.00 cm Ln=450.00 cm Criterio: CLS_TraviAlte

Combinazione Rara: σ_{ca} [kg/cmq]=224 σ_{fa} [kg/cmq]=3600

X	M+	M-	Afsup	Afinf	σ_{c+}	σ_{f+}	σ_{c-}	σ_{f-}	Cb+	Cb-	Ver.	CS
cm	kg*m	kg*m	cmq	cmq	kg/cmq	kg/cmq	kg/cmq	kg/cmq				
0.00	--	1443	8.04	8.04	--	--	-12	456	6	6	Si	7.9
45.00	--	879	8.04	8.04	--	--	-7	277	6	6	Si	13
225.00	--	184	8.04	8.04	--	--	-2	58	6	6	Si	62
405.00	--	457	8.04	8.04	--	--	-4	144	6	6	Si	25
450.00	--	686	8.04	8.04	--	--	-6	217	6	6	Si	17

Combinazione QP: σ_{ca} [kg/cmq]=168 σ_{fa} [kg/cmq]=3600

X	M+	M-	Afsup	Afinf	σ_{c+}	σ_{f+}	σ_{c-}	σ_{f-}	Cb+	Cb-	Ver.	CS
cm	kg*m	kg*m	cmq	cmq	kg/cmq	kg/cmq	kg/cmq	kg/cmq				
0.00	--	1402	8.04	8.04	--	--	-12	443	8	8	Si	8.1
45.00	--	844	8.04	8.04	--	--	-7	266	8	8	Si	14
225.00	--	139	8.04	8.04	--	--	-1	44	8	8	Si	82
405.00	--	407	8.04	8.04	--	--	-3	128	8	8	Si	28
450.00	--	634	8.04	8.04	--	--	-5	200	8	8	Si	18

Verifica aperture fessure:Wamm Freq[mm]=0.300 Wamm Qp[mm]=0.200

X	M	Act	Aft	pAft	$S_{r,max}$	σ_{fmed}	Wd	Wk	Cb	Ver.	Cs
cm	kg*m	mq	cmq	cm	cm	kg/cmq	mm	mm			
0.00	1396	5.02E-02	8.04	20.11	33.98	441	0.043	0.043	7 (Fr)	Si	7.0
0.00	1402	5.02E-02	8.04	20.11	33.98	443	0.043	0.043	8 (Qp)	Si	4.7
45.00	844	5.02E-02	8.04	20.11	33.98	266	0.026	0.026	8 (Qp)	Si	7.7
45.00	839	5.02E-02	8.04	20.11	33.98	265	0.026	0.026	7 (Fr)	Si	12
225.00	139	5.02E-02	8.04	20.11	33.98	44	0.004	0.004	8 (Qp)	Si	47
225.00	134	5.02E-02	8.04	20.11	33.98	42	0.004	0.004	7 (Fr)	Si	73
405.00	407	5.02E-02	8.04	20.11	33.98	128	0.012	0.012	8 (Qp)	Si	16
405.00	412	5.02E-02	8.04	20.11	33.98	130	0.013	0.013	7 (Fr)	Si	24
450.00	634	5.02E-02	8.04	20.11	33.98	200	0.019	0.019	8 (Qp)	Si	10

**POTENZIAMENTO DELL'IMPIANTO DI DEPURAZIONE E
DEL RECAPITO FINALE DI SQUINZANO (LE)
PROGETTO DEFINITIVO
Tabulati di calcolo strutturale-Edificio Grigliatura
Grossolana**

R.37.11

Maggio 2021

Pagina 121 di
183

X	M	Act	Aft	pAft	$S_{r,max}$	σ_{fmed}	Wd	Wk	Cb	Ver.	Cs
450.00	644	5.02E-02	8.04	20.11	33.98	203	0.020	0.020	7 (Fr)	Si	15

Trave: 602 [6062,6090], Pilastrate [4062,4090] Sez. R: By=40.00 cm Bz=50.00 cm L=405.00 cm Ln=405.00 cm Criterio: CLS_TraviAlte

Combinazione Rara: $\sigma_{ca}[kg/cm^2]=224$ $\sigma_{fa}[kg/cm^2]=3600$

X	M+	M-	Afsup	Afinf	σ_c+	σ_f+	σ_c-	σ_f-	Cb+	Cb-	Ver.	CS
cm	kg*m	kg*m	cmq	cmq	kg/cmq	kg/cmq	kg/cmq	kg/cmq				
0.00	--	2868	8.04	8.04	--	--	-24	905	6	6	Si	4.0
40.50	--	1192	8.04	8.04	--	--	-10	376	6	6	Si	9.6
202.50	2712	--	8.04	8.04	-22	856	--	--	6	6	Si	4.2
364.50	--	511	8.04	8.04	--	--	-4	161	6	6	Si	22
405.00	--	3263	8.04	8.04	--	--	-27	1030	6	6	Si	3.5

Combinazione QP: $\sigma_{ca}[kg/cm^2]=168$ $\sigma_{fa}[kg/cm^2]=3600$

X	M+	M-	Afsup	Afinf	σ_c+	σ_f+	σ_c-	σ_f-	Cb+	Cb-	Ver.	CS
cm	kg*m	kg*m	cmq	cmq	kg/cmq	kg/cmq	kg/cmq	kg/cmq				
0.00	--	2866	8.04	8.04	--	--	-24	905	8	8	Si	4.0
40.50	--	1242	8.04	8.04	--	--	-10	392	8	8	Si	9.2
202.50	2657	--	8.04	8.04	-22	839	--	--	8	8	Si	4.3
364.50	--	147	8.04	8.04	--	--	-1	46	8	8	Si	78
405.00	--	2663	8.04	8.04	--	--	-22	841	8	8	Si	4.3

Verifica aperture fessure:Wamm Freq[mm]=0.300 Wamm Qp[mm]=0.200

X	M	Act	Aft	pAft	$S_{r,max}$	σ_{fmed}	Wd	Wk	Cb	Ver.	Cs
cm	kg*m	mq	cmq	cm	cm	kg/cmq	mm	mm			
0.00	2834	5.02E-02	8.04	20.11	33.98	895	0.087	0.087	7 (Fr)	Si	3.5
0.00	2866	5.02E-02	8.04	20.11	33.98	905	0.088	0.088	8 (Qp)	Si	2.3
40.50	1242	5.02E-02	8.04	20.11	33.98	392	0.038	0.038	8 (Qp)	Si	5.3
40.50	1223	5.02E-02	8.04	20.11	33.98	386	0.037	0.037	7 (Fr)	Si	8.0
202.50	-2657	5.02E-02	8.04	20.11	33.98	839	0.081	0.081	8 (Qp)	Si	2.5
202.50	-2630	5.02E-02	8.04	20.11	33.98	830	0.081	0.081	7 (Fr)	Si	3.7
364.50	147	5.02E-02	8.04	20.11	33.98	46	0.005	0.005	8 (Qp)	Si	44
364.50	221	5.02E-02	8.04	20.11	33.98	70	0.007	0.007	7 (Fr)	Si	44
405.00	2663	5.02E-02	8.04	20.11	33.98	841	0.082	0.082	8 (Qp)	Si	2.5
405.00	2751	5.02E-02	8.04	20.11	33.98	868	0.084	0.084	7 (Fr)	Si	3.6

Trave: 602 [6090,6104], Pilastrate [4090,4104] Sez. R: By=40.00 cm Bz=50.00 cm L=400.00 cm Ln=425.00 cm Criterio: CLS_TraviAlte

Combinazione Rara: $\sigma_{ca}[kg/cm^2]=224$ $\sigma_{fa}[kg/cm^2]=3600$

X	M+	M-	Afsup	Afinf	σ_c+	σ_f+	σ_c-	σ_f-	Cb+	Cb-	Ver.	CS
cm	kg*m	kg*m	cmq	cmq	kg/cmq	kg/cmq	kg/cmq	kg/cmq				
0.00	--	472	8.04	8.04	--	--	-4	149	6	6	Si	24
42.50	1427	--	8.04	8.04	-12	451	--	--	6	6	Si	8.0
212.50	2255	--	8.04	8.04	-19	712	--	--	6	6	Si	5.1
382.50	--	2673	8.04	8.04	--	--	-22	844	6	6	Si	4.3
425.00	--	5855	8.04	8.04	--	--	-48	1848	6	6	Si	1.9

Combinazione QP: $\sigma_{ca}[kg/cm^2]=168$ $\sigma_{fa}[kg/cm^2]=3600$

X	M+	M-	Afsup	Afinf	σ_c+	σ_f+	σ_c-	σ_f-	Cb+	Cb-	Ver.	CS
cm	kg*m	kg*m	cmq	cmq	kg/cmq	kg/cmq	kg/cmq	kg/cmq				
0.00	--	73	8.04	8.04	--	--	-1	23	8	8	Si	>100
42.50	1676	--	8.04	8.04	-14	529	--	--	8	8	Si	6.8
212.50	2161	--	8.04	8.04	-18	682	--	--	8	8	Si	5.3
382.50	--	2819	8.04	8.04	--	--	-23	890	8	8	Si	4.0
425.00	--	5922	8.04	8.04	--	--	-49	1870	8	8	Si	1.9

Verifica aperture fessure:Wamm Freq[mm]=0.300 Wamm Qp[mm]=0.200

X	M	Act	Aft	pAft	$S_{r,max}$	σ_{fmed}	Wd	Wk	Cb	Ver.	Cs
cm	kg*m	mq	cmq	cm	cm	kg/cmq	mm	mm			
0.00	157	5.02E-02	8.04	20.11	33.98	50	0.005	0.005	7 (Fr)	Si	62
0.00	73	5.02E-02	8.04	20.11	33.98	23	0.002	0.002	8 (Qp)	Si	89
42.50	-1676	5.02E-02	8.04	20.11	33.98	529	0.051	0.051	8 (Qp)	Si	3.9
42.50	-1601	5.02E-02	8.04	20.11	33.98	505	0.049	0.049	7 (Fr)	Si	6.1
212.50	-2161	5.02E-02	8.04	20.11	33.98	682	0.066	0.066	8 (Qp)	Si	3.0
212.50	-2147	5.02E-02	8.04	20.11	33.98	678	0.066	0.066	7 (Fr)	Si	4.6
382.50	2819	5.02E-02	8.04	20.11	33.98	890	0.086	0.086	8 (Qp)	Si	2.3

**POTENZIAMENTO DELL'IMPIANTO DI DEPURAZIONE E
DEL RECAPITO FINALE DI SQUINZANO (LE)
PROGETTO DEFINITIVO
Tabulati di calcolo strutturale-Edificio Grigliatura
Grossolana**

R.37.11

Maggio 2021

Pagina 122 di
183

X	M	Act	Aft	pAft	$S_{r,max}$	σ_{fmed}	Wd	Wk	Cb	Ver.	Cs
382.50	2751	5.02E-02	8.04	20.11	33.98	868	0.084	0.084	7 (Fr)	Si	3.6
425.00	5922	5.02E-02	8.04	20.11	33.98	1870	0.181	0.181	8 (Qp)	Si	1.1
425.00	5824	5.02E-02	8.04	20.11	33.98	1838	0.178	0.178	7 (Fr)	Si	1.7

Trave: 603 [6040,6014], Pilastrate [4040,4014] Sez. R: By=40.00 cm Bz=50.00 cm L=360.00 cm Ln=360.00 cm Criterio: CLS_TraviAlte

Combinazione Rara: σ_{ca} [kg/cmq]=224 σ_{fa} [kg/cmq]=3600

X	M+	M-	Afsup	Afinf	σ_{c+}	σ_{f+}	σ_{c-}	σ_{f-}	Cb+	Cb-	Ver.	CS
cm	kg*m	kg*m	cmq	cmq	kg/cmq	kg/cmq	kg/cmq	kg/cmq				
0.00	--	635	8.04	8.04	--	--	-5	200	6	6	Si	18
36.00	226	--	8.04	8.04	-2	71	--	--	6	6	Si	50
180.00	1435	--	8.04	8.04	-12	453	--	--	6	6	Si	7.9
324.00	--	3420	8.04	8.04	--	--	-28	1080	6	6	Si	3.3
360.00	--	6336	8.04	8.04	--	--	-52	2000	6	6	Si	1.8

Combinazione QP: σ_{ca} [kg/cmq]=168 σ_{fa} [kg/cmq]=3600

X	M+	M-	Afsup	Afinf	σ_{c+}	σ_{f+}	σ_{c-}	σ_{f-}	Cb+	Cb-	Ver.	CS
cm	kg*m	kg*m	cmq	cmq	kg/cmq	kg/cmq	kg/cmq	kg/cmq				
0.00	--	387	8.04	8.04	--	--	-3	122	8	8	Si	29
36.00	337	--	8.04	8.04	-3	106	--	--	8	8	Si	34
180.00	1250	--	8.04	8.04	-10	395	--	--	8	8	Si	9.1
324.00	--	3488	8.04	8.04	--	--	-29	1101	8	8	Si	3.3
360.00	--	6271	8.04	8.04	--	--	-52	1979	8	8	Si	1.8

Verifica aperture fessure:Wamm Freq[mm]=0.300 Wamm Qp[mm]=0.200

X	M	Act	Aft	pAft	$S_{r,max}$	σ_{fmed}	Wd	Wk	Cb	Ver.	Cs
cm	kg*m	mq	cmq	cm	cm	kg/cmq	mm	mm			
0.00	438	5.02E-02	8.04	20.11	33.98	138	0.013	0.013	7 (Fr)	Si	22
0.00	387	5.02E-02	8.04	20.11	33.98	122	0.012	0.012	8 (Qp)	Si	17
36.00	-337	5.02E-02	8.04	20.11	33.98	106	0.010	0.010	8 (Qp)	Si	19
36.00	-299	5.02E-02	8.04	20.11	33.98	94	0.009	0.009	7 (Fr)	Si	33
180.00	-1250	5.02E-02	8.04	20.11	33.98	395	0.038	0.038	8 (Qp)	Si	5.2
180.00	-1254	5.02E-02	8.04	20.11	33.98	396	0.038	0.038	7 (Fr)	Si	7.8
324.00	3488	5.02E-02	8.04	20.11	33.98	1101	0.107	0.107	8 (Qp)	Si	1.9
324.00	3445	5.02E-02	8.04	20.11	33.98	1087	0.106	0.106	7 (Fr)	Si	2.8
360.00	6271	5.02E-02	8.04	20.11	33.98	1979	0.192	0.192	8 (Qp)	Si	1.0
360.00	6214	5.02E-02	8.04	20.11	33.98	1962	0.190	0.190	7 (Fr)	Si	1.6

Trave: 603 [6059,6040], Pilastrate [4059,4040] Sez. R: By=40.00 cm Bz=50.00 cm L=450.00 cm Ln=450.00 cm Criterio: CLS_TraviAlte

Combinazione Rara: σ_{ca} [kg/cmq]=224 σ_{fa} [kg/cmq]=3600

X	M+	M-	Afsup	Afinf	σ_{c+}	σ_{f+}	σ_{c-}	σ_{f-}	Cb+	Cb-	Ver.	CS
cm	kg*m	kg*m	cmq	cmq	kg/cmq	kg/cmq	kg/cmq	kg/cmq				
0.00	--	453	8.04	8.04	--	--	-4	143	6	6	Si	25
45.00	--	224	8.04	8.04	--	--	-2	71	6	6	Si	51
225.00	75	--	8.04	8.04	-1	24	--	--	6	6	Si	>100
405.00	--	854	8.04	8.04	--	--	-7	270	6	6	Si	13
450.00	--	1447	8.04	8.04	--	--	-12	457	6	6	Si	7.9

Combinazione QP: σ_{ca} [kg/cmq]=168 σ_{fa} [kg/cmq]=3600

X	M+	M-	Afsup	Afinf	σ_{c+}	σ_{f+}	σ_{c-}	σ_{f-}	Cb+	Cb-	Ver.	CS
cm	kg*m	kg*m	cmq	cmq	kg/cmq	kg/cmq	kg/cmq	kg/cmq				
0.00	--	384	8.04	8.04	--	--	-3	121	8	8	Si	30
45.00	--	154	8.04	8.04	--	--	-1	49	8	8	Si	74
225.00	123	--	8.04	8.04	-1	39	--	--	8	8	Si	92
405.00	--	796	8.04	8.04	--	--	-7	251	8	8	Si	14
450.00	--	1384	8.04	8.04	--	--	-11	437	8	8	Si	8.2

Verifica aperture fessure:Wamm Freq[mm]=0.300 Wamm Qp[mm]=0.200

X	M	Act	Aft	pAft	$S_{r,max}$	σ_{fmed}	Wd	Wk	Cb	Ver.	Cs
cm	kg*m	mq	cmq	cm	cm	kg/cmq	mm	mm			
0.00	402	5.02E-02	8.04	20.11	33.98	127	0.012	0.012	7 (Fr)	Si	24
0.00	384	5.02E-02	8.04	20.11	33.98	121	0.012	0.012	8 (Qp)	Si	17
45.00	154	5.02E-02	8.04	20.11	33.98	49	0.005	0.005	8 (Qp)	Si	42
45.00	168	5.02E-02	8.04	20.11	33.98	53	0.005	0.005	7 (Fr)	Si	58
225.00	-123	5.02E-02	8.04	20.11	33.98	39	0.004	0.004	8 (Qp)	Si	53

X	M	Act	Aft	pAft	$S_{r,max}$	σ_{fmed}	Wd	Wk	Cb	Ver.	Cs
225.00	-120	5.02E-02	8.04	20.11	33.98	38	0.004	0.004	7 (Fr)	Si	82
405.00	796	5.02E-02	8.04	20.11	33.98	251	0.024	0.024	8 (Qp)	Si	8.2
405.00	798	5.02E-02	8.04	20.11	33.98	252	0.024	0.024	7 (Fr)	Si	12
450.00	1384	5.02E-02	8.04	20.11	33.98	437	0.042	0.042	8 (Qp)	Si	4.7
450.00	1384	5.02E-02	8.04	20.11	33.98	437	0.042	0.042	7 (Fr)	Si	7.1

Trave: 603 [6085,6059], Pilastrate [4085,4059] Sez. R: By=40.00 cm Bz=50.00 cm L=405.00 cm Ln=405.00 cm Criterio: CLS_TraviAlte

Combinazione Rara: σ_{ca} [kg/cmq]=224 σ_{fa} [kg/cmq]=3600

X	M+	M-	Afsup	Afinf	σ_{c+}	σ_{f+}	σ_{c-}	σ_{f-}	Cb+	Cb-	Ver.	CS
cm	kg*m	kg*m	cmq	cmq	kg/cmq	kg/cmq	kg/cmq	kg/cmq				
0.00	--	4172	8.04	8.04	--	--	-34	1317	6	6	Si	2.7
40.50	--	1227	8.04	8.04	--	--	-10	387	6	6	Si	9.3
202.50	1085	--	8.04	8.04	-9	342	--	--	6	6	Si	11
364.50	--	665	8.04	8.04	--	--	-5	210	6	6	Si	17
405.00	--	2134	8.04	8.04	--	--	-18	674	6	6	Si	5.3

Combinazione QP: σ_{ca} [kg/cmq]=168 σ_{fa} [kg/cmq]=3600

X	M+	M-	Afsup	Afinf	σ_{c+}	σ_{f+}	σ_{c-}	σ_{f-}	Cb+	Cb-	Ver.	CS
cm	kg*m	kg*m	cmq	cmq	kg/cmq	kg/cmq	kg/cmq	kg/cmq				
0.00	--	3662	8.04	8.04	--	--	-30	1156	8	8	Si	3.1
40.50	--	938	8.04	8.04	--	--	-8	296	8	8	Si	12
202.50	1083	--	8.04	8.04	-9	342	--	--	8	8	Si	11
364.50	--	674	8.04	8.04	--	--	-6	213	8	8	Si	17
405.00	--	2074	8.04	8.04	--	--	-17	655	8	8	Si	5.5

Verifica aperture fessure:Wamm Freq[mm]=0.300 Wamm Qp[mm]=0.200

X	M	Act	Aft	pAft	$S_{r,max}$	σ_{fmed}	Wd	Wk	Cb	Ver.	Cs
cm	kg*m	mq	cmq	cm	cm	kg/cmq	mm	mm			
0.00	3715	5.02E-02	8.04	20.11	33.98	1173	0.114	0.114	7 (Fr)	Si	2.6
0.00	3662	5.02E-02	8.04	20.11	33.98	1156	0.112	0.112	8 (Qp)	Si	1.8
40.50	938	5.02E-02	8.04	20.11	33.98	296	0.029	0.029	8 (Qp)	Si	7.0
40.50	984	5.02E-02	8.04	20.11	33.98	311	0.030	0.030	7 (Fr)	Si	9.9
202.50	-1083	5.02E-02	8.04	20.11	33.98	342	0.033	0.033	8 (Qp)	Si	6.0
202.50	-1062	5.02E-02	8.04	20.11	33.98	335	0.033	0.033	7 (Fr)	Si	9.2
364.50	674	5.02E-02	8.04	20.11	33.98	213	0.021	0.021	8 (Qp)	Si	9.7
364.50	674	5.02E-02	8.04	20.11	33.98	213	0.021	0.021	7 (Fr)	Si	15
405.00	2074	5.02E-02	8.04	20.11	33.98	655	0.064	0.064	8 (Qp)	Si	3.1
405.00	2067	5.02E-02	8.04	20.11	33.98	652	0.063	0.063	7 (Fr)	Si	4.7

Trave: 603 [6100,6085], Pilastrate [4100,4085] Sez. R: By=40.00 cm Bz=50.00 cm L=400.00 cm Ln=425.00 cm Criterio: CLS_TraviAlte

Combinazione Rara: σ_{ca} [kg/cmq]=224 σ_{fa} [kg/cmq]=3600

X	M+	M-	Afsup	Afinf	σ_{c+}	σ_{f+}	σ_{c-}	σ_{f-}	Cb+	Cb-	Ver.	CS
cm	kg*m	kg*m	cmq	cmq	kg/cmq	kg/cmq	kg/cmq	kg/cmq				
0.00	--	5310	8.04	8.04	--	--	-44	1676	6	6	Si	2.1
42.50	--	2302	8.04	8.04	--	--	-19	727	6	6	Si	5.0
212.50	2736	--	8.04	8.04	-23	864	--	--	6	6	Si	4.2
382.50	976	--	8.04	8.04	-8	308	--	--	6	6	Si	12
425.00	--	931	8.04	8.04	--	--	-8	294	6	6	Si	12

Combinazione QP: σ_{ca} [kg/cmq]=168 σ_{fa} [kg/cmq]=3600

X	M+	M-	Afsup	Afinf	σ_{c+}	σ_{f+}	σ_{c-}	σ_{f-}	Cb+	Cb-	Ver.	CS
cm	kg*m	kg*m	cmq	cmq	kg/cmq	kg/cmq	kg/cmq	kg/cmq				
0.00	--	5300	8.04	8.04	--	--	-44	1673	8	8	Si	2.2
42.50	--	2398	8.04	8.04	--	--	-20	757	8	8	Si	4.8
212.50	2620	--	8.04	8.04	-22	827	--	--	8	8	Si	4.4
382.50	1161	--	8.04	8.04	-10	366	--	--	8	8	Si	9.8
425.00	--	600	8.04	8.04	--	--	-5	189	8	8	Si	19

Verifica aperture fessure:Wamm Freq[mm]=0.300 Wamm Qp[mm]=0.200

X	M	Act	Aft	pAft	$S_{r,max}$	σ_{fmed}	Wd	Wk	Cb	Ver.	Cs
cm	kg*m	mq	cmq	cm	cm	kg/cmq	mm	mm			
0.00	5226	5.02E-02	8.04	20.11	33.98	1650	0.160	0.160	7 (Fr)	Si	1.9
0.00	5300	5.02E-02	8.04	20.11	33.98	1673	0.162	0.162	8 (Qp)	Si	1.2
42.50	2398	5.02E-02	8.04	20.11	33.98	757	0.073	0.073	8 (Qp)	Si	2.7

**POTENZIAMENTO DELL'IMPIANTO DI DEPURAZIONE E
DEL RECAPITO FINALE DI SQUINZANO (LE)
PROGETTO DEFINITIVO
Tabulati di calcolo strutturale-Edificio Grigliatura
Grossolana**

R.37.11

Maggio 2021

Pagina 124 di
183

X	M	Act	Aft	pAft	$S_{r,max}$	σ_{fmed}	Wd	Wk	Cb	Ver.	Cs
42.50	2346	5.02E-02	8.04	20.11	33.98	740	0.072	0.072	7 (Fr)	Si	4.2
212.50	-2620	5.02E-02	8.04	20.11	33.98	827	0.080	0.080	8 (Qp)	Si	2.5
212.50	-2612	5.02E-02	8.04	20.11	33.98	825	0.080	0.080	7 (Fr)	Si	3.7
382.50	-1161	5.02E-02	8.04	20.11	33.98	366	0.036	0.036	8 (Qp)	Si	5.6
382.50	-1107	5.02E-02	8.04	20.11	33.98	349	0.034	0.034	7 (Fr)	Si	8.8
425.00	600	5.02E-02	8.04	20.11	33.98	189	0.018	0.018	8 (Qp)	Si	11
425.00	661	5.02E-02	8.04	20.11	33.98	209	0.020	0.020	7 (Fr)	Si	15

Trave: 604 [6040,6041], Pilastrate [4040,--] Sez. R: By=50.00 cm Bz=50.00 cm L=397.00 cm Ln=397.00 cm Criterio: CLS_TraviAlte

Combinazione Rara: $\sigma_{ca}[kg/cm^2]=224$ $\sigma_{fa}[kg/cm^2]=3600$

X	M+	M-	Afsup	Afinf	σ_c+	σ_f+	σ_c-	σ_f-	Cb+	Cb-	Ver.	CS
cm	kg*m	kg*m	cmq	cmq	kg/cmq	kg/cmq	kg/cmq	kg/cmq				
0.00	--	12381	12.06	8.04	--	--	-78	2623	6	6	Si	1.4
39.70	--	8843	12.06	8.04	--	--	-56	1874	6	6	Si	1.9
198.50	2005	--	10.05	8.04	-14	628	--	--	6	6	Si	5.7
357.30	7363	--	10.05	8.04	-53	2307	--	--	6	6	Si	1.6
397.00	7863	--	10.05	8.04	-57	2463	--	--	6	6	Si	1.5

Combinazione QP: $\sigma_{ca}[kg/cm^2]=168$ $\sigma_{fa}[kg/cm^2]=3600$

X	M+	M-	Afsup	Afinf	σ_c+	σ_f+	σ_c-	σ_f-	Cb+	Cb-	Ver.	CS
cm	kg*m	kg*m	cmq	cmq	kg/cmq	kg/cmq	kg/cmq	kg/cmq				
0.00	--	11844	12.06	8.04	--	--	-75	2510	8	8	Si	1.4
39.70	--	8491	12.06	8.04	--	--	-54	1799	8	8	Si	2.0
198.50	1819	--	10.05	8.04	-13	570	--	--	8	8	Si	6.3
357.30	6978	--	10.05	8.04	-50	2186	--	--	8	8	Si	1.6
397.00	7479	--	10.05	8.04	-54	2343	--	--	8	8	Si	1.5

Verifica aperture fessure:Wamm Freq[mm]=0.300 Wamm Qp[mm]=0.200

X	M	Act	Aft	pAft	$S_{r,max}$	σ_{fmed}	Wd	Wk	Cb	Ver.	Cs
cm	kg*m	mq	cmq	cm	cm	kg/cmq	mm	mm			
0.00	11849	6.07E-02	12.06	30.16	30.70	2511	0.239	0.239	7 (Fr)	Si	1.3
0.00	11844	6.07E-02	12.06	30.16	30.70	2510	0.239	0.239	8 (Qp)	No	0.84
39.70	8491	6.07E-02	12.06	30.16	30.70	1799	0.158	0.158	8 (Qp)	Si	1.3
39.70	8495	6.07E-02	12.06	30.16	30.70	1800	0.158	0.158	7 (Fr)	Si	1.9
198.50	-1819	6.46E-02	8.04	20.11	38.84	570	0.063	0.063	8 (Qp)	Si	3.2
198.50	-1816	6.46E-02	8.04	20.11	38.84	569	0.063	0.063	7 (Fr)	Si	4.8
357.30	-6978	6.46E-02	8.04	20.11	38.84	2186	0.243	0.243	8 (Qp)	No	0.82
357.30	-6976	6.46E-02	8.04	20.11	38.84	2185	0.243	0.243	7 (Fr)	Si	1.2
397.00	-7479	6.46E-02	8.04	20.11	38.84	2343	0.260	0.260	8 (Qp)	No	0.77
397.00	-7477	6.46E-02	8.04	20.11	38.84	2342	0.260	0.260	7 (Fr)	Si	1.2

Trave: 604 [6041,6042], Pilastrate [--,--] Sez. R: By=50.00 cm Bz=50.00 cm L=300.00 cm Ln=300.00 cm Criterio: CLS_TraviAlte

Combinazione Rara: $\sigma_{ca}[kg/cm^2]=224$ $\sigma_{fa}[kg/cm^2]=3600$

X	M+	M-	Afsup	Afinf	σ_c+	σ_f+	σ_c-	σ_f-	Cb+	Cb-	Ver.	CS
cm	kg*m	kg*m	cmq	cmq	kg/cmq	kg/cmq	kg/cmq	kg/cmq				
0.00	7644	--	8.04	8.04	-56	2393	--	--	6	6	Si	1.5
30.00	7690	--	8.04	8.04	-57	2408	--	--	6	6	Si	1.5
150.00	7312	--	8.04	8.04	-54	2289	--	--	6	6	Si	1.6
270.00	6034	--	8.04	8.04	-44	1889	--	--	6	6	Si	1.9
300.00	5573	--	8.04	8.04	-41	1745	--	--	6	6	Si	2.1

Combinazione QP: $\sigma_{ca}[kg/cm^2]=168$ $\sigma_{fa}[kg/cm^2]=3600$

X	M+	M-	Afsup	Afinf	σ_c+	σ_f+	σ_c-	σ_f-	Cb+	Cb-	Ver.	CS
cm	kg*m	kg*m	cmq	cmq	kg/cmq	kg/cmq	kg/cmq	kg/cmq				
0.00	7268	--	8.04	8.04	-53	2276	--	--	8	8	Si	1.6
30.00	7324	--	8.04	8.04	-54	2293	--	--	8	8	Si	1.6
150.00	6984	--	8.04	8.04	-51	2187	--	--	8	8	Si	1.6
270.00	5745	--	8.04	8.04	-42	1799	--	--	8	8	Si	2.0
300.00	5295	--	8.04	8.04	-39	1658	--	--	8	8	Si	2.2

Verifica aperture fessure:Wamm Freq[mm]=0.300 Wamm Qp[mm]=0.200

X	M	Act	Aft	pAft	$S_{r,max}$	σ_{fmed}	Wd	Wk	Cb	Ver.	Cs
cm	kg*m	mq	cmq	cm	cm	kg/cmq	mm	mm			
0.00	-7266	6.43E-02	8.04	20.11	38.74	2275	0.252	0.252	7 (Fr)	Si	1.2

X	M	Act	Aft	pAft	$S_{r,max}$	σ_{fmed}	Wd	Wk	Cb	Ver.	Cs
0.00	-7268	6.43E-02	8.04	20.11	38.74	2276	0.252	0.252	8 (Qp)	No	0.79
30.00	-7324	6.43E-02	8.04	20.11	38.74	2293	0.254	0.254	8 (Qp)	No	0.79
30.00	-7322	6.43E-02	8.04	20.11	38.74	2293	0.254	0.254	7 (Fr)	Si	1.2
150.00	-6984	6.43E-02	8.04	20.11	38.74	2187	0.242	0.242	8 (Qp)	No	0.83
150.00	-6983	6.43E-02	8.04	20.11	38.74	2187	0.242	0.242	7 (Fr)	Si	1.2
270.00	-5745	6.43E-02	8.04	20.11	38.74	1799	0.199	0.199	8 (Qp)	Si	1.0
270.00	-5745	6.43E-02	8.04	20.11	38.74	1799	0.199	0.199	7 (Fr)	Si	1.5
300.00	-5295	6.43E-02	8.04	20.11	38.74	1658	0.183	0.183	8 (Qp)	Si	1.1
300.00	-5294	6.43E-02	8.04	20.11	38.74	1658	0.183	0.183	7 (Fr)	Si	1.6

Trave: 604 [6042,6043], Pilastrate [--,4043] Sez. R: By=50.00 cm Bz=50.00 cm L=318.00 cm Ln=318.00 cm Criterio: CLS_TraviAlte

Combinazione Rara: σ_{ca} [kg/cmq]=224 σ_{fa} [kg/cmq]=3600

X	M+	M-	Afsup	Afinf	σ_c+	σ_f+	σ_c-	σ_f-	Cb+	Cb-	Ver.	CS
cm	kg*m	kg*m	cmq	cmq	kg/cmq	kg/cmq	kg/cmq	kg/cmq				
0.00	5742	--	12.06	8.04	-40	1800	--	--	6	6	Si	2.0
31.80	4932	--	12.06	8.04	-35	1546	--	--	6	6	Si	2.3
159.00	--	440	12.06	8.04	--	--	-3	93	6	6	Si	39
286.20	--	9333	12.06	8.04	--	--	-59	1978	6	6	Si	1.8
318.00	--	12076	12.06	8.04	--	--	-76	2559	6	6	Si	1.4

Combinazione QP: σ_{ca} [kg/cmq]=168 σ_{fa} [kg/cmq]=3600

X	M+	M-	Afsup	Afinf	σ_c+	σ_f+	σ_c-	σ_f-	Cb+	Cb-	Ver.	CS
cm	kg*m	kg*m	cmq	cmq	kg/cmq	kg/cmq	kg/cmq	kg/cmq				
0.00	5459	--	12.06	8.04	-38	1711	--	--	8	8	Si	2.1
31.80	4666	--	12.06	8.04	-33	1463	--	--	8	8	Si	2.5
159.00	--	507	12.06	8.04	--	--	-3	107	8	8	Si	34
286.20	--	8985	12.06	8.04	--	--	-57	1904	8	8	Si	1.9
318.00	--	11592	12.06	8.04	--	--	-73	2456	8	8	Si	1.5

Verifica aperture fessure:Wamm Freq[mm]=0.300 Wamm Qp[mm]=0.200

X	M	Act	Aft	pAft	$S_{r,max}$	σ_{fmed}	Wd	Wk	Cb	Ver.	Cs
cm	kg*m	mq	cmq	cm	cm	kg/cmq	mm	mm			
0.00	-5458	6.49E-02	8.04	20.11	38.95	1711	0.190	0.190	7 (Fr)	Si	1.6
0.00	-5459	6.49E-02	8.04	20.11	38.95	1711	0.190	0.190	8 (Qp)	Si	1.1
31.80	-4666	6.49E-02	8.04	20.11	38.95	1463	0.163	0.163	8 (Qp)	Si	1.2
31.80	-4666	6.49E-02	8.04	20.11	38.95	1463	0.163	0.163	7 (Fr)	Si	1.8
159.00	507	6.07E-02	12.06	30.16	30.70	107	0.009	0.009	8 (Qp)	Si	21
159.00	506	6.07E-02	12.06	30.16	30.70	107	0.009	0.009	7 (Fr)	Si	32
286.20	8985	6.07E-02	12.06	30.16	30.70	1904	0.167	0.167	8 (Qp)	Si	1.2
286.20	8983	6.07E-02	12.06	30.16	30.70	1903	0.167	0.167	7 (Fr)	Si	1.8
318.00	11592	6.07E-02	12.06	30.16	30.70	2456	0.231	0.231	8 (Qp)	No	0.87
318.00	11590	6.07E-02	12.06	30.16	30.70	2456	0.231	0.231	7 (Fr)	Si	1.3

Trave: 605 [6060,6059], Pilastrate [--,4059] Sez. R: By=50.00 cm Bz=50.00 cm L=397.00 cm Ln=397.00 cm Criterio: CLS_TraviAlte

Combinazione Rara: σ_{ca} [kg/cmq]=224 σ_{fa} [kg/cmq]=3600

X	M+	M-	Afsup	Afinf	σ_c+	σ_f+	σ_c-	σ_f-	Cb+	Cb-	Ver.	CS
cm	kg*m	kg*m	cmq	cmq	kg/cmq	kg/cmq	kg/cmq	kg/cmq				
0.00	9546	--	12.06	10.05	-62	2411	--	--	6	6	Si	1.5
39.70	8670	--	12.06	10.05	-56	2190	--	--	6	6	Si	1.6
198.50	1806	--	12.06	8.04	-13	566	--	--	6	6	Si	6.4
357.30	--	10548	14.07	8.04	--	--	-63	1928	6	6	Si	1.9
397.00	--	14463	14.07	8.04	--	--	-86	2643	6	6	Si	1.4

Combinazione QP: σ_{ca} [kg/cmq]=168 σ_{fa} [kg/cmq]=3600

X	M+	M-	Afsup	Afinf	σ_c+	σ_f+	σ_c-	σ_f-	Cb+	Cb-	Ver.	CS
cm	kg*m	kg*m	cmq	cmq	kg/cmq	kg/cmq	kg/cmq	kg/cmq				
0.00	9010	--	12.06	10.05	-58	2276	--	--	8	8	Si	1.6
39.70	8158	--	12.06	10.05	-53	2061	--	--	8	8	Si	1.7
198.50	1595	--	12.06	8.04	-11	500	--	--	8	8	Si	7.2
357.30	--	10120	14.07	8.04	--	--	-60	1849	8	8	Si	1.9
397.00	--	13825	14.07	8.04	--	--	-83	2526	8	8	Si	1.4

Verifica aperture fessure:Wamm_Freq[mm]=0.300 Wamm_Qp[mm]=0.200

**POTENZIAMENTO DELL'IMPIANTO DI DEPURAZIONE E
DEL RECAPITO FINALE DI SQUINZANO (LE)
PROGETTO DEFINITIVO
Tabulati di calcolo strutturale-Edificio Grigliatura
Grossolana**

R.37.11

Maggio 2021

Pagina 126 di
183

X	M	Act	Aft	pAft	S _{r,max}	σ _{fmed}	Wd	Wk	Cb	Ver.	Cs
cm	kg*m	mq	cmq	cm	cm	kg/cmq	mm	mm			
0.00	-9011	6.31E-02	10.05	25.13	34.07	2276	0.222	0.222	7 (Fr)	Si	1.4
0.00	-9010	6.31E-02	10.05	25.13	34.07	2276	0.222	0.222	8 (Qp)	No	0.90
39.70	-8158	6.31E-02	10.05	25.13	34.07	2061	0.201	0.201	8 (Qp)	No	0.997
39.70	-8159	6.31E-02	10.05	25.13	34.07	2061	0.201	0.201	7 (Fr)	Si	1.5
198.50	-1595	6.49E-02	8.04	20.11	38.95	500	0.056	0.056	8 (Qp)	Si	3.6
198.50	-1594	6.49E-02	8.04	20.11	38.95	500	0.056	0.056	7 (Fr)	Si	5.4
357.30	10120	5.93E-02	14.07	35.19	28.45	1849	0.150	0.150	8 (Qp)	Si	1.3
357.30	10121	5.93E-02	14.07	35.19	28.45	1850	0.150	0.150	7 (Fr)	Si	2.0
397.00	13825	5.93E-02	14.07	35.19	28.45	2526	0.239	0.239	8 (Qp)	No	0.84
397.00	13826	5.93E-02	14.07	35.19	28.45	2527	0.239	0.239	7 (Fr)	Si	1.3

Trave: 605 [6061,6060], Pilastrate [--,--] Sez. R: By=50.00 cm Bz=50.00 cm L=300.00 cm Ln=300.00 cm Criterio: CLS_TraviAlte

Combinazione Rara: σ_{ca}[kg/cmq]=224 σ_{fa}[kg/cmq]=3600

X	M+	M-	Afsup	Afinf	σ _{c+}	σ _{f+}	σ _{c-}	σ _{f-}	Cb+	Cb-	Ver.	CS
cm	kg*m	kg*m	cmq	cmq	kg/cmq	kg/cmq	kg/cmq	kg/cmq				
0.00	6527	--	8.04	8.04	-48	2044	--	--	6	6	Si	1.8
30.00	7013	--	8.04	8.04	-52	2196	--	--	6	6	Si	1.6
150.00	8392	--	8.04	8.04	-62	2628	--	--	6	6	Si	1.4
270.00	8872	--	8.04	8.04	-65	2778	--	--	6	6	Si	1.3
300.00	8851	--	8.04	8.04	-65	2771	--	--	6	6	Si	1.3

Combinazione QP: σ_{ca}[kg/cmq]=168 σ_{fa}[kg/cmq]=3600

X	M+	M-	Afsup	Afinf	σ _{c+}	σ _{f+}	σ _{c-}	σ _{f-}	Cb+	Cb-	Ver.	CS
cm	kg*m	kg*m	cmq	cmq	kg/cmq	kg/cmq	kg/cmq	kg/cmq				
0.00	6148	--	8.04	8.04	-45	1925	--	--	8	8	Si	1.9
30.00	6622	--	8.04	8.04	-49	2073	--	--	8	8	Si	1.7
150.00	7955	--	8.04	8.04	-59	2491	--	--	8	8	Si	1.4
270.00	8389	--	8.04	8.04	-62	2627	--	--	8	8	Si	1.4
300.00	8357	--	8.04	8.04	-61	2617	--	--	8	8	Si	1.4

Verifica aperture fessure:Wamm Freq[mm]=0.300 Wamm Qp[mm]=0.200

X	M	Act	Aft	pAft	S _{r,max}	σ _{fmed}	Wd	Wk	Cb	Ver.	Cs
cm	kg*m	mq	cmq	cm	cm	kg/cmq	mm	mm			
0.00	-6150	6.43E-02	8.04	20.11	38.74	1926	0.213	0.213	7 (Fr)	Si	1.4
0.00	-6148	6.43E-02	8.04	20.11	38.74	1925	0.213	0.213	8 (Qp)	No	0.94
30.00	-6622	6.43E-02	8.04	20.11	38.74	2073	0.229	0.229	8 (Qp)	No	0.87
30.00	-6624	6.43E-02	8.04	20.11	38.74	2074	0.230	0.230	7 (Fr)	Si	1.3
150.00	-7955	6.43E-02	8.04	20.11	38.74	2491	0.276	0.276	8 (Qp)	No	0.72
150.00	-7957	6.43E-02	8.04	20.11	38.74	2491	0.276	0.276	7 (Fr)	Si	1.1
270.00	-8389	6.43E-02	8.04	20.11	38.74	2627	0.291	0.291	8 (Qp)	No	0.69
270.00	-8390	6.43E-02	8.04	20.11	38.74	2627	0.291	0.291	7 (Fr)	Si	1.0
300.00	-8357	6.43E-02	8.04	20.11	38.74	2617	0.290	0.290	8 (Qp)	No	0.69
300.00	-8358	6.43E-02	8.04	20.11	38.74	2617	0.290	0.290	7 (Fr)	Si	1.0

Trave: 605 [6062,6061], Pilastrate [4062,--] Sez. R: By=50.00 cm Bz=50.00 cm L=318.00 cm Ln=318.00 cm Criterio: CLS_TraviAlte

Combinazione Rara: σ_{ca}[kg/cmq]=224 σ_{fa}[kg/cmq]=3600

X	M+	M-	Afsup	Afinf	σ _{c+}	σ _{f+}	σ _{c-}	σ _{f-}	Cb+	Cb-	Ver.	CS
cm	kg*m	kg*m	cmq	cmq	kg/cmq	kg/cmq	kg/cmq	kg/cmq				
0.00	--	14515	14.07	8.04	--	--	-87	2653	6	6	Si	1.4
31.80	--	11386	14.07	8.04	--	--	-68	2081	6	6	Si	1.7
159.00	--	945	14.07	8.04	--	--	-6	173	6	6	Si	21
286.20	5974	--	14.07	8.04	-41	1874	--	--	6	6	Si	1.9
318.00	7171	--	14.07	8.04	-50	2249	--	--	6	6	Si	1.6

Combinazione QP: σ_{ca}[kg/cmq]=168 σ_{fa}[kg/cmq]=3600

X	M+	M-	Afsup	Afinf	σ _{c+}	σ _{f+}	σ _{c-}	σ _{f-}	Cb+	Cb-	Ver.	CS
cm	kg*m	kg*m	cmq	cmq	kg/cmq	kg/cmq	kg/cmq	kg/cmq				
0.00	--	13903	14.07	8.04	--	--	-83	2541	8	8	Si	1.4
31.80	--	10935	14.07	8.04	--	--	-65	1998	8	8	Si	1.8
159.00	--	1016	14.07	8.04	--	--	-6	186	8	8	Si	19
286.20	5598	--	14.07	8.04	-39	1756	--	--	8	8	Si	2.1
318.00	6751	--	14.07	8.04	-47	2118	--	--	8	8	Si	1.7

**POTENZIAMENTO DELL'IMPIANTO DI DEPURAZIONE E
DEL RECAPITO FINALE DI SQUINZANO (LE)
PROGETTO DEFINITIVO
Tabulati di calcolo strutturale-Edificio Grigliatura
Grossolana**

R.37.11

Maggio 2021

Pagina 127 di
183

Verifica aperture fessure:Wamm Freq[mm]=0.300 Wamm Qp[mm]=0.200

X	M	Act	Aft	pAft	S _{r,max}	σfmed	Wd	Wk	Cb	Ver.	Cs
cm	kg*m	mq	cmq	cm	cm	kg/cmq	mm	mm			
0.00	13899	5.93E-02	14.07	35.19	28.45	2540	0.240	0.240	7 (Fr)	Si	1.2
0.00	13903	5.93E-02	14.07	35.19	28.45	2541	0.241	0.241	8 (Qp)	No	0.83
31.80	10935	5.93E-02	14.07	35.19	28.45	1998	0.167	0.167	8 (Qp)	Si	1.2
31.80	10932	5.93E-02	14.07	35.19	28.45	1998	0.167	0.167	7 (Fr)	Si	1.8
159.00	1016	5.93E-02	14.07	35.19	28.45	186	0.015	0.015	8 (Qp)	Si	13
159.00	1013	5.93E-02	14.07	35.19	28.45	185	0.015	0.015	7 (Fr)	Si	20
286.20	-5598	6.52E-02	8.04	20.11	39.04	1756	0.196	0.196	8 (Qp)	Si	1.0
286.20	-5601	6.52E-02	8.04	20.11	39.04	1757	0.196	0.196	7 (Fr)	Si	1.5
318.00	-6751	6.52E-02	8.04	20.11	39.04	2118	0.236	0.236	8 (Qp)	No	0.85
318.00	-6754	6.52E-02	8.04	20.11	39.04	2118	0.236	0.236	7 (Fr)	Si	1.3

Trave: 606 [6102,6100], Pilastrate [4102,4100] Sez. R: By=30.00 cm Bz=50.00 cm L=507.50 cm Ln=507.50 cm Criterio: CLS_TraviAlte

Combinazione Rara: σca[kg/cmq]=224 σfa[kg/cmq]=3600

X	M+	M-	Afsup	Afinf	σc+	σf+	σc-	σf-	Cb+	Cb-	Ver.	CS
cm	kg*m	kg*m	cmq	cmq	kg/cmq	kg/cmq	kg/cmq	kg/cmq				
0.00	--	1385	6.03	6.03	--	--	-15	583	6	6	Si	6.2
50.75	--	805	6.03	6.03	--	--	-9	339	6	6	Si	11
253.75	--	156	6.03	6.03	--	--	-2	66	6	6	Si	55
456.75	--	492	6.03	6.03	--	--	-5	207	6	6	Si	17
507.50	--	770	6.03	6.03	--	--	-8	324	6	6	Si	11

Combinazione QP: σca[kg/cmq]=168 σfa[kg/cmq]=3600

X	M+	M-	Afsup	Afinf	σc+	σf+	σc-	σf-	Cb+	Cb-	Ver.	CS
cm	kg*m	kg*m	cmq	cmq	kg/cmq	kg/cmq	kg/cmq	kg/cmq				
0.00	--	1329	6.03	6.03	--	--	-15	559	8	8	Si	6.4
50.75	--	763	6.03	6.03	--	--	-8	321	8	8	Si	11
253.75	--	165	6.03	6.03	--	--	-2	69	8	8	Si	52
456.75	--	533	6.03	6.03	--	--	-6	224	8	8	Si	16
507.50	--	824	6.03	6.03	--	--	-9	347	8	8	Si	10

Verifica aperture fessure:Wamm Freq[mm]=0.300 Wamm Qp[mm]=0.200

X	M	Act	Aft	pAft	S _{r,max}	σfmed	Wd	Wk	Cb	Ver.	Cs
cm	kg*m	mq	cmq	cm	cm	kg/cmq	mm	mm			
0.00	1333	3.76E-02	6.03	15.08	33.98	561	0.054	0.054	7 (Fr)	Si	5.5
0.00	1329	3.76E-02	6.03	15.08	33.98	559	0.054	0.054	8 (Qp)	Si	3.7
50.75	763	3.76E-02	6.03	15.08	33.98	321	0.031	0.031	8 (Qp)	Si	6.4
50.75	767	3.76E-02	6.03	15.08	33.98	323	0.031	0.031	7 (Fr)	Si	9.6
253.75	165	3.76E-02	6.03	15.08	33.98	69	0.007	0.007	8 (Qp)	Si	30
253.75	159	3.76E-02	6.03	15.08	33.98	67	0.007	0.007	7 (Fr)	Si	46
456.75	533	3.76E-02	6.03	15.08	33.98	224	0.022	0.022	8 (Qp)	Si	9.2
456.75	531	3.76E-02	6.03	15.08	33.98	224	0.022	0.022	7 (Fr)	Si	14
507.50	824	3.76E-02	6.03	15.08	33.98	347	0.034	0.034	8 (Qp)	Si	5.9
507.50	824	3.76E-02	6.03	15.08	33.98	347	0.034	0.034	7 (Fr)	Si	8.9

Trave: 606 [6104,6102], Pilastrate [4104,4102] Sez. R: By=30.00 cm Bz=50.00 cm L=507.50 cm Ln=507.50 cm Criterio: CLS_TraviAlte

Combinazione Rara: σca[kg/cmq]=224 σfa[kg/cmq]=3600

X	M+	M-	Afsup	Afinf	σc+	σf+	σc-	σf-	Cb+	Cb-	Ver.	CS
cm	kg*m	kg*m	cmq	cmq	kg/cmq	kg/cmq	kg/cmq	kg/cmq				
0.00	--	837	6.03	6.03	--	--	-9	352	6	6	Si	10
50.75	--	553	6.03	6.03	--	--	-6	233	6	6	Si	15
253.75	233	--	6.03	6.03	-3	98	--	--	6	6	Si	37
456.75	--	770	6.03	6.03	--	--	-8	324	6	6	Si	11
507.50	--	1350	6.03	6.03	--	--	-15	568	6	6	Si	6.3

Combinazione QP: σca[kg/cmq]=168 σfa[kg/cmq]=3600

X	M+	M-	Afsup	Afinf	σc+	σf+	σc-	σf-	Cb+	Cb-	Ver.	CS
cm	kg*m	kg*m	cmq	cmq	kg/cmq	kg/cmq	kg/cmq	kg/cmq				
0.00	--	913	6.03	6.03	--	--	-10	384	8	8	Si	9.4
50.75	--	611	6.03	6.03	--	--	-7	257	8	8	Si	14
253.75	228	--	6.03	6.03	-3	96	--	--	8	8	Si	38
456.75	--	711	6.03	6.03	--	--	-8	299	8	8	Si	12
507.50	--	1273	6.03	6.03	--	--	-14	536	8	8	Si	6.7

Verifica aperture fessure:Wamm Freq[mm]=0.300 Wamm Qp[mm]=0.200

X	M	Act	Aft	pAft	S _{r,max}	σ _{fmed}	Wd	Wk	Cb	Ver.	Cs
cm	kg*m	mq	cmq	cm	cm	kg/cmq	mm	mm			
0.00	907	3.76E-02	6.03	15.08	33.98	382	0.037	0.037	7 (Fr)	Si	8.1
0.00	913	3.76E-02	6.03	15.08	33.98	384	0.037	0.037	8 (Qp)	Si	5.4
50.75	611	3.76E-02	6.03	15.08	33.98	257	0.025	0.025	8 (Qp)	Si	8.0
50.75	605	3.76E-02	6.03	15.08	33.98	255	0.025	0.025	7 (Fr)	Si	12
253.75	-228	3.76E-02	6.03	15.08	33.98	96	0.009	0.009	8 (Qp)	Si	21
253.75	-229	3.76E-02	6.03	15.08	33.98	96	0.009	0.009	7 (Fr)	Si	32
456.75	711	3.76E-02	6.03	15.08	33.98	299	0.029	0.029	8 (Qp)	Si	6.9
456.75	719	3.76E-02	6.03	15.08	33.98	303	0.029	0.029	7 (Fr)	Si	10
507.50	1273	3.76E-02	6.03	15.08	33.98	536	0.052	0.052	8 (Qp)	Si	3.8
507.50	1283	3.76E-02	6.03	15.08	33.98	540	0.052	0.052	7 (Fr)	Si	5.7

Trave: 607 [6041,6055], Pilastrate [--] Sez. R: By=30.00 cm Bz=30.00 cm L=325.00 cm Ln=325.00 cm Criterio: CLS_TraviAlte

Combinazione Rara: σ_{ca}[kg/cmq]=224 σ_{fa}[kg/cmq]=3600

X	M+	M-	Afsup	Afinf	σ _{c+}	σ _{f+}	σ _{c-}	σ _{f-}	Cb+	Cb-	Ver.	CS
cm	kg*m	kg*m	cmq	cmq	kg/cmq	kg/cmq	kg/cmq	kg/cmq				
0.00	--	735	4.02	4.02	--	--	-27	870	6	6	Si	4.1
32.50	--	497	4.02	4.02	--	--	-19	589	6	6	Si	6.1
162.50	215	--	4.02	4.02	-8	255	--	--	6	6	Si	14
292.50	547	--	4.02	4.02	-20	648	--	--	6	6	Si	5.6
325.00	571	--	4.02	4.02	-21	676	--	--	6	6	Si	5.3

Combinazione QP: σ_{ca}[kg/cmq]=168 σ_{fa}[kg/cmq]=3600

X	M+	M-	Afsup	Afinf	σ _{c+}	σ _{f+}	σ _{c-}	σ _{f-}	Cb+	Cb-	Ver.	CS
cm	kg*m	kg*m	cmq	cmq	kg/cmq	kg/cmq	kg/cmq	kg/cmq				
0.00	--	697	4.02	4.02	--	--	-26	825	8	8	Si	4.4
32.50	--	465	4.02	4.02	--	--	-17	551	8	8	Si	6.5
162.50	223	--	4.02	4.02	-8	264	--	--	8	8	Si	14
292.50	531	--	4.02	4.02	-20	629	--	--	8	8	Si	5.7
325.00	549	--	4.02	4.02	-21	650	--	--	8	8	Si	5.5

Verifica aperture fessure:Wamm Freq[mm]=0.300 Wamm Qp[mm]=0.200

X	M	Act	Aft	pAft	S _{r,max}	σ _{fmed}	Wd	Wk	Cb	Ver.	Cs
cm	kg*m	mq	cmq	cm	cm	kg/cmq	mm	mm			
0.00	697	2.23E-02	4.02	10.05	32.10	826	0.076	0.076	7 (Fr)	Si	4.0
0.00	697	2.23E-02	4.02	10.05	32.10	825	0.076	0.076	8 (Qp)	Si	2.6
32.50	465	2.23E-02	4.02	10.05	32.10	551	0.051	0.051	8 (Qp)	Si	4.0
32.50	466	2.23E-02	4.02	10.05	32.10	552	0.051	0.051	7 (Fr)	Si	5.9
162.50	-223	2.23E-02	4.02	10.05	32.10	264	0.024	0.024	8 (Qp)	Si	8.3
162.50	-223	2.23E-02	4.02	10.05	32.10	264	0.024	0.024	7 (Fr)	Si	12
292.50	-531	2.23E-02	4.02	10.05	32.10	629	0.058	0.058	8 (Qp)	Si	3.5
292.50	-531	2.23E-02	4.02	10.05	32.10	629	0.058	0.058	7 (Fr)	Si	5.2
325.00	-549	2.23E-02	4.02	10.05	32.10	650	0.060	0.060	8 (Qp)	Si	3.4
325.00	-549	2.23E-02	4.02	10.05	32.10	650	0.060	0.060	7 (Fr)	Si	5.0

Trave: 607 [6055,6060], Pilastrate [--] Sez. R: By=30.00 cm Bz=30.00 cm L=125.00 cm Ln=125.00 cm Criterio: CLS_TraviAlte

Combinazione Rara: σ_{ca}[kg/cmq]=224 σ_{fa}[kg/cmq]=3600

X	M+	M-	Afsup	Afinf	σ _{c+}	σ _{f+}	σ _{c-}	σ _{f-}	Cb+	Cb-	Ver.	CS
cm	kg*m	kg*m	cmq	cmq	kg/cmq	kg/cmq	kg/cmq	kg/cmq				
0.00	606	--	4.02	4.02	-23	718	--	--	6	6	Si	5.0
12.50	571	--	4.02	4.02	-21	676	--	--	6	6	Si	5.3
62.50	267	--	4.02	4.02	-10	316	--	--	6	6	Si	11
112.50	--	378	4.02	4.02	--	--	-14	448	6	6	Si	8.0
125.00	--	593	4.02	4.02	--	--	-22	702	6	6	Si	5.1

Combinazione QP: σ_{ca}[kg/cmq]=168 σ_{fa}[kg/cmq]=3600

X	M+	M-	Afsup	Afinf	σ _{c+}	σ _{f+}	σ _{c-}	σ _{f-}	Cb+	Cb-	Ver.	CS
cm	kg*m	kg*m	cmq	cmq	kg/cmq	kg/cmq	kg/cmq	kg/cmq				
0.00	586	--	4.02	4.02	-22	694	--	--	8	8	Si	5.2
12.50	548	--	4.02	4.02	-20	649	--	--	8	8	Si	5.5
62.50	245	--	4.02	4.02	-9	290	--	--	8	8	Si	12
112.50	--	374	4.02	4.02	--	--	-14	443	8	8	Si	8.1

X	M+	M-	Afsup	Afinf	σ_c+	σ_f+	σ_c-	σ_f-	Cb+	Cb-	Ver.	CS
125.00	--	578	4.02	4.02	--	--	-22	685	8	8	Si	5.3

Verifica aperture fessure:Wamm Freq[mm]=0.300 Wamm Qp[mm]=0.200

X	M	Act	Aft	pAft	$S_{x,max}$	σ_{fmed}	Wd	Wk	Cb	Ver.	Cs
cm	kg*m	mq	cmq	cm	cm	kg/cmq	mm	mm			
0.00	-585	2.23E-02	4.02	10.05	32.10	693	0.064	0.064	7 (Fr)	Si	4.7
0.00	-586	2.23E-02	4.02	10.05	32.10	694	0.064	0.064	8 (Qp)	Si	3.1
12.50	-548	2.23E-02	4.02	10.05	32.10	649	0.060	0.060	8 (Qp)	Si	3.4
12.50	-548	2.23E-02	4.02	10.05	32.10	649	0.059	0.059	7 (Fr)	Si	5.0
62.50	-245	2.23E-02	4.02	10.05	32.10	290	0.027	0.027	8 (Qp)	Si	7.5
62.50	-245	2.23E-02	4.02	10.05	32.10	290	0.027	0.027	7 (Fr)	Si	11
112.50	374	2.23E-02	4.02	10.05	32.10	443	0.041	0.041	8 (Qp)	Si	4.9
112.50	374	2.23E-02	4.02	10.05	32.10	443	0.041	0.041	7 (Fr)	Si	7.4
125.00	578	2.23E-02	4.02	10.05	32.10	685	0.063	0.063	8 (Qp)	Si	3.2
125.00	579	2.23E-02	4.02	10.05	32.10	685	0.063	0.063	7 (Fr)	Si	4.8

Trave: 608 [6042,6056], Pilastrate [--,--] Sez. R: By=30.00 cm Bz=30.00 cm L=325.00 cm Ln=325.00 cm Criterio: CLS_TraviAlte

Combinazione Rara: σ_{ca} [kg/cmq]=224 σ_{fa} [kg/cmq]=3600

X	M+	M-	Afsup	Afinf	σ_c+	σ_f+	σ_c-	σ_f-	Cb+	Cb-	Ver.	CS
cm	kg*m	kg*m	cmq	cmq	kg/cmq	kg/cmq	kg/cmq	kg/cmq				
0.00	--	713	4.02	4.02	--	--	-27	845	6	6	Si	4.3
32.50	--	481	4.02	4.02	--	--	-18	569	6	6	Si	6.3
162.50	212	--	4.02	4.02	-8	251	--	--	6	6	Si	14
292.50	524	--	4.02	4.02	-20	620	--	--	6	6	Si	5.8
325.00	542	--	4.02	4.02	-20	642	--	--	6	6	Si	5.6

Combinazione QP: σ_{ca} [kg/cmq]=168 σ_{fa} [kg/cmq]=3600

X	M+	M-	Afsup	Afinf	σ_c+	σ_f+	σ_c-	σ_f-	Cb+	Cb-	Ver.	CS
cm	kg*m	kg*m	cmq	cmq	kg/cmq	kg/cmq	kg/cmq	kg/cmq				
0.00	--	680	4.02	4.02	--	--	-25	805	8	8	Si	4.5
32.50	--	453	4.02	4.02	--	--	-17	536	8	8	Si	6.7
162.50	218	--	4.02	4.02	-8	258	--	--	8	8	Si	14
292.50	509	--	4.02	4.02	-19	603	--	--	8	8	Si	6.0
325.00	522	--	4.02	4.02	-20	619	--	--	8	8	Si	5.8

Verifica aperture fessure:Wamm Freq[mm]=0.300 Wamm Qp[mm]=0.200

X	M	Act	Aft	pAft	$S_{x,max}$	σ_{fmed}	Wd	Wk	Cb	Ver.	Cs
cm	kg*m	mq	cmq	cm	cm	kg/cmq	mm	mm			
0.00	680	2.23E-02	4.02	10.05	32.10	805	0.074	0.074	7 (Fr)	Si	4.1
0.00	680	2.23E-02	4.02	10.05	32.10	805	0.074	0.074	8 (Qp)	Si	2.7
32.50	453	2.23E-02	4.02	10.05	32.10	536	0.049	0.049	8 (Qp)	Si	4.1
32.50	453	2.23E-02	4.02	10.05	32.10	536	0.049	0.049	7 (Fr)	Si	6.1
162.50	-218	2.23E-02	4.02	10.05	32.10	258	0.024	0.024	8 (Qp)	Si	8.4
162.50	-218	2.23E-02	4.02	10.05	32.10	258	0.024	0.024	7 (Fr)	Si	13
292.50	-509	2.23E-02	4.02	10.05	32.10	603	0.055	0.055	8 (Qp)	Si	3.6
292.50	-509	2.23E-02	4.02	10.05	32.10	603	0.055	0.055	7 (Fr)	Si	5.4
325.00	-522	2.23E-02	4.02	10.05	32.10	619	0.057	0.057	8 (Qp)	Si	3.5
325.00	-522	2.23E-02	4.02	10.05	32.10	618	0.057	0.057	7 (Fr)	Si	5.3

Trave: 608 [6056,6061], Pilastrate [--,--] Sez. R: By=30.00 cm Bz=30.00 cm L=125.00 cm Ln=125.00 cm Criterio: CLS_TraviAlte

Combinazione Rara: σ_{ca} [kg/cmq]=224 σ_{fa} [kg/cmq]=3600

X	M+	M-	Afsup	Afinf	σ_c+	σ_f+	σ_c-	σ_f-	Cb+	Cb-	Ver.	CS
cm	kg*m	kg*m	cmq	cmq	kg/cmq	kg/cmq	kg/cmq	kg/cmq				
0.00	608	--	4.02	4.02	-23	720	--	--	6	6	Si	5.0
12.50	563	--	4.02	4.02	-21	666	--	--	6	6	Si	5.4
62.50	217	--	4.02	4.02	-8	257	--	--	6	6	Si	14
112.50	--	470	4.02	4.02	--	--	-18	556	6	6	Si	6.5
125.00	--	694	4.02	4.02	--	--	-26	822	6	6	Si	4.4

Combinazione QP: σ_{ca} [kg/cmq]=168 σ_{fa} [kg/cmq]=3600

X	M+	M-	Afsup	Afinf	σ_c+	σ_f+	σ_c-	σ_f-	Cb+	Cb-	Ver.	CS
cm	kg*m	kg*m	cmq	cmq	kg/cmq	kg/cmq	kg/cmq	kg/cmq				
0.00	587	--	4.02	4.02	-22	695	--	--	8	8	Si	5.2
12.50	539	--	4.02	4.02	-20	639	--	--	8	8	Si	5.6

X	M+	M-	Afsup	Afinf	σ_c+	σ_f+	σ_c-	σ_f-	Cb+	Cb-	Ver.	CS
62.50	197	--	4.02	4.02	-7	233	--	--	8	8	Si	15
112.50	--	461	4.02	4.02	--	--	-17	546	8	8	Si	6.6
125.00	--	675	4.02	4.02	--	--	-25	799	8	8	Si	4.5

Verifica aperture fessure:Wamm Freq[mm]=0.300 Wamm Qp[mm]=0.200

X	M	Act	Aft	pAft	$S_{r,max}$	σ_{fmed}	Wd	Wk	Cb	Ver.	Cs
cm	kg*m	mq	cmq	cm	cm	kg/cmq	mm	mm			
0.00	-587	2.23E-02	4.02	10.05	32.10	695	0.064	0.064	7 (Fr)	Si	4.7
0.00	-587	2.23E-02	4.02	10.05	32.10	695	0.064	0.064	8 (Qp)	Si	3.1
12.50	-539	2.23E-02	4.02	10.05	32.10	639	0.059	0.059	8 (Qp)	Si	3.4
12.50	-539	2.23E-02	4.02	10.05	32.10	638	0.059	0.059	7 (Fr)	Si	5.1
62.50	-197	2.23E-02	4.02	10.05	32.10	233	0.021	0.021	8 (Qp)	Si	9.4
62.50	-197	2.23E-02	4.02	10.05	32.10	233	0.021	0.021	7 (Fr)	Si	14
112.50	461	2.23E-02	4.02	10.05	32.10	546	0.050	0.050	8 (Qp)	Si	4.0
112.50	461	2.23E-02	4.02	10.05	32.10	546	0.050	0.050	7 (Fr)	Si	6.0
125.00	675	2.23E-02	4.02	10.05	32.10	799	0.073	0.073	8 (Qp)	Si	2.7
125.00	675	2.23E-02	4.02	10.05	32.10	799	0.073	0.073	7 (Fr)	Si	4.1

Trave: 609 [6056,6055], Pilastrate [--] Sez. R: By=30.00 cm Bz=30.00 cm L=300.00 cm Ln=300.00 cm Criterio: CLS_TraviAlte

Combinazione Rara: σ_{ca} [kg/cmq]=224 σ_{fa} [kg/cmq]=3600

X	M+	M-	Afsup	Afinf	σ_c+	σ_f+	σ_c-	σ_f-	Cb+	Cb-	Ver.	CS
cm	kg*m	kg*m	cmq	cmq	kg/cmq	kg/cmq	kg/cmq	kg/cmq				
0.00	473	--	4.02	4.02	-18	561	--	--	6	6	Si	6.4
30.00	575	--	4.02	4.02	-21	681	--	--	6	6	Si	5.3
150.00	777	--	4.02	4.02	-29	921	--	--	6	6	Si	3.9
270.00	656	--	4.02	4.02	-24	777	--	--	6	6	Si	4.6
300.00	575	--	4.02	4.02	-21	681	--	--	6	6	Si	5.3

Combinazione QP: σ_{ca} [kg/cmq]=168 σ_{fa} [kg/cmq]=3600

X	M+	M-	Afsup	Afinf	σ_c+	σ_f+	σ_c-	σ_f-	Cb+	Cb-	Ver.	CS
cm	kg*m	kg*m	cmq	cmq	kg/cmq	kg/cmq	kg/cmq	kg/cmq				
0.00	444	--	4.02	4.02	-17	526	--	--	8	8	Si	6.8
30.00	545	--	4.02	4.02	-20	646	--	--	8	8	Si	5.6
150.00	746	--	4.02	4.02	-28	883	--	--	8	8	Si	4.1
270.00	623	--	4.02	4.02	-23	738	--	--	8	8	Si	4.9
300.00	541	--	4.02	4.02	-20	641	--	--	8	8	Si	5.6

Verifica aperture fessure:Wamm Freq[mm]=0.300 Wamm Qp[mm]=0.200

X	M	Act	Aft	pAft	$S_{r,max}$	σ_{fmed}	Wd	Wk	Cb	Ver.	Cs
cm	kg*m	mq	cmq	cm	cm	kg/cmq	mm	mm			
0.00	-444	2.23E-02	4.02	10.05	32.10	526	0.048	0.048	7 (Fr)	Si	6.2
0.00	-444	2.23E-02	4.02	10.05	32.10	526	0.048	0.048	8 (Qp)	Si	4.1
30.00	-545	2.23E-02	4.02	10.05	32.10	646	0.059	0.059	8 (Qp)	Si	3.4
30.00	-545	2.23E-02	4.02	10.05	32.10	646	0.059	0.059	7 (Fr)	Si	5.1
150.00	-746	2.23E-02	4.02	10.05	32.10	883	0.081	0.081	8 (Qp)	Si	2.5
150.00	-746	2.23E-02	4.02	10.05	32.10	884	0.081	0.081	7 (Fr)	Si	3.7
270.00	-623	2.23E-02	4.02	10.05	32.10	738	0.068	0.068	8 (Qp)	Si	3.0
270.00	-623	2.23E-02	4.02	10.05	32.10	738	0.068	0.068	7 (Fr)	Si	4.4
300.00	-541	2.23E-02	4.02	10.05	32.10	641	0.059	0.059	8 (Qp)	Si	3.4
300.00	-541	2.23E-02	4.02	10.05	32.10	641	0.059	0.059	7 (Fr)	Si	5.1

Verifica dei pilastri (Stati limite esercizio)

Scenario di calcolo: **ScenarioNT_ 2018 A2_SLV_SLD_STR_GEO**

Simbologia

Terreno Nome della stratigrafia per travi Winkler
 L [cm] Lunghezza teorica elemento (distanza tra i nodi)
 Ln [cm] Lunghezza netta elemento (tiene conto dei concetti rigidi)
 L2,L3 [cm] Lunghezze libere di inflessione
 Sez. R: Sezione Rettangolare
 By[cm]: Larghezza (asse locale y)
 Bz[cm]: Larghezza (asse locale z)
 Sez. T: Sezione a T (rovescia e non)
 Ba[cm]: Larghezza base inferiore
 Ha[cm]: Altezza inferiore
 Bs[cm]: Larghezza superiore

Sez. L: Sezione	Hs[cm]: Altezza superiore ad L (rovescia e non)
	Ba[cm]: Larghezza base inferiore
	Ha[cm]: Altezza inferiore
	Bs[cm]: Larghezza superiore
Sez. C: Sezione	Hs[cm]: Altezza superiore circolare
	R[cm]: Raggio
Sez. G: Sezione	generica
	B[cm]: Larghezza
	H[cm]: Altezza
X [cm]	Punto di verifica
σ_{ca} [kg/cm ²]	Tensione ammissibile nel cls
σ_{fa} [kg/cm ²]	Tensione ammissibile nell'acciaio
σ_{cta} [kg/cm ²]	Tensione ammissibile a trazione (quando richiesto dalla verifica)
M- [kg*m]	Momento negativo massimo di calcolo
M+ [kg*m]	Momento positivo massimo di calcolo
M [kg*m]	Momento di calcolo (travi a flessione, pilastri circolari)
My [kg*m]	Momento calcolo per verifiche a pressoflessione
Mz [kg*m]	Momento calcolo per verifiche a pressoflessione (Sez. L, Pilastri)
N [kg]	Sforzo normale corrispondente ad My (e Mz per Sez. L, Pilastri)
Afsup [cm ²]	Area di ferro superiore
Afinf [cm ²]	Area di ferro inferiore
Afsin [cm ²]	Area di ferro sinistra (Sez. L)
Afdes [cm ²]	Area di ferro destra (Sez. L)
σ_{c-} [kg/cm ²]	Tensione nel cls compresso per effetto di M-
σ_{cy} [kg/cm ²]	Tensione nel cls compresso per effetto di (N, My) in caso di pressoflessione retta
σ_{cz} [kg/cm ²]	Tensione nel cls compresso per effetto di (N, Mz) in caso di pressoflessione retta
σ_{c+} [kg/cm ²]	Tensione nel cls compresso per effetto di M+
σ_{ct-} [kg/cm ²]	Tensione nel cls teso per effetto di M-
σ_{ct+} [kg/cm ²]	Tensione nel cls teso per effetto di M+
σ_{f-} [kg/cm ²]	Tensione nell'acciaio per effetto di M-
σ_{f+} [kg/cm ²]	Tensione nell'acciaio per effetto di M+
σ_{fy} [kg/cm ²]	Tensione nel acciaio per effetto di (N, My) in caso di pressoflessione retta
σ_{fz} [kg/cm ²]	Tensione nel acciaio per effetto di (N, Mz) in caso di pressoflessione retta
Cb-	Combinazione di carico generatore di M-
Cb+	Combinazione di carico generatore di M+
σ_c [kg/cm ²]	Tensione nel cls per effetto di N My
σ_f [kg/cm ²]	Tensione nell'acciaio per effetto di N My
Cb	Combinazione di carico generatore di N My
Act [m ²]	Area di calcestruzzo teso
Aft [cm ²]	Area di acciaio teso
pAft [cm]	Perimetro area di acciaio teso
S _{r, max} [cm]	Distanza massima delle fessure
σ_{fmed} [kg/cm ²]	Tensione media dell'acciaio
Wd [mm]	Apertura delle fessure
Wk [mm]	Apertura caratteristica delle fessure
Wamm_Freq [mm]	Apertura ammissibile delle fessure per combinazione Frequente
Wamm_Qp [mm]	Apertura ammissibile delle fessure per combinazione Quasi Permanente
Wamm_Rara [mm]	Apertura ammissibile delle fessure per combinazione Rara
Cs	Coefficiente di sicurezza definito come minimo di σ_{Am}/σ tra acciaio e calcestruzzo oppure Wamm/Wk

**POTENZIAMENTO DELL'IMPIANTO DI DEPURAZIONE E
DEL RECAPITO FINALE DI SQUINZANO (LE)
PROGETTO DEFINITIVO
Tabulati di calcolo strutturale-Edificio Grigliatura
Grossolana**

R.37.11

Maggio 2021

Pagina 132 di
183

Pilastro: 4014 [4014,6014] Sez. R: By=40.00 cm Bz=50.00 cm L=540.00 cm Ln=540.00 cm L2=540.00 cm L3=540.00 cm
Criterio: CLS_Pilastri

Zona	Armature		
cm	cmq	cmq	cmq
0.00	AfSpigolo = 3.14	Afy = 3.14	Afz = 3.14
540.00	AfSpigolo = 3.14	Afy = 3.14	Afz = 3.14

Verifica snellezza: fcd=212 [kg/cm²] - **Verificato**

Cb	N	fcd*Ac	v	λmax	λlim
	kg	kg			
6	17240	423300	0.041	46.765	123.877

Combinazione Rara: σca[kg/cm²]=224 σfa[kg/cm²]=3600

X	N	My	Mz	σc	σf	Cb	Ver.	Cs
cm	kg	kg*m	kg*m	kg/cm ²	kg/cm ²			
0.00	-17240	1921	-146	-18	14	6	Si	13
540.00	-14540	-1124	612	-16	14	6	Si	14

Combinazione QP: σca[kg/cm²]=168 σfa[kg/cm²]=3600

X	N	My	Mz	σc	σf	Cb	Ver.	Cs
cm	kg	kg*m	kg*m	kg/cm ²	kg/cm ²			
0.00	-16805	2142	-254	-20	50	8	Si	8.4
540.00	-14105	-1254	641	-17	31	8	Si	10

Verifica aperture fessure:Wamm Freq[mm]=0.300 Wamm Qp[mm]=0.200

X	N	My	Mz	Act	Aft	pAft	S _{r,max}	σfmed	Wd	Wk	Cb	Ver.	Cs
cm	kg	kg*m	kg*m	mq	cmq	cm	cm	kg/cm ²	mm	mm			
0.00	-16775	2046	-221	1.23E-02	9.95	19.90	19.76	20	0.001	0.001	7 (Fr)	Si	>100
0.00	-16805	2142	-254	1.40E-02	10.16	20.32	20.27	30	0.002	0.002	8 (Qp)	Si	>100
540.00	-14105	-1254	641	7.37E-03	4.89	9.79	20.72	31	0.002	0.002	8 (Qp)	Si	>100
540.00	-14075	-1177	621	6.14E-03	4.52	9.05	20.18	23	0.001	0.001	7 (Fr)	Si	>100

Pilastro: 4015 [4015,6015] Sez. R: By=50.00 cm Bz=30.00 cm L=540.00 cm Ln=540.00 cm L2=540.00 cm L3=540.00 cm
Criterio: CLS_Pilastri

Zona	Armature		
cm	cmq	cmq	cmq
0.00	AfSpigolo = 3.14	Afy = 3.14	Afz = 0.00
540.00	AfSpigolo = 3.14	Afy = 3.14	Afz = 0.00

Verifica snellezza: fcd=212 [kg/cm²] - **Verificato**

Cb	N	fcd*Ac	v	λmax	λlim
	kg	kg			
6	11981	317475	0.038	62.354	128.690

Combinazione Rara: σca[kg/cm²]=224 σfa[kg/cm²]=3600

X	N	My	Mz	σc	σf	Cb	Ver.	Cs
cm	kg	kg*m	kg*m	kg/cm ²	kg/cm ²			
0.00	-11981	-599	-223	-15	-24	6	Si	15
540.00	-9956	2175	95	-43	626	6	Si	5.2

Combinazione QP: σca[kg/cm²]=168 σfa[kg/cm²]=3600

X	N	My	Mz	σc	σf	Cb	Ver.	Cs
cm	kg	kg*m	kg*m	kg/cm ²	kg/cm ²			
0.00	-11612	-522	-194	-14	-31	8	Si	12
540.00	-9587	2117	80	-42	613	8	Si	4.0

Verifica aperture fessure:Wamm Freq[mm]=0.300 Wamm Qp[mm]=0.200

X	N	My	Mz	Act	Aft	pAft	S _{r,max}	σfmed	Wd	Wk	Cb	Ver.	Cs
cm	kg	kg*m	kg*m	mq	cmq	cm	cm	kg/cm ²	mm	mm			
0.00	-11697	-552	-196	0.00E00	0.00	0.00	0.00	0	0.000	0.000	7 (Fr)	Si	>100
0.00	-11612	-522	-194	0.00E00	0.00	0.00	0.00	0	0.000	0.000	8 (Qp)	Si	>100

X	N	My	Mz	Act	Aft	pAft	S _{F,max}	σ _{fmed}	Wd	Wk	Cb	Ver.	Cs
540.00	-9587	2117	80	2.99E-02	9.42	18.85	26.70	601	0.046	0.046	8 (Qp)	Si	4.4
540.00	-9672	2139	80	2.99E-02	9.42	18.85	26.71	608	0.046	0.046	7 (Fr)	Si	6.5

Pilastro: 4017 [4017,6017] Sez. R: By=40.00 cm Bz=50.00 cm L=540.00 cm Ln=540.00 cm L2=540.00 cm L3=540.00 cm
Criterio: CLS_Pilastri

Zona	Armature		
cm	cmq	cmq	cmq
0.00	AfSpigolo = 3.14	Afy = 3.14	Afz = 3.14
540.00	AfSpigolo = 3.14	Afy = 3.14	Afz = 3.14

Verifica snellezza: fcd=212 [kg/cmq] - **Verificato**

Cb	N	fcd*Ac	v	λ _{max}	λ _{lim}
	kg	kg			
6	17034	423300	0.040	46.765	124.625

Combinazione Rara: σ_{ca}[kg/cmq]=224 σ_{fa}[kg/cmq]=3600

X	N	My	Mz	σ _c	σ _f	Cb	Ver.	Cs
cm	kg	kg*m	kg*m	kg/cmq	kg/cmq			
0.00	-17034	1486	379	-17	1	6	Si	13
540.00	-14334	-755	-672	-14	-4	6	Si	16

Combinazione QP: σ_{ca}[kg/cmq]=168 σ_{fa}[kg/cmq]=3600

X	N	My	Mz	σ _c	σ _f	Cb	Ver.	Cs
cm	kg	kg*m	kg*m	kg/cmq	kg/cmq			
0.00	-16534	1610	438	-18	19	8	Si	9.4
540.00	-13834	-808	-700	-14	5	8	Si	12

Verifica aperture fessure:Wamm Freq[mm]=0.300 Wamm Qp[mm]=0.200

X	N	My	Mz	Act	Aft	pAft	S _{F,max}	σ _{fmed}	Wd	Wk	Cb	Ver.	Cs
cm	kg	kg*m	kg*m	mq	cmq	cm	cm	kg/cmq	mm	mm			
0.00	-16530	1550	420	4.98E-03	4.06	8.12	19.71	13	0.001	0.001	7 (Fr)	Si	>100
0.00	-16534	1610	438	5.98E-03	4.44	8.87	20.15	19	0.001	0.001	8 (Qp)	Si	>100
540.00	-13834	-808	-700	3.32E-03	3.48	6.96	18.73	5	0.000	0.000	8 (Qp)	Si	>100
540.00	-13830	-761	-684	2.65E-03	3.18	6.36	18.30	1	0.000	0.000	7 (Fr)	Si	>100

Pilastro: 4040 [4040,6040] Sez. R: By=40.00 cm Bz=50.00 cm L=540.00 cm Ln=540.00 cm L2=540.00 cm L3=540.00 cm
Criterio: CLS_Pilastri

Zona	Armature		
cm	cmq	cmq	cmq
0.00	AfSpigolo = 3.14	Afy = 3.14	Afz = 3.14
540.00	AfSpigolo = 3.14	Afy = 3.14	Afz = 3.14

Verifica snellezza: fcd=212 [kg/cmq] - **Verificato**

Cb	N	fcd*Ac	v	λ _{max}	λ _{lim}
	kg	kg			
6	24367	423300	0.058	46.765	104.199

Combinazione Rara: σ_{ca}[kg/cmq]=224 σ_{fa}[kg/cmq]=3600

X	N	My	Mz	σ _c	σ _f	Cb	Ver.	Cs
cm	kg	kg*m	kg*m	kg/cmq	kg/cmq			
0.00	-24367	1884	-1810	-33	105	6	Si	6.9
540.00	-21667	-1677	3690	-52	522	6	Si	4.3

Combinazione QP: σ_{ca}[kg/cmq]=168 σ_{fa}[kg/cmq]=3600

X	N	My	Mz	σ _c	σ _f	Cb	Ver.	Cs
cm	kg	kg*m	kg*m	kg/cmq	kg/cmq			
0.00	-23013	2102	-1822	-34	148	8	Si	4.9
540.00	-20313	-1933	3476	-52	539	8	Si	3.2

**POTENZIAMENTO DELL'IMPIANTO DI DEPURAZIONE E
DEL RECAPITO FINALE DI SQUINZANO (LE)
PROGETTO DEFINITIVO
Tabulati di calcolo strutturale-Edificio Grigliatura
Grossolana**

R.37.11

Maggio 2021

Pagina 134 di
183

Verifica aperture fessure: Wamm Freq[mm]=0.300 Wamm Qp[mm]=0.200

X	N	My	Mz	Act	Aft	pAft	S _{r,max}	σ _{fmed}	Wd	Wk	Cb	Ver.	Cs
cm	kg	kg*m	kg*m	mq	cmq	cm	cm	kg/cmq	mm	mm			
0.00	-23099	2031	-1785	1.37E-02	6.30	12.60	23.13	68	0.005	0.005	7 (Fr)	Si	66
0.00	-23013	2102	-1822	1.46E-02	6.49	12.98	23.42	55	0.004	0.004	8 (Qp)	Si	54
540.00	-20313	-1933	3476	3.26E-02	12.46	24.93	24.71	314	0.022	0.022	8 (Qp)	Si	9.0
540.00	-20399	-1863	3458	3.23E-02	12.43	24.85	24.66	304	0.021	0.021	7 (Fr)	Si	14

Pilastro: 4043 [5043,6043] Sez. R: By=40.00 cm Bz=50.00 cm L=492.00 cm Ln=492.00 cm L2=492.00 cm L3=492.00 cm
Criterio: CLS_Pilastri

Zona	Armature		
cm	cmq	cmq	cmq
0.00	AfSpigolo = 3.14	Afy = 3.14	Afz = 3.14
492.00	AfSpigolo = 3.14	Afy = 3.14	Afz = 3.14

Verifica snellezza: fcd=212 [kg/cmq] - **Verificato**

Cb	N	fcd*Ac	v	λ _{max}	λ _{lim}
	kg	kg			
6	23807	423300	0.056	42.608	105.417

Combinazione Rara: σ_{ca}[kg/cmq]=224 σ_{fa}[kg/cmq]=3600

X	N	My	Mz	σ _c	σ _f	Cb	Ver.	Cs
cm	kg	kg*m	kg*m	kg/cmq	kg/cmq			
0.00	-23807	1890	1395	-29	65	6	Si	7.7
492.00	-21347	-1601	-3569	-50	491	6	Si	4.4

Combinazione QP: σ_{ca}[kg/cmq]=168 σ_{fa}[kg/cmq]=3600

X	N	My	Mz	σ _c	σ _f	Cb	Ver.	Cs
cm	kg	kg*m	kg*m	kg/cmq	kg/cmq			
0.00	-22561	2068	1368	-30	92	8	Si	5.7
492.00	-20101	-1822	-3366	-50	502	8	Si	3.4

Verifica aperture fessure: Wamm Freq[mm]=0.300 Wamm Qp[mm]=0.200

X	N	My	Mz	Act	Aft	pAft	S _{r,max}	σ _{fmed}	Wd	Wk	Cb	Ver.	Cs
cm	kg	kg*m	kg*m	mq	cmq	cm	cm	kg/cmq	mm	mm			
0.00	-22622	2014	1345	1.01E-02	5.56	11.12	21.84	83	0.005	0.005	7 (Fr)	Si	58
0.00	-22561	2068	1368	1.08E-02	5.73	11.46	22.09	92	0.006	0.006	8 (Qp)	Si	34
492.00	-20101	-1822	-3366	3.20E-02	12.39	24.78	24.61	290	0.020	0.020	8 (Qp)	Si	9.8
492.00	-20162	-1769	-3348	3.18E-02	12.36	24.72	24.56	282	0.020	0.020	7 (Fr)	Si	15

Pilastro: 4059 [4059,6059] Sez. R: By=40.00 cm Bz=50.00 cm L=540.00 cm Ln=540.00 cm L2=540.00 cm L3=540.00 cm
Criterio: CLS_Pilastri

Zona	Armature		
cm	cmq	cmq	cmq
0.00	AfSpigolo = 3.14	Afy = 3.14	Afz = 3.14
540.00	AfSpigolo = 3.14	Afy = 3.14	Afz = 3.14

Verifica snellezza: fcd=212 [kg/cmq] - **Verificato**

Cb	N	fcd*Ac	v	λ _{max}	λ _{lim}
	kg	kg			
6	28179	423300	0.067	46.765	96.896

Combinazione Rara: σ_{ca}[kg/cmq]=224 σ_{fa}[kg/cmq]=3600

X	N	My	Mz	σ _c	σ _f	Cb	Ver.	Cs
cm	kg	kg*m	kg*m	kg/cmq	kg/cmq			
0.00	-28179	2199	-1868	-36	97	6	Si	6.2
540.00	-25479	-2372	3843	-59	533	6	Si	3.8

**POTENZIAMENTO DELL'IMPIANTO DI DEPURAZIONE E
DEL RECAPITO FINALE DI SQUINZANO (LE)
PROGETTO DEFINITIVO
Tabulati di calcolo strutturale-Edificio Grigliatura
Grossolana**

R.37.11

Maggio 2021

Pagina 135 di
183

Combinazione QP: σ_{ca} [kg/cmq]=168 σ_{fa} [kg/cmq]=3600

X	N	My	Mz	σ_c	σ_f	Cb	Ver.	Cs
cm	kg	kg*m	kg*m	kg/cmq	kg/cmq			
0.00	-27110	2265	-1847	-36	113	8	Si	4.7
540.00	-24410	-2399	3551	-56	494	8	Si	3.0

Verifica aperture fessure:Wamm Freq[mm]=0.300 Wamm Qp[mm]=0.200

X	N	My	Mz	Act	Aft	pAft	$S_{r,max}$	σ_{fmed}	Wd	Wk	Cb	Ver.	Cs
cm	kg	kg*m	kg*m	mq	cmq	cm	cm	kg/cmq	mm	mm			
0.00	-27115	2225	-1813	1.05E-02	5.62	11.23	22.02	105	0.007	0.007	7 (Fr)	Si	45
0.00	-27110	2265	-1847	1.10E-02	5.74	11.47	22.21	113	0.007	0.007	8 (Qp)	Si	28
540.00	-24410	-2399	3551	2.93E-02	12.02	24.04	24.07	254	0.017	0.017	8 (Qp)	Si	11
540.00	-24415	-2360	3539	2.91E-02	12.00	24.00	24.04	249	0.017	0.017	7 (Fr)	Si	18

Pilastro: 4062 [5062,6062] Sez. R: By=40.00 cm Bz=50.00 cm L=492.00 cm Ln=492.00 cm L2=492.00 cm L3=492.00 cm
Criterio: CLS_Pilastri

Zona	Armature
cm	cmq
0.00	AfSpigolo = 3.14
492.00	AfSpigolo = 3.14

Verifica snellezza: fcd=212 [kg/cmq] - **Verificato**

Cb	N	fcd*Ac	v	λ_{max}	λ_{lim}
	kg	kg			
6	28912	423300	0.068	42.608	95.659

Combinazione Rara: σ_{ca} [kg/cmq]=224 σ_{fa} [kg/cmq]=3600

X	N	My	Mz	σ_c	σ_f	Cb	Ver.	Cs
cm	kg	kg*m	kg*m	kg/cmq	kg/cmq			
0.00	-28912	2464	1605	-36	84	6	Si	6.3
492.00	-26452	-2849	-3808	-62	559	6	Si	3.6

Combinazione QP: σ_{ca} [kg/cmq]=168 σ_{fa} [kg/cmq]=3600

X	N	My	Mz	σ_c	σ_f	Cb	Ver.	Cs
cm	kg	kg*m	kg*m	kg/cmq	kg/cmq			
0.00	-27952	2576	1540	-36	98	8	Si	4.7
492.00	-25492	-2933	-3519	-60	528	8	Si	2.8

Verifica aperture fessure:Wamm Freq[mm]=0.300 Wamm Qp[mm]=0.200

X	N	My	Mz	Act	Aft	pAft	$S_{r,max}$	σ_{fmed}	Wd	Wk	Cb	Ver.	Cs
cm	kg	kg*m	kg*m	mq	cmq	cm	cm	kg/cmq	mm	mm			
0.00	-27922	2520	1520	9.33E-03	5.39	10.78	21.53	91	0.006	0.006	7 (Fr)	Si	54
0.00	-27952	2576	1540	9.81E-03	5.51	11.02	21.71	98	0.006	0.006	8 (Qp)	Si	33
492.00	-25492	-2933	-3519	2.89E-02	11.96	23.93	23.99	256	0.018	0.018	8 (Qp)	Si	11
492.00	-25462	-2873	-3506	2.87E-02	11.94	23.88	23.96	250	0.017	0.017	7 (Fr)	Si	17

Pilastro: 4085 [4085,6085] Sez. R: By=40.00 cm Bz=50.00 cm L=540.00 cm Ln=540.00 cm L2=540.00 cm L3=540.00 cm
Criterio: CLS_Pilastri

Zona	Armature
cm	cmq
0.00	AfSpigolo = 3.14
540.00	AfSpigolo = 3.14

Verifica snellezza: fcd=212 [kg/cmq] - **Verificato**

Cb	N	fcd*Ac	v	λ_{max}	λ_{lim}
	kg	kg			
6	21423	423300	0.051	46.765	111.127

Combinazione Rara: $\sigma_{ca}[\text{kg/cm}^2]=224$ $\sigma_{fa}[\text{kg/cm}^2]=3600$

X	N	My	Mz	σ_c	σ_f	Cb	Ver.	Cs
cm	kg	kg*m	kg*m	kg/cm ²	kg/cm ²			
0.00	-21423	-1046	176	-15	-66	6	Si	15
540.00	-18723	381	-674	-14	-54	6	Si	16

Combinazione QP: $\sigma_{ca}[\text{kg/cm}^2]=168$ $\sigma_{fa}[\text{kg/cm}^2]=3600$

X	N	My	Mz	σ_c	σ_f	Cb	Ver.	Cs
cm	kg	kg*m	kg*m	kg/cm ²	kg/cm ²			
0.00	-19785	-1192	66	-14	-55	8	Si	12
540.00	-17085	566	-692	-14	-32	8	Si	12

Verifica aperture fessure: Wamm Freq[mm]=0.300 Wamm Qp[mm]=0.200

X	N	My	Mz	Act	Aft	pAft	$S_{x,max}$	σ_{fmed}	Wd	Wk	Cb	Ver.	Cs
cm	kg	kg*m	kg*m	mq	cmq	cm	cm	kg/cm ²	mm	mm			
0.00	-19929	-1136	109	0.00E00	0.00	0.00	0.00	0	0.000	0.000	7 (Fr)	Si	>100
0.00	-19785	-1192	66	0.00E00	0.00	0.00	0.00	0	0.000	0.000	8 (Qp)	Si	>100
540.00	-17085	566	-692	0.00E00	0.00	0.00	0.00	0	0.000	0.000	8 (Qp)	Si	>100
540.00	-17229	509	-717	0.00E00	0.00	0.00	0.00	0	0.000	0.000	7 (Fr)	Si	>100

Pilastro: 4090 [5090,6090] Sez. R: By=40.00 cm Bz=50.00 cm L=492.00 cm Ln=492.00 cm L2=492.00 cm L3=492.00 cm
Criterio: CLS_Pilastri

Zona	Armature		
cm	cmq	cmq	cmq
0.00	AfSpigolo = 3.14	Afy = 3.14	Afz = 3.14
492.00	AfSpigolo = 3.14	Afy = 3.14	Afz = 3.14

Verifica snellezza: $f_{cd}=212$ [kg/cm²] - **Verificato**

Cb	N	$f_{cd} \cdot A_c$	v	λ_{max}	λ_{lim}
	kg	kg			
6	19673	423300	0.046	42.608	115.966

Combinazione Rara: $\sigma_{ca}[\text{kg/cm}^2]=224$ $\sigma_{fa}[\text{kg/cm}^2]=3600$

X	N	My	Mz	σ_c	σ_f	Cb	Ver.	Cs
cm	kg	kg*m	kg*m	kg/cm ²	kg/cm ²			
0.00	-19673	-568	-258	-13	-76	6	Si	18
492.00	-17213	276	716	-13	-47	6	Si	17

Combinazione QP: $\sigma_{ca}[\text{kg/cm}^2]=168$ $\sigma_{fa}[\text{kg/cm}^2]=3600$

X	N	My	Mz	σ_c	σ_f	Cb	Ver.	Cs
cm	kg	kg*m	kg*m	kg/cm ²	kg/cm ²			
0.00	-17865	-700	-193	-12	-62	8	Si	14
492.00	-15405	484	706	-13	-25	8	Si	13

Verifica aperture fessure: Wamm Freq[mm]=0.300 Wamm Qp[mm]=0.200

X	N	My	Mz	Act	Aft	pAft	$S_{x,max}$	σ_{fmed}	Wd	Wk	Cb	Ver.	Cs
cm	kg	kg*m	kg*m	mq	cmq	cm	cm	kg/cm ²	mm	mm			
0.00	-18070	-656	-223	0.00E00	0.00	0.00	0.00	0	0.000	0.000	7 (Fr)	Si	>100
0.00	-17865	-700	-193	0.00E00	0.00	0.00	0.00	0	0.000	0.000	8 (Qp)	Si	>100
492.00	-15405	484	706	0.00E00	0.00	0.00	0.00	0	0.000	0.000	8 (Qp)	Si	>100
492.00	-15610	424	739	0.00E00	0.00	0.00	0.00	0	0.000	0.000	7 (Fr)	Si	>100

Pilastro: 4100 [4100,6100] Sez. R: By=40.00 cm Bz=50.00 cm L=540.00 cm Ln=540.00 cm L2=540.00 cm L3=540.00 cm
Criterio: CLS_Pilastri

Zona	Armature		
cm	cmq	cmq	cmq
0.00	AfSpigolo = 3.14	Afy = 3.14	Afz = 3.14
540.00	AfSpigolo = 3.14	Afy = 3.14	Afz = 3.14

Verifica snellezza: $f_{cd}=212$ [kg/cm²] - **Verificato**

Cb	N	$f_{cd} \cdot A_c$	v	λ_{max}	λ_{lim}
	kg	kg			
6	16899	423300	0.040	46.765	125.121

Combinazione Rara: σ_{ca} [kg/cmq]=224 σ_{fa} [kg/cmq]=3600

X	N	My	Mz	σ_c	σ_f	Cb	Ver.	Cs
cm	kg	kg*m	kg*m	kg/cmq	kg/cmq			
0.00	-16899	-3835	1144	-43	459	6	Si	5.2
540.00	-14199	3899	-1320	-46	593	6	Si	4.8

Combinazione QP: σ_{ca} [kg/cmq]=168 σ_{fa} [kg/cmq]=3600

X	N	My	Mz	σ_c	σ_f	Cb	Ver.	Cs
cm	kg	kg*m	kg*m	kg/cmq	kg/cmq			
0.00	-16475	-4106	1103	-45	525	8	Si	3.7
540.00	-13775	4066	-1320	-48	646	8	Si	3.5

Verifica aperture fessure:Wamm Freq[mm]=0.300 Wamm Qp[mm]=0.200

X	N	My	Mz	Act	Aft	pAft	$S_{x,max}$	σ_{fmed}	Wd	Wk	Cb	Ver.	Cs
cm	kg	kg*m	kg*m	mq	cmq	cm	cm	kg/cmq	mm	mm			
0.00	-16442	-3982	1106	3.38E-02	12.62	25.24	24.93	314	0.022	0.022	7 (Fr)	Si	13
0.00	-16475	-4106	1103	3.42E-02	12.68	25.36	25.02	335	0.024	0.024	8 (Qp)	Si	8.3
540.00	-13775	4066	-1320	3.73E-02	13.06	26.12	25.58	421	0.031	0.031	8 (Qp)	Si	6.5
540.00	-13742	3964	-1315	3.70E-02	13.02	26.05	25.53	403	0.029	0.029	7 (Fr)	Si	10

Pilastro: 4102 [4102,6102] Sez. R: By=50.00 cm Bz=30.00 cm L=540.00 cm Ln=540.00 cm L2=540.00 cm L3=540.00 cm
Criterio: CLS_Pilastri

Zona	Armature
cm	cmq
0.00	AfSpigolo = 3.14
540.00	AfSpigolo = 3.14

Verifica snellezza: fcd=212 [kg/cmq] - **Verificato**

Cb	N	fcd*Ac	v	λ_{max}	λ_{lim}
	kg	kg			
6	6431	317475	0.020	62.354	175.650

Combinazione Rara: σ_{ca} [kg/cmq]=224 σ_{fa} [kg/cmq]=3600

X	N	My	Mz	σ_c	σ_f	Cb	Ver.	Cs
cm	kg	kg*m	kg*m	kg/cmq	kg/cmq			
0.00	-6431	-902	158	-19	175	6	Si	12
540.00	-4406	372	-102	-8	23	6	Si	28

Combinazione QP: σ_{ca} [kg/cmq]=168 σ_{fa} [kg/cmq]=3600

X	N	My	Mz	σ_c	σ_f	Cb	Ver.	Cs
cm	kg	kg*m	kg*m	kg/cmq	kg/cmq			
0.00	-6169	-998	216	-22	239	8	Si	7.7
540.00	-4144	439	-146	-10	58	8	Si	17

Verifica aperture fessure:Wamm Freq[mm]=0.300 Wamm Qp[mm]=0.200

X	N	My	Mz	Act	Aft	pAft	$S_{x,max}$	σ_{fmed}	Wd	Wk	Cb	Ver.	Cs
cm	kg	kg*m	kg*m	mq	cmq	cm	cm	kg/cmq	mm	mm			
0.00	-6230	-959	200	2.64E-02	9.42	18.85	25.38	189	0.014	0.014	7 (Fr)	Si	22
0.00	-6169	-998	216	2.70E-02	9.42	18.85	25.61	210	0.015	0.015	8 (Qp)	Si	13
540.00	-4144	439	-146	2.01E-02	9.42	18.85	22.99	42	0.003	0.003	8 (Qp)	Si	73
540.00	-4205	412	-134	1.83E-02	9.42	18.85	22.29	30	0.002	0.002	7 (Fr)	Si	>100

Pilastro: 4104 [4104,6104] Sez. R: By=40.00 cm Bz=50.00 cm L=540.00 cm Ln=540.00 cm L2=540.00 cm L3=540.00 cm
Criterio: CLS_Pilastri

Zona	Armature
cm	cmq
0.00	AfSpigolo = 3.14

Zona	Armature		
540.00	AfSpigolo = 3.14	Afy = 3.14	Afz = 3.14

Verifica snellezza: $f_{cd}=212$ [kg/cm²] - **Verificato**

Cb	N	$f_{cd} \cdot A_c$	v	λ_{max}	λ_{lim}
	kg	kg			
6	17571	423300	0.042	46.765	122.707

Combinazione Rara: σ_{ca} [kg/cm²]=224 σ_{fa} [kg/cm²]=3600

X	N	My	Mz	σ_c	σ_f	Cb	Ver.	Cs
cm	kg	kg*m	kg*m	kg/cm ²	kg/cm ²			
0.00	-17571	-4417	-1287	-50	586	6	Si	4.5
540.00	-14871	4527	1371	-52	720	6	Si	4.3

Combinazione QP: σ_{ca} [kg/cm²]=168 σ_{fa} [kg/cm²]=3600

X	N	My	Mz	σ_c	σ_f	Cb	Ver.	Cs
cm	kg	kg*m	kg*m	kg/cm ²	kg/cm ²			
0.00	-17245	-4750	-1236	-52	664	8	Si	3.2
540.00	-14545	4772	1340	-54	783	8	Si	3.1

Verifica aperture fessure: Wamm Freq[mm]=0.300 Wamm Qp[mm]=0.200

X	N	My	Mz	Act	Aft	pAft	$S_{x,max}$	σ_{fmed}	Wd	Wk	Cb	Ver.	Cs
cm	kg	kg*m	kg*m	m ²	cm ²	cm	cm	kg/cm ²	mm	mm			
0.00	-17180	-4605	-1240	3.55E-02	12.84	25.68	25.26	413	0.030	0.030	7 (Fr)	Si	10
0.00	-17245	-4750	-1236	3.59E-02	12.89	25.77	25.33	437	0.032	0.032	8 (Qp)	Si	6.3
540.00	-14545	4772	1340	3.84E-02	13.20	26.41	25.78	530	0.039	0.039	8 (Qp)	Si	5.1
540.00	-14480	4644	1342	3.82E-02	13.17	26.35	25.74	508	0.037	0.037	7 (Fr)	Si	8.0

Verifica dei Muri in calcestruzzo

Scenario di calcolo: **ScenarioNT_2018 A2_SLV_SLD_STR_GEO**

Simbologia:

Muro	Indice del muro in verifica
Nodi	[n1-n2-n3-n4...] Indici dei nodi di attacco del muro
Pann.X	Numero di pannelli in direzione locale X del muro (per muri a pannelli)
Pann.Y	Numero di pannelli in direzione locale Y del muro (per muri a pannelli)
Pann	Numero totale di pannelli (per muri a mesh)
Spess [cm]	Spessore del muro
Criterio	Criterio di verifica adottato per la verifica
Pannello	Indice del pannello
Nx [kg]	Sforzo in direzione x locale per metro lineare ($N_x = s_{xx} \cdot \text{spessore}$)
Ny [kg]	Sforzo in direzione y locale per metro lineare ($N_y = s_{yy} \cdot \text{spessore}$)
Nxy [kg]	Sforzo tagliante locale per metro lineare ($N_{xy} = s_{xy} \cdot \text{spessore}$)
Mx [kg*m]	Momento in direzione x locale per metro lineare
My [kg*m]	Momento in direzione y locale per metro lineare
Mxy [kg*m]	Momento torcente locale per metro lineare
Ax [mq]	Armatura totale pannello in direzione x locale ⁽¹⁾
Ay [mq]	Armatura totale pannello in direzione y locale ⁽¹⁾
ϵ_c	Deformazione nel cls ⁽²⁾
ϵ_f	Deformazione nell'acciaio ⁽²⁾
Massimi	Armature massime riscontrate nel muro
Massimo	massima sigma ideale riscontrata nel muro
$\sigma_{id+}, \sigma_{id-}$ [N/mm ²]	$(\sigma_x^2 + \sigma_y^2 - \sigma_x \cdot \sigma_y + 3 \cdot \tau_{xy}^2)^{1/2}$ Tensioni ideali ai lembi della lastra (Acciaio)
$\sigma_{id+}, \sigma_{id-}$ [kg/cm ²]	$(\sigma_x^2 + \sigma_y^2 - \sigma_x \cdot \sigma_y + 3 \cdot \tau_{xy}^2)^{1/2}$ Tensioni ideali ai lembi della lastra (Legno)
Fatt.Ampl.Sisma	Fattore moltiplicativo di gruppo per le azioni sismiche (solo se diverso da 1.0)
Cs	Coefficiente di sicurezza definito dal rapporto $ M_r(N) / M_d $ ($M_r(N)$ =Momento resistente corrispondente allo sforzo normale N , M_d =momento agente), quando richiesto dal criterio di verifica
ζ_s	Livello di sicurezza sismico definito come rapporto tra l'accelerazione sopportabile e l'accelerazione di progetto, quando richiesto dal criterio di verifica

Note Verifica muri:

⁽¹⁾: Le armature Ax ed Ay vanno intese come a metro lineare di pannello.

⁽²⁾: Le deformazioni sono stampate a meno del fattore 10^{-3} ; esse si riferiscono alla verifica considerando quali sollecitazioni di progetto $M_x, d=M_x \pm M_{xy}, M_y, d=M_y \pm M_{xy}$ scegliendo il segno in modo tale da rendere massimo in valore assoluto il relativo momento flettente, le sollecitazioni stampate si riferiscono alle sollecitazioni in una data combinazione riferite al sistema locale del pannello

**POTENZIAMENTO DELL'IMPIANTO DI DEPURAZIONE E
DEL RECAPITO FINALE DI SQUINZANO (LE)
PROGETTO DEFINITIVO
Tabulati di calcolo strutturale-Edificio Grigliatura
Grossolana**

R.37.11

Maggio 2021

Pagina 140 di
183

Muro [Platea]: 1 - Nodi: [4006-4019-4017-4005]Pann=4Spess.=50 cm, Terreno=DefTerr_70882, ,Criterio=CLS_Platee_ND, Materiale=C35/45, $\zeta_e=7.783$ [(4+5)-III-2] : **Verificato**

Armatura a maglia doppia

Pannello	Nx	Ny	Nxy	Mx	My	Mxy	Ax	Ay	C	Cs
	kg	kg	kg	kg*m	kg*m	kg*m	cmq	cmq		
1	1601	3352	-2910	-115	-186	276	31.42	31.42	(4+5)-I-3	54
2	1006	10765	-4408	88	-985	322	31.42	31.42	(4+5)-III-3	18
3	12477	562	-4338	-1219	21	392	31.42	31.42	(4+5)-VI-3	14
4	159	-10045	-15482	-255	907	1245	31.42	31.42	(4+5)-III-3	13
Massimi/minimi										
1							31.42			
1								31.42		
4										13

Muro [Platea]: 2 - Nodi: [4005-4017-4016-4004]Pann=8Spess.=50 cm, Terreno=DefTerr_70882, ,Criterio=CLS_Platee_ND, Materiale=C35/45, $\zeta_e=2.230$ [(4+5)-I-4] : **Verificato**

Armatura a maglia doppia

Pannello	Nx	Ny	Nxy	Mx	My	Mxy	Ax	Ay	C	Cs
	kg	kg	kg	kg*m	kg*m	kg*m	cmq	cmq		
1	754	21375	-3527	83	-2349	-214	31.42	31.42	(4+5)-III-3	8.2
2	925	16895	-4793	182	-1229	-479	31.42	31.42	(4+5)-III-3	13
3	3	-13482	-3248	102	1217	291	31.42	31.42	(4+5)-III-2	19
4	-759	-8459	-2158	48	719	223	31.42	31.42	(4+5)-III-2	29
5	4183	36565	-11810	-749	-3717	1647	31.42	31.42	(4+5)-I-4	3.3
6	-358	16511	-51	-99	-1177	990	31.42	31.42	(4+5)-I-4	10
7	-144	-5770	-6032	-16	592	1101	31.42	31.42	(4+5)-VI-2	16
8	1417	-5045	-6147	-12	607	695	31.42	31.42	(4+5)-VI-2	20
Massimi/minimi										
1							31.42			
1								31.42		
5										3.3

Muro [Platea]: 3 - Nodi: [4004-4016-4015-4003]Pann=12Spess.=50 cm, Terreno=DefTerr_70882, ,Criterio=CLS_Platee_ND, Materiale=C35/45, $\zeta_e=2.769$ [(4+5)-III-2] : **Verificato**

Armatura a maglia doppia

Pannello	Nx	Ny	Nxy	Mx	My	Mxy	Ax	Ay	C	Cs
	kg	kg	kg	kg*m	kg*m	kg*m	cmq	cmq		
1	1321	-4609	-1175	68	467	270	31.42	31.42	(4+5)-III-2	36
2	334	1602	-1180	118	-79	326	31.42	31.42	(4+5)-I-1	57
3	740	7475	-1109	88	-557	391	31.42	31.42	(4+5)-I-1	25
4	1208	15295	-1293	91	-1193	532	31.42	31.42	(4+5)-I-1	13
5	1378	25504	-864	218	-2086	642	31.42	31.42	(4+5)-I-1	7.4
6	-713	29801	-316	106	-2696	298	31.42	31.42	(4+5)-I-1	6.5
7	157	396	-4100	-205	-266	615	31.42	31.42	(4+5)-III-3	29
8	1263	-771	-6070	-284	51	728	31.42	31.42		3
9	932	6462	-4794	-232	-532	554	31.42	31.42	(4+5)-VIII-1	22
10	715	15152	-6359	-228	-1170	265	31.42	31.42	(4+5)-III-1	16
11	-642	27669	-6760	-277	-2332	303	31.42	31.42	(4+5)-I-1	7.5
12	1939	38008	2877	-305	-3518	-558	31.42	31.42	(4+5)-III-2	4.3
Massimi/minimi										
1							31.42			
1								31.42		
12										4.3

Muro [Platea]: 4 - Nodi: [4003-4015-4014-4002]Pann=12Spess.=50 cm, Terreno=DefTerr_70882, ,Criterio=CLS_Platee_ND, Materiale=C35/45, $\zeta_e=3.402$ [(4+5)-III-2] : **Verificato**

Armatura a maglia doppia

**POTENZIAMENTO DELL'IMPIANTO DI DEPURAZIONE E
DEL RECAPITO FINALE DI SQUINZANO (LE)
PROGETTO DEFINITIVO
Tabulati di calcolo strutturale-Edificio Grigliatura
Grossolana**

R.37.11

Maggio 2021

Pagina 141 di
183

Pannello	Nx	Ny	Nxy	Mx	My	Mxy	Ax	Ay	C	Cs
	kg	kg	kg	kg*m	kg*m	kg*m	cmq	cmq		
1	-432	11913	-377	21	-1230	-404	31.42	31.42	(4+5)-IV-3	14
2	1287	-15999	-377	71	1543	-355	31.42	31.42	1	15
3	199	-21177	1027	97	1890	-32	31.42	31.42	1	15
4	-17	-21330	1978	76	1861	-12	31.42	31.42	(4+5)-I-4	16
5	464	-21452	3153	78	1893	86	31.42	31.42	(4+5)-I-4	15
6	3148	17235	6416	49	-1729	-129	31.42	31.42	(4+5)-III-2	12
7	1378	16677	-457	-210	-1718	522	31.42	31.42	(4+5)-III-3	9.9
8	509	-14874	3461	-171	1424	18	31.42	31.42	1	20
9	278	-21013	1253	-108	1851	-168	31.42	31.42	1	15
10	348	-19002	2879	-27	1656	-671	31.42	31.42	(4+5)-VII-4	13
11	-65	14732	3904	-54	-1185	-1115	31.42	31.42	(4+5)-III-2	9.8
12	3010	22346	10796	-643	-2205	-1398	31.42	31.42	(4+5)-III-2	5.8
Massimi/minimi										
1							31.42			
1								31.42		
12										5.8

Muro [Platea]: 5 - Nodi: [4002-4014-4012-4001]Pann=4Spess.=50 cm, Terreno=DefTerr_70882, ,Criterio=CLS_Platee_ND, Materiale=C35/45, $\zeta_e=11.464$ [(4+5)-I-4] : **Verificato**

Armatura a maglia doppia

Pannello	Nx	Ny	Nxy	Mx	My	Mxy	Ax	Ay	C	Cs
	kg	kg	kg	kg*m	kg*m	kg*m	cmq	cmq		
1	448	5331	2878	40	-486	-230	31.42	31.42	(4+5)-V-1	34
2	1609	73	-918	131	174	-121	31.42	31.42	(4+5)-I-4	86
3	6397	10624	350	-690	-1173	143	31.42	31.42	(4+5)-I-4	18
4	6799	1134	2189	-722	11	-207	31.42	31.42	(4+5)-VII-1	26
Massimi/minimi										
1							31.42			
1								31.42		
3										18

Muro [Platea]: 6 - Nodi: [4014-4040-4038-4012]Pann=16Spess.=50 cm, Terreno=DefTerr_70882, ,Criterio=CLS_Platee_ND, Materiale=C35/45, $\zeta_e=3.726$ [(4+5)-IV-3] : **Verificato**

Armatura a maglia doppia

Pannello	Nx	Ny	Nxy	Mx	My	Mxy	Ax	Ay	C	Cs
	kg	kg	kg	kg*m	kg*m	kg*m	cmq	cmq		
1	22792	4557	10307	-2364	-753	-1288	31.42	31.42	(4+5)-IV-3	5.7
2	13317	2595	5037	-1538	54	-89	31.42	31.42	(4+5)-IV-3	14
3	15530	-1063	3364	-1277	-25	-932	31.42	31.42	(4+5)-IV-3	10
4	15151	463	3286	-1194	160	187	31.42	31.42	(4+5)-VIII-1	16
5	-11597	17	3879	1121	66	-758	31.42	31.42	(4+5)-VI-4	15
6	12883	173	2661	-981	50	138	31.42	31.42	(4+5)-VIII-1	20
7	-10297	-336	4079	1023	69	-519	31.42	31.42	(4+5)-VI-4	18
8	-10928	12	2498	1070	45	-148	31.42	31.42	(4+5)-VIII-4	23
9	10516	46	-417	-816	-68	80	31.42	31.42	(4+5)-VI-1	26
10	-6688	-14	1209	716	22	-280	31.42	31.42	(4+5)-VIII-4	27
11	10981	505	-378	-846	-107	226	31.42	31.42	(4+5)-II-1	22
12	10564	782	-134	-831	115	-165	31.42	31.42	(4+5)-I-1	23
13	14558	776	3172	-1071	-278	381	31.42	31.42	3	15
14	13843	1022	-2484	-946	171	-591	31.42	31.42	3	15
15	25110	4561	-4368	-2630	-664	803	31.42	31.42	(4+5)-VIII-4	5.9
16	21834	1284	-667	-2375	76	-411	31.42	31.42	3	7.5
Massimi/minimi										
1							31.42			
1								31.42		
1										5.7

**POTENZIAMENTO DELL'IMPIANTO DI DEPURAZIONE E
DEL RECAPITO FINALE DI SQUINZANO (LE)
PROGETTO DEFINITIVO
Tabulati di calcolo strutturale-Edificio Grigliatura
Grossolana**

R.37.11

Maggio 2021

Pagina 142 di
183

Muro [Platea]: 7 - Nodi: [4040-4059-4057-4038]Pann=20Spess.=50 cm, Terreno=DefTerr_70882, ,Criterio=CLS_Platee_ND, Materiale=C35/45, $\zeta_e=2.743$ [(4+5)-VIII-4] : **Verificato**

Armatura a maglia doppia

Pannello	Nx	Ny	Nxy	Mx	My	Mxy	Ax	Ay	C	Cs
	kg	kg	kg	kg*m	kg*m	kg*m	cmq	cmq		
1	28668	5292	3589	-3023	-843	-855	31.42	31.42	(4+5)-IV-3	5.0
2	23381	925	788	-2426	82	294	31.42	31.42	(4+5)-VIII-1	7.6
3	16656	377	-1903	-1381	-259	-729	31.42	31.42	(4+5)-IV-3	10
4	16037	1324	2624	-1259	164	580	31.42	31.42	(4+5)-VIII-1	12
5	-13336	8	1624	1253	73	-485	31.42	31.42	(4+5)-VI-4	16
6	-13841	-303	1197	1320	-5	42	31.42	31.42	(4+5)-VIII-4	21
7	-9952	-1006	1362	1012	162	-504	31.42	31.42	(4+5)-I-4	18
8	-13585	-307	63	1278	45	-42	31.42	31.42	(4+5)-VIII-4	21
9	-12104	-658	423	1147	79	242	31.42	31.42	(4+5)-VIII-4	20
10	-12888	-196	-218	1277	44	41	31.42	31.42	2	21
11	-12295	-559	-691	1229	77	355	31.42	31.42	2	18
12	-12124	-197	-1938	1225	38	-102	31.42	31.42	2	21
13	-8421	-272	-546	924	52	662	31.42	31.42	2	17
14	-8459	-137	-3588	937	38	-277	31.42	31.42	2	22
15	-782	378	643	318	5	915	31.42	31.42	2	21
16	-1039	120	-4979	340	17	-512	31.42	31.42	2	30
17	19067	-114	2223	-1503	-185	998	31.42	31.42	(4+5)-VIII-4	8.6
18	17604	429	-6612	-1290	190	-764	31.42	31.42	(4+5)-VIII-4	11
19	39834	5226	-7148	-4267	-882	1392	31.42	31.42	(4+5)-VIII-4	3.0
20	26742	1825	-1773	-3182	45	-603	31.42	31.42	3	5.3
Massimi/minimi										
1							31.42			
1								31.42		
19										3.0

Muro [Platea]: 8 - Nodi: [4059-4085-4083-4057]Pann=16Spess.=50 cm, Terreno=DefTerr_70882, ,Criterio=CLS_Platee_ND, Materiale=C35/45, $\zeta_e=1.195$ [(4+5)-IV-2] : **Verificato**

Armatura a maglia doppia

Pannello	Nx	Ny	Nxy	Mx	My	Mxy	Ax	Ay	C	Cs
	kg	kg	kg	kg*m	kg*m	kg*m	cmq	cmq		
1	29820	4464	3952	-2979	-692	-796	31.42	31.42	(4+5)-IV-3	5.1
2	27251	1620	-740	-2674	55	439	31.42	31.42	3	6.4
3	19559	429	-296	-1515	-194	-597	31.42	31.42	(4+5)-IV-3	10
4	18437	1381	2235	-1379	139	375	31.42	31.42	(4+5)-VIII-1	12
5	16864	794	2745	-1161	-53	-291	31.42	31.42	3	15
6	15741	258	1586	-1054	28	-131	31.42	31.42	3	19
7	19315	689	3008	-1487	-114	272	31.42	31.42	(4+5)-III-2	12
8	21152	74	320	-1505	53	-441	31.42	31.42	3	11
9	30696	-20	4735	-2403	-4	465	31.42	31.42	(4+5)-IV-2	6.7
10	31827	141	-1149	-2420	40	-721	31.42	31.42	3	6.0
11	46873	-729	5958	-3704	79	570	31.42	31.42	3	3.7
12	47538	-271	-2989	-3752	55	-925	31.42	31.42	3	3.3
13	67200	-201	4121	-5529	-197	917	31.42	31.42	3	1.7
14	65597	962	-4995	-5338	158	-1031	31.42	31.42	3	1.8
15	82415	437	-1908	-7788	-327	993	34.00	34.00	3	1.2
16	80310	90	-2690	-7549	61	-529	34.00	34.00	3	1.3
Massimi/minimi										
15							34.00			
15								34.00		
15										1.2

Muro [Platea]: 9 - Nodi: [4085-4100-4098-4083]Pann=16Spess.=50 cm, Terreno=DefTerr_70882, ,Criterio=CLS_Platee_ND, Materiale=C35/45, $\zeta_e=3.443$ [(4+5)-V-2] : **Verificato**

Armatura a maglia doppia

Pannello	Nx	Ny	Nxy	Mx	My	Mxy	Ax	Ay	C	Cs
	kg	kg	kg	kg*m	kg*m	kg*m	cmq	cmq		
1	66789	476	-16556	-5888	-104	1095	31.42	31.42	3	1.6
2	74777	-1120	-6342	-6490	85	868	31.42	31.42	3	1.3

**POTENZIAMENTO DELL'IMPIANTO DI DEPURAZIONE E
DEL RECAPITO FINALE DI SQUINZANO (LE)
PROGETTO DEFINITIVO
Tabulati di calcolo strutturale-Edificio Grigliatura
Grossolana**

R.37.11

Maggio 2021

Pagina 143 di
183

Pannello	Nx	Ny	Nxy	Mx	My	Mxy	Ax	Ay	C	Cs
3	53752	452	-15388	-4326	-194	1084	31.42	31.42		2.6
4	52853	1306	-5771	-4235	88	990	31.42	31.42		2.7
5	34089	77	-15025	-2677	-37	1211	31.42	31.42		4.7
6	34231	227	-6285	-2686	53	725	31.42	31.42		5.4
7	21690	488	-9775	-1762	-96	1181	31.42	31.42	(4+5)-IV-2	7.1
8	22117	429	-5399	-1781	69	382	31.42	31.42	(4+5)-II-2	9.7
9	15383	567	-8282	-1185	-70	1193	31.42	31.42	(4+5)-IV-2	9.4
10	14967	295	-5386	-1145	68	254	31.42	31.42	(4+5)-II-2	16
11	12499	447	-7364	-864	-7	1519	31.42	31.42	(4+5)-VIII-4	9.6
12	-10277	1702	-4172	901	88	260	31.42	31.42	(4+5)-VIII-1	24
13	16154	932	-6737	-1385	-265	1439	31.42	31.42	(4+5)-VIII-4	7.8
14	14175	236	-8295	-1139	170	-219	31.42	31.42	(4+5)-VIII-4	17
15	20053	4662	-11528	-2251	-819	1520	31.42	31.42	(4+5)-VIII-4	5.7
16	12744	2745	-6100	-1596	70	100	31.42	31.42	(4+5)-VIII-4	13
Massimi/minimi										
1							31.42			
1								31.42		
2										1.3

Muro [Platea]: 10 - Nodi: [4100-4113-4112-4098]Pann=4Spess.=50 cm, Terreno=DefTerr_70882, ,Criterio=CLS_Platee_ND, Materiale=C35/45, ζ_e =13.819 [(4+5)-IV-3] : **Verificato**

Armatura a maglia doppia

Pannello	Nx	Ny	Nxy	Mx	My	Mxy	Ax	Ay	C	Cs
	kg	kg	kg	kg*m	kg*m	kg*m	cmq	cmq		
1	7473	5980	-9711	-870	-672	646	31.42	31.42		16
2	5664	781	-4055	-576	59	382	31.42	31.42		25
3	1657	8773	-3031	-15	-911	276	31.42	31.42	(4+5)-V-2	20
4	264	3443	-1703	-63	-100	202	31.42	31.42	(4+5)-V-2	82
Massimi/minimi										
1							31.42			
1								31.42		
1										16

Muro [Platea]: 11 - Nodi: [4101-4114-4113-4100]Pann=16Spess.=50 cm, Terreno=DefTerr_70882, ,Criterio=CLS_Platee_ND, Materiale=C35/45, ζ_e =2.696 [(4+5)-VII-1] : **Verificato**

Armatura a maglia doppia

Pannello	Nx	Ny	Nxy	Mx	My	Mxy	Ax	Ay	C	Cs
	kg	kg	kg	kg*m	kg*m	kg*m	cmq	cmq		
1	-331	-18725	-6551	143	1893	839	31.42	31.42		11
2	-707	-19732	-6462	58	1804	1235	31.42	31.42		9.7
3	-23	-18667	-6234	-30	1676	1420	31.42	31.42		9.4
4	343	-16348	-4842	-89	1447	1405	31.42	31.42		10
5	-540	-5220	-5693	73	894	1634	31.42	31.42	(4+5)-IV-3	10
6	-716	12046	-2065	117	-922	1251	31.42	31.42	(4+5)-VII-1	11
7	-1249	24362	-3835	-75	-2117	1460	31.42	31.42	(4+5)-VII-1	5.7
8	6012	33841	-16435	-1009	-3543	2046	31.42	31.42	(4+5)-VII-1	3.3
9	-868	-20111	-3853	46	2003	121	31.42	31.42		14
10	121	-21233	-5813	26	1920	-64	31.42	31.42		15
11	256	-20244	-6888	33	1799	-198	31.42	31.42		15
12	369	-17549	-5921	41	1553	-276	31.42	31.42		16
13	137	-16423	-6643	52	1427	-172	31.42	31.42	(4+5)-V-3	18
14	-399	13845	-6659	2	-1060	-448	31.42	31.42	(4+5)-VII-1	15
15	-555	22172	-9053	216	-1827	-404	31.42	31.42	(4+5)-VII-1	9.4
16	3297	20336	-7859	59	-2363	133	31.42	31.42	(4+5)-VII-1	8.5
Massimi/minimi										
1							31.42			
1								31.42		
8										3.3

**POTENZIAMENTO DELL'IMPIANTO DI DEPURAZIONE E
DEL RECAPITO FINALE DI SQUINZANO (LE)
PROGETTO DEFINITIVO
Tabulati di calcolo strutturale-Edificio Grigliatura
Grossolana**

R.37.11

Maggio 2021

Pagina 144 di
183

Muro [Platea]: 12 - Nodi: [4103-4115-4114-4101-4102]Pann=16Spess.=50 cm, Terreno=DefTerr_70882,
,Criterio=CLS_Platee_ND, Materiale=C35/45, $\zeta_e=4.210$ [(4+5)-VII-1] : **Verificato**

Armatura a maglia doppia

Pannello	Nx	Ny	Nxy	Mx	My	Mxy	Ax	Ay	C	Cs
	kg	kg	kg	kg*m	kg*m	kg*m	cmq	cmq		
1	-554	-28339	2980	20	2518	1	31.42	31.42		3 12
2	-426	-26859	1308	-0	2394	-101	31.42	31.42		3 12
3	-412	-23052	-455	26	2065	-205	31.42	31.42		3 13
4	757	-19044	-1228	124	1494	-153	31.42	31.42		3 18
5	172	-18660	-1222	68	1553	88	31.42	31.42		2 18
6	107	-20634	-1962	-2	1667	158	31.42	31.42		2 16
7	-1658	-20445	-4175	117	1667	385	31.42	31.42		2 14
8	3438	-28513	-4107	0	2358	628	31.42	31.42	(4+5)-VII-1	10
9	2320	-31134	7130	-18	2493	-552	31.42	31.42	(4+5)-VII-4	10
10	942	-29065	-743	78	2536	145	31.42	31.42	(4+5)-V-3	12
11	-925	-27551	2759	159	2463	-279	31.42	31.42		3 11
12	-926	-28846	3171	154	2555	-572	31.42	31.42		3 9.9
13	-736	-28369	4826	129	2453	-914	31.42	31.42		3 9.2
14	-1821	-27928	7933	14	1992	-962	31.42	31.42		3 10
15	837	-28891	4880	-14	2050	-185	31.42	31.42		3 14
16	-792	-28392	4745	38	2466	21	31.42	31.42		3 12
Massimi/minimi										
1							31.42			
1								31.42		
13										9.2

Muro [Platea]: 13 - Nodi: [4106-4117-4116-4104]Pann=4Spess.=50 cm, Terreno=DefTerr_70882, ,Criterio=CLS_Platee_ND,
Materiale=C35/45, $\zeta_e=13.075$ [(4+5)-II-1] : **Verificato**

Armatura a maglia doppia

Pannello	Nx	Ny	Nxy	Mx	My	Mxy	Ax	Ay	C	Cs
	kg	kg	kg	kg*m	kg*m	kg*m	cmq	cmq		
1	5188	-197	3745	-539	55	-380	31.42	31.42		2 27
2	9764	3555	4807	-1131	-348	-258	31.42	31.42	(4+5)-VI-3	17
3	171	3754	1805	-39	-142	-202	31.42	31.42	(4+5)-VII-4	72
4	1617	8512	2617	34	-858	-195	31.42	31.42	(4+5)-VII-4	23
Massimi/minimi										
1							31.42			
1								31.42		
2										17

Muro [Platea]: 14 - Nodi: [4104-4116-4115-4103]Pann=8Spess.=50 cm, Terreno=DefTerr_70882, ,Criterio=CLS_Platee_ND,
Materiale=C35/45, $\zeta_e=3.150$ [(4+5)-V-3] : **Verificato**

Armatura a maglia doppia

Pannello	Nx	Ny	Nxy	Mx	My	Mxy	Ax	Ay	C	Cs
	kg	kg	kg	kg*m	kg*m	kg*m	cmq	cmq		
1	4815	28790	12514	-838	-3183	-1814	31.42	31.42	(4+5)-V-3	3.9
2	1291	-16068	2848	-208	1388	-1268	31.42	31.42	(4+5)-VII-1	11
3	-316	-13795	5265	124	1510	-1639	31.42	31.42	(4+5)-VI-1	8.9
4	1644	-22600	7938	-0	2464	-1214	31.42	31.42		3 8.1
5	1315	16835	4528	39	-2081	202	31.42	31.42	(4+5)-VII-4	9.7
6	380	-16508	6181	76	1447	435	31.42	31.42	(4+5)-VII-1	15
7	689	-16981	7611	13	1631	512	31.42	31.42		3 13
8	-658	-23029	5881	66	2526	-32	31.42	31.42		3 12
Massimi/minimi										
1							31.42			
1								31.42		
1										3.9

**POTENZIAMENTO DELL'IMPIANTO DI DEPURAZIONE E
DEL RECAPITO FINALE DI SQUINZANO (LE)
PROGETTO DEFINITIVO
Tabulati di calcolo strutturale-Edificio Grigliatura
Grossolana**

R.37.11

Maggio 2021

Pagina 145 di
183

Muro [Platea]: 15 - Nodi: [4019-4045-4043-4025-4017]Pann=15Spess.=50 cm, Terreno=DefTerr_70882,
,Criterio=CLS_Platee_ND, Materiale=C35/45, $\zeta_e=2.307$ [(4+5)-II-1] : **Verificato**

Armatura a maglia doppia

Pannello	Nx	Ny	Nxy	Mx	My	Mxy	Ax	Ay	C	Cs
	kg	kg	kg	kg*m	kg*m	kg*m	cmq	cmq		
1	-10896	1757	1812	1174	745	-672	31.42	31.42	(4+5)-III-2	15
2	-28392	-4189	538	3173	370	482	31.42	31.42	(4+5)-VI-2	8.5
3	25983	1063	-5138	-2947	-431	-371	31.42	31.42	(4+5)-VI-3	6.1
4	30734	3546	-16137	-5539	-978	997	31.42	31.42	(4+5)-II-1	2.9
5	19868	927	-6853	-2755	-22	-264	31.42	31.42	(4+5)-II-1	7.1
6	25101	1125	-4256	-2204	62	-782	31.42	31.42	(4+5)-VI-3	6.8
7	-24492	-2327	2726	2528	-257	663	31.42	31.42	(4+5)-VI-2	9.5
8	-16266	1612	5653	1203	202	555	31.42	31.42	(4+5)-VI-2	16
9	-6982	186	3707	1111	530	639	31.42	31.42	(4+5)-VI-2	15
10	-105	754	7035	151	220	835	31.42	31.42	(4+5)-VI-2	24
11	3226	1813	5780	-638	294	556	31.42	31.42	(4+5)-VI-2	21
12	8896	3070	5488	-1229	110	-178	31.42	31.42	(4+5)-V-2	17
13	16318	2108	8200	-1822	-797	-1194	31.42	31.42	(4+5)-V-2	7.3
14	2571	2451	2727	-37	-198	-1114	31.42	31.42	(4+5)-I-1	19
15	1806	1552	5070	122	87	-887	31.42	31.42	(4+5)-I-1	25
Massimi/minimi										
1							31.42			
1								31.42		
4										2.9

Muro [Platea]: 16 - Nodi: [4045-4064-4062-4043]Pann=8Spess.=50 cm, Terreno=DefTerr_70882, ,Criterio=CLS_Platee_ND,
Materiale=C35/45, $\zeta_e=7.766$ [(4+5)-II-1] : **Verificato**

Armatura a maglia doppia

Pannello	Nx	Ny	Nxy	Mx	My	Mxy	Ax	Ay	C	Cs
	kg	kg	kg	kg*m	kg*m	kg*m	cmq	cmq		
1	8980	2763	-1820	-821	44	-12	31.42	31.42	(4+5)-II-1	28
2	8429	3315	-3940	-864	-691	588	31.42	31.42	(4+5)-I-1	16
3	-1829	-1051	-4034	236	97	164	31.42	31.42	(4+5)-III-2	65
4	359	1398	1893	-126	-569	-282	31.42	31.42	(4+5)-III-3	30
5	-2976	653	-1211	321	189	84	31.42	31.42		3
6	-199	1170	-2076	-66	-509	372	31.42	31.42	(4+5)-V-3	29
7	9898	2038	39	-851	60	107	31.42	31.42	(4+5)-VI-2	24
8	-7525	1638	-7705	673	-76	725	31.42	31.42	(4+5)-VI-3	19
Massimi/minimi										
1							31.42			
1								31.42		
2										16

Muro [Platea]: 17 - Nodi: [4064-4092-4090-4082-4077-4062]Pann=22Spess.=50 cm, Terreno=DefTerr_70882,
,Criterio=CLS_Platee_ND, Materiale=C35/45, $\zeta_e=1.496$ [(4+5)-II-4] : **Verificato**

Armatura a maglia doppia

Pannello	Nx	Ny	Nxy	Mx	My	Mxy	Ax	Ay	C	Cs
	kg	kg	kg	kg*m	kg*m	kg*m	cmq	cmq		
1	64778	5084	-11078	-4888	-367	-1511	31.42	31.42		3
2	38099	1904	-6430	-2597	-200	-1246	31.42	31.42		3
3	23107	1479	-2406	-2562	-460	-797	31.42	31.42		3
4	16772	-45	-3101	-1325	-12	-1111	31.42	31.42	(4+5)-V-4	9.0
5	-2605	-2851	-1164	755	555	-415	31.42	31.42	(4+5)-V-2	22
6	-5176	-3469	-2684	717	913	410	31.42	31.42	(4+5)-I-1	20
7	-9586	-4946	-1785	1043	1612	744	31.42	31.42	(4+5)-I-1	11
8	446	-2187	-2984	97	331	1088	31.42	31.42	(4+5)-I-1	18
9	12928	-610	-3589	-1086	-165	1317	31.42	31.42	(4+5)-I-1	9.5
10	31014	6560	-11021	-3440	-1204	1563	31.42	31.42	(4+5)-I-1	3.8
11	10202	6265	-8995	-1564	39	254	31.42	31.42	(4+5)-I-1	13
12	6690	-121	-1836	-389	61	-414	31.42	31.42	(4+5)-VI-3	30
13	-1468	-4154	-3890	545	-208	277	31.42	31.42	(4+5)-V-2	31
14	8664	-259	5244	-401	54	303	31.42	31.42	(4+5)-V-4	34
15	22382	518	6648	-1776	30	972	31.42	31.42	(4+5)-II-4	7.6

**POTENZIAMENTO DELL'IMPIANTO DI DEPURAZIONE E
DEL RECAPITO FINALE DI SQUINZANO (LE)
PROGETTO DEFINITIVO
Tabulati di calcolo strutturale-Edificio Grigliatura
Grossolana**

R.37.11

Maggio 2021

Pagina 146 di
183

Pannello	Nx	Ny	Nxy	Mx	My	Mxy	Ax	Ay	C	Cs
16	46586	1797	6204	-3369	55	1589	31.42	31.42		3.2
17	84508	-13	3591	-6916	259	2503	56.00	56.00		2.9
18	127045	3337	4045	-12252	180	984	56.00	56.00		1.4
19	139211	-4412	-5027	-13621	-517	-1016	56.00	56.00		1.1
20	86257	1020	-19912	-7267	-666	-636	56.00	56.00		3.4
21	11748	1378	1104	-488	52	-604	31.42	31.42	(4+5)-I-4	21
22	-4713	-5230	-3583	1083	948	759	31.42	31.42	(4+5)-V-2	14
Massimi/minimi										
17							56.00			
17								56.00		
19										1.1

Muro [Platea]: 19 - Nodi: [4040-4014-4027-4034]Pann=38Spess.=50 cm, Terreno=DefTerr_70882, ,Criterio=CLS_Platee_ND, Materiale=C35/45, $\zeta_c=2.664$ [(4+5)-V-1] : **Verificato**

Armatura a maglia doppia

Pannello	Nx	Ny	Nxy	Mx	My	Mxy	Ax	Ay	C	Cs
	kg	kg	kg	kg*m	kg*m	kg*m	cmq	cmq		
1	5691	5214	8000	15	-1258	-1304	31.42	31.42	(4+5)-III-2	9.5
2	14309	5168	8268	-323	-1952	-1563	31.42	31.42	(4+5)-I-1	6.9
3	22579	4758	13033	-1718	-2841	-2182	31.42	31.42	(4+5)-I-1	4.9
4	41977	-1097	14364	-4681	-3870	-1180	31.42	31.42	(4+5)-V-1	2.9
5	37294	-5721	2693	-4178	-3608	-93	31.42	31.42	(4+5)-V-1	4.2
6	29406	-6527	-6120	-2377	-1959	637	31.42	31.42	(4+5)-VI-1	6.4
7	23631	-938	-6623	-1488	-1025	887	31.42	31.42	(4+5)-VI-1	8.7
8	19497	-757	-3805	-1148	264	1170	31.42	31.42	(4+5)-VI-1	9.3
9	15751	2395	-3886	-1485	250	852	31.42	31.42	(4+5)-II-1	9.5
10	24422	7095	9869	-2925	-914	-1224	31.42	31.42	(4+5)-IV-2	4.9
11	13691	2723	-3438	-862	246	489	31.42	31.42	(4+5)-VI-1	17
12	13209	2538	-2238	-1014	751	271	31.42	31.42	(4+5)-VI-1	18
13	6208	5896	1257	-266	860	-423	31.42	31.42	(4+5)-III-2	19
14	-9110	-718	4535	1043	185	-653	31.42	31.42	(4+5)-VIII-4	16
15	-11036	-858	6913	1191	33	-618	31.42	31.42	(4+5)-VIII-4	15
16	-12586	12	8575	1256	-259	-522	31.42	31.42	(4+5)-VIII-4	16
17	24043	-1898	5404	-2487	44	-305	31.42	31.42	(4+5)-IV-3	7.4
18	14868	-4071	4575	-1798	488	-687	31.42	31.42	(4+5)-IV-3	9.0
19	14096	-1245	2976	-1336	97	-641	31.42	31.42	(4+5)-VIII-1	11
20	7451	-3510	3464	-234	1444	-259	31.42	31.42		15
21	15797	1715	-1121	-1126	1039	409	31.42	31.42	(4+5)-VI-1	14
22	5062	-2641	2296	129	1079	-308	31.42	31.42		19
23	21382	-228	-785	-2205	459	677	31.42	31.42	(4+5)-VI-1	7.3
24	20788	130	-1995	-1702	540	988	31.42	31.42	(4+5)-VI-1	7.9
25	23969	-1843	-2053	-2597	-212	802	31.42	31.42	(4+5)-VI-1	6.0
26	18120	491	-1676	-1531	790	729	31.42	31.42	(4+5)-VI-1	9.6
27	27933	-3714	1409	-3442	-737	320	31.42	31.42	(4+5)-VI-1	5.2
28	18806	455	261	-1891	759	128	31.42	31.42	(4+5)-VI-1	11
29	22258	-1189	874	-2547	281	231	31.42	31.42	(4+5)-VI-1	7.5
30	21782	3312	6062	-2621	-360	-642	31.42	31.42	(4+5)-V-1	6.4
31	21558	4803	8650	-2616	-965	-1296	31.42	31.42	(4+5)-V-1	5.4
32	26758	1066	7146	-3492	-1443	-768	31.42	31.42	(4+5)-V-1	4.7
33	17577	4713	4624	-1800	164	-697	31.42	31.42	(4+5)-V-1	8.8
34	16486	4406	5579	-1475	-398	-1335	31.42	31.42	(4+5)-V-1	7.9
35	-7994	-2372	7842	1273	510	-866	31.42	31.42	(4+5)-VIII-4	13
36	15421	-1908	1597	-1070	568	-870	31.42	31.42	(4+5)-VIII-1	12
37	-6069	-3929	6259	1083	688	-701	31.42	31.42	(4+5)-VI-4	15
38	15846	-881	650	-1287	938	-486	31.42	31.42	(4+5)-VIII-1	13
Massimi/minimi										
1							31.42			
1								31.42		
4										2.9

Muro [Platea]: 31 - Nodi: [4085-4093-4100]Pann=14Spess.=50 cm, Terreno=DefTerr_70882, ,Criterio=CLS_Platee_ND, Materiale=C35/45, $\zeta_c=3.278$ [(4+5)-II-2] : **Verificato**

Armatura a maglia doppia

**POTENZIAMENTO DELL'IMPIANTO DI DEPURAZIONE E
DEL RECAPITO FINALE DI SQUINZANO (LE)
PROGETTO DEFINITIVO
Tabulati di calcolo strutturale-Edificio Grigliatura
Grossolana**

R.37.11

Maggio 2021

Pagina 147 di
183

Pannello	Nx	Ny	Nxy	Mx	My	Mxy	Ax	Ay	C	Cs
	kg	kg	kg	kg*m	kg*m	kg*m	cmq	cmq		
1	3376	5138	13388	-741	-119	-1958	31.42	31.42		3 9.2
2	2598	15560	12659	-822	-897	-2439	31.42	31.42		3 6.7
3	3812	24817	15795	-719	-2286	-2344	31.42	31.42		3 4.4
4	4342	37892	16065	224	-2540	-2666	31.42	31.42		3 3.4
5	3271	58287	16593	-633	-6664	-1973	34.00	34.00		3 1.8
6	623	61070	35974	-142	-7367	-3516	34.00	34.00		3 1.3
7	2233	29152	33133	183	-1604	-2177	31.42	31.42		3 5.1
8	2340	-4506	21245	162	972	-1174	31.42	31.42	(4+5)-II-3	12
9	2475	16948	11953	59	-1685	-1215	31.42	31.42	(4+5)-VIII-4	7.6
10	2160	12436	14002	-415	-918	-1245	31.42	31.42	(4+5)-VIII-4	11
11	3625	1490	14420	-594	99	-1568	31.42	31.42		3 11
12	3200	7319	14641	-398	272	-1882	31.42	31.42		3 11
13	3769	16832	14078	-224	-861	-1842	31.42	31.42	(4+5)-IV-2	8.1
14	2614	6561	16949	-63	601	-1868	31.42	31.42		3 9.8
Massimi/minimi										
5							34.00			
5								34.00		
6										1.3

Muro [Platea]: 32 - Nodi: [4093-4094-4101-4100]Pann=33Spess.=50 cm, Terreno=DefTerr_70882, ,Criterio=CLS_Platee_ND, Materiale=C35/45, $\zeta_e=1.999$ [(4+5)-V-2] : **Verificato**

Armatura a maglia doppia

Pannello	Nx	Ny	Nxy	Mx	My	Mxy	Ax	Ay	C	Cs
	kg	kg	kg	kg*m	kg*m	kg*m	cmq	cmq		
1	-16194	2683	16566	2032	1359	-618	31.42	31.42		2 11
2	-12524	5221	18235	1580	1537	-601	31.42	31.42		3 11
3	-14638	2909	15078	1490	858	-699	31.42	31.42	(4+5)-V-3	13
4	8423	591	12028	-1441	905	-613	31.42	31.42	(4+5)-VII-1	12
5	14604	-2826	9285	-1367	404	-1009	31.42	31.42	(4+5)-VII-1	9.5
6	27044	-4752	8356	-3051	290	-730	31.42	31.42	(4+5)-VII-1	5.3
7	-5977	-1171	13305	-1879	-413	-2540	31.42	31.42		3 6.0
8	10775	4886	3682	-2742	-1301	-2737	31.42	31.42	(4+5)-V-2	4.2
9	13738	33538	11807	-3138	-6167	-5719	31.42	31.42		3 1.6
10	43266	38887	28743	-5747	-12264	-4113	34.00	34.00		3 1.2
11	44441	24053	27690	-6659	-13529	-2755	31.42	31.42		3 1.3
12	32659	11523	22130	-3089	-8684	-1257	31.42	31.42		3 2.3
13	20483	18431	24819	462	-4098	-508	31.42	31.42		3 4.7
14	18467	5009	17994	980	527	717	31.42	31.42	(4+5)-V-2	13
15	-5411	-7752	19623	2045	1873	-260	31.42	31.42		2 12
16	-14998	-6542	11905	2008	1004	-490	31.42	31.42		2 11
17	-16585	-1860	15544	2164	1346	-704	31.42	31.42		2 10
18	-6001	5777	19425	1358	2574	-984	31.42	31.42		3 6.8
19	-6777	2741	17600	1916	2719	-713	31.42	31.42		3 7.3
20	-9559	4540	16404	1909	2481	-946	31.42	31.42		3 7.2
21	30194	22060	30489	-4908	-6637	-2456	31.42	31.42		3 2.3
22	19394	19237	28546	-2621	-3791	-1865	31.42	31.42		3 3.8
23	26326	15782	14617	-3785	-2501	-1096	31.42	31.42	(4+5)-V-2	4.1
24	19887	15718	13503	-2678	-728	-866	31.42	31.42	(4+5)-V-2	6.0
25	3170	3355	19252	171	681	-799	31.42	31.42	(4+5)-II-3	17
26	127	13060	20368	285	1388	-1233	31.42	31.42		3 8.7
27	18326	28657	23761	-4559	-5249	-2815	31.42	31.42		3 2.4
28	19783	17949	10856	-3595	-1330	-1828	31.42	31.42	(4+5)-V-2	3.9
29	-8457	5142	13268	760	1764	-1489	31.42	31.42		3 7.5
30	-9361	6118	15822	1458	2268	-1197	31.42	31.42		3 7.0
31	-6283	9003	14971	909	2247	-1444	31.42	31.42		3 6.4
32	-5724	9821	12896	-198	1484	-2175	31.42	31.42		3 6.4
33	-3792	13420	14922	-510	1042	-2020	31.42	31.42		3 7.4
Massimi/minimi										
10							34.00			
10								34.00		
10										1.2

Muro [Platea]: 33 - Nodi: [4094-4095-4102-4101]Pann=11Spess.=50 cm, Terreno=DefTerr_70882, ,Criterio=CLS_Platee_ND, Materiale=C35/45, $\zeta_e=11.462$ [(4+5)-VII-4] : **Verificato**

**POTENZIAMENTO DELL'IMPIANTO DI DEPURAZIONE E
DEL RECAPITO FINALE DI SQUINZANO (LE)
PROGETTO DEFINITIVO
Tabulati di calcolo strutturale-Edificio Grigliatura
Grossolana**

R.37.11

Maggio 2021

Pagina 148 di
183

Armatura a maglia doppia

Pannello	Nx kg	Ny kg	Nxy kg	Mx kg*m	My kg*m	Mxy kg*m	Ax cmq	Ay cmq	C	Cs
1	-3966	6941	4401	139	-4336	-324	31.42	31.42	3	5.2
2	-6838	14732	5592	759	-2225	451	31.42	31.42	1	8.4
3	-8642	-1940	9976	2171	1285	394	31.42	31.42	3	11
4	-4829	-7972	-1368	1211	1439	787	31.42	31.42	(4+5)-VII-1	12
5	-19055	-7653	-8175	1964	865	912	31.42	31.42	(4+5)-VII-1	10
6	-17096	-7432	4198	1376	655	-362	31.42	31.42	1	17
7	-12547	-10867	1387	636	1839	-361	31.42	31.42	3	13
8	-8359	210	3646	606	779	-1044	31.42	31.42	(4+5)-V-3	14
9	-3429	22406	1584	-498	-3143	-1417	31.42	31.42	3	4.6
10	-3502	10224	2708	-199	-4795	-953	31.42	31.42	3	4.1
11	-5197	1328	7797	668	44	-692	31.42	31.42	(4+5)-V-3	19
Massimi/minimi										
1							31.42			
1								31.42		
10										4.1

Muro [Platea]: 34 - Nodi: [4095-4096-4103-4102]Pann=22Spess.=50 cm, Terreno=DefTerr_70882, ,Criterio=CLS_Platee_ND, Materiale=C35/45, $\zeta_e=5.195$ [(4+5)-V-2] : **Verificato**

Armatura a maglia doppia

Pannello	Nx kg	Ny kg	Nxy kg	Mx kg*m	My kg*m	Mxy kg*m	Ax cmq	Ay cmq	C	Cs
1	-26503	-5565	-5995	2470	468	420	31.42	31.42	3	11
2	-25828	-5733	-3713	2414	414	365	31.42	31.42	3	11
3	-22804	-2720	3217	2290	605	-323	31.42	31.42	(4+5)-VII-4	11
4	-26908	-7412	9144	2389	727	-889	31.42	31.42	(4+5)-V-3	9.4
5	-13606	-10758	1186	1140	1264	-635	31.42	31.42	(4+5)-V-3	15
6	-14104	-9534	-9049	958	1409	-449	31.42	31.42	2	15
7	-6874	10413	-8412	475	-2183	-228	31.42	31.42	1	9.7
8	-6619	3477	-5109	96	-3029	260	31.42	31.42	1	7.5
9	-6589	3026	-2756	59	-3071	465	31.42	31.42	1	7.0
10	-6583	8538	1003	431	-2410	890	31.42	31.42	1	7.2
11	-12702	-11743	206	814	1150	1293	31.42	31.42	3	11
12	-18592	-15113	-7289	1061	1622	1187	31.42	31.42	3	10
13	-24574	-7338	-12116	1772	611	1038	31.42	31.42	3	11
14	-26190	-6897	-8708	2171	652	606	31.42	31.42	3	11
15	-15336	-6311	-5073	1573	1796	143	31.42	31.42	2	14
16	-15376	-6219	-3729	1550	1709	609	31.42	31.42	3	12
17	-22583	-7772	-4554	2561	1947	286	31.42	31.42	3	10
18	-21018	-8440	-4424	2161	2228	199	31.42	31.42	3	11
19	-20178	-7890	-5681	2282	2483	273	31.42	31.42	3	9.8
20	-19888	-8519	-4277	2232	2452	450	31.42	31.42	3	9.4
21	-21126	-9371	-6258	2138	2183	605	31.42	31.42	3	9.8
22	-22651	-7938	-5767	2578	1933	435	31.42	31.42	3	9.9
Massimi/minimi										
1							31.42			
1								31.42		
9										7.0

Muro [Platea]: 35 - Nodi: [4040-4065-4059]Pann=19Spess.=50 cm, Terreno=DefTerr_70882, ,Criterio=CLS_Platee_ND, Materiale=C35/45, $\zeta_e=2.706$ [(4+5)-VIII-1] : **Verificato**

Armatura a maglia doppia

Pannello	Nx kg	Ny kg	Nxy kg	Mx kg*m	My kg*m	Mxy kg*m	Ax cmq	Ay cmq	C	Cs
1	-2280	-3930	-3954	426	45	221	31.42	31.42	(4+5)-IV-3	40
2	-4319	-6318	-6737	770	79	255	31.42	31.42	2	26
3	-9584	-5233	-5232	1040	150	339	31.42	31.42	2	20
4	-12025	-3776	-3165	1086	133	371	31.42	31.42	2	19
5	-13205	-2396	-2248	1152	109	129	31.42	31.42	(4+5)-VIII-4	22
6	-15018	-787	-910	1238	5	228	31.42	31.42	(4+5)-VIII-4	19
7	16271	2847	1644	-1539	-133	316	31.42	31.42	(4+5)-VI-1	12

**POTENZIAMENTO DELL'IMPIANTO DI DEPURAZIONE E
DEL RECAPITO FINALE DI SQUINZANO (LE)
PROGETTO DEFINITIVO
Tabulati di calcolo strutturale-Edificio Grigliatura
Grossolana**

R.37.11

Maggio 2021

Pagina 149 di
183

Pannello	Nx	Ny	Nxy	Mx	My	Mxy	Ax	Ay	C	Cs
8	34473	4966	5228	-2981	-423	-439	31.42	31.42	(4+5)-VIII-1	5.4
9	18341	2033	1412	-1535	-283	-576	31.42	31.42	(4+5)-VIII-1	10
10	-13649	-459	1263	1179	116	-223	31.42	31.42	(4+5)-II-4	20
11	-12538	-2598	-1905	1101	335	161	31.42	31.42	(4+5)-VIII-4	22
12	-10060	-3808	-2667	939	526	374	31.42	31.42	(4+5)-VIII-4	21
13	-9007	-5482	-3042	974	855	493	31.42	31.42		2
14	-4160	-5447	-2156	652	1097	738	31.42	31.42		2
15	2804	-3596	64	126	1400	908	31.42	31.42		2
16	10406	892	2639	-665	1931	956	31.42	31.42		2
17	14696	2126	3304	-2191	640	-262	31.42	31.42		3
18	30137	10887	11016	-3427	-2191	-1781	31.42	31.42	(4+5)-IV-2	3.7
19	17413	-1412	84	-1394	-1098	-367	31.42	31.42	(4+5)-IV-2	12
Massimi/minimi										
1							31.42			
1								31.42		
18										3.7

Muro [Platea]: 36 - Nodi: [4059-4071-4093-4085]Pann=21Spess.=50 cm, Terreno=DefTerr_70882, ,Criterio=CLS_Platee_ND, Materiale=C35/45, $\zeta_e=1.937$ [(4+5)-IV-2] : **Verificato**

Armatura a maglia doppia

Pannello	Nx	Ny	Nxy	Mx	My	Mxy	Ax	Ay	C	Cs
	kg	kg	kg	kg*m	kg*m	kg*m	cmq	cmq		
1	-13734	44864	2543	-297	-2330	-407	31.42	31.42		5.9
2	-11516	60184	11841	-729	-5467	-1188	31.42	31.42		3
3	9504	70914	36348	-1645	-8147	-3653	34.00	34.00		3
4	18784	57059	31776	-1646	-7051	-2881	34.00	34.00		3
5	16535	40437	24406	43	-5734	-1813	34.00	34.00		3
6	16386	30029	24805	852	-4399	-531	31.42	31.42		3
7	10217	23701	19802	1144	-3091	-76	31.42	31.42		3
8	5423	19221	13358	899	-2107	120	31.42	31.42		3
9	1353	17591	8868	392	-1511	150	31.42	31.42		3
10	1616	16973	5835	-740	-1434	-217	31.42	31.42	(4+5)-VIII-1	13
11	4023	20681	8903	-666	-1855	-929	31.42	31.42	(4+5)-IV-3	7.6
12	3645	22416	-790	76	-1175	330	31.42	31.42	(4+5)-V-2	14
13	-5456	27641	-1755	135	-1145	377	31.42	31.42	(4+5)-V-2	13
14	-1308	26253	10268	1465	-1094	50	31.42	31.42		3
15	-3923	25072	8328	1754	-940	112	31.42	31.42		3
16	-6116	31747	6598	1768	-1110	37	31.42	31.42		3
17	3615	33115	18010	1238	-2394	-671	31.42	31.42		3
18	694	47614	19987	1219	-3470	-1113	31.42	31.42		3
19	14368	38962	23598	958	-3623	-1397	34.00	34.00		3
20	-3845	37015	10742	1669	-1844	-135	31.42	31.42		3
21	1292	30140	14275	1443	-1601	-259	31.42	31.42		3
Massimi/minimi										
3							34.00			
3								34.00		
3										1.1

Muro [Platea]: 37 - Nodi: [4065-4071-4059]Pann=3Spess.=50 cm, Terreno=DefTerr_70882, ,Criterio=CLS_Platee_ND, Materiale=C35/45, $\zeta_e=7.583$ [(4+5)-VII-1] : **Verificato**

Armatura a maglia doppia

Pannello	Nx	Ny	Nxy	Mx	My	Mxy	Ax	Ay	C	Cs
	kg	kg	kg	kg*m	kg*m	kg*m	cmq	cmq		
1	1120	11193	10115	127	-916	-713	31.42	31.42		3
2	7042	20763	8314	-620	-2161	-515	31.42	31.42		3
3	3467	13868	9386	-609	-864	-1237	31.42	31.42		3
Massimi/minimi										
1							31.42			
1								31.42		
2										7.9

**POTENZIAMENTO DELL'IMPIANTO DI DEPURAZIONE E
DEL RECAPITO FINALE DI SQUINZANO (LE)
PROGETTO DEFINITIVO
Tabulati di calcolo strutturale-Edificio Grigliatura
Grossolana**

R.37.11

Maggio 2021

Pagina 150 di
183

Muro [Platea]: 154 - Nodi: [4066-4071-4065]Pann=8Spess.=50 cm, Terreno=DefTerr_70882, ,Criterio=CLS_Platee_ND,
Materiale=C35/45, $\zeta_e=9.912$ [(4+5)-V-2] : **Verificato**

Armatura a maglia doppia

Pannello	Nx	Ny	Nxy	Mx	My	Mxy	Ax	Ay	C	Cs
	kg	kg	kg	kg*m	kg*m	kg*m	cmq	cmq		
1	9220	10122	2523	-775	-1053	-70	31.42	31.42	(4+5)-V-2	21
2	11706	472	5037	-1184	-51	-443	31.42	31.42	3	14
3	12710	-3781	1899	-1071	463	-236	31.42	31.42	3	17
4	9254	8091	564	-526	-747	-115	31.42	31.42	(4+5)-V-2	28
5	9324	11220	2937	-882	-1337	-38	31.42	31.42	(4+5)-V-2	17
6	10749	950	3579	-1158	-310	-246	31.42	31.42	3	17
7	9570	8926	2153	-618	-1009	-126	31.42	31.42	(4+5)-V-2	21
8	9262	9787	2105	-777	-1249	49	31.42	31.42	(4+5)-V-2	18
Massimi/minimi										
1							31.42			
1								31.42		
2										14

Muro [Platea]: 155 - Nodi: [4050-4066-4065]Pann=8Spess.=50 cm, Terreno=DefTerr_70882, ,Criterio=CLS_Platee_ND,
Materiale=C35/45, $\zeta_e=10.695$ [(4+5)-III-2] : **Verificato**

Armatura a maglia doppia

Pannello	Nx	Ny	Nxy	Mx	My	Mxy	Ax	Ay	C	Cs
	kg	kg	kg	kg*m	kg*m	kg*m	cmq	cmq		
1	7906	-2638	-910	-834	186	158	31.42	31.42	3	24
2	9069	-4646	-1982	-843	487	66	31.42	31.42	3	26
3	68	-7414	-2538	108	633	176	31.42	31.42	(4+5)-V-3	33
4	3382	5196	-1995	-267	-579	317	31.42	31.42	(4+5)-I-1	27
5	4116	5672	-1552	-399	-787	362	31.42	31.42	(4+5)-VII-1	21
6	4058	5567	-2687	-374	-553	408	31.42	31.42	(4+5)-I-1	25
7	1503	-6207	-1702	-68	728	286	31.42	31.42	1	26
8	2607	5586	-2014	-223	-660	282	31.42	31.42	(4+5)-I-1	26
Massimi/minimi										
1							31.42			
1								31.42		
5										21

Muro [Platea]: 156 - Nodi: [4050-4065-4040]Pann=20Spess.=50 cm, Terreno=DefTerr_70882, ,Criterio=CLS_Platee_ND,
Materiale=C35/45, $\zeta_e=3.619$ [(4+5)-IV-3] : **Verificato**

Armatura a maglia doppia

Pannello	Nx	Ny	Nxy	Mx	My	Mxy	Ax	Ay	C	Cs
	kg	kg	kg	kg*m	kg*m	kg*m	cmq	cmq		
1	-8464	-3645	-2569	421	753	163	31.42	31.42	(4+5)-I-4	29
2	-12214	-3860	-210	986	803	27	31.42	31.42	2	28
3	-10484	-6497	1384	1116	663	-105	31.42	31.42	2	23
4	-7408	-7912	2821	1064	386	-240	31.42	31.42	2	21
5	-8050	-8459	5482	796	721	-442	31.42	31.42	(4+5)-VIII-4	22
6	9953	3068	-5497	-149	-1141	303	31.42	31.42	(4+5)-VI-1	17
7	22944	10292	-12897	-2375	-937	1264	31.42	31.42	(4+5)-VIII-1	5.7
8	-5317	-10482	5386	272	951	-483	31.42	31.42	(4+5)-VI-4	19
9	-5318	-10531	637	346	922	-145	31.42	31.42	(4+5)-I-4	26
10	-7716	-6772	-2321	736	436	-9	31.42	31.42	2	36
11	-6325	-4890	-3297	697	-138	525	31.42	31.42	2	22
12	3394	6830	-2794	-407	-786	455	31.42	31.42	(4+5)-I-1	19
13	814	3780	-5351	-774	-263	404	31.42	31.42	(4+5)-IV-2	21
14	-7657	-3231	-4628	307	693	250	31.42	31.42	(4+5)-III-3	28
15	-4665	-9127	2080	547	977	-203	31.42	31.42	(4+5)-I-4	23
16	-10947	-4690	-1189	1197	818	37	31.42	31.42	2	22
17	-9512	-4911	-1340	1225	795	69	31.42	31.42	2	21
18	-10197	-6107	-39	1158	922	-40	31.42	31.42	2	23
19	-9640	-4414	-2638	1145	771	222	31.42	31.42	2	20
20	-7860	-2142	-4476	933	378	460	31.42	31.42	2	19

**POTENZIAMENTO DELL'IMPIANTO DI DEPURAZIONE E
DEL RECAPITO FINALE DI SQUINZANO (LE)
PROGETTO DEFINITIVO
Tabulati di calcolo strutturale-Edificio Grigliatura
Grossolana**

R.37.11

Maggio 2021

Pagina 151 di
183

Pannello	Nx	Ny	Nxy	Mx	My	Mxy	Ax	Ay	C	Cs
Massimi/minimi										
1							31.42			
1								31.42		
7										5.7

Muro [Platea]: 157 - Nodi: [4046-4050-4040]Pann=9Spess.=50 cm, Terreno=DefTerr_70882, ,Criterio=CLS_Platee_ND,
Materiale=C35/45, $\zeta_e=5.669$ [(4+5)-VIII-1] : **Verificato**

Armatura a maglia doppia

Pannello	Nx	Ny	Nxy	Mx	My	Mxy	Ax	Ay	C	Cs
	kg	kg	kg	kg*m	kg*m	kg*m	cmq	cmq		
1	-1406	3841	244	163	-859	-89	31.42	31.42	(4+5)-V-2	26
2	-2532	4302	-1148	290	-746	97	31.42	31.42	(4+5)-III-2	29
3	-5400	-3297	-244	525	405	154	31.42	31.42	2	39
4	-5532	-4553	2555	856	1192	156	31.42	31.42	2	20
5	-4125	-8176	4948	454	1014	-365	31.42	31.42	(4+5)-I-4	20
6	18003	2193	-4136	-1636	-202	367	31.42	31.42	(4+5)-VIII-1	11
7	2298	3790	-468	-926	-440	-283	31.42	31.42	(4+5)-VII-1	21
8	-706	3357	-511	-111	-928	-228	31.42	31.42	(4+5)-V-2	21
9	-3593	-7836	2912	364	848	-347	31.42	31.42	(4+5)-I-4	23
Massimi/minimi										
1							31.42			
1								31.42		
6										11

Muro [Platea]: 158 - Nodi: [4034-4046-4040]Pann=8Spess.=50 cm, Terreno=DefTerr_70882, ,Criterio=CLS_Platee_ND,
Materiale=C35/45, $\zeta_e=5.322$ [(4+5)-III-2] : **Verificato**

Armatura a maglia doppia

Pannello	Nx	Ny	Nxy	Mx	My	Mxy	Ax	Ay	C	Cs
	kg	kg	kg	kg*m	kg*m	kg*m	cmq	cmq		
1	9488	4249	-4404	-452	-51	227	31.42	31.42	(4+5)-VIII-1	35
2	187	-7980	4112	95	722	-263	31.42	31.42	(4+5)-I-4	27
3	17373	1522	-5951	-1322	-145	636	31.42	31.42	(4+5)-VIII-1	11
4	14146	229	-5959	-1895	-60	770	31.42	31.42	(4+5)-VI-1	8.5
5	12557	1238	-6864	-1909	-21	774	31.42	31.42	(4+5)-VI-1	8.5
6	12941	4789	-7384	-1712	-711	508	31.42	31.42	(4+5)-VI-1	10
7	10826	4467	-6355	-979	-651	194	31.42	31.42	(4+5)-VI-1	20
8	12905	3450	-4181	-1259	108	595	31.42	31.42	(4+5)-VI-1	12
Massimi/minimi										
1							31.42			
1								31.42		
4										8.5

Muro [Platea]: 159 - Nodi: [4017-4025-4024-4016]Pann=8Spess.=50 cm, Terreno=DefTerr_70882, ,Criterio=CLS_Platee_ND,
Materiale=C35/45, $\zeta_e=2.201$ [(4+5)-III-3] : **Verificato**

Armatura a maglia doppia

Pannello	Nx	Ny	Nxy	Mx	My	Mxy	Ax	Ay	C	Cs
	kg	kg	kg	kg*m	kg*m	kg*m	cmq	cmq		
1	2127	36550	8362	-1747	-3561	-1901	31.42	31.42	(4+5)-III-3	3.3
2	-226	-16156	-4616	-950	1504	1257	31.42	31.42	(4+5)-III-2	10
3	1585	-13026	-3623	-30	1150	1229	31.42	31.42	(4+5)-III-2	12
4	3387	-10170	-3457	381	847	1148	31.42	31.42	(4+5)-I-2	14
5	21406	-6789	-3926	-2999	-575	466	31.42	31.42	(4+5)-II-1	6.1
6	2134	-1797	-131	-1930	196	535	31.42	31.42	(4+5)-II-1	10
7	83	2844	-1048	-1567	-233	175	31.42	31.42	(4+5)-VI-3	15
8	1007	3242	-1753	-1319	-131	70	31.42	31.42	(4+5)-VI-3	18
Massimi/minimi										
1							31.42			
1								31.42		



**POTENZIAMENTO DELL'IMPIANTO DI DEPURAZIONE E
DEL RECAPITO FINALE DI SQUINZANO (LE)
PROGETTO DEFINITIVO
Tabulati di calcolo strutturale-Edificio Grigliatura
Grossolana**

R.37.11

Maggio 2021

Pagina 152 di
183

Pannello	Nx	Ny	Nxy	Mx	My	Mxy	Ax	Ay	C	Cs
1										3.3

Muro [Platea]: 160 - Nodi: [4024-4023-4016]Pann=8Spess.=50 cm, Terreno=DefTerr_70882, ,Criterio=CLS_Platee_ND,
Materiale=C35/45, $\zeta_e=8.344$ [(4+5)-III-3] : **Verificato**

Armatura a maglia doppia

Pannello	Nx	Ny	Nxy	Mx	My	Mxy	Ax	Ay	C	Cs
	kg	kg	kg	kg*m	kg*m	kg*m	cmq	cmq		
1	2667	1932	3025	-173	-1079	82	31.42	31.42	(4+5)-VI-3	22
2	-4997	3983	1740	520	282	-914	31.42	31.42	(4+5)-V-2	18
3	2386	1906	2378	-49	-1219	9	31.42	31.42	(4+5)-VI-3	20
4	2221	2269	2469	-64	-1245	217	31.42	31.42	(4+5)-VI-3	17
5	-2371	6143	5559	370	-994	910	31.42	31.42	3	13
6	2323	3788	2953	-281	-1223	174	31.42	31.42	(4+5)-VI-3	18
7	2070	601	2842	-10	-1180	109	31.42	31.42	(4+5)-VI-3	20
8	2456	789	2758	-167	-1316	382	31.42	31.42	(4+5)-VI-3	15
Massimi/minimi										
1							31.42			
1								31.42		
5										13

Muro [Platea]: 161 - Nodi: [4023-4022-4015-4016]Pann=13Spess.=50 cm, Terreno=DefTerr_70882, ,Criterio=CLS_Platee_ND,
Materiale=C35/45, $\zeta_e=2.395$ [(4+5)-I-1] : **Verificato**

Armatura a maglia doppia

Pannello	Nx	Ny	Nxy	Mx	My	Mxy	Ax	Ay	C	Cs
	kg	kg	kg	kg*m	kg*m	kg*m	cmq	cmq		
1	5951	1645	1031	-219	-435	-1002	31.42	31.42	(4+5)-VII-1	17
2	3506	2232	2775	-390	-492	-777	31.42	31.42	(4+5)-VIII-1	20
3	-2948	2733	4256	379	528	-971	31.42	31.42	(4+5)-VI-2	17
4	3091	2465	4271	33	-883	-245	31.42	31.42	(4+5)-IV-3	22
5	4212	2665	3840	-225	-1226	441	31.42	31.42	(4+5)-VI-3	15
6	1974	2253	5458	142	-1328	1013	31.42	31.42	3	11
7	6445	1568	3683	-670	-1189	287	31.42	31.42	(4+5)-II-1	17
8	8657	1165	4439	-689	-1113	-107	31.42	31.42	(4+5)-IV-1	21
9	16036	5341	3602	-1318	-863	-406	31.42	31.42	(4+5)-I-1	13
10	38791	-3309	3768	-3715	-1127	-1565	31.42	31.42	(4+5)-I-1	3.3
11	23313	-106	2660	-1743	-1072	-2019	31.42	31.42	(4+5)-I-1	5.5
12	13863	2458	-456	-969	-861	-1341	31.42	31.42	(4+5)-I-1	9.8
13	5802	3284	3414	-488	-1192	113	31.42	31.42	(4+5)-II-1	19
Massimi/minimi										
1							31.42			
1								31.42		
10										3.3

Muro [Platea]: 162 - Nodi: [4022-4021-4015]Pann=8Spess.=50 cm, Terreno=DefTerr_70882, ,Criterio=CLS_Platee_ND,
Materiale=C35/45, $\zeta_e=2.918$ [(4+5)-I-1] : **Verificato**

Armatura a maglia doppia

Pannello	Nx	Ny	Nxy	Mx	My	Mxy	Ax	Ay	C	Cs
	kg	kg	kg	kg*m	kg*m	kg*m	cmq	cmq		
1	21085	4772	6793	-4594	-294	-442	31.42	31.42	(4+5)-I-1	4.2
2	29975	85	12548	-3889	-1528	-1446	31.42	31.42	(4+5)-I-1	3.6
3	18492	1383	4499	-1332	-1429	-129	31.42	31.42	(4+5)-I-1	15
4	20423	4381	6616	-1506	-1381	345	31.42	31.42	(4+5)-I-1	12
5	20485	5877	7491	-1879	-1307	1196	31.42	31.42	(4+5)-I-1	6.9
6	22086	6689	7446	-2522	-1372	235	31.42	31.42	(4+5)-I-1	7.6
7	20483	1157	6206	-1381	-1512	139	31.42	31.42	(4+5)-I-1	14
8	20666	-658	5944	-1722	-1502	940	31.42	31.42	(4+5)-I-1	8.0
Massimi/minimi										
1							31.42			

**POTENZIAMENTO DELL'IMPIANTO DI DEPURAZIONE E
DEL RECAPITO FINALE DI SQUINZANO (LE)
PROGETTO DEFINITIVO
Tabulati di calcolo strutturale-Edificio Grigliatura
Grossolana**

R.37.11

Maggio 2021

Pagina 153 di
183

Pannello	Nx	Ny	Nxy	Mx	My	Mxy	Ax	Ay	C	Cs
1								31.42		
2										3.6

Muro [Platea]: 163 - Nodi: [4015-4021-4020]Pann=8Spess.=50 cm, Terreno=DefTerr_70882, ,Criterio=CLS_Platee_ND,
Materiale=C35/45, $\zeta_e=5.468$ [(4+5)-I-4] : **Verificato**

Armatura a maglia doppia

Pannello	Nx	Ny	Nxy	Mx	My	Mxy	Ax	Ay	C	Cs
	kg	kg	kg	kg*m	kg*m	kg*m	cmq	cmq		
1	-10616	-3766	-2548	-1418	-3427	-3463	31.42	31.42		3
2	-9111	-840	-2529	-1631	-2894	-2927	31.42	31.42		3
3	1642	9299	-1066	-1543	-3176	-2054	31.42	31.42	(4+5)-IV-3	3
4	-11194	6421	-2425	-291	-4558	-3376	31.42	31.42		3
5	-10961	-7823	-1483	-2064	-3202	-3035	31.42	31.42		3
6	-10796	-2297	-1720	-1424	-3115	-3310	31.42	31.42		3
7	-11047	-778	-2047	-1398	-3825	-3443	31.42	31.42		3
8	-11368	-8368	-917	-1799	-3765	-3634	31.42	31.42		3
Massimi/minimi										
1							31.42			
1								31.42		
4										3.0

Muro [Platea]: 194 - Nodi: [4092-4097-4090]Pann=8Spess.=50 cm, Terreno=DefTerr_70882, ,Criterio=CLS_Platee_ND,
Materiale=C35/45, $\zeta_e=2.338$ [(4+5)-V-3] : **Verificato**

Armatura a maglia doppia

Pannello	Nx	Ny	Nxy	Mx	My	Mxy	Ax	Ay	C	Cs
	kg	kg	kg	kg*m	kg*m	kg*m	cmq	cmq		
1	37047	85178	-54233	-5449	-17132	7219	56.00	56.00		3
2	31499	89818	-50486	-3720	-15085	5593	56.00	56.00		3
3	35984	88332	-47210	-6869	-13239	6985	56.00	56.00		3
4	41838	83898	-56980	-7182	-15096	7864	56.00	56.00		3
5	42601	93041	-57165	-8131	-16229	7937	56.00	56.00		3
6	40808	82658	-52593	-7264	-16253	7878	56.00	56.00		3
7	39200	85200	-54668	-7117	-14461	7956	56.00	56.00		3
8	38889	89620	-60802	-7588	-14624	7593	56.00	56.00		3
Massimi/minimi										
1							56.00			
1								56.00		
5										1.1

Muro [Platea]: 195 - Nodi: [4092-4106-4104-4097]Pann=8Spess.=50 cm, Terreno=DefTerr_70882, ,Criterio=CLS_Platee_ND,
Materiale=C35/45, $\zeta_e=4.688$ [(4+5)-VI-2] : **Verificato**

Armatura a maglia doppia

Pannello	Nx	Ny	Nxy	Mx	My	Mxy	Ax	Ay	C	Cs
	kg	kg	kg	kg*m	kg*m	kg*m	cmq	cmq		
1	95541	-11314	-6579	-9341	-1255	-2968	56.00	56.00		3
2	76080	-2791	7281	-9185	-2563	-3026	56.00	56.00		3
3	29989	-7260	-12491	-2150	-2461	-3078	31.42	31.42		3
4	31991	-10746	-700	-1253	-2262	-2176	31.42	31.42		3
5	-861	-6080	-1144	668	-2031	-1185	31.42	31.42		3
6	6616	-10720	1903	1365	-2091	-1221	31.42	31.42		3
7	10682	-772	5063	-1244	-812	41	31.42	31.42	(4+5)-VI-2	18
8	6239	1882	14324	-1473	-1429	-997	31.42	31.42	(4+5)-V-2	9.8
Massimi/minimi										
1							56.00			
1								56.00		
1										2.0

**POTENZIAMENTO DELL'IMPIANTO DI DEPURAZIONE E
DEL RECAPITO FINALE DI SQUINZANO (LE)
PROGETTO DEFINITIVO
Tabulati di calcolo strutturale-Edificio Grigliatura
Grossolana**

R.37.11

Maggio 2021

Pagina 154 di
183

Muro [Platea]: 196 - Nodi: [4103-4096-4097-4104]Pann=16Spess.=50 cm, Terreno=DefTerr_70882, ,Criterio=CLS_Platee_ND, Materiale=C35/45, $\zeta_e=4.618$ [(4+5)-VII-4] : **Verificato**

Armatura a maglia doppia

Pannello	Nx	Ny	Nxy	Mx	My	Mxy	Ax	Ay	C	Cs
	kg	kg	kg	kg*m	kg*m	kg*m	cmq	cmq		
1	-12000	-7503	19059	1367	2544	-1058	31.42	31.42	3	7.5
2	-9150	-8202	18846	1063	1709	-1112	31.42	31.42	(4+5)-VII-1	9.6
3	-11442	-808	16136	1253	153	-848	31.42	31.42	(4+5)-II-1	13
4	3662	13954	-4696	158	-1587	1306	31.42	31.42	(4+5)-VII-4	7.8
5	-15625	3392	20356	2811	3446	-658	31.42	31.42	3	6.0
6	-5756	911	19811	3260	2360	-768	31.42	31.42	3	6.6
7	1627	-1146	16947	2944	765	-676	31.42	31.42	3	6.9
8	291	-5074	13665	1895	-882	-1000	31.42	31.42	(4+5)-VII-1	8.8
9	-10748	7967	23188	1663	2970	-480	31.42	31.42	3	6.9
10	-4282	8332	20707	1640	1651	-1115	31.42	31.42	3	8.6
11	-169	3260	18371	1265	144	-1551	31.42	31.42	(4+5)-VII-1	9.0
12	19937	-1358	18395	368	-2056	-1554	31.42	31.42	3	7.1
13	2189	1212	17959	-2257	775	-1838	31.42	31.42	3	6.1
14	-4345	8242	15285	-4150	-784	-3277	31.42	31.42	3	3.5
15	3466	18986	18392	-5759	-2238	-3808	31.42	31.42	3	2.6
16	35258	20966	29001	-6967	-4259	-3620	31.42	31.42	3	1.7
Massimi/minimi										
1							31.42			
1								31.42		
16										1.7

Muro [Platea]: 201 - Nodi: [4020-4028-4027]Pann=10Spess.=50 cm, Terreno=DefTerr_70882, ,Criterio=CLS_Platee_ND, Materiale=C35/45, $\zeta_e=3.780$ [(4+5)-I-1] : **Verificato**

Armatura a maglia doppia

Pannello	Nx	Ny	Nxy	Mx	My	Mxy	Ax	Ay	C	Cs
	kg	kg	kg	kg*m	kg*m	kg*m	cmq	cmq		
1	-2267	1970	-3350	-2276	444	1642	31.42	31.42	(4+5)-VI-1	6.6
2	-1675	4356	-5157	-2231	814	1554	31.42	31.42	(4+5)-VI-1	6.8
3	1065	7884	-6886	-1633	134	1649	31.42	31.42	(4+5)-VI-1	7.7
4	4072	16465	-7838	-828	-1062	1710	31.42	31.42	(4+5)-V-1	8.0
5	10993	28765	-2231	643	-3811	-553	31.42	31.42	(4+5)-I-1	4.5
6	4122	12664	-4961	-52	-1013	1595	31.42	31.42	(4+5)-V-1	8.8
7	50	5231	-5330	-1093	440	1686	31.42	31.42	(4+5)-VI-1	9.2
8	-2348	1583	-1172	-2962	187	1010	31.42	31.42	(4+5)-VI-1	6.5
9	-2827	1221	-2323	-2687	193	1337	31.42	31.42	(4+5)-VI-1	6.5
10	-350	4752	-4490	-1621	509	1879	31.42	31.42	(4+5)-VI-1	7.3
Massimi/minimi										
1							31.42			
1								31.42		
5										4.5

Muro [Platea]: 202 - Nodi: [4015-4020-4026]Pann=3Spess.=50 cm, Terreno=DefTerr_70882, ,Criterio=CLS_Platee_ND, Materiale=C35/45, $\zeta_e=7.497$ [(4+5)-III-3] : **Verificato**

Armatura a maglia doppia

Pannello	Nx	Ny	Nxy	Mx	My	Mxy	Ax	Ay	C	Cs
	kg	kg	kg	kg*m	kg*m	kg*m	cmq	cmq		
1	-3128	3989	1197	-2337	-289	594	31.42	31.42	(4+5)-VI-1	8.9
2	-6532	-2629	-12837	-130	2594	-457	31.42	31.42	1	8.5
3	-2066	11122	9888	-2916	491	-1773	31.42	31.42	(4+5)-III-3	5.5
Massimi/minimi										
1							31.42			
1								31.42		
3										5.5

**POTENZIAMENTO DELL'IMPIANTO DI DEPURAZIONE E
DEL RECAPITO FINALE DI SQUINZANO (LE)
PROGETTO DEFINITIVO
Tabulati di calcolo strutturale-Edificio Grigliatura
Grossolana**

R.37.11

Maggio 2021

Pagina 155 di
183

Muro [Platea]: 203 - Nodi: [4020-4027-4026]Pann=6Spess.=50 cm, Terreno=DefTerr_70882, ,Criterio=CLS_Platee_ND,
Materiale=C35/45, $\zeta_e=3.879$ [(4+5)-I-1] : **Verificato**

Armatura a maglia doppia

Pannello	Nx	Ny	Nxy	Mx	My	Mxy	Ax	Ay	C	Cs
	kg	kg	kg	kg*m	kg*m	kg*m	cmq	cmq		
1	-7504	6993	5732	1849	2065	364	31.42	31.42	1	9.9
2	-2426	8504	5095	1711	3548	1315	31.42	31.42	1	4.9
3	-8419	7182	4334	2070	2712	904	31.42	31.42	1	6.6
4	-8638	4525	2737	1516	1747	561	31.42	31.42	(4+5)-V-4	11
5	1156	-862	3912	339	-2811	366	31.42	31.42	(4+5)-VI-1	8.1
6	531	2772	4320	1052	-1442	-807	31.42	31.42	(4+5)-V-1	11
Massimi/minimi										
1							31.42			
1								31.42		
2										4.9

Muro [Platea]: 204 - Nodi: [4015-4026-4014]Pann=9Spess.=50 cm, Terreno=DefTerr_70882, ,Criterio=CLS_Platee_ND,
Materiale=C35/45, $\zeta_e=3.005$ [(4+5)-III-2] : **Verificato**

Armatura a maglia doppia

Pannello	Nx	Ny	Nxy	Mx	My	Mxy	Ax	Ay	C	Cs
	kg	kg	kg	kg*m	kg*m	kg*m	cmq	cmq		
1	-18934	-938	-5083	1407	232	826	31.42	31.42	1	13
2	-15698	727	-3917	1027	43	935	31.42	31.42	1	15
3	16800	2704	4878	-1788	-152	-494	31.42	31.42	(4+5)-III-3	9.7
4	-16734	-3165	-7006	1512	3	39	31.42	31.42	1	19
5	-15148	-4692	-8037	1411	446	667	31.42	31.42	(4+5)-I-4	14
6	31448	-5403	-6613	-3048	453	511	31.42	31.42	(4+5)-III-2	5.3
7	-12653	-2580	-4333	2201	-2100	-1414	31.42	31.42	1	7.4
8	-18507	-2903	-7185	1307	288	951	31.42	31.42	(4+5)-I-4	13
9	-17029	-2907	-7859	1511	158	798	31.42	31.42	(4+5)-I-4	12
Massimi/minimi										
1							31.42			
1								31.42		
6										5.3

Muro [Platea]: 205 - Nodi: [4026-4027-4014]Pann=8Spess.=50 cm, Terreno=DefTerr_70882, ,Criterio=CLS_Platee_ND,
Materiale=C35/45, $\zeta_e=5.150$ [(4+5)-I-1] : **Verificato**

Armatura a maglia doppia

Pannello	Nx	Ny	Nxy	Mx	My	Mxy	Ax	Ay	C	Cs
	kg	kg	kg	kg*m	kg*m	kg*m	cmq	cmq		
1	17086	-4355	4666	-2076	372	-261	31.42	31.42	(4+5)-III-2	9.4
2	9810	2638	-6366	-1529	-423	826	31.42	31.42	(4+5)-VIII-1	10.0
3	10368	5027	-7183	-1465	-658	1063	31.42	31.42	(4+5)-VIII-1	9.2
4	13112	3026	8393	-1092	-100	-860	31.42	31.42	(4+5)-III-2	12
5	11879	-1786	8402	-667	437	-1034	31.42	31.42	(4+5)-III-2	14
6	21386	-2158	10651	-1873	188	-1232	31.42	31.42	(4+5)-I-1	6.8
7	16476	-5222	5418	-2273	154	-276	31.42	31.42	(4+5)-III-2	8.7
8	18604	-2526	6550	-2021	445	-474	31.42	31.42	(4+5)-III-2	8.7
Massimi/minimi										
1							31.42			
1								31.42		
6										6.8

Verifica dei Muri (Stati limite esercizio)

Scenario di calcolo: ScenarioNT_2018 A2_SLV_SLD_STR_GEO

Simbologia

P.	Numero pannello
Nx [daN/cm ²]	Sforzo normale in direzione x
Ny [daN/cm ²]	Sforzo normale in direzione y
Nxy [daN/cm ²]	Sforzo tagliante in direzione xy
Mx [kg]	Momento flettente in direzione x
My [kg]	Momento flettente in direzione y
Mxy [kg]	Momento torcente
Afx [cm ² /m]	Area acciaio in direzione x per metro lineare
Afy [cm ² /m]	Area acciaio in direzione y per metro lineare
σc [kg/cm ²]	Tensione nel calcestruzzo compresso
σf [kg/cm ²]	Tensione nell'acciaio
σct [kg/cm ²]	Tensione nel calcestruzzo teso
σsct [kg/cm ²]	Tensione nel calcestruzzo teso (quando richiesto dalla verifica)
σsca [kg/cm ²]	Tensione ammissibile nel calcestruzzo
σsfa [kg/cm ²]	Tensione ammissibile nell'acciaio
σscta [kg/cm ²]	Tensione ammissibile nel calcestruzzo teso
Cbc	Combinazione generatore della tensione nel cls compresso
Cbct	Combinazione generatore della tensione nel cls teso
Cbf	Combinazione generatore della tensione nell'acciaio
Cb	Combinazione
σsfmed [kg/cm ²]	Tensione media dell'acciaio
Wd [mm]	Apertura delle fessure
Wk [mm]	Apertura caratteristica delle fessure
Wamm_Freq [mm]	Apertura ammissibile delle fessure per combinazione Frequente
Wamm_Qp [mm]	Apertura ammissibile delle fessure per combinazione Quasi Permanente
Wamm_Rara [mm]	Apertura ammissibile delle fessure per combinazione Rara
Cs	Coefficiente di sicurezza definito come minimo di σ_{Amm}/σ tra acciaio e calcestruzzo oppure Wamm/Wk

Muro [Platea]: 1 - Nodi: [4006-4019-4017-4005]Pann=4Spess.=50 cm, Terreno=DefTerr_70882, ,Criterio=CLS_Platee_ND, Materiale=C35/45

Armatura a maglia doppia, Stampa elementi piu' gravosi

Combinazione Rara: σ_{ca} [kg/cmq]=224 σ_{fa} [kg/cmq]=3600

P.	Afx	Afy	σ_c	σ_f	Cbc	Cbf	Ver	Cs
	cmq/m	cmq/m	kg/cmq	kg/cmq				
4	31.42	31.42	-1	98	6	6	Si	37
2	31.42	31.42	-0	276	6	6	Si	13

Combinazione QP: σ_{ca} [kg/cmq]=168 σ_{fa} [kg/cmq]=3600

P.	Afx	Afy	σ_c	σ_f	Cbc	Cbf	Ver	Cs
	cmq/m	cmq/m	kg/cmq	kg/cmq				
4	31.42	31.42	-1	118	8	8	Si	31
3	31.42	31.42	-0	270	8	8	Si	13

Verifica aperture fessure:Wamm Freq[mm]=0.300 Wamm Qp[mm]=0.200

P.	Nx	Ny	Nxy	Mx	My	Mxy	σ_{fmed}	Wd	Wk	Cb	Ver	Cs
	daN/cm	daN/cm	daN/cm	kg	kg	kg	kg/cm	mm	mm			
3	1.12	0.08	-0.49	-582	99	218	270	0.040	0.040	8 (Qp)	Si	5.0
3	1.11	0.08	-0.49	-574	101	215	268	0.040	0.040	7 (Fr)	Si	7.6

Muro [Platea]: 2 - Nodi: [4005-4017-4016-4004]Pann=8Spess.=50 cm, Terreno=DefTerr_70882, ,Criterio=CLS_Platee_ND, Materiale=C35/45

Armatura a maglia doppia, Stampa elementi piu' gravosi

Combinazione Rara: σ_{ca} [kg/cmq]=224 σ_{fa} [kg/cmq]=3600

P.	Afx	Afy	σ_c	σ_f	Cbc	Cbf	Ver	Cs
	cmq/m	cmq/m	kg/cmq	kg/cmq				
4	31.42	31.42	-1	6	6	6	Si	>100
5	31.42	31.42	-1	425	6	6	Si	8.5

Combinazione QP: σ_{ca} [kg/cmq]=168 σ_{fa} [kg/cmq]=3600

P.	Afx	Afy	σ_c	σ_f	Cbc	Cbf	Ver	Cs
	cmq/m	cmq/m	kg/cmq	kg/cmq				
4	31.42	31.42	-1	8	8	8	Si	>100
5	31.42	31.42	-1	414	8	8	Si	8.7

Verifica aperture fessure:Wamm Freq[mm]=0.300 Wamm Qp[mm]=0.200

P.	Nx	Ny	Nxy	Mx	My	Mxy	σ_{fmed}	Wd	Wk	Cb	Ver	Cs
	daN/cm	daN/cm	daN/cm	kg	kg	kg	kg/cm	mm	mm			
5	0.29	1.54	-0.13	-331	-1055	457	414	0.057	0.057	8 (Qp)	Si	3.5
5	0.28	1.54	-0.10	-315	-1049	436	412	0.056	0.056	7 (Fr)	Si	5.3

Muro [Platea]: 3 - Nodi: [4004-4016-4015-4003]Pann=12Spess.=50 cm, Terreno=DefTerr_70882, ,Criterio=CLS_Platee_ND, Materiale=C35/45

Armatura a maglia doppia, Stampa elementi piu' gravosi

Combinazione Rara: σ_{ca} [kg/cmq]=224 σ_{fa} [kg/cmq]=3600

P.	Afx	Afy	σ_c	σ_f	Cbc	Cbf	Ver	Cs
	cmq/m	cmq/m	kg/cmq	kg/cmq				
1	31.42	31.42	-1	44	6	6	Si	82
6	31.42	31.42	-0	626	6	6	Si	5.8

Combinazione QP: σ_{ca} [kg/cmq]=168 σ_{fa} [kg/cmq]=3600

P.	Afx	Afy	σ_c	σ_f	Cbc	Cbf	Ver	Cs
	cmq/m	cmq/m	kg/cmq	kg/cmq				
1	31.42	31.42	-1	47	8	8	Si	76
6	31.42	31.42	-0	685	8	8	Si	5.3

Verifica aperture fessure:Wamm Freq[mm]=0.300 Wamm Qp[mm]=0.200

P.	Nx	Ny	Nxy	Mx	My	Mxy	σ_{fmed}	Wd	Wk	Cb	Ver	Cs
	daN/cm	daN/cm	daN/cm	kg	kg	kg	kg/cm	mm	mm			
6	-0.06	3.01	-0.33	68	-1295	202	685	0.106	0.106	8 (Qp)	Si	1.9
6	-0.06	2.93	-0.33	66	-1261	202	667	0.103	0.103	7 (Fr)	Si	2.9

Muro [Platea]: 4 - Nodi: [4003-4015-4014-4002]Pann=12Spess.=50 cm, Terreno=DefTerr_70882, ,Criterio=CLS_Platee_ND, Materiale=C35/45

Armatura a maglia doppia, Stampa elementi piu' gravosi

Combinazione Rara: σ_{ca} [kg/cmq]=224 σ_{fa} [kg/cmq]=3600

P.	Afx	Afy	σ_c	σ_f	Cbc	Cbf	Ver	Cs
	cmq/m	cmq/m	kg/cmq	kg/cmq				
3	31.42	31.42	-4	8	6	6	Si	56
1	31.42	31.42	-0	187	6	6	Si	19

Combinazione QP: σ_{ca} [kg/cmq]=168 σ_{fa} [kg/cmq]=3600

P.	Afx	Afy	σ_c	σ_f	Cbc	Cbf	Ver	Cs
	cmq/m	cmq/m	kg/cmq	kg/cmq				
3	31.42	31.42	-3	6	8	8	Si	53
1	31.42	31.42	-0	246	8	8	Si	15

Verifica aperture fessure:Wamm Freq[mm]=0.300 Wamm Qp[mm]=0.200

P.	Nx	Ny	Nxy	Mx	My	Mxy	σ_{fmed}	Wd	Wk	Cb	Ver	Cs
	daN/cm ²	daN/cm ²	daN/cm ²	kg	kg	kg	kg/cm ²	mm	mm			
1	-0.04	0.98	0.22	6	-569	-354	246	0.035	0.035	8 (Qp)	Si	5.7
1	-0.05	0.91	0.22	5	-542	-355	232	0.033	0.033	7 (Fr)	Si	9.1

Muro [Platea]: 5 - Nodi: [4002-4014-4012-4001]Pann=4Spess.=50 cm, Terreno=DefTerr_70882, ,Criterio=CLS_Platee_ND, Materiale=C35/45

Armatura a maglia doppia, Stampa elementi piu' gravosi

Combinazione Rara: σ_{ca} [kg/cmq]=224 σ_{fa} [kg/cmq]=3600

P.	Afx	Afy	σ_c	σ_f	Cbc	Cbf	Ver	Cs
	cmq/m	cmq/m	kg/cmq	kg/cmq				
1	31.42	31.42	0	132	6	6	Si	27
3	31.42	31.42	0	200	6	6	Si	18

Combinazione QP: σ_{ca} [kg/cmq]=168 σ_{fa} [kg/cmq]=3600

P.	Afx	Afy	σ_c	σ_f	Cbc	Cbf	Ver	Cs
	cmq/m	cmq/m	kg/cmq	kg/cmq				
1	31.42	31.42	0	130	8	8	Si	28
3	31.42	31.42	0	214	8	8	Si	17

Verifica aperture fessure:Wamm Freq[mm]=0.300 Wamm Qp[mm]=0.200

P.	Nx	Ny	Nxy	Mx	My	Mxy	σ_{fmed}	Wd	Wk	Cb	Ver	Cs
	daN/cm ²	daN/cm ²	daN/cm ²	kg	kg	kg	kg/cm ²	mm	mm			
3	0.86	0.73	0.77	-488	-456	-213	214	0.031	0.031	8 (Qp)	Si	6.5
3	0.84	0.72	0.77	-475	-448	-213	209	0.030	0.030	7 (Fr)	Si	10.0

Muro [Platea]: 6 - Nodi: [4014-4040-4038-4012]Pann=16Spess.=50 cm, Terreno=DefTerr_70882, ,Criterio=CLS_Platee_ND, Materiale=C35/45

Armatura a maglia doppia, Stampa elementi piu' gravosi

Combinazione Rara: σ_{ca} [kg/cmq]=224 σ_{fa} [kg/cmq]=3600

P.	Afx	Afy	σ_c	σ_f	Cbc	Cbf	Ver	Cs
	cmq/m	cmq/m	kg/cmq	kg/cmq				
8	31.42	31.42	-1	6	6	6	Si	>100
15	31.42	31.42	0	857	6	6	Si	4.2

Combinazione QP: σ_{ca} [kg/cmq]=168 σ_{fa} [kg/cmq]=3600

P.	Afx	Afy	σ_c	σ_f	Cbc	Cbf	Ver	Cs
	cmq/m	cmq/m	kg/cmq	kg/cmq				
2	31.42	31.42	-1	197	8	8	Si	18
15	31.42	31.42	0	887	8	8	Si	4.1

Verifica aperture fessure:Wamm Freq[mm]=0.300 Wamm Qp[mm]=0.200

P.	Nx	Ny	Nxy	Mx	My	Mxy	σ_{fmed}	Wd	Wk	Cb	Ver	Cs
	daN/cm ²	daN/cm ²	daN/cm ²	kg	kg	kg	kg/cm ²	mm	mm			
15	3.66	0.57	0.07	-1908	-454	297	887	0.131	0.131	8 (Qp)	Si	1.5
15	3.57	0.57	0.08	-1874	-453	292	867	0.128	0.128	7 (Fr)	Si	2.3

Muro [Platea]: 7 - Nodi: [4040-4059-4057-4038]Pann=20Spess.=50 cm, Terreno=DefTerr_70882, ,Criterio=CLS_Platee_ND, Materiale=C35/45

Armatura a maglia doppia, Stampa elementi piu' gravosi

Combinazione Rara: σ_{ca} [kg/cmq]=224 σ_{fa} [kg/cmq]=3600

P.	Afx	Afy	σ_c	σ_f	Cbc	Cbf	Ver	Cs
	cmq/m	cmq/m	kg/cmq	kg/cmq				
9	31.42	31.42	-3	0	6	6	Si	65
19	31.42	31.42	-0	1074	6	6	Si	3.4

Combinazione QP: σ_{ca} [kg/cmq]=168 σ_{fa} [kg/cmq]=3600

P.	Afx	Afy	σ_c	σ_f	Cbc	Cbf	Ver	Cs
	cmq/m	cmq/m	kg/cmq	kg/cmq				
9	31.42	31.42	-3	-0	8	8	Si	53
19	31.42	31.42	-0	1078	8	8	Si	3.3

Verifica aperture fessure:Wamm Freq[mm]=0.300 Wamm Qp[mm]=0.200

P.	Nx	Ny	Nxy	Mx	My	Mxy	σ_{fmed}	Wd	Wk	Cb	Ver	Cs
	daN/cm	daN/cm	daN/cm	kg	kg	kg	kg/cm	mm	mm			
19	4.31	0.64	0.18	-2467	-564	487	1078	0.155	0.155	8 (Qp)	Si	1.3
19	4.25	0.63	0.18	-2442	-559	483	1066	0.153	0.153	7 (Fr)	Si	2.0

Muro [Platea]: 10 - Nodi: [4100-4113-4112-4098]Pann=4Spess.=50 cm, Terreno=DefTerr_70882, ,Criterio=CLS_Platee_ND, Materiale=C35/45

Armatura a maglia doppia, Stampa elementi piu' gravosi

Combinazione Rara: σ_{ca} [kg/cmq]=224 σ_{fa} [kg/cmq]=3600

P.	Afx	Afy	σ_c	σ_f	Cbc	Cbf	Ver	Cs
	cmq/m	cmq/m	kg/cmq	kg/cmq				
1	31.42	31.42	0	248	6	6	Si	15
3	31.42	31.42	0	248	6	6	Si	14

Combinazione QP: σ_{ca} [kg/cmq]=168 σ_{fa} [kg/cmq]=3600

P.	Afx	Afy	σ_c	σ_f	Cbc	Cbf	Ver	Cs
	cmq/m	cmq/m	kg/cmq	kg/cmq				
1	31.42	31.42	0	260	8	8	Si	14

Verifica aperture fessure:Wamm Freq[mm]=0.300 Wamm Qp[mm]=0.200

P.	Nx	Ny	Nxy	Mx	My	Mxy	σ_{fmed}	Wd	Wk	Cb	Ver	Cs
	daN/cm	daN/cm	daN/cm	kg	kg	kg	kg/cm	mm	mm			
1	1.04	0.85	-1.33	-599	-475	440	260	0.037	0.037	8 (Qp)	Si	5.4
1	1.01	0.83	-1.33	-587	-465	442	254	0.036	0.036	7 (Fr)	Si	8.2

Muro [Platea]: 11 - Nodi: [4101-4114-4113-4100]Pann=16Spess.=50 cm, Terreno=DefTerr_70882, ,Criterio=CLS_Platee_ND, Materiale=C35/45

Armatura a maglia doppia, Stampa elementi piu' gravosi

Combinazione Rara: σ_{ca} [kg/cmq]=224 σ_{fa} [kg/cmq]=3600

P.	Afx	Afy	σ_c	σ_f	Cbc	Cbf	Ver	Cs
	cmq/m	cmq/m	kg/cmq	kg/cmq				
10	31.42	31.42	-5	5	6	6	Si	44
8	31.42	31.42	-1	621	6	6	Si	5.8

Combinazione QP: σ_{ca} [kg/cmq]=168 σ_{fa} [kg/cmq]=3600

P.	Afx	Afy	σ_c	σ_f	Cbc	Cbf	Ver	Cs
	cmq/m	cmq/m	kg/cmq	kg/cmq				
9	31.42	31.42	-5	-1	8	8	Si	37
8	31.42	31.42	-1	633	8	8	Si	5.7

Verifica aperture fessure:Wamm Freq[mm]=0.300 Wamm Qp[mm]=0.200

P.	Nx	Ny	Nxy	Mx	My	Mxy	σ_{fmed}	Wd	Wk	Cb	Ver	Cs
	daN/cm	daN/cm	daN/cm	kg	kg	kg	kg/cm	mm	mm			
8	0.63	2.41	-1.43	-607	-1569	1112	633	0.088	0.088	8 (Qp)	Si	2.3
8	0.61	2.37	-1.39	-595	-1552	1092	625	0.087	0.087	7 (Fr)	Si	3.5

Muro [Platea]: 12 - Nodi: [4103-4115-4114-4101-4102] Pann=16Spess.=50 cm, Terreno=DefTerr_70882, ,Criterio=CLS_Platee_ND, Materiale=C35/45

Armatura a maglia doppia, Stampa elementi piu' gravosi

Combinazione Rara: σ_{ca} [kg/cmq]=224 σ_{fa} [kg/cmq]=3600

P.	Afx	Afy	σ_c	σ_f	Cbc	Cbf	Ver	Cs
	cmq/m	cmq/m	kg/cmq	kg/cmq				
12	31.42	31.42	-7	2	6	6	Si	32
4	31.42	31.42	-4	31	6	6	Si	54

Combinazione QP: σ_{ca} [kg/cmq]=168 σ_{fa} [kg/cmq]=3600

P.	Afx	Afy	σ_c	σ_f	Cbc	Cbf	Ver	Cs
	cmq/m	cmq/m	kg/cmq	kg/cmq				
12	31.42	31.42	-7	2	8	8	Si	24
4	31.42	31.42	-4	32	8	8	Si	43

Verifica aperture fessure:Wamm Freq[mm]=0.300 Wamm Qp[mm]=0.200

P.	Nx	Ny	Nxy	Mx	My	Mxy	σ_{fmed}	Wd	Wk	Cb	Ver	Cs
	daN/cm	daN/cm	daN/cm	kg	kg	kg	kg/cm	mm	mm			
15	0.11	-3.93	0.66	-9	1401	-128	19	0.004	0.004	8 (Qp)	Si	52
15	0.11	-3.90	0.65	-9	1390	-126	19	0.004	0.004	7 (Fr)	Si	80

Muro [Platea]: 13 - Nodi: [4106-4117-4116-4104] Pann=4Spess.=50 cm, Terreno=DefTerr_70882, ,Criterio=CLS_Platee_ND, Materiale=C35/45

Armatura a maglia doppia, Stampa elementi piu' gravosi

Combinazione Rara: σ_{ca} [kg/cmq]=224 σ_{fa} [kg/cmq]=3600

P.	Afx	Afy	σ_c	σ_f	Cbc	Cbf	Ver	Cs
	cmq/m	cmq/m	kg/cmq	kg/cmq				
1	31.42	31.42	-0	171	6	6	Si	21
4	31.42	31.42	0	229	6	6	Si	16

Combinazione QP: σ_{ca} [kg/cmq]=168 σ_{fa} [kg/cmq]=3600

P.	Afx	Afy	σ_c	σ_f	Cbc	Cbf	Ver	Cs
	cmq/m	cmq/m	kg/cmq	kg/cmq				
1	31.42	31.42	-0	157	8	8	Si	23
2	31.42	31.42	0	230	8	8	Si	16

Verifica aperture fessure:Wamm Freq[mm]=0.300 Wamm Qp[mm]=0.200

P.	Nx	Ny	Nxy	Mx	My	Mxy	σ_{fmed}	Wd	Wk	Cb	Ver	Cs
	daN/cm	daN/cm	daN/cm	kg	kg	kg	kg/cm	mm	mm			
2	0.88	0.64	1.16	-565	-330	-382	230	0.032	0.032	8 (Qp)	Si	6.2
4	0.31	0.88	0.38	41	-490	-156	218	0.032	0.032	7 (Fr)	Si	9.5

Muro [Platea]: 14 - Nodi: [4104-4116-4115-4103] Pann=8Spess.=50 cm, Terreno=DefTerr_70882, ,Criterio=CLS_Platee_ND, Materiale=C35/45

Armatura a maglia doppia, Stampa elementi piu' gravosi

Combinazione Rara: σ_{ca} [kg/cmq]=224 σ_{fa} [kg/cmq]=3600

P.	Afx	Afy	σ_c	σ_f	Cbc	Cbf	Ver	Cs
	cmq/m	cmq/m	kg/cmq	kg/cmq				
8	31.42	31.42	-6	1	6	6	Si	35
1	31.42	31.42	-1	545	6	6	Si	6.6

Combinazione QP: σ_{ca} [kg/cmq]=168 σ_{fa} [kg/cmq]=3600

P.	Afx	Afy	σ_c	σ_f	Cbc	Cbf	Ver	Cs
	cmq/m	cmq/m	kg/cmq	kg/cmq				
8	31.42	31.42	-6	0	8	8	Si	26
1	31.42	31.42	-1	525	8	8	Si	6.9

Verifica aperture fessure:Wamm Freq[mm]=0.300 Wamm Qp[mm]=0.200

P.	Nx	Ny	Nxy	Mx	My	Mxy	σ_{fmed}	Wd	Wk	Cb	Ver	Cs
	daN/cm	daN/cm	daN/cm	kg	kg	kg	kg/cm	mm	mm			
1	0.60	1.88	0.98	-550	-1415	-1020	525	0.070	0.070	8 (Qp)	Si	2.9
1	0.58	1.89	0.96	-539	-1412	-1006	526	0.070	0.070	7 (Fr)	Si	4.3

Muro [Platea]: 15 - Nodi: [4019-4045-4043-4025-4017]Pann=15Spess.=50 cm, Terreno=DefTerr_70882, ,Criterio=CLS_Platee_ND, Materiale=C35/45

Armatura a maglia doppia, Stampa elementi piu' gravosi

Combinazione Rara: σ_{ca} [kg/cm²]=224 σ_{fa} [kg/cm²]=3600

P.	Afx	Afy	σ_c	σ_f	Cbc	Cbf	Ver	Cs
	cmq/m	cmq/m	kg/cm ²	kg/cm ²				
4	31.42	31.42	-8	516	6	6	Si	7.0

Combinazione QP: σ_{ca} [kg/cm²]=168 σ_{fa} [kg/cm²]=3600

P.	Afx	Afy	σ_c	σ_f	Cbc	Cbf	Ver	Cs
	cmq/m	cmq/m	kg/cm ²	kg/cm ²				
4	31.42	31.42	-7	514	8	8	Si	7.0

Verifica aperture fessure:Wamm Freq[mm]=0.300 Wamm Qp[mm]=0.200

P.	Nx	Ny	Nxy	Mx	My	Mxy	σ_{fmed}	Wd	Wk	Cb	Ver	Cs
	daN/cm ²	daN/cm ²	daN/cm ²	kg	kg	kg	kg/cm ²	mm	mm			
4	0.93	-0.12	-0.29	-2365	-574	-269	514	0.067	0.067	8 (Qp)	Si	3.0
4	0.89	-0.13	-0.29	-2377	-575	-289	509	0.066	0.066	7 (Fr)	Si	4.5

Muro [Platea]: 16 - Nodi: [4045-4064-4062-4043]Pann=8Spess.=50 cm, Terreno=DefTerr_70882, ,Criterio=CLS_Platee_ND, Materiale=C35/45

Armatura a maglia doppia, Stampa elementi piu' gravosi

Combinazione Rara: σ_{ca} [kg/cm²]=224 σ_{fa} [kg/cm²]=3600

P.	Afx	Afy	σ_c	σ_f	Cbc	Cbf	Ver	Cs
	cmq/m	cmq/m	kg/cm ²	kg/cm ²				
5	31.42	31.42	-1	33	6	6	Si	>100
7	31.42	31.42	0	161	6	6	Si	22

Combinazione QP: σ_{ca} [kg/cm²]=168 σ_{fa} [kg/cm²]=3600

P.	Afx	Afy	σ_c	σ_f	Cbc	Cbf	Ver	Cs
	cmq/m	cmq/m	kg/cm ²	kg/cm ²				
5	31.42	31.42	-1	34	8	8	Si	>100
7	31.42	31.42	0	158	8	8	Si	23

Verifica aperture fessure:Wamm Freq[mm]=0.300 Wamm Qp[mm]=0.200

P.	Nx	Ny	Nxy	Mx	My	Mxy	σ_{fmed}	Wd	Wk	Cb	Ver	Cs
	daN/cm ²	daN/cm ²	daN/cm ²	kg	kg	kg	kg/cm ²	mm	mm			
7	0.71	0.10	-0.33	-286	53	172	158	0.025	0.025	8 (Qp)	Si	8.0
7	0.70	0.10	-0.33	-284	52	173	157	0.025	0.025	7 (Fr)	Si	12

Muro [Platea]: 19 - Nodi: [4040-4014-4027-4034]Pann=38Spess.=50 cm, Terreno=DefTerr_70882, ,Criterio=CLS_Platee_ND, Materiale=C35/45

Armatura a maglia doppia, Stampa elementi piu' gravosi

Combinazione Rara: σ_{ca} [kg/cm²]=224 σ_{fa} [kg/cm²]=3600

P.	Afx	Afy	σ_c	σ_f	Cbc	Cbf	Ver	Cs
	cmq/m	cmq/m	kg/cm ²	kg/cm ²				
4	31.42	31.42	-5	840	6	6	Si	4.3

Combinazione QP: σ_{ca} [kg/cm²]=168 σ_{fa} [kg/cm²]=3600

P.	Afx	Afy	σ_c	σ_f	Cbc	Cbf	Ver	Cs
	cmq/m	cmq/m	kg/cm ²	kg/cm ²				
4	31.42	31.42	-7	1113	8	8	Si	3.2

Verifica aperture fessure:Wamm Freq[mm]=0.300 Wamm Qp[mm]=0.200

P.	Nx	Ny	Nxy	Mx	My	Mxy	σ_{fmed}	Wd	Wk	Cb	Ver	Cs
	daN/cm ²	daN/cm ²	daN/cm ²	kg	kg	kg	kg/cm ²	mm	mm			
4	4.47	-1.14	1.88	-2527	-1991	-631	1113	0.161	0.161	8 (Qp)	Si	1.2
4	4.13	-1.15	1.75	-2336	-1820	-576	1029	0.149	0.149	7 (Fr)	Si	2.0

Muro [Platea]: 33 - Nodi: [4094-4095-4102-4101]Pann=11Spess.=50 cm, Terreno=DefTerr_70882, ,Criterio=CLS_Platee_ND, Materiale=C35/45

Armatura a maglia doppia, Stampa elementi piu' gravosi

Combinazione Rara: σ_{ca} [kg/cmq]=224 σ_{fa} [kg/cmq]=3600

P.	Afx	Afy	σ_c	σ_f	Cbc	Cbf	Ver	Cs
	cmq/m	cmq/m	kg/cmq	kg/cmq				
10	31.42	31.42	-9	675	6	6	Si	5.3
9	31.42	31.42	-1	768	6	6	Si	4.7

Combinazione QP: σ_{ca} [kg/cmq]=168 σ_{fa} [kg/cmq]=3600

P.	Afx	Afy	σ_c	σ_f	Cbc	Cbf	Ver	Cs
	cmq/m	cmq/m	kg/cmq	kg/cmq				
10	31.42	31.42	-10	755	8	8	Si	4.8
9	31.42	31.42	-2	861	8	8	Si	4.2

Verifica aperture fessure:Wamm Freq[mm]=0.300 Wamm Qp[mm]=0.200

P.	Nx	Ny	Nxy	Mx	My	Mxy	σ_{fmed}	Wd	Wk	Cb	Ver	Cs
	daN/cm	daN/cm	daN/cm	kg	kg	kg	kg/cmq	mm	mm			
9	-0.26	3.19	0.11	-506	-2220	-930	861	0.117	0.117	8 (Qp)	Si	1.7
9	-0.32	3.06	0.14	-444	-2146	-925	829	0.113	0.113	7 (Fr)	Si	2.7

Muro [Platea]: 34 - Nodi: [4095-4096-4103-4102]Pann=22Spess.=50 cm, Terreno=DefTerr_70882, ,Criterio=CLS_Platee_ND, Materiale=C35/45

Armatura a maglia doppia, Stampa elementi piu' gravosi

Combinazione Rara: σ_{ca} [kg/cmq]=224 σ_{fa} [kg/cmq]=3600

P.	Afx	Afy	σ_c	σ_f	Cbc	Cbf	Ver	Cs
	cmq/m	cmq/m	kg/cmq	kg/cmq				
1	31.42	31.42	-7	-4	6	6	Si	34
7	31.42	31.42	-3	318	6	6	Si	11

Combinazione QP: σ_{ca} [kg/cmq]=168 σ_{fa} [kg/cmq]=3600

P.	Afx	Afy	σ_c	σ_f	Cbc	Cbf	Ver	Cs
	cmq/m	cmq/m	kg/cmq	kg/cmq				
9	31.42	31.42	-7	287	8	8	Si	13
7	31.42	31.42	-3	369	8	8	Si	9.8

Verifica aperture fessure:Wamm Freq[mm]=0.300 Wamm Qp[mm]=0.200

P.	Nx	Ny	Nxy	Mx	My	Mxy	σ_{fmed}	Wd	Wk	Cb	Ver	Cs
	daN/cm	daN/cm	daN/cm	kg	kg	kg	kg/cmq	mm	mm			
7	-1.25	1.00	-1.21	321	-1342	-175	369	0.048	0.048	8 (Qp)	Si	4.2
7	-1.24	0.94	-1.18	330	-1301	-174	352	0.046	0.046	7 (Fr)	Si	6.5

Muro [Platea]: 35 - Nodi: [4040-4065-4059]Pann=19Spess.=50 cm, Terreno=DefTerr_70882, ,Criterio=CLS_Platee_ND, Materiale=C35/45

Armatura a maglia doppia, Stampa elementi piu' gravosi

Combinazione Rara: σ_{ca} [kg/cmq]=224 σ_{fa} [kg/cmq]=3600

P.	Afx	Afy	σ_c	σ_f	Cbc	Cbf	Ver	Cs
	cmq/m	cmq/m	kg/cmq	kg/cmq				
16	31.42	31.42	-4	314	6	6	Si	11
18	31.42	31.42	-4	884	6	6	Si	4.1

Combinazione QP: σ_{ca} [kg/cmq]=168 σ_{fa} [kg/cmq]=3600

P.	Afx	Afy	σ_c	σ_f	Cbc	Cbf	Ver	Cs
	cmq/m	cmq/m	kg/cmq	kg/cmq				
16	31.42	31.42	-4	328	8	8	Si	11
18	31.42	31.42	-4	888	8	8	Si	4.1

Verifica aperture fessure:Wamm Freq[mm]=0.300 Wamm Qp[mm]=0.200

P.	Nx	Ny	Nxy	Mx	My	Mxy	σ_{fmed}	Wd	Wk	Cb	Ver	Cs
	daN/cm	daN/cm	daN/cm	kg	kg	kg	kg/cmq	mm	mm			
18	3.48	0.74	0.47	-2102	-1311	-825	888	0.126	0.126	8 (Qp)	Si	1.6
18	3.43	0.72	0.45	-2082	-1314	-818	877	0.124	0.124	7 (Fr)	Si	2.4

Muro [Platea]: 37 - Nodi: [4065-4071-4059]Pann=3Spess.=50 cm, Terreno=DefTerr_70882, ,Criterio=CLS_Platee_ND, Materiale=C35/45

Armatura a maglia doppia, Stampa elementi piu' gravosi

Combinazione Rara: $\sigma_{ca}[kg/cm^2]=224$ $\sigma_{fa}[kg/cm^2]=3600$

P.	Afx	Afy	σ_c	σ_f	Cbc	Cbf	Ver	Cs
	cmq/m	cmq/m	kg/cmq	kg/cmq				
3	31.42	31.42	-0	368	6	6	Si	9.8
2	31.42	31.42	0	670	6	6	Si	5.4

Combinazione QP: $\sigma_{ca}[kg/cm^2]=168$ $\sigma_{fa}[kg/cm^2]=3600$

P.	Afx	Afy	σ_c	σ_f	Cbc	Cbf	Ver	Cs
	cmq/m	cmq/m	kg/cmq	kg/cmq				
1	31.42	31.42	0	368	8	8	Si	9.8
2	31.42	31.42	0	690	8	8	Si	5.2

Verifica aperture fessure:Wamm Freq[mm]=0.300 Wamm Qp[mm]=0.200

P.	Nx	Ny	Nxy	Mx	My	Mxy	σ_{fmed}	Wd	Wk	Cb	Ver	Cs
	daN/cm ²	daN/cm ²	daN/cm ²	kg	kg	kg	kg/cm ²	mm	mm			
2	0.98	2.86	1.14	-429	-1469	-368	690	0.102	0.102	8 (Qp)	Si	2.0
2	0.97	2.81	1.12	-427	-1451	-356	678	0.100	0.100	7 (Fr)	Si	3.0

Muro [Platea]: 154 - Nodi: [4066-4071-4065]Pann=8Spess.=50 cm, Terreno=DefTerr_70882, ,Criterio=CLS_Platee_ND, Materiale=C35/45

Armatura a maglia doppia, Stampa elementi piu' gravosi

Combinazione Rara: $\sigma_{ca}[kg/cm^2]=224$ $\sigma_{fa}[kg/cm^2]=3600$

P.	Afx	Afy	σ_c	σ_f	Cbc	Cbf	Ver	Cs
	cmq/m	cmq/m	kg/cmq	kg/cmq				
3	31.42	31.42	-1	383	6	6	Si	9.4

Combinazione QP: $\sigma_{ca}[kg/cm^2]=168$ $\sigma_{fa}[kg/cm^2]=3600$

P.	Afx	Afy	σ_c	σ_f	Cbc	Cbf	Ver	Cs
	cmq/m	cmq/m	kg/cmq	kg/cmq				
8	31.42	31.42	-1	360	8	8	Si	10.0
3	31.42	31.42	-1	400	8	8	Si	9.0

Verifica aperture fessure:Wamm Freq[mm]=0.300 Wamm Qp[mm]=0.200

P.	Nx	Ny	Nxy	Mx	My	Mxy	σ_{fmed}	Wd	Wk	Cb	Ver	Cs
	daN/cm ²	daN/cm ²	daN/cm ²	kg	kg	kg	kg/cm ²	mm	mm			
3	1.78	-0.30	0.25	-739	261	-158	400	0.063	0.063	8 (Qp)	Si	3.2
3	1.74	-0.38	0.23	-725	282	-148	392	0.061	0.061	7 (Fr)	Si	4.9

Muro [Platea]: 155 - Nodi: [4050-4066-4065]Pann=8Spess.=50 cm, Terreno=DefTerr_70882, ,Criterio=CLS_Platee_ND, Materiale=C35/45

Armatura a maglia doppia, Stampa elementi piu' gravosi

Combinazione Rara: $\sigma_{ca}[kg/cm^2]=224$ $\sigma_{fa}[kg/cm^2]=3600$

P.	Afx	Afy	σ_c	σ_f	Cbc	Cbf	Ver	Cs
	cmq/m	cmq/m	kg/cmq	kg/cmq				
2	31.42	31.42	-1	279	6	6	Si	13

Combinazione QP: $\sigma_{ca}[kg/cm^2]=168$ $\sigma_{fa}[kg/cm^2]=3600$

P.	Afx	Afy	σ_c	σ_f	Cbc	Cbf	Ver	Cs
	cmq/m	cmq/m	kg/cmq	kg/cmq				
2	31.42	31.42	-1	293	8	8	Si	12

Verifica aperture fessure:Wamm Freq[mm]=0.300 Wamm Qp[mm]=0.200

P.	Nx	Ny	Nxy	Mx	My	Mxy	σ_{fmed}	Wd	Wk	Cb	Ver	Cs
	daN/cm ²	daN/cm ²	daN/cm ²	kg	kg	kg	kg/cm ²	mm	mm			
2	1.26	-0.44	-0.27	-579	280	38	293	0.045	0.045	8 (Qp)	Si	4.5
2	1.23	-0.51	-0.29	-568	304	48	286	0.044	0.044	7 (Fr)	Si	6.9

Muro [Platea]: 156 - Nodi: [4050-4065-4040]Pann=20Spess.=50 cm, Terreno=DefTerr_70882, ,Criterio=CLS_Platee_ND, Materiale=C35/45

Armatura a maglia doppia, Stampa elementi piu' gravosi

Combinazione Rara: $\sigma_{ca}[kg/cm^2]=224$ $\sigma_{fa}[kg/cm^2]=3600$

P.	Afx	Afy	σ_c	σ_f	Cbc	Cbf	Ver	Cs
	cmq/m	cmq/m	kg/cmq	kg/cmq				
16	31.42	31.42	-3	17	6	6	Si	72
7	31.42	31.42	-0	317	6	6	Si	11

Combinazione QP: σ_{ca} [kg/cmq]=168 σ_{fa} [kg/cmq]=3600

P.	Afx	Afy	σ_c	σ_f	Cbc	Cbf	Ver	Cs
	cmq/m	cmq/m	kg/cmq	kg/cmq				
16	31.42	31.42	-3	29	8	8	Si	59
7	31.42	31.42	-0	316	8	8	Si	11

Verifica aperture fessure:Wamm Freq[mm]=0.300 Wamm Qp[mm]=0.200

P.	Nx	Ny	Nxy	Mx	My	Mxy	σ_{fmed}	Wd	Wk	Cb	Ver	Cs
	daN/cm	daN/cm	daN/cm	kg	kg	kg	kg/cm	mm	mm			
7	1.23	0.07	-0.10	-755	-78	169	316	0.045	0.045	8 (Qp)	Si	4.5
7	1.21	0.06	-0.09	-747	-73	165	311	0.044	0.044	7 (Fr)	Si	6.8

Muro [Platea]: 157 - Nodi: [4046-4050-4040]Pann=9Spess.=50 cm, Terreno=DefTerr_70882, ,Criterio=CLS_Platee_ND, Materiale=C35/45

Armatura a maglia doppia, Stampa elementi piu' gravosi

Combinazione Rara: σ_{ca} [kg/cmq]=224 σ_{fa} [kg/cmq]=3600

P.	Afx	Afy	σ_c	σ_f	Cbc	Cbf	Ver	Cs
	cmq/m	cmq/m	kg/cmq	kg/cmq				
4	31.42	31.42	-3	54	6	6	Si	67
6	31.42	31.42	-1	192	6	6	Si	19

Combinazione QP: σ_{ca} [kg/cmq]=168 σ_{fa} [kg/cmq]=3600

P.	Afx	Afy	σ_c	σ_f	Cbc	Cbf	Ver	Cs
	cmq/m	cmq/m	kg/cmq	kg/cmq				
4	31.42	31.42	-3	76	8	8	Si	47
6	31.42	31.42	-1	203	8	8	Si	18

Verifica aperture fessure:Wamm Freq[mm]=0.300 Wamm Qp[mm]=0.200

P.	Nx	Ny	Nxy	Mx	My	Mxy	σ_{fmed}	Wd	Wk	Cb	Ver	Cs
	daN/cm	daN/cm	daN/cm	kg	kg	kg	kg/cm	mm	mm			
6	0.84	-0.29	0.48	-442	125	-218	203	0.030	0.030	8 (Qp)	Si	6.7
6	0.80	-0.30	0.49	-428	128	-222	196	0.029	0.029	7 (Fr)	Si	10

Muro [Platea]: 158 - Nodi: [4034-4046-4040]Pann=8Spess.=50 cm, Terreno=DefTerr_70882, ,Criterio=CLS_Platee_ND, Materiale=C35/45

Armatura a maglia doppia, Stampa elementi piu' gravosi

Combinazione Rara: σ_{ca} [kg/cmq]=224 σ_{fa} [kg/cmq]=3600

P.	Afx	Afy	σ_c	σ_f	Cbc	Cbf	Ver	Cs
	cmq/m	cmq/m	kg/cmq	kg/cmq				
8	31.42	31.42	-2	256	6	6	Si	14
3	31.42	31.42	-0	425	6	6	Si	8.5

Combinazione QP: σ_{ca} [kg/cmq]=168 σ_{fa} [kg/cmq]=3600

P.	Afx	Afy	σ_c	σ_f	Cbc	Cbf	Ver	Cs
	cmq/m	cmq/m	kg/cmq	kg/cmq				
8	31.42	31.42	-2	290	8	8	Si	12
3	31.42	31.42	-0	449	8	8	Si	8.0

Verifica aperture fessure:Wamm Freq[mm]=0.300 Wamm Qp[mm]=0.200

P.	Nx	Ny	Nxy	Mx	My	Mxy	σ_{fmed}	Wd	Wk	Cb	Ver	Cs
	daN/cm	daN/cm	daN/cm	kg	kg	kg	kg/cm	mm	mm			
3	2.05	-0.05	0.57	-769	28	-131	449	0.072	0.072	8 (Qp)	Si	2.8
3	1.99	-0.06	0.58	-750	18	-142	436	0.070	0.070	7 (Fr)	Si	4.3

Muro [Platea]: 159 - Nodi: [4017-4025-4024-4016]Pann=8Spess.=50 cm, Terreno=DefTerr_70882, ,Criterio=CLS_Platee_ND, Materiale=C35/45

Armatura a maglia doppia, Stampa elementi piu' gravosi

Combinazione Rara: σ_{ca} [kg/cmq]=224 σ_{fa} [kg/cmq]=3600

P.	Afx	Afy	σ_c	σ_f	Cbc	Cbf	Ver	Cs
	cmq/m	cmq/m	kg/cmq	kg/cmq				
1	31.42	31.42	-9	488	6	6	Si	7.4

Combinazione QP: σ_{ca} [kg/cmq]=168 σ_{fa} [kg/cmq]=3600

P.	Afx	Afy	σ_c	σ_f	Cbc	Cbf	Ver	Cs
	cmq/m	cmq/m	kg/cmq	kg/cmq				
1	31.42	31.42	-8	481	8	8	Si	7.5

Verifica aperture fessure:Wamm Freq[mm]=0.300 Wamm Qp[mm]=0.200

P.	Nx	Ny	Nxy	Mx	My	Mxy	σ_{fmed}	Wd	Wk	Cb	Ver	Cs
	daN/cm	daN/cm	daN/cm	kg	kg	kg	kg/cm	mm	mm			
1	0.61	1.54	0.13	-2479	-1080	-357	481	0.063	0.063	8 (Qp)	Si	3.2
1	0.58	1.53	0.16	-2498	-1080	-391	478	0.062	0.062	7 (Fr)	Si	4.8

Muro [Platea]: 160 - Nodi: [4024-4023-4016]Pann=8Spess.=50 cm, Terreno=DefTerr_70882, ,Criterio=CLS_Platee_ND, Materiale=C35/45

Armatura a maglia doppia, Stampa elementi piu' gravosi

Combinazione Rara: σ_{ca} [kg/cmq]=224 σ_{fa} [kg/cmq]=3600

P.	Afx	Afy	σ_c	σ_f	Cbc	Cbf	Ver	Cs
	cmq/m	cmq/m	kg/cmq	kg/cmq				
8	31.42	31.42	-2	87	6	6	Si	41
6	31.42	31.42	-0	231	6	6	Si	16

Combinazione QP: σ_{ca} [kg/cmq]=168 σ_{fa} [kg/cmq]=3600

P.	Afx	Afy	σ_c	σ_f	Cbc	Cbf	Ver	Cs
	cmq/m	cmq/m	kg/cmq	kg/cmq				
8	31.42	31.42	-2	94	8	8	Si	38
6	31.42	31.42	-0	243	8	8	Si	15

Verifica aperture fessure:Wamm Freq[mm]=0.300 Wamm Qp[mm]=0.200

P.	Nx	Ny	Nxy	Mx	My	Mxy	σ_{fmed}	Wd	Wk	Cb	Ver	Cs
	daN/cm	daN/cm	daN/cm	kg	kg	kg	kg/cm	mm	mm			
6	-0.23	0.96	0.75	-29	-562	146	243	0.035	0.035	8 (Qp)	Si	5.8
6	-0.23	0.95	0.75	-21	-545	153	237	0.034	0.034	7 (Fr)	Si	8.8

Muro [Platea]: 161 - Nodi: [4023-4022-4015-4016]Pann=13Spess.=50 cm, Terreno=DefTerr_70882, ,Criterio=CLS_Platee_ND, Materiale=C35/45

Armatura a maglia doppia, Stampa elementi piu' gravosi

Combinazione Rara: σ_{ca} [kg/cmq]=224 σ_{fa} [kg/cmq]=3600

P.	Afx	Afy	σ_c	σ_f	Cbc	Cbf	Ver	Cs
	cmq/m	cmq/m	kg/cmq	kg/cmq				
6	31.42	31.42	-3	179	6	6	Si	20
10	31.42	31.42	-1	571	6	6	Si	6.3

Combinazione QP: σ_{ca} [kg/cmq]=168 σ_{fa} [kg/cmq]=3600

P.	Afx	Afy	σ_c	σ_f	Cbc	Cbf	Ver	Cs
	cmq/m	cmq/m	kg/cmq	kg/cmq				
6	31.42	31.42	-3	187	8	8	Si	19
10	31.42	31.42	-1	632	8	8	Si	5.7

Verifica aperture fessure:Wamm Freq[mm]=0.300 Wamm Qp[mm]=0.200

P.	Nx	Ny	Nxy	Mx	My	Mxy	σ_{fmed}	Wd	Wk	Cb	Ver	Cs
	daN/cm	daN/cm	daN/cm	kg	kg	kg	kg/cm	mm	mm			
10	2.67	0.09	0.72	-1297	-339	-681	632	0.095	0.095	8 (Qp)	Si	2.1
10	2.59	0.07	0.73	-1261	-366	-661	612	0.092	0.092	7 (Fr)	Si	3.3

Muro [Platea]: 162 - Nodi: [4022-4021-4015]Pann=8Spess.=50 cm, Terreno=DefTerr_70882, ,Criterio=CLS_Platee_ND, Materiale=C35/45

Armatura a maglia doppia, Stampa elementi piu' gravosi

Combinazione Rara: σ_{ca} [kg/cmq]=224 σ_{fa} [kg/cmq]=3600

P.	Afx	Afy	σ_c	σ_f	Cbc	Cbf	Ver	Cs
	cmq/m	cmq/m	kg/cmq	kg/cmq				

**POTENZIAMENTO DELL'IMPIANTO DI DEPURAZIONE E
DEL RECAPITO FINALE DI SQUINZANO (LE)
PROGETTO DEFINITIVO
Tabulati di calcolo strutturale-Edificio Grigliatura
Grossolana**

R.37.11

Maggio 2021

Pagina 166 di
183

P.	Afx	Afy	σ_c	σ_f	Cbc	Cbf	Ver	Cs
1	31.42	31.42	-8	612	6	6	Si	5.9

Combinazione QP: $\sigma_{ca}[\text{kg/cm}^2]=168$ $\sigma_{fa}[\text{kg/cm}^2]=3600$

P.	Afx	Afy	σ_c	σ_f	Cbc	Cbf	Ver	Cs
	cmq/m	cmq/m	kg/cmq	kg/cmq				
1	31.42	31.42	-8	706	8	8	Si	5.1

Verifica aperture fessure:Wamm Freq[mm]=0.300 Wamm Qp[mm]=0.200

P.	Nx	Ny	Nxy	Mx	My	Mxy	σ_{fmed}	Wd	Wk	Cb	Ver	Cs
	daN/cm ²	daN/cm ²	daN/cm ²	kg	kg	kg	kg/cm ²	mm	mm			
1	1.64	0.60	0.84	-2864	-39	176	706	0.092	0.092	8 (Qp)	Si	2.2
1	1.54	0.57	0.85	-2777	-54	177	676	0.088	0.088	7 (Fr)	Si	3.4

Muro [Platea]: 163 - Nodi: [4015-4021-4020]Pann=8Spess.=50 cm, Terreno=DefTerr_70882, ,Criterio=CLS_Platee_ND, Materiale=C35/45

Armatura a maglia doppia, Stampa elementi piu' gravosi

Combinazione Rara: $\sigma_{ca}[\text{kg/cm}^2]=224$ $\sigma_{fa}[\text{kg/cm}^2]=3600$

P.	Afx	Afy	σ_c	σ_f	Cbc	Cbf	Ver	Cs
	cmq/m	cmq/m	kg/cmq	kg/cmq				
4	31.42	31.42	-10	622	6	6	Si	5.8

Combinazione QP: $\sigma_{ca}[\text{kg/cm}^2]=168$ $\sigma_{fa}[\text{kg/cm}^2]=3600$

P.	Afx	Afy	σ_c	σ_f	Cbc	Cbf	Ver	Cs
	cmq/m	cmq/m	kg/cmq	kg/cmq				
4	31.42	31.42	-10	688	8	8	Si	5.2

Verifica aperture fessure:Wamm Freq[mm]=0.300 Wamm Qp[mm]=0.200

P.	Nx	Ny	Nxy	Mx	My	Mxy	σ_{fmed}	Wd	Wk	Cb	Ver	Cs
	daN/cm ²	daN/cm ²	daN/cm ²	kg	kg	kg	kg/cm ²	mm	mm			
4	-1.45	1.14	-0.36	-238	-3278	-2437	688	0.090	0.090	8 (Qp)	Si	2.2
4	-1.45	1.07	-0.36	-243	-3199	-2352	665	0.087	0.087	7 (Fr)	Si	3.5

Muro [Platea]: 194 - Nodi: [4092-4097-4090]Pann=8Spess.=50 cm, Terreno=DefTerr_70882, ,Criterio=CLS_Platee_ND, Materiale=C35/45

Armatura a maglia doppia, Stampa elementi piu' gravosi

Combinazione Rara: $\sigma_{ca}[\text{kg/cm}^2]=224$ $\sigma_{fa}[\text{kg/cm}^2]=3600$

P.	Afx	Afy	σ_c	σ_f	Cbc	Cbf	Ver	Cs
	cmq/m	cmq/m	kg/cmq	kg/cmq				
1	56.00	56.00	-12	1952	6	6	Si	1.8
5	56.00	56.00	-6	1991	6	6	Si	1.8

Combinazione QP: $\sigma_{ca}[\text{kg/cm}^2]=168$ $\sigma_{fa}[\text{kg/cm}^2]=3600$

P.	Afx	Afy	σ_c	σ_f	Cbc	Cbf	Ver	Cs
	cmq/m	cmq/m	kg/cmq	kg/cmq				
1	56.00	56.00	-12	2165	8	8	Si	1.7
5	56.00	56.00	-5	2223	8	8	Si	1.6

Verifica aperture fessure:Wamm Freq[mm]=0.300 Wamm Qp[mm]=0.200

P.	Nx	Ny	Nxy	Mx	My	Mxy	σ_{fmed}	Wd	Wk	Cb	Ver	Cs
	daN/cm ²	daN/cm ²	daN/cm ²	kg	kg	kg	kg/cm ²	mm	mm			
3	5.03	12.60	-6.55	-4773	-9407	4874	1965	0.189	0.189	8 (Qp)	Si	1.1
3	4.89	12.12	-6.39	-4656	-9083	4746	1893	0.182	0.182	7 (Fr)	Si	1.7

Muro [Platea]: 195 - Nodi: [4092-4106-4104-4097]Pann=8Spess.=50 cm, Terreno=DefTerr_70882, ,Criterio=CLS_Platee_ND, Materiale=C35/45

Armatura a maglia doppia, Stampa elementi piu' gravosi

Combinazione Rara: $\sigma_{ca}[\text{kg/cm}^2]=224$ $\sigma_{fa}[\text{kg/cm}^2]=3600$

P.	Afx	Afy	σ_c	σ_f	Cbc	Cbf	Ver	Cs
	cmq/m	cmq/m	kg/cmq	kg/cmq				
3	31.42	31.42	-6	812	6	6	Si	4.4
1	56.00	56.00	-3	1641	6	6	Si	2.2

Combinazione QP: σ_{ca} [kg/cmq]=168 σ_{fa} [kg/cmq]=3600

P.	Afx	Afy	σ_c	σ_f	Cbc	Cbf	Ver	Cs
	cmq/m	cmq/m	kg/cmq	kg/cmq				
3	31.42	31.42	-6	920	8	8	Si	3.9
1	56.00	56.00	-3	1785	8	8	Si	2.0

Verifica aperture fessure:Wamm Freq[mm]=0.300 Wamm Qp[mm]=0.200

P.	Nx	Ny	Nxy	Mx	My	Mxy	σ_{fmed}	Wd	Wk	Cb	Ver	Cs
	daN/cm ²	daN/cm ²	daN/cm ²	kg	kg	kg	kg/cm ²	mm	mm			
1	13.42	-1.56	-0.97	-6566	-867	-2078	1785	0.188	0.188	8 (Qp)	Si	1.1
1	13.00	-1.52	-0.92	-6359	-847	-2022	1729	0.182	0.182	7 (Fr)	Si	1.6

Muro [Platea]: 196 - Nodi: [4103-4096-4097-4104]Pann=16Spess.=50 cm, Terreno=DefTerr_70882, ,Criterio=CLS_Platee_ND, Materiale=C35/45

Armatura a maglia doppia, Stampa elementi piu' gravosi

Combinazione Rara: σ_{ca} [kg/cmq]=224 σ_{fa} [kg/cmq]=3600

P.	Afx	Afy	σ_c	σ_f	Cbc	Cbf	Ver	Cs
	cmq/m	cmq/m	kg/cmq	kg/cmq				
15	31.42	31.42	-13	635	6	6	Si	5.7
16	31.42	31.42	-7	1422	6	6	Si	2.5

Combinazione QP: σ_{ca} [kg/cmq]=168 σ_{fa} [kg/cmq]=3600

P.	Afx	Afy	σ_c	σ_f	Cbc	Cbf	Ver	Cs
	cmq/m	cmq/m	kg/cmq	kg/cmq				
15	31.42	31.42	-14	707	8	8	Si	5.1
16	31.42	31.42	-7	1570	8	8	Si	2.3

Verifica aperture fessure:Wamm Freq[mm]=0.300 Wamm Qp[mm]=0.200

P.	Nx	Ny	Nxy	Mx	My	Mxy	σ_{fmed}	Wd	Wk	Cb	Ver	Cs
	daN/cm ²	daN/cm ²	daN/cm ²	kg	kg	kg	kg/cm ²	mm	mm			
15	0.50	2.68	2.54	-4049	-1574	-2633	677	0.097	0.097	8 (Qp)	Si	2.1
15	0.47	2.59	2.48	-3912	-1528	-2576	656	0.094	0.094	7 (Fr)	Si	3.2

Muro [Platea]: 201 - Nodi: [4020-4028-4027]Pann=10Spess.=50 cm, Terreno=DefTerr_70882, ,Criterio=CLS_Platee_ND, Materiale=C35/45

Armatura a maglia doppia, Stampa elementi piu' gravosi

Combinazione Rara: σ_{ca} [kg/cmq]=224 σ_{fa} [kg/cmq]=3600

P.	Afx	Afy	σ_c	σ_f	Cbc	Cbf	Ver	Cs
	cmq/m	cmq/m	kg/cmq	kg/cmq				
8	31.42	31.42	-4	108	6	6	Si	33
5	31.42	31.42	-3	373	6	6	Si	9.7

Combinazione QP: σ_{ca} [kg/cmq]=168 σ_{fa} [kg/cmq]=3600

P.	Afx	Afy	σ_c	σ_f	Cbc	Cbf	Ver	Cs
	cmq/m	cmq/m	kg/cmq	kg/cmq				
8	31.42	31.42	-5	145	8	8	Si	25
5	31.42	31.42	-2	561	8	8	Si	6.4

Verifica aperture fessure:Wamm Freq[mm]=0.300 Wamm Qp[mm]=0.200

P.	Nx	Ny	Nxy	Mx	My	Mxy	σ_{fmed}	Wd	Wk	Cb	Ver	Cs
	daN/cm ²	daN/cm ²	daN/cm ²	kg	kg	kg	kg/cm ²	mm	mm			
5	1.27	2.97	-0.73	1223	-557	-1058	561	0.102	0.102	8 (Qp)	Si	2.0
5	1.18	2.74	-0.75	1233	-367	-1058	495	0.093	0.093	7 (Fr)	Si	3.2

Muro [Platea]: 202 - Nodi: [4015-4020-4026]Pann=3Spess.=50 cm, Terreno=DefTerr_70882, ,Criterio=CLS_Platee_ND, Materiale=C35/45

Armatura a maglia doppia, Stampa elementi piu' gravosi

Combinazione Rara: σ_{ca} [kg/cmq]=224 σ_{fa} [kg/cmq]=3600

P.	Afx	Afy	σ_c	σ_f	Cbc	Cbf	Ver	Cs
	cmq/m	cmq/m	kg/cmq	kg/cmq				
3	31.42	31.42	-7	186	6	6	Si	19

Combinazione QP: σ_{ca} [kg/cmq]=168 σ_{fa} [kg/cmq]=3600

P.	Afx	Afy	σ_c	σ_f	Cbc	Cbf	Ver	Cs
	cmq/m	cmq/m	kg/cmq	kg/cmq				
3	31.42	31.42	-7	189	8	8	Si	19

Verifica aperture fessure:Wamm Freq[mm]=0.300 Wamm Qp[mm]=0.200

P.	Nx	Ny	Nxy	Mx	My	Mxy	σ_{fmed}	Wd	Wk	Cb	Ver	Cs
	daN/cm ²	daN/cm ²	daN/cm ²	kg	kg	kg	kg/cm ²	mm	mm			
3	-0.88	0.57	0.35	-2037	410	-448	189	0.023	0.023	8 (Qp)	Si	8.7
3	-0.88	0.52	0.33	-2021	430	-446	187	0.023	0.023	7 (Fr)	Si	13

Muro [Platea]: 203 - Nodi: [4020-4027-4026]Pann=6Spess.=50 cm, Terreno=DefTerr_70882, ,Criterio=CLS_Platee_ND, Materiale=C35/45

Armatura a maglia doppia, Stampa elementi piu' gravosi

Combinazione Rara: σ_{ca} [kg/cm²]=224 σ_{fa} [kg/cm²]=3600

P.	Afx	Afy	σ_c	σ_f	Cbc	Cbf	Ver	Cs
	cmq/m	cmq/m	kg/cm ²	kg/cm ²				
2	31.42	31.42	-5	650	6	6	Si	5.5

Combinazione QP: σ_{ca} [kg/cm²]=168 σ_{fa} [kg/cm²]=3600

P.	Afx	Afy	σ_c	σ_f	Cbc	Cbf	Ver	Cs
	cmq/m	cmq/m	kg/cm ²	kg/cm ²				
6	31.42	31.42	-4	109	8	8	Si	33
2	31.42	31.42	-4	688	8	8	Si	5.2

Verifica aperture fessure:Wamm Freq[mm]=0.300 Wamm Qp[mm]=0.200

P.	Nx	Ny	Nxy	Mx	My	Mxy	σ_{fmed}	Wd	Wk	Cb	Ver	Cs
	daN/cm ²	daN/cm ²	daN/cm ²	kg	kg	kg	kg/cm ²	mm	mm			
2	1.71	2.08	0.37	-696	2268	119	383	0.060	0.060	8 (Qp)	Si	3.3
2	1.52	1.99	0.38	-543	2275	181	329	0.053	0.053	7 (Fr)	Si	5.6

Muro [Platea]: 204 - Nodi: [4015-4026-4014]Pann=9Spess.=50 cm, Terreno=DefTerr_70882, ,Criterio=CLS_Platee_ND, Materiale=C35/45

Armatura a maglia doppia, Stampa elementi piu' gravosi

Combinazione Rara: σ_{ca} [kg/cm²]=224 σ_{fa} [kg/cm²]=3600

P.	Afx	Afy	σ_c	σ_f	Cbc	Cbf	Ver	Cs
	cmq/m	cmq/m	kg/cm ²	kg/cm ²				
7	31.42	31.42	-4	71	6	6	Si	51
6	31.42	31.42	-1	244	6	6	Si	15

Combinazione QP: σ_{ca} [kg/cm²]=168 σ_{fa} [kg/cm²]=3600

P.	Afx	Afy	σ_c	σ_f	Cbc	Cbf	Ver	Cs
	cmq/m	cmq/m	kg/cm ²	kg/cm ²				
7	31.42	31.42	-3	100	8	8	Si	36
6	31.42	31.42	-1	293	8	8	Si	12

Verifica aperture fessure:Wamm Freq[mm]=0.300 Wamm Qp[mm]=0.200

P.	Nx	Ny	Nxy	Mx	My	Mxy	σ_{fmed}	Wd	Wk	Cb	Ver	Cs
	daN/cm ²	daN/cm ²	daN/cm ²	kg	kg	kg	kg/cm ²	mm	mm			
6	1.09	-0.69	-1.48	-755	290	584	293	0.040	0.040	8 (Qp)	Si	5.0
6	1.02	-0.67	-1.47	-730	289	570	279	0.038	0.038	7 (Fr)	Si	8.0

Muro [Platea]: 205 - Nodi: [4026-4027-4014]Pann=8Spess.=50 cm, Terreno=DefTerr_70882, ,Criterio=CLS_Platee_ND, Materiale=C35/45

Armatura a maglia doppia, Stampa elementi piu' gravosi

Combinazione Rara: σ_{ca} [kg/cm²]=224 σ_{fa} [kg/cm²]=3600

P.	Afx	Afy	σ_c	σ_f	Cbc	Cbf	Ver	Cs
	cmq/m	cmq/m	kg/cm ²	kg/cm ²				
1	31.42	31.42	-3	250	6	6	Si	14
3	31.42	31.42	-2	270	6	6	Si	13

Combinazione QP: σ_{ca} [kg/cm²]=168 σ_{fa} [kg/cm²]=3600

P.	Afx	Afy	σ_c	σ_f	Cbc	Cbf	Ver	Cs
	cmq/m	cmq/m	kg/cm ²	kg/cm ²				

**POTENZIAMENTO DELL'IMPIANTO DI DEPURAZIONE E
DEL RECAPITO FINALE DI SQUINZANO (LE)
PROGETTO DEFINITIVO
Tabulati di calcolo strutturale-Edificio Grigliatura
Grossolana**

R.37.11

Maggio 2021

Pagina 169 di
183

P.	Afx	Afy	σ_c	σ_f	Cbc	Cbf	Ver	Cs
8	31.42	31.42	-3	337	8	8	Si	11
6	31.42	31.42	-3	409	8	8	Si	8.8

Verifica aperture fessure:Wamm Freq[mm]=0.300 Wamm Qp[mm]=0.200

P.	Nx	Ny	Nxy	Mx	My	Mxy	σ_{fmed}	Wd	Wk	Cb	Ver	Cs
	daN/cm ²	daN/cm ²	daN/cm ²	kg	kg	kg	kg/cm ²	mm	mm			
6	1.78	-1.68	0.56	-788	687	-424	409	0.063	0.063	8 (Qp)	Si	3.2
6	1.58	-1.68	0.47	-704	698	-378	364	0.056	0.056	7 (Fr)	Si	5.4

Verifica dei Muri in calcestruzzo

Scenario di calcolo: ScenarioNT_ 2018 A2_SLV_SLD_STR_GEO

Simbologia:

Muro Indice del muro in verifica
 Nodi [n1-n2-n3-n4...] Indici dei nodi di attacco del muro
 Pann.X Numero di pannelli in direzione locale X del muro(per muri a pannelli)
 Pann.Y Numero di pannelli in direzione locale Y del muro(per muri a pannelli)
 Pann Numero totale di pannelli (per muri a mesh)
 Spess [cm] Spessore del muro
 Criterio Criterio di verifica adottato per la verifica
 Pannello Indice del pannello
 Nx [kg] Sforzo in direzione x locale per metro lineare (Nx=xxx*spessore)
 Ny [kg] Sforzo in direzione y locale per metro lineare (Ny=syy*spessore)
 Nxy [kg] Sforzo tagliante locale per metro lineare (Nxy=sxy*spessore)
 Mx [kg*m] Momento in direzione x locale per metro lineare
 My [kg*m] Momento in direzione y locale per metro lineare
 Mxy [kg*m] Momento torcente locale per metro lineare
 Ax [mq] Armatura totale pannello in direzione x locale ⁽¹⁾
 Ay [mq] Armatura totale pannello in direzione y locale ⁽¹⁾
 ϵ_c Deformazione nel cls ⁽²⁾
 ϵ_f Deformazione nell'acciaio ⁽²⁾
 Massimi Armature massime riscontrate nel muro
 Massimo massima sigma ideale riscontrata nel muro
 $\sigma_{id+}, \sigma_{id-}$ [N/mm²] $(\sigma_x^2 + \sigma_y^2 - \sigma_x \sigma_y + 3 \tau_{xy}^2)^{1/2}$ Tensioni ideali ai lembi della lastra (Acciaio)
 $\sigma_{id+}, \sigma_{id-}$ [kg/cm²] $(\sigma_x^2 + \sigma_y^2 - \sigma_x \sigma_y + 3 \tau_{xy}^2)^{1/2}$ Tensioni ideali ai lembi della lastra (Legno)
 Fatt.Ampl.Sisma Fattore moltiplicativo di gruppo per le azioni sismiche (solo se diverso da 1.0)
 Cs Coefficiente di sicurezza definito dal rapporto $|M_r(N)|/|M_d|$ ($M_r(N)$ =Momento resistente corrispondente allo sforzo normale N, M_d =momento agente), quando richiesto dal criterio di verifica
 ζ_s Livello di sicurezza sismico definito come rapporto tra l'accelerazione sopportabile e l'accelerazione di progetto, quando richiesto dal criterio di verifica

Note Verifica muri:

⁽¹⁾: Le armature Ax ed Ay vanno intese come a metro lineare di pannello.

⁽²⁾:Le deformazioni sono stampate a meno del fattore 10⁻³; esse si riferiscono alla verifica considerando quali sollecitazioni di progetto Mx,d=Mx +/- |Mxy|,My,d=My +/- |Mxy| scegliendo il segno in modo tale da rendere massimo in valore assoluto il relativo momento flettente,le sollecitazioni stampate si riferiscono alle sollecitazioni in una data combinazione riferite al sistema locale del pannello

**POTENZIAMENTO DELL'IMPIANTO DI DEPURAZIONE E
DEL RECAPITO FINALE DI SQUINZANO (LE)
PROGETTO DEFINITIVO
Tabulati di calcolo strutturale-Edificio Grigliatura
Grossolana**

R.37.11

Maggio 2021

Pagina 170 di
183

Muro : 38 - Nodi: [4029-2029-2030-4030], Pann.X=4, Pann.Y=4Spess.=40 cm, Terreno=--,Criterio=CLS_Muri_ND,
Materiale=C35/45, $\zeta_e=2.789$ [(4+5)-V-1] : **Verificato**

Armatura a maglia doppia

Pannello	Nx	Ny	Nxy	Mx	My	Mxy	Ax	Ay	C	Cs
	kg	kg	kg	kg*m	kg*m	kg*m	cmq	cmq		
1	19385	13192	17509	4709	561	651	20.11	20.11	(4+5)-V-1	1.8
2	7839	9200	11707	3470	408	638	20.11	20.11	3	2.8
3	5107	6616	9977	2430	178	704	20.11	20.11	3	3.8
4	-6767	-1553	9758	1130	220	594	20.11	20.11	3	8.0
5	20898	2415	11029	2200	211	56	20.11	20.11	(4+5)-V-1	4.1
6	3933	6445	12039	1813	275	114	20.11	20.11	(4+5)-VI-1	6.3
7	3353	2368	10381	1203	31	175	20.11	20.11	(4+5)-VI-1	8.8
8	-5829	-90	7427	710	-95	197	20.11	20.11	(4+5)-VI-1	15
9	8877	732	6997	528	92	-130	20.11	20.11	(4+5)-VI-1	17
10	4199	3575	11966	441	155	-53	20.11	20.11	(4+5)-VI-1	24
11	3337	1640	14990	-273	-436	-35	20.11	20.11	1	26
12	4972	367	9521	-389	-172	-152	20.11	20.11	1	22
13	-2653	-270	8068	-886	119	125	20.11	20.11	3	13
14	368	-2283	10849	-542	-405	175	20.11	20.11	1	18
15	3405	836	12423	-681	-650	-29	20.11	20.11	1	17
16	8443	7591	11874	-447	-233	-234	20.11	20.11	1	17
Massimi/minimi										
1							20.11			
1								20.11		
1										1.8

Muro : 99 - Nodi: [1032-1033-2033-2032], Pann.X=4, Pann.Y=4Spess.=40 cm, Terreno=--,Criterio=CLS_Muri_ND,
Materiale=C35/45, $\zeta_e=34.194$ [(4+5)-I-2] : **Verificato**

Armatura a maglia doppia

Pannello	Nx	Ny	Nxy	Mx	My	Mxy	Ax	Ay	C	Cs
	kg	kg	kg	kg*m	kg*m	kg*m	cmq	cmq		
1	-47	-2236	-4098	-119	-988	123	20.11	20.11	3	12
2	482	-1785	-4256	18	-80	174	20.11	20.11	3	51
3	1103	-1558	-4742	103	276	150	20.11	20.11	2	30
4	1079	-801	-5475	118	267	82	20.11	20.11	2	37
5	-10	-1939	-3115	-126	-885	117	20.11	20.11	3	13
6	732	-1356	-3317	-48	-82	183	20.11	20.11	3	49
7	1527	-605	-3995	-26	212	156	20.11	20.11	2	35
8	1450	432	-4686	-36	185	87	20.11	20.11	3	46
9	-39	-2019	-2228	-146	-777	80	20.11	20.11	3	15
10	1360	-866	-2738	-168	-47	159	20.11	20.11	2	38
11	1956	541	-3495	-236	135	127	20.11	20.11	2	34
12	2032	1922	-4125	-293	110	55	20.11	20.11	2	36
13	-392	-2916	-1672	-156	-787	-24	20.11	20.11	3	16
14	1853	-5	-2544	-330	-98	-42	20.11	20.11	2	33
15	2419	1972	-3288	-567	21	-86	20.11	20.11	2	19
16	2329	3736	-3826	-652	2	-140	20.11	20.11	2	16
Massimi/minimi										
1							20.11			
1								20.11		
1										12

Muro : 100 - Nodi: [2032-2033-3033-3032], Pann.X=4, Pann.Y=4Spess.=40 cm, Terreno=--,Criterio=CLS_Muri_ND,
Materiale=C35/45, $\zeta_e=135.822$ [(4+5)-II-2] : **Verificato**

Armatura a maglia doppia

Pannello	Nx	Ny	Nxy	Mx	My	Mxy	Ax	Ay	C	Cs
	kg	kg	kg	kg*m	kg*m	kg*m	cmq	cmq		
1	650	-419	-6077	105	182	54	20.11	20.11	3	54
2	422	-699	-6391	94	142	41	20.11	20.11	3	70
3	117	-974	-6724	81	104	30	20.11	20.11	3	96
4	-329	-1139	-7094	67	69	21	20.11	20.11	3	>100
5	1248	788	-5223	-53	125	43	20.11	20.11	3	75
6	1053	539	-5484	-62	92	27	20.11	20.11	3	>100

**POTENZIAMENTO DELL'IMPIANTO DI DEPURAZIONE E
DEL RECAPITO FINALE DI SQUINZANO (LE)
PROGETTO DEFINITIVO
Tabulati di calcolo strutturale-Edificio Grigliatura
Grossolana**

R.37.11

Maggio 2021

Pagina 171 di
183

Pannello	Nx	Ny	Nxy	Mx	My	Mxy	Ax	Ay	C	Cs
7	685	19	-4575	-76	44	27	20.11	20.11	(4+5)-V-1	>100
8	408	-431	-4525	-76	19	31	20.11	20.11	(4+5)-VI-1	>100
9	1805	2544	-4520	-312	66	19	20.11	20.11	2	38
10	1619	2368	-4726	-308	42	8	20.11	20.11	2	39
11	1324	2212	-4887	-301	19	3	20.11	20.11	2	41
12	1023	1891	-4998	-285	-1	1	20.11	20.11	2	44
13	2240	4827	-4217	-644	-36	-217	20.11	20.11	2	14
14	1887	4872	-4290	-627	-51	-229	20.11	20.11	2	14
15	1558	4866	-4384	-590	-61	-239	20.11	20.11	2	15
16	1142	4870	-4510	-547	-66	-245	20.11	20.11	2	16
Massimi/minimi										
1							20.11			
1								20.11		
13										14

Muro : 101 - Nodi: [3032-3033-4033-4032], Pann.X=4, Pann.Y=4Spess.=40 cm, Terreno=--,Criterio=CLS_Muri_ND,
Materiale=C35/45, $\zeta_e=75.514$ [(4+5)-I-4] : **Verificato**

Armatura a maglia doppia

Pannello	Nx	Ny	Nxy	Mx	My	Mxy	Ax	Ay	C	Cs
	kg	kg	kg	kg*m	kg*m	kg*m	cmq	cmq		
1	-1088	-1301	-5265	54	22	-17	20.11	20.11	(4+5)-VI-4	>100
2	-4975	-1990	-8597	11	14	63	20.11	20.11	1	>100
3	-6644	-1174	-6572	-52	-14	56	20.11	20.11	(4+5)-VI-1	>100
4	-11126	-141	-4903	-74	-12	68	20.11	20.11	(4+5)-VI-1	>100
5	-372	-755	-5018	-87	-4	27	20.11	20.11	(4+5)-VI-1	>100
6	-2441	-1496	-6191	-105	-17	28	20.11	20.11	(4+5)-VI-1	98
7	-6796	-1161	-7108	-132	-12	36	20.11	20.11	(4+5)-VI-1	82
8	-13733	493	-5425	-159	-9	55	20.11	20.11	(4+5)-VI-1	70
9	376	1549	-5360	-245	-24	-6	20.11	20.11	2	50
10	-1882	280	-6551	-194	-34	-20	20.11	20.11	2	61
11	-8553	-2397	-10259	-202	-19	-44	20.11	20.11	2	57
12	-17171	948	-6747	-272	21	26	20.11	20.11	(4+5)-VI-1	52
13	752	4814	-4481	-430	-64	-206	20.11	20.11	2	20
14	-310	4288	-4853	-265	-44	-227	20.11	20.11	2	26
15	-4272	2210	-5923	-237	-7	-300	20.11	20.11	3	25
16	-31326	-7460	-13567	-477	80	-324	20.11	20.11	3	22
Massimi/minimi										
1							20.11			
1								20.11		
13										20

Muro : 102 - Nodi: [3031-3032-4032-4031], Pann.X=4, Pann.Y=4Spess.=40 cm, Terreno=--,Criterio=CLS_Muri_ND,
Materiale=C35/45, $\zeta_e=68.977$ [(4+5)-VI-1] : **Verificato**

Armatura a maglia doppia

Pannello	Nx	Ny	Nxy	Mx	My	Mxy	Ax	Ay	C	Cs
	kg	kg	kg	kg*m	kg*m	kg*m	cmq	cmq		
1	-3263	-3165	-10141	294	50	125	20.11	20.11	3	32
2	-3986	-3038	-9693	248	21	126	20.11	20.11	3	36
3	-5328	-2516	-8169	215	15	114	20.11	20.11	3	41
4	-7433	-1596	-5715	197	13	97	20.11	20.11	3	47
5	-3123	-2818	-9716	270	55	95	20.11	20.11	3	36
6	-4604	-2732	-9529	222	14	98	20.11	20.11	3	42
7	-6797	-2232	-8330	184	1	93	20.11	20.11	3	50
8	-9606	-1403	-6073	159	-1	87	20.11	20.11	3	58
9	-2821	-2556	-9238	219	52	66	20.11	20.11	3	46
10	-4960	-2507	-9364	173	8	68	20.11	20.11	3	56
11	-8052	-1970	-8477	133	-7	71	20.11	20.11	3	69
12	-11755	-1160	-6340	106	-8	73	20.11	20.11	3	82
13	-2305	-2273	-8670	143	42	39	20.11	20.11	3	72
14	-5002	-2337	-9208	100	2	41	20.11	20.11	3	96
15	-9114	-1704	-8694	64	-11	48	20.11	20.11	3	>100
16	-9253	-613	-4710	-2	-11	81	20.11	20.11	(4+5)-VI-1	>100
Massimi/minimi										

**POTENZIAMENTO DELL'IMPIANTO DI DEPURAZIONE E
DEL RECAPITO FINALE DI SQUINZANO (LE)
PROGETTO DEFINITIVO
Tabulati di calcolo strutturale-Edificio Grigliatura
Grossolana**

R.37.11

Maggio 2021

Pagina 172 di
183

Pannello	Nx	Ny	Nxy	Mx	My	Mxy	Ax	Ay	C	Cs
1							20.11			
1								20.11		
1										32

Muro : 103 - Nodi: [2031-2032-3032-3031], Pann.X=4, Pann.Y=4Spess.=40 cm, Terreno=--,Criterio=CLS_Muri_ND,
Materiale=C35/45, $\zeta_e=126.002$ [(4+5)-I-1] : **Verificato**

Armatura a maglia doppia

Pannello	Nx	Ny	Nxy	Mx	My	Mxy	Ax	Ay	C	Cs
	kg	kg	kg	kg*m	kg*m	kg*m	cmq	cmq		
1	-1588	-3387	-8787	389	247	64	20.11	20.11	2	29
2	-1971	-3499	-9049	377	201	76	20.11	20.11	2	29
3	-2535	-3224	-9674	347	131	104	20.11	20.11	3	29
4	-2775	-3321	-9933	330	96	114	20.11	20.11	3	30
5	-1089	-2682	-8314	358	269	57	20.11	20.11	2	31
6	-1600	-2580	-8861	335	195	77	20.11	20.11	3	32
7	-1979	-2680	-9157	321	150	83	20.11	20.11	3	32
8	-2343	-2796	-9427	304	109	88	20.11	20.11	3	33
9	-669	-1843	-7844	292	244	66	20.11	20.11	3	36
10	-978	-2069	-8158	282	198	65	20.11	20.11	3	37
11	-1361	-2251	-8485	269	151	65	20.11	20.11	3	39
12	-1818	-2394	-8803	253	109	65	20.11	20.11	3	41
13	159	-1449	-6889	223	239	48	20.11	20.11	2	45
14	-286	-1511	-7318	204	179	54	20.11	20.11	3	50
15	-646	-1752	-7670	190	135	47	20.11	20.11	3	54
16	-1153	-1902	-8048	175	95	42	20.11	20.11	3	59
Massimi/minimi										
1							20.11			
1								20.11		
1										29

Muro : 104 - Nodi: [1031-1032-2032-2031], Pann.X=4, Pann.Y=4Spess.=40 cm, Terreno=--,Criterio=CLS_Muri_ND,
Materiale=C35/45, $\zeta_e=57.533$ [(4+5)-II-2] : **Verificato**

Armatura a maglia doppia

Pannello	Nx	Ny	Nxy	Mx	My	Mxy	Ax	Ay	C	Cs
	kg	kg	kg	kg*m	kg*m	kg*m	cmq	cmq		
1	-170	-4198	-9293	-73	-956	41	20.11	20.11	3	13
2	224	-5158	-8489	176	56	-40	20.11	20.11	2	59
3	80	-4807	-8315	330	352	-31	20.11	20.11	2	35
4	-841	-3999	-8465	390	332	24	20.11	20.11	2	31
5	-248	-3516	-7892	-97	-1055	78	20.11	20.11	3	12
6	179	-4390	-7339	140	28	35	20.11	20.11	2	72
7	142	-3966	-7414	291	366	26	20.11	20.11	2	34
8	-467	-3165	-7844	355	357	43	20.11	20.11	2	32
9	-237	-2847	-6492	-111	-1088	102	20.11	20.11	3	11
10	246	-3634	-6222	108	6	101	20.11	20.11	2	61
11	365	-3169	-6518	245	355	79	20.11	20.11	2	30
12	3	-2457	-7120	301	352	62	20.11	20.11	2	32
13	-134	-2495	-5100	-117	-1062	118	20.11	20.11	3	11
14	438	-2923	-5174	75	-11	153	20.11	20.11	2	56
15	702	-2391	-5612	186	324	122	20.11	20.11	2	29
16	535	-1712	-6310	226	322	76	20.11	20.11	2	33
Massimi/minimi										
1							20.11			
1								20.11		
9										11

Muro : 105 - Nodi: [2030-2031-3031-3030], Pann.X=4, Pann.Y=4Spess.=40 cm, Terreno=--,Criterio=CLS_Muri_ND,
Materiale=C35/45, $\zeta_e=22.270$ [(4+5)-I-1] : **Verificato**

**POTENZIAMENTO DELL'IMPIANTO DI DEPURAZIONE E
DEL RECAPITO FINALE DI SQUINZANO (LE)
PROGETTO DEFINITIVO
Tabulati di calcolo strutturale-Edificio Grigliatura
Grossolana**

R.37.11

Maggio 2021

Pagina 173 di
183

Armatura a maglia doppia

Pannello	Nx kg	Ny kg	Nxy kg	Mx kg*m	My kg*m	Mxy kg*m	Ax cmq	Ay cmq	C	Cs
1	-10660	-18630	-13355	479	-301	307	20.11	20.11	1	18
2	-4389	-25062	-9638	162	-233	202	20.11	20.11	1	37
3	-1473	-14761	-4865	-1	-183	138	20.11	20.11	(4+5)-I-3	47
4	-1292	-15229	-5372	61	-125	147	20.11	20.11	1	56
5	-4789	-11102	-7969	348	-123	85	20.11	20.11	1	31
6	-6144	-8573	-9595	300	-118	134	20.11	20.11	1	32
7	-4618	-9064	-9818	203	16	214	20.11	20.11	2	32
8	-3612	-8801	-9543	177	36	221	20.11	20.11	2	33
9	-2461	-6982	-8755	350	106	104	20.11	20.11	2	29
10	-3417	-5790	-9131	331	90	132	20.11	20.11	2	29
11	-3700	-5833	-9519	310	73	155	20.11	20.11	2	29
12	-3942	-5667	-10344	271	31	188	20.11	20.11	3	29
13	-2027	-4907	-8917	392	197	77	20.11	20.11	2	28
14	-2585	-4490	-9223	376	159	98	20.11	20.11	2	28
15	-3133	-4156	-9950	343	92	132	20.11	20.11	3	28
16	-3298	-4167	-10237	323	68	146	20.11	20.11	3	28
Massimi/minimi										
1							20.11			
1								20.11		
1										18

Muro : 106 - Nodi: [3030-3031-4031-4030], Pann.X=4, Pann.Y=4Spess.=40 cm, Terreno=--,Criterio=CLS_Muri_ND,
Materiale=C35/45, $\zeta_e=14.277$ [(4+5)-V-1] : **Verificato**

Armatura a maglia doppia

Pannello	Nx kg	Ny kg	Nxy kg	Mx kg*m	My kg*m	Mxy kg*m	Ax cmq	Ay cmq	C	Cs
1	-314	-10456	-3866	39	74	167	20.11	20.11	2	60
2	-211	-2913	-3076	45	110	124	20.11	20.11	3	56
3	-345	2623	-1835	6	173	97	20.11	20.11	(4+5)-I-3	45
4	11025	3720	-5649	573	350	-268	20.11	20.11	(4+5)-VI-1	13
5	-2363	-7684	-9102	144	43	219	20.11	20.11	3	36
6	-711	-4151	-7617	137	82	172	20.11	20.11	3	42
7	1656	-449	-7273	189	137	103	20.11	20.11	3	43
8	2359	-1331	-2876	292	68	16	20.11	20.11	(4+5)-V-1	40
9	-3087	-5087	-10377	239	34	192	20.11	20.11	3	31
10	-1851	-3642	-9656	215	51	172	20.11	20.11	3	34
11	-1251	-2549	-7539	217	74	132	20.11	20.11	3	37
12	-367	-1982	-3117	252	40	74	20.11	20.11	(4+5)-V-1	39
13	-3263	-3738	-10472	288	41	159	20.11	20.11	3	30
14	-3088	-3405	-9838	248	32	153	20.11	20.11	3	33
15	-3509	-2778	-7901	227	38	129	20.11	20.11	3	37
16	-5089	-1664	-5204	224	37	99	20.11	20.11	3	42
Massimi/minimi										
1							20.11			
1								20.11		
4										13

Muro : 107 - Nodi: [1030-1031-2031-2030], Pann.X=4, Pann.Y=4Spess.=40 cm, Terreno=--,Criterio=CLS_Muri_ND,
Materiale=C35/45, $\zeta_e=17.905$ [(4+5)-I-1] : **Verificato**

Armatura a maglia doppia

Pannello	Nx kg	Ny kg	Nxy kg	Mx kg*m	My kg*m	Mxy kg*m	Ax cmq	Ay cmq	C	Cs
1	-637	-9293	-8391	70	647	-95	20.11	20.11	1	19
2	-249	-4071	-10706	-146	12	-219	20.11	20.11	2	35
3	-1149	-3926	-10603	411	-61	-52	20.11	20.11	1	28
4	1995	-7015	-14165	671	3	-22	20.11	20.11	1	18
5	-523	-7754	-9016	167	581	-122	20.11	20.11	1	20
6	483	-5405	-10767	159	65	-287	20.11	20.11	2	28
7	-293	-6188	-10123	360	-37	-90	20.11	20.11	1	28
8	-3171	-8233	-8531	380	-110	13	20.11	20.11	1	34
9	-148	-4329	-10924	4	-533	-86	20.11	20.11	3	22

**POTENZIAMENTO DELL'IMPIANTO DI DEPURAZIONE E
DEL RECAPITO FINALE DI SQUINZANO (LE)
PROGETTO DEFINITIVO
Tabulati di calcolo strutturale-Edificio Grigliatura
Grossolana**

R.37.11

Maggio 2021

Pagina 174 di
183

Pannello	Nx	Ny	Nxy	Mx	My	Mxy	Ax	Ay	C	Cs
10	459	-5727	-10080	229	93	-220	20.11	20.11	2	28
11	596	-6579	-9481	340	210	-139	20.11	20.11	2	26
12	-1114	-6783	-8437	367	165	9	20.11	20.11	2	34
13	-309	-4354	-10276	-38	-785	-14	20.11	20.11	3	17
14	325	-5693	-9333	212	82	-128	20.11	20.11	2	37
15	242	-5776	-8874	355	303	-89	20.11	20.11	2	29
16	-993	-5228	-8660	400	269	12	20.11	20.11	2	31
Massimi/minimi										
1							20.11			
1								20.11		
13										17

Muro : 147 - Nodi: [1029-1030-2030-2029], Pann.X=4, Pann.Y=4Spess.=40 cm, Terreno=--,Criterio=CLS_Muri_ND,
Materiale=C35/45, $\zeta_e=13.839$ [(4+5)-I-1] : **Verificato**

Armatura a maglia doppia

Pannello	Nx	Ny	Nxy	Mx	My	Mxy	Ax	Ay	C	Cs
	kg	kg	kg	kg*m	kg*m	kg*m	cmq	cmq		
1	-1833	-7200	-6156	241	965	90	20.11	20.11	1	13
2	-3500	-6511	-6446	445	201	159	20.11	20.11	1	22
3	-5137	-6263	-7313	736	26	84	20.11	20.11	1	17
4	-6352	-6087	-8300	852	108	-82	20.11	20.11	1	15
5	-1765	-5250	-6611	94	1386	176	20.11	20.11	1	8.7
6	-2991	-3775	-6931	-243	60	282	20.11	20.11	1	25
7	-3754	-2129	-7467	-482	-468	188	20.11	20.11	1	20
8	-3853	-741	-8642	-545	-629	-44	20.11	20.11	1	19
9	-1751	-5221	-9572	125	1671	-62	20.11	20.11	1	7.8
10	-2624	-2569	-9447	-297	40	-92	20.11	20.11	1	34
11	-2508	-287	-9482	-605	-609	-85	20.11	20.11	1	18
12	-616	780	-9941	-725	-779	-14	20.11	20.11	1	16
13	-2058	-5508	-12789	131	1127	-237	20.11	20.11	1	10.0
14	-2057	-3102	-13756	-53	58	-440	20.11	20.11	1	26
15	-2675	726	-14213	-174	-331	-343	20.11	20.11	1	19
16	1387	5102	-10098	-268	-418	78	20.11	20.11	(4+5)-II-3	24
Massimi/minimi										
1							20.11			
1								20.11		
9										7.8

Muro : 211 - Nodi: [4031-4032-5032-5031], Pann.X=4, Pann.Y=4Spess.=40 cm, Terreno=--,Criterio=CLS_Muri_ND,
Materiale=C35/45, $\zeta_e=62.606$ [(4+5)-VI-1] : **Verificato**

Armatura a maglia doppia

Pannello	Nx	Ny	Nxy	Mx	My	Mxy	Ax	Ay	C	Cs
	kg	kg	kg	kg*m	kg*m	kg*m	cmq	cmq		
1	-8987	-948	-3763	192	9	85	20.11	20.11	3	51
2	-9841	-510	-2739	191	6	79	20.11	20.11	3	53
3	-10510	-361	-1614	192	3	65	20.11	20.11	3	56
4	-10842	-611	-663	191	-1	34	20.11	20.11	3	64
5	-11578	-777	-4122	148	-1	82	20.11	20.11	3	63
6	-12471	-600	-3047	146	-1	77	20.11	20.11	3	66
7	-13272	-485	-1895	144	-1	65	20.11	20.11	3	71
8	-14071	9	-670	144	0	33	20.11	20.11	3	85
9	-14196	-659	-4362	94	-6	73	20.11	20.11	3	90
10	-15289	-586	-3249	90	-4	70	20.11	20.11	3	95
11	-16372	-465	-2033	88	-2	60	20.11	20.11	3	>100
12	-16891	-17	-667	94	-1	24	20.11	20.11	2	>100
13	-11145	-290	-3184	-13	-7	84	20.11	20.11	(4+5)-VI-1	>100
14	-17819	-522	-3065	14	-1	85	20.11	20.11	1	>100
15	-12877	-208	-1448	-18	-3	69	20.11	20.11	(4+5)-VI-1	>100
16	-13750	-195	-452	-18	-1	35	20.11	20.11	(4+5)-VI-1	>100
Massimi/minimi										
1							20.11			
1								20.11		
1										51

**POTENZIAMENTO DELL'IMPIANTO DI DEPURAZIONE E
DEL RECAPITO FINALE DI SQUINZANO (LE)
PROGETTO DEFINITIVO
Tabulati di calcolo strutturale-Edificio Grigliatura
Grossolana**

R.37.11

Maggio 2021

Pagina 175 di
183

Muro : 212 - Nodi: [4032-4033-5033-5032], Pann.X=4, Pann.Y=4Spess.=40 cm, Terreno=--,Criterio=CLS_Muri_ND,
Materiale=C35/45, $\zeta_e=73.045$ [(4+5)-I-4] : **Verificato**

Armatura a maglia doppia

Pannello	Nx	Ny	Nxy	Mx	My	Mxy	Ax	Ay	C	Cs
	kg	kg	kg	kg*m	kg*m	kg*m	cmq	cmq		
1	-13286	-3	-2988	-85	-7	74	20.11	20.11	(4+5)-VI-1	93
2	-14235	50	-2028	-88	-5	73	20.11	20.11	(4+5)-VI-1	93
3	-15133	-50	-1197	-90	-4	63	20.11	20.11	(4+5)-VI-1	99
4	-16053	-488	-340	-91	-1	31	20.11	20.11	(4+5)-VI-1	>100
5	-16000	341	-2573	-168	-9	67	20.11	20.11	(4+5)-VI-1	65
6	-16872	974	-1181	-169	-3	63	20.11	20.11	(4+5)-VI-1	66
7	-17026	411	-189	-171	6	58	20.11	20.11	(4+5)-VI-1	67
8	-17222	-623	28	-170	3	33	20.11	20.11	(4+5)-VI-1	76
9	-21266	-291	-2291	-299	28	75	20.11	20.11	(4+5)-VI-1	43
10	-20929	1531	749	-282	-2	93	20.11	20.11	(4+5)-VI-1	43
11	-18234	738	1446	-252	-32	77	20.11	20.11	(4+5)-VI-1	47
12	-15358	-129	916	-203	-5	52	20.11	20.11	(4+5)-VI-1	59
13	-33433	-2936	4741	-578	76	-59	20.11	20.11	(4+5)-V-1	28
14	-21120	-5945	1757	-455	9	-33	20.11	20.11	(4+5)-V-1	33
15	-16134	-3957	-294	-370	-8	-68	20.11	20.11	(4+5)-V-1	35
16	-19888	-1091	-1948	-405	-90	-212	20.11	20.11	3	26
Massimi/minimi										
1							20.11			
1								20.11		
16										26

Muro : 213 - Nodi: [4030-4031-5031-5030], Pann.X=4, Pann.Y=4Spess.=40 cm, Terreno=--,Criterio=CLS_Muri_ND,
Materiale=C35/45, $\zeta_e=7.270$ [(4+5)-I-4] : **Verificato**

Armatura a maglia doppia

Pannello	Nx	Ny	Nxy	Mx	My	Mxy	Ax	Ay	C	Cs
	kg	kg	kg	kg*m	kg*m	kg*m	cmq	cmq		
1	-1166	4119	-648	835	73	382	20.11	20.11	(4+5)-V-1	11
2	-2817	-6052	-560	325	-200	128	20.11	20.11	(4+5)-VII-1	29
3	-3072	-5326	927	264	-506	48	20.11	20.11	(4+5)-VI-1	25
4	11559	16832	-3661	523	-664	43	20.11	20.11	3	14
5	71	-471	139	372	6	-23	20.11	20.11	(4+5)-V-1	32
6	-1536	-266	363	427	73	26	20.11	20.11	(4+5)-V-1	29
7	-1826	-539	-1320	418	128	-37	20.11	20.11	(4+5)-VI-1	29
8	-2725	630	372	435	189	-68	20.11	20.11	(4+5)-VI-1	26
9	-1725	-1179	-1469	284	46	58	20.11	20.11	(4+5)-V-1	38
10	-2397	-83	-843	295	21	46	20.11	20.11	(4+5)-V-1	38
11	-3167	361	-260	308	2	39	20.11	20.11	(4+5)-V-1	38
12	-3485	-1747	-75	301	-35	36	20.11	20.11	(4+5)-V-1	39
13	-3633	-1008	-2217	220	12	84	20.11	20.11	(4+5)-V-1	44
14	-4225	-171	-1515	225	11	77	20.11	20.11	(4+5)-V-1	44
15	-4648	227	-830	227	6	66	20.11	20.11	(4+5)-V-1	46
16	-4546	-1188	-282	228	9	31	20.11	20.11	(4+5)-V-1	52
Massimi/minimi										
1							20.11			
1								20.11		
1										11

Verifica dei Muri (Stati limite esercizio)

Scenario di calcolo: ScenarioNT_ 2018 A2_SLV_SLD_STR_GEO

Simbologia

P. Numero pannello
Nx [daN/cm²] Sforzo normale in direzione x
Ny [daN/cm²] Sforzo normale in direzione y
Nxy [daN/cm²] Sforzo tagliante in direzione xy

**POTENZIAMENTO DELL'IMPIANTO DI DEPURAZIONE E
DEL RECAPITO FINALE DI SQUINZANO (LE)
PROGETTO DEFINITIVO
Tabulati di calcolo strutturale-Edificio Grigliatura
Grossolana**

R.37.11

Maggio 2021

Pagina 176 di
183

Mx [kg]	Momento flettente in direzione x
My [kg]	Momento flettente in direzione y
Mxy [kg]	Momento torcente
Afx [cmq/m]	Area acciaio in direzione x per metro lineare
Afy [cmq/m]	Area acciaio in direzione y per metro lineare
σ_c [kg/cmq]	Tensione nel calcestruzzo compresso
σ_f [kg/cmq]	Tensione nell'acciaio
σ_{ct} [kg/cmq]	Tensione nel calcestruzzo teso
σ_{sct} [kg/cmq]	Tensione nel calcestruzzo teso (quando richiesto dalla verifica)
σ_{sca} [kg/cmq]	Tensione ammissibile nel calcestruzzo
σ_{sfa} [kg/cmq]	Tensione ammissibile nell'acciaio
σ_{scta} [kg/cmq]	Tensione ammissibile nel calcestruzzo teso
Cbc	Combinazione generatore della tensione nel cls compresso
Cbct	Combinazione generatore della tensione nel cls teso
Cbf	Combinazione generatore della tensione nell'acciaio
Cb	Combinazione
σ_{fmed} [kg/cmq]	Tensione media dell'acciaio
Wd [mm]	Apertura delle fessure
Wk [mm]	Apertura caratteristica delle fessure
Wamm_Freq [mm]	Apertura ammissibile delle fessure per combinazione Frequente
Wamm_Qp [mm]	Apertura ammissibile delle fessure per combinazione Quasi Permanente
Wamm_Rara [mm]	Apertura ammissibile delle fessure per combinazione Rara
Cs	Coefficiente di sicurezza definito come minimo di σ_{Am}/σ tra acciaio e calcestruzzo oppure Wamm/Wk

**POTENZIAMENTO DELL'IMPIANTO DI DEPURAZIONE E
DEL RECAPITO FINALE DI SQUINZANO (LE)
PROGETTO DEFINITIVO
Tabulati di calcolo strutturale-Edificio Grigliatura
Grossolana**

R.37.11

Maggio 2021

Pagina 177 di
183

Muro : 38 - Nodi: [4029-2029-2030-4030], Pann.X=4, Pann.Y=4Spess.=40 cm, Terreno=--,Criterio=CLS_Muri_ND,
Materiale=C35/45

Armatura a maglia doppia, Stampa elementi piu' gravosi

Combinazione Rara: σ_{ca} [kg/cmq]=224 σ_{fa} [kg/cmq]=3600

P.	Afx	Afy	σ_c	σ_f	Cbc	Cbf	Ver	Cs
	cmq/m	cmq/m	kg/cmq	kg/cmq				
2	20.11	20.11	-13	938	6	6	Si	3.8
1	20.11	20.11	-10	1548	6	6	Si	2.3

Combinazione QP: σ_{ca} [kg/cmq]=168 σ_{fa} [kg/cmq]=3600

P.	Afx	Afy	σ_c	σ_f	Cbc	Cbf	Ver	Cs
	cmq/m	cmq/m	kg/cmq	kg/cmq				
2	20.11	20.11	-15	1020	8	8	Si	3.5
1	20.11	20.11	-13	1776	8	8	Si	2.0

Verifica aperture fessure:Wamm Freq[mm]=0.300 Wamm Qp[mm]=0.200

P.	Nx	Ny	Nxy	Mx	My	Mxy	σ_{fmed}	Wd	Wk	Cb	Ver	Cs
	daN/cm	daN/cm	daN/cm	kg	kg	kg	kg/cm	mm	mm			
5	3.41	0.39	1.87	1347	118	35	1124	0.177	0.177	8 (Qp)	Si	1.1
5	3.22	0.37	1.78	1260	109	34	1057	0.167	0.167	7 (Fr)	Si	1.8

Muro : 99 - Nodi: [1032-1033-2033-2032], Pann.X=4, Pann.Y=4Spess.=40 cm, Terreno=--,Criterio=CLS_Muri_ND,
Materiale=C35/45

Armatura a maglia doppia, Stampa elementi piu' gravosi

Combinazione Rara: σ_{ca} [kg/cmq]=224 σ_{fa} [kg/cmq]=3600

P.	Afx	Afy	σ_c	σ_f	Cbc	Cbf	Ver	Cs
	cmq/m	cmq/m	kg/cmq	kg/cmq				
1	20.11	20.11	-4	78	6	6	Si	46
16	20.11	20.11	-3	222	6	6	Si	16

Combinazione QP: σ_{ca} [kg/cmq]=168 σ_{fa} [kg/cmq]=3600

P.	Afx	Afy	σ_c	σ_f	Cbc	Cbf	Ver	Cs
	cmq/m	cmq/m	kg/cmq	kg/cmq				
1	20.11	20.11	-4	113	8	8	Si	32
16	20.11	20.11	-2	210	8	8	Si	17

Verifica aperture fessure:Wamm Freq[mm]=0.300 Wamm Qp[mm]=0.200

P.	Nx	Ny	Nxy	Mx	My	Mxy	σ_{fmed}	Wd	Wk	Cb	Ver	Cs
	daN/cm	daN/cm	daN/cm	kg	kg	kg	kg/cm	mm	mm			
16	0.38	0.57	-0.69	-422	2	-97	114	0.029	0.029	8 (Qp)	Si	7.0
16	0.39	0.58	-0.69	-431	2	-97	214	0.031	0.031	7 (Fr)	Si	9.8

Muro : 100 - Nodi: [2032-2033-3033-3032], Pann.X=4, Pann.Y=4Spess.=40 cm, Terreno=--,Criterio=CLS_Muri_ND,
Materiale=C35/45

Armatura a maglia doppia, Stampa elementi piu' gravosi

Combinazione Rara: σ_{ca} [kg/cmq]=224 σ_{fa} [kg/cmq]=3600

P.	Afx	Afy	σ_c	σ_f	Cbc	Cbf	Ver	Cs
	cmq/m	cmq/m	kg/cmq	kg/cmq				
14	20.11	20.11	-3	202	6	6	Si	18
13	20.11	20.11	-2	218	6	6	Si	17

Combinazione QP: σ_{ca} [kg/cmq]=168 σ_{fa} [kg/cmq]=3600

P.	Afx	Afy	σ_c	σ_f	Cbc	Cbf	Ver	Cs
	cmq/m	cmq/m	kg/cmq	kg/cmq				
14	20.11	20.11	-2	192	8	8	Si	19
13	20.11	20.11	-2	207	8	8	Si	17

Verifica aperture fessure:Wamm Freq[mm]=0.300 Wamm Qp[mm]=0.200

P.	Nx	Ny	Nxy	Mx	My	Mxy	σ_{fmed}	Wd	Wk	Cb	Ver	Cs
	daN/cm	daN/cm	daN/cm	kg	kg	kg	kg/cm	mm	mm			
16	0.19	0.79	-0.81	-363	-44	-173	172	0.040	0.040	8 (Qp)	Si	5.0
16	0.19	0.79	-0.81	-369	-44	-173	172	0.040	0.040	7 (Fr)	Si	7.6

**POTENZIAMENTO DELL'IMPIANTO DI DEPURAZIONE E
DEL RECAPITO FINALE DI SQUINZANO (LE)
PROGETTO DEFINITIVO
Tabulati di calcolo strutturale-Edificio Grigliatura
Grossolana**

R.37.11

Maggio 2021

Pagina 178 di
183

Muro : 101 - Nodi: [3032-3033-4033-4032], Pann.X=4, Pann.Y=4Spess.=40 cm, Terreno=--,Criterio=CLS_Muri_ND,
Materiale=C35/45

Armatura a maglia doppia, Stampa elementi piu' gravosi

Combinazione Rara: σ_{ca} [kg/cm²]=224 σ_{fa} [kg/cm²]=3600

P.	Afx	Afy	σ_c	σ_f	Cbc	Cbf	Ver	Cs
	cmq/m	cmq/m	kg/cm ²	kg/cm ²				
16	20.11	20.11	-6	-16	6	6	Si	37
13	20.11	20.11	-2	175	6	6	Si	21

Combinazione QP: σ_{ca} [kg/cm²]=168 σ_{fa} [kg/cm²]=3600

P.	Afx	Afy	σ_c	σ_f	Cbc	Cbf	Ver	Cs
	cmq/m	cmq/m	kg/cm ²	kg/cm ²				
16	20.11	20.11	-6	-16	8	8	Si	27
13	20.11	20.11	-2	172	8	8	Si	21

Verifica aperture fessure:Wamm Freq[mm]=0.300 Wamm Qp[mm]=0.200

P.	Nx	Ny	Nxy	Mx	My	Mxy	σ_{fmed}	Wd	Wk	Cb	Ver	Cs
	daN/cm ²	daN/cm ²	daN/cm ²	kg	kg	kg	kg/cm ²	mm	mm			
13	0.12	0.79	-0.81	-288	-43	-145	172	0.040	0.040	8 (Qp)	Si	5.0
13	0.12	0.79	-0.80	-292	-43	-145	172	0.040	0.040	7 (Fr)	Si	7.6

Muro : 102 - Nodi: [3031-3032-4032-4031], Pann.X=4, Pann.Y=4Spess.=40 cm, Terreno=--,Criterio=CLS_Muri_ND,
Materiale=C35/45

Armatura a maglia doppia, Stampa elementi piu' gravosi

Combinazione Rara: σ_{ca} [kg/cm²]=224 σ_{fa} [kg/cm²]=3600

P.	Afx	Afy	σ_c	σ_f	Cbc	Cbf	Ver	Cs
	cmq/m	cmq/m	kg/cm ²	kg/cm ²				
16	20.11	20.11	-2	-2	6	6	Si	99
1	20.11	20.11	-1	2	6	6	Si	>100

Combinazione QP: σ_{ca} [kg/cm²]=168 σ_{fa} [kg/cm²]=3600

P.	Afx	Afy	σ_c	σ_f	Cbc	Cbf	Ver	Cs
	cmq/m	cmq/m	kg/cm ²	kg/cm ²				
16	20.11	20.11	-2	-2	8	8	Si	73
1	20.11	20.11	-1	1	8	8	Si	>100

Verifica aperture fessure:Wamm Freq[mm]=0.300 Wamm Qp[mm]=0.200

P.	Nx	Ny	Nxy	Mx	My	Mxy	σ_{fmed}	Wd	Wk	Cb	Ver	Cs
	daN/cm ²	daN/cm ²	daN/cm ²	kg	kg	kg	kg/cm ²	mm	mm			
1	-0.55	-0.61	-1.76	201	43	81	1	0.000	0.000	8 (Qp)	Si	>100
1	-0.54	-0.62	-1.74	203	45	76	1	0.000	0.000	7 (Fr)	Si	>100

Muro : 103 - Nodi: [2031-2032-3032-3031], Pann.X=4, Pann.Y=4Spess.=40 cm, Terreno=--,Criterio=CLS_Muri_ND,
Materiale=C35/45

Armatura a maglia doppia, Stampa elementi piu' gravosi

Combinazione Rara: σ_{ca} [kg/cm²]=224 σ_{fa} [kg/cm²]=3600

P.	Afx	Afy	σ_c	σ_f	Cbc	Cbf	Ver	Cs
	cmq/m	cmq/m	kg/cm ²	kg/cm ²				
1	20.11	20.11	-2	36	6	6	Si	99
13	20.11	20.11	-1	53	6	6	Si	68

Combinazione QP: σ_{ca} [kg/cm²]=168 σ_{fa} [kg/cm²]=3600

P.	Afx	Afy	σ_c	σ_f	Cbc	Cbf	Ver	Cs
	cmq/m	cmq/m	kg/cm ²	kg/cm ²				
1	20.11	20.11	-2	30	8	8	Si	>100
13	20.11	20.11	-1	46	8	8	Si	78

Verifica aperture fessure:Wamm Freq[mm]=0.300 Wamm Qp[mm]=0.200

P.	Nx	Ny	Nxy	Mx	My	Mxy	σ_{fmed}	Wd	Wk	Cb	Ver	Cs
	daN/cm ²	daN/cm ²	daN/cm ²	kg	kg	kg	kg/cm ²	mm	mm			
13	0.01	-0.29	-1.24	139	157	45	46	0.006	0.006	8 (Qp)	Si	32
13	0.02	-0.30	-1.23	141	160	42	48	0.007	0.007	7 (Fr)	Si	45

**POTENZIAMENTO DELL'IMPIANTO DI DEPURAZIONE E
DEL RECAPITO FINALE DI SQUINZANO (LE)
PROGETTO DEFINITIVO
Tabulati di calcolo strutturale-Edificio Grigliatura
Grossolana**

R.37.11

Maggio 2021

Pagina 179 di
183

Muro : 104 - Nodi: [1031-1032-2032-2031], Pann.X=4, Pann.Y=4Spess.=40 cm, Terreno=--,Criterio=CLS_Muri_ND,
Materiale=C35/45

Armatura a maglia doppia, Stampa elementi piu' gravosi

Combinazione Rara: σ_{ca} [kg/cmq]=224 σ_{fa} [kg/cmq]=3600

P.	Afx	Afy	σ_c	σ_f	Cbc	Cbf	Ver	Cs
	cmq/m	cmq/m	kg/cmq	kg/cmq				
9	20.11	20.11	-4	70	6	6	Si	51
3	20.11	20.11	-2	79	6	6	Si	46

Combinazione QP: σ_{ca} [kg/cmq]=168 σ_{fa} [kg/cmq]=3600

P.	Afx	Afy	σ_c	σ_f	Cbc	Cbf	Ver	Cs
	cmq/m	cmq/m	kg/cmq	kg/cmq				
9	20.11	20.11	-5	112	8	8	Si	32
13	20.11	20.11	-5	118	8	8	Si	31

Verifica aperture fessure:Wamm Freq[mm]=0.300 Wamm Qp[mm]=0.200

P.	Nx	Ny	Nxy	Mx	My	Mxy	σ_{fmed}	Wd	Wk	Cb	Ver	Cs
	daN/cm	daN/cm	daN/cm	kg	kg	kg	kg/cm	mm	mm			
13	-0.02	-0.53	-0.93	-76	-694	90	118	0.014	0.014	8 (Qp)	Si	14
13	-0.02	-0.57	-0.91	-73	-674	93	105	0.013	0.013	7 (Fr)	Si	24

Muro : 105 - Nodi: [2030-2031-3031-3030], Pann.X=4, Pann.Y=4Spess.=40 cm, Terreno=--,Criterio=CLS_Muri_ND,
Materiale=C35/45

Armatura a maglia doppia, Stampa elementi piu' gravosi

Combinazione Rara: σ_{ca} [kg/cmq]=224 σ_{fa} [kg/cmq]=3600

P.	Afx	Afy	σ_c	σ_f	Cbc	Cbf	Ver	Cs
	cmq/m	cmq/m	kg/cmq	kg/cmq				
2	20.11	20.11	-4	-7	6	6	Si	50
13	20.11	20.11	-2	27	6	6	Si	>100

Combinazione QP: σ_{ca} [kg/cmq]=168 σ_{fa} [kg/cmq]=3600

P.	Afx	Afy	σ_c	σ_f	Cbc	Cbf	Ver	Cs
	cmq/m	cmq/m	kg/cmq	kg/cmq				
2	20.11	20.11	-5	-8	8	8	Si	35
13	20.11	20.11	-2	23	8	8	Si	>100

Verifica aperture fessure:Wamm Freq[mm]=0.300 Wamm Qp[mm]=0.200

P.	Nx	Ny	Nxy	Mx	My	Mxy	σ_{fmed}	Wd	Wk	Cb	Ver	Cs
	daN/cm	daN/cm	daN/cm	kg	kg	kg	kg/cm	mm	mm			
13	-0.33	-0.91	-1.62	255	126	61	23	0.002	0.002	8 (Qp)	Si	81
13	-0.32	-0.92	-1.60	258	134	59	24	0.003	0.003	7 (Fr)	Si	>100

Muro : 106 - Nodi: [3030-3031-4031-4030], Pann.X=4, Pann.Y=4Spess.=40 cm, Terreno=--,Criterio=CLS_Muri_ND,
Materiale=C35/45

Armatura a maglia doppia, Stampa elementi piu' gravosi

Combinazione Rara: σ_{ca} [kg/cmq]=224 σ_{fa} [kg/cmq]=3600

P.	Afx	Afy	σ_c	σ_f	Cbc	Cbf	Ver	Cs
	cmq/m	cmq/m	kg/cmq	kg/cmq				
1	20.11	20.11	-2	1	6	6	Si	>100
4	20.11	20.11	0	515	6	6	Si	7.0

Combinazione QP: σ_{ca} [kg/cmq]=168 σ_{fa} [kg/cmq]=3600

P.	Afx	Afy	σ_c	σ_f	Cbc	Cbf	Ver	Cs
	cmq/m	cmq/m	kg/cmq	kg/cmq				
1	20.11	20.11	-2	0	8	8	Si	79
4	20.11	20.11	0	580	8	8	Si	6.2

Verifica aperture fessure:Wamm Freq[mm]=0.300 Wamm Qp[mm]=0.200

P.	Nx	Ny	Nxy	Mx	My	Mxy	σ_{fmed}	Wd	Wk	Cb	Ver	Cs
	daN/cm	daN/cm	daN/cm	kg	kg	kg	kg/cm	mm	mm			
4	2.26	1.02	-1.16	396	175	-170	580	0.114	0.114	8 (Qp)	Si	1.8
4	2.19	0.98	-1.12	377	144	-154	560	0.110	0.110	7 (Fr)	Si	2.7

**POTENZIAMENTO DELL'IMPIANTO DI DEPURAZIONE E
DEL RECAPITO FINALE DI SQUINZANO (LE)
PROGETTO DEFINITIVO
Tabulati di calcolo strutturale-Edificio Grigliatura
Grossolana**

R.37.11

Maggio 2021

Pagina 180 di
183

Muro : 107 - Nodi: [1030-1031-2031-2030], Pann.X=4, Pann.Y=4Spess.=40 cm, Terreno=--,Criterio=CLS_Muri_ND,
Materiale=C35/45

Armatura a maglia doppia, Stampa elementi piu' gravosi

Combinazione Rara: σ_{ca} [kg/cmq]=224 σ_{fa} [kg/cmq]=3600

P.	Afx	Afy	σ_c	σ_f	Cbc	Cbf	Ver	Cs
	cmq/m	cmq/m	kg/cmq	kg/cmq				
13	20.11	20.11	-3	5	6	6	Si	84
4	20.11	20.11	-1	223	6	6	Si	16

Combinazione QP: σ_{ca} [kg/cmq]=168 σ_{fa} [kg/cmq]=3600

P.	Afx	Afy	σ_c	σ_f	Cbc	Cbf	Ver	Cs
	cmq/m	cmq/m	kg/cmq	kg/cmq				
13	20.11	20.11	-3	24	8	8	Si	56
4	20.11	20.11	-1	241	8	8	Si	15

Verifica aperture fessure:Wamm Freq[mm]=0.300 Wamm Qp[mm]=0.200

P.	Nx	Ny	Nxy	Mx	My	Mxy	σ_{fmed}	Wd	Wk	Cb	Ver	Cs
	daN/cm	daN/cm	daN/cm	kg	kg	kg	kg/cm	mm	mm			
4	1.19	-1.17	-3.12	-13	-70	-10	241	0.060	0.060	8 (Qp)	Si	3.3
4	1.14	-1.20	-3.03	8	-50	-13	230	0.057	0.057	7 (Fr)	Si	5.2

Muro : 147 - Nodi: [1029-1030-2030-2029], Pann.X=4, Pann.Y=4Spess.=40 cm, Terreno=--,Criterio=CLS_Muri_ND,
Materiale=C35/45

Armatura a maglia doppia, Stampa elementi piu' gravosi

Combinazione Rara: σ_{ca} [kg/cmq]=224 σ_{fa} [kg/cmq]=3600

P.	Afx	Afy	σ_c	σ_f	Cbc	Cbf	Ver	Cs
	cmq/m	cmq/m	kg/cmq	kg/cmq				
9	20.11	20.11	-4	77	6	6	Si	47
16	20.11	20.11	-1	287	6	6	Si	13

Combinazione QP: σ_{ca} [kg/cmq]=168 σ_{fa} [kg/cmq]=3600

P.	Afx	Afy	σ_c	σ_f	Cbc	Cbf	Ver	Cs
	cmq/m	cmq/m	kg/cmq	kg/cmq				
9	20.11	20.11	-4	79	8	8	Si	44
16	20.11	20.11	-1	342	8	8	Si	11

Verifica aperture fessure:Wamm Freq[mm]=0.300 Wamm Qp[mm]=0.200

P.	Nx	Ny	Nxy	Mx	My	Mxy	σ_{fmed}	Wd	Wk	Cb	Ver	Cs
	daN/cm	daN/cm	daN/cm	kg	kg	kg	kg/cm	mm	mm			
16	0.22	1.37	-2.60	-198	-207	-24	342	0.069	0.069	8 (Qp)	Si	2.9
16	0.19	1.31	-2.53	-195	-189	-35	324	0.066	0.066	7 (Fr)	Si	4.5

Muro : 211 - Nodi: [4031-4032-5032-5031], Pann.X=4, Pann.Y=4Spess.=40 cm, Terreno=--,Criterio=CLS_Muri_ND,
Materiale=C35/45

Armatura a maglia doppia, Stampa elementi piu' gravosi

Combinazione Rara: σ_{ca} [kg/cmq]=224 σ_{fa} [kg/cmq]=3600

P.	Afx	Afy	σ_c	σ_f	Cbc	Cbf	Ver	Cs
	cmq/m	cmq/m	kg/cmq	kg/cmq				
16	20.11	20.11	-3	-1	6	6	Si	67
1	20.11	20.11	-2	-2	6	6	Si	>100

Combinazione QP: σ_{ca} [kg/cmq]=168 σ_{fa} [kg/cmq]=3600

P.	Afx	Afy	σ_c	σ_f	Cbc	Cbf	Ver	Cs
	cmq/m	cmq/m	kg/cmq	kg/cmq				
16	20.11	20.11	-3	-1	8	8	Si	50
8	20.11	20.11	-3	0	8	8	Si	67

Verifica aperture fessure:Wamm Freq[mm]=0.300 Wamm Qp[mm]=0.200

P.	Nx	Ny	Nxy	Mx	My	Mxy	σ_{fmed}	Wd	Wk	Cb	Ver	Cs
	daN/cm	daN/cm	daN/cm	kg	kg	kg	kg/cm	mm	mm			
8	-2.36	0.00	-0.12	101	0	23	0	0.000	0.000	8 (Qp)	Si	>100
8	-2.33	0.00	-0.12	101	0	22	0	0.000	0.000	7 (Fr)	Si	>100

Muro : 212 - Nodi: [4032-4033-5033-5032], Pann.X=4, Pann.Y=4Spess.=40 cm, Terreno=--,Criterio=CLS_Muri_ND, Materiale=C35/45

Armatura a maglia doppia, Stampa elementi piu' gravosi

Combinazione Rara: σ_{ca} [kg/cmq]=224 σ_{fa} [kg/cmq]=3600

P.	Afx	Afy	σ_c	σ_f	Cbc	Cbf	Ver	Cs
	cmq/m	cmq/m	kg/cmq	kg/cmq				
13	20.11	20.11	-9	-7	6	6	Si	25
10	20.11	20.11	-5	76	6	6	Si	41

Combinazione QP: σ_{ca} [kg/cmq]=168 σ_{fa} [kg/cmq]=3600

P.	Afx	Afy	σ_c	σ_f	Cbc	Cbf	Ver	Cs
	cmq/m	cmq/m	kg/cmq	kg/cmq				
13	20.11	20.11	-9	-7	8	8	Si	19
10	20.11	20.11	-6	78	8	8	Si	30

Verifica aperture fessure:Wamm Freq[mm]=0.300 Wamm Qp[mm]=0.200

P.	Nx	Ny	Nxy	Mx	My	Mxy	σ_{fmed}	Wd	Wk	Cb	Ver	Cs
	daN/cm	daN/cm	daN/cm	kg	kg	kg	kg/cm	mm	mm			
10	-5.27	0.39	0.23	-193	2	64	78	0.019	0.019	8 (Qp)	Si	10
10	-5.22	0.38	0.23	-188	3	61	77	0.019	0.019	7 (Fr)	Si	16

Muro : 213 - Nodi: [4030-4031-5031-5030], Pann.X=4, Pann.Y=4Spess.=40 cm, Terreno=--,Criterio=CLS_Muri_ND, Materiale=C35/45

Armatura a maglia doppia, Stampa elementi piu' gravosi

Combinazione Rara: σ_{ca} [kg/cmq]=224 σ_{fa} [kg/cmq]=3600

P.	Afx	Afy	σ_c	σ_f	Cbc	Cbf	Ver	Cs
	cmq/m	cmq/m	kg/cmq	kg/cmq				
1	20.11	20.11	-4	199	6	6	Si	18
4	20.11	20.11	0	809	6	6	Si	4.5

Combinazione QP: σ_{ca} [kg/cmq]=168 σ_{fa} [kg/cmq]=3600

P.	Afx	Afy	σ_c	σ_f	Cbc	Cbf	Ver	Cs
	cmq/m	cmq/m	kg/cmq	kg/cmq				
1	20.11	20.11	-4	207	8	8	Si	17
4	20.11	20.11	0	807	8	8	Si	4.5

Verifica aperture fessure:Wamm Freq[mm]=0.300 Wamm Qp[mm]=0.200

P.	Nx	Ny	Nxy	Mx	My	Mxy	σ_{fmed}	Wd	Wk	Cb	Ver	Cs
	daN/cm	daN/cm	daN/cm	kg	kg	kg	kg/cm	mm	mm			
4	1.76	3.25	-0.51	400	-484	28	807	0.163	0.163	8 (Qp)	Si	1.2
4	1.94	3.27	-0.57	378	-465	32	805	0.164	0.164	7 (Fr)	Si	1.8

1. PROGETTO DEL SOLAIO MONOTRAVE A TRAVETTI IN CALCESTRUZZO PRECOMPRESSO H = 30+5 CM, INTERASSE 50 CM

I solai saranno del tipo latero cementizio con travetti in calcestruzzo precompresso della larghezza di 12 cm. L'altezza sarà pari a 35 cm di cui 5 cm di soletta collaborante. L'interasse dei travetti sarà pari a 50 cm.

Luce netta massima 9,55 m con luce di calcolo 10 m

ANALISI DEI CARICHI SOLAIO:

Peso proprio = 420 daN/m²

Sovraccarichi permanenti = 200 daN/m²

Sovraccarico di esercizio = 50 daN/m²

Carico neve = 60 daN/m²

Si utilizzeranno i valori relativi allo stato limite di esercizio per le verifiche relative ai travetti ed alle armature aggiuntive per i momenti negativi, mentre si farà ricorso agli stati limite ultimi per le verifiche relative alle fasce piene e semipiene e per il calcolo dell'armatura inferiore sugli appoggi.

SLE: COMBINAZIONE RARA

Il carico totale massimo in combinazione rara è pari a (420 x 1+200 x 1+50 x 1 + 60 x 1) daN/m² =730 daN/m².

	POTENZIAMENTO DELL'IMPIANTO DI DEPURAZIONE E DEL RECAPITO FINALE DI SQUINZANO (LE) PROGETTO DEFINITIVO <u>Tabulati di calcolo strutturale-Edificio Grigliatura</u> <u>Grossolana</u>	R.37.11
		Maggio 2021
		Pagina 182 di 183

I vincoli vengono considerati come semi appoggi, per cui il momento flettente positivo di servizio sollecitante una fascia di solaio larga 1,00 m è il seguente:

$$M_{dmax+} = q \times l^2 / 12 = 730 \times 10^2 / 12 = 6083 \text{ daNm}$$

Si utilizzerà un solaio con travetti in c.a.p. tipo T8 della ITA avente momento di servizio positivo minimo in combinazione rara maggiore di 7065 daNm/m.

Il momento negativo è pari a $M_{dmax-} = q \times l^2 / 12 = 730 \times 10^2 / 12 = 6083 \text{ daNm}$

$$M_{dmax-} / \text{travetto} = 6083 \text{ daNm} / 2 = 3046 \text{ daNm}$$

$$\text{Armatura a momento negativo: } A_a = M_{dmax-} / (0,88 \times s_f \times h) = 3043 / (0,88 \times 31 \times 24) = 4,74 \text{ cm}^2$$

$$\text{Si utilizzano } 2\Phi 18 \text{ a travetto} = 5,08 \text{ cm}^2$$

SLU

Il carico totale è:

$$(420 \times 1,30 + 200 \times 1,50 + 50 \times 0 + 60 \times 1,50) \text{ daN/m}^2 = 936 \text{ daN/m}^2$$

Verifica a flessione

I vincoli vengono considerati come semi appoggi, per cui il momento flettente positivo di servizio sollecitante una fascia di solaio larga 1,00 m è il seguente:

$$M_{dmax+} = q \times l^2 / 12 = 936 \times 10^2 / 12 = 7800 \text{ daNm}$$

Si utilizzerà un solaio con travetti in c.a.p. tipo T8 della ITA avente momento allo SLU positivo minimo pari a 8955 daNm.

Il momento negativo è pari a $M_{dmax-} = q \times l^2 / 12 = 936 \times 10^2 / 12 = 7800 \text{ daNm}$

$$M_{dmax-} / \text{travetto} = 7800 \text{ daNm} / 2 = 3900 \text{ daNm}$$

$$\text{Armatura a momento negativo: } A_a = M_{dmax-} / (0,88 \times s_f \times h) = 3900 / (0,88 \times 31 \times 39) = 3,66 \text{ cm}^2$$

$$\text{Si utilizzano } 2\Phi 18 \text{ a travetto} = 5,08 \text{ cm}^2$$

Verifica a taglio

Il taglio massimo sollecitante una fascia di solaio della larghezza di 1 m è pari a

$$T_{max} = 936 \text{ daN/m} \times 9,55 \text{ m} / 2 = 4470 \text{ daN}$$

Per cui:

$$T_{max} \text{ travetto} = 4470 / 2 = 2235 \text{ daN}$$

Determinazione armatura inferiore appoggi

$$T_{max} \text{ travetto} / f_{yd} = 22350 \text{ N} / 391,3 \text{ N/mm}^2 = 56 \text{ mm}^2 = 0,56 \text{ cm}^2$$

$$\text{Si adottano } 2 \Phi 10 \text{ a travetto per complessivi } 1,57 \text{ cm}^2$$

L'armatura della soletta collaborante sarà costituita da una rete elettrosaldata $\Phi 8$ passo 20x20 cm corrispondente ad un'area di armatura pari a 2,00 cm² in entrambe le direzioni (tale area risulta > del 20% dell'area dell'armatura longitudinale)

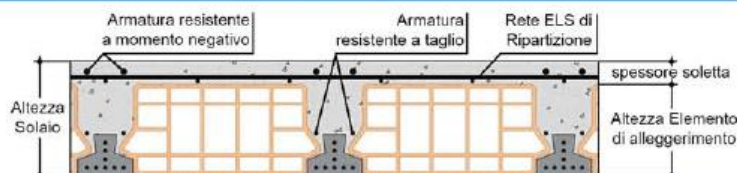
Si considera comunque, a vantaggio di sicurezza, la realizzazione di una fascia piena in corrispondenza degli appoggi avente larghezza pari a 25 cm.

MOMENTI RESISTENTI

(RIFERITI AD UNA STRISCIA DI SOLAIO LARGA UN METRO)

SOLAIO MONOTRAVE

interasse nervature: 50 cm
interasse di calcolo: 100 cm
numero di travetti per interasse di calcolo: 2



	ALTEZZA PIGNATTE cm	SPESSORE SOLETTA cm	ALTEZZA SOLAIO cm	$M_{Rd,SLU} / (M_{SLE,CR})$ [kNm]								PESO TRAVETTI E BLOCCHI IN OPERA kg/m ²	PESO SOLAIO IN OPERA kg/m ²	c.l.s. Litri	CARATTERISTICHE SEZIONE PARZIALIZZATA (con travetto reagente a trazione)				
				T1	T3	T4	T5	T6	T7	T8					Y_{Gk} cm	Y_{Sk} cm	I_0 cm ⁴	W_k cm ³	W_i cm ³
H ₁₂₊₄	12,00	4,00	16	9,20 (8,01)	13,61 (11,83)	18,33 (15,94)	22,32 (18,03)	26,13 (19,18)	29,79 (20,72)	33,35 (22,19)		90	230	54	5,64	10,36	8'892	1'576	572
H ₁₂₊₅	12,00	5,00	17	9,98 (8,68)	14,81 (12,88)	19,99 (17,39)	24,46 (19,85)	28,78 (21,12)	32,96 (22,82)	37,08 (24,44)		90	230	64	5,82	11,18	10'571	1'817	630
H ₁₆₊₄	16,00	4,00	20	12,12 (10,54)	17,98 (15,63)	24,16 (21,01)	29,60 (25,74)	34,88 (27,54)	39,99 (29,76)	45,01 (31,89)		96	260	63	6,93	13,07	16'167	2'333	825
H ₁₆₊₅	16,00	5,00	21	12,90 (11,22)	19,19 (16,68)	25,82 (22,46)	31,74 (27,6)	37,52 (29,54)	43,16 (31,93)	48,74 (34,21)		96	280	74	6,97	14,03	18'643	2'674	886
H ₂₀₊₄	20,00	4,00	24	15,03 (13,07)	22,35 (19,44)	29,99 (26,08)	36,89 (32,08)	43,62 (36,26)	50,19 (39,2)	56,67 (42,02)		113	300	73	8,16	15,84	25'865	3'168	1'089
H ₂₀₊₅	20,00	5,00	25	15,81 (13,75)	23,56 (20,49)	31,85 (27,53)	39,03 (33,94)	46,27 (38,31)	53,37 (41,42)	60,40 (44,41)		113	320	83	8,08	16,92	29'250	3'618	1'153
H ₂₅₊₄	25,00	4,00	29	18,68 (16,24)	27,81 (24,19)	37,28 (32,42)	46,00 (40)	54,55 (47,43)	62,94 (51,28)	71,25 (54,98)		126	345	85	9,64	19,36	41'463	4'303	1'427
H ₂₅₊₅	25,00	5,00	30	19,46 (16,92)	29,02 (25,24)	38,94 (33,86)	48,14 (41,86)	57,20 (49,54)	66,12 (53,57)	74,97 (57,43)		126	365	95	9,42	20,58	46'127	4'895	1'495
H ₃₀₊₄	30,00	4,00	34	22,32 (19,41)	33,28 (28,94)	44,57 (38,75)	55,11 (47,92)	65,48 (56,94)	75,70 (63,53)	85,82 (68,11)		143	390	97	11,04	22,96	61'000	5'525	1'771
H ₃₀₊₅	30,00	5,00	35	23,10 (20,09)	34,49 (29,99)	46,23 (39,19)	57,25 (49,19)	68,13 (59,24)	78,87 (65,88)	89,55 (70,65)		143	410	107	10,71	24,29	67'082	6'261	1'841
H ₃₅₊₄	35,00	4,00	39	25,97 (22,58)	38,74 (33,69)	51,85 (42,99)	64,22 (53,96)	76,41 (65,09)	88,45 (75,87)	100,39 (81,36)		154	430	110	12,39	26,61	84'545	6'824	2'118
H ₃₅₊₅	35,00	5,00	40	26,75 (23,26)	39,95 (34,74)	53,51 (43,43)	66,35 (54,51)	79,06 (65,75)	91,62 (78,31)	104,12 (83,97)		154	450	120	11,96	28,04	92'168	7'708	2'191
H ₄₀₊₄	40,00	4,00	44	29,61 (25,75)	44,21 (38,44)	59,14 (47,33)	73,32 (59,39)	87,34 (71,63)	101,20 (85,71)	114,97 (94,66)		168	480	121	13,69	30,31	112'162	8'195	2'467
H ₄₀₊₅	40,00	5,00	45	30,39 (26,43)	45,42 (39,49)	60,80 (47,86)	75,46 (60,07)	89,99 (72,44)	104,37 (86,68)	118,69 (97,35)		168	500	131	13,16	31,84	121'435	9'227	2'543